

- 1 **ПОЗВОНОЧНЫЙ СТОЛБ**, *columna vertebralis*. Рис. А.
- 1а Позвонкок, *vertebra*.
- 2 **ПОЗВОНОЧНЫЙ КАНАЛ**, *canalis vertebralis*. Образуется позвоночными отверстиями. Содержит спинной мозг. Рис. Б.
- 3 **Тело позвонка**, *corpus vertebrae* (*vertebrale*). Рис. Б, В, Г.
- 3а Межпозвоночная поверхность, *fades intervertebralis*. Поверхность тела позвонка, обращенная к соседнему позвонку. Рис. Б.
- 36 Кольцевой апофиз (эпифиз), *apophysis anularis*. Костный выступ в виде кольца, расположенный на верхней и нижней поверхностях тела позвонка. Является вторичным центром окостенения. Рис. Б.
- 4 **Дуга позвонка**, *arcus vertebrae* (*vertebralis*). Ограничивает позвоночное отверстие сзади и с боков. Рис. В, Г.
- 5 Ножка дуги позвонка, *pediculus arcus vertebrae*. Часть дуги между телом и поперечным отростком. Рис. Б, Г.
- 6 Пластинка дуги позвонка, *lamina arcus vertebrae* (*vertebralis*). Часть дуги между поперечным и остистым отростками. Рис. В.
- 6а Нейроцентральное соединение (еннхондроз) умлепо *neurocentralis*. Находится между центрами окостенения в нейральных дужках и теле позвонка. Выявляется у плодов и детей раннего возраста. Рис. Г.
- 7 Межпозвоночное отверстие, *foramen intervertebral*. Ограничено верхней и нижней позвоночными вырезками, телом позвонка и межпозвоночным диском. Содержит спинномозговую нерв и мелкие сосуды. Рис. А, Б.
- 8 Верхняя позвоночная вырезка, *incisura vertebralis superior*. Вырезка на верхнем крае ножки дуги позвонка. Рис. Б.
- 9 Нижняя позвоночная вырезка, *incisura vertebralis inferior*. Вырезка на нижнем крае ножки дуги позвонка. Рис. Б.
- 10 Позвоночное отверстие, *foramen vertebrae*. Ограничено дугой и телом позвонка. Отверстия всех позвонков составляют позвоночный канал. Рис. В, Г.
- 11 Остистый отросток, *processus spinosus*. У 2 - 4 шейных позвонков остистые отростки раздвоены. Рис. Б, В, Г.
- 12 Поперечный отросток, *processus transversa*. Рис Е, в.
- 13 Реберный отросток, *processus costalis*. Поперечный отросток поясничного позвонка. Аналог рудиментарного ребра. Рис. Г.
- 14 Верхний суставной отросток, *processus articularis (zugarophysis) superior*. Расположен на дуге позвонка и направлен вверх. Рис. Б, В, Г.
- 15 Нижний суставной отросток, *processus articularis (zugarophysis) inferior*. Расположен на дуге позвонка и направлен вниз. Рис. Б, В.
- 16 **ШЕЙНЫЕ ПОЗВОНКИ**, *vertebrae cervicales*. В состав шейного отдела позвоночного столба входят семь позвонков (С1 - С7). Рис. А.
- 17 Крючок тела, *uncus corporis*. Направленный вверх крючковидный отросток, расположенный вдоль латерального края тел шейных позвонков. Пролiferация костной ткани в этом месте может вызвать сдавление спинномозгового нерва. Рис. В.
- 18 Отверстие поперечного отростка, *foramen tram. ersarium*. Расположено в поперечных отростках шейных позвонков. Содержит позвоночную артерию и вену. Рис. В.
- 19 **Передний бугорок**, *tuberculum anterius*. Возвышение на поперечных отростках С2-7, направленное вперед, которое служит местом прикрепления мышцы. Рис. В.
- 20 **Задний бугорок**, *tuberculum posterius*. Возвышение на поперечных отростках С2-7, направленное назад, которое служит местом прикрепления мышц. Рис. В.
- 21 **Сонный бугорок**, *tuberculum caroticum*. Передний бугорок С6. Рис. А.
- 22 Борозда спинномозгового нерва, *sulcus n.spinalis*. Расположена на поперечных отростках С3-7. В ней проходит спинномозговой нерв. Рис. В.
- 23 Выступающий позвонкок, *vertebra prominens* (СII). Седьмой шейный позвонкок, имеющий самый длинный остистый отросток (в 70% случаев). Рис. А.
- 24 **ГРУДНЫЕ ПОЗВОНКИ**, *vertebrae thoracicae*. В состав грудного отдела позвоночного столба входят двенадцать позвонков (Т1 - Т12). Рис. А.
- 25 Верхняя реберная ямка, *fovea costalis superior*. Расположена на теле позвонка выше ножки дуги. Служит для сочленения с головкой ребра. Рис. Б.
- 26 **Нижних реберная ямка**, *fovea costalis inferior*. Расположена на теле позвонка ниже ножки дуги. Служит для сочленения с головкой ребра. Рис. Б.
- 27 Реберная ямка поперечного отростка, *fovea costalis processus transversi*. Суставная поверхность для сочленения с бугорком ребра, расположенная на поперечном отростке позвонка. Рис. Б.
- 28 **ПОЯСНИЧНЫЕ ПОЗВОНКИ**, *vertebrae lumbales* (*lumbares*). В состав поясничного отдела позвоночного столба входят пять позвонков (L1 - L5). Рис. А.
- 29 Добавочный отросток, *processus accessorius (vertebrarum lumbalium)*. Рудимент поперечного отростка поясничных позвонков. Отходит от основания реберного отростка и направлен назад. Рис. Г.
- 30 Сосцевидный отросток, *processus mammillaris*. Рудиментарный отросток поясничных позвонков. Отходит от заднего края верхнего суставного отростка и направлен назад. Рис. Г.

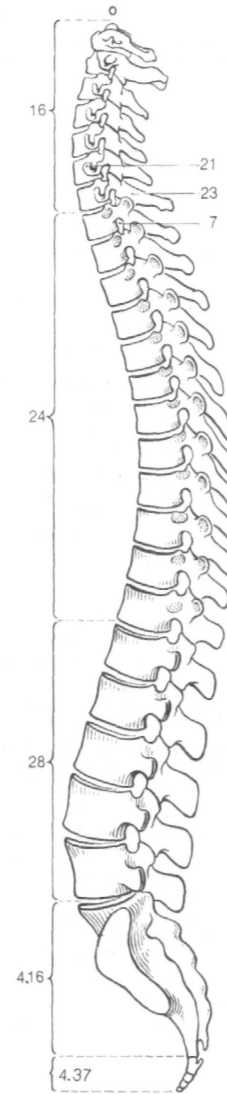


Рис. А. Позвоночный столб

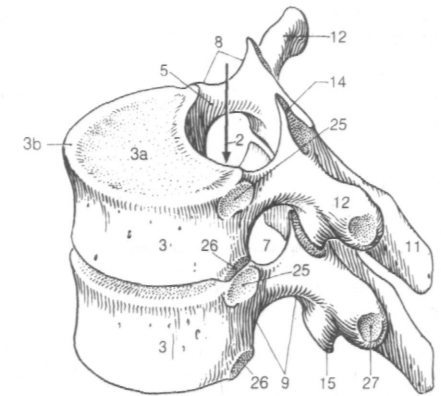


Рис. Б. Грудные позвонки

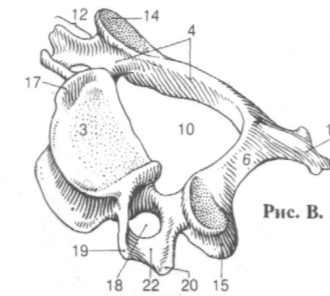


Рис. В. Шейный позвонкок

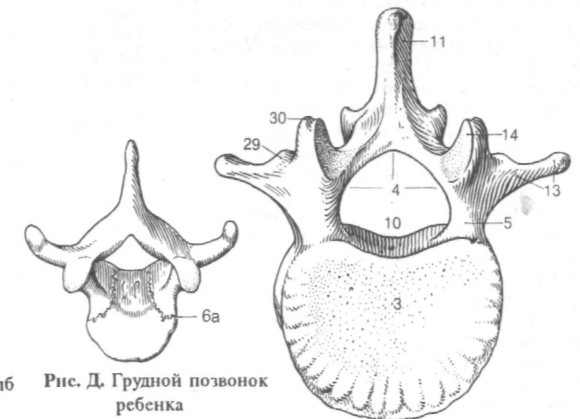


Рис. Г. Поясничные позвонкок (вид сверху)

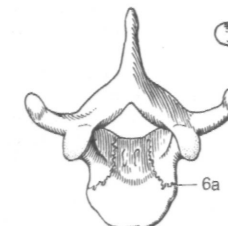


Рис. Д. Грудной позвонкок ребенка

- 1 Атлант, *atlas (C1)*. Первый шейный позвонок. У него отсутствует тело. Рис. А.
- 2 Латеральная масса атланта, *massa lateralis atlantis*. Расширенная боковая часть позвонка, на которой расположена суставная поверхность для сочленения с черепом. Рис. А.
- 3 Верхняя суставная поверхность, *facies articularis superior*. Рис. А.
- 4 Нижняя суставная поверхность, *facies articularis inferior*. Рис. А.
- 5 Передняя дуга атланта, *arcus anterior atlantis*. Рис. А.
- 6 Ямка зуба, *fovea dentis*. Суставная поверхность для сочленения с зубом осевого позвонка, расположенная на внутренней поверхности передней дуги атланта. Рис. А.
- 7 Передний бугорок, *tuberculum anterius*. Рис. А.
- 8 Задняя дуга атланта, *arcus posterior atlantis*. Рис. А.
- 9 Борозда позвоночной артерии, *sulcus arteriae vertebralis*. Расположена на задней дуге атланта позади боковой массы. Рис. А.
- 10 Задний бугорок, *tuberculum posterius*. Рудимент остистого отростка. Рис. А.
- 11 Осевого позвонка, *axis (C2) [Epistropheus]*. Второй шейный позвонок. Рис. Б.
- 12 Зуб, *dens*. Зубовидный отросток второго шейного позвонка. Рис. Б.
- 13 Верхушка зуба, *apex dentis*. Место прикрепления связки верхушки зуба. Рис. Б.
- 14 Передняя суставная поверхность, *facies articularis anterior*. Рис. Б.
- 15 Задняя суставная поверхность, *facies articularis posterior*. Рис. Б.
- 16 Крестец [крестцовые позвонки], *os sacrum (sacrale) [vertebrae sacrales I-V]*. Рис. В, Г, Е.
- 17 Основание крестца, *basis ossis sacri*. Широкий верхний конец крестца. Рис. Е.
- 18 Мыс, *promontorium*. Передний край тела первого крестцового позвонка. Значительно выступает в верхнюю апертуру таза. Рис. Е.
- 19 Крестцовое крыло, *ala sacralis*. Часть основания, расположенная латерально от тела позвонка.
- 20 Верхний суставной отросток, *processus articularis superior*. Рис. В, Е.
- 21 Латеральная часть, *pars lateralis*. Объединенные в единое целое поперечные отростки крестцовых позвонков и рудименты ребер. Рис. В, Е.
- 22 Ушковидная поверхность, *facies auricularis*. Предназначена для сочленения с подвздошной костью. Рис. В.
- 23 Крестцовая бугристость, *tuberositas sacralis*. Шероховатая поверхность позади *facies auricularis*, предназначенная для прикрепления связок. Рис. В.

- 24 Тазовая поверхность, *facies pelvica*. Передняя поверхность крестца. Рис. Е.
- 25 Поперечные линии, *lineae transversae*. Четыре поперечных линии - следы сращения тел пяти крестцовых позвонков. Рис. Е.
- 26 Межпозвоночные отверстия, *foramina intervertebralia*. Образованы верхней и нижней позвоночными вырезками. Служат местом выхода спинномозговых нервов. Рис. Г.
- 27 Передние крестцовые отверстия, *foramina sacralia anteriora (pelvica)*. Места выхода передних ветвей спинномозговых нервов и сосудов. Рис. Г, Е.
- 28 Дорсальная поверхность, *facies dorsalis*. Рис. В.
- 29 Срединный крестцовый гребень, *crista sacralis mediana*. Расположен по средней линии. Состоит из рудиментов остистых отростков крестцовых позвонков. Рис. В.
- 30 Задние крестцовые отверстия, *foramina sacralia posteriora*. Содержат нервы и сосуды. Рис. В, Г.
- 31 Промежуточный крестцовый гребень, *crista sacralis intermedia*. Формируется рудиментами суставных отростков. Расположен билатерально от срединного крестцового гребня. Рис. В.
- 32 Латеральный крестцовый гребень, *crista sacralis lateralis*. Образован рудиментами поперечных отростков позвонков и расположен снаружи от дорсальных крестцовых отверстий. Рис. В.
- 33 Крестцовый рог, *cornu sacrale*. Направленный вниз отросток, расположенный латерально от крестцовой щели. Рис. В.
- 34 Крестцовый канал, *canalis sacralis*. Нижняя часть позвоночного канала. Рис. В, Г.
- 35 Крестцовая щель, *hiatus sacralis*. Нижнее отверстие позвоночного канала, через которое выходит терминальная нить. Расположена на уровне S3 - 4. Служит местом проведения нижней эпидуральной анестезии. Рис. В.
- 36 Верхушка крестца, *apex ossis sacri*. Направлена вниз и сочленяется с копчиком. Рис. В, Е.
- 37 Копчик, *os coccygis*. Обычно состоит из четырех рудиментарных позвонков. Рис. Д.
- 38 Копчиковый рог, *cornu coccygeus*. Направленный вверх рудиментарный суставной отросток. Рис. Д.

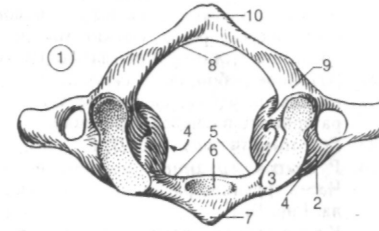


Рис. А. Атлант (вид сверху)

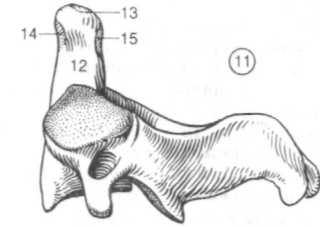


Рис. Б. Осевого позвонка (вид слева)

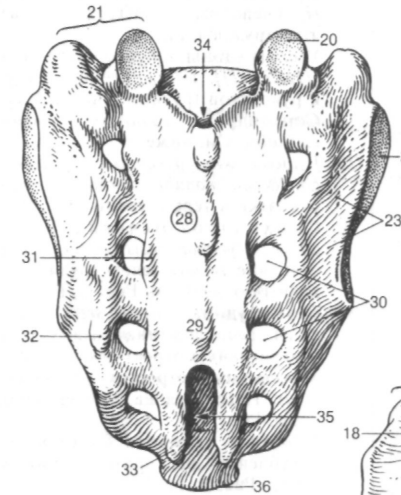


Рис. В. Крестец (вид сзади)

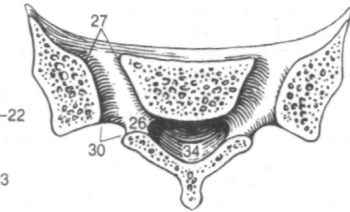


Рис. Г. Горизонтальный распил крестца



Рис. Д. Копчик (вид сзади)

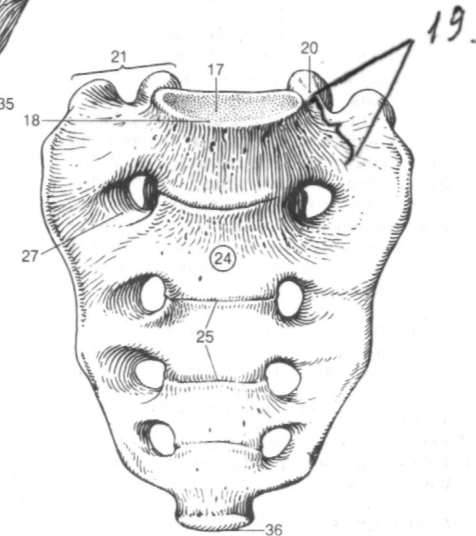


Рис. Е. Крестец (вид спереди)



- 1 КОСТИ ГРУДНОЙ КЛЕТКИ, *ossa thoracis*.
- 2 Ребра, (1 - 12) *costae* (I - XII). Рис. Г.
- 3 Истинные ребра (1 - 7), *costae verae* (I - VII). Образуют синхондрозы непосредственно с грудиной, чем отличаются от последних пяти ребер. Рис. Г.
- 4 Ложные ребра (8 - 12), *costae spuriae* (VIII - XII). Последние пять ребер, не имеющие прямого контакта с грудиной. Рис. Г.
- 5 Колеблющиеся ребра (11 - 12), *costae fluctuantes*. Не соединяются с реберной дугой. Рис. Г.
- 6 **Реберный хрящ, cartilage costalis**. Хрящ на передних концах ребер. Рис. Г.
- 7 Костная часть ребра, *os costale (costa)*. Задняя часть ребра. Рис. Г.
- 8 Головка ребра, *caput costae*. Соединяется с телом позвонка. Рис. А.
- 9 **Суставная поверхность головки ребра, fades articularis capitis costae**. Рис. А, Б.
- 10 **Гребень головки ребра, crista capitis costae**. Разделяет суставную поверхность головки ребра на две части. Рис. Б.
- 11 Шейка ребра, *collum costae*. Суженная часть ребра, расположенная латерально от головки. Рис. А, Б.
- 12 **Гребень шейки ребра, crista colli costae**. Острый выступ на верхнем крае шейки. Рис. А.
- 13 Тело ребра, *corpus costae*. Наиболее протяженная часть ребра. Рис. А, Б.
- 14 Бугорок ребра, *tuberculum costae*. Возвышение на задней поверхности ребра между шейкой и телом. Рис. А, Б.
- 15 **Суставная поверхность бугорка ребра, fades articularis tuberculi costae**. Предназначена для сочленения с поперечным отростком грудного позвонка. Рис. А, Б.
- 16 Угол ребра, *angulus costae*. Изгиб ребра латерально от бугорка. Рис. А, Б.
- 17 Борозда ребра, *sulcus costae*. Расположена вдоль нижнего края ребра. В ней проходят межреберные нерв, артерия и вена. Рис. Б.
- 17а Первое ребро, *costa prima*. В отличие от остальных имеет верхнюю и нижнюю поверхности. Рис. Г.
- 18 Бугорок передней лестничной мышцы, *tuberculum m. scaleni anterioris*. Возвышение на верхней поверхности первого ребра, где прикрепляется передняя лестничная мышца. Рис. А.
- 19 Борозда подключичной артерии, *sulcus a. subclaviae*. Располагается на первом ребре кзади от бугорка передней лестничной мышцы. Рис. А.
- 20 Борозда подключичной вены, *sulcus v. subclaviae*. Располагается на первом ребре впереди от бугорка передней лестничной мышцы. Рис. А.
- 20а Второе ребро, *costa secunda*. Хрящевой конец ребра прикрепляется на уровне угла грудины. Рис. А, Г.

- 21 Бугристость передней зубчатой **мышцы, tuberositas m. serrati anterioris**. Расположена на наружной поверхности второго ребра. Служит местом прикрепления одноименной мышцы. Рис. А, Г.
- 22 [Шейное ребро, *costa cervicalis*]. Дополнительное ребро, на уровне С7. Может раздражать плечевое сплетение.
- 23 **Грудина, sternum**. Рис. В, Г.
- 24 Рукоятка грудины, *manubrium sterni*. Часть грудины, расположенная выше угла. Рис. В, Г.
- 25 Ключичная вырезка, *incisura clavicularis*. Предназначена для сочленения грудины с ключицей. Рис. В, Г.
- 26 Яремная вырезка, *incisura jugularis*. Расположена на верхнем крае рукоятки грудины. Рис. Г.
- 27 **Угол грудины, angulus sterni (sternalis) [[Ludovici]]**. Пальпируется между телом и рукояткой грудины. Рис. В, Г.
- 28 Синхондрозы грудины, *synchondroses sternales*. См. ниже 29, 30.
- 29 [Синхондроз рукоятки грудины, *synchondrosis manubriosternalis*]. Соединение рукоятки и тела грудины. Рис. В, Г.
- 30 Синхондроз мечевидного отростка, *synchondrosis xiphosternalis*. Сочленение между телом грудины и мечевидным отростком. Рис. В, Г.
- 31 Тело грудины, *corpus sterni*. Часть грудины, расположенная между рукояткой и мечевидным отростком. Рис. В, Г.
- 32 Мечевидный отросток, *processus xiphoides*. Находится на нижнем конце грудины. Рис. В, Г.
- 33 Реберные вырезки, *incisurae costales*. Углубления для прикрепления хрящей ребер. Рис. В, Г.
- 34 [Надгрудинные кости, *ossa suprasternalia*]. Небольшие костные фрагменты, расположенные в связках грудино-ключичных суставов, остатки *episternum*.
- 35 **Грудная клетка, compages thoracis**.
- 35а Грудная полость, *cavitas thoracis*.
- 36 Верхняя апертура грудной клетки, *apertura thoracis superior*. Рис. Г.
- 37 Нижняя апертура грудной клетки, *apertura thoracis inferior*. Рис. Г.
- 38 Легочная борозда, *sulcus pulmonalis*. Проходит в вертикальном направлении по обе стороны от позвоночного столба. Заполнена легким. Рис. Г.
- 39 Реберная дуга, *arcus costalis*. Образуется хрящами 7-10 ребер. Рис. Г.
- 40 Межреберье, *spatium intercostale*. Пространство между двумя соседними ребрами. Рис. Г.
- 41 Подгрудинный угол, *angulus infrasternalis*. Угол между реберными дугами. Рис. Г.

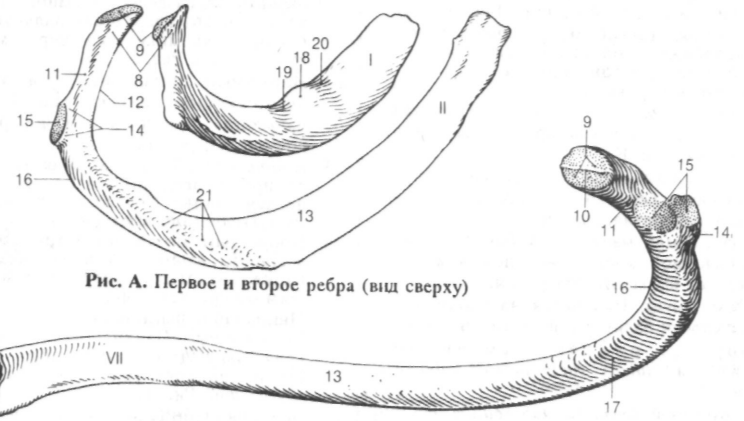


Рис. А. Первое и второе ребра (вид сверху)

Рис. Б. Седьмое ребро (внутренняя поверхность)

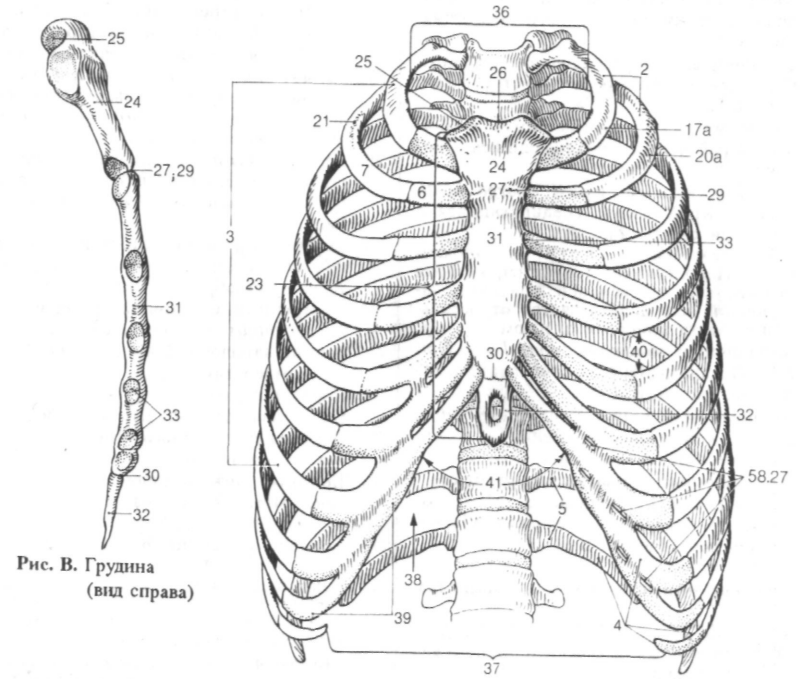


Рис. В. Грудина (вид справа)

Рис. Г. Скелет грудной клетки (вид спереди)

- 1 КОСТИ ЧЕРЕПА, *ossa cranii*.
- 2 ЗАТЫЛОЧНАЯ КОСТЬ, *os occipitale*. Расположена между клиновидной, височной и теменной костями. Рис. А, Б, В.
- 3 Большое отверстие, *foramen magnum*. Расположено на основании черепа, через него проходит продолговатый мозг, сосуды и нервы. Рис. А, Б, В.
- 4 Ба з и о н, *basion*. Точка, соответствующая середине переднего края большого отверстия. Рис. Б.
- 5 Опистион, *opisthion*. Точка, соответствующая середине заднего края большого отверстия. Рис. А, Б.
- 6 Базилярная часть, *pars basilaris*. Часть затылочной кости, расположенная спереди от большого отверстия. Рис. А, В.
- 6а Скат, *clivus*. Находится на верхней поверхности базилярной части. Рис. Б.
- 7 Борозда нижнего каменистого синуса, *sulcus sinus petrosi inferioris*. Рис. А.
- 8 Глоточный бугорок, *tuberculum pharyngeum*. Возвышение на нижней поверхности базилярной части. Место прикрепления шва глотки. Рис. А, В.
- 9 Латеральная часть, *pars lateralis*. Расположена сбоку от большого отверстия. Рис. А, Б.
- 10 Затылочная чешуя, *squama occipitalis*. Ограничивает большое отверстие сзади. Рис. А, Б, В.
- 11 Сосцевидный край, *margo mastoideus*. Край чешуи, соединяющийся с височной костью. Рис. А.
- 12 Лямбдовидный край, *margo lambdoideus*. Край чешуи, соединяющийся с теменной костью. Рис. А.
- 13 [Межтеменная кость, *os interparietal*]. Непостоянная структура, которая формируется из верхней половины затылочной чешуи. Отделяется от остальной ее части поперечным швом.
- 14 Затылочный мыщелок, *condylus occipitalis*. Предназначен для сочленения с атлантом. Рис. А, Б, В.
- 15 Мышелковый канал, *canalis condylaris*. Расположен позади мыщелка и содержит эмиссарную вену. Рис. А, Б, В.
- 16 Подъязычный канал, *canalis hypoglossi*. Расположен спереди и сбоку от большого отверстия. Содержит XII черепной нерв. Рис. А, Б, В.
- 17 Мышелковая ямка, *fossa condylaris*. Углубление позади затылочного мыщелка. Рис. Б.
- 18 Яремный бугорок, *tuberculum jugulare*. Обращен в полость черепа и расположен над подъязычным каналом. Рис. А, Б, В.
- 19 Яремная вырезка, *incisura jugularis*. Участвует в формировании яремного отверстия черепа. Рис. А, В.
- 20 Яремный отросток, *processus jugularis*. Расположен латерально от яремного от-

- верстия и соответствует поперечному отростку позвонка. Рис. А, В.
- 21 Внутряремный отросток, *processus intrajugularis*. Разделяет яремное отверстие на две части: через латеральную часть проходит яремная вена, через медиальную - нервы. Рис. В.
- 22 Наружный затылочный выступ, *protuberantia occipitalis externa*. Доступное пальпации возвышение в центре затылочной чешуи. Рис. Б.
- 23 Инион, *inion*. Точка, которая используется при проведении антропологических исследований. Соответствует наружному затылочному выступу. Рис. Б.
- 24 Наружный затылочный гребень, *crista occipitalis externa*. Располагается между наружным затылочным выступом и большим отверстием. Рис. Б.
- 25 Наивысшая выйная линия, *linea nuchalis suprema*. Начинается от верхнего края наружного затылочного выступа. Место прикрепления *venter occipitalis m. epicranii*. Рис. Б.
- 26 Верхняя выйная линия, *linea nuchalis superior*. Расположена на уровне наружного затылочного выступа между наивысшей и нижней выйными линиями. Место прикрепления *m. trapezius*. Рис. Б.
- 27 Нижняя выйная линия, *linea nuchalis inferior*. Находится между верхней выйной линией и большим отверстием. Рис. Б.
- 27а Затылочная площадка, *planum occipitale*. Часть наружной поверхности затылочной чешуи выше *protuberantia occipitalis externa*. Рис. Б, В.
- 28 Крестообразное возвышение, *eminentia cruciformis*. Костное возвышение с внутренним затылочным выступом в центре. Рис. А.
- 29 Внутренний затылочный выступ, *protuberantia occipitalis interna*. Центральная точка крестообразного возвышения. Рис. А.
- 30 Внутренний затылочный гребень, [*crista occipitalis interna*]. Соединяет внутренний затылочный выступ и край большого отверстия. Рис. А.
- 31 Борозда верхнего сагиттального синуса, *sulcus sinus sagittalis superioris*. Рис. А.
- 32 Борозда поперечного синуса, *sulcus sinus transversi*. Рис. А.
- 33 Борозда сигмовидного синуса, *sulcus sinus sigmoidei*. Находится возле яремной вырезки. Рис. А, В.
- 33а Борозда затылочного синуса, *sulcus sinus occipitalis*. Рис. А.
- 34 [Околососцевидный отросток, *processus paramastoideus*]. Непостоянный выступ яремного отростка в сторону поперечного отростка атланта.
- 34а Мозговая ямка, *fossa cerebralis*. Углубление для затылочной доли мозга. Рис. А.
- 34б Мозжечковая ямка, *fossa cerebellaris*. Углубление для мозжечка. Рис. А.

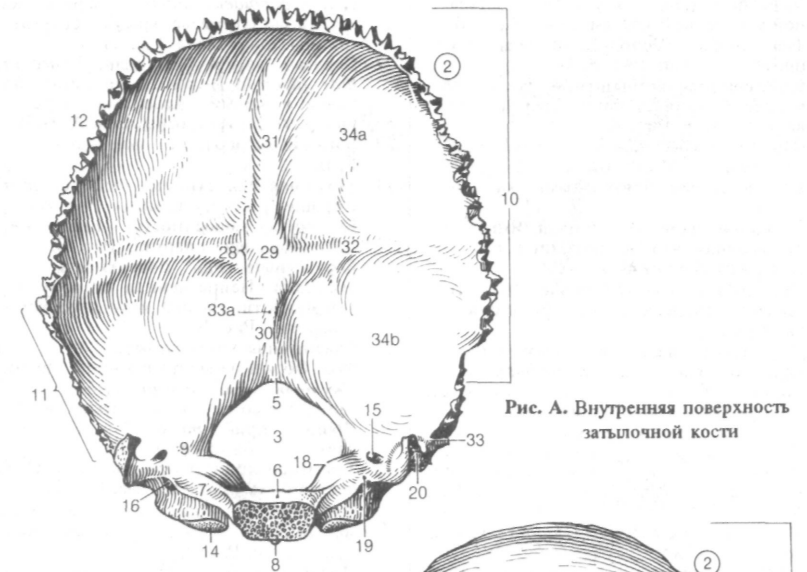


Рис. А. Внутренняя поверхность затылочной кости

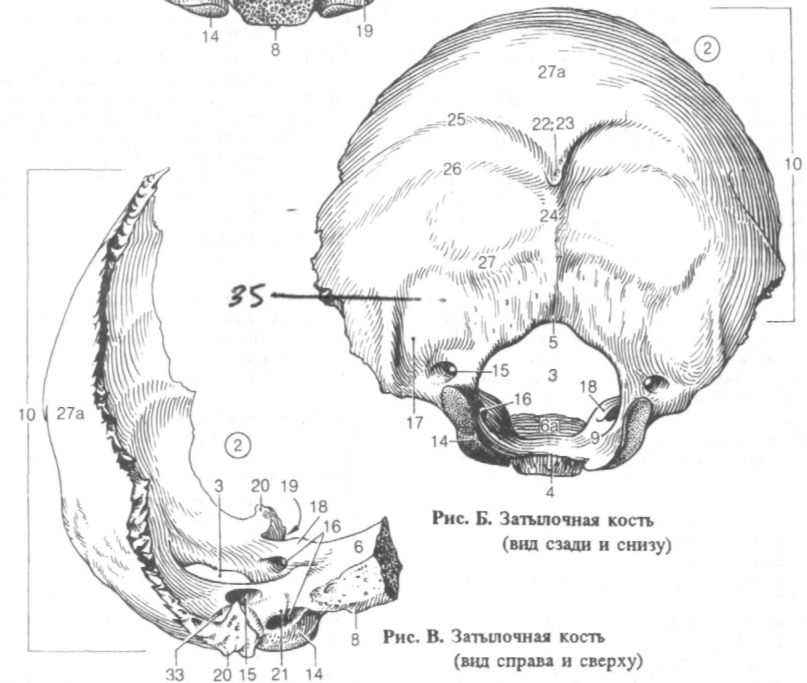


Рис. Б. Затылочная кость (вид сзади и снизу)

Рис. В. Затылочная кость (вид справа и сверху)

- 1 КЛИНОВИДНАЯ КОСТЬ, *os sphenoidale*. Расположена между лобной, затылочной и височной костями. Рис. А, Б, В.
- 2 Тело, *corpus*. Расположено между большими крыльями. Рис. А, Б.
- 3 Клиновидное возвышение, *jugum sphenoidale*. Соединяет малые крылья клиновидной кости. Рис. А.
- 4 (Пред)перекрестная борозда, *sulcus prechiasmaticus*. Расположена между правым и левым зрительными каналами. Рис. А.
- 5 Турецкое седло, *sella turcica*. Ямка, расположенная над клиновидной пазухой. Содержит гипофиз. Рис. А.
- 6 Бугорок седла, *tuberculum sellae*. Возвышение спереди от гипофизарной ямки. Рис. А.
- 7 [Средний наклоненный отросток, *processus clinoides medius*]. Располагается сбоку от гипофизарной ямки. Присутствует непостоянно. Рис. А.
- 8 Гипофизарная ямка, *fossa hypophysialis*. Заполнена гипофизом. Рис. А.
- 9 Спинка седла, *dorsum sellae*. Находится сзади от гипофизарной ямки. Рис. А, В.
- 10 Задний наклоненный отросток, *processus clinoides posterior*. Билатерально расположенные выступы спинки седла. Рис. А, В.
- 11 Сонная борозда, *sulcus caroticus*. Начинается от середины рваного отверстия и направляется вперед. В ней проходит внутренняя сонная артерия. Рис. А.
- 12 Клиновидный язычок, *lingula sphenoidalis*. Расположен латерально от места вступления внутренней сонной артерии в череп. Рис. А.
- 13 Клиновидный гребень, *crista sphenoidalis*. Расположен по средней линии на передней поверхности тела и служит местом прикрепления перпендикулярной пластинки решетчатой кости. Рис. В.
- 14 Клиновидный клюв, *rostrum sphenoidale*. Является продолжением клиновидного гребня книзу. Соединяется с сошником. Рис. В.
- 15 Клиновидная пазуха, *sinus sphenoidalis*. Парная воздухоносная полость черепа. Рис. В.
- 16 Перегородка клиновидных пазух, *septum intersinuale sphenoidale*. Отделяет правую клиновидную пазуху от левой. Рис. В.
- 17 Апертура клиновидной пазухи, *apertura sinus sphenoidalis*. Открывается в клиновидно-решетчатое углубление. Рис. В.
- 18 Клиновидная раковина, *concha sphenoidalis*. Обычно парная вогнутая пластинка, срастающаяся с телом клиновидной кости. Формирует переднюю и нижнюю стенки ее пазухи. Рис. В.
- 19 Малое крыло, *ala minor*. Рис. А, Б, В.
- 20 Зрительный канал, *canalis opticus*. Содержит зрительный нерв и глазную артерию. Рис. А.

- 21 Передний наклоненный отросток, *processus clinoides anterior*. Парный конический выступ малых крыльев спереди от гипофизарной ямки. Рис. А.
- 22 Верхняя глазничная щель, *fissura orbitalis superior*. Располагается между большими и малыми крыльями. Через нее проходят нервы и вены. Рис. А, Б, В.
- 23 Большое крыло, *ala major*. Рис. А, Б, В.
- 24 Мозговая поверхность, *faces cerebri*. Обращена в сторону мозга. Рис. А.
- 25 Височная поверхность, *faces temporalis*. Обращена наружу. Рис. Б, В.
- 26 Верхнечелюстная поверхность, *faces maxillaris*. Направлена в сторону верхней челюсти. На ней находится круглое отверстие. Рис. В.
- 27 Глазничная поверхность, *faces orbitalis*. Обращена внутрь глазницы. Рис. В.
- 28 Скуловой край, *margo zygomaticus*. Соединяется со скуловой костью. Рис. В.
- 29 Лобный край, *margo frontalis*. Сочленяется с лобной костью. Рис. А.
- 30 Теменной край, *margo parietalis*. Соединяется с теменной костью. Рис. В.
- 31 Чешуйчатый край, *margo squamosus*. Чешуйчатым швом сочленяется с височной костью. Рис. А.
- 32 Подвисочный гребень, *crista infratemporalis*. Находится между ориентированной вертикально височной и расположенной горизонтально нижней поверхностями большого крыла. Рис. Б, В.
- 33 Круглое отверстие, *foramen rotundum*. Открывается в крыловидно-небную ямку. Содержит верхнечелюстной нерв. Рис. А, Б, В.
- 34 Овальное отверстие, *foramen ovale*. Расположено медиально и впереди от остистого отверстия. В нем проходит нижнечелюстной нерв. Рис. А, Б.
- 35 [Венозное отверстие, *foramen venosum*]. Расположено медиально от *foramen ovale*. Содержит эмиссарную вену, берущую начало от пещеристого синуса. Рис. А, Б.
- 36 Остистое отверстие, *foramen spinosum*. Расположено латерально и сзади от овального отверстия. Предназначено для средней менингеальной артерии. Рис. А, Б.
- 37 [Каменистое отверстие, *foramen petrosum*], [*canaliculus innominatus*]]. Находится между овальным и остистым отверстиями. Содержит *n. petrosus major*. Рис. А, Б.
- 38 Ость клиновидной кости, *spina ossis sphenoidalis*. Отходит от большого крыла и направлена вниз. Рис. А, Б.
- 39 Борозда слуховой трубы, *sulcus tubae auditoriae (auditiveae)*. Расположена на нижней поверхности большого крыла латерально от основания крыловидного отростка. Содержит хрящевую часть слуховой трубы. Рис. Б.

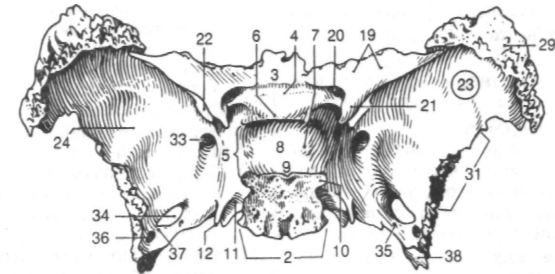


Рис. А. Клиновидная кость  
(вид сверху)

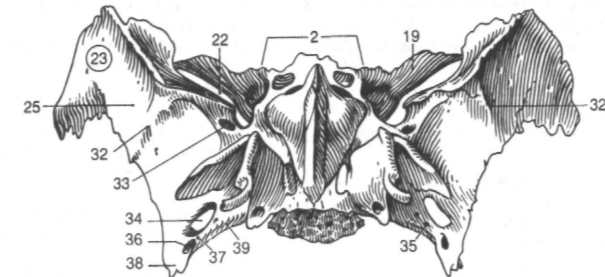


Рис. Б. Клиновидная кость  
(вид спереди и снизу)

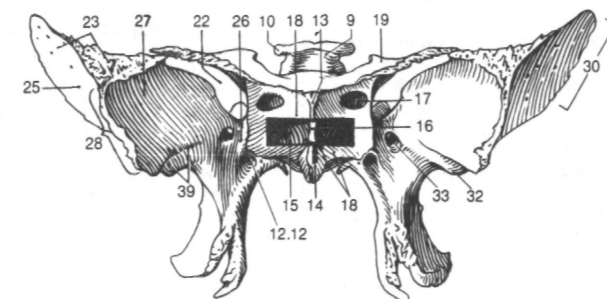


Рис. В. Клиновидная кость  
(вид спереди).  
Вскрыта клиновидная пазуха.

- 1 Крыловидный отросток, *processus pterygoideus*. Рис. А, Б.
- 2 Латеральная пластинка [крыловидного отростка] *lamina lateralis [processus pterygoidei]*. Рис. А, Б.
- 3 Медиальная пластинка [крыловидного отростка], *lamina medialis [processus pterygoidei]*. Рис. А, Б.
- 4 Крыловидная вырезка, *incisura pterygoidea*. Распологается между двумя пластинками крыловидного отростка и направлена вниз. Заполнена пирамидальным отростком *os palatinum*. Рис. А.
- 5 Крыловидная ямка, *fossa pterygoidea*. Находится между латеральной и медиальной пластинками. Место прикрепления *m. pterygoideus medialis*. Рис. А, Б.
- 6 Ладьевидная ямка, *fossa scaphoidea*. Углубление у основания медиальной пластинки крыловидного отростка. Место начала *m. tensor veli palatini*. Рис. А.
- 7 Влагилищный отросток, *processus vaginalis*. Расположен с внутренней стороны основания медиальной пластинки крыловидного отростка. Рис. А, Б.
- 8 Небно-влагилищная борозда, *sulcus palatovaginal*. Вместе с небной костью формирует одноименный канал. Рис. Б.
- 9 Сошни и ково-влагилищная борозда, *sulcus vomerovaginal*. Распологается у основания крыловидного отростка и вместе с сошником образует одноименный канал. Рис. Б.
- 10 Крыловидный крючок, *hamulus pterygoideus*. Находится на конце медиальной пластинки крыловидного отростка и направлен вниз. Рис. А, Б.
- 11 Борозда крыловидного крючка, *sulcus hamuli pterygoidei*. Образована за счет резкого изгиба крыловидного крючка. Рис. Б.
- 12 Крыловидный [[видиев]] канал, *canalis pterygoideus [[canalis vidii]]*. Проходит в основании крыловидного отростка по направлению к крыловидно-небной ямке. Содержит большой и глубокий каменистые нервы Рис. А. См. стр. 11, рис. В.
- 13 Крыловидно-остистый отросток, *processus pterygospinosus*. Острый выступ на заднем крае латеральной пластинки крыловидного отростка. Рис. А.
- 14 ВИСОЧНАЯ КОСТЬ, *os temporale*. Расположена между затылочной, клиновидной и теменной костями. Состоит из каменистой, барабанной и чешуйчатой частей. Рис. В, Г, Д.
- 15 Пирамида (каменистая часть), *pars petrosa*. Содержит орган слуха и равновесия. Рис. Г.
- 16 Затылочный край, *margo occipitalis*. Соединяется с затылочной костью. Рис. В, Г.

- 17 Сосцевидный отросток, *processus mastoideus*. Расположен позади наружного слухового прохода. Рис. В, Д.
- 18 Сосцевидная вырезка, *incisura mastoidea*. Расположена на нижней поверхности пирамиды, медиально от сосцевидного отростка. Место начала заднего брюшка *m. digastricus*. Рис. В.
- 19 Борозда сигмовидного синуса, *sulcus sinus sigmoidei*. Рис. Г.
- 20 Борозда затылочной артерии, *sulcus a. occipitalis*. Расположена у затылочного края пирамиды, медиально-сосцевидной вырезки. Рис. В.
- 21 Сосцевидное отверстие, *foramen mastoideum*. Находится позади сосцевидного отростка. Содержит эмиссарную вену. Рис. В, Г.
- 22 Лицевой канал, *canalis facialis*. Начинается во внутреннем слуховом проходе, заканчивается шилососцевидным отверстием. Содержит одноименный нерв. Рис. В, Г, Д.
- 23 Коленце лицевого канала, *geniculum canalis facialis*. Изгиб лицевого канала у передней стенки пирамиды, вблизи расщелины большого каменистого нерва. Рис. Г.
- 24 Каналец барабанной струны, *canaliculus chordae tympani*. Узкий проход, соединяющий лицевой канал и барабанную полость. Содержит барабанную струну. Рис. Г, Д.
- 25 Верхушка пирамиды, *apex partis petrosae*. Направлена вперед и медиально. Рис. В, Г.
- 26 Сонный канал, *canalis caroticus*. Начинается на наружном основании черепа между яремным отверстием и мышечно-трубным каналом. Содержит внутреннюю сонную артерию. Рис. В.
- 27 Сонно-барабанные каналы, *canaliculi caroticotympanici*. Проходят в стенке сонного канала. Содержат сосуды и нервы, идущие в барабанную полость. Рис. В.
- 28 Мышечно-трубный канал, *canalis musculotubarius*. Находится спереди от сонного канала и ведет в барабанную полость. Содержит слуховую трубу и мышцу, напрягающую барабанную перепонку. Рис. В, Д.
- 29 Полуканал мышцы, напрягающей барабанную перепонку, *semicanalis m. tensoris tympani*. Рис. Д.
- 30 Полуканал слуховой трубы, *semicanalis tubae auditivae (auditivae)*. Рис. Д.
- 31 Перегородка мышечно-трубного канала, *septum canalis musculotubarii*. Костная стенка, между упомянутыми выше полуканалами. Рис. Д.

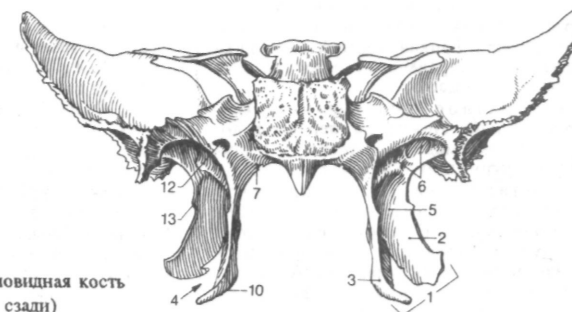


Рис. А. Клиновидная кость (вид сзади)

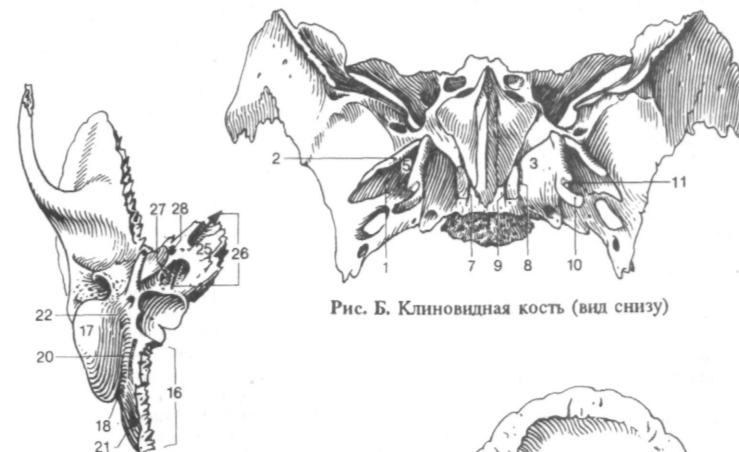


Рис. Б. Клиновидная кость (вид снизу)

Рис. В. Правая височная кость (вид снизу)

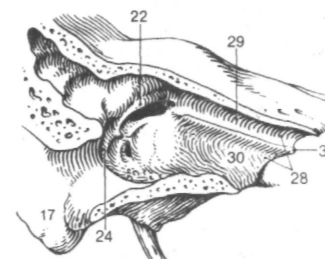


Рис. Д. Вертикальный распил правой височной кости параллельно оси пирамиды (вид спереди и снаружи)



Рис. Г. Внутренняя поверхность правой височной кости

- 1 Передняя поверхность пирамиды, *fades anterior partis petrosae*. Рис. А, В.
- 2 Крыша барабанной полости, *tegmen tympani*. Тонкая костная пластинка спереди и латерально от дугообразного возвышения. Рис. В.
- 3 Дугообразное возвышение, *eminentia arcuata*. Лежит на передней поверхности пирамиды. Соответствует переднему полукружному каналу. Рис. А, В.
- 4 Расщелина канала большого каменистого нерва, *hiatus canalis n. petrosi majoris*. Отверстие на передней поверхности пирамиды, в котором проходит одноименный нерв. Рис. А, В.
- 5 Расщелина канала малого каменистого нерва, *hiatus canalis n. petrosi minoris*. Отверстие на передней поверхности пирамиды, ниже расщелины канала большого каменистого нерва. Рис. А, В.
- 6 Борозда большого каменистого нерва, *sulcus n. petrosi majoris*. Направляется от соответствующей расщелины вперед и медиально к рваному отверстию. Рис. В.
- 7 Борозда малого каменистого нерва, *sulcus n. petrosi minoris*. Направляется от соответствующей расщелины к овальному отверстию. Рис. В.
- 8 Тройничное вдавление, *impresio trigeminalis*. Углубление на передней поверхности пирамиды у ее верхушки для узла тройничного нерва. Рис. В.
- 9 Верхний край пирамиды, *margo superior partis petrosae*. Рис. А, В.
- 10 Борозда верхнего каменистого синуса, *sulcus sinus petrosi superioris*. Проходит вдоль верхнего края пирамиды. Рис. А, В.
- 11 Задняя поверхность пирамиды, *fades posterior partis petrosae*. Рис. А.
- 12 Внутреннее слуховое отверстие, *porus acusticus internus*. Лежит на задней поверхности пирамиды. Рис. А.
- 13 Внутренний слуховой проход, *meatus acusticus internus*. Содержит VII, VIII черепные нервы и сосуды. Рис. А.
- 14 Поддуговая ямка, *fossa subarcuata*. Углубление над внутренним слуховым проходом. Заполнено клочком мозжечка. Рис. А.
- 15 Водопровод преддверия, *aqueductus vestibuli*. Узкий канал в задней стенке пирамиды, сообщающийся с эндолимфатическим пространством внутреннего уха.
- 16 Наружная апертура водопровода преддверия, *apertura externa aqueductus vestibuli*. Рис. А.
- 17 Задний край пирамиды, *margo posterior partis petrosae*. Рис. А, Б.
- 18 Борозда нижнего каменистого синуса, *sulcus sinus petrosi inferioris*. Рис. А.
- 19 Яремная вырезка, *incisura jugularis*. Образует передний край яремного отверстия. Рис. А, Б.

- 20 Внутряремный отросток, *processus intrajugularis*. Разделяет яремное отверстие на два отдела: в заднелатеральном проходит яремная вена, в переднемедиальном — IX, X, XI черепные нервы. Рис. А, Б.
- 21 Каналец улитки, *canaliculus cochleae*. Содержит перилимфатический проток.
- 22 Наружная апертура канальца улитки, *apertura externa canaliculi cochleae*. Расположена спереди и медиально от яремной ямки. Рис. Б.
- 23 Нижняя поверхность пирамиды, *fades inferior partis petrosae*. Рис. Б.
- 24 Яремная ямка, *fossa jugularis*. Лежит возле яремной вырезки. Содержит верхнюю луковицу внутренней яремной вены. Рис. Б.
- 25 Сосцевидный каналец, *canaliculus mastoideus*. Берет начало в яремной ямке. Содержит ушную ветвь блуждающего нерва. Рис. Б.
- 26 Шиловидный отросток, *processus styloideus*. Расположен латерально и впереди яремной ямки. Является производным второй жаберной дуги. Рис. А, Б, Г.
- 27 Шилососцевидное отверстие, *foramen stylomastoideum*. Расположено позади шиловидного отростка между сосцевидным отростком и яремной ямкой. Является наружным отверстием лицевого канала. Рис. Б.
- 28 Барабанный каналец, *canaliculus tympanicus*. Начинается в каменистой ямочке. Содержит барабанный нерв и нижнюю барабанную артерию. Рис. Б.
- 29 Каменистая ямочка, *fossula petrosa*. Расположена на костном гребне между наружным отверстием сонного канала и яремной ямкой. Содержит барабанное утолщение языкоглоточного нерва. Рис. Б.
- 30 Барабанная полость, *cavitas tympanica*. Узкое, содержащее воздух пространство между костным лабиринтом и барабанной перепонкой.
- 31 Каменисто-барабанная [[глазера]] щель, *fissura petrotympanica* [[Glaser]]. Расположена между барабанной частью и костной пластинкой каменистой части височной кости, дорсомедиально от нижнечелюстной ямки. Рис. Б, Г.
- 32 Каменисто-чешуйчатая щель, *fissura petrosquamosa*. Расположена на основании черепа, впереди от каменисто-барабанной щели, между костной пластинкой каменистой части и чешуйчатой частью височной кости. Рис. Б, В.
- 33 Барабанно-чешуйчатая щель, *fissura tympanosquamosa*. Образуется при слиянии выше упомянутых двух щелей. Рис. Б, Г.
- 34 Барабанно-сосцевидная щель, *fissura tympanomastoidea*. Расположена между барабанной частью и сосцевидным отростком. Место выхода ушной ветви блуждающего нерва. Рис. Б, Г.

Рис. А. Внутренняя поверхность правой височной кости

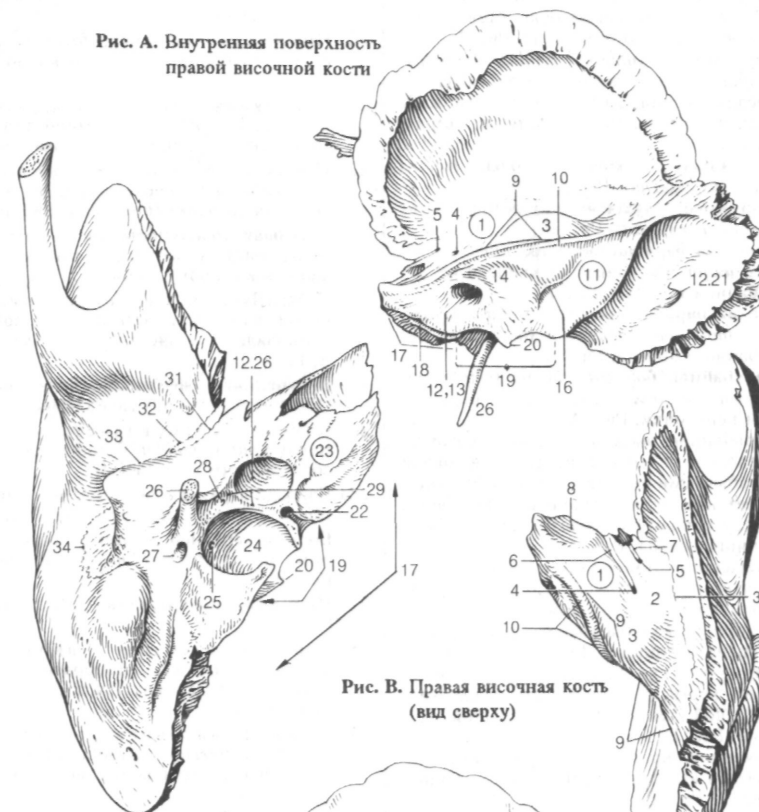


Рис. В. Правая височная кость (вид сверху)

Рис. Б. Правая височная кость (вид снизу)



Рис. Г. Наружная поверхность правой височной кости

- 1 Барабанная часть, *pars tympanica*. Образует переднюю стенку наружного слухового прохода. Рис. Б.
- 2 Барабанное кольцо, *annulus (annulus) tympanicus*. В эмбриогенезе является предшественником барабанной части. К рождению остается незамкнутым сверху. Рис. А.
- 3 Наружный слуховой проход, *meatus acusticus externus*. Рис. Б.
- 4 Наружное слуховое отверстие, *porus acusticus externus*. Рис. Б.
- 5 Большая барабанная ость, *spina tympanica major*. Расположена кпереди от барабанной вырезки. Рис. А.
- 6 Малая барабанная ость, *spina tympanica minor*. Находится у заднего края барабанного кольца. Рис. А.
- 7 Барабанная борозда, *sulcus tympanicus*. Служит местом прикрепления барабанной перепонки. Рис. А.
- 8 Барабанная вырезка, *incisure tympanica*. Расположена между большой и малой барабанными осями. У новорожденных имеет вид щели, расположенной сверху между концами еще незамкнутого барабанного кольца. Рис. А.
- 9 Влагалище шиловидного отростка, *vagina processus styloidei*. Кольцо, образуемое за счет барабанной части, которое не полностью охватывает основание шиловидного отростка. Рис. А.
- 10 Чешуйчатая часть, *pars squamosa*. Часть кости, расположенная между клиновидной, затылочной и затылочной костями. Рис. Б.
- 11 Теменной край, *margo parietalis*. Направлен вверх и соединяется с теменной костью. Рис. Б.
- 12 **Теменная вырезка, *incisura parietalis***. Расположена сзади и снизу от височной линии. Рис. Б.
- 13 Клиновидный край, *margo sphenoidalis*. Направлен вперед. Соединяется с клиновидной костью. Рис. Б.
- 14 Височная поверхность, *fades temporalis*. Наружная поверхность чешуи, большая часть которой покрыта височной мышцей. Рис. Б.
- 15 Борозда средней височной артерии, *sulcus arteriae temporalis mediae*. **Рис. Б.**
- 16 **Скуловой отросток, *processus zygomaticus***. Участвует в формировании скуловой дуги. Рис. Б.
- 17 Надсосцевидный гребень, *crista supramastoidea*. Ограничивает сзади область прикрепления височной мышцы. Рис. Б.
- 18 Надпроходная ямочка *Jove ola suprameatica (suprameatalis)*. Расположена выше надпроходной ости. Является боковой стенкой сосцевидной пещеры. Рис. С.
- 19 (Надпроходная ость, *spina supra-*
- 20 Нижнечелюстная ямка, *fossa mandibularis*. Углубление для головки нижней челюсти. Рис. Б.
- 21 Суставная поверхность, *fades articularis*. Участвует в формировании височно-нижнечелюстного сустава. Рис. Б.
- 22 Суставной бугорок, *tuberculum articulare*. Цилиндрическое возвышение кпереди от нижнечелюстной ямки. Рис. Б.
- 23 Мозговая поверхность, *fades cerebrialis*. Внутренняя поверхность чешуи, обращенная в сторону мозга.
- 24 **ТЕМЕННАЯ КОСТЬ, *os parietale***. Расположена между затылочной, лобной, клиновидной и височной костями. Рис. В, Г.
- 25 Внутренняя поверхность, *fades interna*. Обращена в сторону мозга. Рис. В.
- 26 Борозда сигмовидного синуса, *sulcus sinus sigmoidei*. Расположена возле сосцевидного угла. Рис. В.
- 26а Борозда верхнего сагиттального синуса, *sulcus sinus sagittalis superioris*. Рис. В.
- 26б Борозда средней менингеальной артерии, *sulcus arteriae meningae mediae*. Рис. В.
- 27 Наружная поверхность, *fades externa*. Рис. Г.
- 28 Верхняя височная линия, *Inea temporalis superior*. Дугообразная линия, к которой прикрепляется височная фасция. Рис. Г.
- 29 Нижняя височная линия, *Inea temporalis inferior*. Дугообразная линия, к которой прикрепляется височная мышца. Рис. Г.
- 30 **Теменной бугор, *tuber parietale***. Расположен примерно по середине наружной поверхности. Рис. Г.
- 31 Затылочный край, *margo occipitalis*. Обращен к затылочной кости. Рис. В, Г.
- 32 Чешуйчатый край, *margo squamosus*. Соединяется с височной костью. Рис. В, Г.
- 33 Сагиттальный край, *margo sagittalis*. Обращен вверх к срединной плоскости. Рис. В, Г.
- 34 Лобный край, *margo frontalis*. Направлен вперед к лобной кости. Рис. В, Г.
- 35 Лобный угол, *angulus frontalis*. Передневерхний угол. Рис. В, Г.
- 36 **Затылочный угол, *angulus occipitalis***. Задневерхний угол. Рис. В, Г.
- 37 **Клиновидный угр (*M, angulus sphenoidalis***. Передненижний угол. Рис. В, Г.
- 38 Сосцевидный угол, *angulus mastoideus*. Задненижний угол. Рис. В, Г.
- 39 Теменное отверстие, *foramen parietale*. Расположено у сагиттального края кости, ближе к затылочному углу. Содержит эмиссарную вену. Рис. В, Г

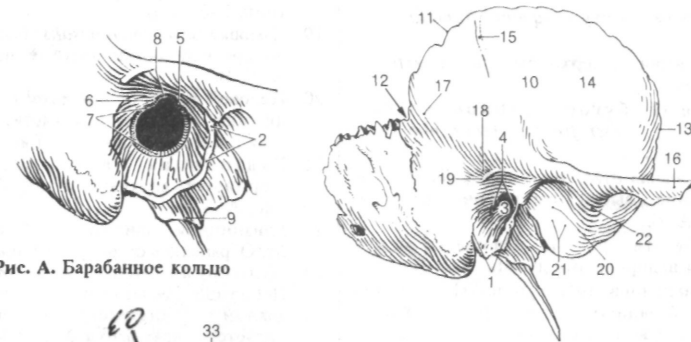


Рис. А. Барабанное кольцо

Рис. Б. Правая височная кость (вид снаружи)

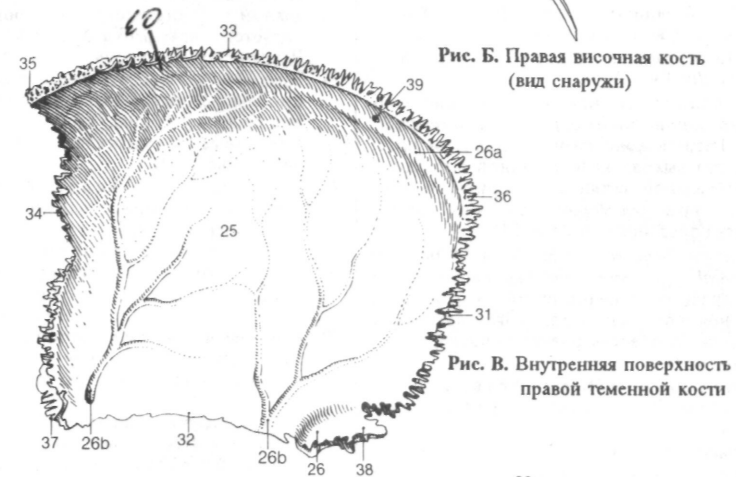


Рис. В. Внутренняя поверхность правой теменной кости

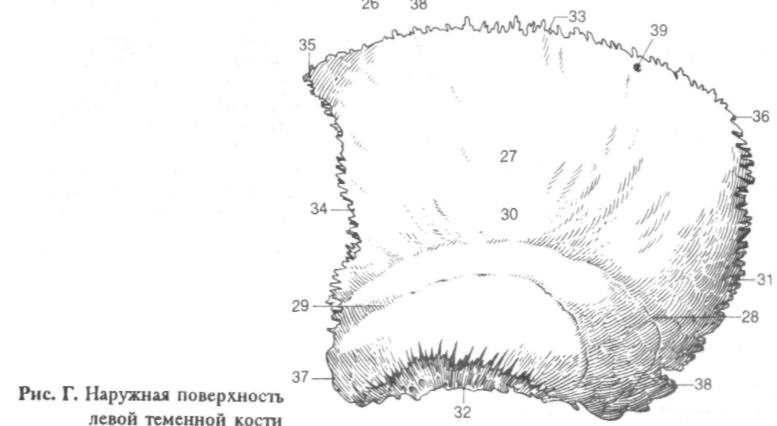


Рис. Г. Наружная поверхность левой теменной кости



- 1 **ЛОБНАЯ КОСТЬ, *os frontale***. Рис. А, Б, В.
- 2 **Лобная чешуя, *squama frontalis***. Рис. А, В.
- 3 **Наружная поверхность, *fades externa***. Рис. А.
- 4 Лобный бугор (лобное возвышение), *tuber frontale (eminentia frontalis)*. Рис. А.
- 5 **Надбровная дуга, *arcus superciliaris***. Возвышение выше надглазничного края. Рис. А, Б.
- 6 Глабелла, *glabella*. Площадка между двумя надбровными дугами. Рис. А.
- ба [Лобный шов, *sutura frontalis*]. У плодов и детей раннего возраста разделяет лобную чешую на две половины.
- 7 **Надглазничный край, *mar go supra-orbital***. Рис. А, Б.
- 8 **Надглазничная вырезка/отверстие, *incisura supraorbitalis /foramen supraorbitalis***. Расположено на надглазничном крае. Место выхода надглазничной артерии и латеральной ветви надглазничного нерва. Точка пальцевого прижатия первой ветви тройничного нерва. Рис. А, Б.
- 9 **Лобная вырезка (отверстие), *incisura frontalis (foramen frontale)***. Расположена медиально от надглазничного отверстия. В ней проходят надблоковая артерия и медиальная ветвь надглазничного нерва. Рис. А, Б.
- 10 **Височная поверхность, *fades temporalis***. Латеральная поверхность. Рис. А, Б.
- 11 **Теменной край, *mar go parietalis***. Обращен назад и соединяется с теменной костью. Рис. А, В.
- 12 **Височная линия, *linea temporalis***. Продолжение височных линий теменной кости. Рис. А.
- 13 **Скуловой отросток, *processus zygomaticus***. Расположен латерально от глазницы и соединяется со скуловой костью. Рис. А, Б, В.
- 14 **Внутренняя поверхность, *fades interna***. Обращена к мозгу. Рис. В.
- 15 **Лобный гребень, *crista frontalis***. Костный выступ по середине внутренней поверхности лобной кости. Место прикрепления серпа мозга. Рис. В.
- 16 **Борозда верхнего сагиттального синуса, *sulcus sinus sagittalis superioris***. Начинается от лобного гребня. Рис. В.
- 17 **Слепое отверстие, *foramen caecum***. Углубление кзади от лобного гребня, на дне которого иногда имеется отверстие для эмиссарной вены. Рис. В.
- 17а **Лобный (метопический) шов, *sutura frontalis (metopica)***. Сохранившийся у взрослых лобный шов. Рис. А.

- 18 **Носовая часть, *pars nasalis***. Расположена между двумя глазничными частями. Рис. А, Б.
- 19 **Носовая ость, *spina nasalis***. Расположена по средней линии носовой части. Рис. А, Б, В.
- 20 **Носовой край, *margo nasalis***. Зубчатый нижний край носовой части. Соединяется с носовыми костями. Рис. А, Б, В.
- 21 **Глазничная часть, *pars orbitalis***. Формирует верхнюю стенку глазницы. Рис. А, Б, В.
- 22 **Глазничная поверхность, *fades orbitalis***. Обращена в сторону глазницы. Рис. Б.
- 23 [Блоковая ость, *spina trochlearis*]. Небольшое возвышение в верхнемедиальном углу глазницы, к которому фиксируется блок верхней косой мышцы. Встречается непостоянно. Рис. А.
- 24 **Блоковая ямка, *fovea trochlearis***. Небольшое углубление для прикрепления хрящевого блока, через который перебрасывается сухожилие *m.obliquus superior*. Рис. А, Б.
- 25 **Решетчатые отверстия, *foramina ethmoidalia***. Содержат одноименные сосуды и нервы. Рис. Б.
- 26 **Ямка слезной железы, *fossa glandulae lacrimalis***. Углубление, расположенное в латеральном углу глазницы. Содержит слезную железу. Рис. Б.
- 27 **Решетчатая вырезка, *incisura ethmoidalis***. Расположена между глазничными частями. Заполнена решетчатой костью. Рис. Б.
- 28 **Лобная пазуха, *sinus frontalis***. Прилежит к верхней стенке глазницы. Ее средние параметры: высота - 3, ширина - 2,5, передне-задний размер - 1,8 см. Сообщается через решетчатую воронку со средним носовым ходом. Рис. А.
- 29 **Апертура лобной пазухи, *apertura sinus frontalis***. Расположена на нижней стенке пазухи, ближе к средней линии. Рис. Б, В.
- 30 **Перегородка лобных пазух, *septum intersinuale frontale***. Стенка между правой и левой пазухами. Рис. А.

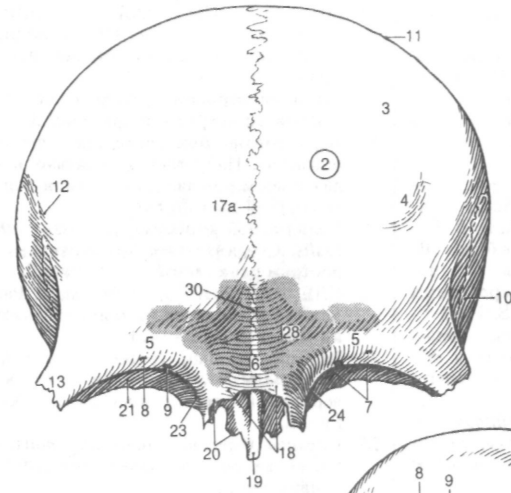


Рис. А. Лобная кость (вид спереди)

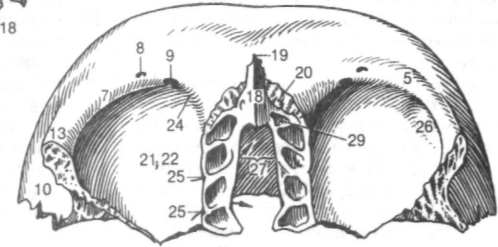


Рис. Б. Лобная кость (вид снизу)

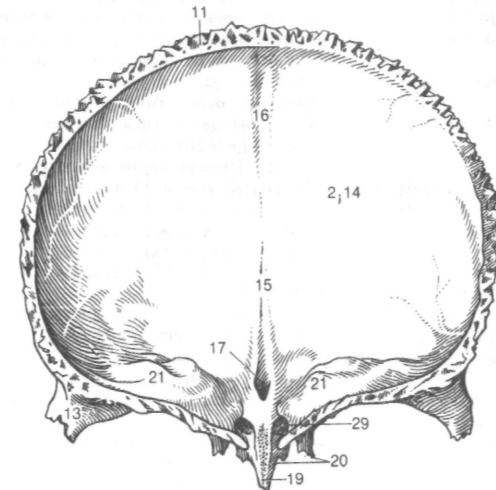


Рис. В. Лобная кость (вид сзади)

- 1 РЕШЕТЧАТАЯ КОСТЬ, *os ethmoidal*. Непарная кость, которая заходит в одноименную вырезку лобной кости. Рис. А, Б, В, Г.
- 2 Решетчатые пластинка и отверстия, *lamina et foramina cribrosa*. Пластинка расположена горизонтально и отделяет носовую полость от передней черепной ямки. Решетчатые отверстия содержат обонятельные нервы. Рис. Б.
- 3 Петушинный гребень, *crista galli*. Направлен в полость черепа. Место прикрепления серпа мозга. Рис. А, Б, В, Г.
- 4 Крыло петушиного гребня, *ala cristae galli*. Парные отростки, при помощи которых *crista galli* прикрепляется к лобному гребню. Рис. А, Б, В, Г.
- 5 Перпендикулярная пластинка, *lamina perpendicularis*. Направлена вниз и образует верхнюю часть носовой перегородки. Рис. А, Б, В.
- 6 Решетчатый лабиринт, *labyrinthus ethmoidalis*. Воздухоносные ячейки, расположенные между глазницей и полостью носа.
- 7 Решетчатые ячейки, *cellulae ethmoidales*. Рис. А, В.
- 8 Решетчатая воронка, *infundibulum ethmoidale*. Узкий ход между крючковидным отростком и большим решетчатым пузырьком под средней носовой раковиной. В него открываются лобная и верхнечелюстная пазухи, передние ячейки решетчатой кости. Рис. А, В.
- 9 Полулунная расщелина, *hiatus semilunaris*. Отверстие, через которое решетчатая воронка сообщается с носовой полостью. Рис. В.
- 10 Большой решетчатый пузырек, *bulla ethmoidalis*. Воздухоносная ячейка лабиринта, которая выступает в сторону решетчатой воронки и суживает просвет ее переднего отдела. Рис. А.
- 11 Глазничная пластинка [[бумажная]], *lamina orbitalis* [[*lamina papyracea*]]. Очень тонкая костная пластинка, формирующая часть медиальной стенки глазницы. Рис. В.
- 12 Решетчатые отверстия, *foramina ethmoidalia*. Расположены по краю кости, которым она соединяется с *os frontale*. Содержит решетчатые сосуды и нервы. Рис. В.
- 13 [Наивысшая носовая раковина, *concha nasalis suprema*]. Тонкая костная пластинка. Присутствует непостоянно. Рис. Г.
- 14 Верхняя носовая раковина, *concha nasalis superior*. Рис. А, Г.
- 15 Средняя носовая раковина, *concha nasalis media*. Рис. А, В, Г.
- 16 Крючковидный отросток, *processus uncinatus*. Направлен назад и вниз. Почти полностью прикрыт средней носовой

раковиной и частично закрывает полулунную расщелину. Рис. А, В.

- 17 НИЖНЯЯ НОСОВАЯ РАКОВИНА, *concha nasalis inferior*. Самостоятельная кость на латеральной стенке носовой полости. Рис. Д.

- 18 Слезный отросток, *processus lacrimalis*. Направлен вперед и вверх. Рис. Д.

- 19 Верхнечелюстной отросток, *processus maxillaris*. Направлен латерально и входит в состав медиальной стенки верхнечелюстной пазухи. Рис. Д.

- 20 Решетчатый отросток, *processus ethmoidalis*. Соединяется с крючковидным отростком решетчатой кости. Рис. Д.

- 21 СЛЕЗНАЯ КОСТЬ, *os lacrimale*. Расположена спереди от глазничной пластинки решетчатой кости. Рис. Е.

- 22 Задний слезный гребень, *crista lacrimalis posterior*. Ограничивает сзади отверстие, ведущее в носослезный канал. Рис. Е.

- 23 Слезная борозда, *sulcus lacrimalis*. Похожее на борозду начало носослезного канала. Рис. Е.

- 24 Слезный крючок, *hamulus lacrimalis*. Дополняет верхнее отверстие носослезного канала. Рис. Е.

- 25 Ямка слезного мешка, *fossa sacci lacrimalis*. Широкое углубление у места начала носослезного канала. Рис. Е.

- 26 НОСОВАЯ КОСТЬ, *os nasale*. Соединяется сверху с лобной костью, латерально - с лобным отростком *maxilla*. Рис. Е.

- 27 Решетчатая борозда, *sulcus ethmoidalis*. Расположена на внутренней поверхности носовой кости. Содержит наружную носовую ветвь переднего решетчатого нерва. Рис. Е.

- 27а Носовые отверстия, *foramina nasalalia*. Место выхода ветвей наружного носового, переднего решетчатого нервов и сосудов. Присутствуют непостоянно.

- 28 СОШНИК, *vomer*. Непарная кость, формирующая часть носовой перегородки. Расположена между клиновидной, небной костями, верхней челюстью и перпендикулярной пластинкой решетчатой кости. Рис. Ж.

- 29 Крыло сошника, *ala vomeris*. Отросток сошника для сочленения с клиновидной и небной костями. Рис. Ж.

- 30 Борозда сошника, *sulcus vomeris*. Имеет косой ход. Содержит носонебный нерв и сосуды. Рис. Ж.

- 30а Хоаннын гребень сошника, *crista choanalis vomeris*. Задний край сошника, разделяющий хоаны. Рис. Ж.

- 30б Клиновидная часть сошника, *pars cuneiformis vomeris*. Рис. Ж.

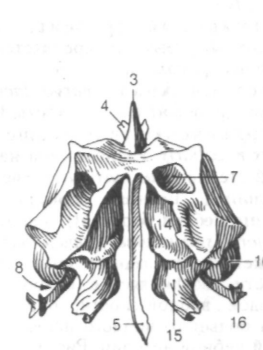


Рис. А. Решетчатая кость (вид снизу)

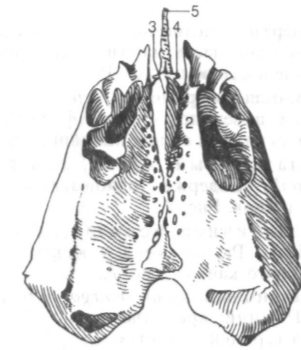


Рис. Б. Решетчатая кость (вид сверху)

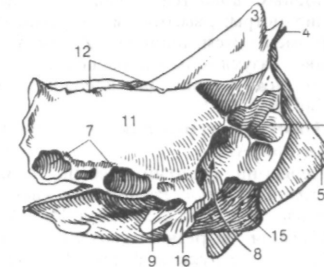


Рис. В. Решетчатая кость (вид справа)

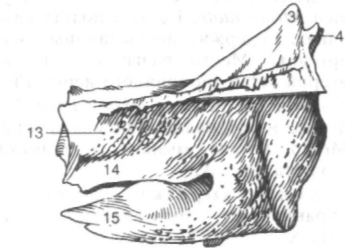


Рис. Г. Медиальная поверхность левой половины решетчатой кости (перпендикулярная пластинка удалена)



Рис. Е. Слезная и носовая кости

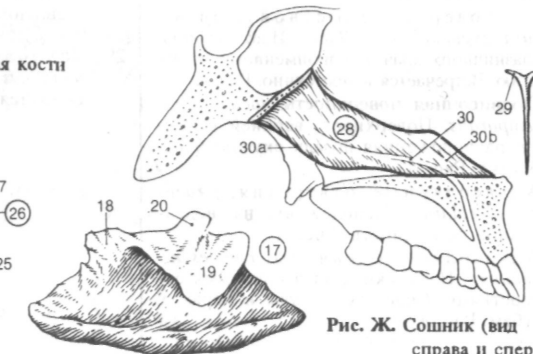


Рис. Ж. Сошник (вид справа и спереди)

Рис. Д. Левая нижняя носовая раковина (вид с латеральной стороны)

- 1 КОСТИ ЛИЦА, *ossa faciei*.
- 2 ВЕРХНЯЯ ЧЕЛЮСТЬ, *maxilla*. Рис. А, Б.
- 3 Тело верхней челюсти, *corpus maxillae*. Центральная часть кости, содержащая верхнечелюстную пазуху. Рис. А.
- 4 Глазничная поверхность, *fades orbitalis*. Верхняя поверхность тела, формирующая часть нижней стенки глазницы. Рис. А.
- 5 Подглазничный канал, *canalis infraorbitalis*. Содержит одноименные артерию и нерв. Рис. А.
- 6 Подглазничная борозда, *sulcus infraorbitalis*. Расположена у начала подглазничного канала. Рис. А.
- 7 Подглазничный край, *margo infraorbitalis*. Нижний край глазницы, образующий верхнюю челюстью. Рис. А.
- 8 Передняя поверхность, *fades anterior*. Рис. А.
- 9 Подглазничное отверстие, *foramen infraorbitalis*. Ведет в подглазничный канал. Содержит подглазничные нерв и артерию. Место пальцевого прижатия второй ветви тройничного нерва. Рис. А.
- 10 Клыковая ямка, *ossa canina*. Углубление, ниже подглазничного отверстия. Место начала мышцы, поднимающей угол рта. Рис. А.
- 11 Носовая вырезка, *incisura nasalis*. Ограничивает грушевидную апертуру. Рис. А.
- 12 Передняя носовая ость, *spina nasalis anterior*. Острый выступ, в который переходит носовая вырезка. Место прикрепления хрящевой части перегородки носа. Рис. А, Б.
- 13 Скуловерхнечелюстной шов, *sutura zygomaticomaxillaris*. Идет от подглазничного края к одноименному отверстию. Встречается непостоянно. Рис. А.
- 14 Подвисочная поверхность, *fades infratemporalis*. Поверхность верхней челюсти, расположенная позади скулового отростка. Рис. А.
- 15 Альвеолярные отверстия, *foramina alveolaria*. Расположены на подвисочной поверхности. Рис. А.
- 16 Альвеолярные каналы, *canales alveolares*. Начинаются альвеолярными отверстиями. Содержат сосуды и нервы к зубам. Рис. А.
- 17 Бугор верхней челюсти (верхнечелюстное возвышение), *tuber maxillare (eminentia maxillaris)*. Тонкостенное возвышение, являющееся задней стенкой верхнечелюстной пазухи. Рис. А.
- 18 Носовая поверхность, *fades nasalis*. Медиальная поверхность верхней челюсти, формирующая часть латеральной стенки носовой полости. Рис. Б.
- 19 Слезная борозда, *sulcus lacrimalis*. В ней проходит носослезный проток. Рис. Б.
- 20 Раковинный гребень, *crista conchalis*. К нему прикрепляется нижняя носовая раковина. Рис. Б.
- 21 Слезный край, *margo lacrimalis*. К нему прилежит слезная кость. Рис. А, Б.
- 22 Верхнечелюстная расщелина, *Matus maxillaris*. Расположена на медиальной стенке *sinus maxillaris*. Рис. Б.
- 23 Большая небная борозда [[крыловидно-небная борозда]], *sulcus palatinus major [[sulcus pterygopalatinus]]*. Расположена вдоль заднего края верхней челюсти. Соединяясь с одноименной бороздой небной кости, образует канал для большого небного нерва и нисходящей небной артерии. Рис. Б.
- 24 Верхнечелюстная пазуха, *sinus maxillaris*. Одна из околоносовых воздухоносных полостей черепа. Ее средние параметры: высота и передне-задний размер - 3 см, ширина - 2,5 см. Основание пазухи обычно расположено на 1 см ниже уровня дна носовой полости. Рис. Б.
- 25 Лобный отросток, *processus frontalis*. Рис. А, Б.
- 26 Передний слезный гребень, *crista lacrimalis anterior*. Расположен спереди от входа в носослезный канал. Рис. А.
- 27 Слезная вырезка, *incisura lacrimalis*. Имеет полукруглую форму. Расположена у входа в носослезный канал. Рис. Б.
- 28 Решетчатый гребень, *crista ethmoidalis*. Расположен на медиальной поверхности лобного отростка. Служит местом прикрепления средней носовой раковины. Рис. Б.
- 29 Скуловой отросток, *processus zygomaticus*. Направлен латерально и сочленяется со скуловой костью. Рис. А.

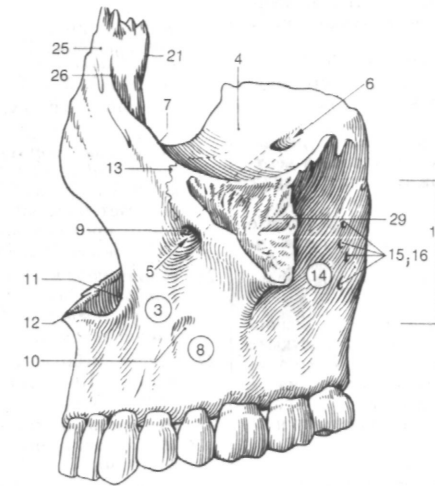


Рис. А. Левая верхняя челюсть  
(вид с латеральной стороны)

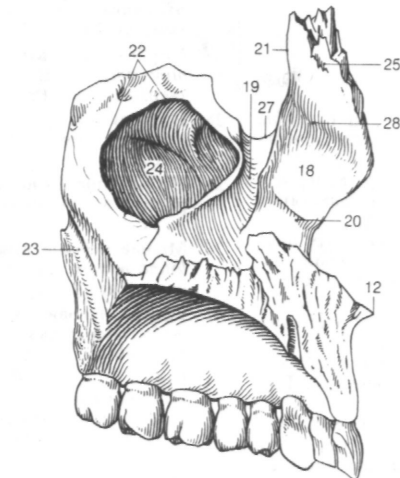


Рис. Б. Левая верхняя челюсть  
(вид с медиальной стороны)

- 1 Небный отросток, *processus palatinus*. Горизонтальная пластинка, формирующая большую часть твердого неба. Рис. А, Б.
- 2 Носовой гребень, *crista nasalis*. Расположен по средней линии. Место прикрепления перегородки носа. Рис. Б.
- 3 [Резцовая кость, *os incisivum*]. В эмбриогенезе - отдельная кость (*premaxilla*). У взрослого входит в состав верхней челюсти. Содержит корни резцов. Рис. А.
- 4 Резцовый канал, *canalis incisivus*. Со стороны носовой полости имеет два отверстия, со стороны ротовой - одно. Содержит большую небную артерию и носонебный нерв. Рис. А, Б.
- 5 [Резцовый шов, *sutura incisiva*]. Располагается между небными отростками верхней челюсти и резцовой костью. Проходит от резцового отверстия к промежутку между клыком и латеральным резцом. Хорошо различается у плодов и детей раннего возраста. Рис. А.
- 6 Небные ости, *spinae palatinae*. Костные гребни вдоль небных борозд. Рис. А.
- 7 Небные борозды, *sulci palatini*. Располагаются на небной поверхности *processus palatinus* и направляются сзади наперед. Содержат сосуды и нервы, выходящие из большого небного отверстия. Рис. А.
- 8 Альвеолярный отросток, *processus alveolans*. Имеет форму гребня, на котором располагаются ячейки для корней зубов. Рис. А.
- 9 Альвеолярная дуга, *arcus alveolaris*. Дугообразный свободный край альвеолярного отростка. Рис. А.
- 10 Зубные альвеолы, *alveoli dentales*. Ячейки для корней зубов. Рис. А.
- 11 Межалвеолярные перегородки, *septa interalveolaria*. Костные пластинки между альвеолами. Рис. А.
- 12 Межкорневые перегородки, *septa interradicularia*. Костные пластинки между корнями зубов. Рис. А.
- 13 Альвеолярные возвышения, *juga alveolaria*. Возвышения на наружной поверхности верхней челюсти, соответствующие зубным альвеолам. Рис. А, Б.
- 14 Резцовое отверстие, *foramen incisivum*. Ведет в резцовый канал. Рис. А.
- 15 НЕБНАЯ КОСТЬ, *os palatinum*. Располагается сзади от верхней челюсти. Рис. А, Б, Г, Д.
- 16 Перпендикулярная пластинка, *lamina perpendicularis*. Образует часть медиальной стенки верхнечелюстной пазухи. Рис. Б, В, Г, Д.
- 17 Носовая поверхность, *facies nasalis*. Поверхность перпендикулярной пластинки, обращенная в носовую полость. Рис. Д.
- 18 Верхнечелюстная поверхность, *facies maxillaris*. Латеральная поверхность перпендикулярной пластинки, прилежащая с одной стороны к крыловидно-небной

- ямке, с другой - к верхнечелюстной пазухе. Рис. Г.
- 19 Клиновидно-небная вырезка, *incisura sphenopalatina*. Расположена у верхнего края перпендикулярной пластинки и участвует в образовании клиновидно-небного отверстия. Рис. Г, Д.
- 20 Большая небная борозда, (крыловидно-небная борозда), *sulcus palatinus major (sulcus pterygopalatine)*. С одной стороны бороздой на верхней челюсти образует большой небный канал, в котором проходят *n. palatinus major* и *a. palatina descendens*. Рис. Г, Д.
- 21 Пирамидальный отросток, *processus pyramidalis*. Заходит в крыловидную вырезку (шел) одноименного отростка клиновидной кости. Рис. А, В, Г, Д.
- 22 Малые небные каналы, *canales palatini minores*. Проходят в пирамидальном отростке. Содержат артерии и нервы. Рис. А.
- 23 Раковинный гребень, *crista conchalis*. Место прикрепления нижней носовой раковины. Рис. Г, Д.
- 24 Решетчатый гребень, *crista ethmoidalis*. Место прикрепления средней носовой раковины. Рис. Г, Д.
- 25 Глазничный отросток, *processus orbitalis*. Расположен между верхней челюстью, решетчатой и клиновидной костями. Направлен вперед и вверх. Рис. Г, Д.
- 26 Клиновидный отросток, *processus sphenoidalis*. Направлен назад и вверх. Ограничивает сзади клиновидно-небную вырезку. Рис. Г, Д.
- 27 Горизонтальная пластинка, *lamina horizontalis*. Образует заднюю часть твердого неба. Рис. А, Б, Г, Д.
- 28 Носовая поверхность, *facies nasalis*. Обращена в сторону носовой полости. Рис. А, Б, Г, Д.
- 29 Небная поверхность/ост. *palatina*. Обращена в сторону ротовой полости. Рис. А, Г.
- 30 Малые небные отверстия, *foramina palatina minora*. Ведут в малые небные каналы. Рис. А.
- 31 Задняя носовая ость, *spina nasalis posterior*. Вершуща носового гребня, направленная назад и медиально. Рис. А, Б, Д.
- 32 Носовой гребень, *crista nasalis*. Срединный костный гребень в месте соединения двух горизонтальных пластинок. Рис. Б, Г, Д.
- 33 Небный гребень, *crista palatina*. Обычно располагается на нижней поверхности горизонтальной пластинки, позади ее переднего края. Рис. А.

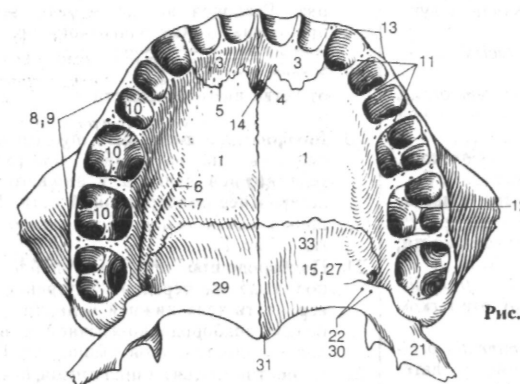


Рис. А. Твердое небо (вид снизу)

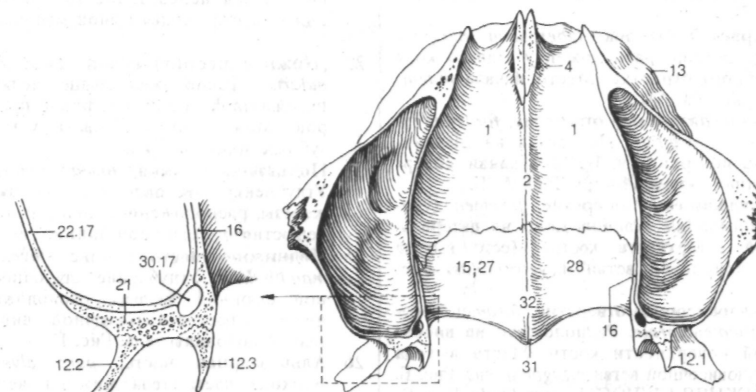


Рис. Б. Твердое небо и вскрытая верхнечелюстная пазуха (вид сверху)

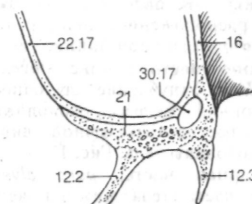


Рис. В. Фрагмент рис. Б (схема)



Рис. Г. Правая небная кость (вид с латеральной стороны и сзади)



Рис. Д. Правая небная кость (вид с медиальной стороны)

- 1 СКУЛОВАЯ КОСТЬ, *os zygomaticum*. Образует большую часть латеральной стенки глазницы и часть скуловой дуги. Рис. А, Б.
- 2 Латеральная поверхность, *fades lateralis*. Рис. А.
- 3 Височная поверхность, *fades temporalis*. Формирует большую часть передней стенки височной ямки. Рис. Б.
- 4 Глазничная поверхность, *fades orbitalis*. Обращена в полость глазницы. Рис. А, Б.
- 5 Височный отросток, *processus temporalis*. Направлен назад и, соединяясь со скуловым отростком височной кости, образует скуловую дугу. Рис. А, Б.
- 6 Лобный отросток, *processus frontalis*. Соединяется с одноименным отростком лобной кости. Рис. А, Б.
- 6а Глазничное возвышение, *eminentia orbitalis*. Небольшое возвышение у латерального края глазницы. Место прикрепления латеральной связки века. Рис. А, Б.
- 7 [Краевой бугорок, *tuberculum marginale*]. Обычно расположен у заднего края лобного отростка. Место начала *temporalis*. Рис. А, Б.
- 8 Скулоглазничное отверстие, *foramen zygomaticoorbitale*. Находится на глазничной поверхности. Ведет в канал, содержащий скуловый нерв. Рис. А, Б.
- 9 Скулолицевое отверстие, *foramen zygomaticofaciale*. Расположено на латеральной поверхности кости. Место выхода скулолицевой ветви *n. zygomaticus*. Рис. А.
- 10 Скуловисочное отверстие, *foramen zygomaticotemporal*. Расположено на височной поверхности кости. Место выхода скуловисочной ветви *n. zygomaticus*. Рис. Б.
- 11 НИЖНЯЯ ЧЕЛЮСТЬ, *mandibula*. Рис. В, Г, Д.
- 12 Тело нижней челюсти, *corpus mandibulae*. Горизонтальная часть кости, от которой начинаются ее ветви. Рис. В.
- 13 Основание нижней челюсти, *basis mandibulae*. Нижняя часть тела. Рис. В.
- 14 Подбородочный симфиз, *symphysis mandibulae (mentalis)*. Участок соединительной ткани, расположенный между правой и левой половинами нижней челюсти. Окостеневает на первом году жизни.
- 15 Подбородочный выступ, *protuberantia mentalis*. Расположен на середине передней поверхности тела нижней челюсти. Рис. В.
- 16 Подбородочный бугорок, *tuberculum mentale*. Парное возвышение, расположенное по обе стороны от подбородочного выступа. Рис. В.
- 17 Гнатион, *gnathion*. Середина нижнего края тела нижней челюсти. Используется при цефалометрии. Рис. В, Г.

- 18 Подбородочное отверстие, *foramen mentale*. Место выхода подбородочного нерва. Расположено на уровне второго премоляра. Точка пальцевого прижатия третьей ветви тройничного нерва. Рис. В.
- 19 Косая линия, *linea obliqua*. Начинается от ветви нижней челюсти и проходит по наружной поверхности тела. Рис. В.
- 20 Двубрюшная ямка, *fossa digastrica*. Расположена на внутренней поверхности тела нижней челюсти у нижнего края, латеральнее подбородочной ости. Место прикрепления *m. digastricus (venter anterior)*. Рис. Г.
- 21 Подбородочная ость, *spina mentalis*. Расположена на середине внутренней поверхности тела нижней челюсти. Место начала подбородочно-язычной и подбородочно-подъязычной мышц. Рис. Г.
- 22 Челюстно-подъязычная линия, *linea mylohyoidea*. Проходит диагонально сверху вниз, сзади наперед. Место прикрепления челюстно-подъязычной мышцы. Рис. Г.
- 23 [Нижнечелюстной валик, *torus mandibularis*]. Расположен выше челюстно-подъязычной линии, на уровне премоляров. Может препятствовать установке зубных протезов. Рис. Г.
- 24 Подъязычная ямка, *fovea sublingualis*. Углубление для одноименной слюнной железы, расположенное спереди и выше челюстно-подъязычной линии. Рис. Г.
- 25 Поднижнечелюстная ямка, *fovea submandibularis*. Углубление для одноименной слюнной железы, расположенное ниже челюстно-подъязычной линии у задней половины тела. Рис. Г.
- 26 Альвеолярная часть, *pars alveolaris*. Верхняя часть тела нижней челюсти. Содержит зубные альвеолы. Рис. В.
- 27 Альвеолярная дуга, *arcus alveolaris*. Дугообразный свободный край альвеолярной части. Рис. Д.
- 28 Зубные альвеолы, *alveoli dentales*. Ячейки для корней зубов. Рис. Д.
- 29 Межалвеолярные перегородки, *septa interalveolaria*. Костные пластинки между зубными альвеолами. Рис. В, Д.
- 30 Межкорневые перегородки, *septa interradicularia*. Костные пластинки между корнями зубов. Рис. Д.
- 31 Альвеолярные возвышения, *juga alveolaria*. Возвышения на наружной поверхности нижней челюсти, соответствующие зубным альвеолам. Рис. В, Д.

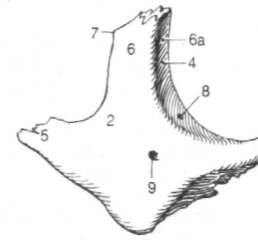


Рис. А. Скуловая кость  
(вид с латеральной стороны)

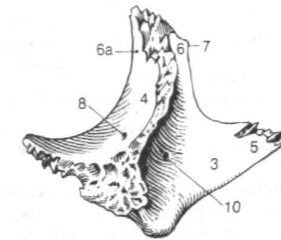


Рис. Б. Скуловая кость  
(вид с медиальной стороны)

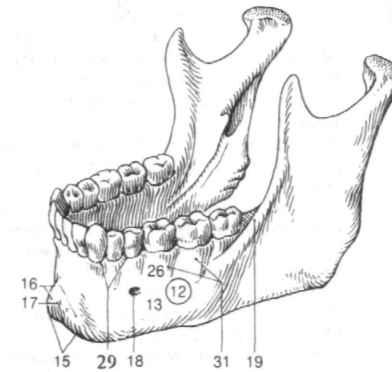


Рис. В. Нижняя челюсть

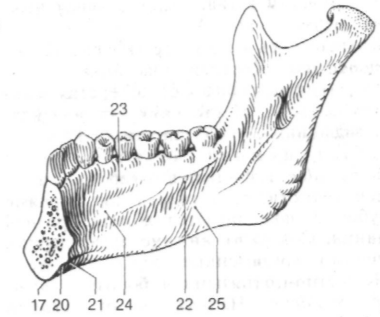


Рис. Г. Нижняя челюсть  
(вид с медиальной стороны)

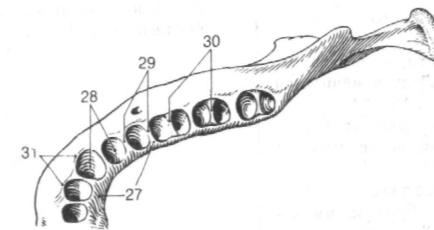


Рис. Д. Нижняя челюсть (вид сверху)

- 1 **Ветвь нижней челюсти, ramus mandibulae.** Задняя часть нижней челюсти. Направлена вверх. Рис. А.
- 2 **Угол нижней челюсти, angulus mandibulae.** Расположен между телом и ветвью нижней челюсти. Почти прямой у взрослых, тупой (около 140°) у новорожденных и пожилых людей. Рис. А.
- 3 **Гонийон, gonion.** Наиболее выступающая латерально точка угла нижней челюсти. Рис. А.
- 4 **Жевательная бугристость, tuberositas masseterica.** Шероховатость на наружной поверхности угла нижней челюсти. Место прикрепления одноименной мышцы. Рис. А.
- 5 **Крыловидная бугристость, tuberositas pterygoidea.** Шероховатость на внутренней поверхности угла нижней челюсти. Место прикрепления медиальной крыловидной мышцы. Рис. А.
- 6 **Отверстие нижней челюсти, foramen mandibulae.** Расположено на внутренней поверхности ветви. Ведет в канал нижней челюсти. Рис. А.
- 7 **Язычок нижней челюсти, lingula mandibulae.** Костная пластинка, расположенная медиально от отверстия нижней челюсти. Место прикрепления клиновидно-нижнечелюстной связки. Рис. А.
- 8 **Канал нижней челюсти, canalis mandibulae.** Начинается отверстием нижней челюсти, идет вперед под корнями зубов и заканчивается вблизи средней линии. Содержит нижние альвеолярные нервы и одноименные сосуды. Рис. А.
- 9 **Челюстно-подъязычная борозда, sulcus mylohyoideus.** Начинается от foramen mandibulae, направляется вперед и вниз. Содержит челюстно-подъязычный нерв и одноименную ветвь нижней альвеолярной артерии. Рис. А.
- 10 **Венечный отросток, processus coronoides.** Передний отросток ветви нижней челюсти. Место прикрепления височной мышцы. Рис. А.
- 10а **Височный гребень, crista temporalis.** Расположен вдоль переднего края венечного отростка. Рис. А.
- 11 **Вырезка нижней челюсти, incisura mandibulae.** Расположена между венечным и мыщелковым отростками. Рис. А.
- 12 **Мыщелковый отросток, processus condylaris.** Задний отросток ветви нижней челюсти. Рис. А.
- 13 **Головка нижней челюсти, caput mandibulae.** Участвует в образовании височно-нижнечелюстного сустава. Рис. А.
- 14 **Шейка нижней челюсти, collum mandibulae.** Узкая часть мыщелкового отростка, лежащая ниже головки. Рис. А.
- 15 **Крыловидная ямка, fovea pterygoidea.** Углубление на передней поверх-

- ности шейки. Место прикрепления латеральной крыловидной мышцы. Рис. А.
- 16 **ПОДЪЯЗЫЧНАЯ КОСТЬ, os hyoideum.** Рис. Б.
- 17 **Тело подъязычной кости, corpus ossis hyoidea.** Передняя часть кости, расположенная между двумя парами рогов. Рис. Б.
- 18 **Малый рог, cornu minus.** Рис. Б.
- 19 **Большой рог, cornu majus.** Рис. Б.
- 20 **ЧЕРЕП, cranium.** Рис. Г, Д, Е.
- 20а **Полость черепа, cavitas cranii.**
- 21 **Перикраниум (надкостница черепа), pericranium.** Расположена только на наружной поверхности костей свода черепа. Рис. В.
- 22 **Наружная пластинка, lamina externa.** Наружный слой компактного костного вещества. Рис. В.
- 23 **Диплоэ, diploe.** Губчатое вещество, расположенное между наружной и внутренней пластинками. Рис. В.
- 24 **Диплоические каналы, canales diploid.** Широкие венозные каналы. Рис. В.
- 25 **Внутренняя пластинка, lamina interna.** Внутренний слой компактного костного вещества. Рис. В.
- 26 **Борозда верхнего сагиттального синуса, sulcus sinus sagittalis superioris.** Рис. В.
- 27 **Ямки грануляций [[пахионовы]], foveolae granulares [[Pachioni]].** Небольшие ямки, в которые заходят грануляции паутинной оболочки. Рис. В.
- 28 **ВЕРТИКАЛЬНАЯ НОРМА (свод черепа), norma verticalis (calvaria).** Вид черепа сверху. Рис. Е.
- 29 **Брегма, bregma.** Место соединения сагиттального и венечного швов. Рис. Е.
- 30 **Темя, верхушка, vertex.** Центрально расположенная, наивысшая точка свода черепа. Рис. Д.
- 31 **Затылок, occipit.** Рис. Д, Е.
- 32 **ЛИЦЕВАЯ НОРМА, norma facialis.** Вид черепа спереди. Рис. Г.
- 33 **Лоб, геля.** Рис. Г, Д.
- 34 **Назион, nasion.** Точка, расположенная в середине шва между лобной и носовой костями. Рис. Г, Д.

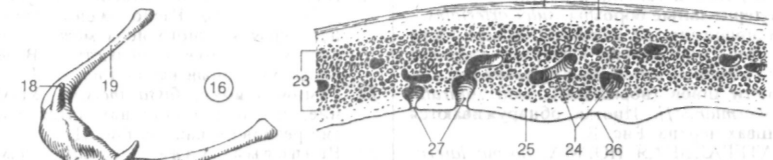
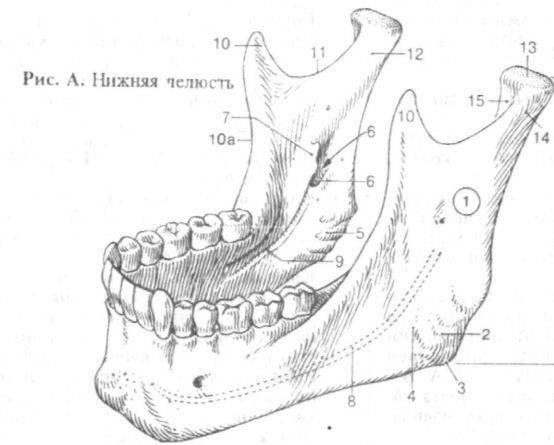


Рис. Б. Подъязычная кость  
(вид сверху и спереди)

Рис. В. Поперечный срез участка крыши черепа

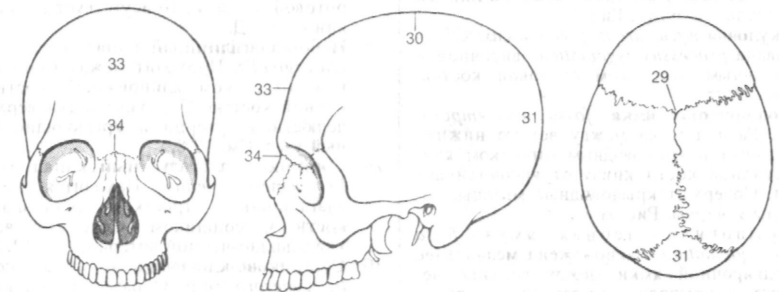


Рис. Г. Лицевая норма

Рис. Д. Латеральная норма

Рис. Е. Вертикальная норма



- 1 Внутреннее основание черепа, *basis cranii interna*. Поверхность черепа, обращенная в сторону его полости. Рис. А.
- 2 Передняя черепная ямка, *fossa cranii [cranialis] anterior*. Расположена между лобной чешуей и малыми крыльями клиновидной кости. Рис. А.
- 3 Средняя черепная ямка, *fossa cranii [cranialis] media*. Простирается от малых крыльев *os sphenoidale* до верхних краев пирамид височных костей. Рис. А.
- 4 Задняя черепная ямка, *fossa cranii [cranialis] posterior*. Расположена между верхними краями пирамид височных и чешуей затылочной кости. Рис. А.
- 5 Скат, *clivus*. Широкий желоб, расположенный между спинкой турецкого седла и большим затылочным отверстием. Образован базиллярной частью затылочной кости и телом *os sphenoidale*. Рис. А, Б.
- 6 Пальцевые вдавления, *impressiones digitatae (gyrorum)*. Соответствуют извилинам полушарий большого мозга. Рис. А.
- 7 Венозные борозды, *sulci venosi*. Непостоянно присутствуют на внутренней поверхности теменной кости.
- 8 Артериальные борозды, *sulci arterioles*. Расположены на мозговой поверхности костей свода черепа. Содержат среднюю оболочечную артерию и ее ветви. Рис. А.
- 9 Кости швов (вормиевы), *ossa suturalia [Wormianae]*. Иногда обнаруживаются в швах черепа. Рис. В.
- 10 ЛАТЕРАЛЬНАЯ НОРМА, *norma lateralis*. Вид черепа сбоку. Рис. В.
- 10а Птерион, *pterion*. Расположен в месте соединения лобной, теменной и клиновидной костей. Рис. В.
- Юб Астерион, *asterion*. Место соединения ламбовидного, теменно-сосцевидного и затылочно-сосцевидного швов. Рис. В.
- 11 Височная ямка, *fossa temporalis*. Расположена между верхней височной линией и скуловой дугой. Рис. В.
- 12 Скуловая дуга, *arcus zygomaticus*. Образована *processus zygomaticus* височной и височным отростком скуловой костей. Рис. В.
- 13 Подвисочная ямка, *fossa infratemporalis*. Расположена между ветвью нижней челюсти и крыловидным отростком клиновидной кости книзу от височной ямки. Содержит крыловидные мышцы, сосуды и нервы. Рис. В.
- 14 Крыловидно-небная ямка, *fossa pterygopalatina*. Расположена медиальнее подвисочной ямки между верхней челюстью, крыловидным отростком клиновидной кости и небной костью. Рис. В.
- 15 Крыловидно-верхнечелюстная щель, *fissura pterygomaxillaris*. Расположена между верхней челюстью и латеральной пластинкой крыловидного отростка. Соединяет подвисочную и крыловидно-небную ямки. Рис. В, Г.
- 16 БАЗИЛЛЯРНАЯ НОРМА (НАРУЖНОЕ

- ОСНОВАНИЕ ЧЕРЕПА), *norma basilaris (basis cranii externa)*. Вид черепа снизу. Рис. Б.
- 17 Большой небный канал, *canalis palatinus major*. Расположен между небной костью и верхней челюстью. Рис. Б, Д. См. стр. 25, рис. В.
- 18 Яремное отверстие, *foramen jugulare*. Расположено между затылочной и височной костями. Содержит внутреннюю яремную вену, IX, X, XI черепные нервы. Рис. А, Б.
- 19 Клиновидно-каменистая щель, *fissura sphenopetrosa*. Продолжение\* в медиальном направлении каменисто-чешуйчатой щели. Рис. А, Б.
- 20 Каменисто-затылочная щель, *fissura petrooccipitalis*. Расположена между пирамидой височной кости и *os occipitale*. Распространяется от яремного отверстия в медиальном направлении. Рис. А, Б.
- 21 Рваное отверстие, *foramen lacerum*. Расположено между вершущей пирамиды височной кости и *os sphenoidale*. Является продолжением клиновидно-каменистой щели. Рис. А, Б.
- 22 Костное небо, *palatum osseum*. Рис. Б, Д.
- 23 Большое небное отверстие, *foramen palatinum majus*. Расположено возле заднего края костного неба между небной костью и верхней челюстью. Ведет в большой небный канал. Рис. Б, Д.
- 24 Резцовая ямка, *fossa incisiva*. Углубление, на дне которого находится отверстие резцового канала. Рис. Д.
- 25 Резцовый канал, *canalis incisivus*. Содержит ветвь носонебного нерва. Рис. Д.
- Д. Резцовые отверстия, *foramina incisiva*. Одно или несколько отверстий, ведущие в резцовый канал (каналы). Рис. Д.
- 27 [Небный валик, *torus palatinus*]. Продольно ориентированное возвышение по средней линии, обращенное в сторону ротовой полости. Присутствует непостоянно. Рис. Д.
- 28 Небно-влагалищный канал, *canalis palatovaginalis*. Проходит между влагалищным отростком клиновидной кости и небной костью. Содержит ветви верхнечелюстной артерии и крыловидно-небный узел. См. 12.8.
- 29 Сошничково-влагалищный канал, *canalis vomerovaginalis*. Находится между влагалищным отростком клиновидной кости и сошником. Содержит ветвь клиновидно-небной артерии. См. 12.9.
- 30 Сошничково-клювовидный канал, *canalis vomerorostalis*. Образован сошником и клиновидным клювом.

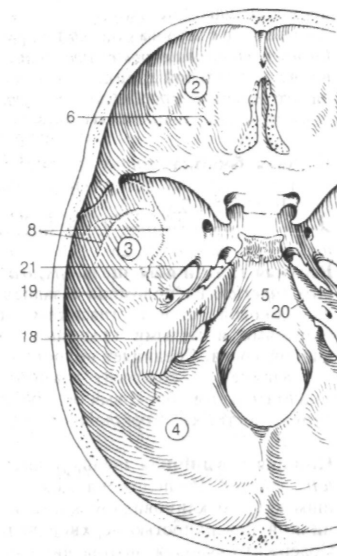


Рис. А. Внутреннее основание черепа

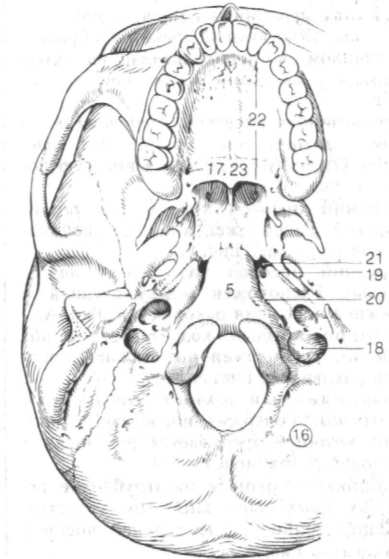


Рис. Б. Наружное основание черепа

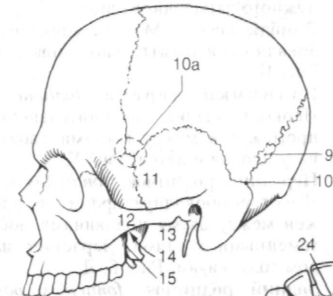


Рис. В. Череп (вид слева)

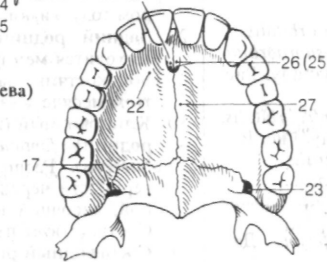


Рис. Д. Твердое небо (вид снизу)

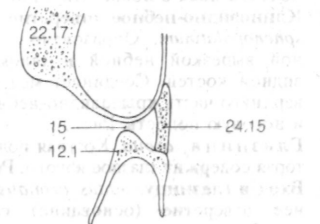


Рис. Г. Горизонтальный распил черепа на уровне крыловидно-небной ямки (схема)

- 1 **Полость носа, *cavitas nasi***. Рис. А, В.
- 2 **Костная перегородка носа, *septum nasi osseum***. Образована, главным образом, сошником и перпендикулярной пластинкой решетчатой кости. Рис. В. См. 136.4.
- 3 **Грушевидная апертура, (передняя носовая), *apertura piriformis (nasalis anterior)***. Отверстие, ведущее в носовую полость. Рис. А, В, Г.
- 4 **Верхний носовой ход, *meatus nasalis superior***. Расположен выше средней носовой раковины. Рис. А.
- 5 **Средний носовой ход, *meatus nasalis medius***. Расположен между средней и нижней носовыми раковинами. Рис. А.
- 6 **Нижний носовой ход, *meatus nasalis inferior***. Расположен под нижней носовой раковинной. Рис. А.
- 7 **Носослезный канал, *canalis nasolacrimalis***. Содержит носослезный проток, который открывается под нижней носовой раковинной. Рис. В.
- 8 **Клиновидно-решетчатое углубление, *recessus sphenothmoidalis***. Пространство, расположенное выше верхней носовой раковины. Рис. А.
- 9 **Носоглоточный ход, *meatus nasopharyngeus***. Задняя часть носовой полости, расположенная между задним краем носовых раковин и хоанами. Рис. А.
- 10 **Хоаны, *choanae***. Отверстия, ведущие из полости носа в носоглотку. Рис. А.
- 11 **Клиновидно-небное отверстие, *foramen sphenopalatinum***. Образовано одноименной вырезкой небной и телом клиновидной костей. Соединяет между собой верхнюю часть крыловидно-небной ямки и носовую полость. Рис. А.
- 12 **Глазница, *orbita***. Костная полость, которая содержит глазное яблоко. Рис. В, Г.
- 13 **Вход в глазницу, *aditus orbitalis***. Переднее отверстие (основание) глазницы. Рис. Г.
- 14 **Глазничный край, *marginus orbitalis***.
- 15 **Надглазничный край, *marginus supraorbitalis***. Верхний край входа в глазницу. Рис. В.
- 16 **Подглазничный край, *marginus infraorbitalis***. Нижний край входа в глазницу. Рис. В.
- 16а **Латеральный край, *marginus lateralis***.
- 16б **Медиальный край, *marginus medialis***.
- 17 **Верхняя стенка, *paries superior***. Крыша глазницы. Рис. В.
- 18 **Нижняя стенка, *paries inferior***. Дно глазницы. Рис. В.
- 19 **Латеральная стенка, *paries lateralis***. Рис. В.
- 20 **Медиальная стенка, *paries medialis***. Рис. В.
- 21 **Переднее решетчатое отверстие, *foramen ethmoidale anterius***. Расположено на медиальной стенке глазницы между

лобной и решетчатой костями. Через него проходят передние решетчатые нерв и сосуды. Рис. В.

22 **Заднее решетчатое отверстие, *foramen ethmoidale posterius***. Расположено на медиальной стенке глазницы кзади от *foramen ethmoidale anterius*. Содержит задние решетчатые нерв и сосуды. Рис. В.

22а **Слезная борозда, *sulcus lacrimalis***. Находится у начала носослезного канала. Рис. В. См. 20. 23

22б **Ямка слезного мешка, *fossa saci lacrimalis***. Рис. В. См. 20. 25

23 **Верхняя глазничная щель, *fissura orbitalis superior***. Расположена в задней части боковой стенки глазницы между большими и малыми крыльями клиновидной кости. Соединяет полость черепа с глазницей и содержит глазной, глазодвигательный, блоковый и отводящий нервы, а также *v. ophthalmica superior*. Рис. В.

24 **Нижняя глазничная щель, *fissura orbitalis inferior***. Расположена в задней части боковой стенки глазницы между большим крылом клиновидной кости и глазничной поверхностью верхней челюсти. Содержит скуловую, подглазничную нервы и сосуды. Рис. В.

25 **ЗАТЫЛОЧНАЯ НОРМА, *norma occipitalis***. Вид черепа сзади. Рис. Б.

25а **Инион, *Shon***. Соответствует центру наружного затылочного выступа.

26 **Ламбда, *lambda***. Место соединения лямбдовидного и сагиттального швов черепа. Рис. Б.

27 **Роднички черепа, *fonticuli cranii***. Неокостевевшие соединительнотканые промежутки между костями свода черепа у плодов и детей. Рис. Г, Д.

28 **Передний родничок, *fonticulus anterior***. Имеет ромбовидную форму и расположен между двумя половинами лобной и теменными костями. Зарастает на втором году жизни. Рис. Г, Д.

29 **Задний родничок, *fonticulus posterior***. Находится между теменными и затылочной костями. Зарастает у детей на третьем месяце жизни. Рис. Г, Д.

30 **Клиновидный (переднелатеральный) родничок/олпсм/гм *sphenoidalis (anterolateralis)***. Расположен на боковой поверхности черепа между лобной, теменной, височной и клиновидной костями. Соответствует птериону. Рис. Г.

31 **Сосцевидный родничок (заднелатеральный), *fonticulus mastoideus (posterolateralis)***. Находится между теменной, затылочной и височной костями. Соответствует астриону. Рис. Г.

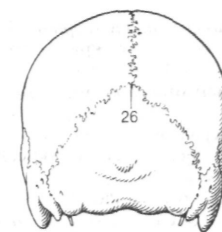


Рис. Б. Затылочная норма

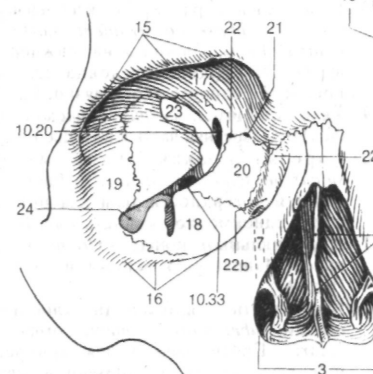


Рис. В. Правая глазница (вид спереди)

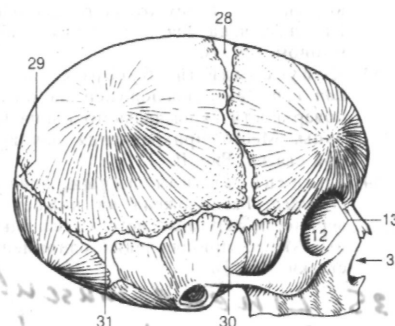


Рис. Г. Череп новорожденного (латеральная норма)

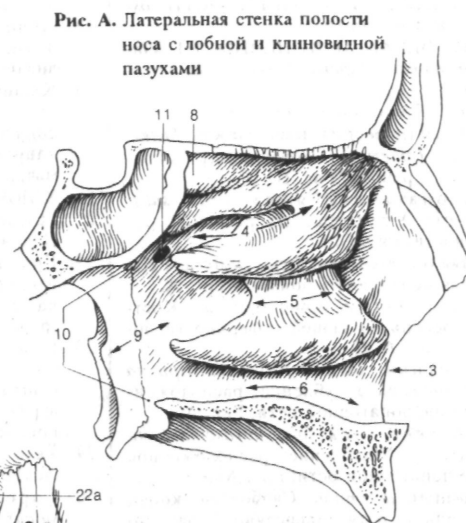


Рис. А. Латеральная стенка полости носа с лобной и клиновидной пазухами

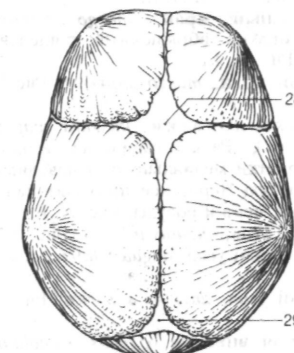


Рис. Д. Череп новорожденного (вертикальная норма)

ДОБАВОЧНЫЙ СКЕЛЕТ, *skeleton appendicular*. Кости конечностей.

- 1 КОСТИ ВЕРХНЕЙ КОНЕЧНОСТИ, *ossa membri superioris*.
- 2 ПОЯС ВЕРХНЕЙ КОНЕЧНОСТИ, *unguium membri superioris (cingulum pectorale)*.
- 3 ЛОПАТКА, *scapula*. Рис. А, Б.
- 4 Реберная (передняя) поверхность, *facies costalis (anterior)*. Поверхность, обращенная к ребрам. Рис. Б.
- 5 Подлопаточная ямка, *fossa subscapularis*. Углубление на реберной поверхности. Рис. Б.
- 6 Задняя поверхность, *facies posterior*. Наружная поверхность лопатки. Рис. А.
- 7 Ость лопатки, *spina scapulae*. Костный гребень на задней поверхности лопатки. Рис. А, Б.
- 8 Надостная ямка, *fossa supraspinal (supraspinosa)*. Углубление, расположенное выше лопаточной ости. Рис. А.
- 9 Подостная ямка, *fossa infraspinata (infraspinosa)*. Углубление, расположенное ниже лопаточной ости. Рис. А.
- 10 Акромион, *acromion*. Свободный конец лопаточной ости, нависающий над головкой плечевой кости. Рис. А, Б.
- 11 Суставная поверхность акромиона, *facies articularis acromii*. Предназначена для сочленения с ключицей. Рис. Б.
- 12 Угол акромиона, *angulus acromialis*. Крутой изгиб лопаточной ости в месте ее перехода в акромион. Рис. А.
- 13 Медиальный край, *margo medialis*. Край лопатки, обращенный к позвоночному столбу. Рис. А, Б.
- 14 Латеральный край, *margo lateralis*. Край лопатки, обращенный к плечевой кости. Рис. А, Б.
- 15 Верхний край, *margo superior*. Рис. А, Б.
- 16 Вырезка лопатки, *incisura scapulae (scapularis)*. Расположена на верхнем крае лопатки медиально от клювовидного отростка. Через нее проходят надлопаточные нерв и сосуды. Рис. А, Б.
- 17 Нижний угол, *angulus inferior*. Рис. А, Б.
- 18 Латеральный угол, *angulus lateralis*. Рис. А, Б.
- 19 Верхний угол, *angulus superior*. Рис. А, Б.
- 20 Суставная впадина, *cavitas glenoidalis*. Углубление в области латерального угла лопатки. Рис. Б.
- 21 Подсуставной бугорок, *tuberculum infraglenoidale*. Расположен у нижнего края суставной впадины. Место начала длинной головки трехглавой мышцы плеча. Рис. А, Б.
- 22 Надсуставной бугорок, *tuberculum supraglenoidale*. Расположен у верхнего

края суставной впадины. Место начала длинной головки двуглавой мышцы плеча. Рис. Б.

- 23 Шейка лопатки, *collum scapulae*. Расположена медиально от края суставной впадины. Рис. А, Б.
- 24 Клювовидный отросток, *processus coracoideus*. Начинается от верхнего края лопатки латеральнее *incisura scapulae* и направлен вперед. Место прикрепления мышц. Рис. А, Б.
- 25 КЛЮЧИЦА, *clavicula*. Рис. В
- 26 Грудинный конец, *extremitas sternalis*. Направлен к груди. Рис. В.
- 27 Грудинная суставная поверхность, *facies articularis sternalis*. Предназначена для соединения с рукояткой грудины. Рис. В.
- 28 Вдавление реберно-ключичной связки, *impressio ligamenti costoclavicularis*. Шероховатость на нижней поверхности грудинного конца для прикрепления одноименной связки. Рис. В.
- 29 Тело ключицы, *corpus claviculae (claviculare)*. Средняя часть ключицы. Рис. В.
- 30 Борозда подключичной мышцы, *sulcus musculi subclavii*. Углубление на нижней поверхности тела для прикрепления одноименной мышцы. Рис. В.
- 31 Акромиальный конец, *extremitas acromialis*. Направлен к акромиону лопатки. Рис. В.
- 31а Бугристость клювовидно-ключичной связки, *tuberositas ligamenti coracoclavicularis*. Предназначена для прикрепления двух частей одноименной связки (*lig. conoideum et lig. trapezoideum*). Рис. В.
- 32 Акромиальная суставная поверхность, *facies articularis acromialis*. Предназначена для сочленения с акромионом. Рис. В.
- 33 Конусовидный бугорок, *tuberculum conoideum*. Расположен на нижней поверхности акромиального конца ключицы. Место прикрепления одноименной связки. Рис. В.
- 34 Трапециевидная линия, *linea trapezoidea*. Расположена на нижней поверхности акромиального конца ключицы. Место прикрепления одноименной связки. Рис. В.

2Ъ / . # £ \* \* \* \* KHUSC \* \* \* \* £

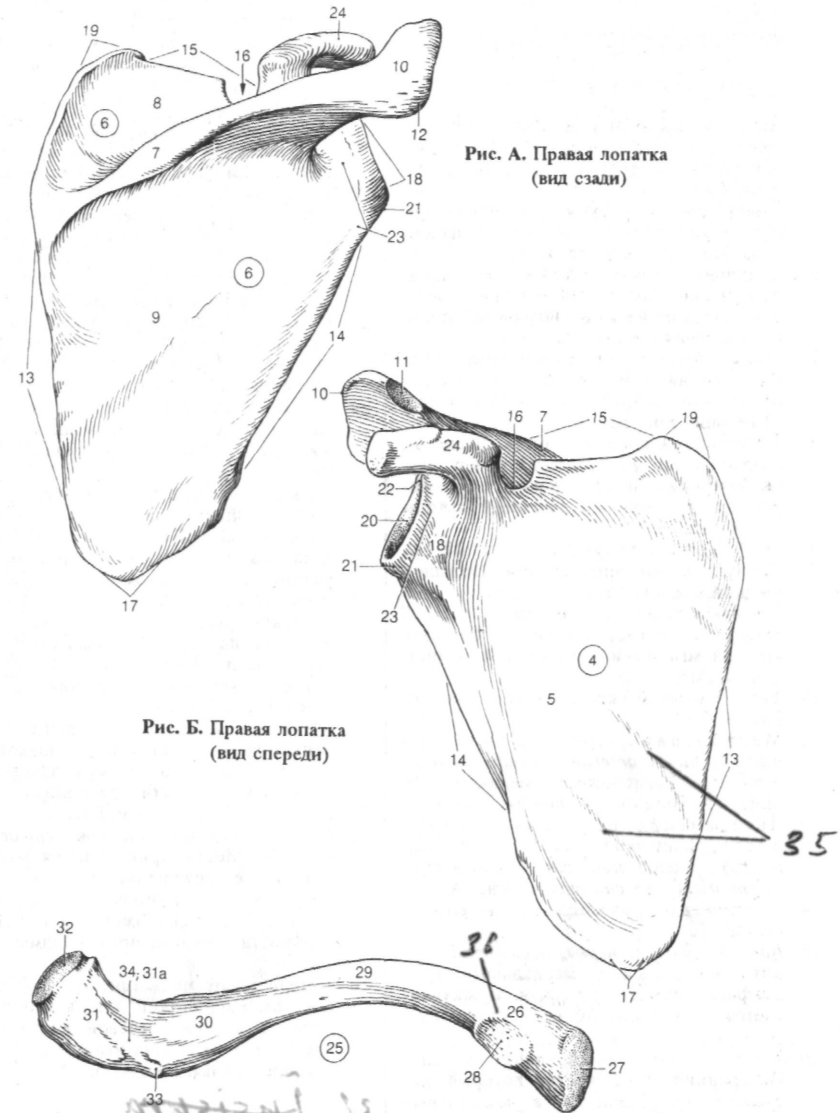


Рис. А. Правая лопатка (вид сзади)

Рис. Б. Правая лопатка (вид спереди)

Рис. В. Правая ключица (вид снизу)

2Ъ / . # £ \* \* \* \* KHUSC \* \* \* \* £

- 1 СВОБОДНАЯ ЧАСТЬ ВЕРХНЕЙ КОНЕЧНОСТИ, *pars libera membri superioris*. Скелет свободной верхней конечности.
- 2 ПЛЕЧЕВАЯ КОСТЬ, *humerus*. Рис. А, Б.
- 3 Головка плечевой кости, *caput humeri (humerales)*. Рис. А, Б.
- 4 Анатомическая шейка, *collum anatomicum*. Находится между головкой плечевой кости и бугорками (большим и малым). Рис. А, Б.
- 5 Хирургическая шейка, *collum chirurgicum*. Узкая часть кости ниже большого и малого бугорков. Рис. А, Б.
- 6 Большой бугорок, *tuberculum majus*. Возвышение на верхнем конце кости, направленное назад и латерально. Место прикрепления мышц. Рис. А, Б.
- 7 Малый бугорок, *tuberculum minus*. Возвышение на верхнем конце кости, направленное вперед. Место прикрепления мышц. Рис. А.
- 8 Межбугорковая борозда, *sulcus intertubercularis*. Расположена между двумя бугорками. В ней проходит сухожилие длинной головки двуглавой мышцы плеча. Рис. А.
- 9 Гребень большого бугорка, *crista tuberculi majoris*. Место прикрепления большой грудной мышцы. Рис. А.
- 10 Гребень малого бугорка, *crista tuberculi minoris*. Место прикрепления большой круглой мышцы и широчайшей мышцы спины. Рис. А.
- 11 Тело плечевой кости, *corpus humeri*. Рис. А, Б.
- 12 Медиальная передняя поверхность, *fares anterior medialis (anteromedialis)*. Расположена медиально и книзу от *crista tuberculi minoris*. Рис. А.
- 13 Латеральная передняя поверхность, *fares anterior lateralis (anterolateral)*. Расположена латерально и книзу от *crista tuberculi majoris*. Рис. А.
- 14 Задняя поверхность, *fares posterior*. Рис. Б.
- 15 Борозда лучевого нерва, *sulcus nervi radialis*. Начинается у медиального края диафиза, огибает его сзади и заканчивается у латерального края кости. Рис. Б.
- 16 Медиальный край, *margo medialis*. Внутренний край кости, который дистально продолжается в медиальный надмышелковый гребень. Рис. А, Б.
- 17 Медиальный надмышелковый гребень, *crista supracondylaris medialis*. Рис. А, Б.
- 18 [Надмышелковый отросток, *processus supracondylaris*]. Наблюдающийся в 1 % случаев заостренный выступ на медиальном крае дистального конца плечевой кости. Рис. А.
- 19 Латеральный край, *margo lateralis*. Наружный край кости, дистально продолжающийся в латеральный надмышелковый гребень. Рис. А, Б.
- 20 Латеральный надмышелковый гребень, *crista supracondylaris lateralis*. Рис. А, Б.
- 21 Дельтовидная бугристая, *tuberositas deltoidea*. Расположена на середине переднелатеральной поверхности тела плечевой кости. Место прикрепления одноименной мышцы. Рис. А, Б.
- 22 Мышелок плечевой кости, *condylus humeri*. Дистальный конец плечевой кости, на котором располагается ямка локтевого отростка, венечная и лучевая ямки, а также суставные поверхности для сочленения с костями предплечья. Рис. А, Б.
- 23 Головка мышелка плечевой кости, *capitulum humeri*. Находится на дистальном конце кости и служит для сочленения с лучевой костью. Рис. А.
- 24 Блок плечевой кости, *trochlea humeri*. Медиальная часть мышелка. Служит для сочленения с локтевой костью. Рис. А, Б.
- 25 Ямка локтевого отростка, *fossa olecrani*. Значительное углубление выше блока на задней поверхности мышелка, куда заходит локтевой отросток при разгибании в локтевом суставе. Рис. Б.
- 26 Венечная ямка, /ома *coronoidea*. Углубление, расположенное проксимально от блока на передней поверхности мышелка, куда заходит венечный отросток локтевой кости при сгибании в локтевом суставе. Рис. А.
- 27 Лучевая ямка, *fossa radialis*. Углубление, расположенное над головкой мышелка плечевой кости, куда заходит головка лучевой кости при полном сгибании в локтевом суставе. Рис. А.
- 28 Медиальный надмышелок, *epicondylus medialis*. Место прикрепления мышц - сгибателей предплечья. Рис. А, Б.
- 29 Борозда локтевого нерва, *sulcus nervi ulnaris*. Расположена на задней поверхности медиального надмышелка. Рис. Б.
- 30 Латеральный надмышелок, *epicondylus lateralis*. Расположен латерально от головки мышелка плечевой кости и является местом начала мышц - разгибателей предплечья. Рис. А, Б.

1/ t << I M#»П1 - j - h

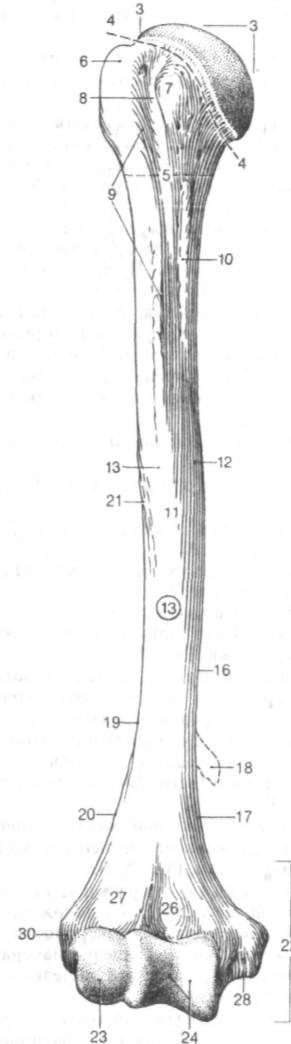


Рис. А. Правая плечевая кость  
(вид спереди)

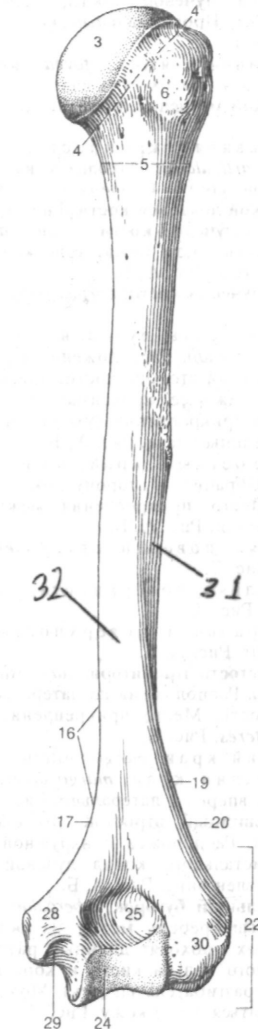


Рис. Б. Правая плечевая кость  
(вид сзади)

- 1 ЛУЧЕВАЯ КОСТЬ, *radius*. Одна из двух костей предплечья, расположенная латерально. Рис. А, Б.
- 2 Головка лучевой кости, *caput radii (radiate)*. Проксимальный конец кости. Рис. А, Б.
- 3 Суставная ямка, *fovea articularis*. Суставная поверхность для сочленения с головкой мыщелка плечевой кости. Рис. Б.
- 4 Суставная окружность, *circumferentia articularis*. Находится на головке лучевой кости. Сочленяется с лучевой вырезкой локтевой кости. Рис. А, Б.
- 5 Шейка лучевой кости, *collum radii*. Узкая часть кости между головкой и бугристостью. Рис. А, Б.
- 6 Тело лучевой кости, *corpus radii*. Рис. А, Б.
- 7 Бугристость лучевой кости, *tuberositas radii*. Расположена на передне-медиальной стороне кости, примерно на 2 см ниже ее проксимального конца. Место прикрепления сухожилия двуглавой мышцы плеча. Рис. А, Б.
- 8 Межкостный край, *margo interosseus*. Обращен в сторону локтевой кости. Место прикрепления межкостной перепонки. Рис. А, Б.
- 9 Задняя поверхность, *fades posterior*. Рис. Б.
- 10 Передняя поверхность, *fades anterior*. Рис. А.
- 11 Латеральная поверхность, *fades lateralis*. Рис. А, Б.
- Па Бугристость пронатора, *tuberositas pronatoria*. Расположена на латеральной поверхности. Место прикрепления *m. pronator teres*. Рис. Б.
- 12 Задний край, *margo posterior*. Рис. Б.
- 13 Передний край, *margo anterior*. Обращен вперед и латерально. Рис. А.
- 14 Шиловидный отросток, *processus styloideus*. Расположен с наружной стороны дистального конца лучевой кости. Направлен вниз. Рис. А, Б.
- 15 Дорсальный бугорок, *tuberculum dorsale*. Костный гребень между желобками, в которых проходят длинный разгибатель большого пальца кисти и короткий лучевой разгибатель запястья. Может пальпироваться через кожу. Рис. Б.
- 16 Локтевая вырезка, *incisura ulnaris*. Находится на дистальном конце лучевой кости и предназначена для сочленения с локтевой костью. Рис. А, Б.
- 17 Запястная суставная поверхность, *fades articularis carpalis*. Расположена на дистальном конце лучевой кости. Предназначена для сочленения с костями запястья. Рис. А.
- 18 ЛОКТЕВАЯ КОСТЬ, *ulna*. Расположена медиально от лучевой кости. Рис. А, Б.

- 19 Локтевой отросток, *olecranon*. Выступ на проксимальном конце локтевой кости кзади от блоковидной вырезки. Место прикрепления трехглавой мышцы плеча. Рис. Б.
- 20 Венечный отросток, *processus coronoides*. Выступ, расположенный спереди от блоковидной вырезки. Рис. А.
- 21 Бугристость локтевой кости, *tuberositas ulnae*. Возвышение на передней поверхности тела локтевой кости чуть ниже венечного отростка. Место прикрепления плечевой мышцы. Рис. А.
- 22 Блоковидная вырезка, *incisura trochlearis*. Находится на проксимальном конце локтевой кости. Предназначена для сочленения с блоком плечевой кости. Рис. А.
- 23 Лучевая вырезка, *incisura radialis*. Расположена с латеральной стороны локтевой кости на уровне венечного отростка. Предназначена для сочленения с суставной окружностью лучевой кости. Рис. А.
- 24 Тело локтевой кости, *corpus ulnae*. Рис. А, Б.
- 25 Задняя поверхность, *fades posterior*. Рис. Б.
- 26 Передняя поверхность, *fades anterior*. Рис. А.
- 27 Медиальная поверхность, *fades medialis*. Рис. Б.
- 28 Межкостный край, *margo interosseus*. Место прикрепления межкостной перепонки. Рис. А, Б.
- 29 Задний край, *margo posterior*. Рис. Б.
- 30 Передний край, *margo anterior*. Обращен вперед и медиально. Рис. А.
- 31 Гребень супинатора, *crista m. supinatorum*. Находится дистально от лучевой вырезки. Место начала супинатора. Рис. А, Б.
- 32 Головка локтевой кости, *caput ulnae*. Расположена на дистальном конце локтевой кости. Рис. А, Б.
- 33 Суставная окружность, *circumferentia articularis*. Расположена на переднелатеральной поверхности головки локтевой кости и предназначена для сочленения с локтевой вырезкой лучевой кости. Рис. А.
- 34 Шиловидный отросток, *processus styloideus*. Медиально расположенный вырост на дистальном конце локтевой кости. Направлен вниз, служит местом прикрепления суставного диска и локтевой коллатеральной связки. Рис. А, Б.

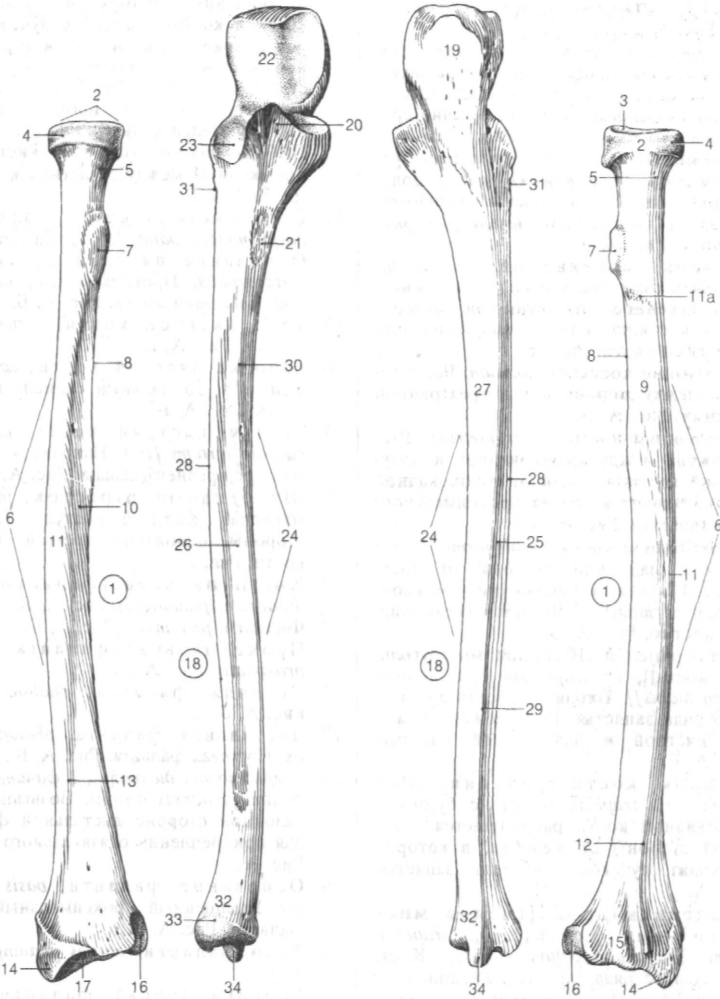


Рис. А. Правые лучевая и локтевая кости (вид спереди)

Рис. Б. Правые лучевая и локтевая кости (вид сзади)

- 1 ЗАПЯСТЬЕ, *carpus*. Расположено между костями предплечья и пясти. Состоит из восьми костей. Рис. А, Б, В.
- 2 **Кости запястья, *ossa carpi (carpa- - Ha)***. Рис. А, Б, В.
- 3 [Центральная кость, *os centrale*]. Дополнительная кость запястья, расположенная между головчатой, ладьевидной и трапециевидной костями. Обычно срастается с *os scaphoideum*. Рис. В.
- 4 Ладьевидная кость, *os scaphoideum* [*os naviculare*]]. Расположена между полулунной костью и костью-трапецией. Входит в состав проксимального ряда запястья. Рис. А, Б.
- 5 Бугорок ладьевидной кости, *tuberculum ossis scaphoidei*. **Возвышение**, расположенное на ладонной поверхности кости, различимое визуально при отведении кисти. Рис. А.
- 6 Полулунная кость, *os lunatum*. Расположена между ладьевидной и трехгранной костями. Рис. А, Б.
- 7 Трехгранная кость, *os triquetrum*. Расположена между крючковидной и полулунной костями, кзади от гороховидной кости. Входит в состав проксимального ряда запястья. Рис. А, Б.
- 8 Гороховидная кость, *os pisiforme*. Находится с ладонной стороны от трехгранной кости в сухожилии локтевого сгибателя запястья. Является сесамовидной костью. Рис. А, Б.
- 9 Кость-трапеция [[большая многоугольная кость]], *os trapezium* [*os multangulum majus*]]. Входит в состав дистального ряда запястья. Расположена между 1-й пястной и ладьевидной костями. Рис. А, Б.
- 10 Бугорок кости-трапеции, *tuberculum ossis trapezii*. **Вместе с бугорком** ладьевидной кости располагается с лучевой стороны от желобка, в котором проходит лучевая сгибатель запястья. Рис. А.
- 11 Трапециевидная [[малая многоугольная кость]], *os trapezoides* [*os multangulum minus*]]. **Кость** дистального ряда запястья. Расположена между 2-й пястной, ладьевидной, головчатой костями и костью-трапецией. Рис. А, Б.
- 12 Головчатая кость, *os capitatum*. Входит в состав дистального ряда запястья. Лежит между 3-й пястной и полулунной костями. Рис. А, Б.
- 13 Крючковидная кость, *os hamatum*. Кость дистального ряда запястья. Расположена между 4-й и 5-й пястными, головчатой и трехгранной костями. Рис. А, Б.
- 14 Крючок крючковидной кости, *hamulus ossis hamati*. Отросток на ладон-

- ной поверхности крючковидной кости. Рис. А.
  - 15 Борозда запястья, *sulcus carpi*. Желоб, ограниченный бугорками ладьевидной кости и кости-трапеции с лучевой стороны, крючком *os hamati* и гороховидной костью - с локтевой. Поперечная связка превращает эту борозду в канал (туннель), в котором проходят сухожилия сгибателей пальцев. Рис. А.
  - 16 ПЯСТЬ, *metacarpus*. Отдел кисти, расположенный между запястьем, и пальцами. Рис. А, Б.
  - 17 I - Y пястные кости, *ossa metacarpali (metacarpalia) [I - V]*. Рис. А, Б.
  - 18 Основание пястной кости, *basis metacarpalis*. Проксимальный, широкий конец пястной кости. Рис. А, Б.
  - 19 Тело пястной кости, *corpus metacarpalis*. Рис. А, Б.
  - 20 Головка пястной кости, *caput metacarpalis*. Дистальный конец пястной кости. Рис. А, Б.
  - 21 Третья пястная кость, *os metacarpal tertium [III]*. Находится проксимальнее среднего пальца. Рис. А, Б.
  - 22 Шиловидный отросток, *processus styloideus*. Костный выступ с лучевой стороны основания третьей пястной кости. Рис. Б.
  - 23 Кости пальцев (фаланги), *ossa digitorum (phalanges)*. Рис. А, Б.
  - 24 Фаланги, *phalanges*. Рис. А, Б.
  - 25 Проксимальная фаланга, *phalanx proximalis*. Рис. А, Б.
  - 26 Средняя фаланга, *phalanx media*. Рис. А, Б.
  - 27 Дистальная фаланга, *phalanx distalis*. Ногтевая фаланга. Рис. А, Б.
  - 28 **Бугристость дистальной фаланги, *tuberositas phalangis distalis***. **Возвышение** на ладонной стороне дистальной фаланги, для прикрепления осеозательного валика. Рис. А.
  - 29 Основание фаланги, *basis phalangis*. Утолщенный проксимальный конец фаланги. Рис. А, Б.
  - 30 Тело фаланги, *corpus phalangis*. Рис. А, Б.
  - 31 Головка (блок) фаланги, *caput (trochlea) phalangis*. Рис. А, Б.
  - 32 **Сесамовидные кости, *ossa sesamoidea***. Лежат в толще сухожилий или связок. Рис. А.
- 11 5> & f/<2 u\* 22 №f<?/)  
u^ e- i:4 tact/?/

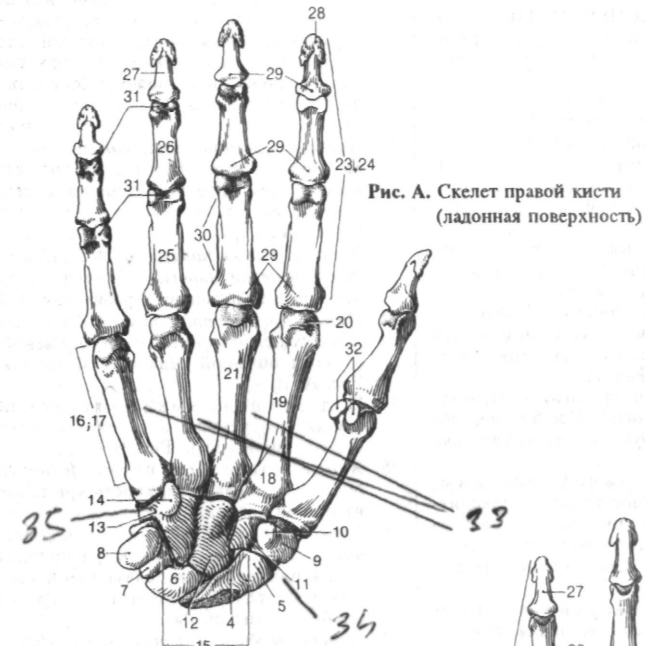


Рис. А. Скелет правой кисти (ладонная поверхность)

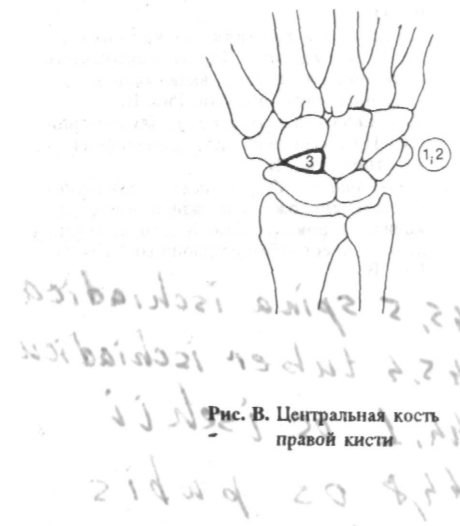


Рис. В. Центральная кость правой кисти

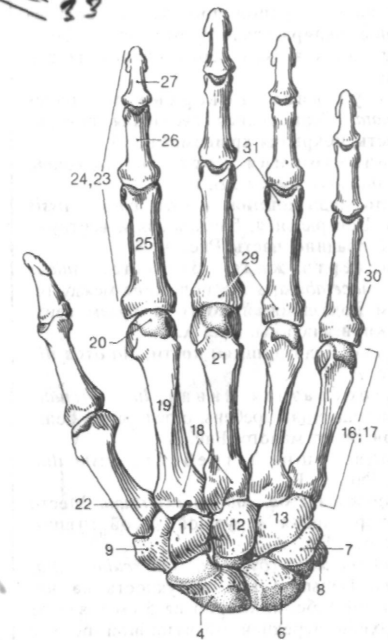


Рис. Б. Скелет правой кисти (тыльная поверхность)



- 1 **КОСТИ НИЖНЕЙ КОНЕЧНОСТИ, ossa membri inferioris.**
- 2 **ПОЯС НИЖНЕЙ КОНЕЧНОСТИ (ПОЯС ТАЗОВОЙ КОНЕЧНОСТИ), cingulum membri inferioris (cingulum pelvium).** Состоит из крестца и двух тазовых костей.
- 3 **ТАЗОВАЯ КОСТЬ, os coxae (pelvicum).** Формируется из подвздошной, седалищной и лобковой костей. Рис. А, Б, В.
- 4 **Запирательное отверстие, foramen obturatum (obturatorium).** Большое отверстие, ограниченное лобковой и седалищной костями. Рис. А, В.
- 5 **Вертлужная впадина, acetabulum.** Формируется подвздошной, лобковой и седалищной костями. Рис. А.
- 6 **Край вертлужной впадины, limbus acetabuli (margo acetabularis).** С медиальной стороны прерывается вырезкой вертлужной впадины. Рис. А.
- 7 **Ямка вертлужной впадины./ша acetabuli (acetabularis).** Углубление, обрамленное полулунной поверхностью. Рис. А.
- 8 **Вырезка вертлужной впадины, incisura acetabuli (acetabularis).** Находится на полулунной поверхности со стороны запирательного отверстия. Продолжается в ямку вертлужной впадины. Рис. А.
- 9 **Полулунная поверхность, facies lunata.** Серповидная суставная поверхность, покрытая хрящом. Рис. А.
- 10 **Подвздошная кость, os HI (ilium, os iliacum).** Рис. А, Б, В.
- 11 **Тело подвздошной кости, corpus ossis HI.** Центральная, ближайшая к вертлужной впадине, часть. Рис. А, В.
- 12 **Надвертлужная борозда, sulcus supraacetabularis.** Расположена между телом подвздошной кости и краем вертлужной впадины. Рис. А.
- 13 **Крыло подвздошной кости, ah ossis HI.** Рис. А, В.
- 14 **Дугообразная линия, linea arcuata.** Выступающий гребень, отделяющий большой таз от малого. Рис. В.
- 15 **Подвздошный гребень, crista iliaca.** Рис. А, В.
- 16 **Наружная губа, labium externum.** Место прикрепления наружной косой мышцы живота. Рис. А.
- 17 **Подвздошный бугорок, tuberculum iliacum.** Пальпируемая выпуклость на наружной губе, примерно на 5 см кзади от верхней передней подвздошной ости в месте соединения передней ягодичной линии и подвздошного гребня. Рис. А.
- 18 **Промежуточная линия, linea intermedia.** Расположена между наружной и внутренней губой. Место прикрепления внутренней косой мышцы живота. Рис. А.

- 19 **Внутренняя губа, labium internum.** Внутренний край гребня подвздошной кости. Место прикрепления поперечной мышцы живота. Рис. А, В.
- 20 **Верхняя передняя подвздошная ость, spina iliaca anterior superior.** Расположена на переднем конце подвздошного гребня. Место начала портняжной мышцы. Рис. А, В.
- 21 **Нижняя передняя подвздошная ость, spina iliaca anterior inferior.** Расположена на переднем крае подвздошной кости и служит местом начала прямой мышцы бедра. Рис. А, В.
- 22 **Верхняя задняя подвздошная ость, spina iliaca posterior superior.** Выступ на заднем конце подвздошного гребня. Рис. А, В.
- 23 **Нижняя задняя подвздошная ость, spina iliaca posterior inferior.** Выступ у верхнего края большой седалищной вырезки. Рис. А, В.
- 24 **Подвздошная ямка, fossa iliaca.** Вогнутая внутренняя поверхность крыла подвздошной кости. Рис. В.
- 25 **Ягодичная поверхность, facies glutealis.** Наружная поверхность крыла подвздошной кости. Рис. А. «\*.\*.^^
- 26 **Передняя ягодичная линия, linea glutealis anterior.** Плоский гребень, расположенный в центре крыла подвздошной кости между местами начала малой и средней ягодичных мышц. Рис. А.
- 27 **Задняя ягодичная линия, linea glutealis posterior.** Разделяет области начала средней и большой ягодичных мышц. Рис. А.
- 28 **Нижняя ягодичная линия, linea glutealis inferior.** Расположена над вертлужной впадиной между местом начала малой ягодичной мышцы и прямой мышцы бедра. Рис. А.
- 29 **Крестцово-тазовая поверхность, facies sacropelvina.** Задняя поверхность подвздошной кости, включающая две указанные ниже области. Рис. В.
- 30 **Ушковидная поверхность, facies auricularis.** Предназначена для сочленения с крестцом. Рис. В.
- 31 **Подвздошная бугристость, tuberositas iliaca.** Расположена позади и выше ушковидной поверхности. Место прикрепления крестцово-подвздошных связок. Рис. В.

рис. в. / 2 J V .

hk.L III i^ii'

/ f > Ob jo k,| S

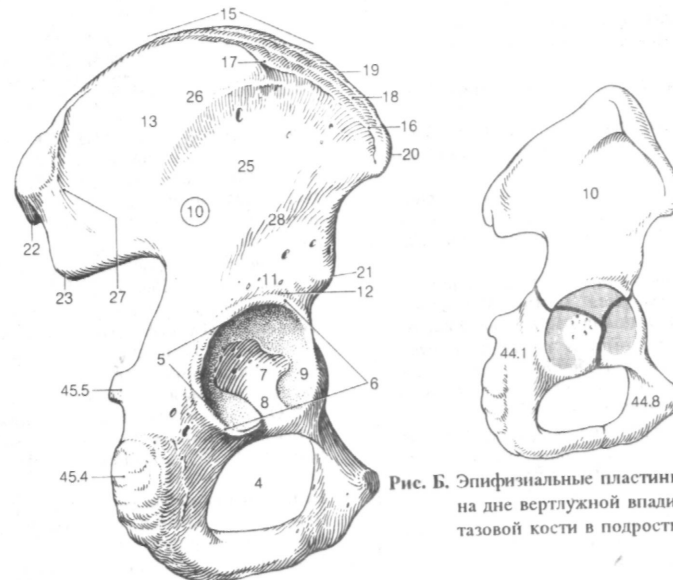


Рис. Б. Эпифизальные пластинки на дне вертлужной впадины тазовой кости в подростковом возрасте

Рис. А. Правая тазовая кость (вид с латеральной стороны)

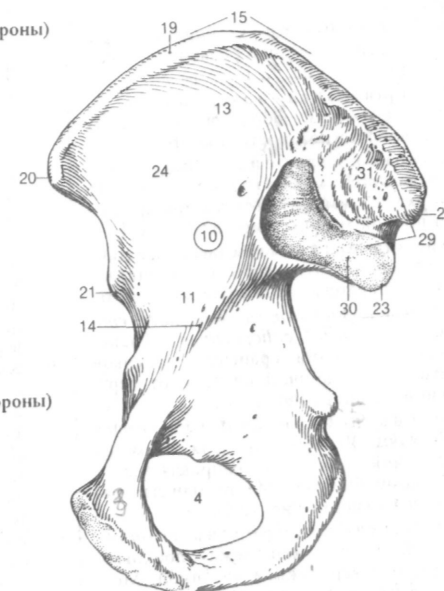


Рис. В. Правая тазовая кость (вид с медиальной стороны)

- 1 Седалищная кость, *os ischii*. Ограничивает запирающее отверстие сзади и снизу. Рис. А, Б.
- 2 Тело седалищной кости, *corpus ossis ischii*. Часть кости, расположенная сзади от запирающего отверстия. Рис. А, Б.
- 3 Ветвь седалищной кости, *ramus ossis ischii*. Часть кости, расположенная книзу от запирающего отверстия. Спереди сливается с нижней ветвью лобковой кости. Рис. А, Б.
- 4 Седалищный бугор, *tuber ischiadicum (ischiale)*. Расположен у нижнего края малой седалищной вырезки. Рис. А, Б.
- 5 Седалищная ость, *spina ischiadica (ischialis)*. Находится между большой и малой седалищными вырезками. Рис. Б.
- 6 Большая седалищная вырезка, *incisura ischiadica (ischialis) major*. Расположена между нижней задней подвздошной и седалищной остями. Рис. Б.
- 7 Малая седалищная вырезка, *incisura ischiadica (ischialis) minor*. Расположена между седалищными остью и бугром. Рис. Б.
- 8 Лобковая кость, *os pubis*. Формирует передний и нижний края запирающего отверстия. Рис. А, Б.
- 9 Тело лобковой кости, *corpus ossis pubis*. Рис. А, Б.
- 10 Лобковый бугорок, *tuberculum pubicum*. Расположен латерально от лобкового симфиза. Рис. А, Б.
- 11 Симфизиальная поверхность, *fa-des symphysialis*. Обращена в сторону противоположной кости. Рис. Б.
- 12 Лобковый гребень, *crista pubica*. Направляется медиально от лобкового бугорка к симфизу. Место прикрепления прямой мышцы живота. Рис. А, Б.
- 13 Верхняя ветвь лобковой кости, *ramus superior ossis pubis*. Ограничивает сверху запирающее отверстие. Рис. А, Б.
- 14 Подвздошно-лобковое возвышение, *eminentia iliopubica [e.iliopectinea]*. Расположено по линии сращения лобковой кости с подвздошной спереди от вертлужной впадины. Рис. А, Б.
- 15 Гребень лобковой кости, *pecten ossis pubis*. Является продолжением дугообразной линии и направляется к лобковому бугорку. Место начала гребенчатой мышцы. Рис. А, Б.
- 16 Запирательный гребень, *crista obturatoria*. Расположен между лобковым бугорком и вертлужной впадиной. Место прикрепления лобково-бедренной связки. Рис. А.
- 17 Запирательная борозда, *sulcus obturatorius*. Расположена у верхнего края одноименного отверстия. Рис. А, Б.

- 18 Передний запирающий бугорок, *tuberculum obturatorium anterius*. Небольшое возвышение, спереди от запирающей борозды. Рис. А, Б.
- 19 Задний запирающий бугорок, [*tuberculum obturatorium posterius*]. Встречается позади запирающей борозды. Рис. А, Б.
- 20 Нижняя ветвь лобковой кости, *ramus inferior ossis pubis*. Расположена спереди и ниже запирающего отверстия между швом, соединяющим ветви лобковой и седалищной костей с одной стороны и лобковым симфизом - с другой. Рис. А, Б.
- 21 ТАЗ, *pelvis*. Состоит из крестца и двух тазовых костей. Рис. В, Г, Д, Е.
- 21а Полость таза, *cavitas pelvis (pelvica)*.
- 22 Лобковая дуга, *arcus pubis*. Расположена ниже симфиза и образована правой и левой лобковыми костями. Рис. Г.
- 23 Подлобковый угол, *angulus subpubicus*. Образован правой и левой нижними ветвями лобковых костей. (У мужчин примерно 75°, у женщин - 90° - 100°). Рис. В.
- 24 Большой таз, *pelvis major*. Пространство между двумя крыльями подвздошной кости, выше пограничной линии.
- 25 Малый таз, *pelvis minor*. Пространство ниже пограничной линии.
- 26 Пограничная линия, *linea terminalis*. Проходит вдоль дугообразной линии от мыса до верхнего края лобкового симфиза. Рис. В, Г, Д.
- 27 Верхняя апертура таза, *apertura pelvis (pelvica) superior*. Отверстие входа в малый таз. Находится в плоскости *linea terminalis*. Рис. Г.
- 28 Нижняя апертура таза, *apertura pelvis (pelvica) inferior*. Отверстие выхода из малого таза. Ограничено копчиком, лобковой дугой и крестцово-бугорной связкой. Рис. Е.
- 29 Ось таза, *axis pelvis*. Проходит через центры всех прямых линий, соединяющих лобковый симфиз и тазовую поверхность крестца. Рис. Е.
- 30 Конъюгата, *diameter conjugata*. Расстояние между мысом и задней поверхностью лобкового симфиза, примерно 11 см. Рис. Д, Е.
- 31 Поперечный диаметр, *diameter transversa*. Самый большой размер верхней апертуры таза, примерно 13 см. Рис. Д.
- 32 Косой диаметр, *diameter oblique*. Расстояние между крестцово-подвздошным суставом с одной стороны и подвздошно-лобковым возвышением - с противоположной, примерно 12,5 см. Рис. Д.
- 33 Наклон таза, *inclinatio pelvis*. Угол между плоскостью верхней апертуры и горизонтальной плоскостью. Рис. Е.

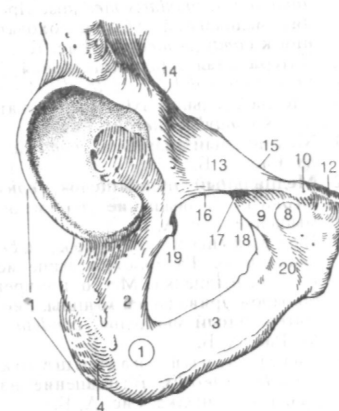


Рис. А. Наружная поверхность нижней половины правой тазовой кости

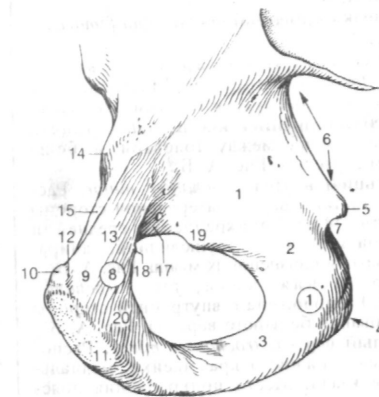


Рис. Б. Внутренняя поверхность нижней половины правой тазовой кости

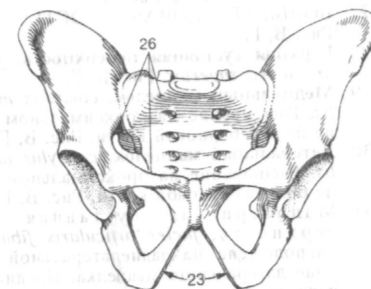


Рис. В. Мужской таз (вид спереди)

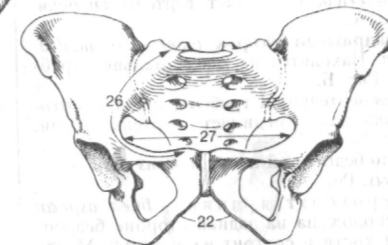


Рис. Г. Женский таз (вид спереди)

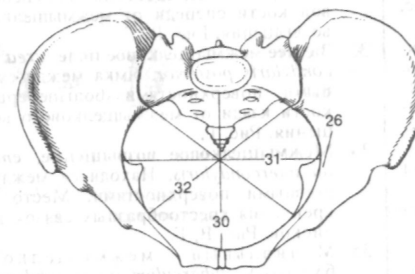


Рис. Д. Таз (вид сверху)

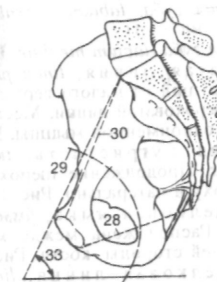


Рис. Е. Сагиттальный распил таза (вид с медиальной стороны)

- 1 СВОБОДНАЯ НИЖНЯЯ КОНЕЧНОСТЬ, *pars libera membri inferioris*.
- 2 БЕДРЕННАЯ КОСТЬ *femur (os fe moris)*. Рис. А, Б.
- 3 Головка бедренной кости, *caput femoris*. Рис. А, Б.
- 4 Ямка головки бедренной кости, *fovea capitis femoris*. Углубление для прикрепления связки головки. Рис. А, Б.
- 5 Шейка бедренной кости, *collum femoris*. Расположена между головкой и большим вертелом. Рис. А, Б.
- 6 Большой вертел, *trochanter major*. Располагается с верхнелатеральной стороны кости. Место прикрепления средней и малой ягодичных, грушевидной, запирательных и близнецовых мышц. Рис. А, Б.
- 7 Вертельная ямка, *fossa trochanterica*. Расположена с внутренней стороны основания большого вертела. Рис. А, Б.
- 8 Малый вертел, *trochanter minor*. Расположен у нижнего края шейки, медиально и кзади. Место прикрепления пояснично-подвздошной мышцы. Рис. А, Б.
- 9 [Третий вертел, *trochanter tertius*]. Расположен у латеральной губы шероховатой линии на уровне малого вертела. Место прикрепления части волокон большой ягодичной мышцы. Встречается непостоянно. Рис. Б.
- 10 Межвертельная линия, *linea intertrochanterica*. Соединяет вертелы спереди. Рис. А.
- 10а Квадратный бугорок, *tuberculum quadratum*. Находится на межвертельном гребне. Рис. Б.
- 11 Межвертельный гребень, *Crista intertrochanterica*. Соединяет вертелы сзади. Рис. Б.
- 12 Тело бедренной кости, *corpus femoris*. Рис. А, Б.
- 13 Шероховатая линия, *linea aspera*. Расположена на задней стороне бедренной кости и состоит из двух губ. Место прикрепления *mm. vastus lateralis et medialis, adductor longus, brevis et magnus*, а также короткой головки двуглавой мышцы бедра. Рис. Б.
- 14 Латеральная губа, *labium laterale*. Рис. Б.
- 15 Медиальная губа, *labium mediate*. Рис. Б.
- 16 Гребенчатая линия, *linea pectinea*. Гребень, идущий от малого вертела вниз почти до шероховатой линии. Место прикрепления одноименной мышцы. Рис. Б.
- 17 Ягодичная бугристость, *tuberositas glutealis*. Продолжение шероховатой линии кверху и латерально. Рис. Б.
- 18 Межмышечковая ямка, *fossa intercondylaris*. Расположена между мышелками с задней стороны кости. Рис. Б.
- 19 Межмышечковая линия, *linea intercondylaris*. Соединяет основания мышелков сзади. Рис. Б.
- 20 Подколенная поверхность, *fades poplitea*. Расположена на задней поверхности бедренной кости между надмы-

- шелковыми линиями и *linea intercondylaris*. Рис. Б.
- 20а Медиальная надмышечковая линия, *linea supracondylaris medialis*. Продолжение медиальной губы шероховатой линии к *condylus medialis*. Рис. Б.
- 20б Латеральная надмышечковая линия, *linea supracondylaris lateralis*. Продолжение латеральной губы шероховатой линии к *condylus lateralis*. Рис. Б.
- 21 Медиальный мышелок, *condylus medialis*. Рис. А, Б.
- 22 Медиальный надмышелок, *epicondylus medialis*. Возвышение на медиальном мышелке. Рис. А, Б.
- 23 Приводящий бугорок, *tuberculum adductorium*. Расположен выше медиального надмышелка. Место прикрепления большой приводящей мышцы. Рис. А, Б.
- 24 Латеральный мышелок, *condylus lateralis*. Рис. А, Б.
- 25 Латеральный надмышелок, *epicondylus lateralis*. Возвышение на латеральном мышелке. Рис. А, Б.
- 25а Подколенная борозда, *sulcus popliteus*. Проходит между латеральными мышелком и надмышелком. Рис. Б.
- 26 Надколенниковая поверхность, *fades patellaris*. Предназначена для сочленения с надколенником. Рис. А.
- 27 БОЛЬШЕБЕРЦОВАЯ КОСТЬ, *tibia*. Рис. В, Г.
- 28 Верхняя суставная поверхность, *fades articularis superior*. Рис. В, Г.
- 29 Медиальный мышелок, *condylus medialis*. Расширение на проксимальном конце большеберцовой кости. Рис. В, Г.
- 30 Латеральный мышелок, *condylus lateralis*. Расширение на проксимальном конце большеберцовой кости. Рис. В, Г.
- 31 Малоберцовая суставная поверхность, *fades articularis fibularis*. Расположена на заднелатеральной стороне латерального мышелка. Предназначена для сочленения с головкой малоберцовой кости. Рис. В, Г.
- 32 Переднее межмышечковое поле, *area intercondylaris anterior*. Ямка между суставными поверхностями большеберцовой кости спереди от межмышечкового возвышения. Рис. В, Г.
- 33 Заднее межмышечковое поле, *area intercondylaris posterior*. Ямка между суставными поверхностями большеберцовой кости кзади от межмышечкового возвышения. Рис. Г.
- 34 Межмышечковое возвышение, *eminentia intercondylaris*. Находится между суставными поверхностями. Место прикрепления крестообразных связок и менисков. Рис. В, Г.
- 35 Медиальный межмышечковый бугорок, *tuberculum intercondylaris mediate*. Расположен по краю медиальной суставной поверхности возле межмышечкового возвышения. Рис. В, Г.
- 36 Латеральный межмышечковый бугорок, *tuberculum intercondylaris la-*

*terale*. Расположен по краю латеральной суставной поверхности около межмышечкового возвышения. Рис. В, Г.

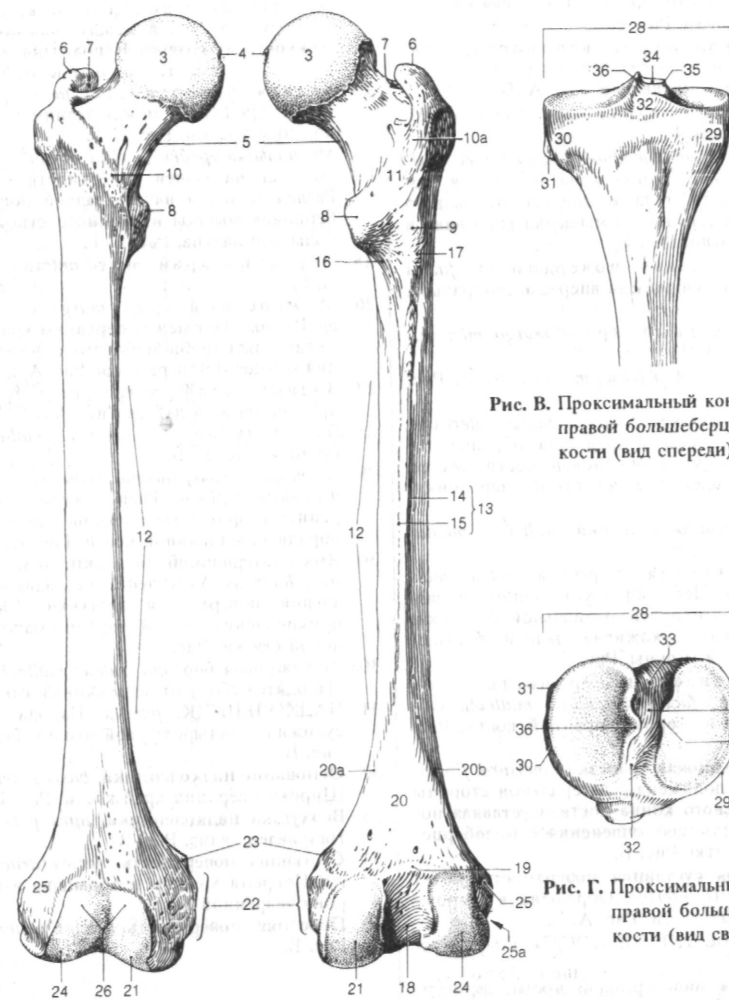


Рис. А. Правая бедренная кость (вид спереди)

Рис. Б. Правая бедренная кость (вид сзади)

Рис. В. Проксимальный конец правой большеберцовой кости (вид спереди)

Рис. Г. Проксимальный конец правой большеберцовой кости (вид сверху)

- 1 Тело большеберцовой кости, *corpus tibiae (tibiale)*. Рис. А, Г.
- 2 Бугристость большеберцовой кости, *tuberositas tibiae*. Возвышение на проксимальном конце переднего края тела. Место прикрепления связки надколенника. Рис. А.
- 3 Медиальная поверхность, *fades medialis*. Поверхность тела, обращенная вперед и медиально. Рис. А, Г.
- 4 Задняя поверхность, *fades posterior*. Рис. Б, Г.
- 5 Линия камбаловидной мышцы, *linea musculo solei*. Расположена на задней поверхности тела и следует от заднего края латерального мышечка косо вниз и медиально. Рис. Б.
- 6 Латеральная поверхность, *fades lateralis*. Обращена вперед и латерально. Рис. А, Г.
- 7 Медиальный край, *margo medialis*. Рис. А, Б, Г.
- 8 Передний край, *margo anterior*. Рис. А, Г.
- 9 Межкостный край, *margo interosseus*. Латеральный край тела, обращенный в сторону малоберцовой кости. Место прикрепления межкостной перепонки. Рис. А, Б.
- 10 Медиальная лодыжка, *malleolus medialis*. Рис. А, Б.
- 11 Лодыжковая борозда, *sulcus malleolaris*. Небольшое углубление на задней поверхности медиальной лодыжки. Содержит сухожилие задней большеберцовой мышцы. Рис. Б.
- 12 Суставная поверхность лодыжки, *fades articularis malleoli*. Обращена в сторону таранной кости. Рис. А, Б.
- 13 Малоберцовая вырезка, *incisura fibularis*. Расположена с латеральной стороны дистального конца кости. Суставная поверхность для сочленения с малоберцовой костью. Рис. Б.
- 14 Нижняя суставная поверхность, *fades articularis inferior*. Обращена в сторону таранной кости. Рис. А, Б.
- 15 МАЛОБЕРЦОВАЯ КОСТЬ, *fibula*. Рис. А, Б, Г.
- 16 Головка малоберцовой кости, *caput fibulae (fibulare)*. Проксимальный конец кости. Рис. А, Б.
- 17 Суставная поверхность головки малоберцовой кости, *fades articularis capitis fibulae*. Обращена к большеберцовой кости. Рис. А, Б.
- 18 Верхушка головки малоберцовой кости, *apex capitis fibulae*. Направлена вверх. Рис. А, Б.
- 19 Шейка малоберцовой кости, *collum fibulae*. Рис. А.

- 20 Тело малоберцовой кости, *corpus fibulae*. Рис. А.
- 21 Латеральная поверхность, *fades lateralis*. Направлена латерально и несколько кпереди. Рис. А, Г.
- 22 Медиальная поверхность, *fades medialis*. Находится между передним и межкостным краями. Направлена в сторону большеберцовой кости. Рис. А, Б, Г.
- 23 Задняя поверхность, *fades posterior*. Расположена между задним и межкостным краями. Рис. Б, Г.
- 24 Медиальный гребень, *crista medialis*. Расположен на задней поверхности кости. Разделяет места начала задней большеберцовой мышцы и длинного сгибателя большого пальца. Рис. Б, Г.
- 25 Передний край, *margo anterior*. Рис. А, Г.
- 26 Межкостный край, *margo interosseus*. Расположен между передним краем и медиальным гребнем. Место прикрепления межкостной перепонки. Рис. А, Б, Г.
- 27 Задний край, *margo posterior*. Направлен назад и латерально. Рис. Б, Г.
- 28 Латеральная лодыжка, *malleolus lateralis*. Рис. А, Б.
- 29 Суставная поверхность лодыжки, *fades articularis malleoli*. Расположена с внутренней стороны латеральной лодыжки и обращена к таранной кости. Рис. А, Б.
- 30 Ямка латеральной лодыжки, *fossa malleoli lateralis*. Углубление на заднемедиальной поверхности лодыжки. Место прикрепления задней таранно-малоберцовой связки. Рис. Б.
- 30а Лодыжковая борозда, *sulcus malleolaris*. Находится сбоку от лодыжковой ямки.
- 31 НАДКОЛЕННИК, *patella*. Находится в сухожилии четырехглавой мышцы бедра. Рис. В.
- 32 Основание надколенника, *basis patellae*. Широкий верхний край кости. Рис. В.
- 33 Верхушка надколенника, *apex patellae*. Направлена вниз. Рис. В.
- 34 Суставная поверхность, *fades articularis*. Покрыта хрящом и обращена в сторону бедренной кости.
- 35 Передняя поверхность, *fades anterior*. Рис. В.

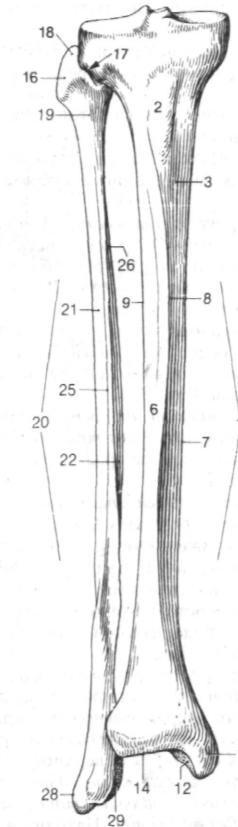


Рис. А. Правые большеберцовая и малоберцовая кости (вид спереди)

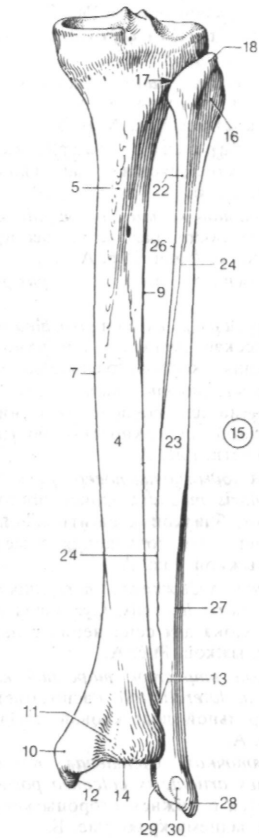


Рис. Б. Правые большеберцовая и малоберцовая кости (вид сзади)

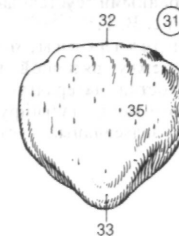


Рис. В. Надколенник (вид спереди)

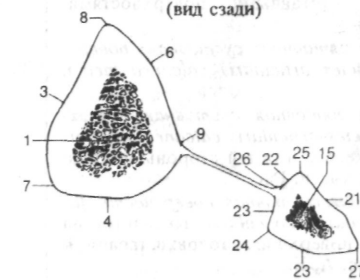


Рис. Г. Поперечный распил правых большеберцовой и малоберцовых костей

- 1 ПЕРЕДПЛЮСНА, *tarsus*. Проксимальная часть стопы. Состоит из семи костей: таранной, пяточной, ладьевидной, кубовидной и трех клиновидных. Рис. Д.
- 2 Кости предплюсны, *ossa tarsi (tarsalia)*.
- 3 Таранная кость, *talus*. Расположена между большеберцовой, пяточной и ладьевидной костями. Рис. А, Б, Д.
- 4 Головка таранной кости, *caput tali (talare)*. Сочленяется с ладьевидной костью. Рис. А, Б.
- 5 Шейка таранной кости, *collum tali*. Суженная часть кости, расположенная проксимально от головки. Рис. А, Б.
- 6 Тело таранной кости, *corpus tali*. Рис. Б.
- 7 Блок таранной кости, *trochlea tali*. Цилиндрическая суставная поверхность для сочленения с костями голени. Рис. А.
- 8 Верхняя поверхность, *fades superior*. Предназначена для сочленения с нижней суставной поверхностью большеберцовой кости. Рис. А.
- 9 Медиальная лодыжковая поверхность, *fades malleolaris medialis*. Ориентирована в плоскости, близкой к сагитальной, и предназначена для сочленения с медиальной лодыжкой. Рис. А.
- 10 Латеральная лодыжковая поверхность, *fades malleolaris lateralis*. Суставная поверхность блока для сочленения с латеральной лодыжкой. Рис. А.
- 11 Латеральный отросток таранной кости, *processus lateralis tali*. Располагается ниже латеральной лодыжковой поверхности. Рис. А.
- 12 Задняя пяточная суставная поверхность, *fades articularis calcanea posterior*. Находится с нижней стороны кости, ближе к ее заднему краю. Рис. Б.
- 13 Борозда таранной кости, *sulcus tali*. Расположена между средней и задней пяточными суставными поверхностями. Рис. Б.
- 14 Средняя пяточная суставная поверхность, *fades articularis calcanea media*. Рис. Б.
- 15 Передняя пяточная суставная поверхность, *fades articularis calcanea anterior*. Расположена с нижней стороны головки таранной кости. Рис. Б.
- 16 Ладьевидная суставная поверхность, *fades articularis naviculars*. Находится на передней поверхности головки таранной кости. Рис. А, Б.
- 17 Задний отросток таранной кости, *processus posterior tali*. Расположен под задним краем блока. Состоит из латерального и медиального бугорков, разделенных бороздой сухожилия длинного сгибателя большого пальца. Рис. А, Б.
- 18 Борозда сухожилия длинного сгибателя большого пальца стопы, *sulcus tendinis m. flex. hall. longi*. Находится между латеральным и медиальным бугорками. Рис. А, Б.
- 19 Медиальный бугорок, *tuberculum mediale*. Располагается спереди и медиально от борозды сухожилия длинного сгибателя большого пальца стопы. Рис. А, Б.
- 20 Латеральный бугорок, *tuberculum laterale*. Находится снаружи от борозды сухожилия длинного сгибателя большого пальца стопы. Рис. А.
- 21 [Треугольная кость, *os trigonum*]. Латеральный бугорок заднего отростка таранной кости, обособленный в самостоятельную кость. Встречается непостоянно. Рис. Д.
- 22 Пяточная кость, *calcaneus*. Рис. В, Г, Д.
- 23 Бугор пяточной кости, *tuber calcanei*. Расположен на пяточной кости сзади. Рис. В, Г.
- 24 Медиальный отросток бугра пяточной кости, *processus medialis tuberis calcanei*. Направлен вперед, медиально и вниз. Рис. Г.
- 25 Латеральный отросток бугра пяточной кости, *processus lateralis tuberis calcanei*. Направлен вниз и латерально. Рис. В.
- 26 Пяточный бугорок, *tuberculum calcanei*. Находится спереди нижней поверхности пяточной кости. Место начала подошвенной пяточно-кубовидной связки. Рис. В.
- 27 Опора таранной кости, *sustentaculum tali*. Отходит от медиальной стороны передне-верхнего края пяточной кости. На ней находится средняя таранная суставная поверхность. Рис. Г, Д.
- 28 Борозда сухожилия длинного сгибателя большого пальца стопы, *sulcus tendinis m. flex. hall. longi*. Находится ниже опоры таранной кости. Рис. Г.
- 29 Борозда пяточной кости, *sulcus calcanei*. Расположена между средней и задней таранными суставными поверхностями. Рис. В, Г.
- 30 Пазуха предплюсны, *sinus tarsi*. Углубление между пяточной и головкой таранной костей, латеральнее *sulcus calcanei*. В этом месте пальпируется таранно-пяточно-ладьевидный сустав. Рис. Б, В.

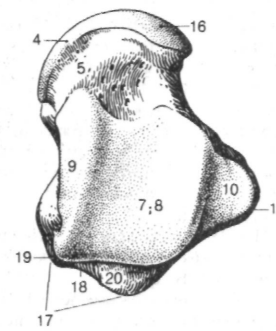


Рис. А. Правая таранная кость (вид сверху)

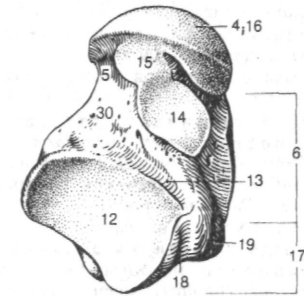


Рис. Б. Правая таранная кость (вид снизу)

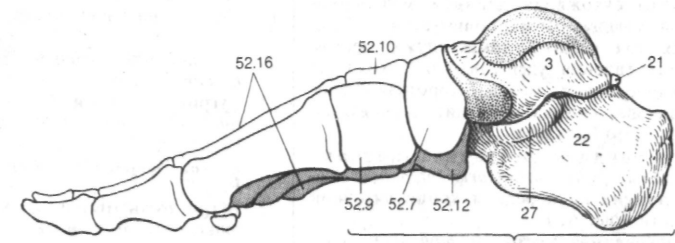


Рис. Д. Правая стопа (вид с медиальной стороны)

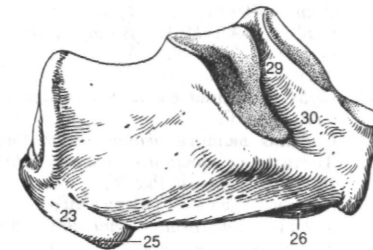


Рис. В. Правая пяточная кость (вид с латеральной стороны)

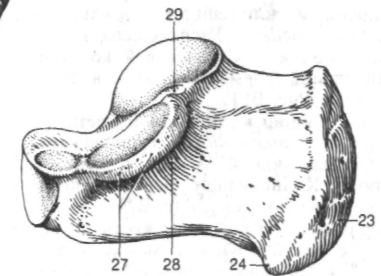


Рис. Г. Правая пяточная кость (вид с медиальной стороны)

- 1 Передняя таранная суставная поверхность, *fades articularis talaris anterior*. Предназначена для сочленения с головкой таранной кости. Рис. А, Б.
- 2 Средняя суставная поверхность, *fades articularis talaris media*. Отделена от задней суставной поверхности бороздой пяточной кости. Рис. А, Б.
- 3 Задняя таранная суставная поверхность, *fades articularis talaris posterior*. Самая большая суставная поверхность для сочленения с таранной костью. Располагается у заднего края пяточной кости. Рис. А, Б.
- 4 Борозда сухожилия длинной малоберцовой мышцы, *sulcus tendinis m. peronei (fibularis) longi*. Расположена на боковой поверхности кости под малоберцовым блоком. Рис. Б.
- 5 Малоберцовый блок, *trochlea peronealis (fibularis)*. Расположен выше борозды сухожилия длинной малоберцовой мышцы. Функционирует как блок для этой мышцы, а также служит местом прикрепления удерживателя сухожилия малоберцовых мышц. Короткая малоберцовая мышца проходит проксимальнее этого блока. Рис. Б.
- 6 Кубовидная суставная поверхность, *fades articularis cuboidea*. Расположена на переднем конце пяточной кости. Рис. А, Б.
- 7 Ладьевидная кость, *os naviculare*. Расположена между головкой таранной и тремя клиновидными костями. Рис. В, Г.
- 8 Бугристость ладьевидной кости, *tuberositas ossis navicularis*. Пальпируемая через кожу бугристая поверхность, расположенная с нижней стороны кости, у ее медиального края. Место прикрепления задней большеберцовой мышцы. Рис. Г.
- 9 Медиальная клиновидная кость, *os cuneiforme mediale*. Расположена между ладьевидной и 1-й плюсневой костями. Клиновидной формы основание направлено вниз. Рис. В, Г.
- 10 Промежуточная клиновидная кость, *os cuneiforme intermedium*. Расположена между ладьевидной и 2-й плюсневой костями. Клиновидной формы основание направлено вверх. Рис. В, Г.
- 11 Латеральная клиновидная кость, *os cuneiforme laterale*. Лежит между ладьевидной и 3-й плюсневой костями. Клиновидной формы основание обращено вверх. Рис. В, Г.
- 12 Кубовидная кость, *os cuboideum*. Расположена между пяточной, 4-5 плюсневыми костями. Рис. В, Г.
- 13 Борозда сухожилия длинной малоберцовой мышцы, *sulcus tendinis m. peronei (fibularis) longi*. Расположена с нижелатеральной стороны кубовидной кости. Рис. Г.
- 14 Бугристость кубовидной кости, *tuberositas ossis cuboidei*. Расположена на нижней поверхности кости, проксимальнее борозды сухожилия длинной малоберцовой мышцы, Рис. Г.
- 15 Пяточный отросток, *processus calcaneus*. Расположен на подошвенной поверхности кости. Содержит нижний сегмент проксимальной суставной поверхности, обращенной вверх и предназначенной для сочленения с пяточной костью. Рис. Г.
- 16 ПЛЮСНА, *metatarsus*. Часть стопы, расположенная между предплюсной и пальцами. Рис. В, Г.
- 17 I - V плюсневые кости, *ossa metatarsi (metatarsalia) [I - V]*. Рис. Г.
- 18 Основание плюсневой кости, *basis metatarsalis*. Проксимальный, утолщенный конец. Рис. Г.
- 19 Тело плюсневой кости, *corpus metatarsal*. Рис. Г.
- 20 Головка плюсневой кости, *caput metatarsalis*. Рис. В, Г.
- 21 Бугристость первой плюсневой кости, *tuberositas ossis metatarsalis primi (I)*. Расположена на проксимальном конце кости. Направлена вниз и латерально. Рис. Г.
- 22 Бугристость пятой плюсневой кости, *tuberositas ossis metatarsalis quinti (V)*. Расположена на проксимальном конце кости и направлена латерально. Место прикрепления короткой малоберцовой мышцы. Рис. В, Г.
- 23 КОСТИ ПАЛЬЦЕВ, *ossa digitorum*. - Рис. В, Г.
- 24 Фаланга, *phalanges*.
- 25 Проксимальная фаланга, *phalanx proximalis*. Рис. Г.
- 26 Средняя фаланга, *phalanx media*. Рис. Г.
- 27 Дистальная фаланга, *phalanx distalis*. Ногтевая фаланга. Рис. Г.
- 28 Бугристость дистальной фаланги, *tuberositas phalangis distalis*. Расположена на подошвенной стороне дистального конца. Место прикрепления осязательного валика. Рис. Г.
- 29 Основание фаланги, *basis phalangis*. Содержит суставную поверхность оvoidной или эллипсоидной формы. Рис. Г.
- 30 Тело фаланги, *corpus phalangis*. Рис. Г.
- 31 Головка фаланги, *caput phalangis*. Рис. Г.
- 32 Сесамовидные кости, *ossa sesamoidea*. Располагаются в сухожилиях или связках. Постоянно присутствуют с подошвенной стороны первой плюсневой кости, располагаясь по краям сухожилия длинного сгибателя большого пальца. Рис. Г.



Рис. А. Правая пяточная кость (вид сверху)

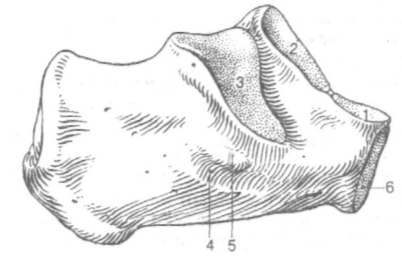


Рис. Б. Правая пяточная кость (вид с латеральной стороны)

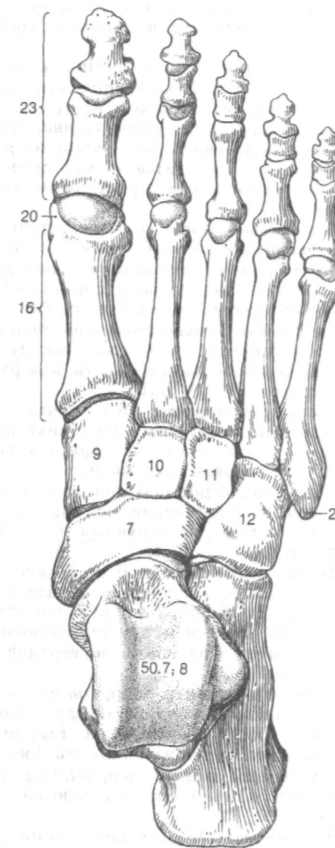


Рис. В. Скелет правой стопы (вид сверху)

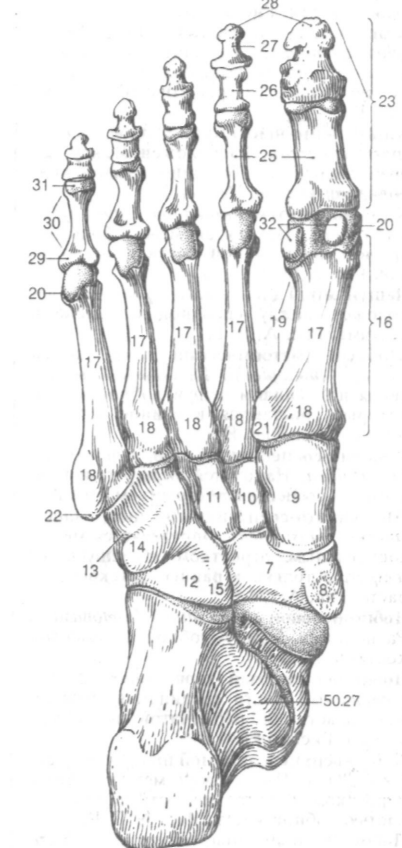


Рис. Г. Скелет правой стопы (вид снизу)



- 1 ШВЫ ЧЕРЕПА, *suturae cranii (craniales)*.
- 2 Венечный шов, *sutura coronalis*. Расположен между лобной и двумя теменными костями. Рис. А, В, Г.
- 3 Сагиттальный шов, *sutura sagittalis*. Расположен по средней линии между правой и левой теменными костями. Рис. В.
- 4 Ламбдовидный шов, *sutura lambdoidea*. Находится между затылочной и двумя теменными костями. Рис. А, Г.
- 5 Затылочно-сосцевидный шов, *sutura occipitomastoidea*. Продолжение ламбдовидного шва на основание черепа. Рис. А, Г.
- 6 Клиновидно-лобный шов, *sutura sphenofrontalis*. Расположен между большим крылом клиновидной кости и лобной костью. На основании черепа проходит между лобной и малым крылом клиновидной кости. Рис. А, Б, Г.
- 7 Клиновидно-решетчатый шов, *sutura sphenothmoidalis*. Находится спереди от клиновидного возвышения между телом *os sphenoidale* и решетчатой костью. Рис. Г.
- 8 Клиновидно-чешуйчатый шов, *sutura sphenosquamosa*. Расположен между чешуей височной и большим крылом клиновидной костей. Рис. А, В, Г.
- 9 Клиновидно-теменной шов, *sutura sphenoparietalis*. Находится между большим крылом клиновидной кости и *os parietale*. Рис. А, В, Г.
- 10 Чешуйчатый шов, *sutura squamosa*. Расположен между височной и теменной костями. Рис. А, В, Г.
- 11 [Лобный (метопический) Шов], *sutura frontalis (metopica)*. Расположен между двумя половинами чешуи лобной кости, которые срастаются в единое целое к шести годам. Рис. В.
- 12 Теменно-сосцевидный шов, *sutura parietomastoidea*. Находится между теменной костью и сосцевидным отростком. Рис. А.
- 13 [Чешуйчато-сосцевидный шов, *sutura squamosomastoidea*]. Определяется между сосцевидным отростком и чешуей *os temporale* только в раннем детском возрасте. Рис. А.
- 14 Лобно-носовой шов, *sutura frontonasalis*. Расположен между лобной и носовой костями. Рис. В.
- 15 Лобно-решетчатый шов, *sutura frontoethmoidalis*. Место соединения глазничной пластинки решетчатой и лобной костей. Рис. Б, Г.
- 16 Лобно-верхнечелюстной шов, *sutura frontomaxillaris*. Расположен между лобным отростком верхней челюсти и носовой частью лобной кости. Рис. А, Б, В.
- 17 Лобно-слезный шов, *sutura frontolacrimalis*. Соединение между слезной и лобной костями. Рис. А, Б, В.
- 18 Лобно-скуловой шов, *sutura frontozygomatica*. Расположен у латерального края глазницы между лобной и скуловой костями. Рис. А, Б, В.

- 19 Скуловерхнечелюстной шов, *sutura zygomaticomaxillaris*. Проходит на нижней стенке глазницы между лобной и скуловой костями. Рис. А, Б, В.
- 20 Решетчато-верхнечелюстной шов, *sutura ethmoidomaxillaris*. Расположен на медиальной стенке глазницы между глазничной пластинкой решетчатой кости и верхней челюстью. Рис. Б, В.
- 21 Решетчато-слезный шов, *sutura ethmoidolacrimalis*. Расположен между глазничной пластинкой решетчатой и слезной костями. Рис. Б.
- 22 Клиновидно-сошниковый шов, *sutura sphenoveriana*. Находится в перегородке носа между клиновидной костью и сошником.
- 23 Клиновидно-скуловой шов, *sutura sphenozygomatica*. Проходит в латеральной стенке глазницы между большим крылом *os sphenoidale* и скуловой костью. Рис. Б, В.
- 24 Клиновидно-верхнечелюстной шов, *sutura sphenomaxillaris*. Расположен между крыловидным отростком и верхней челюстью. Присутствует непостоянно. Рис. А.
- 25 Височно-скуловой шов, *sutura temporozygomatica*. Находится между скуловой костью и скуловым отростком *os temporale*. Рис. А.
- 26 Межносовой шов, *sutura internasalis*. Соединение двух носовых костей. Рис. В.
- 27 Носоверхнечелюстной шов, *sutura nasomaxillaris*. Соединение носовой кости и лобного отростка верхней челюсти. Рис. А, В.
- 28 Слезно-верхнечелюстной шов, *sutura lacrimomaxillaris*. Расположен между передним краем слезной кости и верхней челюстью. Рис. А, Б, В.
- 29 Слезно-раковинный шов, *sutura lacrimoconchalis*. Находится на стенке носовой полости между носовой костью и нижней носовой раковиной.
- 30 Межверхнечелюстной шов, *sutura intermaxillaris*. Соединение по средней линии между двумя верхними челюстями. Рис. В.
- 31 Небно-верхнечелюстной шов, *sutura palatomaxillaris*. Расположен в заднем отделе глазницы и на латеральной стенке носовой полости между глазничным отростком небной кости и верхней челюстью. Рис. Б.
- 32 Небно-решетчатый шов, *sutura palatoethmoidalis*. Находится между глазничным отростком небной и глазничной пластинкой решетчатой костей. Рис. Б.
- 33 Срединный небный шов, *sutura palatina mediana*. Соединение двух половин костного неба. Рис. Д.
- 34 Поперечный небный шов, *sutura palatina transversa*. Расположен между небными отростками верхней челюсти и горизонтальными пластинками небных костей. Рис. Д.

Рис. А. Череп (латеральная норма)

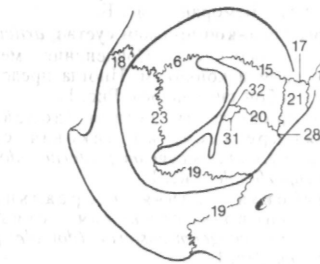
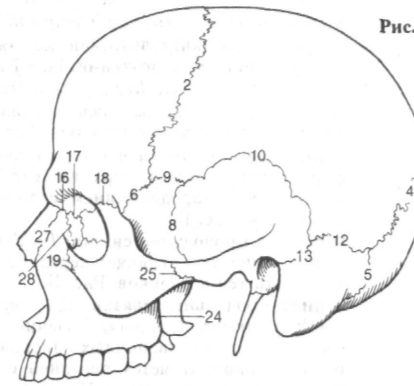


Рис. Б. Правая глазница (вид спереди)

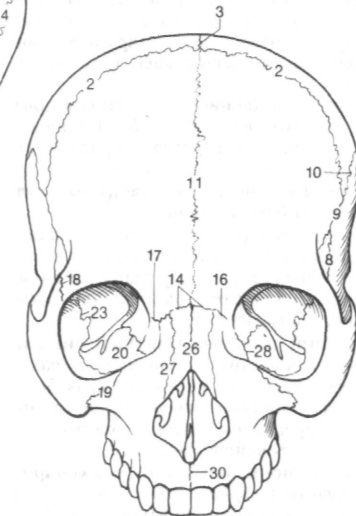


Рис. В. Череп (лицевая норма)

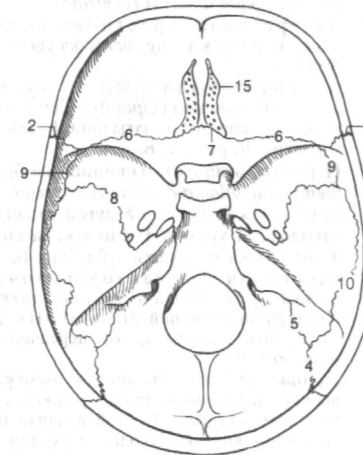


Рис. Г. Внутреннее основание черепа

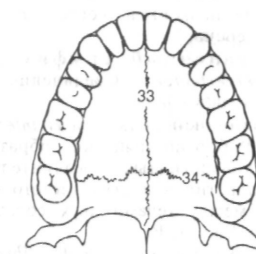


Рис. Д. Твердое небо (вид снизу)

- 1 **СИНХОНДРОЗЫ ЧЕРЕПА**, *synchondroses cranii (craniales)*. Соединения костей черепа при помощи хряща, которые обычно исчезают по мере окостенения.
- 2 **Клиновидно-затылочный синхондроз**, *synchondrosis spheno-occipitalis*. Расположен кзади и книзу от турецкого седла между телом клиновидной и затылочной костями. Рис. А.
- 3 **Клиновидно-каменистый синхондроз**, *synchondrosis sphenopetrosa*. Расположен между *os sphenoidale* и пирамидой височной кости, латеральнее враного отверстия. Рис. А.
- 4 **Каменно-затылочный синхондроз**, *synchondrosis petro-occipitalis*. Начинается от яремного отверстия и продолжается вперед и медиально. Рис. А.
- 4а **Внутризатылочные синхондрозы**, *synchondroses intraoccipitales*.
- 5 **[Задний внутризатылочный синхондроз, *synchondrosis intra-occipitalis posterior*]**. Расположен между задним и двумя боковыми центрами окостенения затылочной кости. Рис. А.
- 6 **[Передний внутризатылочный синхондроз, *synchondrosis intraoccipital anterior*]**. Начинается от переднего края большого затылочного отверстия, проходит между передним и двумя боковыми центрами окостенения. Рис. А.
- 7 **Клиновидно-решетчатый синхондроз**, *synchondrosis spheno-ethmoidalis*. Предшественник одноименного шва. См. 54.7.
- 8 **СУСТАВЫ ПОЗВОНОЧНИКА, ГРУДНОЙ КЛЕТКИ и ЧЕРЕПА**, *articulationes columnae vertebrales, thoracis et cranii*. Соединения позвонков, костей грудной клетки и черепа.
- 9 **Межпозвоночный симфиз**, *symphysis intervertebralis*. Соединение тел соседних позвонков.
- 10 **Межпозвоночный диск**, *discus intervertebralis*. Фиброзно-хрящевое образование из кольцевидных соединительнотканых пластинок и студенистого ядра в центре между телами двух соседних позвонков. Рис. Б, В.
- 11 **Фиброзное кольцо**, *anulus fibrosus*. Образовано косо ориентированными пучками фиброзных волокон, соединяющими тела соседних позвонков. Рис. Б.
- 12 **Студенистое ядро**, *nucleus pulposus*. Полужидкое вещество в центре межпозвоночного диска. Рис. Б.
- 13 **Желтые связки**, *ligamenta flava*. Состоят из эластических волокон и соединяют дуги позвонков. Рис. Б.
- 14 **Дугоотростчатые сужоBbi**, *articulationes zygapophysiales*. Формируются суставными отростками соседних позвонков. Рис. В.
- 15 **Межпоперечные связки**, *ligg. intertran-*

~ *sversaria*. Узкие тяжи между поперечными отростками позвонков. Рис. В.

- 16 **Межостистые связки**, *ligg. interspinalia*.
- ~ Широкие соединительнотканые тяжи между остистыми отростками. Рис. Б.
- 17 **Надое гнетые связки**, *ligg. supraspinalia*.
- ~ Продольные фиброзные тяжи, соединяющие верхушки остистых отростков. Рис. В.
- 18 **Выйная связка**, *lig. nuchae*. Треугольной формы пластинка в верхних отделах шеи. Является продолжением надостистых связок. Рис. Б.
- 19 **Передняя продольная связка**, *lig. longitudinalis anterior*. Соединяет передние поверхности тел позвонков. Рис. Б.
- 20 **Задняя продольная связка**, *lig. longitudinalis posterior*. Соединяет задние поверхности межпозвоночных дисков и тел позвонков, является передней стенкой позвоночного канала. На уровне 3-го шейного позвонка переходит в покровную мембрану. Рис. Б.
- 21 **Крестцово-копчиковый сустав**, *articulatio sacrococcygea*. Сочленение между крестцом и копчиком. Иногда представляет собой синхондроз. Рис. Г.
- 22 **Поверхностная задняя (дорсальная) крестцово-копчиковая связка**, *lig. sacrococcygeum posterius (dorsale) superficial*. Рис. Г.
- 23 **Глубокая задняя (дорсальная) крестцово-копчиковая связка**, *lig. sacrococcygeum posterius (dorsale) profundum*. Рис. Г.
- 24 **Передняя (вентральная) крестцово-копчиковая связка**, *lig. sacrococcygeum anterius (ventrale)*.
- 25 **Латеральная крестцово-копчиковая связка**, *lig. sacrococcygeum laterale*. Рис. Г.
- 26 **Атлантозатылочный сустав**, *articulatio atlanto-occipitalis*. Сочленение между атлантом и затылочной костью. См. стр. 59, рис. А, Б.
- 27 **Передняя атлантозатылочная мембрана**, *membrana atlanto-occipitalis anterior*. Натянута между передней дугой атланта и затылочной костью. Расположена спереди от связки верхушки зуба. Рис. Б.
- 28 **[Передняя атлантозатылочная связка, *lig. atlanto-occipitale anterius*]**. Утолщение передней атлантозатылочной мембраны. Начинается от переднего бугорка атланта.
- 29 **Задняя атлантозатылочная мембрана**, *membrana atlanto-occipitalis posterior*. Натянута между задней дугой атланта и затылочной костью. Входит в состав задней стенки позвоночного канала. Рис. Б.
- 30 **Латеральная атлантозатылочная связка**, *lig. atlanto-occipitale laterale*. Косо направленный фиброзный тяж, соединяющий поперечный отросток атланта с яремным отростком затылочной кости.



Рис. А. Наружное основание черепа новорожденного

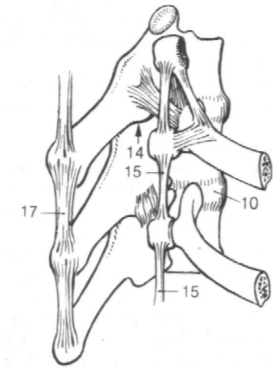


Рис. В. Связки позвоночного столба и ребер (вид с латеральной стороны)

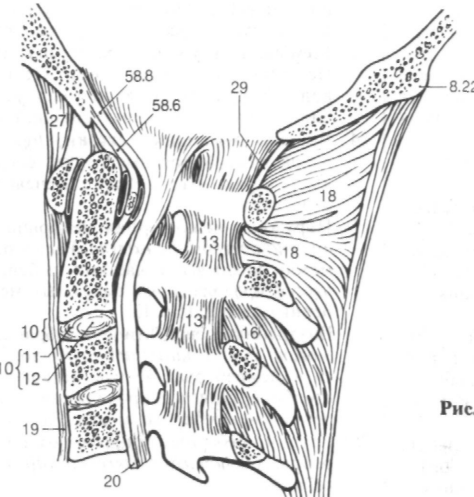


Рис. Б. Связки шейного отдела позвоночного столба (вид с медиальной стороны)

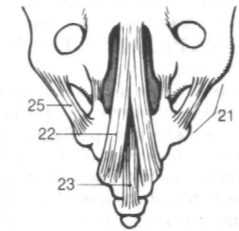


Рис. Г. Связки копчика (вид сзади)

- 1 Латеральный атлантоосевой сустав, *articulatio atlanto-axialis lateralis*. Располагается между нижней суставной поверхностью атланта и верхней суставной поверхностью осевого позвонка. Рис. А, Б.
  - 2 Срединный атлантоосевой сустав, *articulatio atlanto-axialis mediana*. Сочленение между зубом осевого позвонка и атлантом. Рис. В.
  - 3 Крыловидные связки, *ligg. alaria*. Парные образования, направленные от зуба осевого позвонка к латеральным краям большого отверстия. Рис. А, Б.
  - 4 Связка зуба, *lig. apicis dentis*. Направляется от верхушки зуба к переднему краю большого отверстия. Рис. А, В.
  - 5 Крестообразная связка атланта, *lig. cruciforme atlantis*. Расположена между зубом и покровной мембраной. Включает в свой состав описанные ниже структуры (6 и 7). Рис. Б.
  - 6 Продольные пучки, *fasciculi longitudinales*. Направляются от тела осевого позвонка к переднему краю большого отверстия позади зуба и *lig. apicis dentis*. Рис. Б, В.
  - 7 Поперечная связка, *lig. transversum atlantis*. Натянута между боковыми массами атланта и охватывает зуб осевого позвонка сзади. Рис. Б, В.
  - 8 Покровная мембрана, *membrana tectoria*. Является продолжением задней продольной связки в направлении переднего края большого отверстия, где переходит в надкостницу костей основания черепа и твердую мозговую оболочку. Рис. В.
- 9 СУСТАВЫ ГРУДНОЙ КЛЕТКИ, *articulationes thoracis*.**
- 10 Реберно-позвоночные суставы, *articulationes costovertebrales*. Рис. Г.
  - 11 Сустав головки ребра, *articulatio capitis costae (costalis)*. Сочленение между головкой ребра, телом позвонка и межпозвоночным диском. Рис. Г.
  - 12 Лучистая связка головки ребра, *lig. capitis costae radiatum*. Направляется от передней поверхности головки ребра к телам близлежащих позвонков и межпозвоночному диску. Рис. Г, Д.
  - 13 Внутрисуставная связка головки ребра, *lig. capitis costae intra-articulare*. Соединяет гребень головки ребра с межпозвоночным диском. Рис. Д.
  - 14 Реберно-поперечный сустав, *articulatio costotransversaria*. Сочленение между бугорком ребра и поперечным отростком. Рис. Г.
  - 15 Реберно-поперечная связка, *lig. costotransversarium*. Расположена между поперечным отростком и шейкой ребра. Рис. Г.

- 16 Верхняя реберно-поперечная связка, *lig. costotransversarium superius*. Направляется от ребра к поперечному отростку вышележащего позвонка. Рис. Д.
- 17 Латеральная реберно-поперечная связка, *lig. costotransversarium laterale*. Направляется от верхушки поперечного отростка к бугорку соответствующего ему ребра. Рис. Г.
- 18 Пояснично-реберная связка, *lig. lumbocostal*. Верхняя часть пояснично-грудной фасции, прикрепляющаяся к двенадцатому ребру.
- 19 Реберно-поперечное отверстие, *foramen costotransversarium*. Расположено между верхней реберно-поперечной связкой и шейкой ребра. Содержит межреберный нерв. Рис. Д.
- 20 Грудно-реберные суставы, *articulationes sternocostales*. Сочленение реберных хрящей с грудиной. Рис. Е.
- 21 Внутрисуставная грудно-реберная связка, *lig. sternocostale intra-articulare*. Находится внутри суставной полости между хрящами ребер и грудиной. Постоянно присутствует в суставе второго ребра. Рис. Е.
- 22 Лучистые грудно-реберные связки, *ligg. sternocostalia radiata*. Состоят из радиально ориентированных волокон, идущих от реберного хряща к грудиной спереди от грудно-реберного сустава. Рис. Е.
- 23 Мембрана грудины, *membrana sterni*. Покрывает переднюю поверхность грудины. В ее формировании участвуют лучистые грудно-реберные связки. Рис. Е.
- 24 Реберно-мечевидные связки, *ligg. costoxiphoidae*. Фиброзные пучки, соединяющие хрящ 7-го ребра с мечевидным отростком.
- 25 Наружная межреберная мембрана, *membrana intercostalis externa*. Расположена между хрящевыми частями ребер. Является продолжением наружных межреберных мышц. Рис. Е.
- 26 Внутренняя межреберная мембрана, *membrana intercostalis interna*. Располагается в межреберьях вблизи позвоночного столба и является продолжением внутренних межреберных мышц. Рис. Д.
- 26а Грудно-реберный синхондроз первого ребра, *sinchondrosis sternocostalis costae primae*.
- 27 Межхрящевые суставы, *articulationes interchondrales*. Сочленения между шестым - девятым реберными хрящами. См. стр. 7, рис. Г.
- 28 Реберно-хрящевые суставы, *articulationes costochondrales*. Сочленения между костной и хрящевой частями ребер без образования суставной полости.

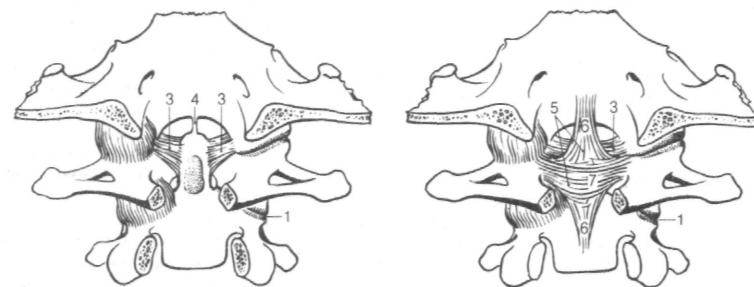


Рис. А. Связки зуба осевого позвонка (вид сзади)

Рис. Б. Связки срединного атлантоосевого сустава (вид сзади)

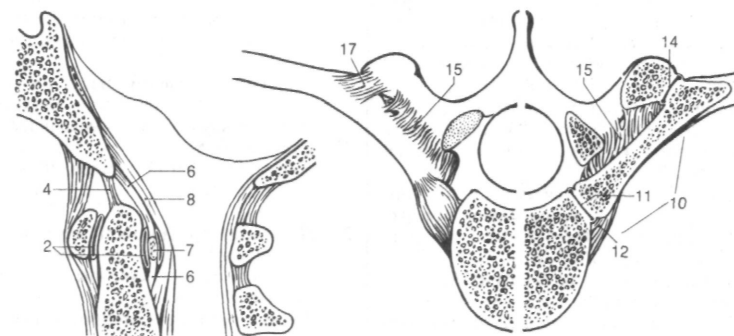


Рис. В. Связки между атлантом, осевым позвонком и затылочной костью

Рис. Г. Связки позвоночного столба и ребер (справа на поперечном распиле)

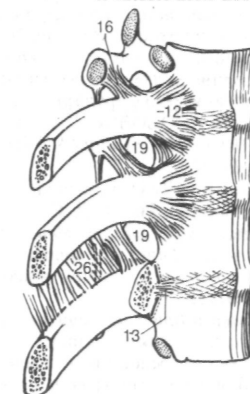


Рис. Д. Связки позвоночного столба и ребер

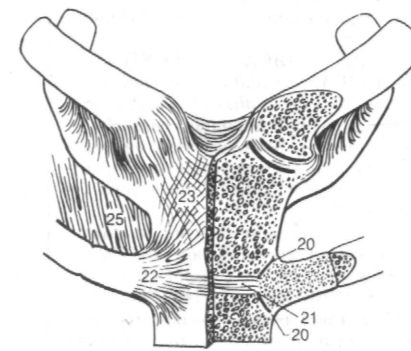


Рис. Е. Грудно-реберные суставы и ребер

- 1 СИНОВИАЛЬНЫЕ СУСТАВЫ ЧЕРЕПА, *articulationes synoviales cranii*.
- 2 Височно-нижнечелюстной сустав, *articulatio temporomandibularis*. Рис. А, Б, В.
- 3 Суставной диск, *discus articularis*. Двояковогнутая соединительнотканная структура между головкой нижней челюсти и нижнечелюстной ямкой. Разделяет сустав на два отдела (этажа). Рис. В.
- 4 Латеральная связка, *lig. laterale*. Расположена на наружной поверхности капсулы сустава. Идет от шейки нижней челюсти вверх и вперед к скуловому отростку височной кости. Рис. А.
- 5 Медиальная связка, *lig. mediate*. Утолщение медиальной стенки капсулы сустава. Рис. Б.
- 6 Верхняя синовиальная мембрана, *membrana synovialis superior*. Выстилает верхний отдел полости сустава. Рис. В.
- 7 Нижняя синовиальная мембрана, *membrana synovialis inferior*. Выстилает нижний отдел полости сустава. Рис. В.
- 8 Клинновидно-нижнечелюстная связка, *lig. sphenomandibulare*. Соединяет ость клиновидной кости с ятычком нижней челюсти. Рис. Б.
- 9 Шилоподъязычная связка, *lig. stylohyoideum*. Идет от передней поверхности шиловидного отростка до угла нижней челюсти. Рис. А, Б.
- 10 Крыловидно-остистая связка, *lig. pterygospinale*. Широкий соединительнотканный тяж, направляющийся от верхней части латеральной пластинки крыловидного отростка к ости клиновидной кости. Рис. Б.
- 11 Шилоподъязычная связка, *lig. stylohyoideum*. Находится между шиловидным отростком и малым рогом подъязычной кости. Производное второй жаберной дуги. Рис. Б.
- 12 СУСТАВЫ ПОЯСА ВЕРХНЕЙ КОНЕЧНОСТИ, *articulationes cinguli membri superiores (pectoralis)*. Рис. Г, Д, Е, Ж.
- 13 Ключовидно-акромиальная связка, *lig. coracoacromiale*. Мощный тяж, соединяющий акромион с ключовидным отростком. Формирует "крышу" плечевого сустава. Рис. Г.
- 14 Верхняя поперечная связка лопатки, *lig. transversum scapulae superius*. Расположена медиально от ключовидного отростка над вырезкой лопатки. Рис. Г.
- 15 [Нижняя поперечная связка лопатки, *lig. transversum scapulae inferius*]. Тонкий соединительнотканный тяж, идущий от основания лопаточной ости до заднего края суставной впадины. Рис. Е.
- 16 Акромиально-ключичный сустав, *articulatio acromioclavicularis*. Рис. Г.

- 17 Акромиально-ключичная связка, *lig. acromioclavicularis*. Крепкий фиброзный тяж, соединяющий ключицу с акромионом. Проходит в составе капсулы одноименного сустава. Рис. Г.
- 18 Суставной диск, *discus articularis*. Внутрисуставная структура, состоящая из волокнистого хряща. Рис. Г.
- 19 Ключовидно-ключичная связка, *lig. coracoclavicularis*. Соединяет ключовидный отросток и ключицу, состоит из двух частей. Рис. Г.
- 20 Трапециевидная связка, *lig. trapezoideum*. Часть ключовидно-ключичной связки, которая идет вверх и латерально от ключовидного отростка к ключице. Расположена между конической и акромиально-ключичной связками. Рис. Г.
- 21 Коническая связка, *lig. conoideum*. Часть ключовидно-ключичной связки. Начинается от основания ключовидного отростка и лежит медиально от *lig. trapezoideum*. Рис. Г.
- 22 Грудно-ключичный сустав, *articulatio sternoclavicularis*. Двухкамерный сустав между грудной и ключицей. Рис. Ж.
- 23 Суставной диск, *discus articularis*. Располагается внутри сустава. Фиксируется к его капсуле, 1-му ребру и ключице. Рис. Ж.
- 24 Передняя грудно-ключичная связка, *lig. sternoclavicularis anterioris*. Утолщение передней стенки капсулы одноименного сустава. Рис. Ж.
- 25 Задняя грудно-ключичная связка, *lig. sternoclavicularis posterioris*. Утолщение задней стенки капсулы сустава.
- 26 Реберно-ключичная связка, *lig. costoclavicularis*. Соединяет первое ребро и ключицу. Располагается латерально от грудно-ключичного сустава. Рис. Ж.
- 27 Межключичная связка, *lig. interclavicularis*. Соединяет две ключицы и заполняет яремную вырезку грудины. Рис. Ж.
- 28 СУСТАВЫ СВОБОДНОЙ ВЕРХНЕЙ КОНЕЧНОСТИ, *articulationes membri superiores liberi*.
- 29 Плечевой сустав, *articulatio humeri (glenohumeralis)*. Рис. Г, Д, Е.
- 30 Суставная губа, *labrum glenoidale*. Состоит из волокнистого хряща и расположена по краю суставной впадины лопатки. Рис. Д.
- 31 Ключовидно-плечевая связка, *lig. coracohumeralis*. Утолщение капсулы плечевого сустава между основанием ключовидного отростка и верхними краями большого и малого бугорков плечевой кости. Рис. Г, Д.
- 32 Суставноплечевые связки, *ligg. glenohumeralia*. Верхнее, среднее и нижнее утолщения передней стенки капсулы сустава. Рис. Г, Д.

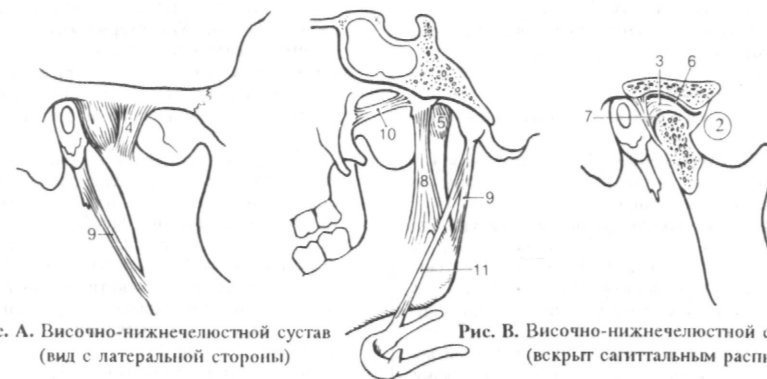


Рис. А. Височно-нижнечелюстной сустав (вид с латеральной стороны)

Рис. В. Височно-нижнечелюстной сустав (вскрыт сагитальным распилом)

Рис. Б. Височно-нижнечелюстной сустав (вид с медиальной стороны)

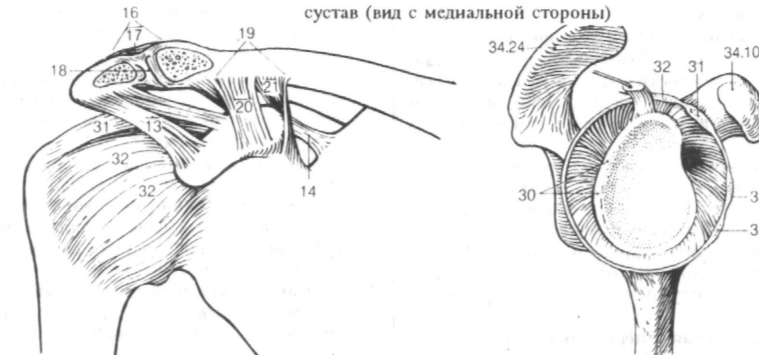


Рис. Г. Правые плечевой и ключично-акромиальный суставы (вид спереди)

Рис. Д. Суставная впадина лопатки (плечевой сустав вскрыт, плечевая кость удалена)

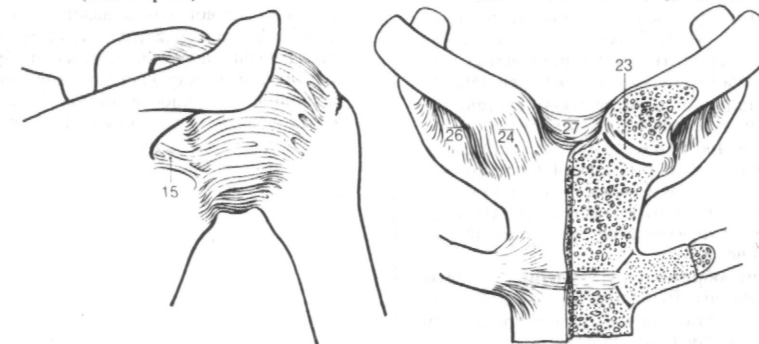


Рис. Е. Плечевой сустав (вид сзади)

Рис. Ж. Грудно-ключичные суставы

- 1 **Локтевой сустав, *articulatio cubiti (cubitalis)***. Сочленение костей плеча и предплечья. Рис. А.
- 2 **Плечелоктевой сустав, *articulatio humeroulnaris***.
- 3 **Плечелучевой сустав, *articulatio humeroradialis***.
- 4 **Проксимальный лучелоктевой сустав, *articulatio radioulnaris proximalis***. Сочленение между суставной окружностью головки лучевой и *incisura radialis* локтевой костей.
- 5 **Локтевая коллатеральная связка, *lig. collaterale ulnare***. Расположена между плечевой и локтевой костями с внутренней стороны капсулы сустава. Рис. А.
- 6 **Лучевая коллатеральная связка, *lig. collaterale radiale***. Начинается от латерального надмыщелка, одна часть ее волокон продолжается в кольцевую связку, другая - прикрепляется к локтевой кости. Рис. А.
- 7 Кольцевая связка лучевой кости, *lig. anulare radii*. Охватывает часть суставной окружности головки лучевой кости. Прикрепляется на переднем и заднем гребнях лучевой вырезки локтевой кости. Рис. А.
- 8 Квадратная связка, *lig. quadratum*. Тонкий фиброзный тяж, идущий от дистального края лучевой вырезки локтевой кости к шейке лучевой.
- 9 Лучелоктевой синдесмоз [сустав], *syn-desmosis [articulatio] radioulnaris*. Сочленение между лучевой и локтевой костями.
- 10 Межкостная перепонка предплечья, *membra nta antebrachii interossea*. Соединяет межкостные края лучевой и локтевой костей. Рис. А.
- 11 Косая хорда, *chorda obliqua*. Соединяет *tuberositas ulnae* с межкостным краем лучевой кости. Входящие в ее состав пучки ориентированы перпендикулярно волокнам межкостной перепонки. Рис. А.
- 12 Дистальный лучелоктевой сустав, *articulatio radioulnaris distalis*. Рис. Б.
- 13 Суставной диск, *discus articularis*. Расположен между головкой локтевой кости и запястьем. Соединяет лучевую кость с шиловидным отростком локтевой и выполняет функцию внутрисуставной связки. Рис. Б.
- 14 Мешкообразное углубление, *recessus sacciformis*. Выпячивание расслабленной части суставной капсулы в проксимальном направлении. Рис. Б.
- 15 Лучезапястный сустав, *articulatio radiocarpalis*. Сочленение костей проксимального ряда запястья, лучевой кости и суставного диска. Рис. Б.
- 15а С у с т « в » в ы запястья, *articulationes carpi*.
- 16 **Межзапястные суставы, *articulationes intercarpales***. Расположены между соседними костями в пределах одного ряда запястья. Характеризуются малым объемом движений. Рис. Б.
- 17 **Среднезапястный сустав, *articulatio mediocarpalis***. Сочленение между костями проксимального и дистального рядов запястья. Рис. Б.
- 18 **Тыльная лучезапястная связка, *lig. radiocarpal, dorsale***. Расположена на тыльной поверхности кисти между лучевой и трехгранной костями. Рис. В.
- 19 **Ладонная лучезапястная связка, *lig. radiocarpal, palmare***. Расположена на ладонной поверхности кисти. Ее волокна веерообразно расходятся от лучевой кости в направлении полулунной и головчатой костей. Рис. Г.
- 20 **Ладонная локтезапястная связка, *lig. ulnocarpale palmare***. Направляется от головки локтевой кости к *os capitatum*. Ее волокна часто переходят в ладонную лучезапястную связку. Рис. Г.
- 21 **Лучистая связка запястья, *lig. carpi radiatum***. Группа волокон, которые расходятся от головки *os capitatum* к боковым сторонам кисти. Рис. Г.
- 22 **Локтевая коллатеральная связка запястья, *lig. collaterale carpi ulnare***. Расположена между шиловидным отростком локтевой кости с одной стороны, трехгранной и гороховидной костями запястья - с другой. Рис. В, Г.
- 23 **Лучевая коллатеральная связка запястья, *lig. collaterale carpi radiale***. Идет от шиловидного отростка лучевой кости к *os capitatum*. Рис. В, Г.
- 24 **Тыльные межзапястные связки, *ligg. intercarpalia dorsalia***. Расположены на тыле кисти между костями проксимального и дистального рядов запястья. Рис. В.
- 25 **Ладонные межзапястные связки, *ligg. intercarpalia palmaria***. Группа фиброзных пучков между костями запястья на ладонной поверхности кисти. Расположены под лучистой связкой запястья. Рис. Г.

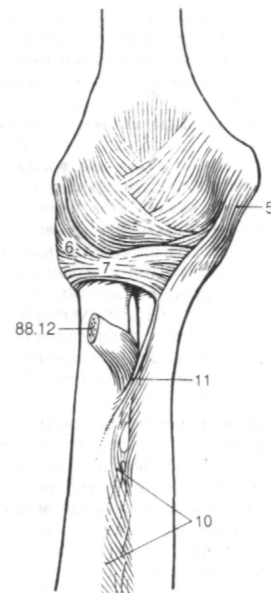


Рис. А. Локтевой сустав (вид спереди)

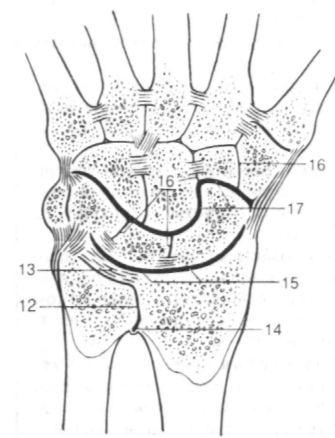


Рис. Б. Суставы и связки кисти (суставы вскрыты горизонтальным распилом)

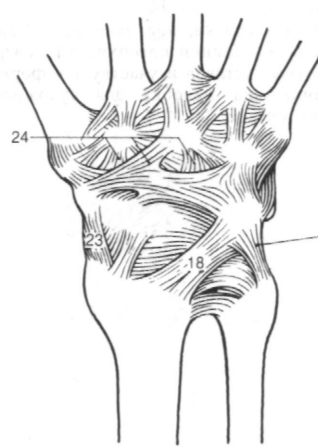


Рис. В. Связки запястья (тыльная поверхность)

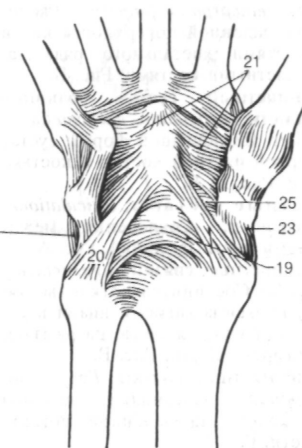


Рис. Г. Связки запястья (ладонная поверхность)

- 1 СУСТАВЫ КИСТИ, *articulationes manus*. Рис. А, Б, В.
- 2 Межкостные межзапястные связки, *ligg. intercarpalia interossea*. Проходят внутри суставных щелей межзапястных суставов. Рис. А.
- 3 Сустав гороховидной кости, *agticulatio ossis pisiformis*. Сочленение между гороховидной и трехгранной костями. Рис. А.
- 4 Гороховидно-крючковая связка, *lig. pisohamatum*. Продолжение сухожилия локтевого сгибателя запястья к крючку *os hamati*. Рис. Б.
- 5 Гороховидно-пястная связка, *lig. pisometacarpale*. Продолжение сухожилия локтевого сгибателя запястья в латеральном направлении к основанию пятой пястной кости. Рис. Б.
- 6 Канал запястья, *canalis carpi (carpalis)*. Расположен под удерживателем сгибателей между бугорками ладьевидной и большой многоугольной костей с одной стороны, *os pisiforme* и крючком крючковидной кости - с другой. Рис. Б.
- 7 Запястно-пястные суставы, *articulationes carpometocarpales*. Малоподвижные сочленения между пястными костями и костями дистального ряда запястья. Рис. А.
- 8 Тыльные запястно-пястные связки, *ligg. carpometocarpalia dorsalia*. Находятся между пястными костями и дистальным рядом костей запястья. Рис. В.
- 9 Ладонные запястно-пястные связки, *ligg. carpometocarpalia palmaria*. Расположены на ладонной поверхности кисти между костями дистального ряда запястья и пястными костями. Рис. Б.
- 10 Запястно-пястный сустав большого пальца кисти, *articulatio carpometacarpal pollicis*. Седловидной формы сустав между первой пястной костью и костью трапецией. Рис. А, Б.
- 11 Межпястные суставы, *articulationes intermetacarpales*. Сочленения между основаниями пястных костей. Рис. А.
- 12 Тыльные пястные связки, *ligg. metacarpalia dorsalia*. Соединительнотканные тяжи между проксимальными концами пястных костей, расположенные на разгибательной стороне кисти. Рис. В.
- 13 Ладонные пястные связки, *ligg. metacarpalia palmaria*. Соединяют основания пястных костей на ладонной поверхности кисти. Рис. Б.
- 14 Межкостные пястные связки, *ligg. metacarpalia interossea*. Короткие внутрисуставные связки, соединяющие основания пястных костей. Расположены между тыльными и ладонными пястными связками. Рис. А.

- 15 Межкостные промежутки пястья, *spatia interossea metacarpi*. Рис. А, В.
- 16 Пястно-фаланговые суставы, *articulationes metacarpophalangeals*. Сочленения между головками пястных костей и основаниями проксимальных фаланг. Рис. Б.
- 17 Коллатеральные связки, *ligg. collateralia*. Входят в состав капсулы пястно-фалангового сустава. Во время разгибания пальцев расслабляются, при сжатии руки в кулак - натягиваются. Рис. Б.
- 18 Ладонные связки, *ligg. palmaria*. Расположены в промежутке между коллатеральными связками с ладонной поверхности суставов. Участвуют в образовании дна желобка для сухожилий сгибателей пальцев, с фиброзными влагалищами которых они соединяются только по краям этого углубления. Рис. Б. См. также 92.28.
- 19 Глубокая поперечная пястная связка, *lig. metacarpals transversum profundum*. Поперечные фиброзные пучки на ладонной поверхности головок пястных костей, расположенные вблизи суставов и соединяющие между собой ладонные связки второго - пятого пястно-фаланговых суставов. Рис. Б.
- 20 Межфаланговые суставы, *articulationes interphalangeales*. Средний и дистальный суставы, между фалангами пальцев. Рис. Б.
- 21 Коллатеральные связки, *ligg. collateralia*. Входят в состав капсулы межфалангового сустава. Рис. Б.
- 22 Ладонная связка, *ligg. palmaria*. Расположена с ладонной поверхности межфаланговых суставов и участвует в формировании дна желобка для сухожилий мышц. Рис. Б.

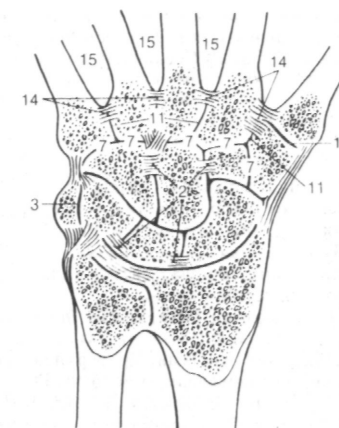


Рис. А. Суставы и связки правой кисти (суставы вскрыты горизонтальным распилем)

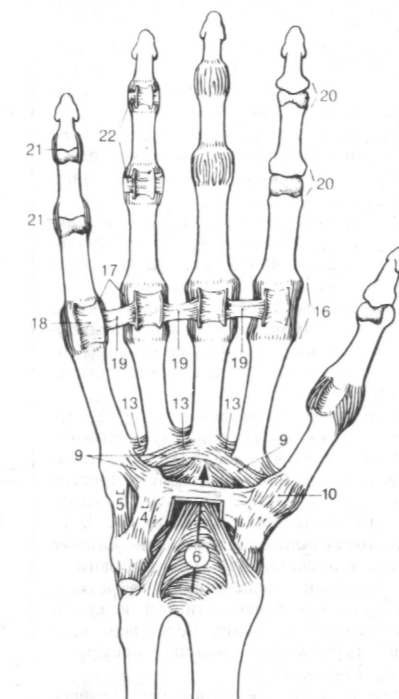


Рис. Б. Суставы кисти (ладонная поверхность)

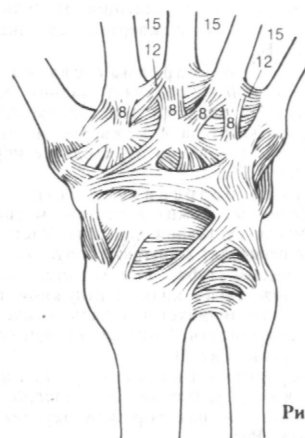


Рис. В. Суставы правой кисти (тыльная поверхность)



- 1 СУСТАВЫ ПОЯСА НИЖНЕЙ КО-  
НЕЧНОСТИ, *articulationes cinguli mem-  
bri inferioris (pelvici)*.
- 2 Запирательная мембрана, *membrana ob-  
turatoria*. Закрывает запирательное от-  
верстие за исключением запирательного  
канала. Покрывается наружной и внутренней  
запирательными мышцами. Рис. А, Б, В, Г.
- 3 Запирательный канал, *canalis obtura-  
torius*. Расположен между двумя запира-  
тельными бугорками в верхнелатеральной  
части запирательного отверстия. Содержит  
одноименные сосуды и нерв. Рис. А, В, Г.
- 4 Пояснично-крестцовый сустав, *articula-  
tio lumbosacralis*. Сочленение между  
крестцом и пятым (четвертым) пояснич-  
ным позвонком. Рис. А.
- 5 Подвздошно-поясничная связка, *lig.  
iliolumbale*. Мощные пучки между попе-  
речными отростками L4 - 5 и подвздош-  
ной костью. Рис. А, Б.
- 6 Крестцово-бугорная связка, *lig. sacro-  
tuberale*. Расположена между седалищным  
бугром, подвздошной костью и крест-  
цом. Рис. Б, Г.
- 7 Серповидный отросток, *processus  
falcatiformis*. Продолжение крестцово-бугор-  
ной связки в направлении внутренней  
поверхности седалищной кости.  
Рис. Б.
- 8 Крестцово-остистая связка, *lig. sacro-  
spinalis*. Лежит медиально от крестцово-  
бугорной связки, соединяет ость седалищ-  
ной кости с одной стороны, крестец  
и копчик - с другой. Отделяет большое  
седалищное отверстие от малого. Рис. Б, Г.
- 9 Большое седалищное отверстие, *foramen  
sciaticum (ischadicum) majus*. Ограниче-  
но большой седалищной вырезкой,  
крестцом, крестцово-остистой и крест-  
цово-бугорной связками. Через него про-  
ходит грушевидная мышца, сосуды и  
нервы. Рис. А, Б, Г.
- 10 Малое седалищное отверстие, *foramen  
sciaticum (ischadicum) minus*. Ограниче-  
но малой седалищной вырезкой, крест-  
цово-остистой и крестцово-бугорной связ-  
ками. Содержит сухожилие внутренней  
запирательной мышцы, сосуды и нервы,  
направляющиеся в седалищно-прямоки-  
шечную ямку. Рис. Б, Г.
- 11 Крестцово-подвздошный су-  
став, *articulatio sacroiliaca*. Малопод-  
вижное сочленение (синдесмоз) между  
крестцом и подвздошной костью. Рис. А.
- 12 Передние (вентральные) крестцово-под-  
вздошные связки, *ligg. sacroiliaca anteri-  
ora (ventralia)*. Тонкая, широкая фиб-  
розная мембрана, соединяющая переднюю  
поверхность S1 - 2 с подвздошной  
костью. Рис. А, Г.
- 13 Межкостные крестцово- подвздошные  
связки, *ligg. sacroiliaca interossea*. Мощ-

ные фиброзные пучки между крестцовой  
и подвздошной бугристостями. Рис. Б.

- 14 Задние (дорсальные) крестцово-под-  
вздошные связки, *ligg. sacroiliaca poste-  
riora (dorsalia)*. Соединяют подвздошную  
кость с крестцом и прикрывают сзади  
межкостные крестцово-подвздошные  
связки. Рис. Б.

- 15 Лобковый симфиз, *symphysis pubi-  
sa*. Рис. А.

- 16 Верхняя лобковая связка, *lig. pubicum  
superius*. Фиброзный тяж между гребня-  
ми двух лобковых костей. Рис. А.

- 17 Дугообразная связка лобка, *lig. arcu-  
atum pubis*. Мощная связка ниже лобко-  
вого симфиза. Рис. А.

- 18 Межлобковый диск, *discus interpubicus*.  
Фиброзно-хрящевая структура между  
лобковыми костями. В верхней части  
содержит шелевидную полость. Рис. А.

- 19 СУСТАВЫ СВОБОДНОЙ НИЖНЕЙ  
КОНЕЧНОСТИ, *articulationes membri in-  
ferioris liberi*.

- 20 Тазобедренный сустав, *articulatio  
coxae (iliofemoralis)*. Образован вертлуж-  
ной впадиной и головкой бедренной  
кости. Рис. А, Б, В.

- 21 Суставная капсула, *capsula articularis*.  
Прикрепляется спереди по межвертель-  
ной линии, сзади - проксимальнее меж-  
вертельного гребня. В связи с этим вы-  
деляют внутри- или внесуставные пере-  
ломы шейки бедренной кости. Рис. А, Б.

- 22 Круговая зона, *zona orbicularis*. Окру-  
жает шейку бедренной кости. Рис. Б.

- 23 Подвздошно-бедренная связка, *lig. ilio-  
femorale*. Прочный тяж в передней части  
суставной капсулы, идущий от подвздош-  
ной кости к межвертельной линии.  
Рис. А, Б.

- 24 Седалищно-бедренная связка, *lig.  
ischiofemorale*. Соединяет задний край  
вертлужной впадины с передним краем  
большого вертела и межвертельной ли-  
нией. Часть волокон переходит в круго-  
вую зону. Рис. Б.

- 25 Лобково-бедренная связка, *lig.  
pubofemorale*. Лежит в составе медиаль-  
ной части суставной капсулы. Часть во-  
локон переходит в круговую зону. Рис. А.

- 26 Вертлужная губа, *labrum acetabulare*.  
Расположена по краю вертлужной впа-  
дины и увеличивает площадь ее суста-  
вной поверхности. Состоит из волокни-  
стого хряща. Рис. В.

- 27 Поперечная связка вертлужной  
впадины, *lig. transversum acetabuli*. Пе-  
рекидывается над вырезкой вертлужной  
впадины. Рис. В.

- 28 Связка головки бедренной кости, *lig.  
capitis femoris*. Соединяет вырезку вер-  
тлужной впадины с ямкой головки бе-  
дренной кости и содержит кровеносные  
сосуды. Рис. В.

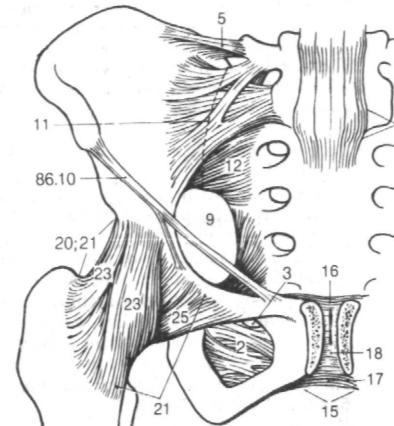


Рис. А. Связки таза и тазо-  
бедренного  
сустава (вид спереди)

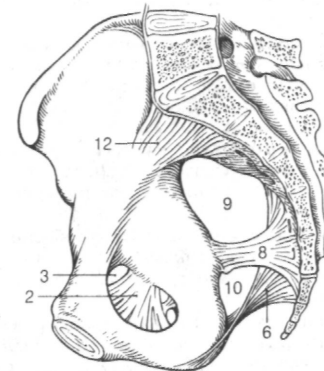


Рис. Г. Связки таза  
(вид с медиальной стороны)

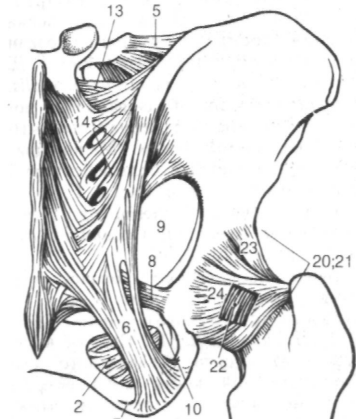


Рис. Б. Связки таза и тазо-  
бедренного сустава  
(вид сзади)

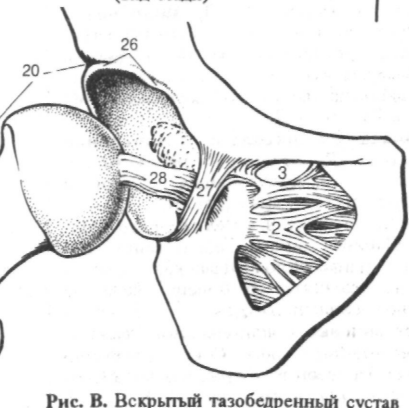


Рис. В. Вскрытый тазобедренный сустав

- 1 Коленный сустав, *articulatio genus [genualis]*. Рис. А, Б, В, Г, Д.
- 2 Латеральный мениск, *meniscus lateralis*. Серповидной формы образование из волокнистого хряща под латеральным мышелком бедренной кости. Малоподвижен, если срастается с малоберцовой коллатеральной связкой. Рис. Б, Г, Д.
- 3 Передняя мениско-бедренная связка, *lig. meniscofemoral anterius*. Соединяет задний рог латерального мениска с передней крестообразной связкой и проходит от *lig. cruciatum posterius*. Встречается редко. Рис. Г, Д.
- 4 Задняя мениско-бедренная связка, *lig. meniscofemoral posterius*. Соединяет латеральный мениск с внутренней поверхностью медиального мышелка бедренной кости и проходит позади задней крестообразной связки. Рис. Г, Д.
- 5 Медиальный мениск, *meniscus medialis*. Полулунной формы образование из волокнистого хряща под медиальным мышелком бедренной кости. Малоподвижен, если срастается с большеберцовой коллатеральной связкой. Рис. Б, Г, Д.
- 6 Поперечная связка колена, *lig. transversum genus [genuale]*. Соединяет мениски спереди. Рис. Б, Г.
- 7 Крестообразные связки колена, *ligg. cruciata genus [genualia]*. Рис. Б, Д.
- 8 Передняя крестообразная связка, *lig. cruciatum anterius*. Идет от внутренней поверхности латерального мышелка бедренной кости косо вперед, вниз и медиально к переднему межмышелковому полю. Удерживает большеберцовую кость от соскальзывания вперед. Рис. Б, Г, Д.
- 9 Задняя крестообразная связка, *lig. cruciatum posterius*. Проходит между внутренней поверхностью медиального мышелка бедренной кости и задним межмышелковым полем. Удерживает большеберцовую кость от соскальзывания назад. Рис. Б, Г, Д.
- 10 Поднадколенниковая синовиальная складка, *plica synovialis infrapatellaris*. Продолжение крыловидных складок в межмышелковую ямку. Рис. Б.
- 11 Крыловидные складки, *plicae alares*. Парное жировое образование, покрытое синовиальной оболочкой - пластический наполнитель переднего отдела суставной полости. Рис. Б.
- 12 Малоберцовая коллатеральная связка, *lig. collateral fibulare*. Соединяет головку малоберцовой и латеральный надмышелок бедренной костей. Рис. А, Б, В, Г, Д.
- 13 Большеберцовая коллатеральная связка, *lig. collateralare tibiale*. Соединяет большеберцовую кость с медиальным надмышелком бедренной. Рис. А, Б, В, Г, Д.

- 14 Косая подколенная связка, *lig. popliteum obliquum*. Фиброзный тяж на задней стенке капсулы сустава. Является продолжением кверху и латерально сухожилия полуперепончатой мышцы. Рис. В.
- 15 Дугообразная подколенная связка, *lig. popliteum arcuatum*. Начинается от латерального мышелка бедренной кости и охватывает сухожилие подколенной мышцы у места его выхода из полости сустава. Рис. В.
- 16 Связка надколенника, *lig. patellae*. Является продолжением сухожилия четырехглавой мышцы бедра. Проходит от верхушки надколенника до бугристости большеберцовой кости. Рис. А.
- 17 Медиальная поддерживающая связка надколенника, *retinaculum patellae mediate*. Образована волокнами апоневроза медиальной широкой мышцы бедра. Прикрепляется к бугристости большеберцовой кости. Рис. А.
- 18 Латеральная поддерживающая связка надколенника, *retinaculum patellae laterale*. Образована волокнами апоневроза латеральной широкой мышцы бедра. Прикрепляется к бугристости большеберцовой кости. Рис. А.
- 19 Поднадколенниковое жировое тело, *corpus adiposum infrapatellare*. Находится в переднем отделе полости. Состоит из крыловидных и поднадколенниковых синовиальных складок. Рис. А.
- 20 Межберцовый сустав, *articulatio tibiofibularis*. Сочленение между головкой малоберцовой и большеберцовой костью. Рис. Д.
- 21 Передняя связка головки малоберцовой кости, *lig. capitis fibulae anterius*. Соединяет *caput fibulae* с большеберцовой костью. Рис. А.
- 22 Задняя связка головки малоберцовой кости, *lig. capitis fibulae posterius*. Укрепляет капсулу межберцового сустава сзади. Рис. В, Г, Д.
- 23 Межберцовый синдесмоз [сустав], *syndesmosis [articulatio] tibiofibularis*. Сочленение дистальных эпифизов костей голени.
- 24 Межкостная перепонка голени, *membrana interossea cruris*. Прикрепляется к межкостным краям костей голени. Рис. А, В, Е, Ж.
- 25 Передняя межберцовая связка, *lig. tibiofibulare anterius*. Расположена между большеберцовой и малоберцовой костями. Укрепляет межберцовый синдесмоз спереди. Рис. Е.
- 26 Задняя межберцовая связка, *lig. tibiofibulare posterius*. Лежит между латеральной лодыжкой и большеберцовой костью. Укрепляет межберцовый синдесмоз сзади. Рис. Ж.

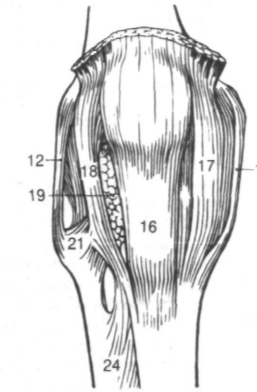


Рис. А. Правый коленный сустав (вид спереди)

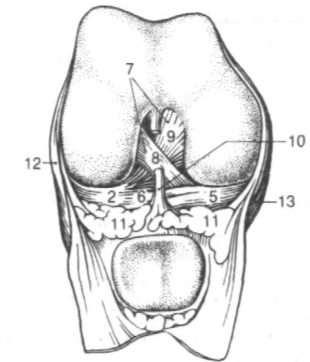


Рис. Б. Вскрытый правый коленный сустав (вид спереди)

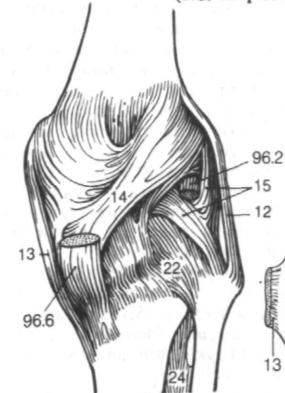


Рис. В. Правый коленный сустав (вид сзади)

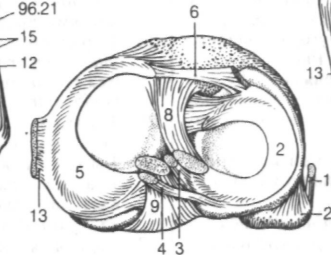


Рис. Г. Вскрытый правый коленный сустав (вид сверху)

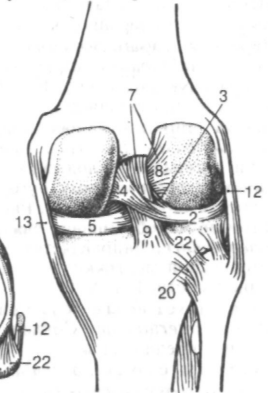


Рис. Д. Вскрытый правый коленный сустав (вид сзади)

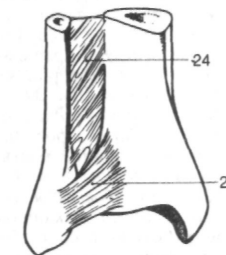


Рис. Е. Дистальный отдел правой голени (вид спереди)

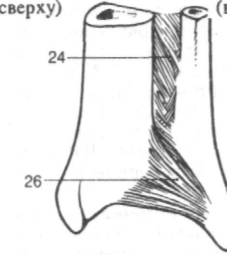


Рис. Ж. Дистальный отдел правой голени (вид сзади)

- 1 **Голеностопный сустав, *articulatio talocruralis***. Сочленение между таранной, большеберцовой и малоберцовой костями. Рис. Г.
- 2 **Медиальная (дельтовидная) связка, *lig. mediate (deltoideum)***. Расположена с внутренней стороны капсулы сустава и состоит из четырех частей. Рис. Г.
- 3 **Большеберцово-ладьевидная часть, *pars ribionavicularis***. Направляется от медиальной лодыжки к тыльной и медиальной поверхностям ладьевидной кости. Рис. Г.
- 4 **Большеберцово-пяточная часть, *pars tibiocalcanea***. Соединяет медиальную лодыжку с опорой таранной кости. Рис. Б, Г.
- 5 **Передняя большеберцово-таранная часть, *pars tibiotalaris anterior***. Соединяет медиальную лодыжку с внутренней поверхностью шейки таранной кости. Рис. Г.
- 6 **Задняя большеберцово-таранная часть, *pars tibiotalaris posterior***. Направляется позади медиальной лодыжки к заднему отростку таранной кости. Рис. Б, Г.
- 7 **Передняя таранно-малоберцовая связка, *lig. talofibulare anterius***. Соединяет латеральную лодыжку с боковой поверхностью шейки таранной кости. Рис. А.
- 8 **Задняя таранно-малоберцовая связка, *lig. talofibulare posterius***. Начинается от ямки латеральной лодыжки и прикрепляется к латеральному бугорку заднего отростка таранной кости. Рис. А, Б.
- 9 **Пяточно-малоберцовая связка, *lig. calcaneofibulare***. Направляется от верхушки латеральной лодыжки косо назад к пяточной кости. Рис. А, Б.
- 10 **Межплюсневые суставы, *articulationes intertarseae***. Сочленения между костями предплюсны.
- 11 **Суставы стопы, *articulationes pedis***.
- 12 **Таранно-пяточно-ладьевидный сустав, *articulatio talocalcaneonavicularis***. Образован головкой таранной, ладьевидной и пяточной костями. Рис. А, В.
- 13 **Подтаранный сустав, *articulatio subtalaris (talocalcanea)***. Сочленение между задними суставными поверхностями пяточной и таранной костей. Рис. А, Б, В, Г.
- 14 **Латеральная таранно-пяточная связка, *lig. talocalcaneum laterale***. Соединяет блок таранной кости с латеральной поверхностью пяточной кости. Частично прикрыта пяточно-малоберцовой связкой. Рис. А.
- 15 **Медиальная таранно-пяточная связка, *lig. talocalcaneum mediate***. Находится с внутреннего края стопы и соединяет медиальный бугорок заднего отростка таранной кости с *sustentaculum tali*. Рис. Б, Г.
- 16 **Поперечный сустав предплюсны [[сустав Шопара]], *articulatio tarsi transversa***. Находится между таранной и пяточной костями с одной

стороны, кубовидной и ладьевидной - с другой. Рис. В.

- 17 **Пяточно-кубовидный сустав, *articulatio calcaneocuboidea***. Расположен между пяточной и кубовидной костями. Рис. А, В.

- 17a **Клинокубовидный сустав *articulatio cuneocuboidea***. Сочленение кубовидной и латеральной клиновидной костей. Рис. В.

- 18 **Клиноладьевидный сустав, *articulatio cuneonavicularis***. Находится между ладьевидной и клиновидными костями. Рис. В, Г.

- 18a **Межклиновидные суставы *articulationes intercuneiformes***.

- 19 **Межкостные связки предплюсны, *ligg. tarsi interossea***. Состоят из трех связок.

- 20 **Межкостная таранно-пяточная связка, *lig. talocalcaneum interosseum***. Мощный фиброзный тяж внутри пазухи предплюсны. Рис. А, В.

- 21 **Межкостная клинокубовидная связка, *lig. cuneocuboidea interossea***. Натянута между латеральной клиновидной и кубовидной костями. Рис. А, В.

- 22 **Межкостные межклиновидные связки, *ligg. intercuneiformia interossea***. Прочные фиброзные тяжи между тремя клиновидными костями. Рис. В.

- 23 **Тыльные связки предплюсны, *ligg. tarsi dorsalia***. Состоят из восьми тяжей между костями предплюсны. (См. 24 - 31).

- 24 **Таранно-ладьевидная связка, *lig. talonavicular***. Проходит на тыле стопы между головкой таранной кости и *os naviculare*. Рис. А, Г.

- 25 **Тыльные межклиновидные связки, *ligg. intercuneiformia dorsalia***. Рис. А.

- 26 **Тыльная клинокубовидная связка, *lig. cuneocuboidea dorsale***. Соединяет латеральную клиновидную и кубовидную кости. Рис. А.

- 27 **Тыльная кубовидно-ладьевидная связка, *lig. cuboideonavicularis dorsale***. Рис. А.

- 28 **Раздвоенная связка, *lig. bifurcatum***. V-образной формы структура, расположенная на тыле стопы спереди от входа в пазуху предплюсны. Состоит из двух частей, которые начинаются от пяточной кости (См. 29 - 30). Рис. А.

- 29 **Пяточно-ладьевидная связка, *lig. calcaneonavicular***. Проходит латерально от головки таранной кости и заканчивается на *os naviculare*. Рис. А.

- 30 **Пяточно-кубовидная связка *lig. calcaneocuboidea***. Заканчивается на середине кубовидной кости. Рис. А.

- 31 **Тыльные клиноладьевидные связки, *ligg. cuneonavicularia dorsalia***. Соединяют ладьевидную и три клиновидные кости. Рис. А.

- 31a **Тыльная пяточно-кубовидная связка, *lig. calcaneocuboidea dorsale***. Утолщенные капсулы пяточно-кубовидного су-

става с латеральной стороны от раздвоенной связки. Рис. А.

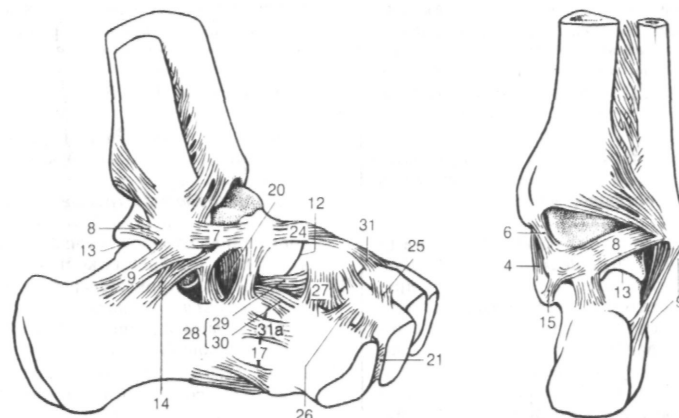


Рис. А. Связки и суставы правой стопы (вид с латеральной стороны)

Рис. Б. Связки правого голеностопного сустава (вид сзади)

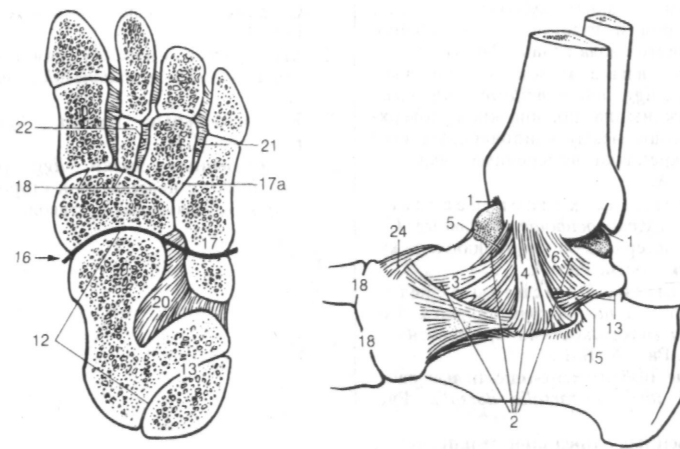


Рис. В. Суставы и связки правой стопы на горизонтальном распиле

Рис. Г. Связки правого голеностопного сустава (вид с медиальной стороны)

- 1 Подошвенные связки предплюсны, *ligg. tarsi plantaria*. Участвуют в укреплении сводов стопы.
- 2 Длинная подошвенная связка, *lig. plantare longum*. Компактный, прочный тяж, направляющийся от бугра пяточной кости вперед к *os cuboideum* и основаниям II - V плюсневых костей. Удерживает продольные своды стопы. Рис. А.
- 3 Подошвенная пяточно-кубовидная связка, *lig. calcaneocuboideum plantare*. Составная часть длинной подошвенной связки. Рис. А.
- 4 Подошвенная пяточно-ладьевидная связка, *lig. calcaneonaviculare plantare*. Располагается медиально от предыдущей связки и увеличивает размеры суставной впадины для сочленения с головкой таранной кости. Однако это классическое утверждение является спорным, т.к. со стороны *caput tali* связка слабо натянута и не содержит волокнистого хряща. Рис. А.
- 5 Подошвенные клиноладьевидные связки, *ligg. cuneonavicularia plantaria*. Группа связок, соединяющих ладьевидную кость с расположенными впереди от нее клиновидными костями. Рис. А.
- 6 Подошвенная кубовидно-ладьевидная связка, *lig. cuboideonaviculare plantare*. Идет почти под прямым углом к оси стопы на ее подошвенной поверхности. Соединяет кубовидную кость с ладьевидной и участвует в укреплении поперечного свода стопы. Рис. А.
- 7 Подошвенные межклиновидные связки, *ligg. intercuneiformia plantaria*. Расположены на подошвенной поверхности стопы между клиновидными костями. Укрепляют поперечный свод стопы. Рис. А.
- 8 Подошвенная клинокубовидная связка, *lig. cuneocuboideum plantare*. Соединяет латеральную клиновидную и кубовидную кости. Рис. А.
- 9 Предплюсне-плюсневые суставы, *articulationes tarsometatarsals*. Сочленения между костями предплюсны и плюсны. Рис. А, Б, В.
- 10 Тыльные предплюсне-плюсневые связки, *ligg. tarsometatarsal dorsalia*. Рис. Б.
- 11 Подошвенные предплюсне-плюсневые связки, *ligg. tarsometatarsalia plantaria*. Рис. А.
- 12 Межкостные клиноплюсневые связки, *ligg. cuneometatarsalia interossea*. Лежат между клиновидными и плюсневыми костями внутри полости соответствующих суставов. Рис. В.
- 13 Межплюсневые суставы, *articulationes intertarsales*. Сочленение между основаниями плюсневых костей. Рис. Б, В.
- 14 Межкостные плюсневые связки, *ligg. metatarsalia interossea*. Фиброзные пучки между основаниями плюсневых костей. Находятся дистальнее полости межплюсневых суставов. Рис. В.
- 15 Тыльные плюсневые связки, *ligg. metatarsalia dorsalia*. Расположены между основаниями плюсневых костей на тыле стопы. Рис. Б.
- 16 Подошвенные плюсневые связки, *ligg. metatarsalia plantaria*. Находятся на подошвенной стороне стопы между основаниями плюсневых костей. Рис. А.
- 17 Межкостные промежутки плюсны, *spatia interossea metatarsi*. Пространство между телами плюсневых костей, заполненное одноименными мышцами. Рис. А.
- 18 Плюснефаланговые суставы, *articulationes metatarsophalangeals*. Рис. А.
- 19 Коллатеральные связки, *ligg. collateralia*. Рис. А.
- 20 Подошвенные связки, *ligg. plantaria*. Укрепляют с подошвенной стороны капсулу плюснефаланговых суставов. Волокна этих связок срастаются с проксимальными фалангами и головками плюсневых костей, образуя ложе для сухожилий мышц-сгибателей. Рис. А.
- 21 Глубокая поперечная плюсневая связка, *lig. metatarsale transversum profundum*. Соединяет головки плюсневых костей. Рис. А.
- 22 Межфаланговые суставы стопы, *articulationes interphalangeales pedis*. Рис. А.
- 23 Коллатеральные связки, *ligg. collateralia*. Рис. А.
- 24 Подошвенные связки, *ligg. plantaria*. Укрепляют с подошвенной стороны капсулу межфаланговых суставов.

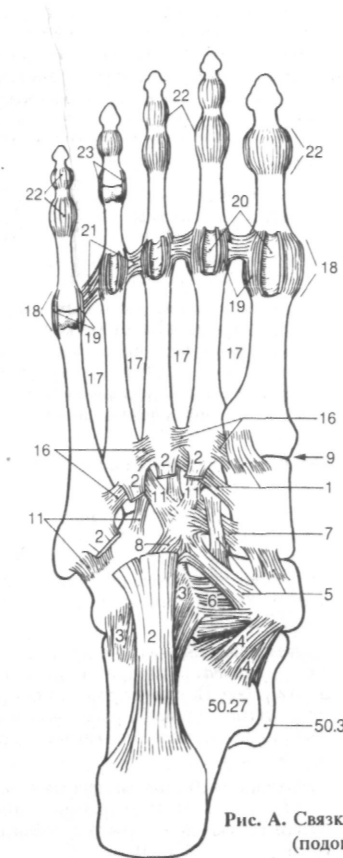


Рис. А. Связки правой стопы (подошвенная поверхность)

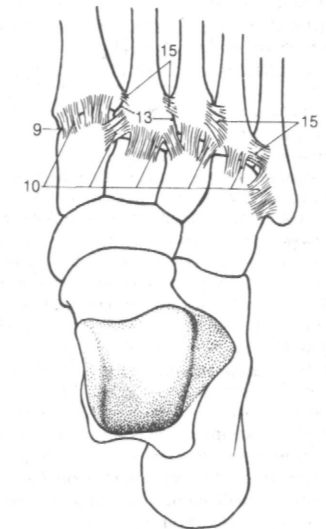


Рис. Б. Связки стопы (тыльная поверхность)

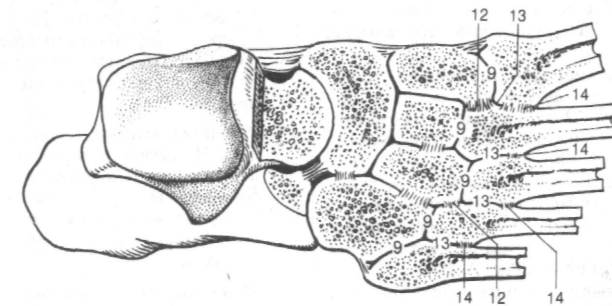


Рис. В. Связки правой стопы на горизонтальном распиле (вид сверху)

- 1 **МЫШЦЫ СПИНЫ, *musculi dorsi***. Являются производными миотомов. В отличие от мышц пояса верхней конечности иннервируются задними ветвями спинномозговых нервов. Рис. А, Б, В.
- 2 **Трапециевидная мышца, *m. trapezius***. Н: остистые отростки Т1 - 12 и С7, выйная связка, наружный затылочный выступ, верхняя выйная линия. П: ость лопатки, акромион, ключица. Ф: вращает, приводит к позвоночнику, поднимает и опускает лопатку; поворачивает голову. Инн.: добавочный нерв, шейное сплетение. Рис. А.
- 3 **Поперечная мышца затылка, *m. transversus nuchae***. Ее волокна пересекают снаружи или изнутри трапециевидную мышцу вблизи места начала *nusternocleidomastoides*. Встречается непостоянно (в 25 % случаев). Рис. А.
- 4 **Широчайшая мышца спины, *m. latissimus dorsi***. Н: остистые отростки Т7 - L5, крестец и подвздошная кость. П: гребень малого бугорка плечевой кости. Ф: приводит и разгибает плечо, а также вращает его кнутри. Инн.: грудоспинальный нерв. Рис. А.
- 5 **Большая ромбовидная мышца, *m. rhomboides major***. Н: остистые отростки Т1 - 4. П: медиальный край лопатки. Ф: поднимает лопатку и приближает ее к позвоночнику. Инн.: дорсальный нерв лопатки. Рис. А.
- 6 **Малая ромбовидная мышца, *m. rhomboides minor***. Н: остистые отростки С6 - 7. П: медиальный край лопатки выше лопаточной ости. Ф: поднимает лопатку и приближает ее к позвоночнику. Инн.: дорсальный нерв лопатки. Рис. А.
- 7 **Мышца, поднимающая лопатку, *m. levator scapulae***. Н: задний бугорок поперечных отростков О - 4. П: верхний угол лопатки. Ф: поднимает угол лопатки и наклоняет шейную часть позвоночника в сторону сокращения. Инн.: дорсальный нерв лопатки. Рис. А.
- 8 **Нижняя задняя зубчатая мышца, *m. serratus posterior inferior***. Н: остистые отростки Т11 - 12. П: нижние четыре ребра. Ф: опускает нижние ребра. Инн.: межреберные нервы. Рис. А.
- 9 **Верхняя задняя зубчатая мышца, *nuseratus posterior superior***. Н: остистые отростки С6 - Т2. П: второе - пятое ребро. Ф: вспомогательная мышца вдоха. Инн.: межреберные нервы. Рис. А, Б.
- 10 Мышца, выпрямляющая позвоночник *m. erector spinae*. Состоит из мышц латерального и медиального трактов. Инн.: задние ветви спинномозговых нервов.
- 10а [Латеральный тракт, *tractus laterale*].
- 11 Длиннейшая мышца, *m. bngissimus*. Состоит из трех частей. Рис. Б.
- 12 Длиннейшая мышца груди, *m. bngissimus thoracis*. Н: подвздошный гребень, остистые

отростки L1 - S4, сосцевидные отростки L1 - 2, поперечные отростки Т7 - 12. П: реберные и добавочные отростки поясничных позвонков, углы нижних одиннадцати ребер, поперечные отростки всех грудных позвонков. Ф: разгибает позвоночник и наклоняет его в свою сторону. Рис. Б, В.

- 13 Длиннейшая мышца шеи, *m. bngissimus cervicis*. Н: поперечные отростки Т1 - 6. П: поперечные отростки С2 - 7. Расположена между подвздошно-реберной мышцей шеи и длиннейшей мышцей головы. Рис. В.
- 14 Длиннейшая мышца головы, *m. bngissimus capitis*. Н: поперечные отростки С3 - Т7. П: сосцевидный отросток. Расположена между длиннейшей мышцей шеи и полустистой мышцей головы. Ф: наклоняет голову назад и в сторону; поворачивает лицо в сторону сокращения. Рис. В.
- 15 Подвздошно-реберная мышца, *milio-costalis*. Состоит из трех частей.
- 16 Подвздошно-реберная мышца поясницы, *milio-costalis lumborum*. Н: подвздошный гребень. П: углы пятого - двенадцатого ребер. Ф: разгибает позвоночник, при одностороннем сокращении наклоняет его в сторону. Рис. Б, В.
- 17 Подвздошно-реберная мышца груди, *milio-costalis thoracis*. Н: кнутри от углов нижних шести ребер. П: углы верхних шести ребер. Ф: уплощает грудной кифоз, разгибает туловище, осуществляет его наклоны в сторону. Рис. Б, В.
- 18 Подвздошно-реберная мышца шеи, *m. Шo-costalis cervicis*. Н: углы третьего - шестого ребер. П: задний бугорок поперечных отростков. С4 - 6. Рис. В.
- 19 **Ременная мышца шеи, *m. splenius cervicis***. Н: остистые отростки Т3 - 5. П: задний бугорок поперечных отростков С1 - 2. Ф: разгибает шейный отдел позвоночника, поворачивает голову в сторону сокращения. Рис. Б.
- 20 **Ременная мышца головы, *m. splenius capitis***. Н: остистые отростки С4 - Т3. П: наружная часть верхней выйной линии и сосцевидный отросток. Ф: разгибает шейный отдел позвоночника и голову, а также поворачивает ее в сторону сокращения. Рис. А, Б.
- 21 **Межпоперечные мышцы, *mm. intertransversarii***. Соединяют поперечные отростки соседних позвонков. Ф: наклоны туловища в стороны. См. стр.77, рис. В.
- 22 Латеральные межпоперечные мышцы поясницы, *mm intertransversarii bterales lumborum*. Соединяют реберные отростки соседних позвонков. Инн.: передние ветви спинномозговых нервов. См. стр.77, рис. В.

- 23 Медиальные межпоперечные мышцы поясницы, *mm intertransversarii mediates lumborum*. Лежат между сосцевидными отростками соседних позвонков. См. стр.77, рис. В.
- 24 Межпоперечные мышцы *ppmjnm intertransversarii thoracis*. Обычно отсутствуют. См. стр. 77, рис. В.
- 25 Задние межпоперечные мышцы шеи, *mm. intertransversarii posteriores cervicis*. Соединяют задние бугорки поперечных отростков шейных позвонков. Состоят из латеральной и медиальной частей. См. стр.77, рис. Г.
- 26 Медиальная часть, *pars medialis*.
- 27 Латеральная часть, *pars bteralis*. Инн.: передние ветви спинномозговых нервов.
- 28 Передние межпоперечные мышцы шеи, *mm, intertransversarii anteriores cervicis*. Соединяют передние бугорки поперечных отростков шейных позвонков. Инн.: передние ветви спинномозговых нервов. См. стр.77, рис. Д.

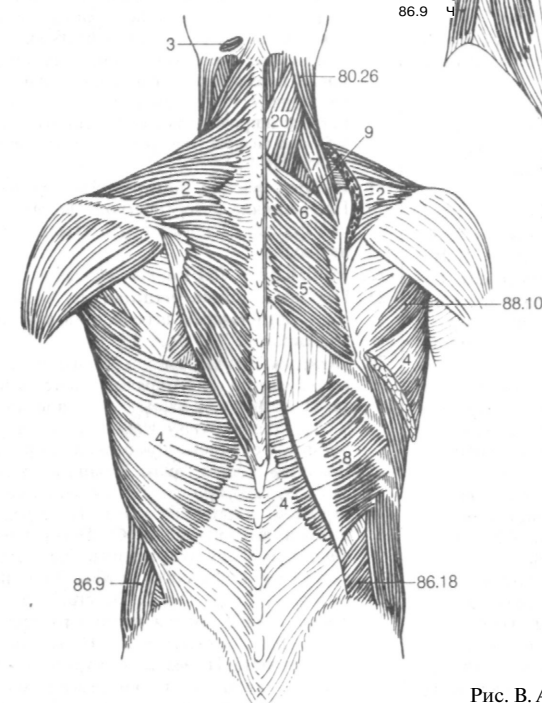


Рис. А. Поверхностные мышцы спины

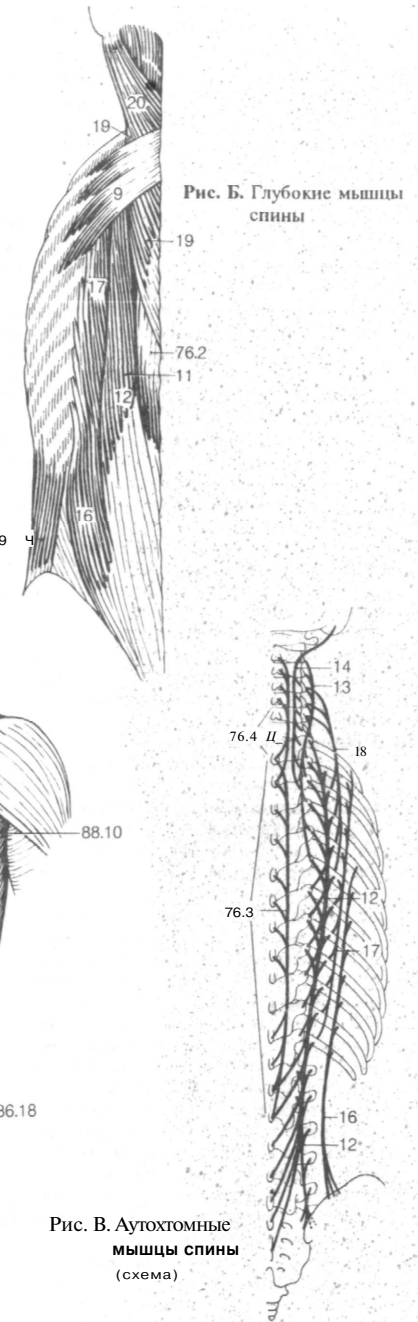


Рис. Б. Глубокие мышцы спины

Рис. В. Аутохтонные мышцы спины (схема)

- 1 [Медиальный тракт, *tractus mediate*].
- 2 Остистая мышца, *m. spinalis*. Прикрепляется к остистым отросткам и состоит из трех частей. См. стр. 75, рис. Б.
- 3 Остистая мышца груди, *m. spinalis thoracis*. Н: остистые отростки Т11 - L2. П: остистые отростки Т1 - 11. Ф: разгибает грудной отдел позвоночника. См. стр. 75, рис. В.
- 4 Остистая мышца шеи, *m. spinalis cervicis*. Н: остистые отростки С6 - Т7. П: остистые отростки С2 - 4. Ф: разгибает шейный отдел позвоночника. См. с. 75, рис. В.
- 5 Остистая мышца головы, *nuspinalis capitis*. Начинается от остистых отростков верхних грудных и нижних шейных позвонков. Непостоянная составная часть полустистой мышцы головы - дополнительная точка ее начала.
- 6 Межостистые мышцы, *mm. interspinales*. В отличие от остистых мышц, они соединяют только два смежных остистых отростка. Ф: разгибают соответствующие отделы позвоночника. Рис. В, Г.
- 7 Межостистые мышцы шеи, *mm. interspinales cervicis*. Обычно лежат с двух сторон раздвоенного остистого отростка шейных позвонков. Рис. Г.
- 8 Межостистые мышцы груди, *mm. interspinales thoracis*. Обычно отсутствуют. Рис. В.
- 9 Межостистые мышцы поясницы, *mm. interspinales lumborum*. Особенно хорошо развиты. Рис. В.
- 10 Поперечно-остистые мышцы, *mm. transversospinales*. Представлены девятью перечисленными ниже мышцами. Рис. А, Б, В.
- 11 Полуостистая мышца, *m. semispinalis*. Самая поверхностная из поперечно-остистых мышц. Перекидывается через четыре - шесть позвонков и состоит из трех частей. Рис. А, Б.
- 12 Полуостистая мышца груди, *m. semispinalis thoracis*. Н: поперечные отростки шести нижних грудных позвонков. П: остистые отростки С6 - Т6. Ф: разгибает позвоночник. Рис. А.
- 13 Полуостистая мышца шеи, *m. semispinalis cervicis*. Н: поперечные отростки Т1 - 6. П: остистые отростки С2 - 5. Ф: разгибает позвоночник. Рис. А.
- 14 Полуостистая мышца головы, *m. semispinalis capitis*. Н: поперечные отростки С4 - Т6. П: чешуя затылочной кости между верхней и нижней вийными линиями. Ф: разгибание головы или ее вращение в разные стороны в зависимости от исходного положения. Рис. А.
- 15 Многогроздельные мышцы, *mm. multifidi*. Перекидываются через два - четыре позвонка и лежат по сторонам остистых отростков. Ф: поворачивают позвоночный столб вокруг продольной оси, участвуют в

разгибании и наклоне его в сторону. Рис. Б.

- 16 Мышцы-вращатели, *mm. rotatores*. Наиболее глубокий слой поперечно-остистой мышцы. Состоит из коротких волокон, которые имеют поперечное направление хода, в результате чего обеспечивают вращение позвоночника. Заканчиваются на вышележащем или следующим за ним позвонке. Рис. А, Б.
- 17 Вращатели шеи, *mm. rotatores cervicis*. Н: нижний суставной отросток. П: дуга или основание остистого отростка шейных позвонков. Рис. А.
- 18 Мышцы-вращатели груди, *mm. rotatores thoracis*. Н: поперечные отростки грудных позвонков. П: остистые отростки. Рис. А, В.
- 19 Мышцы-вращатели поясницы, *mm. rotatores lumborum*. Н: сосцевидный отросток поясничных позвонков. П: основания остистых отростков. Рис. А, В.
- 20 Пояснично-грудная фасция, *fascia thoracolumbalis*. Покрывает мышцу, выпрямляющую позвоночник. Ее поверхностный листок начинается от остистых, глубокий - от поперечных отростков поясничных позвонков. У латерального края мышцы оба листка соединяются в один. От фасции начинаются: широчайшая мышца спины, задняя зубчатая мышца, поперечная мышца живота. Рис. В, Е.
- 21 Вийная фасция, *fascia nuchae (nuchalis)*. Продолжение поверхностного листка шейной фасции. Покрывает аутохотмные мышцы шеи.
- 22 МЫШЦЫ ГОЛОВЫ, *musculi capitis*.
- 23 Подзатылочные мышцы, *mm. suboccipitales*. Представлены перечисленными ниже мышцами.
- 24 Передняя прямая мышца головы, *m. rectus capitis anterior*. Н: латеральная масса атланта. П: базилярная часть затылочной кости. Ф: наклоняет голову вперед. Инн.: передние ветви спинномозговых нервов. Рис. Д.
- 25 Большая задняя прямая мышца головы, *m. rectus capitis posterior major*. Н: остистый отросток осевого позвонка. П: середина нижней вийной линии. Ф: Поворачивает голову и наклоняет ее вбок. Инн.: подзатылочный нерв. Рис. Г. См. стр. 79, рис. А.
- 26 Малая задняя прямая мышца головы, *m. rectus capitis posterior minor*. Н: задний бугорок атланта. П: медиальная треть нижней вийной линии. Ф: запрокидывает голову. Инн.: подзатылочный нерв. Рис. Г. См. стр. 79, рис. А.

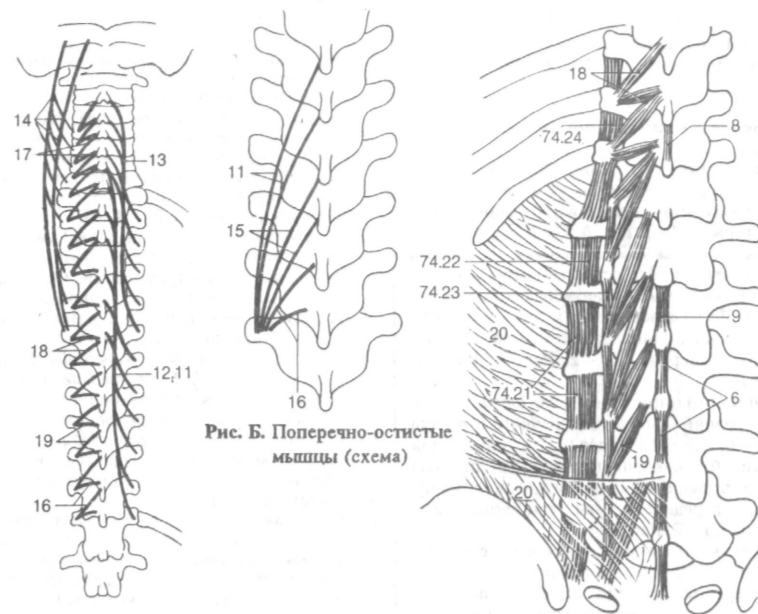


Рис. Б. Поперечно-остистые мышцы (схема)

Рис. А. Поперечно-остистые мышцы (схема)

Рис. В. Короткие мышцы позвоночного столба

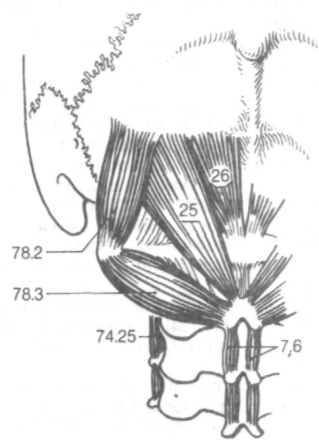


Рис. Г. Подзатылочные мышцы



Рис. Д. Подзатылочные мышцы (вид спереди)

Рис. Е. Пояснично-грудная фасция



- 1 Латеральная прямая мышца головы, *m. rectus capitis lateralis*. Н: поперечный отросток атланта. П: яремный отросток затылочной кости. Ф: наклоняет голову в сторону. Инн.: передние ветви спинномозговых нервов С1 - 2. Рис. А, Б. См. с. 77, Рис. Д.
- 2 Верхняя косая мышца головы, *m. obliquus capitis superior*. Н: поперечный отросток атланта. П: выш<sup>е</sup> нижней вынной линии. Ф: разгибает голову и наклоняет ее в сторону. Инн.: задние ветви спинномозговых нервов О - 2. Рис. А. См. с.77, рис. Г.
- 3 Нижняя косая мышца головы, *m. obliquus capitis inferior*. Н: остистый отросток осевого позвонка. П: поперечный отросток атланта. Ф: вращает атлант и лицо в сторону сокращения. Инн.: задние ветви спинномозговых нервов С1 - 2. Рис. А. См.с.77, Рис. Г.
- 4 Длинная мышца головы, *m. longus capitis*. Н: передний бугорок поперечного отростка С3 - 6. П: базиллярная часть затылочной кости. Ф: наклоняет голову и шейный отдел позвоночника вперед и в сторону. Инн.: передние ветви спинномозговых нервов С1 - 2. Рис. Б.
- 5 Мышцы лица и жевательные мышцы, *mm. faciales et masticatorii*.
- 6 Надчерепная мышца, *m. epicranius*. Состоит из мышц, прикрепляющихся к сухожильному шлему. Инн.: лицевой нерв. Рис. В.
- 7 Затылочно-лобная мышца, *m. occipitofrontalis*. Прикрепляется к сухожильному шлему сзади и спереди. Рис. В.
- 8 Лобное брюшко, *venter frontalis*. Передняя часть затылочно-лобной мышцы. Идет от кожи бровей к сухожильному шлему. Ф: перемещает скальп вперед, поднимает брови и наморщивает кожу лба. Рис. В.
- 9 Затылочное брюшко, *venter occipitalis*. Задняя часть затылочно-лобной мышцы. Начинается от верхней вынной линии и переходит в сухожильный шлем. Ф: тянет сухожильный шлем назад. Рис. В.
- 10 Височно-теменная мышца, *m. temporoparietalis*. Н: внутренняя сторона ушной раковины. П: сухожильный шлем. Рис. В.
- 11 Сухожильный шлем (надчерепной апоневроз), *galea aponeurotica (Aponeurosis epicranialis)*. Сухожилие надчерепной мышцы. Прикрепляется в области наивысшей вынной линии и наружного затылочного выступа. С надкостницей черепа соединено рыхлой клетчаткой, с кожей - плотными соединительнотканными пучками. Рис. В.
- 12 Мышца гордецов, *niprocerus*. Н: спинка носа. П: кожа выше корня носа. Ф: опускает кожу лба. Инн.: лицевой нерв. Рис. В.
- 13 Носовая мышца, *mnasalis*. Состоит из двух частей. Инн.: лицевой нерв. Рис. Г.
- 14 Поперечная часть [мышца, сжима-

ющая ноздрю], *pars transversa* [[*m. compressor naris*]]. Н: верхняя челюсть, выше корня клыка. П: апоневроз спинки носа. Рис. Г.

- 15 Крыльчатая часть [мышца, расширяющая ноздрю], *pars alaris* [[*m. dilatator naris*]]. Н: верхняя челюсть (на уровне латерального резца). П: края отверстия носа. Рис. Г.
- 16 Мышца, опускающая перегородку носа, *m. depressor septi nasi*. Н: верхняя челюсть (выше медиального резца). П: хрящевая перегородка носа. Ф: опускает кончик носа. Инн.: лицевой нерв. Рис. Г.
- 17 Круговая мышца глаза, *m. orbicularis oculi*. Образована циркулярными волокнами и состоит из трех частей. Ф: смыкает веки и регулирует отток слезной жидкости в слезный мешок и далее в носослезный проток. Инн.: лицевой нерв. Рис. В, Г.
- 18 Вековая часть, *pars palpebralis*. Направляется от *lig.palpebrale mediate* и прилегающих участков медиальной стенки глазницы к *lig.palpebrale laterale*. Рис. В.
- 19 Глазничная часть, *pars orbitalis*. Начинается от медиальной связки века и расположенных рядом костей. Окружает вход в глазницу. Рис. В.
- 20 Слезная часть, *pars lacrimalis*. Начинается от заднего слезного гребня. Окружает слезные канальцы, располагаясь позади слезного мешка. Книзу от медиальной связки века переходит в вековую часть. Рис. Г.
- 21 Мышца, сморщивающая бровь, *m. cogugator supercilii*. Н: носовая часть лобной кости. П: кожа над серединой брови. Лежит под круговой мышцей таза. Инн.: лицевой нерв. Рис. Г.
- 22 Мышца, опускающая бровь, *m. depressor supercilii*. Расположена медиальнее мышцы, сморщивающей бровь, идет радиально по отношению к круговой мышце глаза и заканчивается в коже медиальной части брови. Инн.: лицевой нерв. Рис. Г.
- 23 Передняя ушная мышца, *m. auricularis anterior*. Н: височная фасция. П: ость завитка. Инн.: лицевой нерв. Рис. В.
- 24 Верхняя ушная мышца, *m. auricularis superior*. Н: сухожильный шлем. П: кожа ушной раковины. Инн.: лицевой нерв.
- 25 Задняя ушная мышца, *m.auricnlaris posterior*. Н: сосцевидный отросток. П: кожа ушной раковины. Инн.: лицевой нерв. Рис.В.
- 26 Круговая мышца рта, *m. orbicularis oris*. Окружает ротовую щель. Смыкает губы и помогает опорожнять преддверие рта. Инн.: лицевой нерв.
- 27 Краевая часть, *pars marginalis*. Периферический отдел круговой мышцы рта. Продолжается в ближайшие мимические мышцы. Рис. Г.
- 28 Губная часть, *pars labialis*. Основная часть круговой мышцы рта. Лежит внутри верхней и нижней губы, включает изогнутые волокна, расположенные в красной кайме губ. Рис. В, Г, Д,

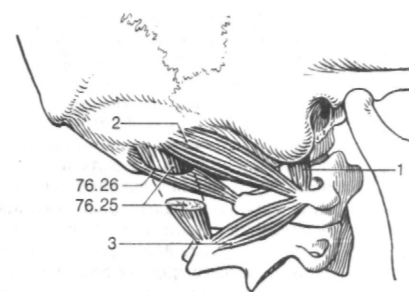


Рис. А. Подзатылочные мышцы (вид с латеральной стороны)

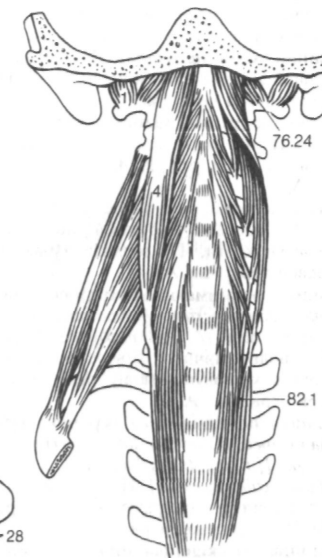


Рис. Б. Глубокие мышцы шеи (вид спереди)

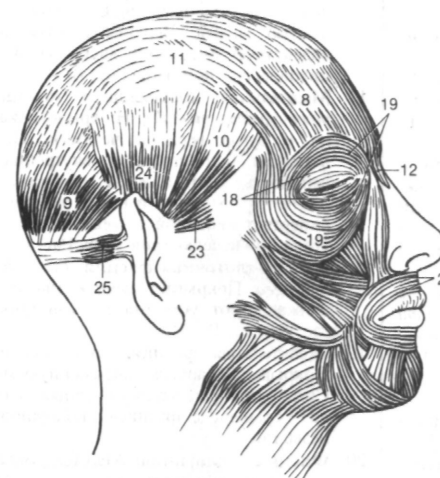


Рис. В. Поверхностные мимические мышцы головы

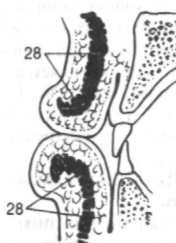


Рис. Д. Сакитальный срез верхней и нижней губ

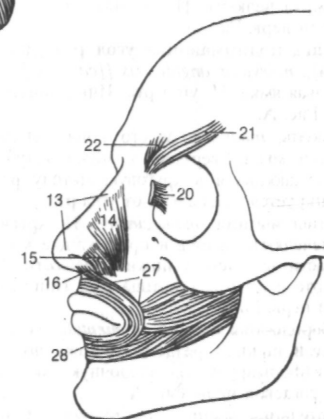


Рис. Г. Глубокие мимические мышцы

- 1 Мышца, опускающая угол рта [[треугольная мышца]], *nudepressor anguli oris* [[*triangularis*]]. Н: передняя треть основания нижней челюсти. П: угол рта. Инн.: лицевой нерв. Рис. А.
- 2 Поперечная мышца подбородка, *m. transversus menti*. Соединяет мышцы, опускающие угол рта, расположена ниже подбородка. Инн.: лицевой нерв. Рис. А.
- 3 Мышца смеха, *m. risorius*. Н: фасция околоушной железы и кожа щеки. П: угол рта. Инн.: лицевой нерв. Рис. А.
- 4 Большая скуловая мышца, *m. zygomaticus major*. Н: наружная поверхность скуловой кости. П: угол рта. Инн.: лицевой нерв. Рис. А.
- 5 Малая скуловая мышца, *m. zygomaticus minor*. Н: спереди наружной поверхности скуловой кости. П: верхняя губа. Инн.: лицевой нерв. Рис. А.
- 6 Мышца, поднимающая верхнюю губу, *m. levator labii superioris* [[*quadratus labii sup.*, *m. levator nasi et labii maxillaris lat.*]]. Н: выше подглазничного отверстия. П: вплетается в круговую мышцу рта. Инн.: лицевой нерв. Рис. А.
- 7 Мышца, поднимающая верхнюю губу и крыло носа, *m. levator labii superioris alaeque nasi* [[*m. quadratus labii sup.*, *nulev. nasi et labii maxillaris med.*]]. Н: медиальнее входа в глазницу. П: крыло носа и верхняя губа. Инн.: лицевой нерв. Рис. А.
- 8 Мышца, опускающая нижнюю губу, *nu depressor labii inferioris* [[*m. quadr. labii inf.*]]. Частично прикрыта мышцей, опускающей угол рта. Н: подкожная мышца шеи и нижняя челюсть. П: нижняя губа. Инн.: лицевой нерв. Рис. А.
- 9 Мышца, поднимающая угол рта [[клыковая]], *m. levator anguli oris* [[*caninus*]]. Н: клыковая ямка. П: угол рта. Инн.: лицевой нерв. Рис. А.
- 9а Стержень, *modiolus*. Место конвергенции волокон мышц верхней и нижней губы, продолжающихся в круговую мышцу рта. Пальпируется латерально от угла рта.
- 10 Щечная мышца, *mbuccinator*. Н: крыло-нижнечелюстной шов и прилежащие к нему части верхней и нижней челюсти. П: угол рта и круговая мышца рта. Инн.: лицевой нерв. Рис. А, Б.
- 11 Подбородочная мышца, *nu mentalis*. Н: над корнями нижних резцов. П: кожа подбородка (формирует подбородочную ямочку). Инн.: лицевой нерв. Рис. А.
- 12 Жевательная мышца, *m. masseter*. Смыкает зубные ряды, развивая большую силу. Состоит из двух частей. Инн.: нижнечелюстной нерв. Рис. А, В.
- 13 **Поверхностная часть, pars superficialis**. Н: передние 2/3 скуловой дуги. П: угол нижней челюсти. Волокна мышцы направляются косо назад и вниз. За счет этого воз-

можно смещение нижней челюсти клепеди. Рис. В.

- 14 **Глубокая часть, pars profunda**. Н: задние 2/3 скуловой дуги. П: нижняя челюсть. Волокна мышцы направляются косо вперед и вниз. Рис. В.
- 15 Височная мышца, *m. temporalis*. Н: височная ямка. П: венечный отросток нижней челюсти до уровня плоскости окклюзии. Ф: поднимает нижнюю челюсть и смещает ее назад. Инн.: нижнечелюстной нерв. Рис. Б.
- 16 Латеральная крыловидная мышца, *m. pterygoideus lateralis*. Н: боковая поверхность латеральной пластинки крыловидного отростка и нижняя поверхность большого крыла клиновидной кости. П: двумя головками: к суставному диску височно-нижнечелюстного сустава и крыловидной ямке мышелкового отростка нижней челюсти. Ф: смещает диск вместе с челюстью вперед. Верхняя головка противодействует смещению диска назад. Инн.: нижнечелюстной нерв. Рис. Б.
- 17 Медиальная крыловидная мышца, *m. pterygoideus medialis*. Н: крыловидная ямка и бугор верхней челюсти. П: крыловидная бугристая и внутренняя поверхность угла нижней челюсти. Направляется косо вниз и назад; действует как синергист височной и жевательной мышц. Инн.: нижнечелюстной нерв. Рис. Б.
- 18 Щечно-глоточная фасция, *fascia buccopharyngea*. Покрывает щечную мышцу, продолжается от угла рта до констрикторов глотки. Рис. В.
- 19 Жевательная фасция, *fascia masseterica*. Покрывает снаружи одноименную мышцу. Сверху прикрепляется к скуловой дуге; снизу - сращена с фасцией околоушной железы. Рис. Г.
- 20 Фасция околоушной железы, *fascia parotidea*. Покрывает околоушную железу. Рис. Г.
- 21 Височная фасция, *емс/а temporalis*. Покрывает височную мышцу. Расположена между верхней височной линией и скуловой дугой, состоит из двух пластинок.
- 22 Поверхностная пластинка, *lamina superficialis*. Прикрепляется к наружному краю скуловой дуги. Рис. Г.
- 23 Глубокая пластинка, *lamina profunda*. Прикрепляется к внутреннему краю скуловой дуги. Рис. Г.
- 24 **МЫШЦЫ ШЕИ, musculi colli (cervicis)**. Рис. А, В.
- 25 Подкожная мышца шеи, *platysma*. Лежит под кожей переднебоковой поверхности шеи. Инн.: лицевой нерв. Рис. А, Г.
- 26 Грудно-ключично-сосцевидная мышца, *nusternocleidomastoideus*. Н: грудина, ключица. П: сосцевидный отросток и верхняя выйная линия. Ф поднимает подбородок и вращает его в сторону, противоположную сокращению. Инн.: добавочный нерв. Рис. В.

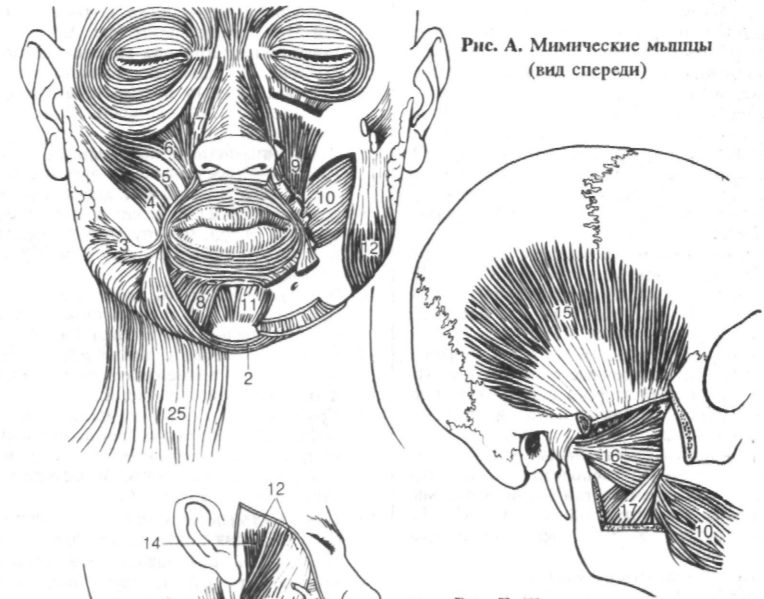


Рис. А. Мимические мышцы (вид спереди)

Рис. Б. Жевательные мышцы

Рис. В. Мышцы головы и шеи (вид справа и снизу)

Рис. Г. Фасции головы

- 1 Длинная мышца шеи, *m. longus colli*. Расположена на переднебоковой поверхности позвоночника от С2 до Т3. Часть волокон соединяет тела позвонков с передними бугорками поперечных отростков. Ф: сгибает шейную часть позвоночника и наклоняет шею в сторону. Инн.: передние ветви спинномозговых нервов. Рис. Г.
- 2 Передняя лестничная мышца, *m. scalenus anterior*. Н: поперечные отростки С3 - 6. П: одноименный бугорок на первом ребре. Ф: поднимает первое ребро; вращает шею и наклоняет ее в сторону. Отделяет предлестничное пространство от межлестничного. Инн.: см. 1. Рис. Г.
- 3 Средняя лестничная мышца, *m. scalenus medius*. Н: поперечные отростки С2 - 7. П: 1-е ребро, позади борозды подключичной артерии. Ф: поднимает ребро, наклоняет шею в сторону. Инн.: см. 1. Рис. Г.
- 4 Задняя лестничная мышца, *m. scalenus posterior*. Н: поперечные отростки С4 - 6. П: верхний край второго ребра. Ф: поднимает ребро, наклоняет шею в сторону. Инн.: см. 1. Рис. Г.
- 5 [Наименьшая лестничная мышца, *m. scalenus minimus*]. Расположена между передней и средней лестничными мышцами. Н: поперечные отростки С6 или С7. П: первое ребро и купол плевры. Встречается непостоянно. Рис. Г.
- 6 Надподъязычные мышцы, *mm. suprahyoidei*. В эту группу входят перечисленные ниже четыре мышцы. Рис. А.
- 7 Двубрюшная мышца, *m. digastricus*. Н: сосцевидная вырезка. П: двубрюшная ямка нижней челюсти. Промежуточное сухожилие, при помощи соединительнотканной петли прикрепляется к малому рогу подъязычной кости. Ф: поднимает подъязычную кость. Рис. А.
- 8 Переднее брюшко, *venter anterior*. Находится между нижней челюстью и промежуточным сухожилием. Ф открывает рот и смещает нижнюю челюсть вперед. Инн.: челюстно-подъязычный нерв. Рис. А, Д.
- 9 Заднее брюшко, *venter posterior*. Располагается между сосцевидным отростком и промежуточным сухожилием. Ф: смещает подъязычную кость назад. Инн.: лицевой нерв. Рис. А, Д.
- 10 Шилоподъязычная мышца, *m. stylohyoideus*. Начинается от шиловидного отростка. Охватывает промежуточное сухожилие *mm. digastricus* у места прикрепления к малому рогу подъязычной кости. Ф: тянет подъязычную кость назад и вверх. Инн.: лицевой нерв. Рис. А, Д.
- 11 Челюстно-подъязычная мышца, *m. mylohyoideus*. Н: одноименная линия на нижней челюсти. П: тело подъязычной кости. Ф: тянет подъязычную кость вверх и вперед. Формирует диафрагму рта. Инн.: челюстно-подъязычный нерв. Рис. А, Б.
- 12 Подбородочно-подъязычная мышца, *m. geniohyoideus*. Н: подбородочная ость. П: тело подъязычной кости. Ф: тянет подъя-
- зную кость вперед и вверх. Инн.: С 1 через подъязычный нерв. Рис. Б.
- 13 Подподъязычные мышцы, *mm. infrahyoidei*. Расположены ниже подъязычной кости. Инн.: шейная петля. Рис. А.
- 14 Грудно-подъязычная мышца, *m. sternohyoideus*. Н: задняя поверхность рукоятки грудины. П: тело подъязычной кости. Ф: опускает подъязычную кость. Инн.: см. 13, Рис. А.
- 15 Лопаточно-подъязычная мышца, *m. omohyoideus*. Н: медиально от вырезки лопатки. П: тело подъязычной кости. Промежуточное сухожилие, лежит над внутренней яремной веной. Ф: опускает подъязычную кость и натягивает фасцию шеи. Инн.: см. 13, рис. А В.
- 16 Верхнее брюшко, *venter superior*. Расположено между подъязычной костью и промежуточным сухожилием. Рис. А.
- 17 Нижнее брюшко, *venter inferior*. Находится между промежуточным сухожилием и вырезкой лопатки. Рис. А.
- 18 Грудно-щитовидная мышца, *m. sternothyroideus*. Н: задняя поверхность рукоятки грудины и первое ребро. П: косая линия щитовидного хряща. Ф: опускает гортань. Инн.: см. 13, рис. А.
- 19 Штоподъязычная мышца, *m. thyrohyoideus*. Н: косая линия щитовидного хряща. П: большой рог подъязычной кости. Ф: приближает друг к другу подъязычную кость и щитовидный хрящ. Инн.: С 1 через подъязычный нерв. Рис. А.
- 20 [Мышца, поднимающая щитовидную железу], *[m. levator glandulae thyroidea]*. Отщепляется от штоподъязычной мышцы и направляется к щитовидной железе.
- 21 Шейная фасция, *fascia cervicalis*. Этот термин используется для обозначения соединительнотканной оболочки шеи.
- 22 Поверхностная пластинка, *lamina superficialis*. Покрывает грудно-ключично-сосцевидную и трапециевидную мышцы. Прикрепляется к переднему краю рукоятки грудины, ключице и нижней челюсти. Рис. В.
- 23 Предтрахеальная пластинка, *lamina pretrachealis*. Натянута между двумя лопаточно-подъязычными мышцами и прикрепляется к заднему краю рукоятки грудины и ключице. Покрывает подъязычные мышцы. Рис. В.
- 24 Предпозвоночная пластинка, *lamina prevertebral*. Располагается между позвоночным столбом с одной стороны, констрикторами глотки и пищеводом - с другой. Покрывает лестничные мышцы, симпатические стволы и диафрагмальные нервы. Рис. В.
- 25 Сонное влагалище, *vagina carotica*. Соединительнотканная оболочка вокруг сосудисто-нервного пучка (сонная артерия, яремная вена, блуждающий нерв). Продолжается в предтрахеальную пластинку. Рис. В.

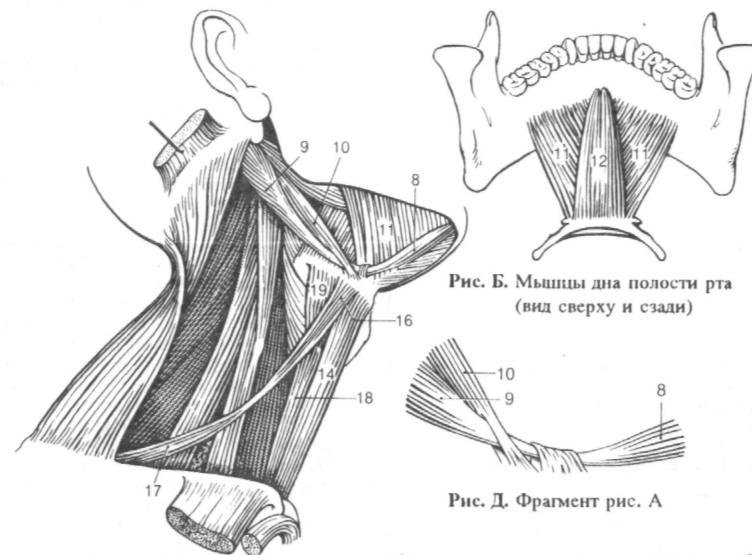


Рис. Б. Мышцы дна полости рта (вид сверху и снизу)

Рис. Д. Фрагмент рис. А

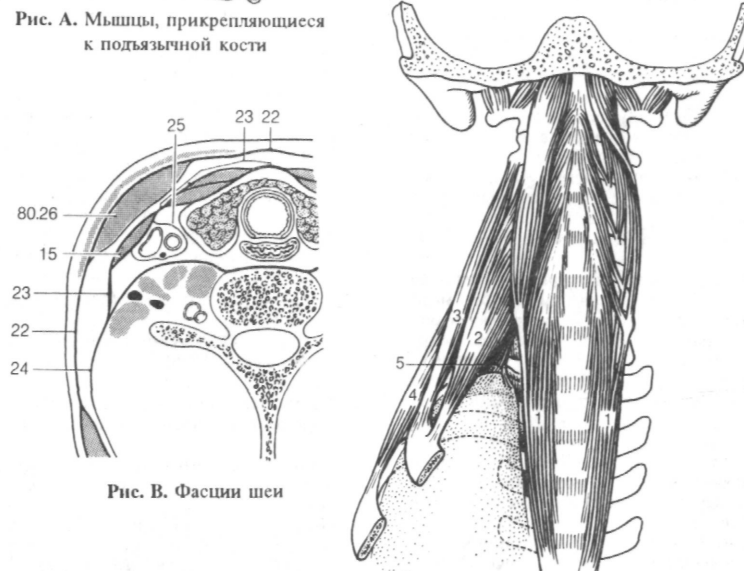


Рис. А. Мышцы, прикрепляющиеся к подъязычной кости

Рис. В. Фасции шеи

Рис. Г. Глубокие мышцы шеи (вид спереди)

- 1 МЫШЦЫ ГРУДИ, *muscidi thoracis*. Рис. А-Е.
- 2 [Грудинная мышца, *m. sternalis*]. Расположена над большой грудной мышцей и направляется параллельно груди. Встречается непостоянно (4 % случаев). Рис. А.
- 3 Большая грудная мышца, *m. pectoralis major*. Состоит из трех частей, описанных ниже (4 - 6). Н: ключица, грудина, хрящи верхних четырех - шести ребер и влагалище прямой мышцы живота. П: гребень большого бугорка плечевой кости. Ф: приводит руку и вращает ее кнутри. Инн.: медиальный и латеральный грудные нервы. Рис. А.
- 4 Ключичная часть, *pars clavicularis*. Начинается от ключицы. Рис. А.
- 5 Грудно-реберная часть, *pars sternocostalis*. Начинается от грудины и ребер. Рис. А.
- 6 Брюшная часть, *pars abdominalis*. Берет начало от влагалища прямой мышцы живота. Рис. А.
- 7 Малая грудная мышца, *m. pectoralis minor*. Расположена под большой грудной мышцей. Н: треть - пятое ребра. П: клювовидный отросток. Ф: тянет лопатку вперед и вниз, поднимает ребра. Дополнительная дыхательная мышца. Инн.: см. 3.рисА.
- 8 Подключичная мышца, *m. subclavius*. Н: хрящ первого ребра. П: нижняя поверхность ключицы. Ф: предохраняет грудино-ключичный сустав от чрезмерного растяжения. Инн.: подключичный нерв. Рис. А.
- 9 Грудная фасция, *fascia pectoralis*. Покрывает большую грудную мышцу, прикрепляется к ключице и груди. Продолжается в подмышечную фасцию.
- 10 Ключично-грудная фасция, *fascia clavipectoralis*. Прикрепляется к клювовидному отростку лопатки и ключице. Покрывает малую грудную и подключичную мышцы. Рис. А.
- 11 Передняя зубчатая мышца, *m. serratus anterior*. Н: первое - девятое ребра. П: медиальный край лопатки. Ф: фиксирует и опускает лопатку, а также вращает ее вокруг сагиттальной оси, тем самым участвуя в поднятии руки выше горизонтального уровня. Инн.: длинный грудной нерв. Рис. А.
- 12 Мышцы, поднимающие ребра, *mm. levatores costarum*. Расположены под мышцей, выпрямляющей позвоночник. Н: поперечные отростки грудных позвонков. П: ребра. Инн.: задние ветви спинномозговых нервов. Рис. Б.
- 13 Длинные мышцы, поднимающие ребра, *mm. levatores costarum longi*. Начинаются от поперечных отростков, пересекают нижележащее ребро и прикрепляются медиальнее угла следующего ребра. Ф: поднимают ребра. Рис. Б.
- 14 Короткие мышцы, поднимающие ребра, *mm. levatores costarum breves*. Н: поперечные отростки. П: нижележащее ребро. Рис. Б.
- 15 Наружные межреберные мышцы, *mm. intercostales externi*. Расположены в межре-

- берьях, направляются косо вперед и вниз. Ф: участвуют во вдохе и укрепляют реберно-позвоночные суставы. Инн.: межреберные нервы. Рис. А, Д, Е.
- 16 Наружная межреберная перепонка, *membrana intercostalis externa*. Продолжение наружных межреберных мышц между хрящами ребер. Рис. А.
- 17 Внутренние межреберные мышцы, *mm. intercostales interni*. Расположены в межреберьях, направляются косо назад и вниз. Ф: участвуют в выдохе и укрепляют реберно-позвоночные суставы. Инн.: межреберные нервы. Рис. Д, Е.
- 18 Внутренняя межреберная перепонка, *membrana intercostalis interna*. Продолжение внутренних межреберных мышц от углов ребер до тел позвонков. Рис. Д.
- 19 Самые внутренние межреберные мышцы, *mm. intercostales intimi*. Часть внутренних межреберных мышц, расположенная кнутри от межреберных сосудов. Рис. Е.
- 20 Подреберные мышцы, *mm. subcostales*. Внутренние межреберные мышцы, которые перекидываются через одно или два ребра. Инн.: см. 17. Рис. Д.
- 21 Поперечная мышца груди, *m. transversus thoracis*. Расположена на внутренней поверхности передней стенки грудной клетки. От фудины мышца направляется косо вверх к хрящам 2- 6-го ребер. Инн.: см. 17. Рис. В.
- 22 Грудная фасция, *fascia thoracica*. Эпимизирий аутохотмных мышц фуды.
- 23 Диафрагма, *diaphragma [thoraco-abdominale]*. Куполообразная мышечная перегородка между фудной и брюшной полостями. Инн.: диафрагмальный нерв. Рис. В, Г.
- 24 Поясничная часть диафрагмы, *pars lumbalis diaphragmatis*. Начинается двумя ножками от тел поясничных позвонков и межпозвоночных дисков. Рис. Г.
- 25 Правая ножка, *crus dextrum*. Н: тела L1 - 3(4). Рис. Г.
- 26 Левая ножка, *sinistrum*. Н: тела L1 - 2(3). Рис. Г.
- 27 Реберная часть диафрагмы, *pars costalis diaphragmatis*. Начинается от 7- 12-го ребер. Рис. В, Г.
- 28 Грудинная часть диафрагмы, *pars sternalis diaphragmatis*. Начинается от фудины. Рис. В, Г.
- 29 Аортальное отверстие, *hiatus aorticus*. Лежат между правой и левой ножками поясничной части. Содержит аорту. Рис. Г.
- 30 Пищеводное отверстие, *hiatus oesophageus*. Лежит выше аортального отверстия. Содержит пищевод и *trunci vagales*. Рис. Г.
- 31 Сухожильный центр, *centrum tendineum*. Центральная область диафрагмы, имеющая форму клеверного листа. Рис. Г.
- 32 Отверстие нижней полой вены, *foramen venae cavae*. Лежит в сухожильном центре и содержит нижнюю полую вену. Рис. Г.
- 33 Медиальная дугообразная связка, *lig. arcuatum mediate*. Лежит между телом и по-

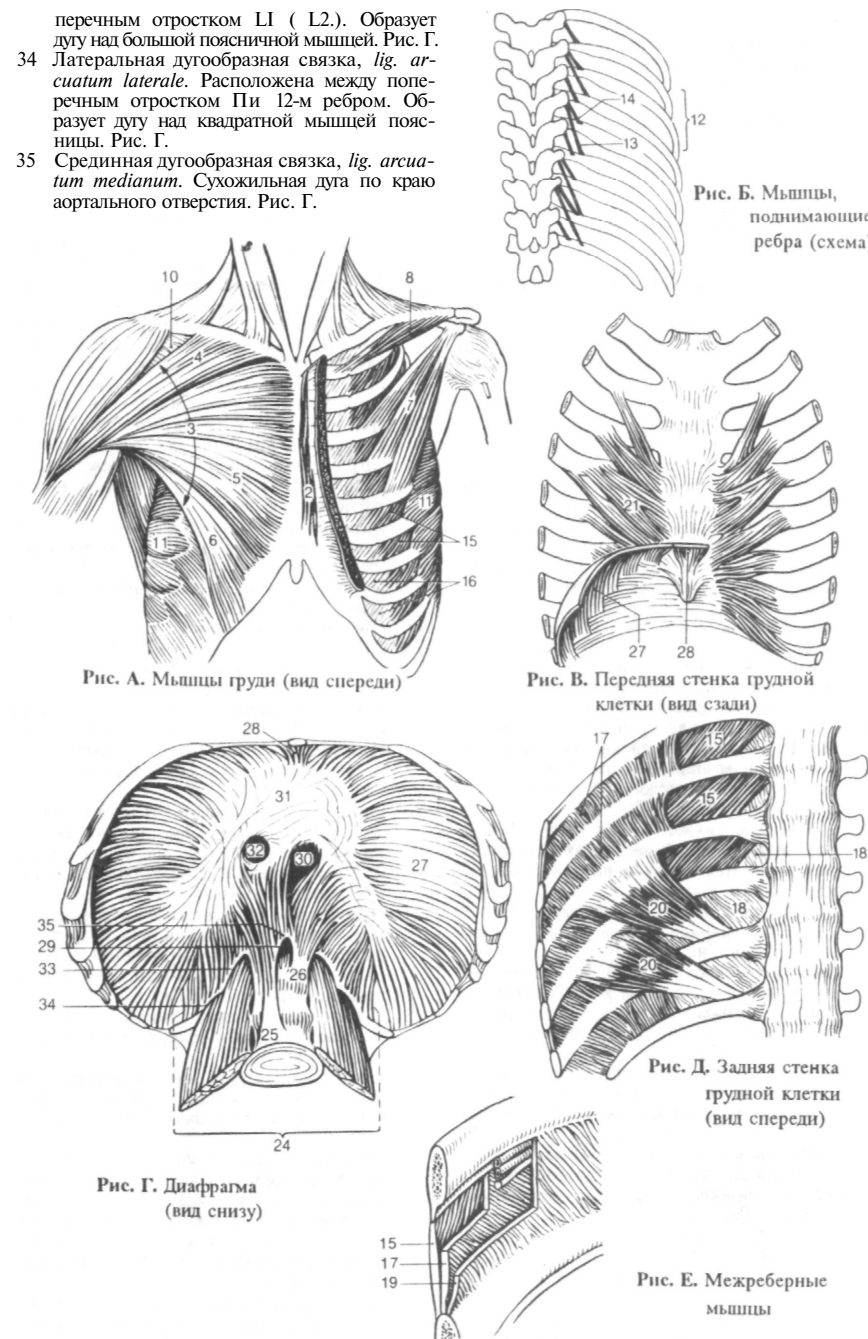


Рис. А. Мышцы груди (вид спереди)

Рис. Б. Мышцы, поднимающие ребра (схема)

Рис. В. Передняя стенка грудной клетки (вид сзади)

Рис. Д. Задняя стенка грудной клетки (вид спереди)

Рис. Г. Диафрагма (вид снизу)

Рис. Е. Межреберные мышцы

- 1 **МЫШЦЫ ЖИВОТА, *musculi abdominis*.**
- 2 **Прямая мышца живота, *nucleus abdominis*.** Н: хрящи 5- 7-го ребер. П: лобковые кости и симфиз. Ф: сгибает туловище, опускает ребра, поднимает таз. Инн.: 7- 12-й межреберные нервы. Рис. А, Д.
- 3 **Сухожильные перемычки, *intersecones tendinae*.** Три - четыре поперечные сухожильные полосы в составе прямой мышцы живота. Сращены с передней стенкой ее влагалища. Рис. А.
- 4 **Влагалище прямой мышцы живота, *vagina m. recti abdominis*.** Образуется апоневрозами мышц боковых стенок брюшной полости. Рис. А.
- 5 **Передняя пластинка (влагалища прямой мышцы живота), *lamina anterior*.** Рис. А.
- 6 **Задняя пластинка (влагалища прямой мышцы живота), *lamina posterior*.** Рис. А.
- 7 **Дугообразная линия, *linea arcuata*.** Нижний край задней пластинки влагалища прямой мышцы живота. Рис. А.
- 8 **Пирамидальная мышца, *m. pyramidalis*.** Направляется от лобковых кости и симфиза к белой линии внутри передней пластинки влагалища прямой мышцы живота. Инн.: подреберный нерв. Рис. А.
- 9 **Наружная косая мышца живота, *nuobliquus extemus abdominis*.** Н: наружная поверхность 5- 12-го ребер. П: подвздошный гребень, влагалище прямой мышцы, белая линия живота. Ф: опускает грудную клетку, вращает туловище, сгибает и наклоняет позвоночник в сторону. Инн.: 5 - 12-й межреберные нервы. Рис. А, Б, Г.
- 10 **Паховая связка, *lig. inguinale (arcus inguinalis)*.** Нижний край апоневроза наружной косой мышцы живота. Идет от верхней передней подвздошной ости к лобковому бугорку. Рис. Г, Д.
- 11 **Лакунарная связка, *lig. lacunare*.** Начинается от медиальной части паховой связки, заворачивается книзу в направлении лобковой кости. Рис. Г.
- 12 **Гребенчатая связка, *lig. pectineale*.** Продолжение лакунарной связки к гребню лобковой кости. Рис. Г.
- 13 **Загнутая связка, *lig. reflexum*.** Дугообразные волокна, отходящие вверх от медиального конца паховой связки. Формирует медиальную стенку поверхностного пахового кольца. Рис. Г.
- 14 **Поверхностное паховое кольцо, *anulus (annulus) inguinalis superficialis*.** Наружное отверстие пахового канала. Ограничено двумя ножками. Рис. А, Г.
- 15 **Медиальная ножка, *crus mediale*.** Волокна апоневроза наружной косой мышцы живота, прикрепляющиеся к лобковому симфизу. Рис. Г.
- 16 **Латеральная ножка, *crus laterale*.** Волокна апоневроза наружной косой мышцы живота, которые прикрепляются к лобковому бугорку. Рис. Г.
- 17 **Межножковые волокна, *fibrae intercrurales*.** Дугообразные волокна между латеральной и медиальной ножками. Рис. Г.

- 18 **Внутренняя косая мышца живота, *m. obliquus intemus abdominis*.** Н: пояснично-грудная фасция, гребень подвздошной кости и паховая связка. П: 10- 12-е ребра, влагалище прямой мышцы живота. Ф: опускает ребра, наклоняет туловище вперед и в сторону. Инн.: 8- 12-й межреберные, подвздошно-подчревный и подвздошно-паховый нервы. Рис. А, Б.
- 19 **Мышца, поднимающая яичко, *m. cremaster*.** Является производным внутренней косой мышцы живота. Ф: окружает семенной канатик и тянет яичко вверх. Рис. А.
- 20 **Поперечная мышца живота, *m. transversus abdominis*.** Н: внутренняя поверхность 7- 12-го ребер, пояснично-грудная фасция, гребень подвздошной кости, паховая связка. П: влагалище прямой мышцы живота. Инн.: 7-12 межреберные, подвздошно-подчревный и бедренно-половой нервы. Рис. А.
- 21 **Паховый серп (соединительное сухожилие), *fah inguinalis (tendo conjunctiva)*.** Дугообразные волокна, переходящие из апоневроза поперечной мышцы живота в гребенчатую связку. Рис. А, Д.
- 22 **Белая линия, *linea alba*.** Белого цвета сухожильная полоска между прямыми мышцами живота. Рис. А, Д.
- 23 **Пупочное кольцо, *anulus umbilicalis*.** Расположено примерно на середине белой линии живота. Рис. А.
- 24 **Подпора белой линии, *admiculum lineae albae*.** Место прикрепления белой линии к лобковому симфизу. Рис. А, Д.
- 25 **Связка, подвешивающая половой член/клитор, *lig. suspensorium penis/clitoridis*.** Направляется от лобкового симфиза к глубокой фасции полового члена (клитора). Рис. А.
- 26 **Пращевидная связка полового члена, *lig. fundiforme penis*.** Эластичный тяж, который берет начало от поперечной фасции и белой линии живота. Образует петлю вокруг полового члена. Рис. А.
- 27 **Поясничный треугольник, *trigonum lionbale*.** Слабое место задней стенки брюшной полости. Ограничен широчайшей мышцей спины, наружной косой мышцей живота и подвздошным гребнем. Рис. Б.
- 28 **Поперечная фасция, *fascia transversalis*.** Расположена между брюшиной и мышцами живота. Рис. А, Д.
- 29 **Глубокое паховое кольцо, *anulus inguinalis profundus*.** Место перехода поперечной фасции в *fascia spermatica interna*. Рис. А, Д.
- 30 **Паховый канал, *canalis inguinalis*.** Стенки канала формируются паховой связкой, апоневрозом наружной косой мышцы живота, внутренней косой и поперечной мышцами живота, а также межъямочной связкой. Содержит семенной канатик (крупную связку матки). Рис. Д.
- 31 **Межъямочная связка, *lig. interfoveolare*.** Утолщенный участок поперечной фасции позади пахового канала. Рис. А, Д.

- 32 **Квадратная мышца поясницы, *m. quadrants lumborum*.** Н: подвздошный гребень и поперечные отростки нижних поясничных позвонков. П: 12-е ребро и поперечные отростки верхних поясничных позвонков. Ф: опускает ребра, наклоняет туловище в сторону. Инн.: см. 20. Рис. В.
- 33 **Полудунная линия, *linea semilunaris*.** Дугообразно изогнутый мышечно-сухожильный край поперечной мышцы живота. \*

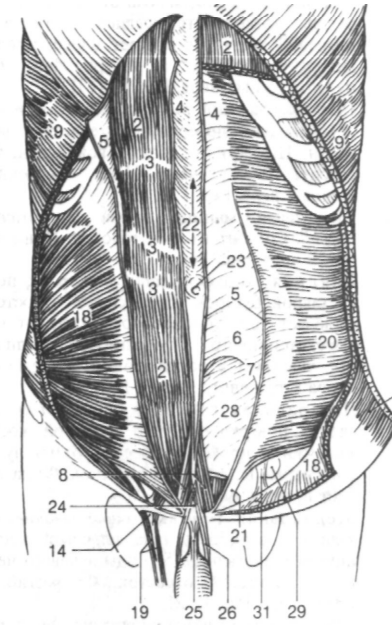


Рис. А. Мышцы живота (вид спереди)

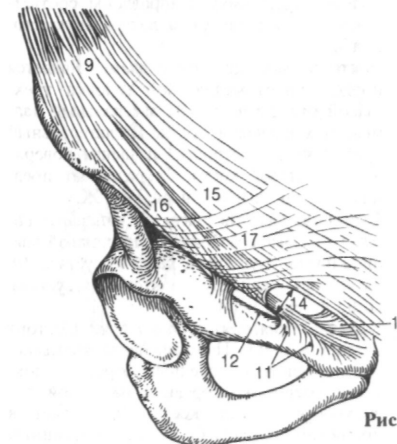


Рис. Г. Паховая область (вид спереди)

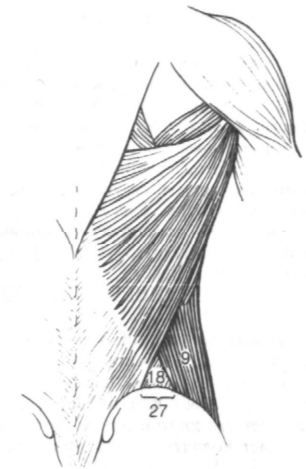


Рис. Б. Поясничный треугольник

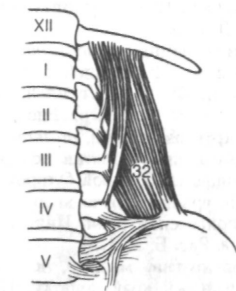


Рис. В. Квадратная мышца поясницы (вид спереди)

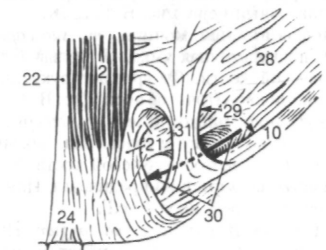


Рис. Д. Паховая область (вид со стороны брюшной полости)



- 1 КОПЧИКОВЫЕ МЫШЦЫ, *musculi coccygei*.
- 2 Копчиковая мышца, *nucoscygeus*. Н: седловидная ость. П: копчик и ближайшая к нему часть крестца. Лежит медиально от крестцово-остистой связки. Инн.: спинно-мозговые нервы. Рис. А. См. 174.13.
- 3 [[Вентральная крестцово-копчиковая мышца, *m. sacrococcygeus ventralis*]]. Рудиментарная мышца. Рис. А.
- 4 [[Дорсальная крестцово-копчиковая мышца, *nusacrococygeus dorsalis*]]. Рудиментарная мышца. Рис. А.
- 5 МЫШЦЫ ВЕРХНЕЙ КОНЕЧНОСТИ, *mm. membri superioris*.
- 6 Дельтовидная мышца, *m. deltoideus*. Н: лопаточная ость, акромия, ключица. П: дельтовидная бугристость плечевой кости. Ф: отводит, сгибает и разгибает плечо, поворачивает его кнутри или кнаружи, а также опускает поднятую руку. Инн.: подмышечный нерв. Рис. Б, Д, Е, Ж.
- 7 Надостная мышца, *nusupraspinatus*. Н: надостная ямка. П: большой бугорок плечевой кости. Ф: отводит плечо, вращает его кнаружи. Инн.: надлопаточный нерв. Рис. Б, Д, Е, Ж.
- 8 Подостная мышца, *m. infraspinatus*. Н: подостная ямка. П: большой бугорок плечевой кости. Ф: вращает плечо кнаружи. Инн.: надлопаточный нерв. Рис. Б, Е, Ж.
- 9 Малая круглая мышца, *m. teres minor*. Н: латеральный край лопатки позади подостной мышцы. П: большой бугорок плечевой кости. Ф: вращает плечо кнаружи и участвует в приведении руки. Инн.: подмышечный нерв. Рис. Б, Е, Ж.
- 10 Большая круглая мышца, *m. teres major*. Н: латеральный край лопатки. П: гребень малого бугорка. Ф: разгибает плечо, одновременно поворачивая его кнутри, поднятую руку приводит к туловищу. Инн.: подлопаточный нерв. Рис. Б, Г, Д, Ж.
- 11 Подлопаточная мышца, *m. subscapularis*. Н: подлопаточная ямка. П: малый бугорок плечевой кости. Ф: вращает руку кнутри. Инн.: подлопаточный нерв. Рис. В, Г, Д.
- 12 Двуглавая мышца плеча, *m. biceps brachii*. Начинается двумя головками. Заканчивается на бугристости лучевой кости, а также влетает в фасцию предплечья. Инн.: мышечно-кожный нерв. Рис. Г.
- 13 Длинная головка, *caput longum*. Н: надсуставной бугорок. Ф: сгибает и супинирует предплечье, осуществляет небольшое отведение плеча. Рис. В, Г.
- 14 Межбугорковое влагалище сухожилия, *vagina tendinis intertubercularis*. Окружает сухожилие длинной головки двуглавой мышцы в межбугорковой борозде плечевой кости. Рис. Г.
- 15 Короткая головка, *caput breve*. Н: клювовидный отросток. Ф: сгибает и супинирует

- предплечье, а также сгибает руку в плечевом суставе. Рис. В, Г.
- 16 Апоневроз двуглавой мышцы плеча, *aponeurosis m. bicipitis brachii (aponeurosis bicipitalis [lacertus frbrosus])*. Продолжение сухожилия двуглавой мышцы в фасцию предплечья. В положении супинации передает тягу *m. biceps brachii* на локтевую кость. Рис. Г.
- 17 Клювовидно-плечевая мышца, *m. coracobrachialis*. Н: клювовидный отросток. П: передняя поверхность средней трети тела плечевой кости. Ф: сгибает плечо, приводит руку и вращает ее кнутри. Инн.: мышечно-кожный нерв. Рис. В, Г, Д.
- 18 Плечевая мышца, *m. brachialis*. Н: нижние 2/3 передней поверхности тела плечевой кости. П: бугристость локтевой кости. Ф: сгибает предплечье. Инн.: мышечно-кожный нерв. Рис. Г, Д, Е.
- 19 Трехглавая мышца плеча, *m. triceps brachii*. Состоит из трех головок. Инн.: лучевой нерв. Рис. Ж.
- 20 Длинная головка, *caput longum*. Н: подсуставной бугорок П: локтевой отросток Отделяет трехстороннее отверстие от четырехстороннего. Ф: разгибает предплечье, участвует в разгибании и приведении плеча к туловищу. Рис. Б, В, Г, Ж.
- 21 Латеральная головка, *caput laterale*. Н: задняя поверхность тела плечевой кости кнаружи и проксимальнее бороздки лучевого нерва. П: локтевой отросток. Ф: разгибает предплечье. Рис. Е, Ж.
- 22 Медиальная головка, *caput mediale*. Н: задняя поверхность тела плечевой кости кнутри и дистальнее борозды лучевого нерва. П: локтевой отросток Ф: разгибает предплечье. Рис. Е, Ж.
- 23 [[Верхняя и нижняя апертур, *aperturae superior et inferior*]]. Отверстия, ведущие в подмышечную ямку. Направлены соответственно в медиальную и латеральную стороны.
- 24 Локтевая мышца, *m. anconaeus*. Является продолжением медиальной головки трехглавой мышцы плеча. Н: латеральный надмышелок плечевой кости. П: латеральный край локтевого отростка и задняя поверхность локтевой кости. Ф: разгибает предплечье. Инн.: лучевой нерв. Рис. Ж.
- 25 Суставная мышца локтя, *m. articularis cubiti*. Образована волокнами трехглавой мышцы плеча, идущими к капсуле сустава. Ф: натягивает капсулу локтевого сустава. Инн.: лучевой нерв.
- 26 Круглый пронатор, *pronator teres*. Состоит из двух головок. Н: медиальный надмышелок плечевой и венечный отросток локтевой костей. П: середина наружной поверхности лучевой кости. Ф: сгибает и пронатор предплечье. Инн.: срединный нерв. Рис. Г.

## Мышцы

- 27 Плечевая головка, *caput humerale*. Начинается от медиального надмышелка. Рис. Г, Д.
- 28 Локтевая головка, *caput ulnare*. Начинается от венечного отростка. Рис. Г.

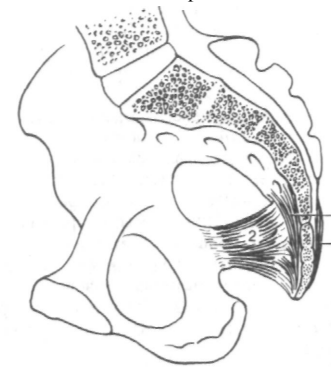


Рис. А. Правая половина таза (вид с медиальной стороны)

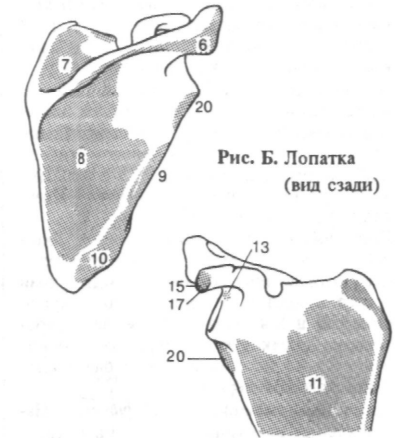


Рис. Б. Лопатка (вид сзади)

Рис. В. Лопатка (вид спереди)

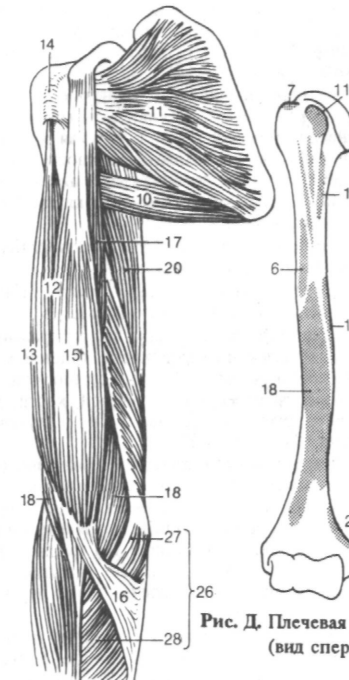


Рис. Г. Мышцы пояса верхней конечности и плеча (вид спереди)

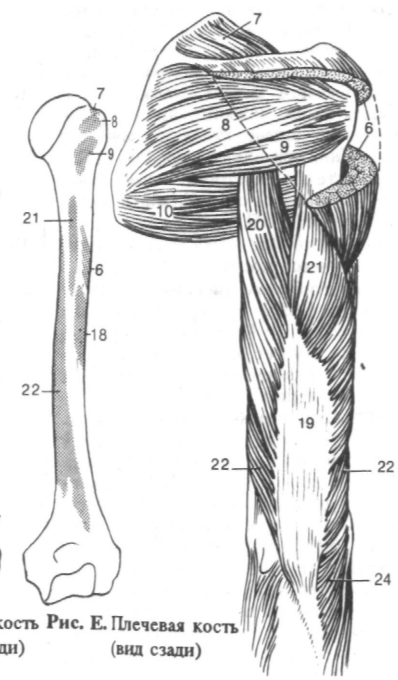


Рис. Ж. Мышцы пояса верхней конечности и плеча (вид сзади)



- 1 Лучевой сгибатель запястья, *m. flexor carpi radialis*. Н: медиальный надмышелок плечевой кости. П: основание 2-й пястной кости. Ф: прогирует, сгибает и отводит кисть. Инн.: срединный нерв. Рис. А.
- 2 Длинная ладонная мышца, *m. palmaris longus*. Н: медиальный надмышелок плечевой кости. П: ладонный апоневроз. Ф: натягивает ладонный апоневроз; сгибает кисть в лучезапястном, а 2- 5-й пальцы - в пястно-фаланговых суставах. Инн.: срединный нерв Рис. А.
- 3 Локтевой сгибатель запястья, *m. flexor carpi ulnaris*. Н: медиальный надмышелок плечевой, локтевой отросток и задний край локтевой костей. П: гороховидная, крючковидная и 5-я пястная кости (через гороховидно-крючковую и гороховидно-пястную связки). Ф: сгибает и приводит кисти. Инн.: локтевой нерв. Рис. А.
- 4 Плечевая головка, *caput numerate*. Начинается от надмышелка плечевой кости.
- 5 Локтевая головка, *caput ulnare*. Берет начало от локтевой кости. Рис. Д.
- 6 Поверхностный сгибатель пальцев, *m. flexor digitorum superficialis*. Н: медиальный надмышелок плечевой, венечный отросток локтевой и передняя поверхность лучевой костей. П: средние фаланги 2- 5-го пальцев. Ф: сгибает суставы, которые пересекает на своем пути. На середине проксимальной фаланги каждое сухожилие расщепляется на две ножки, между которыми проходит сухожилие глубокого сгибателя пальцев. Инн.: срединный нерв Рис. А, Б.
- 7 Плечелоктевая головка, *caput humeroulnare*. Начинается от плечевой и локтевой костей. Рис. А, Д, Е.
- 8 Лучевая головка, *caput radiale*. Начинается от лучевой кости. Рис. А, Д
- 9 Глубокий сгибатель пальцев, *m. flexor digitorum profundus*. Н: верхняя половина локтевой кости. П: ногтевые фаланги 2- 5 пальцев. Ф: сгибает все суставы, которые пересекает на своем пути. Инн.: локтевой и срединный нервы. Рис. Б, Д, Е.
- 10 Длинный сгибатель большого пальца, *m. flexor pollicis longus*. Н: середина передней поверхности лучевой и медиальный надмышелок плечевой костей. П: дистальная фаланга большого пальца. Ф: сгибает суставы, которые пересекает на своем пути. Инн.: срединный нерв. Рис. Б, Д
- 11 Квадратный пронатор, *m. pronator quadratus*. Н: нижняя четверть передней поверхности локтевой кости. П: дистальная четверть передней поверхности лучевой кости. Ф: прогирует предплечье. Инн.: срединный нерв. Рис. А, Б, Д
- 12 Плечелучевая мышца, *m. brachioradialis*. Н: межмышечная перегородка и латеральный край плечевой кости. П: шиловидный отросток лучевой кости. Ф: сгибает пред-

плечье и устанавливает его в среднем положении между пронацией и супинацией. Инн.: лучевой нерва Рис. А, ВД

- 13 Длинный лучевой разгибатель запястья, *m. extensor carpi radialis longus*. Н: межмышечная перегородка и латеральный надмышелок плечевой кости. П: тыльная поверхность 2-й пястной кости. Ф: разгибает и отводит кисть, сгибает предплечье. Инн.: лучевой нерва Рис. А, В.
- 14 Короткий лучевой разгибатель запястья, *m. extensor carpi radialis brevis*. Н: латеральный надмышелок плечевой кости. П: проксимальная часть тыльной поверхности 3-й пястной кости. Ф: разгибает и отводит кисть. Инн.: лучевой нерв. Рис. В.
- 15 Разгибатель пальцев, *m. extensor digitorum*. Н: латеральный надмышелок плечевой кости. П: через тыльный апоневроз к дистальным фалангам 2- 5-го пальцев. Ф: разгибает пальцы и кисть. Инн.: лучевой нерв. Рис. В.
- 16 Межсухожильное соединение, *connexus intertendineus [[juncturae tendineum]]*. Располагается между сухожилиями разгибателя пальцев на тыле кисти. Рис. В.
- 17 Разгибатель мизинца, *m. extensor digiti minimi*. Н: латеральный надмышелок плечевой кости. П: тыльный апоневроз 5-го пальца. Ф: разгибает мизинец и кисть. Инн.: лучевой нерв. Рис. В.
- 18 Локтевой разгибатель запястья, *m. extensor carpi ulnaris*. Н: латеральный надмышелок плечевой кости и лучевая коллатеральная связка; задняя поверхность локтевой кости. П: основание пятой пястной кости. Ф: разгибает и приводит кисть. Инн.: лучевой нерв. Рис. В, Г.
- 19 Плечевая головка, *caput numerate*. Берет начало от плечевой кости.
- 20 Локтевая головка, *caput ulnare*. Начинается от локтевой кости. Рис. Е.
- 21 Супинатор, *m. supinator*. Н: латеральный надмышелок плечевой кости, лучевая коллатеральная связка, гребень супинатора. П: передняя поверхность лучевой кости. Ф: супинирует предплечье. Инн.: лучевой нерв. Рис. Б, Г, Д, Е.
- 22 Длинная мышца, отводящая большой палец кисти, *m. abductor pollicis longus*. Н: тыльная поверхность межкостной перепонки и смежные отделы лучевой и локтевой костей. П: основание 1-й пястной кости. Ф: отводит и разгибает большой палец, супинирует предплечье. Инн.: лучевой нерв. Рис. В, Г, Е.
- 23 Короткий разгибатель большого пальца кисти, *m. extensor pollicis brevis*. Н: тыльная поверхность лучевой кости и межкостной перепонки. П: основание проксимальной фаланги 1-го пальца. Ф: отводит и разгибает палец в пястно-фаланговом суставе. Инн.: лучевой нерва Рис. В, Г, Е.

- 24 Длинный разгибатель большого пальца кисти, *m. extensor pollicis longus*. Н: межкостная перепонка, тыльная поверхность локтевой кости. П: дистальная фаланга большого пальца. Ф: приводит и разгибает большой палец; супинирует предплечье. Инн.: лучевой нерва Рис. В, Г, Е.
- 25 Разгибатель указательного пальца, *m. extensor indicis*. Н: межкостная перепонка, тыльная поверхность локтевой кости. П: тыльный апоневроз. Ф: разгибает 2-й палец и кисть. Инн.: лучевой нерва Рис. Г, Е.
- 26 Короткая ладонная мышца, *ni palmaris brevis*. Н: локтевая сторона ладонного апоневроза. П: кожа локтевой стороны кисти. Инн.: лучевой нерва Рис. А.

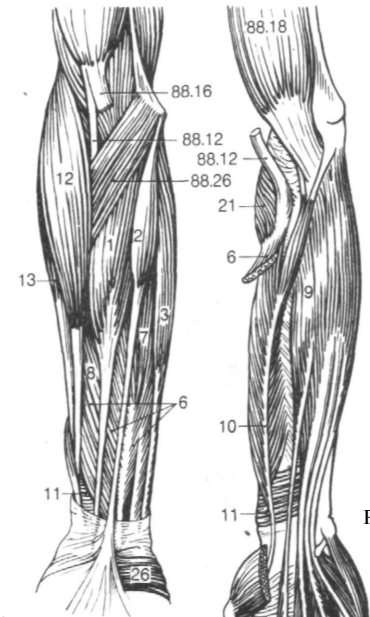


Рис. А. Поверхностные мышцы передней группы предплечья

Рис. Д. Лучевая и локтевая кости с межкостной мембраной (вид спереди)

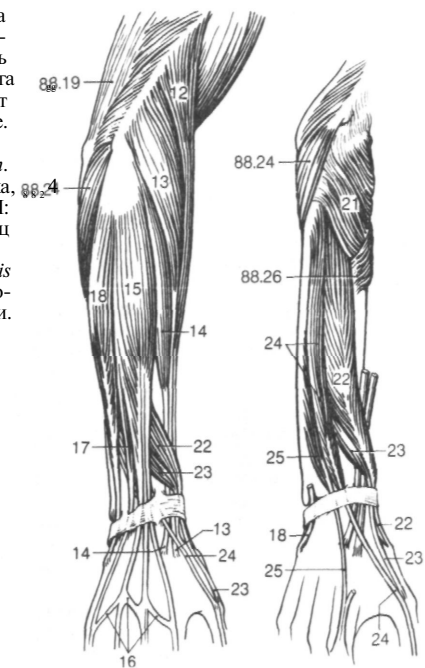
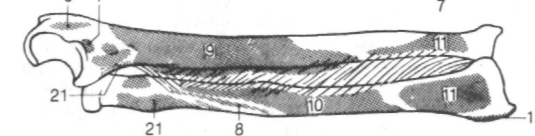
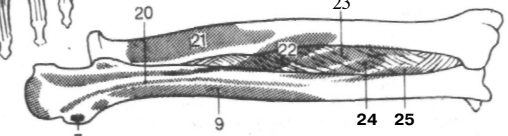


Рис. В. Поверхностные мышцы задней группы предплечья

Рис. Г. Глубокие мышцы задней группы предплечья

Рис. Б. Глубокие мышцы передней группы предплечья

Рис. Е. Лучевая и локтевая кости с межкостной мембраной (вид сзади)



- Г Короткая мышца, отводящая большой палец кисти, *nuabductor po Uicis brevis*. Н: ладьевидная кость и удерживатель сгибателей. П: латеральная сесамовидная кость и лучевая сторона проксимальной фаланги 1-го пальца. Ф: отводит и сгибает большой палец. Инн.: срединный нерв. Рис. Б.
- 2 Короткий сгибатель большого пальца, *m. flexor pollicis brevis*. Имеет две головки. Н: кости запястья, основание 1-й пястной кости, удерживатель сгибателей. П: латеральная сесамовидная кость, лучевая сторона проксимальной фаланги большого пальца. Ф: приводит и сгибает палец. Рис. Б.
- 3 Поверхностная головка, *caput superficiale*. Лежит над сухожилием длинного сгибателя большого пальца. Инн.: срединный нерв. Рис. Б.
- 4 Глубокая головка, *caput profundum*. Лежит под сухожилием длинного сгибателя большого пальца. Инн.: локтевой нерв. Рис. Б.
- 5 Мышца, противопоставляющая большой палец кисти, *m. opponens pollicis*. Н: кость-трапеция, удерживатель сгибателей. П: первая пястная кость. Ф: приводит и противопоставляет большой палец. Инн.: срединный нерв. Рис. Б.
- 6 Мышца, приводящая большой палец кисти, *m. adductor pollicis*. Н: головчатая кость, лучистая связка запястья, 3-я пястная кость. П: медиальная сесамовидная кость, локтевая сторона проксимальной фаланги большого пальца. Ф.: приводит и противопоставляет большой палец. Инн.: локтевой нерв. Рис. Б.
- 7 Косая головка, *caput obliquum*. Начинается от головчатой кости и лучистой связки запястья. Рис. Б.
- 8 Поперечная головка, *caput transversum*. Начинается от 3-й пястной кости. Рис. Б.
- 9 Мышца, отводящая мизинец, *m. abductor digiti minimi*. Н: гороховидная кость, удерживатель сгибателей. П: основание проксимальной фаланги пятого пальца и тыльный апоневроз. Ф: отводит, сгибает и разгибает мизинец. Инн.: локтевой нерв. Рис. Б.
- 10 Короткий сгибатель мизинца, *m. flexor digiti minimi brevis*. Н: крючок крючковидной кости и удерживатель сгибателей. П: основание проксимальной фаланги 5-го пальца. Ф: сгибает мизинец в пястно-фаланговом суставе. Инн. жгтевой нерв. Рис. Б.
- 11 Мышца противопоставляющая мизинец, *m. opponens digiti minimi*. Н: крючок крючковидной кости и удерживатель сгибателей. П: головка и тело 5-ой пястной кости. Ф: противопоставляет мизинец большому пальцу. Инн.: локтевой нерв. Рис. Б.
- 12 Червеобразные мышцы, *mm. lumbricales*. Н: сухожилия глубокого сгибателя пальцев. П: тыльный апоневроз 2- 5-го пальцев. Ф: сгибают проксимальные, разгибают сред-

ние и дистальные фаланги 2-5-го пальцев. Инн.: срединный и локтевой нервы. Рис. Б, В.

- 13 Тыльные межкостные мышцы, *mm. interossei dorsales*. Н: двумя головками от соседних пястных костей. П: тыльный апоневроз 2- 4-го пальцев. Ф: отводят 2-й и 4-й пальцы от 3-го; 3-й палец отклоняют медиально и латерально, а также сгибают проксимальные, но разгибают средние и дистальные фаланги. Инн.: локтевой нерв. Рис. В, Г, Д.
- 14 Ладонные межкостные мышцы, *mm. interossei palmares*. Н: 2, 4, 5-я пястные кости. П: тыльный апоневроз 2, 4, 5-го пальцев. Ф: приводит второй, четвертый и пятый пальцы к третьему, а также сгибают проксимальные, но разгибают средние и дистальные фаланги. Инн.: локтевой нерв. Рис. Б, Г.
- 15 Подмышечная фасция, *fascia axillaris*. Расположена сверху подмышечной клетчатки, соединяет латеральные края большой грудной и широчайшей мышцы спины. Рис. Ж.
- 16 Дельтовидная фасция, *fascia deltoidea*. Тесно срастается с одноименной мышцей.
- 17 Фасция плеча, *fascia brachii (brachialis)*. Покрывает мышцы плеча. Рис. Е.
- 18 Медиальная межмышечная перегородка плеча, *septum intermusciare brachii mediale*. Расположена между медиальным краем плечевой кости и фасцией плеча. Место начала мышц. Рис. Е.
- 19 Латеральная межмышечная перегородка плеча, *septum intermusciare brachii laterale*. Расположена между латеральным краем плечевой кости и фасцией плеча. Место начала мышц. Рис. Е.
- 20 Фасция предплечья, *fascia antebrachii*. Покрывает мышцы предплечья. Рис. А.
- 21 Тыльная фасция кисти, *fascia dorsalis manus*. Покрывает сухожилия мышц-разгибателей кисти. Рис. Д.
- 22 Удерживатель разгибателей, *retinaculum extensorum [[lig. carpi dors.]]*. Поперечная связка на тыне кисти, образующая шесть каналов для десяти сухожилий мышц-разгибателей. Рис. Д.
- 23 Поверхностная поперечная пястная связка, *lig. metacarpale transversum superficiale*. Утолщение ладонного апоневроза на уровне головок пястных костей. Рис. А.
- 24 Ладонный апоневроз, *aponeurosis palmaris*. Продолжение сухожилия *m. palmaris longus*. Рис. А.
- 25 Поперечные пучки, *fasciculi transversi*. Часть ладонного апоневроза. Рис. А.
- 26 Удерживатель сгибателей, *retinaculum flexorum [[lig. carpi transversum]]*. Фиброзный тяж между *os scaphoideum* и *os trapezium* с одной стороны, гороховидной и крючковидной костями - с другой. Рис. Б.

- 27 Фиброзные влагалища пальцев кисти, *vaginae fibrosae digitorum manus*. Образуют стенку костно-фиброзных каналов для сухожилий сгибателей пальцев. Рис. Б.
- 28 Кольцевая часть фиброзного влагалища, *pars anularis vaginae fibrosae*. Расположена между суставами пальцев. Рис. Б.
- 29 Крестообразная часть фиброзного влагалища, *pars cruciformis vaginae fibrosae*. Расположена над межфаланговыми суставами. Рис. Б.
- 30 Синовиальные влагалища пальцев кисти, *vaginae synoviales digitorum manus*. Охватывают сухожилия сгибателей пальцев.
- 31 Связки сухожилий, *vinculo tendinum*. Соединительнотканые тяжи (*mesotendineuni*), содержащие сосуды к сухожилиям. Рис. В.
- 32 Длинная связка, *vinculum longum*. Лежит на уровне проксимальной фаланги. Рис. В.
- 33 Короткая связка, *vinculum breve*. Находится у места прикрепления сухожилий к кости. Рис. В.
- 34 Перекрест сухожилий, *chiasma tendinum*. Пересечение сухожилий поверхностного и глубокого сгибателей пальцев. Рис. В.

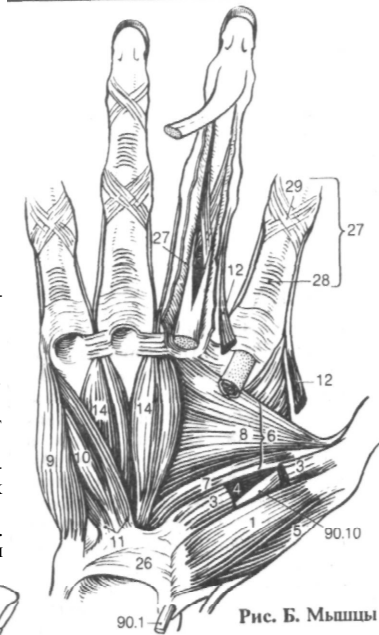


Рис. Б. Мышцы кисти

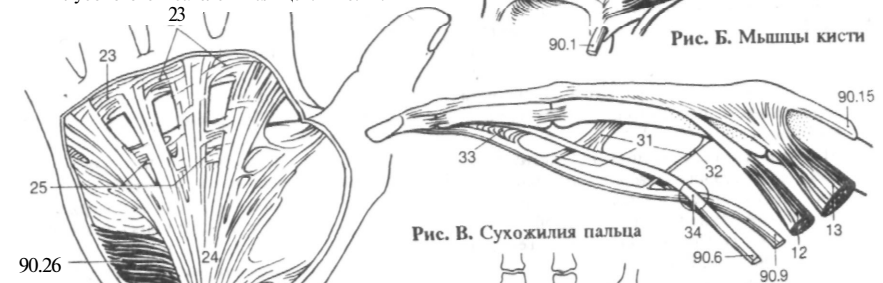


Рис. В. Сухожилия пальца

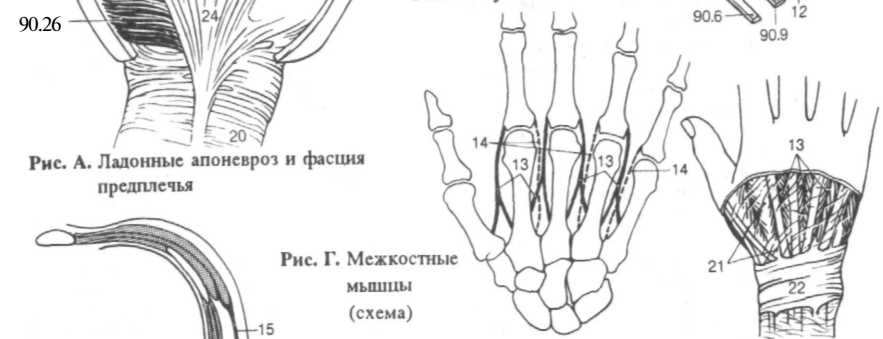


Рис. А. Ладонные апоневроз и фасция предплечья

Рис. Г. Межкостные мышцы (схема)

Рис. Д. Тыл кисти

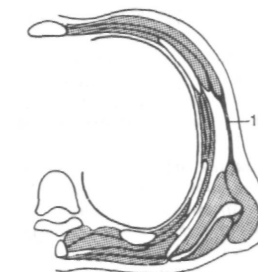


Рис. Ж. Поперечный срез грудной клетки

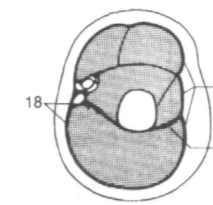


Рис. Е. Поперечный срез плеча

- 1 **МЫШЦЫ НИЖНЕЙ КОНЕЧНОСТИ, mm. membri inferioris.**
- 2 Подвздошно-поясничная мышца, *m. iliopsoas*. Состоит из большой поясничной и подвздошной мышц. П: малый вертел. Ф: сгибает и вращает бедро. Рис. Б, В, Г.
- 3 **Подвздошная мышца, m. iliac us.** Н: подвздошная ямка. П: малый вертел. Инн.: бедренный нерв и поясничное сплетение. Рис. В.
- 4 **Большая поясничная мышца, m. psoas major.** Н: тела и поперечные отростки L1 - 4. П: малый вертел. Инн.: поясничное сплетение. Рис. В.
- 5 [Малая поясничная мышца, *m. psoas minor*]. Н: тела T12 и L1. П: подвздошная фасция. Инн.: поясничное сплетение. Рис. В.
- 6 **Большая ягодичная мышца, m. gluteus maximus.** Н: задняя ягодичная линия подвздошной кости, крестец, копчик и крестцово-бугорная связка. П: подвздошно-большеберцовый тракт, ягодичная бугристость, латеральная межмышечная перегородка. Ф: разгибает, отводит и вращает бедро наружу. Инн.: нижний ягодичный нерв. Рис. А, Г, Д.
- 7 **Средняя ягодичная мышца ~n gluteus medius.** Н: наружная поверхность подвздошной кости. П: большой вертел. Ф: отводит бедро, поворачивает его наружу или кнутри, а также удерживает таз и туловище в вертикальном положении. Инн.: верхний ягодичный нерв. Рис. А, Г, Д.
- 8 **Малая ягодичная мышца, m. gluteus minimus.** Н: наружная поверхность подвздошной кости между передней и нижней ягодичными линиями. П: большой вертел. Ф: см. *m. gluteus medius*. Инн.: верхний ягодичный нерв. Рис. А, Г, Д.
- 8а **Ягодичный апоневроз, aponeurosis glutealis.** Широкое и плоское сухожильное начало *m. gluteus maximus*.
- 9 **Напрягатель широкой фасции, Jn. tensor fasciae latae.** Н: у верхней передней подвздошной ости. П: через подвздошно-большеберцовый тракт к бугристости большеберцовой кости. Ф: сгибает, отводит и вращает бедро кнутри, а также разгибает голень и вращает ее наружу. Инн.: верхний ягодичный нерв. Рис. В, Д.
- 10 **Грушевидная мышца, m. piriformis.** Н: тазовая поверхность крестца. П: большой вертел. Ф: отводит, разгибает и вращает бедро наружу. Инн.: крестцовое сплетение. Рис. А, Г.
- 11 **Внутренняя запирающая мышца, m. obturatorius intemus.** Н: внутренняя поверхность запирающей мембраны и ограничивающие запирающее отверстие кости. П: вертельная ямка. Ф: вращает разогнутое бедро наружу, а согнутое бедро отводит. Инн.: крестцовое сплетение. Рис. А, Г.
- 12 **Верхняя близнецовая мышца, m. gemel-**

- lus superior.* Н: седалищная ость. П: сухожилие внутренней запирающей мышцы и вертельная ямка. Ф: см. 11. Инн.: крестцовое сплетение. Рис. А, Г, Д.
- 13 **Нижняя близнецовая мышца, m. gemellus inferior.** Н: седалищный бугор. П: сухожилие внутренней запирающей мышцы и вертельная ямка. Ф: см. 11. Инн.: крестцовое сплетение. Рис. А, Г, Д.
- 14 **Квадратная мышца бедра, m. quadratus femoris.** Н: седалищный бугор. П: межвертельный гребень. Ф: приводит бедро и вращает его наружу. Инн.: крестцовое сплетение. Рис. А, Г, Д.
- 15 **Портняжная мышца, m. sartorius.** Н: верхняя передняя подвздошная ость. П: бугристость большеберцовой кости. Ф: сгибает, отводит и вращает бедро наружу, а также сгибает голень и вращает ее кнутри. Инн.: бедренный нерв. Рис. В, Д.
- 16 **Четырехглавая мышца бедра, m. quadriceps femoris.** Состоит из четырех частей, имеющих общее сухожилие. Инн.: бедренный нерв.
- 17 **Прямая мышца бедра, m. rectus femoris.** Н: нижняя передняя подвздошная ость (прямая головка) и верхний край вертлужной впадины (загнутая головка). П: общее сухожилие. Ф: сгибает бедро, разгибает голень. Рис. Б, В, Д.
- 18 **Латеральная широкая мышца бедра, m. vastus lateralis.** Н: большой вертел и латеральная губа шероховатой линии. П: общее сухожилие. Ф: разгибает голень. Рис. Б, В, Г.
- 19 **Промежуточная широкая мышца бедра, m. vastus intermedius.** Н: передняя поверхность тела бедренной кости. П: общее сухожилие. Ф: разгибает голень. Рис. Б, Г.
- 20 **Медиальная широкая мышца бедра, m. vastus medialis.** Н: передняя поверхность тела бедренной кости дистальнее межвертельной линии, медиальная губа шероховатой линии. П: общее сухожилие. Ф: разгибает голень. Рис. В, Г.
- 21 **Суставная мышца колена, m. articularis genuus.** Н: передняя поверхность тела бедренной кости. П: капсула коленного сустава. Ф: натягивает суставную капсулу. Инн.: бедренный нерв. Рис. Г.
- 22 **Гребенчатая мышца, m. pectineus.** Н: лобковый гребень. П: гребенчатая линия. Ф: сгибает и приводит бедро, вращает его наружу. Инн.: бедренный и запирающий нервы. Рис. Б, В, Г, Д.
- 23 **Длинная приводящая мышца, m. adductor longus.** Н: вблизи лобкового симфиза. П: медиальная губа шероховатой линии. Ф: приводит и сгибает бедро. Инн.: запирающий нерв. Рис. Б, В, Г, Д.
- 24 **Короткая приводящая мышца, m. adductor brevis.** Н: нижняя ветвь лобковой кости. П: медиальная губа lin. aspera. Ф: приводит, сгибает бедро и вращает его наружу.

- Инн.: запирающий нерв. Рис. Б, Г, Д.
- 25 **Большая приводящая мышца, m. adductor magnus.** Н: седалищный бугор и ветвь седалищной кости. П: медиальная губа lin. aspera и длинное сухожилие к медиальному надмышелку бедренной кости. Ф: приводит и разгибает бедро. Инн.: запирающий и седалищный нервы. Рис. А, Б, В, Г, Д.
- 26 **Малая приводящая мышца, m. adductor minimus.** Проксимальная часть большой приводящей мышцы.
- 27 **Тонкая мышца, m. gracilis.** Н: нижняя ветвь лобковой кости, медиальнее места начала большой приводящей мышцы. П: медиальная сторона бугристости большеберцовой кости. Ф: приводит бедро, сгибает голень и вращает ее кнутри. Рис. А, В, Д.

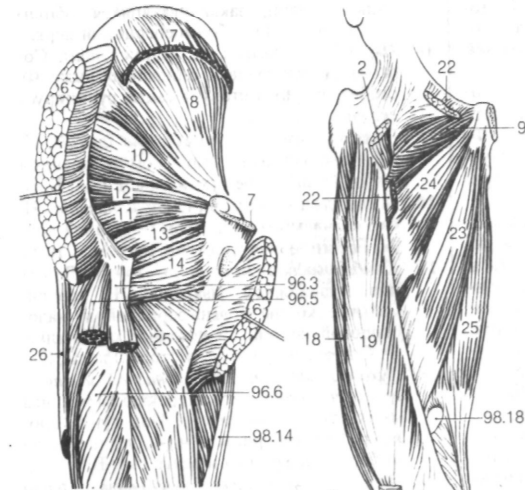


Рис. А. Глубокие мышцы ягодичной области (вид сзади)

Рис. Б. Мышцы бедра (вид спереди)

Рис. Д. Тазовая кость (вид с латеральной стороны)

Рис. В. Мышцы таза и бедра (вид спереди)

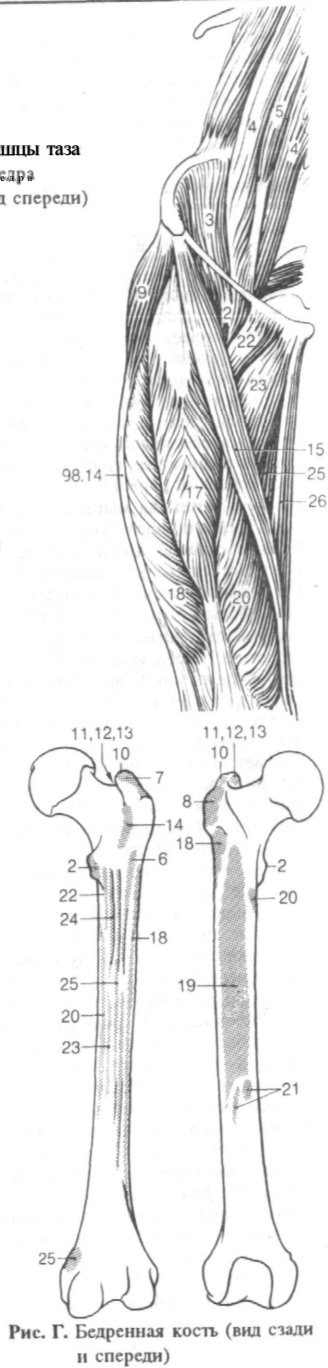


Рис. Г. Бедренная кость (вид сзади и спереди)

- 1 Наружная запирательная мышца, *m. obturatorius externus*. Н: наружная поверхность запирательной мембраны и ограничивающее запирательное отверстие кости. П: вертельная ямка. Ф: приводит бедро и вращает его наружу. Инн.: запирательный нерв. Рис. А.
- 2 Двуглавая мышца бедра, *nubiceps femoris*. Начинается двумя головками от таза и бедренной кости, заканчивается на *caput fibulae*. Рис. А, Б, Д, Е.
- 3 Длинная головка, *caput longum*. Н: седлистый бугор. П: головка малоберцовой кости. Ф: разгибает и приводит бедро, а также вращает его наружу. Сгибает голень и вращает ее наружу. Инн.: большеберцовый нерв. Рис. А, Б.
- 4 Короткая головка, *caput breve*. Н: латеральная губа шероховатой линии. П: головка малоберцовой кости. Ф: сгибает голень и вращает ее наружу. Инн.: общий малоберцовый нерв. Рис. А, Б.
- 5 Полу сухожильная мышца, *m. semitendinosus*. Н: седлистый бугор. П: буристорность большеберцовой кости [*pes anserinus*]. Ф: разгибает, приводит и вращает бедро кнутри, сгибает голень и вращает ее кнутри. Инн.: большеберцовый нерв. Рис. А, Г, Д.
- 6 Подуперлончатая мышца, *m. semimembranosus*. Н: седлистый бугор. П: медиальный мыщелок большеберцовой кости и косая подколенная связка. Частично прикрыта полусухожильной мышцей. Ф: разгибает, приводит бедро и вращает его кнутри. Сгибает голень и вращает ее кнутри, а также натягивает капсулу коленного сустава. Инн.: большеберцовый нерв. Рис. А, Б, Е.
- 7 Передняя большеберцовая мышца, *m. tibialis anterior*. Н: латеральная поверхность большеберцовой кости, межкостная перепонка и фасция голени. П: медиальная клиновидная и 1-я плюсневая кости. Ф: разгибает стопу, поднимает ее медиальный край (*supinatio*). Инн.: глубокий малоберцовый нерв. Рис. Г, Д.
- 8 Длинный разгибатель пальцев, *m. extensor digitorum longus*. Н: латеральный мыщелок большеберцовой кости, межкостная перепонка и малоберцовая кость. П: тыльный апоневроз 2-го - 5-го пальцев. Ф: разгибает пальцы и стопу, поднимает ее латеральный край (*pronatio*). Инн.: глубокий малоберцовый нерв. Рис. Г, Д.
- 9 Третья малоберцовая мышца, *m. peroneus tertius (m. fibularis tertius)*. Отщепившаяся часть длинного разгибателя пальцев. П: основание 5-ой плюсневой кости. Ф: разгибает и пронирует стопу. Инн.: глубокий малоберцовый нерв. Рис. Г.
- 10 Длинный разгибатель большого пальца, *m. extensor hallucis longus*. Н: межкостная перепонка, малоберцовая кость. П: ногтевая фаланга 1-го пальца. Ф: разгибает сто-
- пу и большой палец. Инн.: глубокий малоберцовый нерв. Рис. Г, Д.
- 11 Длинная малоберцовая мышца, *m. peroneus bngus [m. fibularis longus]*. К: малоберцовая кость, фасция голени. П: косо пересекает подошвенную поверхность стопы, заканчивается на медиальной клиновидной и первой плюсневой костях. Ф: сгибает и пронирует стопу. Инн.: поверхностный малоберцовый нерв. Рис. В, Г, Д, Е.
- 12 Короткая малоберцовая мышца, *m. peroneus brevis [m. fibularis brevis]*. Н: дистальные 2/3 малоберцовой кости. П: буристорность пятой плюсневой кости. Ф: сгибает и пронирует стопу. Инн.: поверхностный малоберцовый нерв. Рис. В, Г, Д, Е.
- 13 Трехглавая мышца голени, *m. triceps surae*. Состоит из икроножной и камбаловидной мышц, заканчивающихся общим сухожилием. Инн.: большеберцовый нерв.
- 14 Икроножная мышца, *m. gastrocnemius*. Состоит из двух головок, описанных ниже. Ф: сгибает голень и стопу, а также супинирует ее. Рис. А, Б, В, Г.
- 15 Латеральная головка, *caput laterale*. Н: над латеральным мыщелком бедренной кости. П: пяточное сухожилие. Рис. А, Б, В.
- 16 Медиальная головка, *caput mediate*. Н: над медиальным мыщелком бедренной кости. П: пяточное сухожилие. Рис. А, Б, В, Г.
- 17 Камбаловидная мышца, *m. sole us*. Лежит под икроножной мышцей. Н: проксимальные концы большеберцовой и малоберцовой костей. П: пяточное сухожилие. Ф: сгибает и супинирует стопу. Рис. Б, Е.
- 18 Сухожильная дуга камбаловидной мышцы, *arcus tendinis m. solei*. Перекидывается над межкостной перепонкой. Под дугой проходят большеберцовый нерв, задние большеберцовые артерия и вены. Рис. Б.
- 19 Пяточное ([ахиллово]) сухожилие, *tendo calcaneus [Achillis]*. Сухожилие трехглавой мышцы, которое прикрепляется к пяточному бугру. Рис. Б, В.
- 20 Подошвенная мышца, *m. plantaris*. Н: над латеральным мыщелком бедренной кости. П: пяточное сухожилие. Инн.: большеберцовый нерв. Рис. Б, В.
- 21 Подколенная мышца, *m. popliteus*. Н: латеральный мыщелок бедренной кости. П: задняя поверхность большеберцовой кости. Ф: сгибает голень и вращает ее кнутри. Рис. Б, В, Е.
- 22 Задняя большеберцовая мышца, *m. tibialis posterior*. Н: большеберцовая и малоберцовая кости, межкостная перепонка. П: ладьевидная, клиновидные, кубовидная и 2-4-я плюсневые кости. Ф: сгибает и супинирует стопу. Инн.: большеберцовый нерв. Рис. В, Е.
- 23 Длинный сгибатель пальцев, *m. flexor digitorum longus*. Н: большеберцовая кость. П: дистальные фаланги 2- 5-го пальцев. Ф:

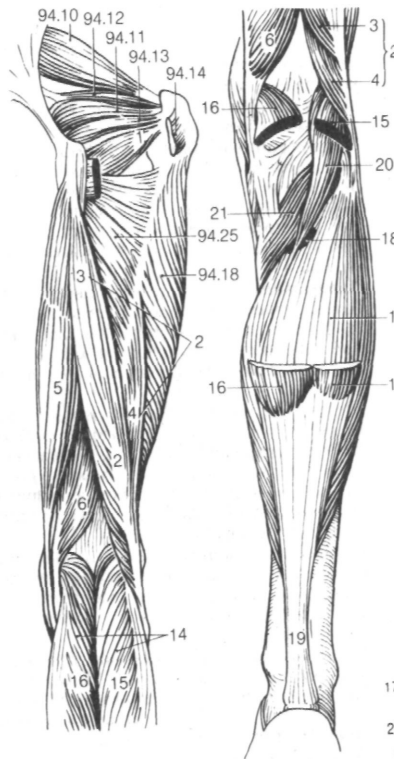


Рис. А. Мышцы бедра Рис. Б. Мышцы голени (вид сзади)

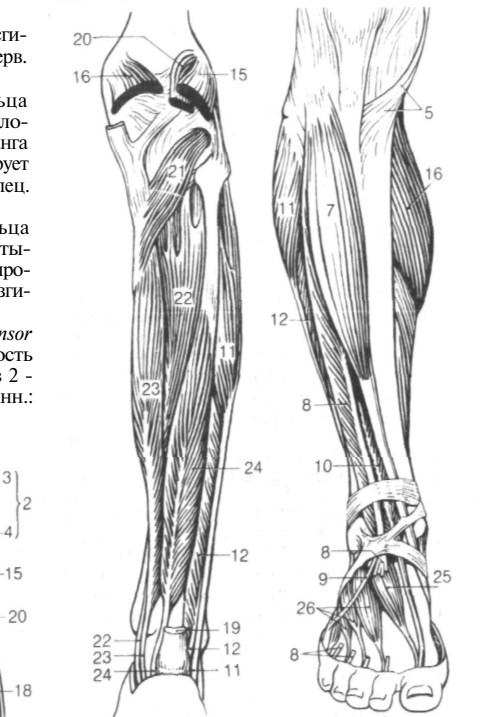


Рис. В. Глубокие мышцы голени (вид сзади) Рис. Г. Мышцы голени и стопы (вид спереди)

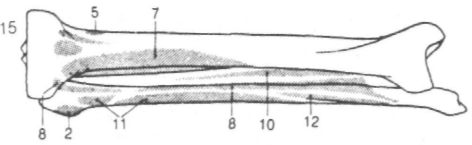


Рис. Д. Большеберцовая и малоберцовая кости (вид спереди)

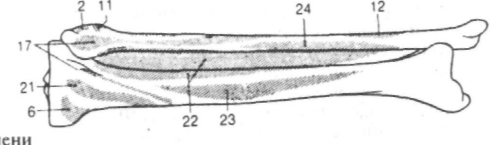


Рис. Е. Большеберцовая и малоберцовая кости (вид сзади)

- 1 Мышца, отводящая большой палец стопы, *m. abductor hallucis*. Состоит из двух головок. Н: удерживатель сухожилий-сгибателей, медиальный отросток пяточного бугра. П: медиальная сесамовидная кость и проксимальная фаланга большого пальца. Ф: отводит большой палец и укрепляет продольный свод стопы. Инн.: см. 2. Рис. А, Б.
- 1а Медиальная головка, *caput mediate*. Начинается от удерживателя сухожилий-сгибателей.
- 1б Латеральная головка, *caput laterale*. Начинается от пяточного бугра.
- 2 Короткий сгибатель большого пальца стопы, *m. flexor hallucis brevis*. Н: кубовидная кость и длинная подошвенная связка. П: Обе сесамовидные кости и проксимальная фаланга. Ф: сгибает большой палец, укрепляет продольный свод стопы. Инн.: медиальный и латеральный подошвенный нервы Рис. А, Б.
- 3 Мышца, приводящая большой палец стопы, *m. adductor hallucis*. Имеет две головки. Играет важную роль в укреплении поперечного свода стопы
- 4 Косая головка, *caput obliquum*. Н: 2-4-ая плюсневые, латеральная клиновидная и кубовидная кости. П: вместе с поперечной головкой на латеральной сесамовидной кости и проксимальной фаланге большого пальца. Ф: укрепляет поперечный и продольные своды стопы. Рис. Б.
- 5 Поперечная головка, *caput transversum*. Н: капсула 3-5-го плюсне-фаланговых суставов. П: латеральная сесамовидная кость. Рис. А, Б.
- 6 Мышца, отводящая мизинец стопы, *m. abductor digiti minimi*. Н: пяточная кость и подошвенный апоневроз. П: латеральная сторона проксимальной фаланги мизинца. Ф: сгибает и отводит пятый палец. Инн.: латеральный подошвенный нерв. Рис. А, Б.
- 7 Короткий сгибатель мизинца стопы, *m. flexor digiti minimi brevis*. Н: основание 5-ой плюсневой кости, длинная подошвенная связка. П: проксимальная фаланга мизинца. Ф: сгибает и отводит мизинец. Инн.: латеральный подошвенный нерв. Рис. А, Б.
- 7а [Мышца, противопоставляющая мизинец, *m. opponens digiti minimi*]. Отщипывающаяся часть *m. flexor digiti minimi brevis*. Н: дистальная часть 5-ой плюсневой кости. Встречается непостоянно.
- 8 Короткий сгибатель пальцев, *m. flexor digitorum brevis*. Н: пяточный бугор и подошвенный апоневроз. П: двумя ножками к средним фалангам 2-5-го пальцев. Ф: сгибает пальцы и укрепляет продольные своды стопы. Инн.: медиальный подошвенный нерв. Рис. А, Б.
- 9 Квадратная мышца подошвы (добавочный сгибатель), *m. quadratus plantae (m. flexor accessorius)*. Н: пяточная кость. П: латеральный край сухожилия длинного сгибателя пальцев. Ф: сгибает пальцы и

- укрепляет продольные своды стопы. Инн.: латеральный подошвенный нерв. Рис. Б.
- 10 Червеобразные мышцы, *mm. lumbricales*. Н: сухожилия длинного сгибателя пальцев. П: основания проксимальных фаланг 2-5-го пальцев. Ф: сгибает проксимальные, азгибает средние и дистальные фаланги —4-го пальцев и приближает их к большому пальцу. Инн.: латеральный и медиальный подошвенные нервы. Рис. А, Б.
- 11 Тыльные межкостные мышцы, *mm. interossei dorsales*. Н: двумя головками от соседних плюсневых костей. П: тыльный апоневроз. Ф: сгибают пальцы в плюсне-фаланговых и разгибают в межфаланговых суставах; второй палец приближают к большому или вместе с третьим и четвертым - к мизинцу. Инн.: латеральный подошвенный нерв. Рис. В.
- 12 Подошвенные межкостные мышцы, *mm. interossei plantares*. Н: одной головкой от 3-5-й плюсневых костей. П: основание проксимальных фаланг. Ф: сгибает пальцы в плюсне-фаланговых и разгибает в межфаланговых суставах, 3-5-й пальцы приводит ко второму. Инн.: см. П. Рис. В.
- 13 Широкая фасция, *fascia lata*. Покрывает все мышцы бедра. Рис. Г.
- 14 Подвздошно-большеберцовый тракт, *tractus iliotibialis*. Утолщение широкой фасции между гребнем подвздошной и латеральным мыщелком большеберцовой костей. В него продолжаются напрягатель широкой фасции и большая ягодичная мышца. Рис. Г.
- 15 Латеральная межмышечная перегородка бедра, *septum intermuscular femoris laterale*. Идет от широкой фасции к латеральной губе шероховатой линии между двуглавой и латеральной широкой мышцами бедра.
- 16 Медиальная межмышечная перегородка бедра, *septum intermuscular femoris mediale*. Идет от широкой фасции к медиальной губе шероховатой линии, между портняжной и медиальной широкой мышцей бедра с одной стороны, приводящими мышцами - с другой.
- 17 Приводящий канал, *canalis adductorius*. Ограничен медиальной широкой, приводящими мышцами бедра и *[membrana vastoadductoria]*. Заканчивается сухожильной щелью. Рис. Г.
- 18 Сухожильная щель (большой приводящей мышцей), *hiatus tendineus (adductorius)*. Расположена в большой приводящей мышце у места ее прикрепления на уровне нижнего края *m. adductor longus*.
- 19 Подвздошная фасция, *fascia iliaca*. Покрывает подвздошную и нижнюю часть большой поясничной мышцы. Прикрепляется к подвздошному гребню, дугообразной линии и паховой связке. Рис. Г.
- 20 Мышечная лакуна, *lacuna musculorum*. Расположена между подвздошной костью, паховой связкой и подвздошно-гребенча-

- той дугой. В ней проходит подвздошно-поясничная мышца и бедренный нерв. Рис. Д.
- 21 Подвздошно-гребенчатая дуга, *arcus iliopectineus*. Часть подвздошной фасции, расположенная между паховой связкой и подвздошно-лобковым возвышением. Отделяет мышечную лакуну от сосудистой. Рис. Д.
- 22 Сосудистая лакуна, *lacuna vasorum*. Находится между лобковой костью, паховой связкой и подвздошно-гребенчатой дугой, содержит бедренные артерию, вену и бедренную ветвь *n. genitofemoralis*. Рис. Д.
- 23 Бедренный треугольник, *trigonum femorale*. Ограничен портняжной, длинной приводящей мышцами и паховой связкой. Рис. Г.
- 24 Бедропный канал, *canalis femoralis*. Образуется при бедренной грыже. Расположен медиально от бедренной вены между бедренным кольцом и подкожной щелью. Рис. Д.

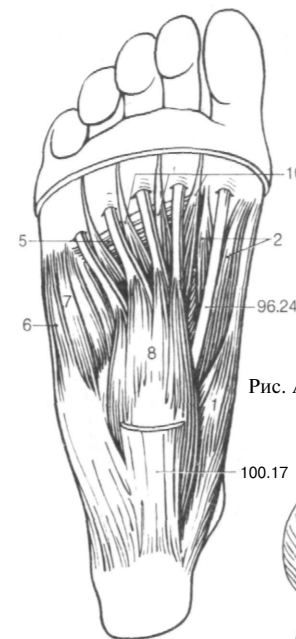


Рис. А. Поверхностные мышцы подошвенной поверхности стопы

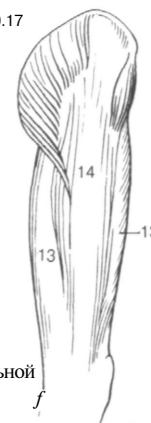


Рис. Г. Бедро (вид с латеральной стороны и спереди)

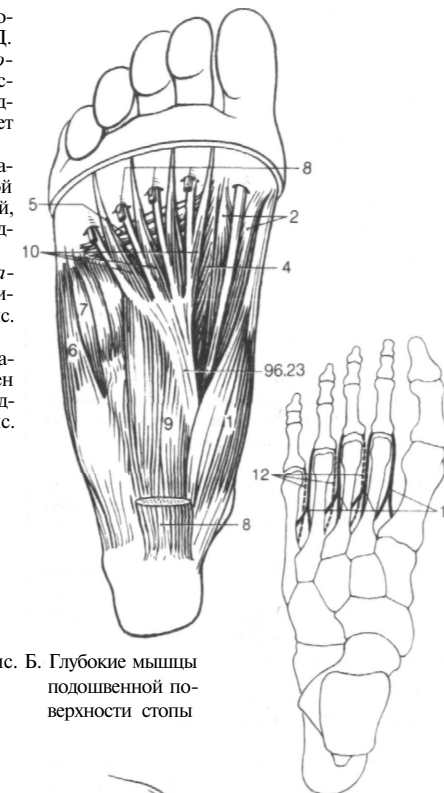


Рис. Б. Глубокие мышцы подошвенной поверхности стопы

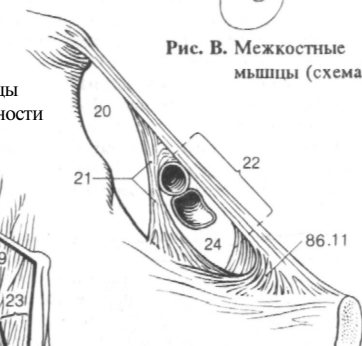


Рис. В. Межкостные мышцы (схема)



Рис. Д. Сосудистая лакуна



- 1 Бедренное кольцо, *anulus (armulis) femoralis*. Ограничено паховой связкой, бедренной веной, паховым серпом и гребенчатой связкой. Рис. А.
- 2 Бедренная перегородка, *septum femorale*. Соединительнотканная пластинка, закрывающая бедренное кольцо. Рис. А.
- 3 **Подкожная щель, *hiatus saphenus***. Отверстие в широкой фасции, расположенное под паховой связкой, в котором проходит большая подкожная вена. Рис. Б.
- 4 Серповидный край, *margo falciformis*. Латеральный, дугообразный край подкожной щели. Рис. Б.
- 5 **Верхний рог, *cornu superius***. Верхняя изогнутая часть серповидного края. Рис. Б.
- 6 **Нижний рог, *cornu inferius***. Нижняя изогнутая часть серповидного края. Рис. Б.
- 7 Решетчатая фасция, *fascia cribrosa*. Перфорированная соединительнотканная пластинка, заполняющая подкожную щель. Рис. Б.
- 8 **Фасция голени, *fascia cruris***. Служит дополнительным местом начала мышц и прикрепляется к свободным краям костей голени. Рис. В, Г, Е.
- 9 **Передняя межмышечная перегородка голени, *septum intermuscular cruris anterius***. Отделяет малоберцовые мышцы от передней группы мышц голени. Рис. Е.
- 10 **Задняя межмышечная перегородка голени, *septum intermusculare cruris posterior***. Разделяет малоберцовые мышцы и заднюю группу мышц голени. Рис. Е.
- 11 Верхний удерживатель (сухожилий) разгибателей, *retinaculum mm. extensorum superius*. Широкое поперечное утолщение фасции голени, фиксирующее сухожилия мышц - разгибателей. Рис. В, Г.
- 12 Удерживатель (сухожилий) сгибателей, *retinaculum mm. flexorum*. Фиброзный тяж между медиальной лодыжкой и пяточной костью. Под ним проходят большеберцовые нерв, артерия и вены, *nutibialis posterior, mflexor digitorum longus, mflexor hallucis longus*. Рис. Г.
- 13 **Нижний удерживатель (сухожилий) разгибателей, *retinaculum mm. extensorum inferius***. У-образный соединительнотканный тяж, расположенный спереди голеностопного сустава. Начинается от верхней поверхности пяточной кости; одна его часть заканчивается на медиальной лодыжке, другая - переходит в подошвенный апоневроз. Рис. В, Г.
- 14 **Верхний удерживатель сухожилий малоберцовых мышц, *retinaculum mm. peroneorum (fibularium) superius***. Проходит от латеральной лодыжки к пяточной кости. Рис. В.
- 15 **Нижний удерживатель сухожилий малоберцовых мышц, *retinaculum mm. peroneorum (fibularium) inferius***. Соединяет

нижний удерживатель (сухожилий) разгибателей с наружной поверхностью пяточной кости. Фиброзной перегородкой, заканчивающейся на малоберцовом блоке отделяет *nuperoneus brevis* (лежит выше) от *mperoneus longus*. Рис. В.

- 16 **Тыльная фасция стопы, *fascia dorsalis pedis***. Тонкий листок, начинающийся от нижнего удерживателя (сухожилий) разгибателей. Рис. В, Г.

- 17 **Подошвенный апоневроз, *aponeurosis plantaris***. Плотный фиброзный листок, идущий от пяточного бугра до средних фаланг. Укрепляет продольный свод стопы. Рис. Д.

- 18 Поперечные пучки, *fasciculi transversi*. Находится на уровне головок плюсневых костей. Рис. Д.

- 19 **Поверхностная поперечная связка плюсны, *lig. metatarsal transversum superficiale***. Расположена в составе подошвенного апоневроза дистальнее его поперечных пучков. Рис. Д, Ж.

- 20 **Синовиальные влагалища сухожилий пальцев стопы, *vaginae synoviales tendinum digitorum pedis***. Охватывают сухожилия сгибателей пальцев. Рис. Ж.

- 21 Связки сухожилий, *vinculo tendinum*. Соединительнотканные тяжи, содержащие сосуды к сухожилиям. Рис. Ж.

- 22 **Фиброзные влагалища сухожилий пальцев стопы, *vaginae fibrosae tendinum digitorum pedis***. Образуют стенку костно-фиброзных каналов для сухожилий сгибателей пальцев. Рис. Ж.

- 23 **Кольцевая часть фиброзного влагалища, *pars anularis (annularis) vaginae fibrosae***. Расположена между суставами пальцев. Рис. Ж.

- 24 Крестообразная часть фиброзного влагалища, *pars cruciformis vaginae fibrosae*. Расположена на уровне межфаланговых суставов. Рис. Ж.

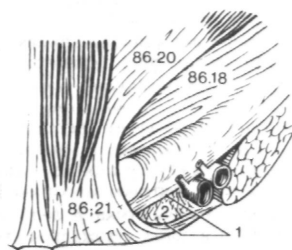


Рис. А. Сосудистая лакуна (вид со стороны брюшной полости)

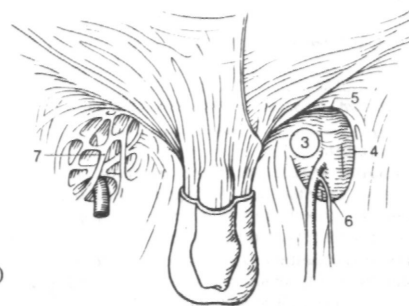


Рис. Б. Широкая фасция бедра

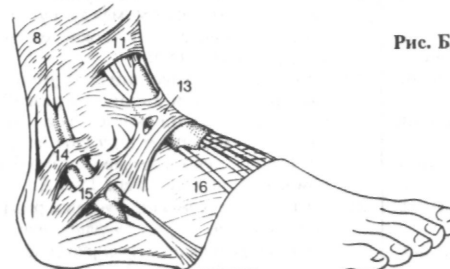


Рис. В. Стопа (вид с тыльно-латеральной стороны)

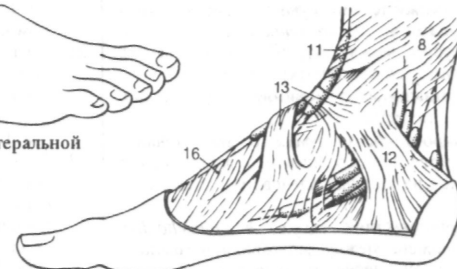


Рис. Г. Стопа (вид с медиальной стороны)



Рис. Д. Подошвенный апоневроз стопы

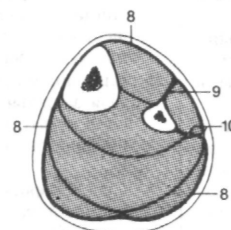


Рис. Е. Поперечный срез голени

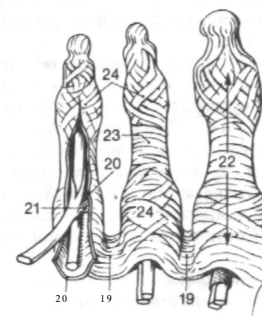


Рис. Ж. Пальцы стопы (подошвенная поверхность)



- СИНОВИАЛЬНЫЕ СУМКИ И ВЛАГАЛИЩА, *bursae et vaginae synoviales*.
- 1 Синовиальное влагалище верхней косой мышцы, *vagina tendinis synovialis rruobliqui superioris*. Расположено возле блока в верхнемедиальном углу глазницы. См. также 364.12.
  - 2 Сумка мышцы, натягивающей небную занавеску, *b. m. tensoris veli palatini*. Находится между сухожилием мышцы и крыловидным крючком.
  - 3 Подкожная сумка выступа гортани, *B. subcutanea prominentiae laringealis*. Расположена под кожей на уровне выступа гортани щитовидного хряща. Рис. А.
  - 4 Позадиподъязычная сумка, *b. retrohyoidea*. Находится между телом подъязычной кости и щитоподъязычной мембраной. Рис. А.
  - 5 Подподъязычная сумка, *bursa infrahyoidea*. Расположена между верхним концом грудино-подъязычной мышцы и щитоподъязычной мембраной. Рис. А, Б.
  - 5а Синовиальные сумки верхней конечности, *bursae membri superirris*.
  - 6 Подсухожильная сумка трапециевидной мышцы, *b. subtendinea m. trapezii*. Локализуется между восходящей частью *m. trapezius* и остью лопатки. Рис. В.
  - 7 [Акромиальная подкожная сумка, *b. subcutanea acromialis*]. Рис. Г.
  - 8 Подакромияльная сумка, *b. subacromialis*. Находится под акромионом и дельтовидной мышцей на капсуле плечевого сустава. Рис. Г, Д.
  - 9 Поддельтовидная сумка, *b. subdeltoidea*. Расположена между дельтовидной мышцей и капсулой плечевого сустава. Иногда соединяется с подакромияльной сумкой. Рис. Г.
  - 10 [Сумка клювоплечевон мышцы, *B. m. coracobrachialis*]. Локализуется ниже верхушки клювовидного отростка между сухожилиями подлопаточной и клювоплечевой мышц. Рис. Г.
  - ii Подсухожильная сумка полостной мышцы, *b. subtendinea m. infraspinati*. Находится между сухожилием полостной мышцы и капсулой плечевого сустава. Рис. Д.
  - 12 Подсухожильная сумка подлопаточной мышцы, *b. subtendinea m. subscapularis*. Расположена между сухожилием подлопаточной мышцы и капсулой плечевого сустава. Соединяется с суставной полостью. Рис. Г.
  - 13 Подсухожильная сумка большой круглой мышцы, *b. subtendinea m. teretis majoris*. Расположена между сухожилием соответствующей мышцы и плечевой костью. Рис. Г.
  - 14 Подсухожильная сумка широчайшей мышцы спины, *b. subtendinea m. latissimi dorsi*. Находится между сухожилиями большой круглой мышцы и широчайшей мыш-

цей спины. Рис. Г.

- 15 Локтевая подкожная сумка, *b. subcutanea olecrani*. Находится между локтевым отростком и кожей. Рис. Е.
- 16 [Локтевая внутрисухожильная сумка, *b. intratendinea olecrani*]. Расположена внутри сухожилия трехглавой мышцы плеча, вблизи локтевого отростка. Рис. Е.
- 17 Подсухожильная сумка трехглавой мышцы плеча, *b. subtendinea m. tricipitis brachii*. Находится между сухожилием одноименной мышцы и локтевым отростком. Рис. Е.
- 18 Двуглаво-лучевая сумка, *b. bicipitoradialis*. Локализуется между сухожилием двуглавой мышцы и бугристостью лучевой кости. Рис. Е.
- 19 [Межкостная локтевая сумка, *b. cubitalis interossea*]. Находится между сухожилием двуглавой мышцы и локтевой костью или косой хордой. Рис. Е.
- 20 Влагалище сухожилий длинной отводящей мышцы и короткого разгибателя большого пальца кисти, *vag. tendinum mm. abductoris longi et extensoris brevis pollicis*. Расположено в первом костно-фиброзном канале на тыле кисти. Рис. Ж.
- 21 Влагалище сухожилий лучевых разгибателей запястья, *vagina tendinum mm. extensorum carpi radialis*. Расположено во втором костно-фиброзном канале на тыле кисти. Рис. Ж.
- 22 Влагалище сухожилия длинного разгибателя большого пальца кисти, *vagina tendinis m. extensoris pollicis longi*. Расположено в третьем костно-фиброзном канале на тыле кисти. Рис. Ж.
- 23 Влагалище (сухожилий) разгибателей пальцев и указательного пальца, *vag. tendinum mm. extensoris digitorum et extensoris indicis*. Расположено в четвертом костно-фиброзном канале на тыле кисти. Рис. Ж.
- 24 Влагалище сухожилия разгибателя мизинца, *vag. tendinis m. extensoris digiti minimi*. Расположено в пятом костно-фиброзном канале на тыле кисти. Рис. Ж.
- 25 Влагалище сухожилия локтевого разгибателя запястья, *vagina tendinis m. extensoris carpi ulnaris*. Расположено в шестом костно-фиброзном канале на тыле кисти. Рис. Ж.
- 26 Сумка короткого лучевого разгибателя запястья, *b. m. extensoris carpi radialis brevis*. Расположена между сухожилием одноименной мышцы и основанием третьей пястной кости.

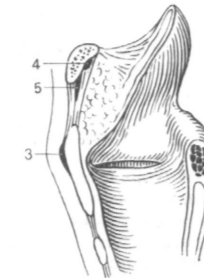
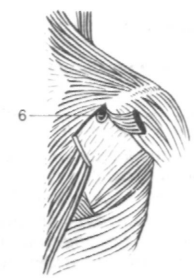
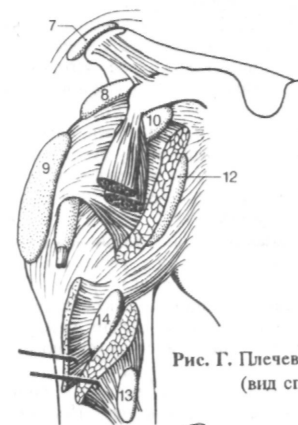
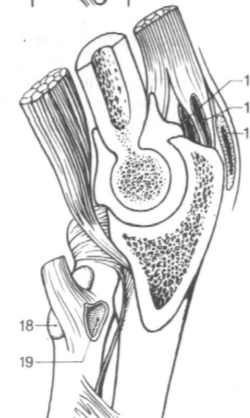
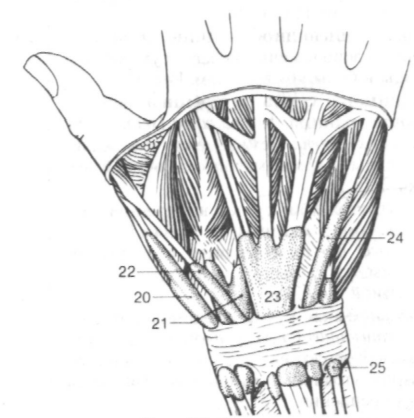
Рис. А. Сагиттальный  
срез гортаниРис. Б. Гортань (вид  
с латеральной  
стороны)Рис. В. Правое плечо  
(вид сзади)Рис. Г. Плечевой сустав  
(вид спереди)Рис. Д. Плечевой сустав  
(вид сзади)

Рис. Е. Распил локтевого сустава

Рис. Ж. Синовиальные влагалища  
на тыльной стороне кисти

- 1 Влагалище сухожилия лучевого сгибателя **запястья**, *vag. tendinis m. flexoris carpi radialis*. Находится между сухожилием мышцы и основанием второй пястной кости. Рис. А.
- 2 Общее влагалище сгибателей, *vag. communis mm. flexorum*. Окружает сухожилия поверхностного и глубокого сгибателей пальцев. Рис. А.
- 3 Влагалище сухожилия длинного сгибателя большого пальца кисти, *vag. tendinis m. flexoris pollicis longi*. Рис. А.
- 4 Влагалища сухожилий пальцев кисти, *vag. tendinum digitorum manus*. Покрывают сухожилия сгибателей пальцев. Простираются от пястно-фаланговых суставов до основания дистальных фаланг. Рис. А.
- 4а Сумки нижней конечности, *bursae membri inferioris*.
- 5 Подкожная вертельная сумка, *bursa subcutanea trochanterica*. Расположена между кожей и сухожилием большой ягодичной мышцы на уровне большого вертела. Рис. Б.
- 6 Вертельная сумка большой ягодичной **мышцы**, *bursa trochanterica m. glutei maximi*. Отделяет сухожилие мышцы от большого вертела. Рис. Б.
- 7 Вертельные сумки средней ягодичной **мышцы**, *b. trochantericae m. glutei medii*. Одна из них расположена между сухожилием средней ягодичной мышцы и большим вертелом, другая - отделяет сухожилие *nugluteus medius* от грушевидной мышцы. Рис. Б, В.
- 8 Вертельная сумка малой ягодичной **мышцы**, *b. trochanterica m. glutei minimi*. Находится между сухожилием мышцы и большим вертелом. Рис. Б, В.
- 9 Сумка грушевидной мышцы, *b. m. piriformis*. Расположена между сухожилием мышцы и большим вертелом. Рис. Б.
- 10 Седалищная сумка внутренней запирающей **мышцы**, *b. ischiadica (sciatica) m. obturatoris interni*. Лежит между сухожилием мышцы и краем малой седалищной вырезки. Рис. Б.
- 11 Подсухожильная сумка внутренней запирающей **мышцы**, *b. subtendinea m. obturatoris interni*. Находится под сухожилием мышцы у места его прикрепления к вертельной ямке. Рис. Б.
- 12 Межмышечные сумки ягодичных мышц, *b. intermusculares mm. gluteorum*. Две - три сумки, расположенные под сухожилием большой ягодичной мышцы вблизи места ее прикрепления. Рис. Б.
- 13 Седалищная сумка большой ягодичной **мышцы**, *b. ischiadica (sciatica) m. glutei maximi*. Находится между седалищным бугром и нижней поверхностью большой ягодичной **мышцы**. Рис. Б.
- 14 [Подздошно-гребенчатая сумка, *b. Шоре-*

- ctinea*]. Расположена между подздошно-поясничной мышцей и тазовой костью выше тазобедренного сустава, с полостью которого она часто сообщается. Рис. В.
- 15 Подсухожильная подздошная сумка, *b. subtendinea iliaca*. Располагается между сухожилием подздошно-поясничной мышцы и малым вертелом. Рис. В.
- 16 Верхняя сумка двуглавой мышцы бедра, *b. m. bicipitis femoris superior*. Лежит между двуглавой мышцей бедра и полуперепончатой мышцей у места их начала. Рис. Б.
- 17 Подкожная преднадколенниковая сумка, *b. subcutanea prepatellaris*. Расположена спереди коленного сустава. Рис. Г.
- 18 [Подфасциальная преднадколенниковая сумка, *b. subfascialis prepatellaris*]. Лежит между фасцией и сухожилием четырехглавой мышцы бедра. Рис. Г.
- 19 [Подсухожильная преднадколенниковая сумка, *bursa subtendinea prepatellaris*]. Расположена под сухожилием четырехглавой мышцы бедра спереди коленного сустава. Рис. Г.
- 20 Наднадколенниковая сумка, *bursa suprapatellaris*. Находится между сухожилием четырехглавой мышцы и бедренной костью. Почти всегда сообщается с полостью коленного сустава. Рис. Г.
- 21 Подкожная поднадколенниковая сумка, *b. subcutanea infrapatellaris*. Располагается между связкой надколенника и кожей. Рис. Г.
- 22 Глубокая поднадколенниковая сумка, *b. infrapatellaris profunda*. Лежит между связкой надколенника и большеберцовой костью. Рис. Г.
- 23 Подкожная сумка бугристости большеберцовой **кости**, *b. subcutanea tuberositas tibiae*. Рис. Г.
- 24 Подсухожильные сумки портняжной **мышцы**, *b. subtendinea m. sartorii*. Находятся между сухожилием портняжной мышцы с одной стороны, сухожилиями тонкой и полуперепончатой мышц - с другой. Рис. Д.

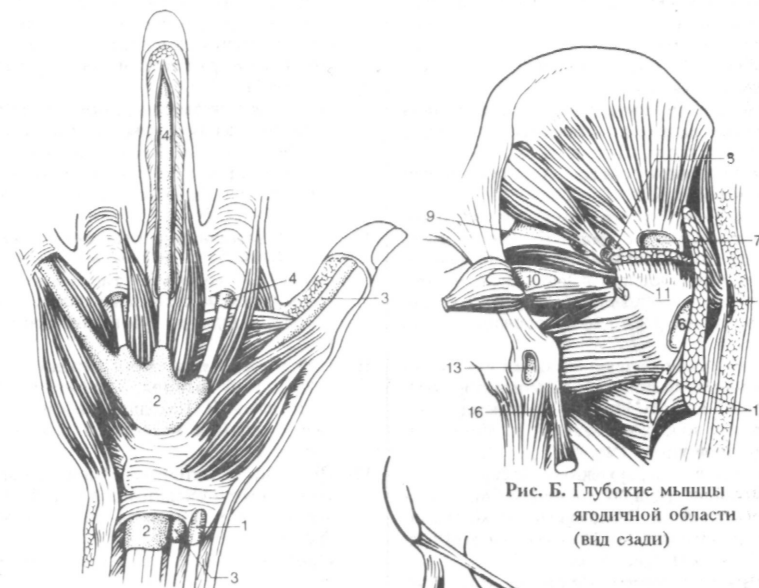


Рис. А. Синовиальные влагалища на ладонной стороне кисти

Рис. Б. Глубокие мышцы ягодичной области (вид сзади)

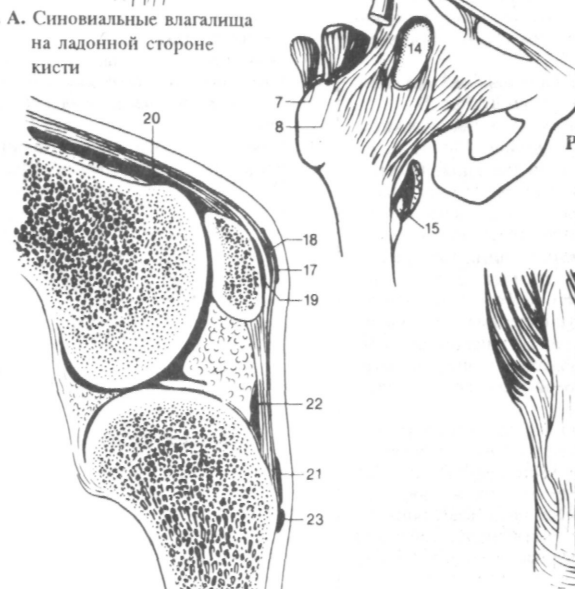


Рис. В. Тазобедренный сустав (вид спереди)

Рис. Г. Сагиттальный распил коленного сустава

Рис. Д. Коленный сустав (вид спереди)

- 1 Сумка гусиной лапки, *b. anserina*. Расположена под сухожилием полусухожильной, тонкой и портяжной мышц на большеберцовой коллатеральной связке. Иногда сообщается с подсухожильной сумкой портяжной мышцы. Рис. А.
- 2 Нижняя подсухожильная сумка двуглавой мышцы бедра, *b. subtendinea m. bicipitis femoris inferior*. Лежит на малоберцовой коллатеральной связке под сухожилием мышцы. Рис. Б.
- 3 Подколенное углубление, *recessus subpopliteus [bursa nu poplitei]*. Расположено между латеральным мышелком бедренной кости и сухожилием подколенной мышцы. Постоянно сообщается с полостью коленного сустава, реже - межберцового сустава. Рис. Б.
- 4 Латеральная подсухожильная сумка икроножной мышцы, *b. subtendinea m. gastrocnemii lateralis*. Определяется между латеральной головкой мышцы и мышелком бедренной кости. Рис. Б.
- 5 Медиальная подсухожильная сумка икроножной мышцы, *b. subtendinea nu gastrocnemii medialis*. Расположена между медиальной головкой мышцы и мышелком бедренной кости. Рис. А, Б.
- 6 Сумка полуперепончатой мышцы, *b. m. semimembranosi*. Находится между сухожилием мышцы и верхним краем большеберцовой кости. Рис. А.
- 7 Подкожная сумка латеральной лодыжки, *b. subcutanea malleoli lateralis*. Рис. В.
- 8 Подкожная сумка медиальной лодыжки, *b. subcutanea malleoli medialis*. Рис. Г.
- 9 Влагалище сухожилия передней большеберцовой мышцы, *vag. tendinis nu tibialis anterioris*. Расположено под удерживателями (сухожилиями) разгибателей. Рис. Г.
- 10 Влагалище сухожилия длинного разгибателя большого пальца стопы, *vag. tendinis m. extensoris hallucis longi*. Расположено под удерживателями сухожилий мышц - разгибателей. Начинается несколько выше уровня лодыжек и продолжается до основания первой плюсневой кости. Рис. В, Г.
- 11 Влагалище сухожилий длинного разгибателя пальцев стопы, *vag. tendinum m. extensoris digitorum pedis longi*. Лежит под нижним удерживателем (сухожилиями) разгибателей. Начинается ниже влагалища сухожилия длинного разгибателя пальцев и продолжается до основания пятой плюсневой кости. Рис. В.
- 12 Влагалище сухожилий длинного сгибателя пальцев стопы, *vag. tendinum m. flexoris digitorum pedis longi*. Находится позади и снизу медиальной лодыжки под удерживателем сухожилий - сгибателей. Рис. Г.
- 13 Влагалище сухожилия задней большебер-

цовон мышцы, *vag. tendinis m. tibialis posterioris*. Начинается в месте пересечения сухожилия *nutibialis posterior* с длинным сгибателем большого пальца стопы и проходит под удерживателем мышц-разгибателей. Рис. Г.

- 14 Влагалище сухожилия длинного сгибателя большого пальца стопы, *vag. tendinis nu flexoris hallucis longi*. Продолжается на подошвенную сторону стопы и проходит под сухожилием длинного сгибателя пальцев стопы. Рис. Г.
- 15 Общее влагалище сухожилий малоберцовых мышц, *vag. tendinum mm. peroneorum (fibularium) communis*. Расположено под удерживателем сухожилий малоберцовых мышц и доходит до кубовидной кости. Рис. В.
- 16 Подсухожильная сумка передней большеберцовой мышцы, *b. subtendinea nu tibialis anterioris*. Находится между сухожилием мышцы и медиальной клиновидной костью. Рис. Г.
- 17 Подкожная пяточная сумка, *b. subcutanea calcanea*. Находится под кожей на уровне задней поверхности пяточной кости. Рис. Г.
- 18 Сумка пяточного [[ахиллова]] сухожилия, *b. tendinis calcanei [[Achilles]]*. Находится между ахилловым сухожилием и пяточной костью. Рис. Г.
- 19 Подошвенное влагалище сухожилия длинной малоберцовой мышцы, *vag. tendinis m. peronei (fibularis) longi plantaris*. Рис. Г.
- 20 Влагалища сухожилий пальцев стопы, *vagg. synoviales tendinum digitorum pedis*. Рис. Г.

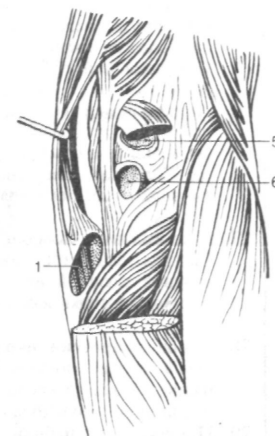


Рис. А. Правый коленный сустав (вид сзади)

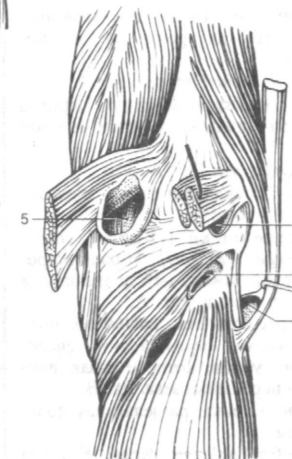


Рис. Б. Правый коленный сустав (вид сзади)

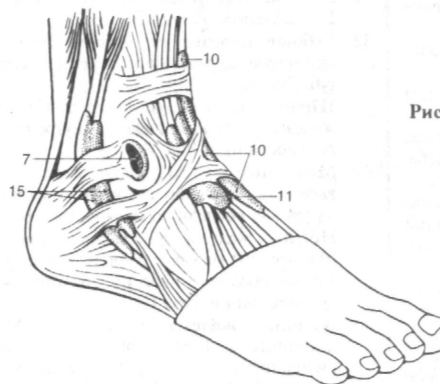


Рис. В. Синовиальные влагалища стопы

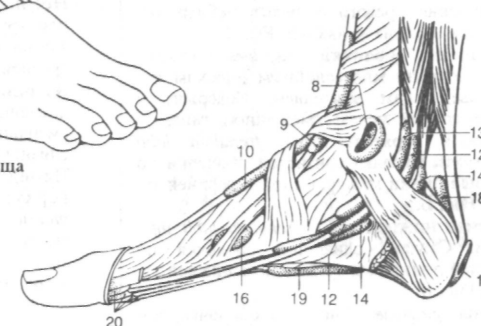


Рис. Г. Синовиальные влагалища стопы

- 1 ПИЩЕВАРИТЕЛЬНЫЙ АППАРАТ (ПИЩЕВАРИТЕЛЬНАЯ СИСТЕМА), *apparatus digestorius, (systema alimentarium)*.
- 2 ПОЛОСТЬ РТА, *cavitas oris*.
- 3 Преддверие рта, *vestibulum oris*. Пространство между зубными рядами, губами и щеками. Рис. Б, В.
- 4 Ротовая щель, *rima oris*. Ограничена губами. Рис. А.
- 5 **Губы**, *labia oris*.
- 6 Верхняя губа, *labium superius*. Рис. А, Б, В.
- 7 *Губной желобок, philtrum*. Борозда между перегородкой носа и верхней губой. Рис. А.
- 8 *Бугорок, tuberculum*. Небольшое возвышение верхней губы на уровне губного желобка. Рис. А.
- 9 Нижняя губа, *labium inferius*. Рис. А, Б, В.
- 10 *Спайка губ, commissura labiorum*. Переход верхней губы в нижнюю по углам ротовой щели. Рис. А, Б.
- 11 Угол рта, *angulus oris*. Рис. А.
- 12 Щека, *bucca*. Латеральная стенка преддверия рта. Рис. А.
- 13 Жировое тело щеки [[Биша]], *corpus adiposum buccae [Bichat]*. Инкапсулированный жировой комок между щечной и жевательной мышцами. Рис. А.
- 14 Собственно полость рта, *cavitas oris propria*. Пространство, ограниченное спереди и с боков зубами, которое кзади продолжается до перешейка зева. Рис. В.
- 15 Небо, *palatum*. Стенка, разделяющая полость рта и носа.
- 16 Твердое небо, *palatum durum*. Костная часть неба. Рис. В, Г.
- 17 Мягкое небо (небная занавеска), *palatum molle (velum palatinum)*. Задняя часть неба. Рис. В, Г.
- 18 Шов неба, *raphe palati*. Возвышение слизистой оболочки, соответствующее линии соединения правого и левого небных отростков верхних челюстей. Рис. Г.
- 19 Слизистая оболочка рта, *tunica mucosa oris*. Покрывает многослойным плоским неороговевающим эпителием. Содержит в своем составе железы смешанного типа.
- 20 Уздечка верхней губы, *frenulum labii superioris*. Складка слизистой оболочки по средней линии между десной и верхней губой. Рис. Б.
- 21 Уздечка нижней губы, *frenulum labii inferioris*. Складка слизистой оболочки по средней линии между десной и нижней губой. Рис. Б.
- 22 Десны, *gingivae*. Слизистая оболочка, покрывающая шейку зуба и плотно срастающаяся с альвеолярным отростком верхней челюсти и альвеолярной частью нижней. Рис. Б, Г.
- 23 Десневой край, *margo gingivalis*. Рис. Б,

- 24 Десневой (межзубной) сосочек, *papilla gingivalis (interdentalis)*. Рис. Б, Г.
- 25 Десневая борозда, *sulcus gingivalis*. Узкая борозда между десневым краем и зубом. Может превращаться в десневой карман различной глубины. См. стр. 113. Рис. А.
- 26 Подъязычный сосочек, *caruncula sublingualis*. Небольшое возвышение слизистой оболочки по обе стороны от уздечки языка. Содержит отверстие большого подъязычного и поднижнечелюстного протоков. Рис. Б.
- 27 Подъязычная складка, *plica sublingualis*. Складка слизистой оболочки над подъязычной слюнной железой. Идет от подъязычного сосочка назад и латерально. Рис. Б.
- 28 Сосочек протока околоушной железы, *papilla ductus parotidei*. Небольшое возвышение слизистой оболочки щеки латеральнее второго верхнего моляра. Рис. Б.
- 29 Поперечные небные складки, *plicae palatinae transversae*. Складки слизистой оболочки, расположенные в переднем отделе твердого неба. Рис. Г.
- 30 Резцовый сосочек, *papilla incisiva*. Небольшое возвышение слизистой оболочки над резцовым отверстием в переднем отделе шва неба. Рис. Г.
- 31 **МАЛЫЕ СЛЮННЫЕ ЖЕЛЕЗЫ, glandulae salivariae minores**.
- 32 Губные железы, *gLL labiales*. Небольшие слизистые железы на внутренней стороне губ. Рис. Б.
- 33 Щечные железы, *gLL buccales*. Слизистые железы, расположенные на внутренней поверхности щек. Рис. Б.
- 34 Молярные железы, *gLL molares*. Железы, выводные протоки которых открываются на уровне последнего моляра. Рис. Б.
- 35 Небные железы, *gLL palatinae*. Две большие группы малых слюнных желез, в слизистой оболочке неба по обе стороны от средней линии. Рис. Г.
- 36 Язычные железы, *gLL linguales*. Многочисленные железы слизистого, серозного и смешанного типов, расположенные под слизистой оболочкой языка. Рис. Б.
- 37 Передняя язычная железа [[железа верхушки языка (Нуна)], *gLL lingualis anterior [gl. apicis linguae Nuhn]*]. Железа смешанного типа. Ее многочисленные протоки открываются на нижней поверхности языка. Рис. Б.

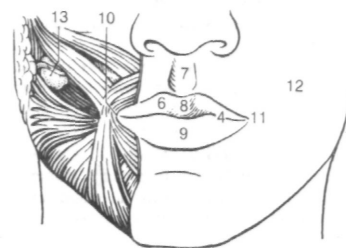


Рис. А. Лицо (вид спереди)

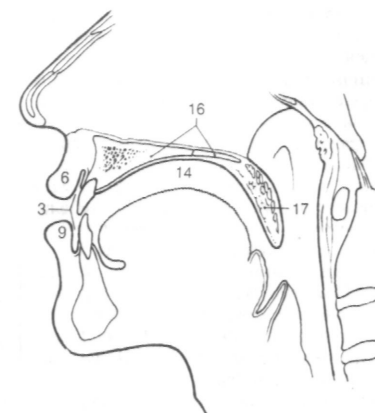


Рис. В. Ротовая полость на сагитальном разрезе головы

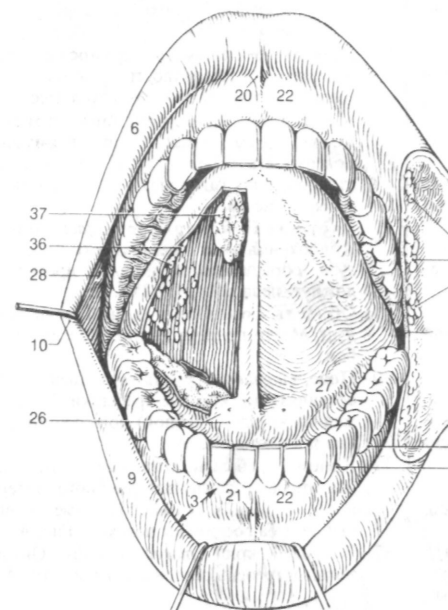


Рис. Б. Нижняя поверхность языка и подъязычная область

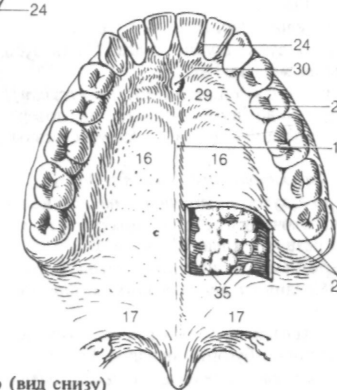


Рис. Г. Небо (вид снизу)

- 1 БОЛЬШИЕ СЛЮННЫЕ ЖЕЛЕЗЫ, *glandulae salivatoriae majores*.
- 2 Подъязычная железа, *glandula sublingualis*. Преимущественно серозного типа. Расположена над челюстно-подъязычной мышцей. Рис. Г.
- 3 Большой подъязычный проток, *ductus sublingualis major*. Главный проток железы, который открывается на одноименном сосочке рядом с поднижнечелюстным протоком. Рис. Г.
- 4 Малые подъязычные протоки, *ductus sublingualis minores*. Примерно 40 небольших протоков железы, открывающихся на подъязычных складке и сосочке. Рис. Г.
- 5 Поднижнечелюстная железа, *glandula submandibularis*. Преимущественно серозного типа. Расположена почти полностью под челюстно-подъязычной мышцей. Рис. Г, Е.
- 6 Поднижнечелюстной проток, *ductus submandibularis*. Окружен железистой тканью, огибает задний край челюстно-подъязычной мышцы и открывается на подъязычном сосочке. Рис. Г.
- 7 Околоушная железа, *glandula parotidea*. Расположена снаружи и сзади ветви нижней челюсти. Рис. Е.
- 8 Поверхностная часть, *pars superficialis*. Дольки железы, расположенные снаружи лицевого нерва. Рис. Е.
- 9 Глубокая часть, *pars profunda*. Дольки железы, расположенные под ветвями лицевого нерва. Рис. Е.
- 10 Добавочная околоушная железа, *glandula parotidea accessoria*. Дольки железистой ткани, расположенные вблизи околоушного протока на жевательной мышце. Рис. Е.
- 11 Околоушной проток, *ductus parotideus*. Огибает передний край жевательной мышцы и открывается вблизи второго верхнего моляра. Рис. Е.
- 12 ЗУБЫ, *denies*. Рис. А, Б, В, Г, Д, Ж.
- 13 Коронка зуба, *corona dentis*. Часть зуба, покрытая эмалью. Рис. Д.
- 14 Острие зуба, *cuspidis dentis* [[*tuberculum*]]. От одного до пяти бугорков на поверхности смыкания зубов (исключая резцы). Рис. Д.
- 15 Верхушка острия, *apex cuspidis*. Рис. Д.
- 16 Бугорок зуба, *tuberculum dentis*. Расположен на язычной (небной) поверхности коронки резцов и клыков. Рис. А.
- 17 Поперечный гребешок, *crista transversalis*. Соединяет два соседних острия. Рис. Б.
- 18 Треугольный гребешок, *crista triangularis*. Соединяет бугорки моляров. Рис. Б.
- 19 Клиническая коронка, *corona clinica*. Часть зуба, выступающая над десной. Рис. В.
- 20 Шейка зуба, *cervix* [[*collum*]] *dentis*. Часть зуба у места перехода эмали в цемент. Рис.

- Д
- 21 Корень зуба, *radix dentis*. Часть зуба, покрытая цементом. Рис. Д.
- 22 Верхушка корня зуба, *apex radialis dentis*. Рис. Д.
- 23 Клинический корень, *radix clinica*. Часть зуба, расположенная ниже десневого края. Рис. В.
- 24 Поверхность смыкания (жевательная), *facies oclusalis (masticatoria)*. Рис. Б, Д.
- 25 Вестибулярная (лицевая) поверхность, [[*facialis*]]. Поверхность коронки, обращенная в сторону преддверия рта. Рис. Г, Ж.
- 25а Щечная поверхность, *facies buccalis*. Поверхность коронки, обращенная к щеке.
- 25б Губная поверхность, *facies tibialis*. Поверхность коронки, обращенная к губам.
- 26 Язычная, небная поверхность, *facies lingualis, palatalis*. Поверхность коронки, обращенная к языку и небу. Рис. А, Ж.
- 27 Аппроксимальная поверхность, *facies approximalis*. Поверхность коронки, обращенная в сторону соседнего зуба. Рис. Ж.
- 28 Мезиальная (медиальная) поверхность, *facies mesialis*. Аппроксимальная поверхность коронки зуба, обращенная в сторону, противоположную последнему моляру. Рис. Ж.
- 29 Дистальная поверхность, *facies distalis*. Аппроксимальная поверхность коронки зуба, обращенная в сторону, противоположную первому резцу. Рис. Ж.
- 29а Область соприкосновения, *area contingens*. Место прямого контакта соседних зубов.
- 30 Пояс, *cingulum*. Гребень возле шейки зуба, соединяющий краевые гребешки. Расположен на язычной (небной) поверхности резцов и клыков. Рис. А.
- 31 Краевой гребешок, *crista marginalis*. Боковые гребни на язычной (небной) поверхности резцов и клыка, которые вблизи шейки зуба соединены пояском. Рис. А.
- 32 Режущий край, *margo incisalis*. Окклюзальный гребень резцов и клыков. Рис. А.

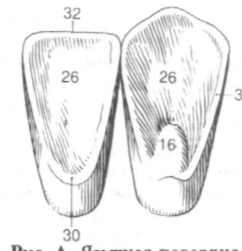


Рис. А. Язычная поверхность резца и клыка

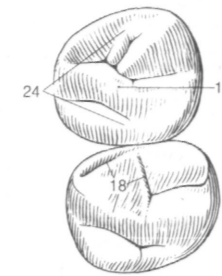


Рис. Б. Первый и второй моляры (поверхность смыкания)

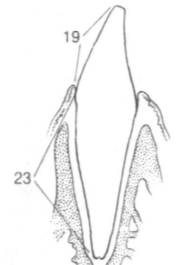


Рис. В. Резец на сагитальном разрезе

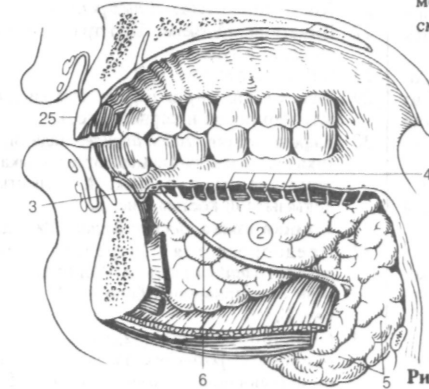


Рис. Г. Ротовая полость на сагитальном разрезе головы

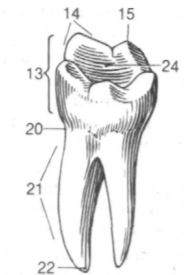


Рис. Д. Первый нижний моляр

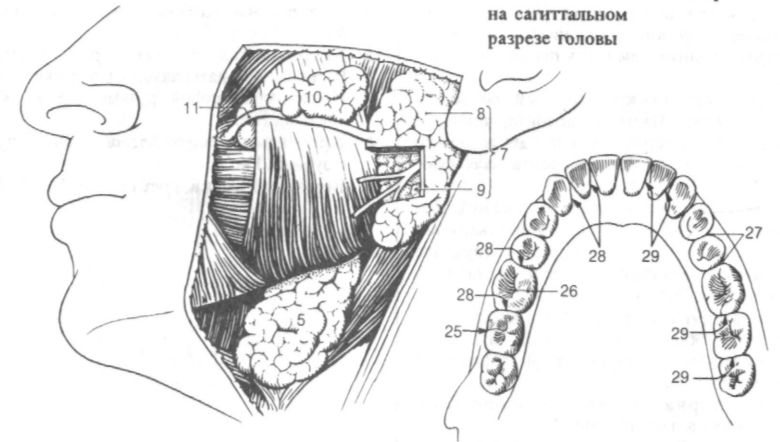


Рис. Е. Слюнные железы

Рис. Ж. Зубы нижней челюсти

- 1 Полость зуба (пульпарная), *cavitas dentis (pulparis)*. Полость в дентине, которая продолжается в корневой канал. Рис. А
- 2 Полость коронки, *cavitas coronae*. Коронковая часть полости зуба. Рис. А.
- 3 Канал корня зуба, *canalis radialis dentis*. Находится между полостью коронки и отверстием верхушки зуба. Рис. А
- 4 Отверстие верхушки зуба, *foramen apicis dentis*. Этим отверстием заканчивается канал корня зуба. Рис. А.
- 5 Пульпа зуба, *pulpa dentis*. Заполняет полость коронки и канал корня зуба. Состоит из рыхлой соединительной ткани, кровеносных сосудов и нервов.
- 6 Пульпа коронки, *pulpa coronalis*.
- 7 Пульпа корня, *pulpa radicularis*.
- 8 Сосочек зуба, *papilla dentis*. Эмбриональная мезенхима, из которой развивается пульпа зуба. Рис. Б.
- 9 Дентин, *dentinum* [[*substantia eburnea*]]. Составляет основную массу зуба. Состоит из неорганических и органических веществ (главным образом коллагеновые волокна). Рис. А, В.
- 10 Эмаль, *enamelum* [[*substantia adamantina*]]. Покрывает коронку и отличается высокой прочностью. Рис. А, В.
- 11 Вколачивание, *gomphosis*. Разновидность фиброзного соединения, при помощи которого зубы фиксируются в альвеолах челюстей (зубоальвеолярное соединение).
- 12 Периодонт, *periodontium*. Ткани, окружающие и фиксирующие зуб внутри альвеолы. Состоит из перечисленных ниже частей. Рис. А.
- 13 Периодонт прикрытый [[десна]], *periodontium protectoris* [[*gingiva*]]. Наружная, покрытая эпителием часть периодонта. Рис. А.
- 14 Периодонт прикрепленный, *periodontium insertiois*. Часть периодонта, прилежащая к зубу. Состоит из эпителия десневого края и десмотонта (периодонтальная связка). Рис. А.
- 15 Десмотонт (периодонтальная связка), *desmodontium*. Состоит из соединительнотканых волокон, сосудов и нервов, следующих от стенки альвеолы и десны к цементу корня зуба. Рис. А.
- 16 Цемент, *semenitum*. Подобное кости вещество, окружающее корень зуба. В нем заканчиваются волокна периодонтальной связки. Рис. А.
- 17 Альвеолярная кость, *os alveolare*. Костная стенка альвеолы. Рис. А.
- 18 Верхняя зубная дуга, *arcus dentalis superior*. Изогнутый ряд зубов верхней челюсти.
- 19 Нижняя зубная дуга, *arcus dentalis inferior*. Изогнутый ряд зубов нижней челюсти.
- 20 Резцы, *dentis incisivi*. Расположены по обе

- стороны от середины зубных дуг. Занимают в их составе первую и вторую позиции. Рис. Г.
- 21 Клыки, *dentis canini*. Занимают третью позицию в составе зубных дуг. Рис. Г.
- 22 Премоляры, малые коренные зубы, *dentis premolares*. Двубуторковые зубы, занимающие четвертую и пятую позицию в составе зубных дуг. Рис. Г.
- 23 Моляры, большие коренные зубы, *dentis molares*. Занимают шестую, седьмую и восьмую позиции в составе зубных дуг. Рис. Г.
- 24 Зуб мудрости [третий моляр], *dens serotinus [molaris tertius]*. Восьмой по счету зуб в составе зубных дуг. Рис. Г.
- 25 Молочные зубы, *dentis decidui*.
- 26 Постоянные зубы, *dentis permanentes*.
- 27 Диастема, *diastema* Пространство между соседними зубами.
- 28 ЯЗЫК, *lingua*. Рис. Г, Д
- 29 Тело языка, *corpus linguae*. Находится между верхушкой и корнем. Рис. Д
- 30 Корень языка, *radix linguae*. Задний, вертикально расположенный отдел языка, который соединен с нижней челюстью и подъязычной костью. Рис. Д
- 31 Спинка языка, *dorsum linguae*. Рис. Д
- 32 Предбороздовая (передняя) часть, *pars presulcalis (anterior)*. Расположена спереди от пограничной борозды. См. стр.115, рис. Б.
- 33 Послебороздовая (задняя) часть, *pars postsulcalis (posterior)*. Расположена сзади от пограничной борозды. См. стр.115, рис. Б.
- 34 Нижняя поверхность языка, *facies inferior linguae*. Рис. Г, Д
- 35 Бахромчатая складка, *plica fimbriata* Расположена латерально от уздечки языка. Представляет собой рудиментарное образование. Рис. Г.
- 36 Край языка, *margo linguae*. Контактует с зубами. Рис. Г
- 37 Верхушка языка, *apex linguae*. Рис. Г, Д

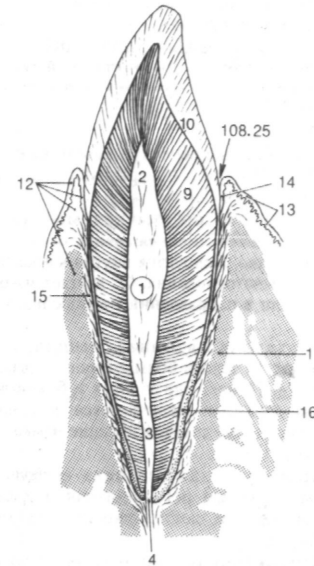


Рис. А. Продольный срез зуба

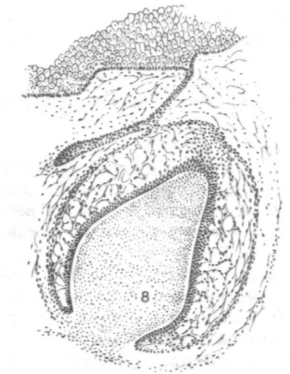


Рис. Б. Эмалевый орган и зубной сосочек

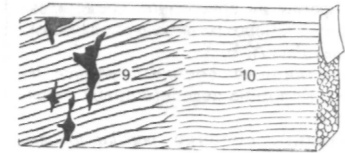


Рис. В. Эмалево-дентиновая граница

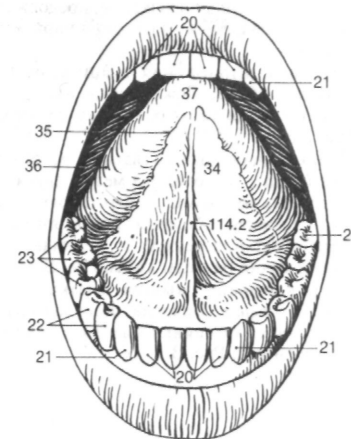


Рис. Г. Нижняя поверхность языка и зубы верхней и нижней челюстей



Рис. Д. Сагиттальный разрез языка



- 1 Слизистая оболочка языка, *tunica mucosa linguae*. Рис. В.
- 2 Уздечка языка, *frenulum linguae*. Складка слизистой оболочки между дном ротовой полости и нижней поверхностью языка. Рис. Г. См. также с. 113, рис. Г.
- 3 Сосочки языка, *papillae linguales*. Термин используется для обозначения пяти типов структур слизистой оболочки языка, перечисленных ниже. Рис. А, Б.
- 4 Нитевидные сосочки, *papillae filiformes*. Тонкие, почти нитевидные эпителиальные возвышения, часто расщепленные на верхушке, основу которых составляет соединительная ткань. Рис. А.
- 5 Конусовидные сосочки, *papillae conicae*. Особый тип нитевидных сосочков, более широких и длинных с конической верхушкой, изогнутой назад. Рис. А.
- 6 Грибовидные сосочки, *papillae fungiformes*. Имеют утолщенную верхушку и их форма соответствует названию. Рис. А, Б.
- 7 Желобовидные сосочки, *papillae vallatae*. В количестве 7-12 расположены кпереди от пограничной борозды. Имеют округлую форму на поперечном срезе, в окружающей их бороздке находятся вкусовые луковицы. Рис. А, Б.
- 8 Чечевицевидные сосочки, *papillae lemniformes*. Короткие подобные грибу сосочки. Рис. А.
- 9 Листовидные сосочки, *papillae foliatae*. Несколько параллельно ориентированных складок слизистой оболочки, содержащих вкусовые луковицы и расположенные вдоль края языка. Рис. Б, Г.
- 10 Срединная борозда языка, *sulcus medianus linguae*. Неглубокая продольная борозда, которая проходит над перегородкой языка. Рис. Б, В.
- 11 Пограничная борозда, *sulcus terminalis* ["/"V" linguae]]. Идет кпереди от слепого отверстия к краям языка. Располагается позади и параллельно ряду желобовидных сосочков. Рис. Б.
- 12 Слепое отверстие языка, *foramen caecum linguae*. Углубление на вершине пограничной борозды. Остаток эмбрионального щитовидно-язычного протока. Рис. Б.
- 13 Щитовидно-язычный проток, *ductus thyroglossalis*. Существует в эмбриогенезе. Представляет собой эпителиальный тяж, закладку щитовидной железы, который от основания языка спускается на шею.
- 14 Язычная миндалина, *tonsilla lingualis*. Участки лимфоидной ткани (язычные фолликулы), неравномерно распределенные в слизистой оболочке корня языка. Рис. Б, Г.
- 15 Язычные фолликулы, *folliculi linguales*. Округлой формы, диаметром 1-5 мм возвышения слизистой оболочки, в толще которых лежит лимфоидная ткань. Каждый фолликул в центре имеет крипты. Рис. А.
- 16 Перегородка языка, *septum lingualis*. Соединительно-тканная пластинка особой архитектоники, расположенная в срединной плоскости. Рис. В.
- 17 Апоневроз языка, *aponeurosis lingualis*. Листок плотной соединительной ткани, отделяющий слизистую оболочку от мышц. Рис. В.
- 18 Мышцы языка, *mm. linguae (linguales)*. Представлены перечисленными ниже мышцами. Все они иннервируются подъязычным нервом (ХП).
- 19 Подборочно-язычная мышца, *myoglossus*. Н: подбородочная ость. П: веерообразно расходуется внутри языка от верхушки до основания. Ф: двигает язык вперед или в направлении подбородка. Рис. В, Г.
- 20 Подъязычно-язычная мышца, *myoglossus*. Н: тело и большой рог подъязычной кости. П: идет снизу вверх к боковым частям языка и заканчивается в слизистой оболочке. Ф: тянет основание языка вниз и назад. Рис. Г.
- 21 Хрящезычная мышца, *myoglossus*. Н: малый рог подъязычной кости. П: там же, где подъязычно-язычная мышца. Рис. Г.
- 22 Шилоязычная мышца, *myoglossus*. Н: шиловидный отросток. П: направляется вперед и вниз к боковым частям языка, где переплетается с волокнами подъязычно-язычной мышцы. Ф: тянет язык назад и вверх. Рис. Г.
- 23 Верхняя продольная мышца, *myoglossus superior*. Располагается непосредственно под слизистой оболочкой и продолжается от верхушки языка до подъязычной кости. Рис. В.
- 24 Нижняя продольная мышца, *myoglossus inferior*. Лежит вдоль нижней поверхности языка от основания до верхушки. Рис. В.
- 25 Поперечная мышца языка, *myoglossus transversus*. Расположена между двумя продольными мышцами. Н: перегородка языка. П: слизистая оболочка краев языка. Ф: уменьшает поперечный и увеличивает переднезадний размеры языка. Рис. В.
- 26 Вертикальная мышца языка, *myoglossus verticalis*. Волокна этой мышцы направляются от спинки языка к его нижней поверхности. Рис. В.

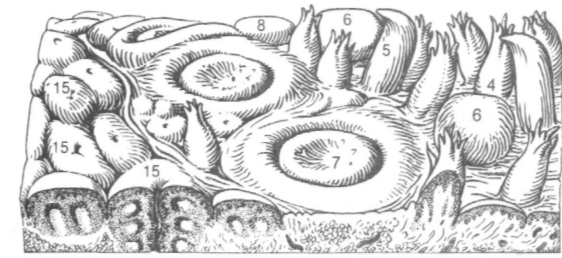


Рис. А. Рельеф слизистой оболочки языка

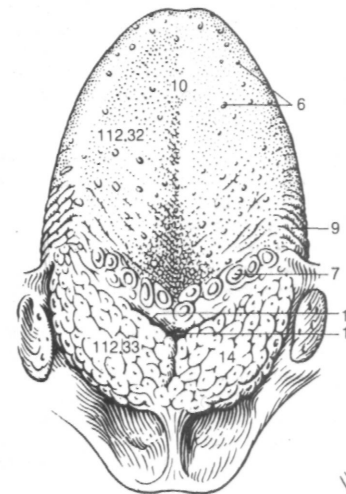


Рис. Б. Спинка языка (вид сверху)

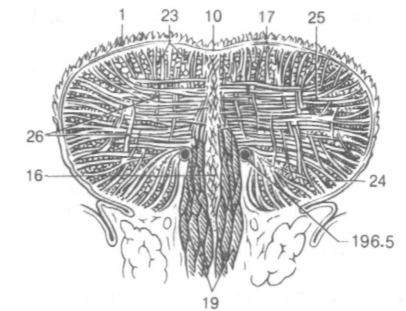


Рис. В. Поперечный срез языка

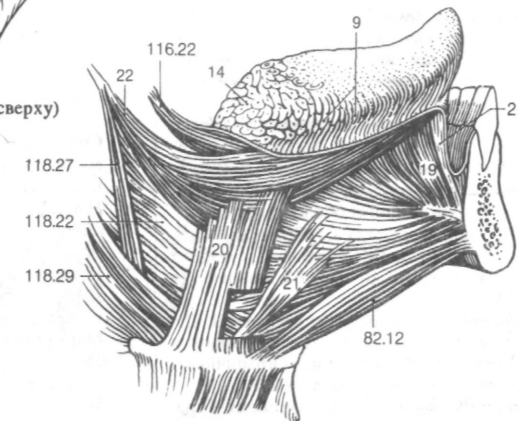


Рис. Г. Мышцы языка

- 1 Глотка, *pharynx*. Трубка длиной 14-16 см, расположенная между основанием черепа и шестым шейным позвонком, где продолжается в пищевод. Проводит воздух и пищу. Рис. Д.
- 2 ЗЕВ, *fauces*. Пространство между мягким небом и корнем языка. Рис. Д.
- 3 Перешеек зева, *isthmus faucium*. Пространство между небо-язычными и небо-глоточными дужками.
- 4 Мягкое небо (небная занавеска), *palatum molle (vellum palatinum)*. Его задняя часть свисает вниз впереди задней стенки глотки. Участвует в глотании, действуя как клапан, закрывающий вход в носовую часть глотки. Рис. А, Г, Д.
- 5 Небный язычок, *uvula palatina*. Небольшой конической формы отросток, свисающий у заднего края мягкого неба. Рис. А, Г, Д.
- 6 Небно-язычная дужка, *arcus palatoglossus*. Складка слизистой оболочки, спереди от миндаликовой ямки, соединяющая мягкое небо с языком. Содержит одноименную мышцу. Рис. А.
- 7 Небно-глоточная дужка, *arcus palatoharyngeus*. Складка слизистой оболочки позади миндаликовой ямки между мягким небом и стенкой глотки. Содержит одноименную мышцу. Рис. А.
- 8 Трубно-небная складка, *plica salpingopalatina (plica palatotubalis)*. Находится спереди трубного валика. Соединяет передний край глоточного отверстия слуховой трубы и мягкое небо. Рис. А.
- 9 Небная миндалина, *tonsilla palatina*. Расположена между небо-язычной и небо-глоточной дужками. Рис. А.
- 10 Миндаликовые ямки, *fossulae tonsillares*. Углубления на криптах, различимые визуально на поверхности миндалин. Рис. Б.
- 11 Миндаликовые кривые, *cryptae tonsillares*. Слепые эпителиальные трубочки, начинающиеся от миндаликовых ямочек. Рис. Б.
- 12 Миндаликовая капсула, *capsula tonsillaris*. Соединительнотканная оболочка органа.
- 13 Треугольная складка, *plica triangularis*. Начинается от небо-глоточной дужки и проходит спереди от небной миндалин. Рис. А.
- 14 Полулунная складка, *plica semilunaris*. Дугообразная складка между небоязычной и небо-глоточной дужками. Ограничивает миндаликовую ямку спереди. Рис. А.
- 15 Миндаликовая ямка, *fossa tonsillaris*. Ограничена небо-язычной и небо-глоточной дужками, а также треугольной и полулунной складками. Содержит небную миндалину. Рис. Г.
- 16 Надминдаликовая ямка, *fossa supratonsillaris*. Верхняя часть миндаликовой ямки, не заполненная небной миндалиной. Рис. А.

- 17 Мышцы неба и зева, *mrrupalati et faucium*.
- 18 Небный апоневроз, *aponeurosis palatina*. Сформирован, главным образом, сухожилием мышцы, натягивающей небную занавеску. Рис. В.
- 19 Мышца, поднимающая небную занавеску, *m. levator veli palatini*. Н: хрящевая часть слуховой трубы, пирамида височной кости спереди от наружного отверстия сонного канала. П: небный апоневроз. Идет в стенке глотки над верхним констриктором. Тянет мягкое небо назад и вверх, а также способствует расширению хрящевой части слуховой трубы. Инн.: блуждающий нерв. Рис. В.
- 20 Мышца, натягивающая небную занавеску, *m. tensor veli palatini*. Н: ость клиновидной кости, ладьевидная ямка и латеральная (передняя) пластинка хрящевой части слуховой трубы. П: перекидывающийся через крыловидный крючок, продолжается в небный апоневроз. Ф: натягивает мягкое небо и латеральную (переднюю) перепончатую стенку слуховой трубы. Инн.: нижнечелюстной нерв. Рис. В.
- 21 Мышца язычка, *m. uvulae*. Н: небный апоневроз. П: слизистая оболочка язычка. Инн.: блуждающий нерв. Рис. В.
- 22 Небно-язычная мышца. Н: поперечная мышца языка. П: небный апоневроз. Ф: поднимает основание языка, опускает мягкое небо и суживает перешеек зева. Инн.: блуждающий нерв. Рис. Г.
- 23 Небно-глоточная мышца, *m. palatopharyngeus [nipharyngopalatinus]*. Н: небный апоневроз, крыловидный крючок и медиальная пластинка крыловидного отростка. П: латеральная стенка глотки и шиловидный хрящ. Ф: опускает небо и суживает перешеек зева. Инн.: блуждающий нерв. Рис. Г.
- 24 ПОЛОСТЬ ГЛОТКИ, *cavitas pharyngis*.
- 25 Свод глотки, *fornix pharyngis*. Крыша полости глотки, расположенная под телом клиновидной кости. Рис. Д.
- 26 Носовая часть глотки, *pars nasalis pharyngis*. Расположена позади хоан. Рис. Д.
- 27 Глоточная (аденоидная) миндалина, *tonsilla pharyngealis (adenoides)*. Расположена у свода глотки. Рис. Д.
- 28 Миндаликовые ямки, *fossulae tonsillares*. Отверстия на криптах, различимые визуально на поверхности миндалин. Рис. Б.
- 29 Миндаликовые кривые, *cryptae tonsillares*. Эпителиальные карманы, являющиеся продолжением миндаликовых ямочек. Рис. Б.

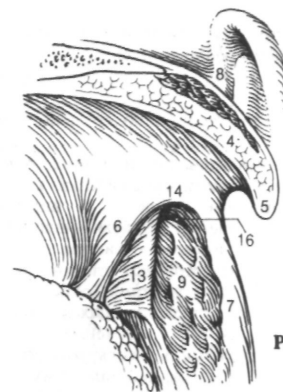


Рис. А. Миндаликовая ямка и мягкое небо

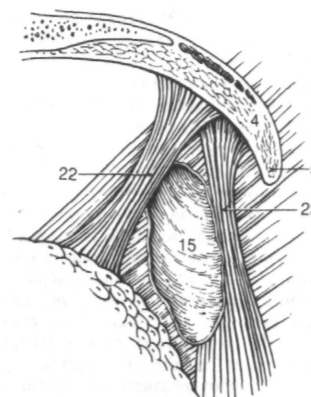


Рис. Г. Мышцы миндаликовой ямки

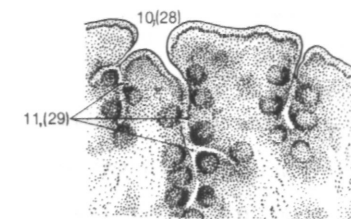


Рис. Б. Микроскопическое строение небной миндалин

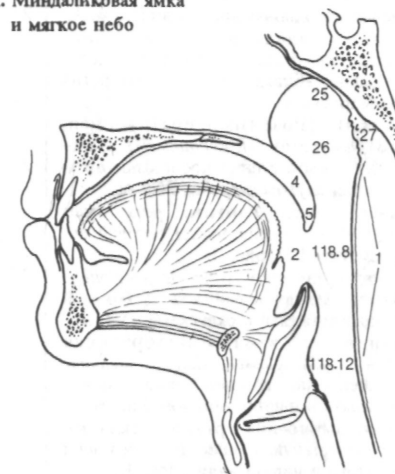


Рис. Д. Глотка на сагитальном разрезе головы

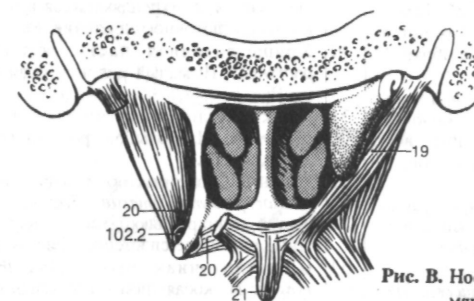


Рис. В. Носовая полость и мышцы мягкого неба (вид сзади)

- 1 [Глоточная сумка, *bursa pharyngealis*]. Слепой карман в области свода глотки. Чаше встречается у детей. Рис. А.
- 2 Глоточное отверстие слуховой трубы, *ostium pharyngeum tubae auditivae (auditoriae)*. Находится в носовой части глотки. Рис. А.
- 3 *Трубный валик, torus tubarius*. Возвышение позади *ostium pharyngeum tubae auditivae*, образованное хрящом слуховой трубы. Рис. А.
- 4 *Трубно-глоточная складка, plica salpingopharyngea*. Соответствует одноименной мышце. От трубного валика идет косо вниз. Рис. А.
- 5 *Валик мышцы, поднимающей мягкое небо, torus levatorius*. Расположен спереди и снизу глоточного отверстия слуховой трубы. Соответствует одноименной мышце. Рис. А.
- 6 Трубная миндалина, *tonsilla tubaria*. Скопление лимфоидной ткани в подслизистой основе вблизи глоточного отверстия слуховой трубы.
- 7 Глоточный [[Розенмюллера]] карман, *recessus pharyngeus [[Rosenmulleri]]*. Находится на боковой стенке носоглотки позади отверстия слуховой трубы. Рис. А.
- 8 Ротовая часть глотки, *pars oralis pharyngis*. Расположена позади ротовой полости. См. стр. 117, рис. Д.
- 9 **Ямка надгортанника, vallecula epiglottica**. Углубление между срединной и боковой язычно-надгортанными складками. Рис. Б
- 10 Срединная язычно-надгортанная складка, *plica glossoepiglottica mediana*. Расположена по средней линии между корнем языка и надгортанником. Рис. Б.
- 11 Боковая язычно-надгортанная складка, *plica glossoepiglottica lateralis*. Соединяет корень языка и надгортанник. Рис. Б.
- 12 Гортанная часть глотки, *pars laryngea pharyngis*. Расположена позади гортани. См. стр. 117, рис. Д.
- 13 Грушевидный карман, *recessus piriformis*. Расположен между черпалонадгортанной складкой и щитоподъязычной мембраной или щитовидным хрящом. Рис. Б.
- 14 Складка гортанного нерва, *plica n. laryngei*. Возвышение слизистой оболочки грушевидного кармана над внутренней ветвью верхнего гортанного нерва и сопровождающей ее артерией. Рис. Б.
- 15 Глоточно-базиллярная фасция, *fascia pharyngobasilaris*. Самая верхняя часть фиброзного слоя глотки, не покрытая мышцами. Рис. В, Г, Д.
- 16 Подслизистая основа, *tela submucosa*. Находится между слизистой и мышечной оболочками глотки. Рис. А
- 17 Слизистая оболочка, *tunica mucosa*. Покрывает многослойным плоским или многорядным цилиндрическим реснитчатым (носовая часть глотки) эпителием.
- 18 Глоточные железы, *gl. pharyngis*. Небольшие слюнные железы смешанного типа.
- 19 Мышечная оболочка глотки, *tunica muscularis pharyngis*. Рис. А.
- 20 Шов глотки, *raphe pharyngis*. Соединительно-натяжной тяж между мышцами глотки, расположенный по средней линии на ее задней поверхности. Рис. В.
- 21 Крылоножнечелюстной шов, *raphe pterygomandibularis*. Сухожильный тяж между крыловидным крючком и нижней челюстью. Отделяет щечную мышцу от верхнего констриктора глотки. Рис. Г.
- 22 Верхний констриктор глотки, *m. constrictor pharyngis superior*. Состоит из четырех частей, прикрепляющихся к шву глотки. Инн.: глоточное сплетение. Рис. В, Г.
- 23 Крылоглоточная часть, *pars pterygopharyngea*. Н: медиальная пластинка крыловидного отростка и крыловидный крючок. Рис. Г.
- 24 Щечно-глоточная часть, *pars buccopharyngea*. Н: крылоножнечелюстной шов. Рис. Г.
- 25 Челюстно-глоточная часть, *pars mylopharyngea*. Н: задний отдел челюстно-подъязычной линии нижней челюсти. Рис. Г.
- 26 Языкоглоточная часть, *pars glossopharyngea*. Н: мышцы языка. Рис. Г.
- 27 Шилоглоточная мышца, *m. stylopharyngeus*. Н: шиловидный отросток. П: стенка глотки между верхним и средним констрикторами, шитовидный хрящ и надгортанник. Инн.: языкоглоточный нерв. Рис. В.
- 28 Трубно-глоточная мышца, *m. salpingopharyngeus*. Н: хрящевая часть слуховой трубы. П: латеральная стенка глотки. Ф: препятствует смещению мышцы, поднимающей небную занавеску кзади. Инн.: глоточное сплетение. Рис. А.
- 29 Средний констриктор глотки, *m. constrictor pharyngis medius*. Состоит из двух частей, прикрепляющихся к шву глотки. Инн.: глоточное сплетение. Рис. В.
- 30 Хрящеглоточная часть, *pars chondropharyngea*. Н: малый рог подъязычной кости. Рис. Г.
- 31 Рожково-глоточная часть, *pars ceratopharyngea*. Н: большой рог подъязычной кости. Рис. Г.
- 32 Нижний констриктор глотки, *m. constrictor pharyngis inferior*. Состоит из двух частей, прикрепляющихся к шву глотки. Инн.: глоточное сплетение. Рис. В, Г.
- 33 Щитоглоточная часть, *pars thyropharyngea*. Н: косая линия щитовидного хряща. Рис. Г.
- 34 Перстне-глоточная часть, *pars cricopharyngea*. Н: перстневидный хрящ. Рис. Г.
- 34а Щечно-глоточная фасция, *fascia buccopharyngeal*. Покрывает глотку снаружи и продолжается на щечную мышцу.

- 35 Окологлоточное пространство, *spatium peripharyngeum*. Клетчаточное пространство вокруг глотки. Состоит из двух частей.
- 36 Заглоточное пространство, *spatium retropharyngeum*. Расположено между стенкой глотки и предпозвоночной пластинкой шейной фасции. Рис. А.
- 37 Боковое окологлоточное пространство, *spatium lateropharyngeum*. Находится по обе стороны глотки.

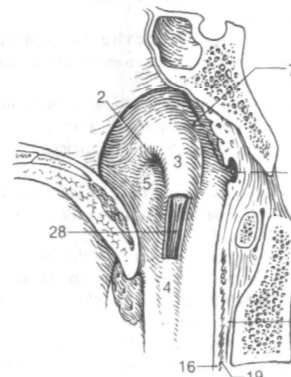


Рис. А. Глоточное отверстие слуховой трубы

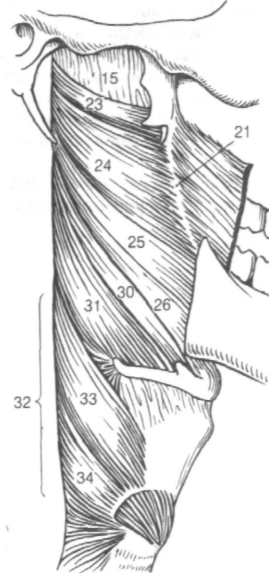


Рис. Г. Мышцы глотки (вид справа)

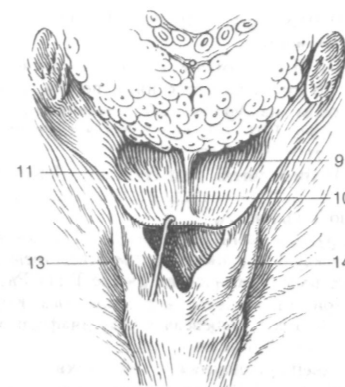


Рис. Б. Основание языка и вход в гортань

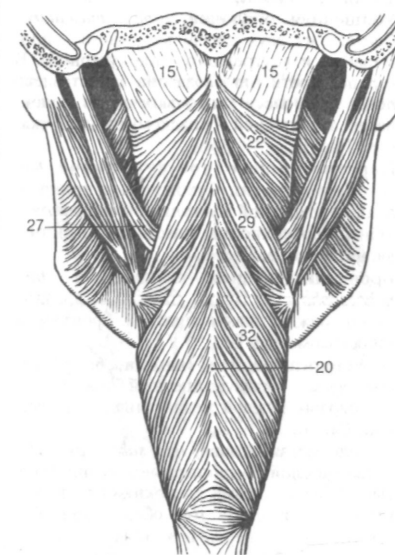


Рис. В. Мышцы глотки (вид сзади)

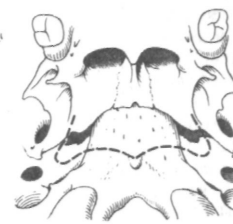


Рис. Д. Место прикрепления глоточно-базиллярной фасции

- 1 [ПИЩЕВАРИТЕЛЬНЫЙ КАНАЛ, *canalis alimentaris*].
- 2 ПИЩЕВОД *oesophagus*. Трубка длиной 23 - 26 см. Начинается ниже перстневидного хряща на уровне С6, заканчивается на уровне Т10 - 11, переходит в кардиальную часть желудка. Рис. А, Б.
- 3 Шейная часть, *pars cervicalis*. Лежит спереди шейного отдела позвоночника (от С6 до Т1). Рис. А.
- 4 Грудная часть, *pars thoracica*. Расположена между Т1 и пищеводным отверстием диафрагмы (примерно на уровне Т11). Рис. А.
- 5 Брюшная часть, *pars abdominalis*. Короткий отдел пищевода между диафрагмой и желудком. Рис. А.
- 6 Адвентициальная оболочка, *tunica adventitia*. Рыхлая соединительнотканная пластинка, связывающая пищевод с окружающими органами. Обеспечивает его подвижность. Рис. В.
- 7 Мышечная оболочка, *tunica muscularis*. Состоит из двух слоев: наружного - продольного и внутреннего - циркулярного. В верхней трети пищевода она представлена поперечнополосатыми мышечными волокнами, а в нижней - гладкомышечной тканью. Рис. В.
- 8 Перстне-пищеводное сухожилие, *tendo cricoesophageus*. Сухожильное прикрепление продольной мускулатуры пищевода к задней поверхности пластинки перстневидного хряща. Рис. Б.
- 9 Бронхопищеводная мышца, *m. Bgo-nchoesophageus*. Пучки гладкой мышечной ткани между левым главным бронхом и пищеводом. Рис. Б.
- 10 Плевропищеводная мышца, *m. pleuroesophageus*. Гладкомышечный тяж между пищеводом и левой медиастинальной плеврой. Рис. Б.
- 11 Подслизистая основа, *tela submucosa*. Подвижный слой соединительной ткани, богатый коллагеновыми волокнами между мышечной и слизистой оболочками. Содержит сосуды, нервы и железы. Рис. В.
- 12 Слизистая оболочка, *tunica mucosa*. Состоит из многослойного плоского неороговевающего эпителия, собственной и мышечной пластинок слизистой оболочки. Рис. В.
- 13 Мышечная пластинка слизистой оболочки, *lamina muscularis mucosae*. Четко очерченный слой гладких мышц на границе с подслизистой основой. Рис. В.
- 14 Железы пищевода, *gI oesophageae*. Слизистого типа железы, рассеянные на всем протяжении подслизистой основы. Рис. В.
- 15 ЖЕЛУДОК, *gaster (ventriculus)*. Расположен между пищеводом и двенадцатиперстной кишкой. Рис. А, Г.
- 16 Передняя стенка, *paries anterior*. Рис. Г.
- 17 Задняя стенка, *paries posterior*.
- 18 Большая кривизна желудка, *curvatura gastrica (ventricularis) major*. Направлена влево и вниз. Рис. Г.
- 19 Малая кривизна желудка, *curvatura gastrica (ventricularis) minor*. Направлена вправо и вверх. Рис. Г.
- 20 Угловая вырезка, *incisura angularis*. Самая нижняя точка малой кривизны желудка. Выявляется рентгенологически. Рис. Г.
- 21 Кардиальная часть, *pars cardiaca*. Часть желудка, прилежащая к одноименному отверстию. Рис. Г.
- 22 Кардиальное отверстие (кардия), *ostium cardiacum (cardia)*. Место входа пищевода в желудок. Рис. Г.
- 23 Дно желудка, *fundus gastricus (ventricularis)*. Находится под диафрагмой. Рис. Г.
- 23а Свод желудка, *forix gastricus (ventricularis)*.
- 24 Кардиальная вырезка, *incisura cardiaca*. Острый угол между пищеводом и стенкой желудка. Рис. Г.
- 25 Тело желудка, *corpus gastricum (ventriculare)*. Расположено между дном желудка и кардиальной частью сверху, привратниковой частью - снизу. Рис. Г.
- 26 Канал желудка, *canalis gastricus (ventricularis)*. Проход вдоль малой кривизны желудка, образованный продольными складками слизистой оболочки. Рис. Г.
- 27 Привратниковая (пилорическая) часть, *pars pibrica*. Расположена между угловой вырезкой и привратником. Рис. Г.
- 28 Привратниковая пещера, *antrum pyloricum*. Начальный отдел привратниковой части, возле угловой вырезки; перистальтической волной может полностью изолироваться от остальной части полости желудка. Рис. Г.
- 29 Канал привратника, *canalis pyloricus*. Конечный отдел пилорической части, длиной 2 - 3 см. Рис. Г.

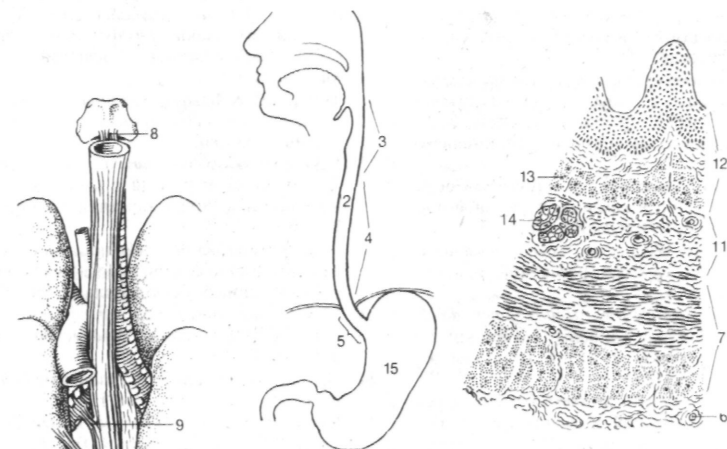


Рис. А. Пищевод и желудок (схема)

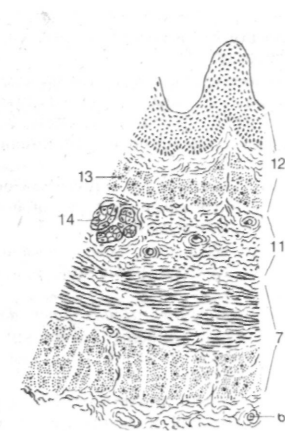


Рис. В. Микроскопическое строение стенки пищевода

Рис. Б. Пищевод (вид сзади)

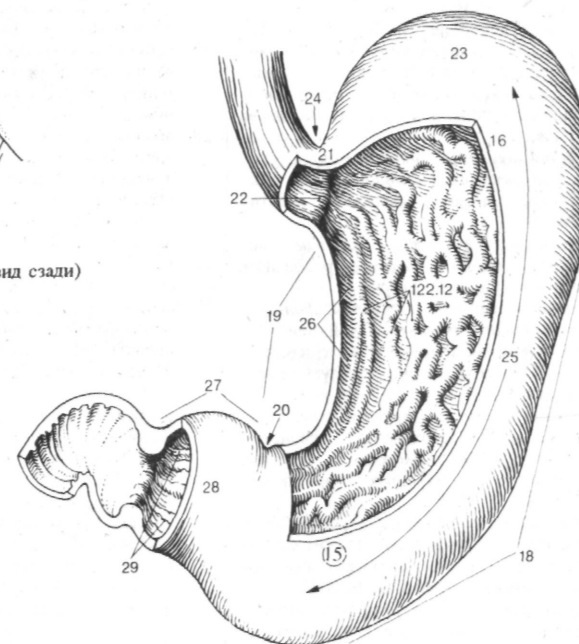


Рис. Г. Желудок (вскрыта его передняя стенка)

- 1 Привратник, *pylorus*. Конечный отдел желудка, имеющий утолщение циркулярной мускулатуры. Рис. А.
- 2 Отверстие привратника, *ostium pyloricum*. Соединяет желудок и двенадцатиперстную кишку. Рис. А.
- 3 Серозная оболочка, *tunica serosa*. Наружная оболочка желудка. Состоит из рыхлой соединительной ткани, покрытой однослойным плоским эпителием (мезотелием). Рис. Б.
- 4 Подсерозная основа, *tela subserosa*. Соединительнотканый компонент серозной оболочки под мезотелием. Рис. Б.
- 5 Мышечная оболочка, *tunica muscularis*. Состоит из волокон различной ориентации. Рис. А, Б.
- 6 Продольный слой, *stratum longitudinalis*. Наружный слой, наиболее выраженный в области большой и малой кривизны желудка. Рис. А, Б.
- 7 Круговой слой, *stratum circulare*. Средний слой мышечной оболочки. Рис. А, Б.
- 8 Сфинктер привратника, *m. sphincter pyloricus*. Утолщение кругового слоя мышц привратника. Рис. А.
- 9 Косые волокна, *fibrae obliquae*. Самый внутренний слой мышц. Рис. А, Б.
- 10 Подслизистая основа, *tela submucosa*. Подвижный слой богатой коллагеновыми волокнами соединительной ткани между мышечной пластинкой слизистой оболочки и мышечной оболочкой. Содержит сосуды и нервы. Рис. Б.
- 11 Слизистая оболочка, *tunica mucosa*. Состоит из однослойного цилиндрического эпителия, собственной и мышечной пластинок. Рис. Б.
- 12 Складки желудка, *plicae gastricae*. Расположены, главным образом, в продольном направлении. См. стр.121, рис. Г
- 13 Мышечная пластинка слизистой оболочки, *lamina muscularis mucosae*. Слой неисчерченных мышц на границе с подслизистой основой. При сокращении образует складки желудка. Рис. Б.
- 14 Желудочные поля, *area gastricae*. Приподнятые над поверхностью слизистой оболочки участки диаметром 1 - 6 мм, ограниченные неглубокими бороздками. Рис. Б.
- 15 Ворсинчатые складки, *plicae villosae*. Невидимые невооруженным глазом эпителиальные гребни между отверстиями выводных протоков желез. Рис. Б, В, Г.
- 16 Желудочные ямочки, *foveolae gastricae*. Отверстия протоков желудочных желез между ворсинчатыми складками. Рис. Б, В, Г.
- 17 Собственные железы желудка, *glandulae gastricae propriae*. Трубоччатые железы в области дна и тела желудка. Состоят из четырех типов клеток. Рис. Б, В.
- 18 Пилорические железы, *glandula pylori-*

*ca*. Слизистые железы, состоящие из двух типов клеток. Рис. Г.

- 19 [[Желудочные лимфатические фолликулы, *folliculi lymphatici gastrici*]]. Небольшие скопления лимфоидной ткани в собственной пластинке слизистой оболочки. Рис. В, Г.
- 20 ТОНКАЯ КИШКА, *intestinum tenue*. Состоит из двенадцатиперстной, тощей и подвздошной кишок.
- 21 Серозная оболочка, *tunica serosa*. Листок брюшины, включающий в свой состав однослойный плоский эпителий (мезотелий). Рис. Е.
- 22 Подсерозная основа, *tela subserosa*. Соединительнотканый слой серозной оболочки, расположенный под мезотелием. Рис. Е.
- 23 Мышечная оболочка, *tunica muscularis*. Состоит из двух слоев, перечисленных ниже. Рис. Е.
- 24 Продольный слой, *stratum longitudinalis*. Расположен снаружи. Рис. Е.
- 25 Круговой слой, *stratum circulare*. Лежит внутри от продольного слоя. Рис. Е.
- 26 Подслизистая основа, *tela submucosa*. Подвижный слой богатой коллагеновыми волокнами соединительной ткани между *lamina muscularis mucosae* и мышечной оболочкой. Содержит сосуды и нервы. Рис. Е.
- 27 Слизистая оболочка, *tunica mucosa*. Состоит из однослойного цилиндрического эпителия, собственной и мышечной пластинок.
- 28 Мышечная пластинка слизистой оболочки, *lamina muscularis mucosae*. Слой неисчерченных мышечных волокон между собственной пластинкой и подслизистой основой. При сокращении образует циркулярные складки. Рис. Е.
- 29 Круговые складки [[Керкринга]], *plicae circulares* [[*Kerckringi*]]. Образованы слизистой оболочкой и подслизистой основой. Имеют высоту до 8 мм. Ориентированы поперечно к оси кишечной трубки и перекрывают примерно 2/3 ее просвета. Рис. Д, Е.
- 30 Кишечные ворсинки, *villi intestinales*. Конической формы возвышения слизистой оболочки, примерно 0,5 - 1,5 мм высотой. Рис. Е.
- 31 Кишечные железы, *gll intestinales*. Имеют вид разветвленных эпителиальных трубочек. Рис. Е.
- 32 Одиночные лимфатические фолликулы, *folliculi lymphatici solitarii*. Находятся в *lamina propria* слизистой оболочки. Рис. Е.
- 33 Групповые лимфатические фолликулы [[Пейера]], *folliculi lymphatici aggregati* [[*Peyer*]]. Скопления нескольких лимфатических фолликулов в стенке подвздошной кишки.

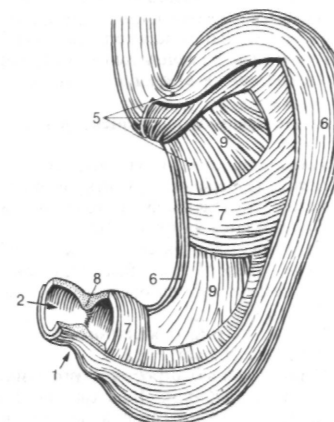


Рис. А. Мышечная оболочка желудка

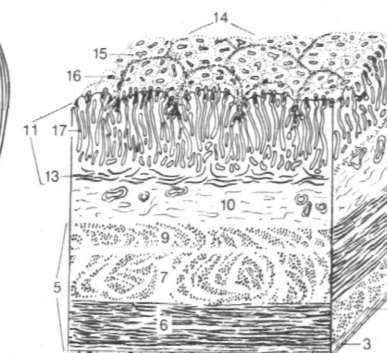


Рис. Б. Микроскопическое строение стенки желудка

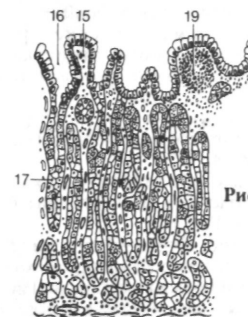


Рис. Г. Микроскопическое строение слизистой оболочки пилорического отдела желудка



Рис. В. Микроскопическое строение слизистой оболочки дна желудка

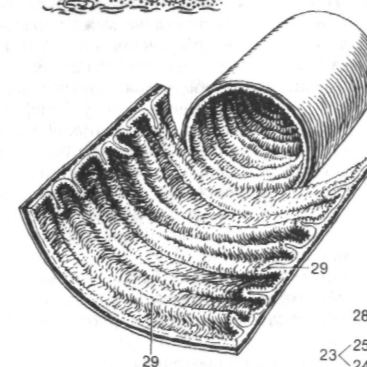


Рис. Д. Рельеф слизистой оболочки тонкой кишки

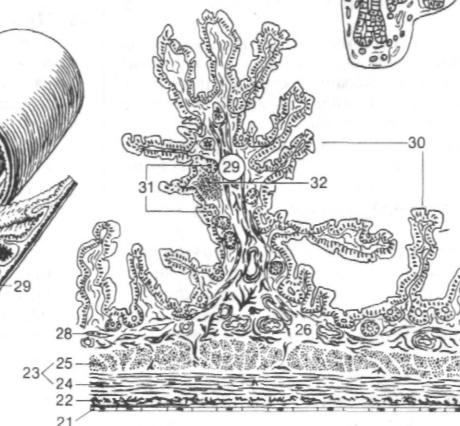


Рис. Е. Микроскопическое строение стенки тонкой кишки



- 1 Двенадцатиперстная кишка, *duodenum*. Начальный отдел тонкой кишки длиной 25 - 30 см между привратником и двенадцатиперстно-тощим изгибом. Рис. А.
- 2 Верхняя часть, *pars superior*. Горизонтально расположенный отдел кишки. Рис. А.
- 3 Ампула [[луковица двенадцатиперстной кишки]], *ampulla [[bulbus duodeni]]*. Функциональное расширение начального отдела двенадцатиперстной кишки, различимо при рентгенографии. Рис. А. (исходящая часть, *pars descendens*. Вертикально лежащий отдел кишки. Рис. А.
- 4 Горизонтальная часть (нижняя), *pars horisontalis (inferior)*. Находится ниже головки поджелудочной железы. Рис. А.
- 5 Восходящая часть, *pars ascendens*. Расположена слева от головки поджелудочной железы и заканчивается двенадцатиперстно-тощим изгибом. Рис. А.
- 6 Верхний изгиб двенадцатиперстной кишки, *flexura duodeni superior*. Расположен между верхней и горизонтальной частями, медиальнее желчного пузыря. Рис. А.
- 7 Нижний изгиб двенадцатиперстной кишки, *flexura duodeni inferior*. Находится между нисходящей и горизонтальной частями кишки. Рис. А.
- 8 Двенадцатиперстно-тощий изгиб, *flexura duodenojejunal*. Рис. А.
- 9 Мышца, подвешивающая двенадцатиперстную кишку, *m. suspensorius duodeni*. Пучок гладких мышечных волокон, фиксирующих двенадцатиперстно-тощий изгиб к диафрагме или чревному стволу. Рис. А.
- 10 Продольная складка двенадцатиперстной кишки, *plica longitudinalis duodeni*. Находится с медиальной стороны задней стенки нисходящей части. Образована *ductus pancreaticus* и общим желчным протоком. Рис. А.
- 11 Большой сосочек двенадцатиперстной кишки, *papilla duodeni major*. Возвышение на конце продольной складки, где открывается проток поджелудочной железы и *ductus choledochus*. Рис. А.
- 12 Малый сосочек двенадцатиперстной кишки, *papilla duodeni minor*. Лежит выше большого сосочка. Содержит отверстие добавочного протока поджелудочной железы. Рис. А.
- 13 Дуоденальные железы [[Брункера]], *glandulae duodenales [[Brunneri]]*. Слизистые железы подслизистой основы кишки.
- 14 Тощая кишка, *jejunum*. Средний отдел тонкой кишки длиной до 2,5 м. Начинается от двенадцатиперстно-тощего изгиба. Рис. А, В.
- 15 Подвздошная кишка, *ileum*. Конечный отдел тонкой кишки длиной до 3,5 м. Рис. В.
- 16 **ТОЛСТАЯ КИШКА, *intestinum crassum***. Начинается слепой кишкой, заканчивается задним проходом, имеет длину 1,5 - 1,8 м. Характеризуется наличием лент, гаустр ободочной кишки и сальниковых отростков.

- 17 Слепая кишка, *caecum*. Начальный отдел толстой кишки длиной около 7 см. Лежит ниже илеоцекального отверстия. Рис. В, Г.
- 18 Илеоцекальный клапан, *valva ileocaecalis (valva ilealis)*. Расположен у места перехода тонкой кишки в толстую и состоит из двух губ. Рис. Г.
- 19а Илеоцекальный сосочек, *papilla ilealis*. Рис. Б.
- 20 Илеоцекальное отверстие, *ostium valvae ilealis*. Поперечно ориентированная щель между подвздошной и толстой кишкой. Определяется на группе. Рис. Г.
- 21 Уздечка илеоцекального клапана, *frenulum valvae ilealis*. Образуется при соединении двух губ илеоцекального клапана. Рис. Б, Г.
- 21а Отверстие илеоцекального сосочка, *ostium papillae ilealis*. Рис. Б.
- 22 Червеобразный отросток (аппендикс), *appendix vermiformis*. Богатый лимфоидной тканью отросток слепой кишки длиной около 9 см. Рис. Б, В, Г.
- 23 Отверстие червеобразного отростка, *ostium appendicis vermiformis*. Рис. Г.
- 24 Групповые лимфатические фолликулы червеобразного отростка *folliculi tympatici aggregati appendicis vermiformis*.
- 25 Ободочная кишка, *colon*. Отдел толстой кишки от илеоцекального клапана до прямой кишки.
- 26 Восходящая ободочная кишка, *colon ascendens*. Идет с правой стороны брюшной полости. Рис. В.
- 27 Правый изгиб ободочной кишки, *flexura coli dextra*. Расположен между восходящей и поперечной ободочной кишкой. Рис. В.
- 28 Поперечная ободочная кишка, *colon transversum*. Расположена между правым и левым изгибами ободочной кишки. Покрывается брюшиной со всех сторон. Рис. В.
- 29 Левый изгиб ободочной кишки, *flexura coli sinistra*. Находится между поперечной и нисходящей ободочной кишкой в левом поддиафрагмальном пространстве вблизи сфинктера Кеннона-Бама - границы между зонами распространения волокон краниального (*n. vagus*) и сакрального отделов парасимпатической части вегетативной нервной системы. Рис. В.
- 30 Нисходящая ободочная кишка, *colon descendens*. Находится между левым изгибом ободочной кишки и *colon sigmoideum*. Рис. В.
- 31 Сигмовидная ободочная кишка, *colon sigmoideum*. Расположена между *colon descendens* и прямой кишкой. Покрывается брюшиной со всех сторон. Рис. В.
- 32 Подульцеобразные складки ободочной кишки, *plicae semilunares coli*. Включают все слои кишечной стенки. Соответствуют местам сужения просвета между гаустрами. Рис. В.

- 33 Гаустры ободочной кишки, *haustra (sacculations) coli*. Мешкообразные расширения между двумя полулунными складками. Рис. В, Г.
- 34 Сальниковые отростки, *appendices epiploicae (omentales)*. Покрываются участками жировой ткани, расположенные на свободной и сальниковой лентях. Рис. В.

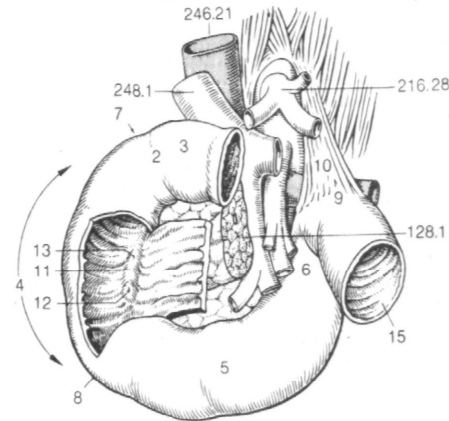


Рис. А. Нижняя полая и воротная вены, аорта и двенадцатиперстная кишка

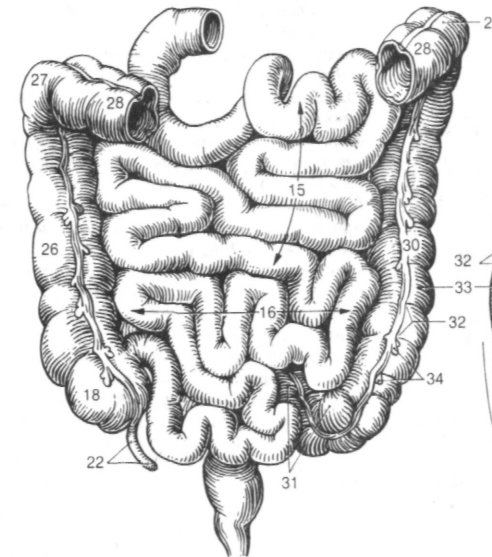


Рис. В. Тонкая и толстая кишка (вид спереди)

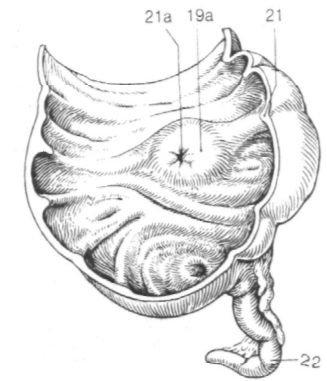


Рис. Б. Слепая кишка у живого человека [91]

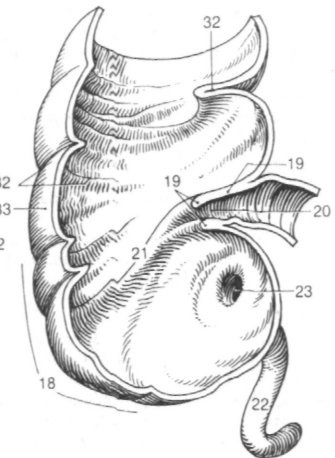


Рис. Г. Слепая кишка с червеобразным отростком у трупа



- 1 Мышечная оболочка, *tunica muscularis*. Состоит из двух слоев. Рис. Б.
- 2 Продольный слой, *stratum longitudinale*. Лежит снаружи кругового мышечного слоя и имеет различную толщину. Рис. Б.
- 3 Ленты ободочной кишки, *taeniae coli*. Утолщения продольного мышечного слоя в виде полосок шириной около 1 см. Рис. Б.
- 4 Брыжеечная лента, *taenia mesocolica*. Расположена у места прикрепления брыжейки ободочной кишки. На восходящей и нисходящей ободочной кишке лежит вдоль их заднемедиальной поверхности. Рис. А.
- 5 Сальниковая лента, *taenia omentalis*. Расположена на поперечной ободочной кишке у места прикрепления большого сальника; на восходящей и нисходящей ободочных - вдоль заднелатеральной поверхности. Рис. А.
- 6 Свободная лента, *taenia libera*. Проходит между брыжеечной и сальниковой лентами. Рис. А.
- 7 Круговой слой, *stratum circulare*. Внутренний слой мышечной оболочки. Рис. Б.
- 8 Подслизистая основа, *tela submucosa*. Подвижный слой богатой коллагеновыми волокнами соединительной ткани между *lamina muscularis mucosae* и мышечной оболочкой. Содержит сосуды и нервы. Рис. Б.
- 9 Слизистая оболочка, *tunica mucosa*. Не имеет ворсинок и состоит из однослойного цилиндрического эпителия, богатого бокаловидными клетками, собственной пластинки и *lamina muscularis mucosae*. Рис. Б.
- 10 Мышечная пластинка слизистой оболочки, *lamina muscularis mucosae*. Слой гладких мышечных волокон между *lamina propria* и подслизистой основой, образующий складки слизистой оболочки, рис. Б.
- 11 Кишечные железы, *glandulae intestinales*. Трубоччатые железы, вырабатывающие секрет слизистого характера. Рис. Б.
- 12 Одиночные лимфатические фолликулы, *folliculi lymphatici solitarii*. Разбросаны в собственной пластинке слизистой оболочки. Рис. Б.
- 13 Прямая кишка, *rectum*. Расположена между сигмовидной ободочной кишкой и задним проходом. Имеет длину около 15 см и характеризуется отсутствием *taeniae coli*. Рис. В.
- 14 Крестцовый изгиб, *flexura sacralis*. Изгиб прямой кишки, соответствующий вогнутости крестца. Рис. В.
- 15 Промежностный изгиб, *flexura perinealis*. Изгиб прямой кишки у заднего прохода, направленный выпуклостью вперед. Рис. В.
- 16 Амбула прямой кишки, *ampulla recti*. Расширенная часть кишки над анальным каналом. Рис. В.
- 17 Мышечная оболочка, *tunica muscularis*. Состоит из двух слоев. Рис. В.
- 18 Продольный слой, *stratum longitudinale*. Рав-

- номерно распределен в стенке по всей окружности кишки. Рис. В.
- 19 Круговой слой, *stratum circulare*. Расположен кнутри от продольного слоя и не участвует в формировании полулунных складок. Рис. В.
- 20 Внутренний сфинктер заднего прохода, т. *sphincter ani internus*. Часть циркулярного мышечного слоя толщиной 1 - 2 см. Рис. В.
- 21 Прямокишечно-копчиковая мышца, *m. rectococcygeus*. Тонкий пучок гладких мышечных волокон между 2-3-м копчиковыми позвонками и прямой кишкой. Рис. В.
- 22 Прямокишечно-уретральная мышца, *m. ectourethralis*. Пучок неисчерченных мышечных волокон между перелончатой частью уретры и прямой кишкой. Рис. В.
- 23 Поперечные складки прямой кишки, *pliae transversales recti*. Самая большая - средняя складка отходит от правой стенки кишки на 6 см выше заднего прохода (складка Кольрауша). Две других начинаются от левой стенки rectum. Рис. В.
- 24 Заднепроходный (анальный) канал, *canalis analis*. Конечный отдел кишки, который начинается от уровня заднепроходных столбов. Рис. Г.
- 25 Заднепроходные (анальные) столбы, *columnnae anales* и продольные складки (6 - 10), содержащие венозное сплетение. Рис. Г.
- 26 Заднепроходные (анальные) пазухи, *sinus anales*. Карманы между анальными столбами. Рис. Г.
- 27 Заднепроходные (анальные) заслонки, *valvulae anales*. Небольшие поперечные складки слизистой оболочки, ограничивающие анальные пазухи снизу. Рис. Г.
- 28 Прямокишечно-заднепроходная линия, *linea anorectalis*. Верхняя граница анального канала. Проходит выше анальных столбов и соответствует месту, где лобково-прямокишечная мышца охватывает заднюю стенку rectum. Рис. Г.
- 29 [[Заднепроходный (анальный) гребень, *pecten analis*]]. Узкая полоска между анальными заслонками и заднепроходно-кожной линией, где подслизистая основа состоит из плотной соединительной ткани и обеспечивает прочную фиксацию слизистой оболочки к мышечному слою. Рис. Г.
- 30 [[Заднепроходно-кожная линия, *linea anocutanea*]]. Проходит на уровне нижнего края *m. sphincter ani internus*. Рис. Г.
- 31 Наружный сфинктер заднего прохода, *m. sphincter ani externus*. Круговой слой поперечнополосатых мышечных волокон кнаружи от внутреннего сфинктера заднего прохода. Рис. В, Г, см. также 174.14-17.
- 32 Задний проход, *anus*. Отверстие анального канала, окруженное подкожной и поверхностной частями наружного сфинктера заднего прохода. Рис. В, Г.

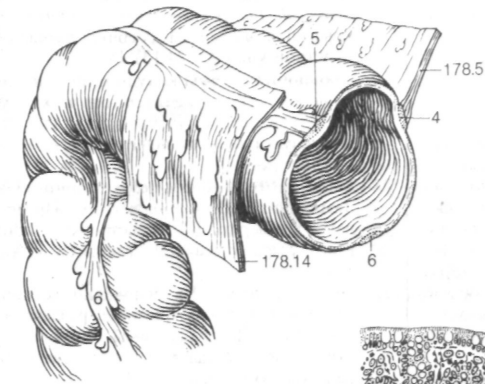


Рис. А. Правый изгиб ободочной кишки

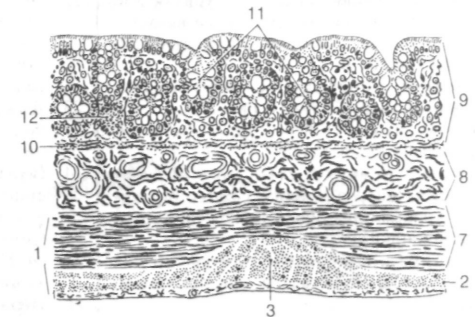


Рис. Б. Микроскопическое строение стенки ободочной кишки

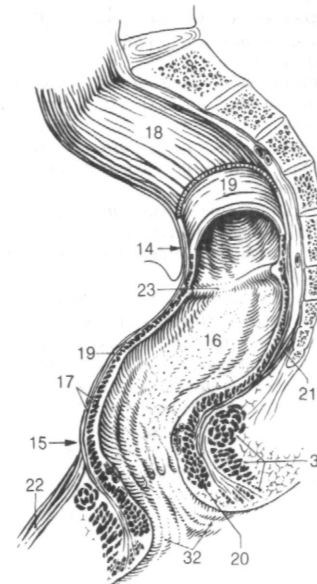


Рис. В. Прямая кишка

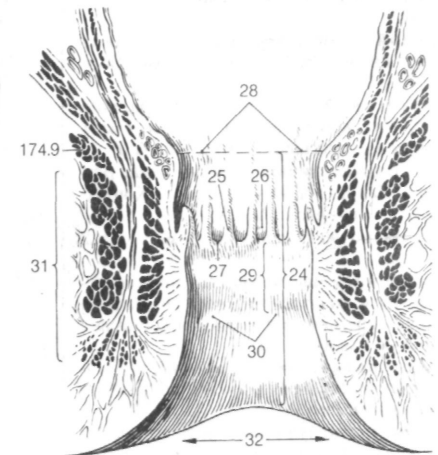


Рис. Г. Задний проход на фронтальном срезе прямой кишки

- 1 ПОДЖЕЛУДОЧНАЯ ЖЕЛЕЗА, *pancreas*. Расположена поперечно на уровне L1 L2. Имеет длину 13 - 15 см и лежит забрюшинно. Рис. А, Б.
- 2 Головка поджелудочной железы, *caput pancreatis*. Расположена в петле двенадцатиперстной кишки. Рис. А.
- 3 Крючковидный отросток, *processus uncinatus*. Часть головки, которая огибает верхние брыжеечные сосуды сзади. Рис. А, Б.
- 4 Вырезка поджелудочной железы, *incisure pancreatis*. Расположена между крючковидным отростком и остальной частью головки поджелудочной железы. Рис. А, Б.
- 5 Тело поджелудочной железы, *corpus pancreatis*. Локализуется преимущественно спереди позвоночного столба. Развивается из дорсальной закладки поджелудочной железы. Рис. А, Б.
- 6 Передняя поверхность, *facies anterior*. Обращена вперед и вверх. Рис. А.
- 7 Задняя поверхность, *facies posterior*. Направлена назад. Рис. Б.
- 8 Нижняя поверхность, *facies inferior*. Обращена вперед и вниз. Сверху ограничена корнем брыжейки поперечной ободочной кишки. Рис. А.
- 9 Верхний край, *margo superior*. Лежит между передней и задней поверхностями. Рис. А, Б.
- 10 Передний край, *margo anterior*. Соответствует линии прикрепления брыжейки поперечной ободочной кишки (178.5). Является нижней границей сальниковой сумки на задней стенке брюшной полости. Рис. А.
- 11 Нижний край, *margo inferior*. Находится между нижней и задней поверхностями. Рис. А.
- 12 Сальниковый бугор, *tuber omentale*. Часть тела железы вблизи головки, выступающая в сальниковую сумку. Рис. А, Б.
- 13 Хвост поджелудочной железы, *cauda pancreatis*. Направлен вверх и влево. Контактует с селезенкой. Рис. А, Б.
- 14 Капсула поджелудочной железы, *capsula pancreatis*.
- 15 Экзокринная часть поджелудочной железы, *pars exocrina pancreatis*. Выполняет внешнесекреторную функцию и составляет основную массу железы.
- 16 Дольки поджелудочной железы, *lobulus pancreaticus*. Макроскопически различные образования. Рис. А.
- 17 Проток поджелудочной железы, *ductus pancreaticus*. Главный экскреторный проток железы, открывается отверстием на большом сосочке двенадцатиперстной кишки вместе с общим желчным протоком. Рис. Б.
- 18 Сфинктер протока поджелудочной железы, *m. sphincter ductus pancreatici*. Циркулярная мышца, расположенная перед

отверстием протока. См. с. 135, рис. А.

- 19 Добавочный проток поджелудочной железы, *ductus pancreaticus accessorius*. Открывается на малом сосочке двенадцатиперстной кишки (124.13). Рис. Б.
- 20 Добавочная поджелудочная железа, (*pancreas accessorium*). Эктопические участки ткани поджелудочной железы в стенке желудка или двенадцатиперстной кишки.
- 21 Эндокринная часть поджелудочной железы, *pars endocrina pancreatis*. Представлена, примерно 1 млн. островков Лангерганса, вырабатывающих глюкагон и инсулин.
- 22 ПЕЧЕНЬ, *hepar*. На основании ветвления сосудов и желчных протоков разделена на сегменты. Международный номенклатурный комитет предлагает использовать классификацию *Hjortsjo*. Рис. В.
- 23 Диафрагмальная поверхность, *facies diaphragmatica*. Поверхность органа, обращенная к диафрагме. Рис. В.
- 24 Верхняя часть, *pars superior*. Входит в состав диафрагмальной поверхности печени и направлена краниально. Рис. В.
- 25 Сердечное вдавление, *impressio cardiaca*. Небольшое углубление слева и спереди от нижней полой вены. Рис. В.
- 26 Передняя часть, *pars anterior*. Фрагмент диафрагмальной поверхности, обращенный вперед. Рис. В.
- 27 Правая часть, *pars dextra*. Участок диафрагмальной поверхности, обращенный вправо. Рис. В.
- 28 Задняя часть, *pars posterior*. Фрагмент диафрагмальной поверхности, обращенный назад. Рис. В.
- 29 Внебрюшинное поле, *area nuda* [*pars affixa*]. Непокрытый брюшиной участок диафрагмальной поверхности печени. Рис. В.
- 30 Борозда полой вены, *sulcus venae cavae*. Содержит нижнюю полую вену. Рис. В.
- 31 Щель венозной связки, *fissura lig. venosi*. Направляется от ворот печени к борозде нижней полой вены между хвостатой и левой долями печени. Рис. В.

///?? . hoj- -f-Jci-fotiMe

130Л6 - teb^S Caudate

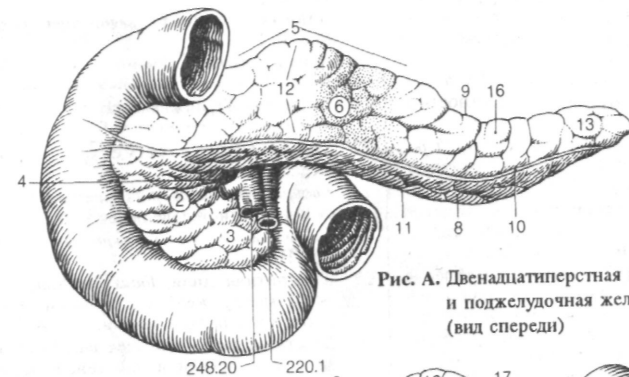


Рис. А. Двенадцатиперстная кишка и поджелудочная железа (вид спереди)



Рис. Б. Поджелудочная железа с отпрепарированным протоком и частично вскрытая двенадцатиперстная кишка (вид сзади)

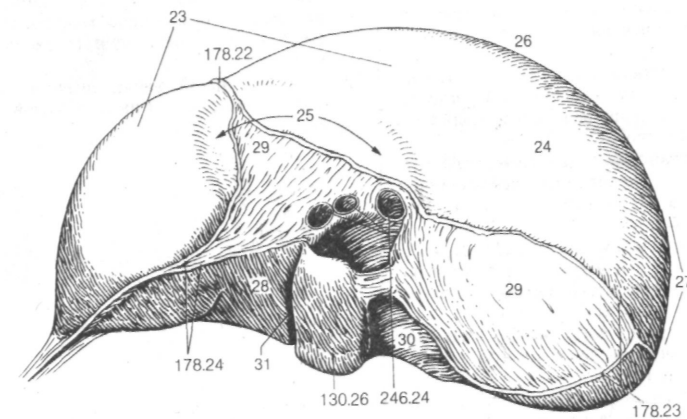


Рис. В. Печень (вид сверху)

- 1 Висцеральная поверхность, *facies visceralis*. Задненижняя вогнутая поверхность печени, обращенная к внутренним органам.
- 2 Ямка желчного пузыря, *fossa vesicae biliaris*. Расположена на висцеральной поверхности печени. Рис. А.
- 3 Щель круглой связки, *fissura lig. teretis*. Находится на висцеральной поверхности и содержит одноименную связку. Рис. А.
- 4 Круглая связка печени, *lig. teres hepatis*. Соединительнотканый тяж, замещающий пупочную вену. Рис. Б.
- 5 Венозная связка (аранциева) *lig. venosum* [*Arantii*]. Соединительнотканый тяж, замещающий венозный проток. Рис. Б.
- 6 Ворота печени, *porta hepatis*. Углубление между хвостатой и квадратной долями печени, в котором проходят собственная печеночная артерия, воротная вена и общий печеночный проток. Рис. А, Б.
- 7 Сальниковый бугор, *tuber omentale*. Округлое возвышение на висцеральной поверхности левой доли печени слева от венозной связки. Рис. А, Б.
- 8 Пищеводное вдавление, *impressio oesophagea*. Углубление на левой доле, соответствующее пищеводу. Рис. А.
- 9 Желудочное вдавление, *impressio gastrica*. Находится на висцеральной поверхности левой доли. Рис. А.
- 10 Двенадцатиперстно-кишечное (дуоденальное) вдавление, *impressio duodenalis*. Расположено на висцеральной поверхности печени справа от шейки желчного пузыря. Рис. А, Б.
- 11 Ободочно-кишечное вдавление, *impressio colica*. Расположено на висцеральной поверхности печени справа от желчного пузыря. Рис. А.
- 12 Почечное вдавление, *impressio renalis*. Расположено на висцеральной поверхности правой доли печени. Продолжается на внебрюшинное поле. Рис. А.
- 13 Надпочечниковое вдавление, *impressio suprarenalis*. Находится на внебрюшинном поле справа от нижней полой вены. Рис. А.
- 14 [Фиброзный отросток печени, *appendix fibrosa hepatis*]. Непостоянно присутствующий соединительнотканый тяж у края левой доли печени. Рис. А.
- 15 Нижний край, *margo inferior*. Разделяет диафрагмальную и висцеральную поверхности печени. Рис. А.
- 16 Вырезка круглой связки, *incisura lig. teretis*. Находится на нижнем крае печени. Рис. А, Б.
- 17 Доли печени, *lobi hepatis*. Макроскопически выделяют четыре доли, перечисленные ниже.
- 18 Правая доля печени, *lobus hepatis dexter*. Отделяется от левой доли линией, соединяющей нижнюю полую вену и дно желч-

- ного пузыря. Рис. А, Б, В.
- 19 Передний сегмент, *segmentum anterius*. Рис. В, Г.
- 20 Задний сегмент, *segmentum posterius*. Рис. В, Г.
- 21 Левая доля печени, *lobus hepatis sinister*. Ей правой границей является линия, соединяющая нижнюю полую вену и дно желчного пузыря. Рис. А, Б, В.
- 22 Медиальный сегмент, *segmentum mediate*. Рис. В, Г.
- 23 Квадратная часть, *pars quadrata*. Относится к квадратной доле печени. Рис. Г.
- 24 Боковой сегмент, *segmentum laterale*. Рис. В, Г.
- 25 Квадратная доля, *lobus quadratus*. Находится между желчным пузырем, круглой связкой и воротами печени. Рис. А, Б.
- 26 Хвостатая доля, *lobus caudatus*. Расположена между нижней полой веной, воротами печени и венозной связкой. Рис. А, Б.
- 27 Сосочковый отросток, *processus papillaris*. Часть хвостатой доли, выступающая вниз. Рис. А, Б.
- 28 Хвостатый отросток, *processus caudatus*. Паренхиматозный перешеек между хвостатой и правой долями печени краниальнее ворот печени. Рис. А, Б.
- 29 Серозная оболочка, *tunica serosa*. Брюшина, покрывающая печень. Состоит из однослойного плоского эпителия (мезотелия).
- 30 Подсерозная основа, *tela subserosa*. Соединительнотканый слой под серозной оболочкой.
- 31 Фиброзная оболочка, *tunica fibrosa*. Плотнo срастающаяся с паренхимой органа соединительнотканная капсула. Особенно хорошо развита в области внебрюшинного поля.
- 32 [[Связка полой вены, *lig. venae cavae*]]. Фиброзный тяж над нижней полой веной. Рис. А.

ItfJ/ I/, ca I?CL,4  
/ir,22. f/cj. /Afeffort

i^ ^.i 1/4 9"CCL fet(M

Рис. А. Печень (вид сзади и снизу)

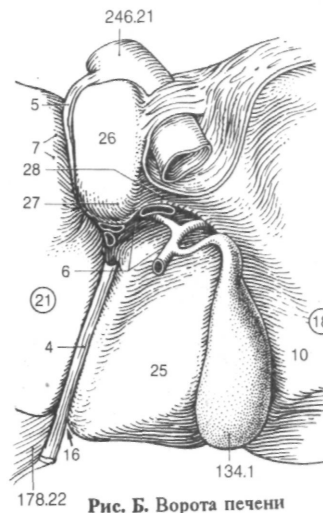
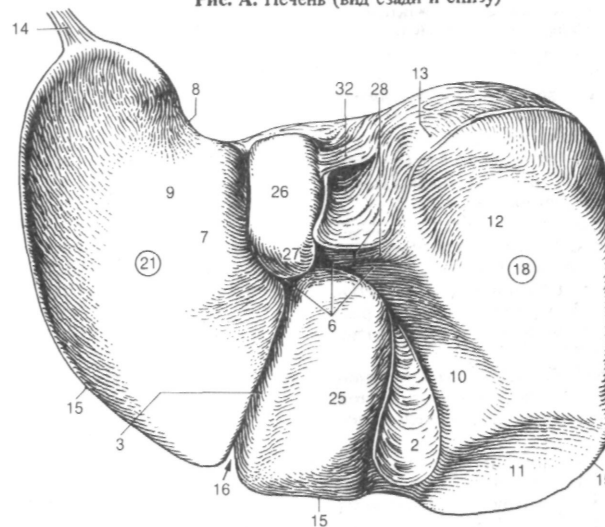


Рис. Б. Ворота печени

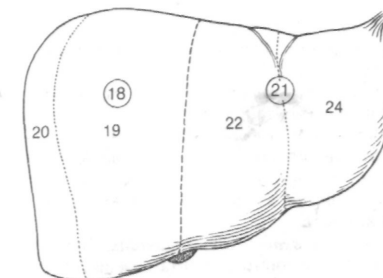


Рис. В. Сегменты печени (проекция на диафрагмальную поверхность) [31,53]

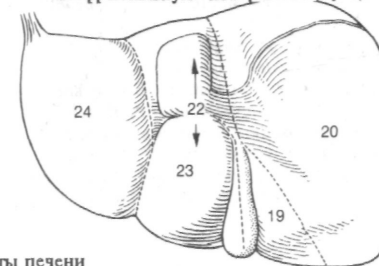


Рис. Г. Сегменты печени (проекция на висцеральную поверхность) [31,53]

- 1 Дольки печени, *lobuli hepatis*. Имеют 1 - 2 мм в диаметре. Рис. А.
- 2 Околососудистая фиброзная капсула, *capsula fibrosa perivascularis*. Соединительная ткань, сопровождающая печеночные сосуды и желчные протоки до их конечных ветвей. Рис. А.
- 3 Междольковые артерии, *aa. interlobulares*. Ветви собственной печеночной артерии между дольками печени. Рис. А.
- 4 Междольковые вены, *v. interlobidares*. Ветви воротной вены, расположенные между дольками печени. Рис. А.
- 5 Центральные вены, *v. centrales*. Выносящие кровь сосуды, расположенные в центре печеночной дольки. Рис. А.
- 6 Междольковые проточки, *ductuli interlobulares*. Содержащие желчь каналцы, расположенные между дольками печени. Рис. А.
- 7 Желчные проточки, *ductuli biliferi*. Расположены между рядами печеночных клеток и являются начальным звеном желчевыводящих путей.
- 8 Общий желчный проток, *ductus hepaticus communis*. Формируется из правого и левого печеночных протоков и продолжается до места соединения с *ductus cysticus*. Рис. Б.
- 9 Правый печеночный проток, *ductus hepaticus dexter*. Отходит от правой доли печени. Рис. Б.
- 10 *Передняя ветвь, ramus anterior*. Отходит от переднего сегмента печени. Рис.Б.
- 11 *Задняя ветвь, ramus posterior*. Берет начало от заднего сегмента печени. Рис. Б.
- 12 Левый печеночный проток, *ductus hepaticus sinister*. Начинается от левой доли печени. Рис. Б.
- 13 *Латеральная ветвь, ramus lateralis*. Отходит от одноименного сегмента печени. Рис. Б.
- 14 *Медиальная ветвь, ramus medialis*. Берет начало от одноименного сегмента печени. Рис.Б.
- 15 Правый проток хвостатой доли, *ductus lobii caudati dexter*. Начинается от правой половины хвостатой доли и обычно впадает в правый печеночный проток. Рис. Б.
- 16 Левый проток хвостатой доли, *ductus lobii caudati sinister*. Начинается от левой половины хвостатой доли и обычно присоединяется к левому печеночному протоку. Рис.

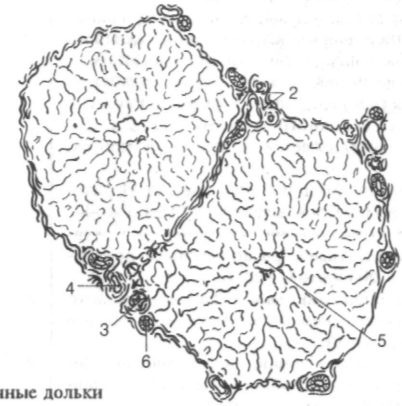


Рис. А. Две печеночные дольки

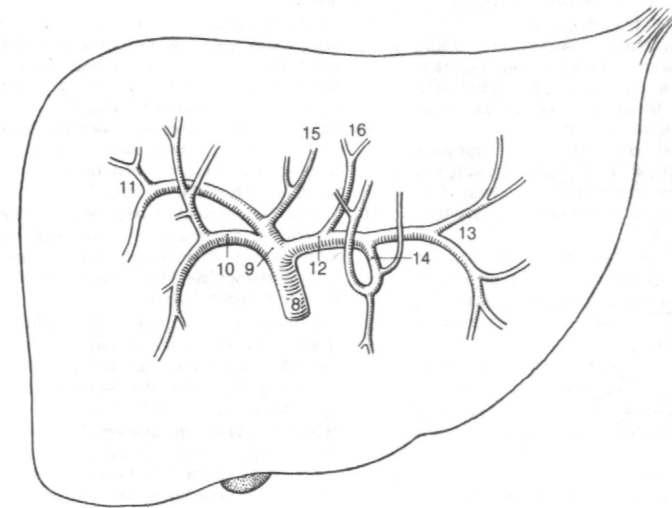


Рис. Б. Ветви печеночного протока (вид спереди) [31, 51]

- 1 ЖЕЛЧНЫЙ ПУЗЫРЬ, *vesica biliaris (fellea)*. Грушевидной формы образование, длиной 8 - 12 см. Рис. А.
- 2 Дно желчного пузыря, *fundus ves. biliaris*. Округлой формы слепой конец желчного пузыря, направленный каудально. Рис. А.
- 3 Тело желчного пузыря, *corpus ves. biliaris*. Находится между дном и шейкой. Рис. А.
- 4 Шейка желчного пузыря, *collum ves. biliaris*. Продолжается в пузырный проток. Рис. А.
- 5 Серозная оболочка, *tunica serosa*. Перитонеальный покров желчного пузыря. Рис. Б.
- 6 Подсерозная основа, *tela subserosa*. Соединительная ткань, расположенная под серозной оболочкой. Рис. Б.
- 7 Мышечная оболочка, *tunica muscularis*. Образована неисчерченными мышечными волокнами. Рис. Б.
- 8 Слизистая оболочка, *tunica mucosa*. Стоит из однослойного высокого цилиндрического эпителия. Рис. Б.
- 9 Складки слизистой оболочки, *plicae mucosae*. Выступают в просвет пузыря, в результате чего его поверхность приобретает ячеистый вид. Рис. А, Б.
- 10 Пузырный проток, *ductus cysticus*. Выводной проток желчного пузыря, который соединяется с общим печеночным протоком и образует общий желчный проток. Рис. А.
- 11 Спиральная складка, *plica spiralis*. Находится в шейке желчного пузыря и пузырном протоке. Рис. А.
- 12 Общий желчный проток, *ductus choledochus (biliaris)*. Образуется из общего печеночного и пузырного протоков. Открывается на большом сосочке двенадцатиперстной кишки. Рис. А.
- 13 Сфинктер общего желчного протока, *musculus sphincter ductus choledochi*. Утолщение крутового слоя мышечной оболочки. Расположен перед печеночно-поджелудочной ампулой. Рис. А.
- 14 Печеночно-поджелудочная ампула, *ampulla hepatopancreatica*. Расширение в стенке двенадцатиперстной кишки после соединения общего желчного протока и *ductus pancreaticus*. Рис. А.
- 15 Сфинктер печеночно-поджелудочной ампулы (сфинктер ампулы), *m. sphincter ampullae hepatopancreaticae (m. sphincter ampullae)*. Утолщение циркулярного слоя мышечной оболочки вокруг ампулы (сфинктер Одни). Рис. А.
- 16 Железы желчных протоков, *gll. mucosae biliares*. Имеют трубчато-альвеолярное строение и расположены в слизистой оболочке. Рис. А.
- 17 ДЫХАТЕЛЬНЫЙ АППАРАТ (ДЫХАТЕЛЬНАЯ СИСТЕМА), *apparatus respiratorius (systema respiratorium)*.

- 18 НАРУЖНЫЙ НОС, *nasus externus*. Рис. Д
- 19 Корень носа, *radix nasi (nasalis)*. Расположен в верхней части лица, между глазами. Рис. Г, Д
- 20 Спинка носа, *dorsum nasi*. Рис. Д
- 21 Верхушка носа, *apex nasi*. Рис. Д
- 22 Крылья носа, *aide nasi*. Нижними краями ограничивают ноздри. Рис. Д
- 23 Хрящи носа, *cartilagine nasae (nasalis)*. Формируют хрящевой скелет носа. Рис. В.
- 24 [Латеральный хрящ носа, *cartilago nasi lateralis*]. Долгое время рассматривался как часть перегородки носа, а не как две самостоятельные хрящевые пластинки, каждая из которых частично срастается с *cartilago septi nasi*. Рис. В.
- 25 Большой хрящ крыла, *cartilago alaris major*. Имеет форму крючка. Окружает ноздри и формирует верхушку носа. Рис. В.
- 26 Медиальная ножка, *crus mediate*. Образует переднюю часть хрящевой перегородки носа. Рис. В, Г.
- 27 Латеральная ножка, *crus laterale*. Окружает ноздрю с латеральной стороны. Рис. В.
- 28 Малые хрящи крыльев, *cartilagine alares minores*. Обособленные хрящевые пластинки небольших размеров, дополняющие большой хрящ носа. Рис. В.
- 29 Добавочные носовые хрящи, *cartilagine nasales accessoriae*. Расположены между хрящом перегородки носа и большим хрящом крыла. Встречаются непостоянно.
- 30 Хрящ перегородки носа, *cartilago septi nasi*. Стмостоятельная широкая хрящевая пластинка в составе перегородки носа между перпендикулярной пластинкой решетчатой кости и сошником. Рис. Г.
- 30a Латеральный отросток, *processus lateralis*. Отходит от заднелатерального края хряща перегородки носа и срастается с латеральным хрящом носа. Рис. Г.
- 31 Задний (клиновидный) отросток, *processus posterior (sphenoidalis)*. Расположен между сошником и перпендикулярной пластинкой *os sphenoidale*. Иногда доходит до клиновидной кости. Рис. Г.
- 32 Сошниково-носовой [[Якобсона]] хрящ, *cartilago vomeronasalis. [[Jacobson]]*. Узкая хрящевая полоска, которая находится между нижним фрагментом *cartilago septi nasi* и сошником. Рис. Г.
- 33 [[Подвижная часть перегородки носа, *pars mobilis septi nasi*]]. Передняя часть перегородки носа, образованная медиальной ножкой большого хряща крыла.

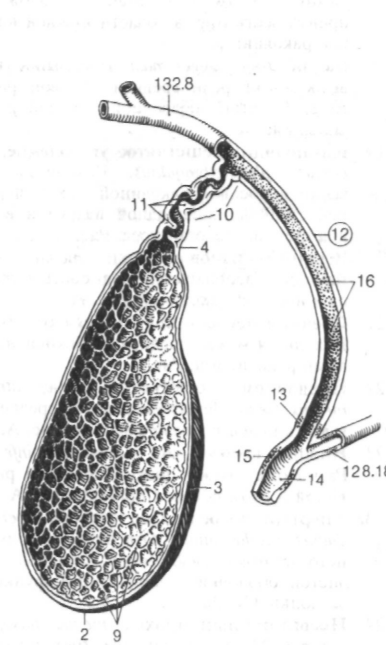


Рис. А. Желчный пузырь и протоки

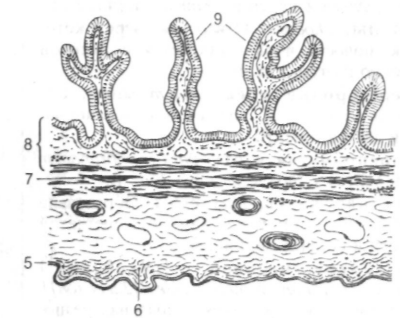


Рис. Б. Микроскопическое строение стенки желчного пузыря

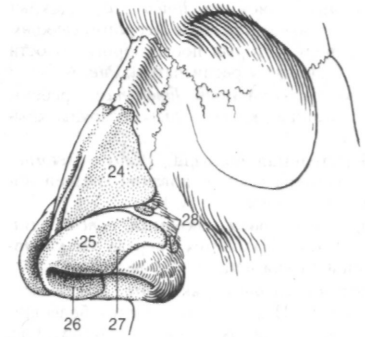


Рис. В. Хрящи носа

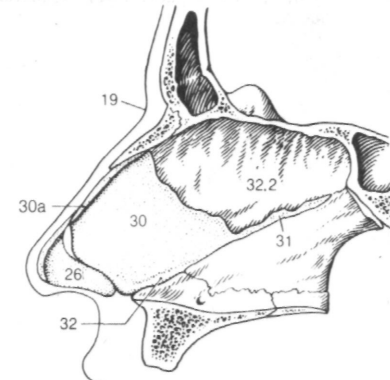


Рис. Г. Хрящевая перегородка носа



Рис. Д. Наружный нос

- 1 ПОЛОСТЬ НОСА, *cavitas nasalis*. Рис. А, Б, В.
- 2 Ноздри, *nares*. Ограничены нижним краем крыльев и перегородкой носа. Рис. Б, В.
- 3 Хоаны, *choanae*. Отверстия, через которые полость носа сообщается с носовой частью глотки. Рис. В.
- 4 Перегородка носа, *septum nasale*. Состоит из костной, хрящевой и перепончатой частей. Рис. В.
- 5 Перепончатая часть, *pars membranacea*. Находится у верхушки носа. Рис. В.
- 6 Костная часть, *pars ossea*. Образована перпендикулярной пластинкой решетчатой кости и сошником. Рис. В.
- 7 Сошниково-носовой [[Якобсона]] орган, *organum vomeronasale* [[Jacobson]]. Слепой мешок, расположенный над резцовым каналом. Представляет собой рудиментарный добавочный орган обоняния. Рис. А, В.
- 8 Преддверие носовой полости, *vestibulum nasi (nasale)*. Передний отдел полости носа, простирающийся до *limen nasi*. Покрыт многослойным плоским неороговевающим эпителием, который после порога полости носа становится реснитчатым. Рис. А, Б.
- 9 Порог полости носа, *limen nasi*. Гребень, образованный краем большого хряща крыла. Рис. А, Б.
- 10 Обонятельная борозда, *sulcus olfactonus*. Расположена выше основания средней носовой раковины. Рис. А, Б.
- 11 Верхняя носовая раковина, *concha nasalis superior*. Находится спереди от клиновидной пазухи. Рис. А, Б.
- 12 Средняя носовая раковина, *concha nasalis media*. Под ней открывается большинство отверстий околоносовых пазух. Рис. А, Б.
- 13 Нижняя носовая раковина, *concha nasalis inferior*. Самая длинная раковина, которая прикрывает отверстие носослезного протока. Рис. А, Б.
- 14 [[Слизистая оболочка носа, *tunica mucosa nasi*]]. Покрыта многоядным цилиндрическим реснитчатым эпителием с бокаловидными клетками.
- 15 Дыхательная область, *regio respiratoria*. Часть слизистой оболочки носа кроме *regio olfactoria*.
- 16 Обонятельная область, *regio olfactoria*. Имеет радиус около 1 см, расположена на латеральной стенке полости носа книзу от *lamina cribrosa*, а также в верхних отделах перегородки. Слизистая оболочка этой области содержит обонятельные клетки. Рис. А.
- 16а Носовые (обонятельные) железы, *glandulae nasales*. Главным образом трубчато-атвеолярные серозные железы. Выделяемый ими секрет смачивает обонятельные реснички и

способствует восприятию обонятельных раздражений.

- 17 Пещеристое венозное сплетение раковин, *plexus cavernosi concharum*. Расположено преимущественно в области нижней носовой раковины.
- 18 Валик носа, *agger nasi*. Небольшое возвышение спереди средней носовой раковины. Остаток добавочной носовой раковины. Рис. А.
- 19 Клиновидно-решетчатое углубление, *recessus sphenothmoidalis*. Находится над верхней носовой раковиной между передней стенкой клиновидной пазухи и верхней стенкой полости носа. Рис. А.
- 20 Верхний носовой ход, *meatus nasi superior*. Располагается под соответствующей носовой раковиной. Рис. А.
- 21 Средний носовой ход, *meatus nasi medius*. Находится между средней и нижней носовыми раковинами. Рис. А.
- 22 Преддверие среднего хода, *atrium meatus medii*. Лежит спереди от средней и выше нижней носовых раковин. Рис. А.
- 23 Нижний носовой ход, *meatus nasi inferior*. Расположен между нижней носовой раковиной и дном носовой полости. Рис. А.
- 23а Апертура носослезного протока, *apertura ductus nasolacrimalis*. Отверстие одноименного протока, снабженное складкой слизистой оболочки, выполняющей функцию заслонки. См. 368.23.
- 24 Носоглоточный проход, *meatus nasopharyngeus*. Место соединения трех носовых ходов позади носовых раковин. Рис. А.
- 25 [[Резцовый проток, *ductus incisivus*]]. Слепой мешок на дне носовой полости, расположенный возле перегородки носа, примерно на 2 см кзади от наружного носового отверстия. Присутствует непостоянно. Рис. А.

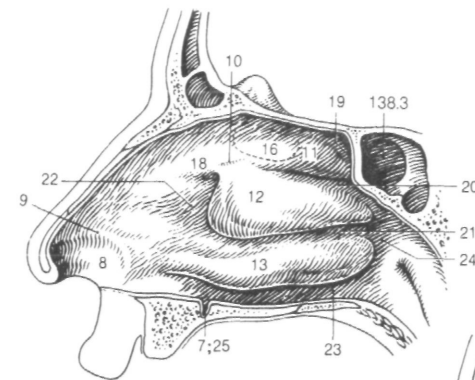


Рис. А. Латеральная стенка полости носа с клиновидной пазухой

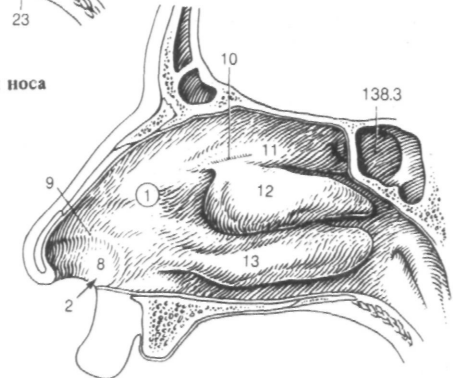


Рис. Б. Латеральная стенка полости носа

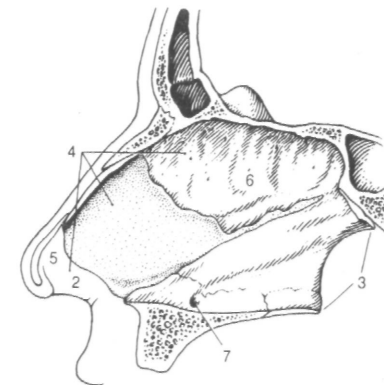


Рис. В. Перегородка носа



- 1 **ОКОЛОНОСОВЫЕ ПАЗУХИ**, *sinus paranasales*. Рис. А, Б.
- 2 Верхнечелюстная пазуха, *sinus maxillaris*. Расположена книзу от глазницы и латеральнее полости носа. Открывается в средний носовой ход. Рис. А.
- 3 Клиновидная пазуха, *sinus sphenoidalis*. Парная воздухоносная полость в теле клиновидной кости. Локализуется над носоглоточным проходом кзади от клиновидно-решетчатого углубления, с которым она сообщается. Рис. Б.
- 4 Лобная пазуха, *sinus frontalis*. Находится внутри чешуи, а также нередко заходит в глазничную часть лобной кости. Открывается под средней носовой раковиной. Рис. А, Б.
- 5 Пазухи решетчатой кости, *sinus ethmoidales*. Система воздухоносных ячеек размером с горошину между носовой полостью и глазницей. Состоит из трех частей.
- 6 Передние пазухи, *sinus anteriores*. Открываются под средней носовой раковиной. Рис. А.
- 7 Средние пазухи, *sinus medii*. Открываются под средней носовой раковиной. Рис. А.
- 8 Задние пазухи, *sinus posteriores*. Открываются под верхней носовой раковиной. Рис. А.
- 9 Большой решетчатый пузырек, *bulla ethmoidalis*. Выпячивание средней решетчатой пазухи, расположенное под нижней носовой раковиной. Рудиментарная носовая раковина. Рис. Б.
- 10 Решетчатая воронка, *infundibulum ethmoidal*. Углубление под средней носовой раковиной спереди большого решетчатого пузырька, в которое открываются верхнечелюстная и лобные пазухи. Рис. Б.
- 11 Полудунная расщелина, *hiatus semilunaris*. Серповидная щель между решетчатой воронкой и крючковидным отростком. Рис. Б.
- 12 **ГОРТАНЬ**, *larynx*. Лежит между глоткой и трахеей. Рис. В.
- 13 Хрящи и суставы гортани, *cartilagineae et articulationes laryngeales*.
- 14 Щитовидный хрящ, *cartilago thyroidea*. Самый большой из хрящей гортани. Рис. В, Г.
- 15 Выступ гортани, *prominentia laryngea*. Возвышение по средней линии шеи, образованное щитовидным хрящом. Лучше выражено у мужчин (Адамово яблоко). Рис. В, Г.
- 16 Пластинка правая/левая, *lamina dextra/sinistra*. Боковые пластинки щитовидного хряща, соединяющиеся по средней линии подобно носу корабля. Рис. В, Г.
- 17 Верхняя щитовидная вырезка, *incisura thyroidea superior*. Расположена по средней линии между пластинками щитовидного хряща. Рис. В, Г.

- 18 Нижняя щитовидная вырезка, *incisura thyroidea inferior*. Расположена по средней линии у нижнего края щитовидного хряща. Рис. Г.
- 19 Верхний щитовидный бугорок, *tuberculum thyroideum superior*. Расположен на наружной поверхности пластинки щитовидного хряща у верхнего конца косой линии. Рис. В, Г.
- 20 Нижний щитовидный бугорок, *tuberculum thyroideum inferius*. Небольшое возвышение у нижнего конца косой линии. Рис. В, Г.
- 21 Косая линия, *linea obliqua*. Диагональный гребень на наружной поверхности щитовидного хряща для прикрепления грудно-щитовидной, щитоподъязычной мышц и нижнего констриктора глотки. Рис. В, Г.
- 22 Верхний рог, *cornu superius*. Верхний отросток щитовидного хряща. Место прикрепления щитоподъязычной связки. Рис. В, Г.
- 23 Нижний рог, *cornu inferius*. Отходит вниз от заднего края пластинок щитовидного хряща и участвует в сочленении с перстневидным хрящом. Рис. В, Г.
- 24 [Щитовидное отверстие, *foramen thyroideum*]. Расположено в пластинке щитовидного хряща книзу от *tuberculum thyroideum superius* и иногда содержит верхние гортанные артерию и вену. Присутствует непостоянно. Рис. В.
- 25 Щитоподъязычная мембрана, *membrana thyrohyoidea*. Соединяет верхнезадний край подъязычной кости и щитовидный хрящ. Содержит большое количество эластических волокон. Рис. В.
- 26 Срединная щитоподъязычная связка, *lig. thyrohyoideum medianum*. Расположенное по средней линии утолщение щитоподъязычной мембраны. Содержит большое количество эластических волокон. Рис. В.
- 26а Преднадгортанниковое жировое тело, *corpus adiposum praeepiglotticum*. Расположено между надгортанником, щитоподъязычной мембраной и подъязычно-надгортанной связкой. Рис. В. См. с.143, рис. В.
- 27 Латеральная щитоподъязычная связка, *lig. thyrohyoideum laterale*. Соединяет верхний рог щитовидного хряща с задним концом большого рога подъязычной кости. Является боковым утолщением щитоподъязычной мембраны. Рис. В.
- 28 **Зерновидный хрящ**, *cartilago triticea*. Размером с пшеничное зерно эластический хрящ внутри щитоподъязычной связки. Рис. В.

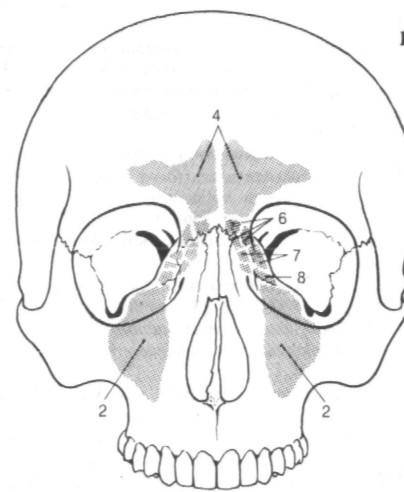


Рис. А. Околоносовые пазухи (исключая *sinus sphenoidalis*)

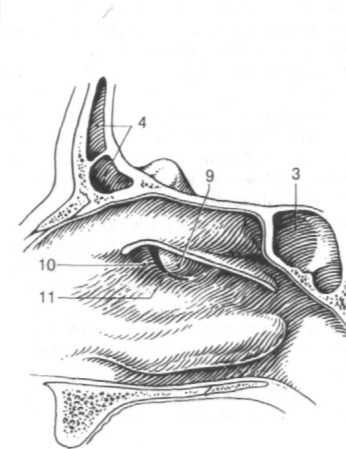


Рис. Б. Боковая стенка полости носа (средняя носовая раковина удалена)

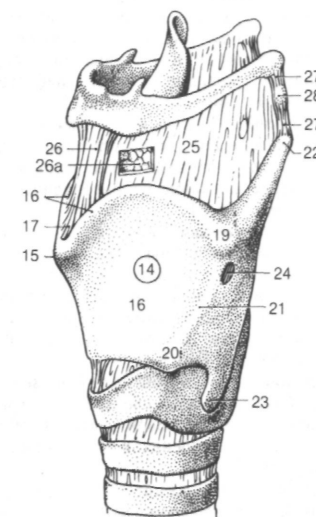


Рис. В. Гортань

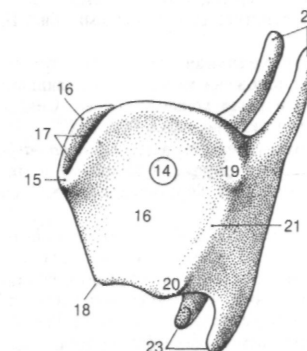


Рис. Г. Щитовидный хрящ

- 1 Перстневидный хрящ, *carrilago cricoidea*. Расположен у начала трахеи и сочленяется со щитовидным хрящом. Рис. А, Б, Г.
- 2 Дуга перстневидного хряща, *arcus carrilaginis cricoideae*. Формирует переднюю и боковую части хряща. Рис. А, Б.
- 3 Пластинка перстневидного хряща, *lamina cartilaginosa cricoideae*. Обращена назад. Рис. А, Б.
- 4 Черпаловидная суставная поверхность, *facies articularis arytenoidea*. Косо ориентированная, овальной формы фасетка, расположенная латерально на верхнем крае пластинки перстневидного хряща. Рис. А.
- 5 Щитовидная суставная поверхность, *facies articularis thyroidea*. Несколько выступающая суставная фасетка в месте соединения дуги и пластинки перстневидного хряща у его нижнего края. Рис. А.
- 6 Перстнещитовидный сустав, *articulatio cricothyroidea*. Сочленение между одноименными хрящами. В суставе осуществляется вращение нижних рогов щитовидного хряща вокруг оси, соединяющей оба сустава, а также незначительные скольжения перстневидного хряща относительно щитовидного. Рис. Б.
- 7 Перстнещитовидная суставная капсула, *capsula articularis cricothyroidea*. Рис. Б.
- 7а Рожково-перстневидная связка, *lig. ceratocricoidaeum*. Утолщение капсулы, ограничивающее движения. Рис. Б.
- 8 Срединная перстнещитовидная связка, *lig. cricothyroideum medianum*. Толстый вертикально ориентированный тяж, расположенный по средней линии между щитовидным и перстневидным хрящами. Рис. Б, Г.
- 9 Перстнетрахеальная связка, *lig. cricotracheale*. Расположена между перстневидным хрящом и первым кольцом трахеи. Содержит эластические волокна. Рис. Б, Г.
- 10 Черпаловидный хрящ, *carrilago arytenoidea*. Имеет пирамидную форму и находится сверху от перстневидного хряща. Рис. В, Г.
- 11 Суставная поверхность, *facies articularis*. Имеет вогнутую форму. Расположена под мышечным отростком на основании черпаловидного хряща и предназначена для сочленения с перстневидным хрящом. Рис. В.
- 12 Основание черпаловидного хряща, *basis cartilaginis arytenoideae*. Обращено вниз. Рис. В.
- 13 Переднелатеральная поверхность, *facies anterolateralis*. Место прикрепления мышц. Рис. В.
- 14 Голосовой отросток, *processus vocalis*. Направлен вперед. Место прикрепления голосовой связки. Рис. В.

- 15 Дугообразный гребешок, *crista arcuata*. Начинается между продолговатой и треугольной ямками, огибает последнюю и заканчивается у холмика. Рис. В.
- 16 Холмик, *colliculus*. Небольшое возвышение на конце дугообразного гребешка. Рис. В, Г.
- 17 Продолговатая ямка, *fovea oblonga*. Углубление в передненижнем отделе спереди *facies anterolateralis*. Место прикрепления щиточерпаловидной мышцы. Рис. В.
- 18 Треугольная ямка, *fovea triangularis*. Расположена над продолговатой ямкой. Заполнена железами. Рис. В.
- 19 Медиальная поверхность, *facies medialis*. Рис. В.
- 20 Задняя поверхность, *facies posterior*. Рис. В.
- 21 Верхушка черпаловидного хряща, *apex cartilaginis arytenoideae*. Изогнута кзади. Рис. В, Г.
- 22 Мышечный отросток, *processus muscularis*. Место прикрепления задней и латеральной перстнечерпаловидных мышц. Направлен назад и латерально. Рис. В.
- 23 Перстнечерпаловидный сустав, *articulatio cricoarytenoidea*. Сочленение между одноименными хрящами. В нем возможны вращения черпаловидного хряща вокруг вертикальной оси и скольжение в стороны, в результате чего изменяется расстояние между двумя хрящами. Рис. Г.
- 24 Перстнечерпаловидная суставная сумка, *capsula articularis cricoarytenoidea*. Находится между черпаловидным и перстневидным хрящами, имеет небольшую толщину и слабо натянута. Рис. Г.
- 25 Перстнечерпаловидная связка, *lig. cricoarytenoideum*. Соединяет одноименные хрящи, содержит эластичные волокна, ограничивает движение черпаловидного хряща кпереди. Рис. Г.
- 26 Перстнеглоточная связка, *lig. cricopharyngeum*. Фиброзный тяж, который начинается от рожковидного хряща, прикрепляется к задней поверхности пластинки перстневидного хряща и продолжается в стенку глотки, располагаясь под слизистой оболочкой. Рис. Г.
- 27 [Сесамовидный хрящ, *carrilago sesamoidea*]. Небольшие эластические хрящи в переднем отделе голосовой связки и вблизи места ее прикрепления к черпаловидному хрящу. Рис. Г.
- 28 Рожковидный хрящ [[Санториниев хрящ]], *carrilago comiculata* [[Santorini]]. Расположен на верхушке черпаловидного хряща. Рис. В, Г.
- 29 Рожковидный бугорок, *tuberculum corniculatum*. Покрытое слизистой оболочкой возвышение у верхушки черпаловидного хряща, соответствующее одноименному хрящу. См. 142.9.

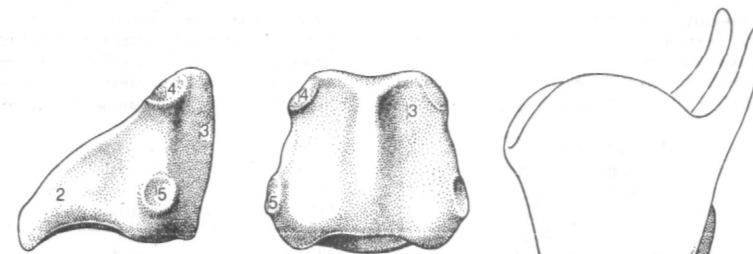


Рис. А. Перстневидный хрящ (вид слева и сзади)

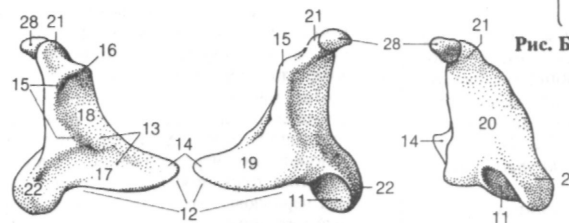


Рис. Б. Щитовидный и перстневидный хрящи (вид слева)

Рис. В. Правый черпаловидный хрящ (вид с латеральной, медиальной и задней поверхностей)

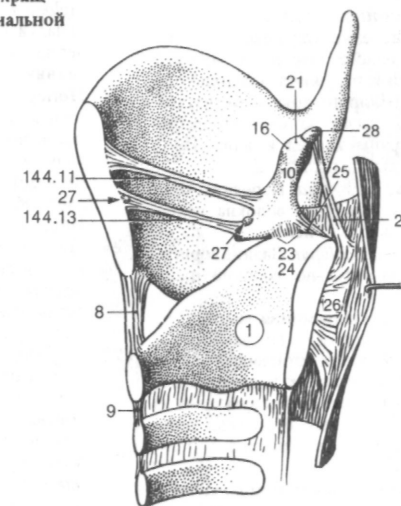


Рис. Г. Сагиттальный разрез гортани

- 1 Клиновидный хрящ, *cartilago cuneiformis*. Распологается в толще черпалонадгортанной складки. Рис. Г
- 2 Клиновидный бугорок, *tuberculum cuneiforme*. Возвышение черпалонадгортанной складки над клиновидным хрящом. При отсутствии хряща бугорок образован скоплением слизистых желез. Рис. Б, Г.
- 3 Надгортанник, *epiglottis*. Тонкая подковообразная пластинка. Рис. Б, В, Д.
- 4 Стебелек надгортанника, *petiolus epiglottidis*. Направлен вниз и прикрепляется к щитовидному хрящу. Рис. А, Г.
- 5 Надгортанный бугорок, *tuberculum epiglotticum*. Находится на задней поверхности слизистой оболочки над стебельком. Рис. Б.
- 6 Надгортанный хрящ, *cartilago epiglottica*. Составляет основу надгортанника и образован эластическим хрящом. Рис. А, В, Г
- 7 Щитонадгортанная связка, *lig. thyroepiglotticum*. Фиксирует стебелек надгортанника к задней поверхности щитовидного хряща. Рис. А, Г.
- 8 Подъязычно-надгортанная связка, *lig. hyoepiglotticum*. Находится между подъязычной костью и надгортанником. Рис. В
- 9 Рожковидный бугорок, *tuberculum comiculatum*. Возвышение слизистой оболочки над одноименным хрящом. Рис. Б, Г.
- 10 Мышцы гортани, *mm. laryngis*. Рис. Б, В, Г, Д
- 11 [[Черпалонадгортанная мышца, *maeyepiglotticus*]]. Часть косой черпаловидной мышцы. См. 21а. Рис. Б, Г
- 12 Перстнещитовидная мышца, *m. cricothyroideus*. Н: переднелатеральная поверхность перстневидного хряща. П: нижний край внутренней и наружной поверхностей пластинок щитовидного хряща. Ф: натягивает голосовую связку за счет смещения щитовидного хряща вперед и вниз. Инн.: верхний гортанный нерв. Рис. Д
- 13 Прямая часть, *pars recta*. Передние, ориентированные вертикально волокна перстнещитовидной мышцы. Рис. В.
- 14 Косая часть, *pars obliqua*. Задние, ориентированные горизонтально волокна *m. cricothyroideus*. Рис. В.
- 15 Задняя перстнещитовидная мышца, *m. cricoarytenoideus posterior*. Н: задняя поверхность пластинок перстневидного хряща. П: мышечный отросток черпаловидного хряща. Ф: расширяет голосовую щель за счет поворота голосовых отростков латерально и вверх. Инн.: возвратный гортанный нерв. Рис. Б, Г.
- 16 [Рожково-перстнещитовидная мышца, *nucercaticricoides*]]. Присутствует непостоянно. Н: нижний рог щитовидного хряща. П: нижний край перстневидного хряща. Инн.: возвратный гортанный нерв. Рис. Б.
- 17 Латеральная перстнещитовидная мы-

- шца, *nucricoaarytenoideus lateralis*. Н: верхний край дуги перстневидного хряща. П: мышечный отросток черпаловидного хряща. Ф: участвует в сужении голосовой щели. Инн.: возвратный гортанный нерв. Рис. Г
- 18 Голосовая мышца, *m. vocalis*. Н: внутренняя поверхность пластинок щитовидного хряща вблизи средней линии. П: голосовой отросток и продолговатая ямка черпаловидного хряща. Ф: изменяет степень натяжения голосовой связки. Инн.: возвратный гортанный нерв. Рис. Д
- 19 [[Щитовиднойнадгортанная мышца, *m. thyroepiglotticus*]]. Часть щиточерпаловидной мышцы. См. 20а. Рис. Г.
- 20 Щиточерпаловидная мышца, *m. thyroarytenoideus*. Н: внутренняя поверхность пластинок щитовидного хряща. П: мышечный отросток и латеральная поверхность черпаловидного хряща. Ф: участвует в сужении голосовой щели. Инн.: возвратный гортанный нерв. Рис. Г, Д
- 20а Щитонадгортанная часть, *pars thyroepiglottica*. Н: внутренняя поверхность пластинок щитовидного хряща. П: надгортанник и четырехугольная мембрана. Инн.: возвратный гортанный нерв. Рис. Г. См. 11
- 21 Косая черпаловидная мышца, *m. agytenoideus obliquus*. Н: задняя поверхность мышечного отростка. П: верхушка противоположного черпаловидного хряща. Ф: суживает голосовую щель за счет сближения черпаловидных хрящей. Инн.: возвратный гортанный нерв. Рис. Б.
- 21а Черпалонадгортанная часть, *pars aryepiglottica*. Лежит в толще одноименной складки слизистой оболочки. Н: верхушка черпаловидного хряща. П: край надгортанника. Ф: опускает надгортанник. См. 11.
- 22 Поперечная черпаловидная мышца, *m. arytenoideus transversus*. Н: задняя поверхность черпаловидного хряща. П: черпаловидный хрящ контралатеральной стороны. Ф: участвует в сужении голосовой щели за счет сближения черпаловидных хрящей. Инн.: возвратный гортанный нерв. Рис. Б.
- 23 Полость гортани, *cavitas laryngis*. Рис. Д
- 24 Вход в гортань, *aditus laryngis*. Ограничен надгортанником, черпалонадгортанными складками и межчерпаловидной вырезкой. Рис. Б, Д
- 25 Черпалонадгортанная складка, *plica aryepiglottica*. Расположена над одноименной мышцей и соединяет верхушку черпаловидного хряща с латеральным краем надгортанника. Рис. Б, Г.
- 26 Межчерпаловидная вырезка, *incisura interarytenoidea*. Щель между верхушками черпаловидных хрящей. Рис. Б.
- 27 Преддверие гортани, *vestibulum laryngis*. Верхняя часть полости гортани между *aditus laryngis* и складками преддверия. Рис. Д
- 28 Щель преддверия, *rima vestibuli*. Нахо-

- дится между складками преддверия. Рис. Д
- 29 Складка преддверия [желудочка], *plica vestibularis [ventricularis]*. Образована одноименной связкой, лежит между желудочком гортани и преддверием. Рис. Д
- 29а Промежуточная полость гортани, *cavitas laryngis intermedia*. Находится между складками преддверия и голосовыми складками.

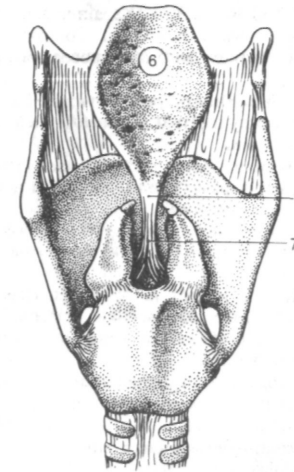


Рис. А. Хрящи гортани (вид сверху)

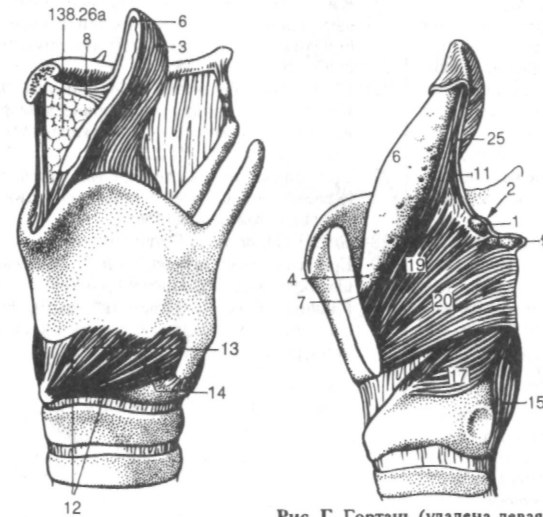


Рис. В. Гортань (вид с переднелатеральной стороны)

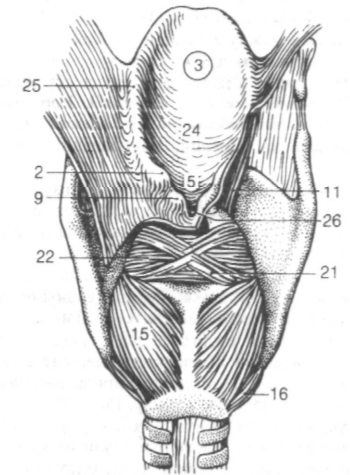


Рис. Б. Мышцы гортани (вид сверху)

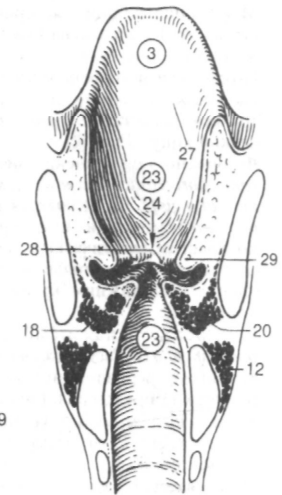


Рис. Д. Фронтальный разрез гортани (вид сверху)

Рис. Г. Гортань (удалена левая пластинка щитовидного хряща)

- 1 Желудочек гортани [[*Morgagnii*]], *ventriculus laryngis* [[*Morgagni*]]. Боковой карман между складкой преддверия и голо-  
совой складкой. Рис. Б, В, Г.
- 2 Мешочек гортани, *sacculus laryngis* [[*appendix ventriculi laryngis*]]. Небольшой,  
слепо заканчивающийся вырост стенки  
желудочка гортани, направленный  
вверх. Рис. Б.
- 3 Собственно голосовой аппарат, *g-  
ttis*. Образующая звук часть гортани, со-  
стоящая из двух голосовых складок, разде-  
ленных голосовой щелью. Рис. А.
- 4 Голосовая щель, *rima glottidis*. Располо-  
жена между двумя черпаловидными хря-  
щами и голосовыми связками. Рис. А.
- 5 Голосовая складка, *plica vocalis*. Склад-  
ка слизистой оболочки. Содержит голосо-  
вую связку и расположенную латерально  
от нее голосовую мышцу. Рис. А.
- 6 Межперепончатая часть, *pars inter-  
membranacea*. Часть голосовой щели между  
щитовидным хрящом и верхушками голо-  
совых отростков. Рис. А.
- 7 Межхрящевая часть, *pars intercartila-  
ginea*. Часть голосовой щели между чер-  
паловидными хрящами. Рис. А.
- 7а Межчерпаловидная складка, *plica intera-  
rytenoidea*. Расположена между верхушками  
черпаловидных хрящей. Рис. А.
- 8 Подголосовая полость, *cavitas infraglot-  
tica*. Расположена между голосовой щелью и  
трахеей. В состав ее стенки входит эластич-  
еский конус. Рис. В.
- 9 Фиброзно-эластическая мембрана, *mem-  
brana fibroelastica laryngis* [[*membrana ela-  
stica laryngis*]]. Располагается под слизистой  
оболочкой гортани и содержит большое  
количество эластических волокон. Начи-  
нается от четырехугольной мембраны и за-  
канчивается нижним краем эластического  
конуса. Рис. Б.
- 10 Четырехугольная мембрана, *membrana*  
*quadrangularis*. Расположена между надгор-  
танником, черпалонадгортанной складкой и  
складкой преддверия. Рис. В, Г.
- 11 Связка преддверия, *lig. vestibulare*. Утолще-  
ние нижнего края четырехугольной мем-  
браны. Рис. В.
- 12 Эластический конус (перстнеголосовая  
мембрана), *coni elasticus (membrana cri-  
socolalis)*. Утолщение фиброэластической  
мембраны между голосовой связкой и  
перстневидным хрящом. Рис. Г.
- 13 Голосовая связка, *lig. vocale*. Натянута  
между голосовым отростком черпаловидно-  
го и щитовидным хрящами. Является верх-  
ним краем эластического конуса. Рис. В.
- 14 Слизистая оболочка, *tunica mucosa*. Задне-  
верхняя поверхность надгортанника и го-  
лосовая связка покрыты многослойным  
плоским неороговевающим эпителием. Ос-  
тальная часть слизистой оболочки гортани

покрыта многоядным цилиндрическим  
ресничным эпителием с бокаловидными  
клетками. Рис. Б.

- 15 Гортанные железы, *gll. laryngeales*. Железы  
смешанного типа секреции, расположен-  
ные в подслизистой основе. Рис. Б.
- 16 [[Гортанные лимфатические фоллику-  
лы, *nodii lymphatici laryngis*]]. Расположены,  
главным образом, в подслизистой оболочке  
желудочка гортани. Рис. Б.
- 17 ТРАХЕЯ, *trachea*. Характеризуется нали-  
чием хряща в стенке. Состоит из двух  
частей и служит для проведения воздуха.  
Рис. Д.
- 18 Шейная часть, *pars cervicalis*. Расположе-  
на между шестым и седьмым шейными по-  
звонками.
- 19 Грудная часть, *pars thoracica*. Находит-  
ся между первым и нижним краем четвертого  
грудных позвонков.
- 20 Хрящи трахеи, *cartilagineae tracheales*. Под-  
ковообразные хрящи в стенке трахеи. Рис.  
Д, Е, 3.
- 21 Мышца трахеи, *m. trachealis*. Неисчерчен-  
ные мышечные волокна, расположенные  
между свободными концами хрящей тра-  
хеи. Рис. 3.
- 22 Кольцевые трахеальные связки, *ligg.*  
*anularia trachealia*. Соединительноткан-  
ные мостики между хрящами трахеи. Рис. Д, Е.
- 23 Перепончатая стенка, *paries membranaceus*.  
Задняя стенка трахеи. Рис. Е.
- 24 Бифуркация трахеи, *bifurcatio tracheae*  
[[*trachealis*]]. Находится на уровне Т 4. Рис.  
Д, Ж.
- 25 Киль трахеи, *carina tracheae*. Гребень,  
выступающий в просвет трахеи в месте ее  
бифуркации. Обеспечивает аэродинамиче-  
ский эффект. Рис. Ж.
- 26 Слизистая оболочка, *tunica mucosa*. По-  
крыта многоядным цилиндрическим рес-  
ничатым эпителием с бокаловидными  
клетками. Рис. 3.
- 27 Трахеальные железы, *gll. tracheales*.  
Железы смешанного типа секреции в  
подслизистой основе. Рис. 3
- 28 БРОНХИ, *bronchi*. Ветви трахеи.
- 29 Бронхиальное дерево, *arbor bronchialis*.  
Совокупность ветвящихся бронхов.
- 30 Главный бронх (правый и левый), *bron-  
chus principalis (dexter et sinister)*. Отходит  
непосредственно от трахеи. Рис. Д

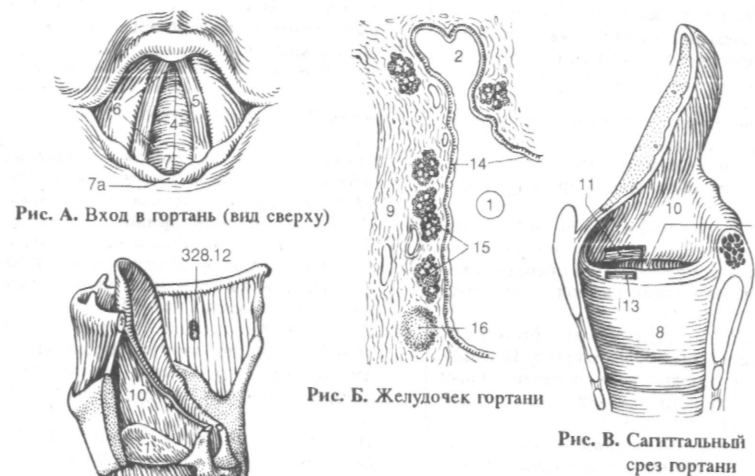
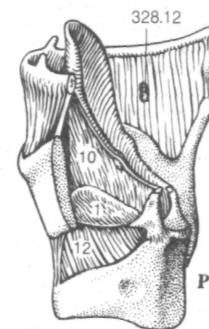
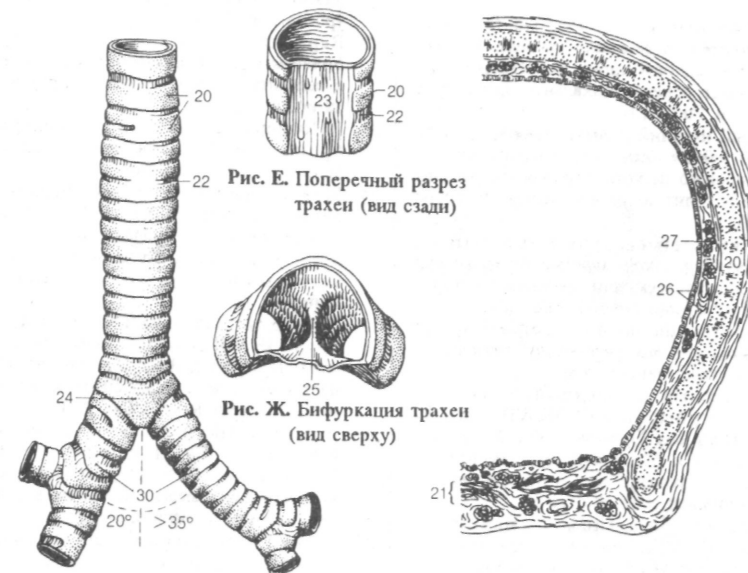


Рис. А. Вход в гортань (вид сверху)

Рис. Б. Желудочек гортани

Рис. В. Сагиттальный  
срез гортаниРис. Г. Гортань (левая пластинка щитовидного хряща  
удалена, вид с заднелатеральной стороны)Рис. Д. Трахея и бронхи  
(вид спереди)Рис. Е. Поперечный разрез  
трахеи (вид сзади)Рис. Ж. Бифуркация трахей  
(вид сверху)Рис. З. Микроскопическое строение  
стенки трахей

- 1 **Долевые и сегментарные бронхи, *bronhi lobares et segmentates***. Подходят к 5 долям и 20 сегментам легких. Рис. А, Б.
- 2 **Правый верхний долевого бронх, *bronchus lobaris superior dexter***. Отходит сразу после бифуркации трахеи и разветвляется в верхней доле легкого. Рис. А, Б.
- 3 Верхушечный сегментарный бронх (Б Г), *bronchus segmentalis apicalis*. Направляется к одноименному сегменту, который располагается выше уровня третьего ребра. Рис. А, Б.
- 4 Задний сегментарный бронх (Б П), *bronchus segmentalis posterior*. Направляется к заднему сегменту, который спереди доходит до средней подмышечной линии. Рис. А, Б.
- 5 Передний сегментарный бронх (Б Ш), *bronchus segmentalis anterior*. Предназначен для одноименного сегмента, задняя граница которого проходит по средней подмышечной линии. Рис. А, Б.
- 6 **Правый среднедолевой бронх, *bronchus lobaris medius dexter***. Предназначен для средней доли правого легкого. Рис. А
- 7 Латеральный сегментарный бронх (Б IV), *bronchus segmentalis lateralis*. Подходит к одноименному сегменту, который расположен в задней части средней доли. Рис. А, Б.
- 8 Медиальный сегментарный бронх (Б V), *bronchus segmentalis medialis*. Направляется к одноименному сегменту, который составляет переднемедиальную часть средней доли. Рис. А, Б.
- 9 **Правый нижний долевого бронх, *bronchus lobaris inferior dexter***. Направлен к нижней доле правого легкого, верхняя граница которой доходит до уровня четвертого ребра. Рис. А, Б.
- 10 Верхний сегментарный бронх (Б VI), *bronchus segmentalis superior*. Предназначен для соответствующего сегмента, который граничит с *lobus superior*. Рис. Б.
- 11 [[Подверхушечный сегментарный бронх, *bronchus segmentalis subapicalis*]]. Присутствует непостоянно.
- 12 Медиальный (сердечный) базальный сегментарный бронх (Б VII), *bronchus segmentalis basalis medialis (cardiacus)*. Направляется к одноименному сегменту, который не заходит на наружную поверхность нижней доли. Рис. А, Б.
- 13 Передний базальный сегментарный бронх (Б VIII), *bronchus segmentalis basalis anterior*. Идет к одноименному сегменту нижней доли, который имеет клиновидную форму. Рис. А, Б.
- 14 Латеральный базальный сегментарный бронх (Б IX), *bronchus segmentalis basalis lateralis*. Подходит к одноименному сегменту, расположенному между передним и задним базальными сегментами. Рис. А, Б.
- 15 Задний базальный сегментарный бронх (Б X), *bronchus segmentalis basalis posterior*. Направляется к соответствующему сегменту, который сзади прилежит к позвоночному столбу. Рис. А, Б.
- 16 **Левый верхний долевого бронх, *bronchus lobaris superior sinister***. Предназначен для верхней доли левого легкого. Рис. А, Б
- 17 Верхушечно-задний сегментарный бронх (Б I+П), *bronchus segmentalis apicoposterior*. Предназначен для одноименного сегмента верхней доли. Рис. А, Б.
- 18 Передний сегментарный бронх (Б ПП), *bronchus segmentalis anterior*. Подходит к соответствующему сегменту верхней доли, расположенному спереди от верхушечно-заднего сегмента. Рис. А, Б.
- 19 Верхний язычковый бронх (Б IV), *bronchus lingularis superior*. Предназначен для одноименного сегмента верхней доли, который граничит с нижней долей. Рис. А, Б.
- 20 Нижний язычковый бронх (Б V), *bronchus lingularis inferior*. Подходит к соответствующему сегменту, преимущественно расположенному в переднем отделе верхней доли. Рис. А, Б.
- 21 **Левый нижний долевого бронх, *bronchus lobaris inferior sinister***. Предназначен для нижней доли, которая сзади доходит до уровня Т 4. Рис. А, Б.
- 22 Верхний сегментарный бронх (Б VI), *bronchus segmentalis superior*. Направляется к сегменту, расположенному сверху и сзади нижней доли. Рис. Б.
- 23 [[Подверхушечный сегментарный бронх, *bronchus segmentalis subapicalis*]]. Встречается непостоянно.
- 24 Медиальный (сердечный) базальный сегментарный бронх (Б VII), *bronchus segmentalis basalis medialis (cardiacus)*. Подходит к одноименному сегменту, который не заходит на наружную поверхность легкого. Рис. А
- 25 Передний базальный сегментарный бронх (Б VIII), *bronchus segmentalis basalis anterior*. Предназначен для соответствующего сегмента, прилежащего к передне-нижнему краю легкого. Рис. А, Б.
- 26 Латеральный базальный сегментарный бронх (Б IX), *bronchus segmentalis basalis lateralis*. Подходит к сегменту, который находится между передним и задним базальными сегментами. Рис. А, Б.
- 27 Задний базальный сегментарный бронх (Б X), *bronchus segmentalis basalis posterior*. Идет к сегменту нижней доли, расположенному под верхним сегментом нижней доли. Рис. А, Б.

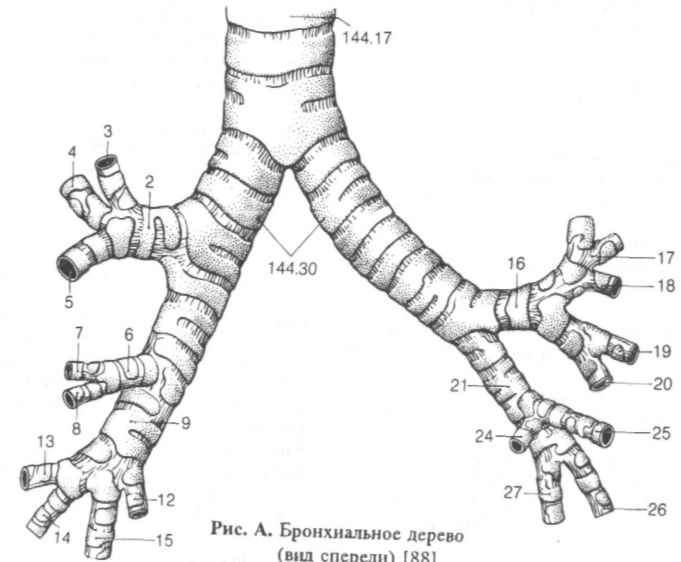


Рис. А. Бронхиальное дерево (вид спереди) [88]

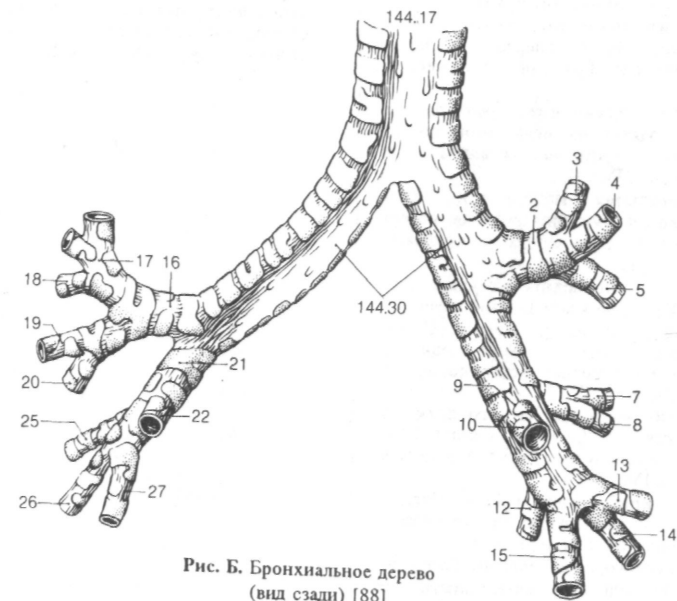


Рис. Б. Бронхиальное дерево (вид сзади) [88]

- 1 **Ветви сегментарных бронхов, rami bronchioles segmentorum.**
- 2 **Мышечная оболочка, tunica muscularis.** Мышечный слой стенки бронхов.
- 3 **Подслизистая основа, tela submucosa.** Слой соединительной ткани под слизистой оболочкой бронхов.
- 4 **Слизистая оболочка, tunica mucosa.** Покрыта многоядным цилиндрическим реснитчатым эпителием.
- 5 **Бронхиальные железы, gl. bronchioles.** Железы смешанного типа секреции, расположенные под слизистой оболочкой.
- 6 **ЛЕГКИЕ, pulmones.** Занимают почти всю грудную клетку. Рис. А, Б, В, Г.
- 7 **Легкое правое/левое, pulmo dexter/sinister.** Правое легкое больше левого на 10 %. Рис. А, Б, В, Г.
- 8 **Основание легкого, basis pulmonis (pubnolalis).** Обращено к диафрагме. Рис. А, Б, В, Г.
- 9 **Верхушка легкого, apex pulmonis (pubnolalis).** Занимает верхнюю апертуру грудной клетки. Рис. А, Б, В, Г.
- 10 **[[Реберная поверхность, facies costalis]].** Обращена к ребрам. Рис. А, В.
- 11 **[[Медиальная поверхность, facies mediana]].** Обращена к средостению. Рис. Б, Г.
- 12 **Позвоночная часть, pars vertebralis.** Задний отдел медиальной поверхности, прилежащий к позвоночному столбу. Рис. Б, Г.
- 13 **Медиастинальная поверхность, facies mediastinalis.** Лежит спереди от позвоночной части и обращена к средостению. Рис. Б, Г.
- 14 **Сердечное вдавление, impressio cardiaca.** Находится на медиальной поверхности легких; в этих местах к ним прилежит перикард. Рис. Б, Г.
- 15 **Диафрагмальная поверхность, facies diaphragmatica.** Вогнутая нижняя поверхность легких, обращенная к диафрагме. Рис. А, Б, В, Г.
- 16 **Междолевая поверхность, facies interlobaris.** Обращена к междолевой щели.
- 17 **Передний край, margo anterior.** Острый передний край легкого в месте соединения медиальной и реберной поверхностей легкого. Рис. А, Б, В, Г.
- 18 **Сердечная вырезка [левого легкого], incisura cardiaca [pubnonis sinistri].** Находится на переднем крае верхней доли левого легкого. Рис. В, Г.
- 19 **Нижний край, margo inferior.** Отделяет реберную и медиальную поверхности от диафрагмальной. Рис. А, Б, В, Г.
- 20 **Ворота легкого, hilum pubnonis.** Расположены на медиальной поверхности и содержат структуры корня легкого (бронхи и сосуды). Рис. Б, Г.
- 21 **Корень легкого, radix [pediculus] pubnonis.** Его основными компонентами являются ле-

гочные сосуды и главный бронх. Рис. Б

- 22 **Язычок левого легкого, lingula pubnonis sinistri.** Находится между сердечной вырезкой и косой щелью. Рис. В, Г.
- 22а **Вершина левого легкого, subnpen pubnonis sinistri.** Часть левой доли язычка.
- 23 **Верхняя доля, lobus superior.** Ее нижний край сзади находится на уровне 4-го ребра. Справа идет вперед почти параллельно четвертому ребру, а слева - доходит до костно-хрящевого соединения 6-го ребра. Рис. А, Б, В, Г.
- 24 **Средняя доля (правого легкого), lobus medius (pubnonis dextri).** Имеется только в правом легком. Расположена спереди от средней подмышечной линии в промежутке между четвертым и шестым ребрами. Рис. А, Б.
- 25 **Нижняя доля, lobus inferior.** Расположена в задней части грудной клетки. Ее верхний край идет косо вниз от уровня четвертого ребра по околопозвоночной линии до места пересечения шестого ребра со среднеключичной линией. Рис. А, Б, В, Г.
- 26 **Косая щель, fissura obliqua.** Лежит между верхней и нижней долями левого, верхней, средней и нижней - правого легкого. Проецируется от четвертого ребра по околопозвоночной линии до шестого - по среднеключичной. Рис. А, Б, В, Г.
- 27 **Горизонтальная щель (правого легкого), fissura horizontalis (pubnonis dextri).** Отделяет среднюю долю от верхней. Соответствует четвертому ребру. Рис. А, Б.

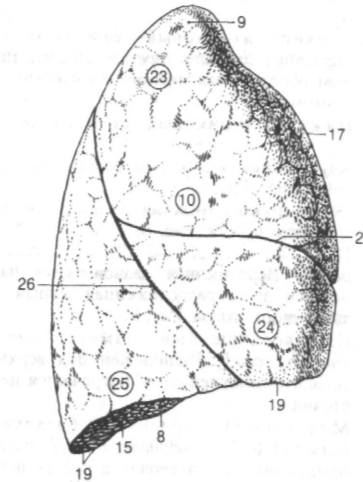


Рис. А. Правое легкое  
(вид с латеральной стороны)

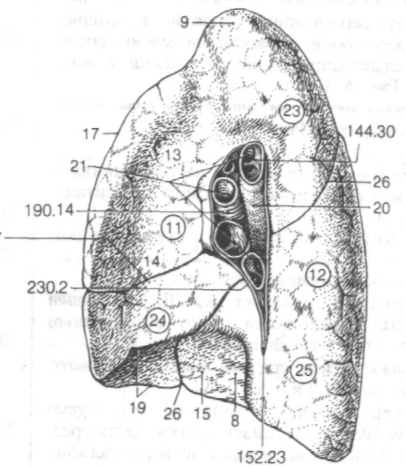


Рис. Б. Правое легкое  
(вид с медиальной стороны)

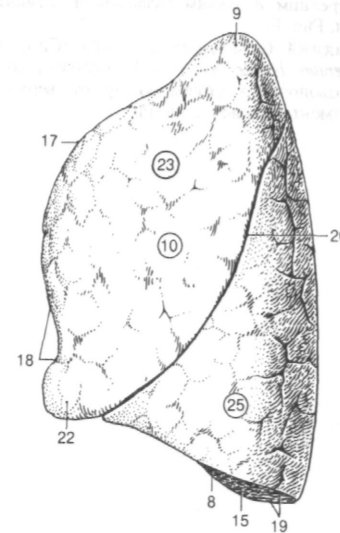


Рис. В. Левое легкое  
(вид с латеральной стороны)

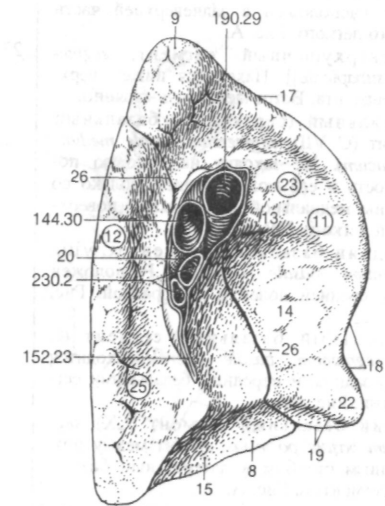


Рис. Г. Левое легкое  
(вид с медиальной стороны)



- 1 **Бронхолегочные сегменты, *segmenta bronchopulmonalia***. К каждому из них подходят сегментарные бронхи и артерии. Между собой сегменты разделены соединительнотканными перегородками и венами. Рис. А, Б.
- 2 **Правое легкое, верхняя доля, *pubno dexter, lobus superior***. Рис. А.
- 3 **Верхушечный сегмент (С I), *segmentum apicale***. Его нижняя часть вклинивается между передним и задним сегментами. Рис. А.
- 4 **Задний сегмент (С II), *segmentum posterius***. Находится между верхушечным сегментом и нижней долей. Рис. А.
- 5 **Передний сегмент (С III), *segmentum anterius***. Расположен между верхушечным сегментом и средней долей. Рис. А.
- 6 **Правое легкое, средняя доля, *pubno dexter, lobus medius***. Рис. А.
- 7 **Латеральный сегмент (С IV), *segmentum laterale***. Занимает заднюю часть средней доли, но не доходит до ворот легкого. Рис. А.
- 8 **Медиальный сегмент (С V), *segmentum mediate***. Формирует медиальную и диафрагмальную поверхности средней доли. Рис. А.
- 9 **Правое легкое, нижняя доля, *pubno dexter, lobus inferior***. Рис. А.
- 10 **Верхний сегмент (С VI), *segmentum superius***. Расположен в задневерхней части правого легкого. Рис. А.
- 11 **[[Подверхушечный сегмент, *segmentum subapicale*]]**. Находится ниже верхнего сегмента. Встречается непостоянно.
- 12 **Медиальный (сердечный) базальный сегмент (С VII), *segmentum basale mediate (cardiacum)***. Не заходит на боковую поверхность и его можно увидеть только со стороны медиальной или нижней поверхностей легкого. Рис. А.
- 13 **Передний базальный сегмент (С VIII), *segmentum basale anterius***. Расположен между средней долей и диафрагмой. Рис. А.
- 14 **Латеральный базальный сегмент (С IX), *segmentum basale laterale***. Находится между задним и передним базальными сегментами. Рис. А.
- 15 **Задний базальный сегмент (С X), *segmentum basale posterius***. Лежит между позвоночным столбом и латеральным базальным сегментом. Рис. А.
- 16 **Левое легкое, верхняя доля, *pubno sinister, lobus superior***. Рис. Б.
- 17 **Верхушечно-задний сегмент (С I+II), *segmentum basale apicoposterius***. Состоит из двух сегментов (верхушечного и заднего), которые имеют форму клина и расположены между кривой щелью и передним сегментом верхней доли. Рис. Б.
- 18 **Передний сегмент (С III), *segmentum anterius***. Находится между верхним язычковым и верхушечно-задним сегментами. Рис. Б.
- 19 **Верхний язычковый сегмент (С IV), *segmentum lingulare superius***. Лежит, главным образом, над нижним язычковым сегментом. Рис. Б.
- 20 **Нижний язычковый сегмент (С V), *segmentum lingulare inferius***. Находится между верхним язычковым сегментом и кривой щелью. Рис. Б.
- 21 **Левое легкое, нижняя доля. *Pubno sinister, lobus inferior***. Рис. Б.
- 22 **Верхний сегмент (С VI), *segmentum superius***. Верхушечная задневерхняя часть нижней доли, расположенная вблизи позвоночного столба. Рис. Б.
- 23 **[[Подверхушечный сегмент, *segmentum subapicale*]]**. Расположен под верхним сегментом нижней доли. Встречается непостоянно.
- 24 **Медиальный (сердечный) базальный сегмент (С VII), *segmentum basale mediate (cardiacum)***. Часто входит в состав переднего базального сегмента. Рис. Б.
- 25 **Передний базальный сегмент (С VIII), *segmentum basale anterius***. Находится между кривой щелью и латеральным базальным сегментом. Рис. Б.
- 26 **Латеральный базальный сегмент (С IX), *segmentum basale laterale***. Лежит между передним и задним базальными сегментами. Рис. Б.
- 27 **Задний базальный сегмент (С X), *segmentum basale posterius***. Расположен возле позвоночного столба снизу от верхнего сегмента нижней доли. Рис. Б.

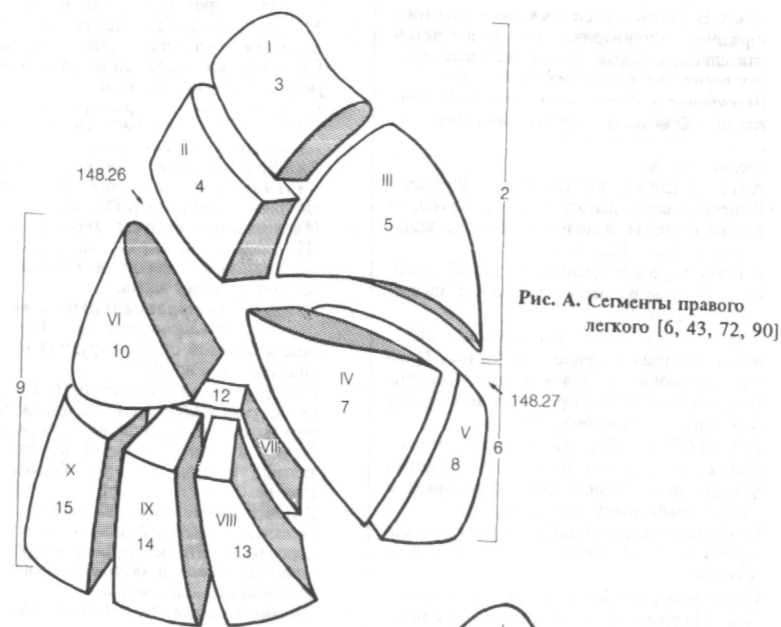


Рис. А. Сегменты правого легкого [6, 43, 72, 90]

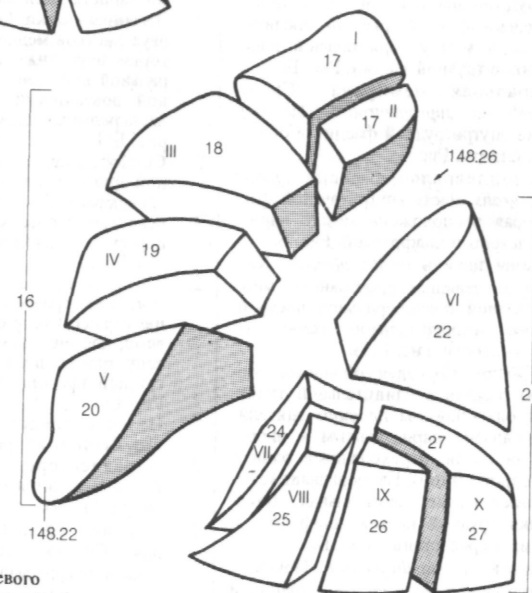


Рис. Б. Сегменты левого легкого [6, 43, 72, 90]

- 1 **Бронхиолы, bronchioli.** Являются продолжением бронхов, в их стенке отсутствует хрящ. В самом начале они выстланы многослойным цилиндрическим реснитчатым эпителием, который в терминальных отделах переходит в кубический. Рис. А.
- 2 **Дыхательные бронхиолы, bronchioli respiratorii.** Конечные отделы бронхиол, на стенке которых появляются отдельные альвеолы Рис. А.
- 3 Альвеолярные ходы, *ductuli atveolares.* Конечные ветви дыхательных бронхиол, на стенке которых находится большое количество альвеол. Рис. А.
- 4 Альвеолярные мешочки, *sacculi atveolares.* Слепые расширенные концы альвеолярных ходов. Рис. А.
- 5 Альвеолы легкого, *alveoli pulmonis.* Слепые выпячивания стенки дыхательных бронхиол, альвеолярных ходов и мешочков, диаметром 0,1 - 0,9 мм. Через их тонкую стенку осуществляется газообмен. Рис. А.
- 6 **ГРУДНАЯ ПОЛОСТЬ, cavitas thoracica (thoracica).** Ограничена ребрами, грудным отделом позвоночного столба, грудиной и снизу - диафрагмой. Рис. Б, В.
- 7 **Плеврорегочные области, regiones pleuropulmonales.** Находятся между плеврой и легкими.
- 8 **Внутригрудная фасция, fascia endothoracica.** Подвижный слой рыхлой соединительной ткани между париетальной плеврой и стенкой грудной клетки. Рис. Б.
- 9 **Надплевральная мембрана** [[Сибсона]], *membrana suprapleuralis* [[SibsonJ]]. Утолщение внутригрудной фасции в области купола плевры Рис. Б.
- 10 **Диафрагмоплевральная фасция, fascia phrenicopleuralis.** Часть внутригрудной фасции, которая расположена между париетальной плеврой и диафрагмой. Рис. Б.
- 11 **Плевральная полость, cavitas pleuralis.** Капиллярное, щелевидное пространство между париетальной и висцеральной плеврой, содержащее незначительное количество серозной жидкости. Рис. Б, В.
- 12 **Плевра, pleura.** Серозная оболочка, состоящая из рыхлой соединительной ткани, покрытой однослойным плоским эпителием. Представлена париетальным и висцеральным листками, переходящими один в другой у ворот легкого. Висцеральная плевра покрывает легкие; париетальная - боковые стенки грудной клетки, диафрагму и ограничивает средостение. Рис. Б.
- 13 **Купол плевры, cupula pleurae.** Покрывает верхушку легкого и является границей между шейей и грудной клеткой. Рис. Б.
- 14 **Висцеральная (легочная) плевра, pleura visceralis (pulmonale).** Покрывает легкие и заходит в междолевые щели. Рис. Б, В.

- 15 **Париетальная плевра, pleura parietalis.** Серозный покров стенок грудной полости. Состоит из трех частей. Рис. Б, В.
- 16 **Медиастинальная часть (медиастинальная плевра), pars mediastinalis.** Ограничивает средостение, расположенное между легкими. Рис. Б, В.
- 17 **Реберная часть (реберная плевра), pars costalis.** Покрывает внутреннюю поверхность ребер. Рис. Б, В.
- 18 **Диафрагмальная часть (диафрагмальная плевра), pars diaphragmatica.** Покрывает диафрагму. Рис. Б.
- 19 **Плевральные синусы, recessus pleurales.** Щелевидные пространства, образованные париетальной плеврой, в которые легкое заходит во время вдоха.
- 20 **Реберно-диафрагмальный синус, recessus costodiaphragmaticus.** Расположен между боковой стенкой грудной полости и диафрагмой. Рис. Б.
- 21 **Реберно-медиастинальный синус, recessus costomediastinalis.** Расположен в переднем отделе грудной полости между реберной и медиастинальной частями париетальной плевры. Выражен больше слева. Рис. В.
- 22 **Диафрагмомедиастинальный синус, recessus phrenicomediastinalis.** Расположен в дорсальном отделе грудной клетки между диафрагмальной и медиастинальной частями париетальной плевры.
- 23 **Легочная связка, lig. pulmonale.** Состоит из двух листов медиастинальной плевры, которые идут ниже корня легкого от латеральной поверхности пищевода к медиальной поверхности легкого и переходят в висцеральную плевру. Рис. Б. См. с. 149, рис. Б, Г.
- 24 **Средостение, mediastinum.** Область грудной полости, расположенная между двумя плевральными мешками. Спереди ограничена задней поверхностью грудины, сзади - передней поверхностью позвоночного столба. Рис. Б.
- 25 **Верхнее средостение, mediastinum superior.** Часть средостения, расположенная выше сердца. Содержит дугу аорты с ее ветвями, плечеголовые вены, верхнюю полую вену, трахею, пищевод, блуждающие нервы, грудной проток, вилочковую железу и др. Рис. Б.
- 26 **Нижнее средостение, mediastinum inferior.** Состоит из трех частей.
- 27 **Переднее средостение, mediastinum anterior.** Находится между перикардом и грудиной. Рис. В.
- 28 **Среднее средостение, mediastinum medium.** Содержит сердце с перикардом, сосуды и диафрагмальные нервы Рис. В.
- 29 **Заднее средостение, mediastinum posterius.** Расположено между перикардом и позвоночным столбом. Содержит пищевод, блуждающие нервы, нисходящую часть аорты, грудной проток, непарную и непарную вены Рис. В.

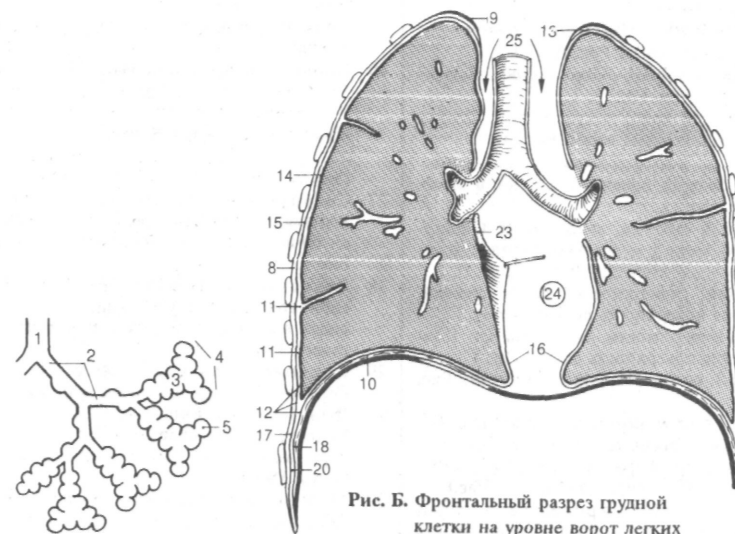


Рис. Б. Фронтальный разрез грудной клетки на уровне ворот легких

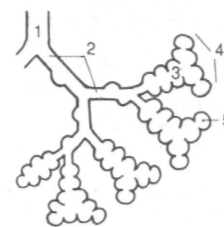


Рис. А. Бронхиолы и альвеолярные ходы (схема)

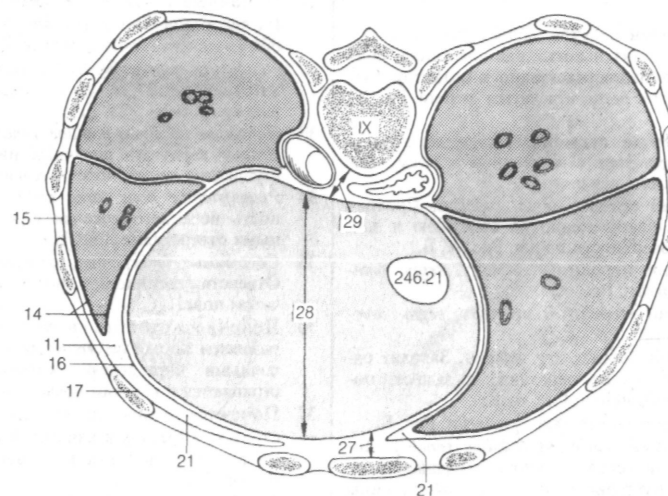


Рис. В. Горизонтальный разрез грудной клетки на уровне девятого грудного позвонка (вид снизу)

- 1 МОЧЕПОЛОВОЙ АППАРАТ (МОЧЕПОЛОВАЯ СИСТЕМА), *apparatus urogenitalis (systema urogenitale)*.
- 2 МОЧЕВЫЕ ОРГАНЫ, *organa urinaria*
- 3 Почки, *ren (nephros)*. Рис. А, Б, Е.
- 4 Латеральный край, *margo lateralis*. Выпуклый край почки. Рис. А.
- 5 Медиальный край, *margo medialis*. Вогнут на уровне почечных ворот. Рис. А.
- 6 Почечные ворота, *hilum renale*. Место входа и выхода почечных сосудов и мочеточника. Рис. А.
- 7 Почечная пазуха, *sinus renalis*. Обширное углубление у медиального края, в которое переходят почечные ворота. Рис. Б, Г.
- 8 Передняя поверхность, *facies anterior*. Выпуклая поверхность почки. Рис. А, Г.
- 9 Задняя поверхность, *facies posterior*. Почти плоская поверхность почки. Рис. Г.
- 10 Верхний полюс, *extremitas superior*. Рис. А, Б.
- 11 Нижний полюс, *extremitas inferior*. Рис. Б.
- 12 Почечная фасция, *fascia renalis*. Два листка брюшинной фасции, которые охватывают почку и ее жировую капсулу. Рис. Г.
- 13 Околопочечное жировое тело, *corpus adiposum pararenale*. Расположено между задним листком почечной фасции и *fascia transversalis*. Рис. Г.
- 14 Жировая капсула, *capsula adiposa*. Более выражена с заднемедиальной стороны почки. Рис. Г.
- 15 Фиброзная капсула, *capsula fibrosa*. Плотная соединительнотканная пластинка, прилегающая непосредственно к веществу почки. Может легко отделяться от него. Рис. Г, Е.
- 16 Почечные сегменты, *segmenta renalia*. В соответствии с ветвлением а. *renalis* выделяют пять сегментов.
- 17 Верхний сегмент, *segm. superius*. Проецируется одновременно на переднюю и заднюю поверхности почки. Рис. А, Б.
- 18 Верхний передний сегмент, *segm. anterior superius*. Рис. А.
- 19 Нижний передний сегмент, *segm. anterior inferius*. Рис. А.
- 20 Нижний сегмент, *segm. inferius*. Заходит одновременно на переднюю и заднюю поверхности почки. Рис. А, Б.
- 21 Задний сегмент, *segm. posterius*. Рис. Б.
- 22 Почечный каналец, *tubulus renalis*. Микроскопическая трубочка, входящая в состав структурно-функциональной единицы почек - нефрона. В нем осуществляется фильтрация и избирательная реабсорбция. Рис. В.
- 23 [[Извитые почечные канальцы, *tubuli renales contorti*]]. Извитые части почечного канальца. Рис. В.
- 24 [[Прямые канальцы, *tubuli renales recti*]]. Рис. В.
- 25 Почечные доли, *lobi renales*. Формируются почечными пирамидами и соответствующими им участками коркового вещества. Хорошо различаются только у новорожденных.
- 26 Корковое вещество почки, *cortex renalis*. Имеет толщину примерно 6 мм, состоит из клубочков и, главным образом, извитых почечных канальцев. В виде почечных столбов распространяется до стенки лоханки. Рис. Е.
- 27 Свернутая часть, *pars convoluta*. Участок коркового вещества почки, состоящий из клубочков и извитых почечных канальцев. Рис. Е.
- 28 Лучистая часть, *pars radiata*. Образована собирательными трубками, которые заходят в корковое вещество почки из мозгового. Рис. Е.
- 29 Кортиковые дольки, *lobuli corticales*. Ограничены междолевыми артериями.
- 29а Лучи мозгового вещества, *radii medullares*. Отходят от мозгового вещества почки к корковому. Содержат собирательные трубочки. Рис. Е.
- 30 Мозговое вещество почки, *medulla renalis*. Образовано почечными пирамидами, в состав которых входят прямые участки почечных канальцев, восходящая и нисходящая части петли Генле, собирательные трубочки. Рис. Е.
- 31 Почечные пирамиды, *pyramides renales*. Их число колеблется от 6 до 20. Между собой разделены почечными столбами. Рис. Е.
- 32 Основание пирамиды, *basis pyramidis*. Находится на границе между мозговым и корковым веществом. Рис. Е.
- 33 Почечные сосочки, *papillae renales*. Закругленные верхушки почечных пирамид, выступающие внутрь почечных чашек. Рис. Е.
- 34 Решетчатое поле, *area cribrosa*. Поверхность почечного сосочка с многочисленными отверстиями. Рис. Е.
- 35 Сосочковые отверстия, *foramina papillaria*. Отверстия сосочковых протоков на решетчатом поле.
- 36 Почечные столбы, *columnae renales*. Образованы корковым веществом между почечными пирамидами, которые распространяются к воротам почки. Рис. Е.
- 37 Почечное тельце, *corpusculum renale*. Состоит из клубочка и капсулы и расположено в свернутой части коркового вещества почки. Рис. Д.
- 38 Клубочек, *glomerulus*. Извитой капиллярный сосуд, расположенный внутри почечного тельца. Рис. Д.
- 39 Капсула клубочка [[Боумена]], *capsula glomeruli* [[Bowman]]. Окружает капиллярный клубочек почечного тельца и продолжается в проксимальный извитой каналец. Рис. Д.

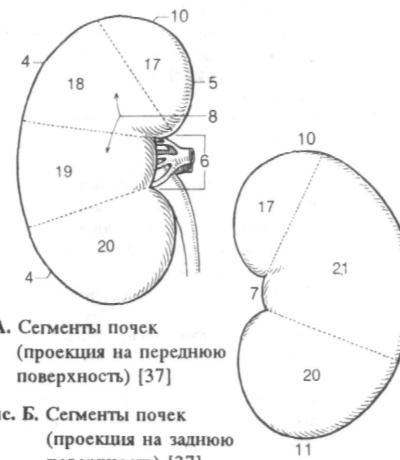


Рис. А. Сегменты почек (проекция на переднюю поверхность) [37]

Рис. Б. Сегменты почек (проекция на заднюю поверхность) [37]

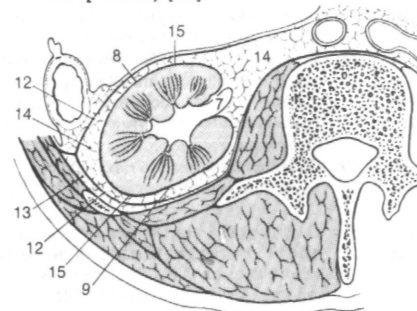


Рис. Г. Поперечный срез почек in situ

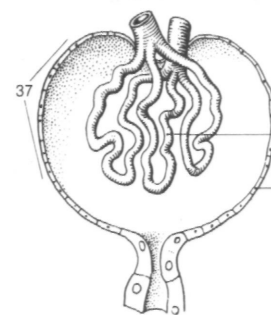


Рис. Д. Клубочек (полусхематично) [4]

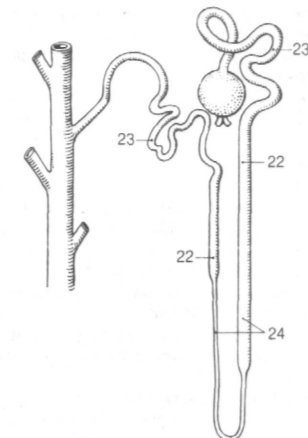


Рис. В. Строение нефрона (схема)

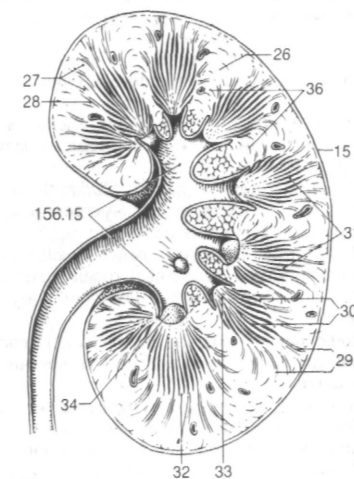


Рис. Е. Срез левой почки

- 1 Артерии почки, *aa. renales*.
- 2 Междольковые артерии, *aa. interlobares*. Проходят между пирамидами. Рис. Б.
- 3 Дуговые артерии, *aa. arcuatae*. Начинаются от междольковых артерий и следуют вдоль границы между корковым и мозговым веществом. Рис. Б.
- 4 Междольковые артерии, *aainterlobulares*. Радиально ориентированные ветви дуговых артерий между двумя мозговыми лучами. Рис. Б.
- 5 **Приносящая клубочковая артериола (приносящий сосуд), arteriola glomerularis afferens (vas afferens)**. Начинается от междольковой артерии, заходит в почечное тельце и формирует клубочек. Рис. Б.
- 6 **Вывозящая клубочковая артериола (вывозящий сосуд), arteriola glomerularis efferens (vas efferens)**. Выходит из клубочка и формирует капиллярную сеть вокруг извитых канальцев. Рис. Б.
- 7 **Капсулярные ветви, rami capsulares**. Небольшие артерии, проникающие из коркового вещества почки в капсулу. Рис. Б.
- 8 **Прямые артериолы (прямые сосуды), arteriolar rectae (vasa recta)**. Направляется от выносящих сосудов к капиллярной сети вокруг почечных трубочек или от дугообразных артерий к мозговому веществу почки. Рис. Б.
- 9 Вены почки, *v. renales*.
- 10 Междольковые вены, *v. interlobares*. Располагаются между почечными пирамидами. Рис. Б.
- 11 Дуговые вены, *v. arcuatae*. Расположены на границе между корковым и мозговым веществом почки. Рис. Б.
- 12 Междольковые вены, *v. interlobulares*. Сопровождают одноименные артерии. Рис. Б.
- 13 **Прямые венулы, venulae rectae**. Расположены в мозговом веществе и впадают в дугообразные вены. Рис. Б.
- 14 **Звездчатые вены, venulae stellatae**. Формируют подкапсулярную венозную сеть и впадают в междольковые вены. Рис. Б.
- 15 Почечная лоханка, *pelvis renalis*. Воронкообразный начальный отдел мочеточника, расположенный в почечной пазухе. Рис. А.
- 16 Почечные чашки, *calices renales*. Различной длины трубчатые выросты почечной лоханки. Рис. А.
- 17 Большие почечные чашки, *calices renales majores*. Два - три первичных трубчатых ответвления почечной лоханки. Рис. А.
- 18 Малые почечные чашки, *calices renales minores*. От семи до тринадцати ответвлений больших почечных чашек, каждое из которых охватывает почечный сосочек. Рис. А.
- 19 **МОЧЕТОЧНИК, ureter**. Соединяет по-

- 20 чечную лоханку с мочевым пузырем. Расположен забрюшинно и состоит из двух частей. Рис. А, В.
- 20 Брюшная часть, *pars abdominalis*. Расположена между почечной лоханкой и пограничной линией входа в малый таз.
- 21 Тазовая часть, *pars pelvica*. Находится между пограничной линией и мочевым пузырем.
- 22 Адвентициальная оболочка, *tunica adventitia*. Наружная соединительнотканная оболочка мочеточника, которая связывает его с окружающими тканями и обеспечивает подвижность. Рис. В.
- 23 Мышечная оболочка, *tunica muscularis*. Мышечный слой стенки мочеточника. Рис. В.
- 24 Слизистая оболочка, *tunica mucosa*. Состоит из переходного эпителия и соединительной ткани. Рис. В.
- 25 **МОЧЕВОЙ ПУЗЫРЬ, vesica urinaria**. Вмещает 300 - 500 мл мочи. Рис. Г.
- 26 **Верхушка пузыря, apex vesicae (vesicalis)**. Направлена вверх и вперед. Рис. Г.
- 27 Тело пузыря, *corpus vesicae*. Расположено между дном и верхушкой. Рис. Г.
- 28 Дно пузыря, *fundus vesicae*. Направлено назад и вниз. Его нижняя часть, расположенная между мочеточниковыми отверстиями, лежит напротив верхушки мочевого пузыря. Рис. Г.
- 29 Шейка пузыря, *cervix vesicae*. Продолжается в мочеиспускательный канал. Рис. Г.
- 30 Срединная пупочная связка, *lig. umbilicale medianum*. Соединяет верхушку мочевого пузыря и пупок. Представляет собой заросший мочевой проток. Рис. Г.
- 31 Мочевой проток, *urachus*. Сообщение между клоакой и аллантоисом, существующее в эмбриогенезе.

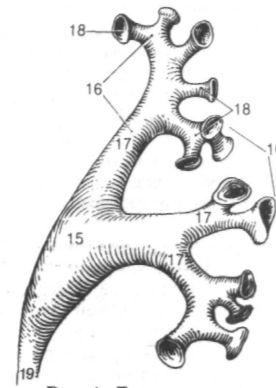


Рис. А. Левые почечные чашки и лоханка (вид спереди)

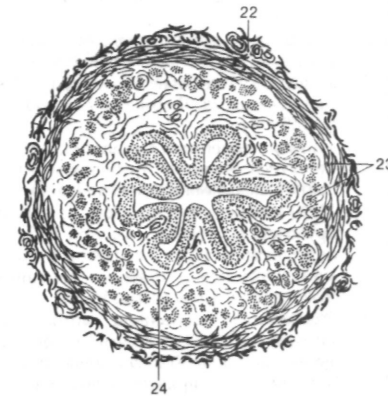


Рис. В. Микроскопическое строение мочеточника

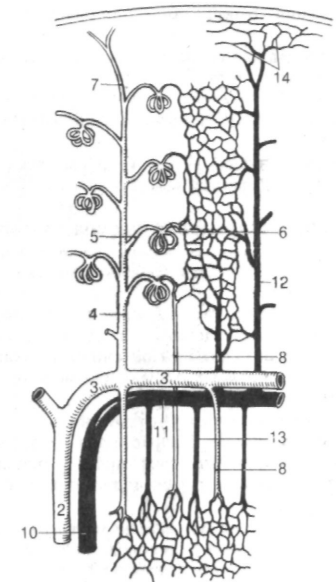


Рис. С. Почечные сосуды (схема)

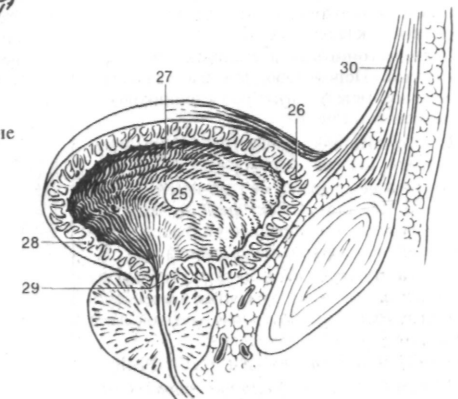


Рис. Г. Мужской мочевой пузырь на сагитальном разрезе таза

- 1 Серозная оболочка, *tunica serosa*. Брюшина, покрывающая мочевой пузырь. Рис. В.
- 2 Подсерозная основа, *tela subserosa*. Слой соединительной ткани под брюшиной. Рис. В.
- 3 Мышечная оболочка, *tunica muscularis*. Состоит из четырех частей.
- 4 Мышца, выталкивающая мочу, *rn. detrusor vesicae*. Находится в стенке пузыря. Состоит из внутреннего и наружного продольных слоев, между которыми расположен циркулярный мышечный слой. Рис. Б, В.
- 5 Лобково-пузырная мышца, *m. pubovesicalis*. Находится между нижней частью лобкового симфиза и шейкой мочевого пузыря. Рис. А.
- 6 Прямокишечно-пузырная мышца, *m. rectovesical*. Начинается от продольного мышечного слоя прямой кишки и заканчивается в боковых отделах дна мочевого пузыря. Рис. А.
- 7 Прямокишечно-уретральная мышца, *nurectourethralis*. Направляется от продольного мышечного слоя прямой кишки к стенке мужского мочеиспускательного канала. Рис. А.
- 8 Подслизистая основа, *tela submucosa*. Слой соединительной ткани под слизистой оболочкой мочевого пузыря. Отсутствует в области мочепузырного треугольника. Рис. В.
- 9 Слизистая оболочка, *tunica mucosa*. Покрыта переходным эпителием. Рис. В.
- 10 Треугольник мочевого пузыря, *trigonum vesicae*. Расположен между мочеточниковыми отверстиями и внутренним отверстием мочеиспускательного канала. В этой области *tunica mucosa* плотно срастается с мышечной оболочкой, поэтому на ней отсутствуют складки. Рис. Б.
- 11 Межмочеточниковая складка, *plica interureterica*. Поперечная складка слизистой оболочки между двумя мочеточниковыми отверстиями. Рис. Б.
- 12 Мочеточниковое отверстие, *ostium ureteris*. Имеет щелевидную форму. Рис. Б.
- 13 Внутреннее отверстие мочеиспускательного канала, *ostium urethrae internum*. Расположено на обращенной вперед вершине мочепузырного треугольника. Рис. Б.
- 14 Язычок пузыря, *uvula vesicae*. Находится позади внутреннего отверстия мочеиспускательного канала на уровне средней доли предстательной железы. Рис. Б.
- 15 ВНУТРЕННИЕ МУЖСКИЕ ПОЛОВЫЕ ОРГАНЫ, *organa genitalia masculina interna*.
- 16 Яичко, *testis (orchis)*. Имеет длину около 5 см. Рис. Г, Д.
- 17 Верхний конец, *extremitas superior*. Рис. Г.
- 18 Нижний конец, *extremitas inferior*. Рис. Г.
- 19 Латеральная поверхность, *facies lateralis*. Рис. Г.

- 20 Медиальная поверхность, *facies medialis*. Рис. Г.
- 21 Передний край, *margo anterior*. Свободный край яичка. Рис. Г.
- 22 Задний край, *margo posterior*. Частично покрыт брюшиной. С латеральной стороны к нему прилежит придаток. Рис. Г.
- 23 Влагалищная оболочка яичка, *tunica vaginalis testis*. Серозный покров яичка, который формируется из влагалищного отростка брюшины. См. 162. 1-6.
- 24 Белочная оболочка, *tunica albuginea*. Плотная соединительнотканная капсула яичка. Рис. Г.
- 25 Средостение яичка, *mediastinum testis*. Соединительнотканная пластинка, которая начинается от внутренней поверхности белочной оболочки и заднего края яичка и заходит в его паренхиму. Рис. Г.
- 26 Перегородки яичка, *septula testis*. Соединительнотканнные тяжи между средостением и белочной оболочкой яичка. Рис. Г, Д.
- 27 Дольки яичка, *lobuli testis*. Участки паренхимы между перегородками яичка. Рис. Г, Д.
- 28 Паренхима яичка, *parenchyma testis*. Состоит из семенных канальцев. Рис. Г.
- 29 Извитые семенные канальцы, *tubuli seminiferi contorti*. Формируют дольки яичка. Рис. Д.
- 30 Прямые семенные канальцы, *tubuli seminiferi recti*. Короткие трубочки между извитыми канальцами и сетью яичка. Рис. Д.
- 31 Сеть яичка, *rete testis*. Сеть из небольших трубочек, выстланных изнутри кубическим эпителием, которая находится в средостении яичка между прямыми семенными и выносящими канальцами. Рис. Д.
- 32 Выносящие канальцы яичка, *ductuli efferentes testis*. От десяти до двенадцати небольших протоков, соединяющих *rete testis* с протоком придатка яичка. Рис. Г, Д.

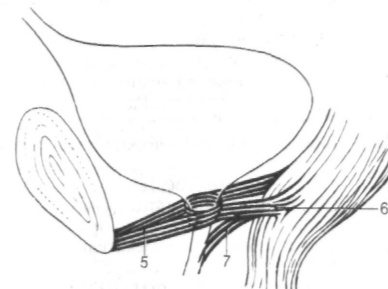


Рис. А. Мышцы шейки мочевого пузыря

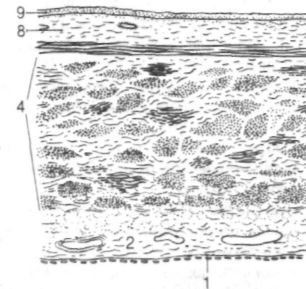


Рис. В. Микроскопическое строение стенки мочевого пузыря

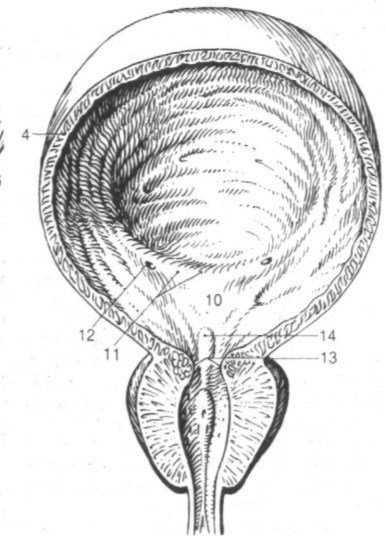


Рис. Б. Мочевой пузырь и предстательная железа на разрезе (вид спереди)

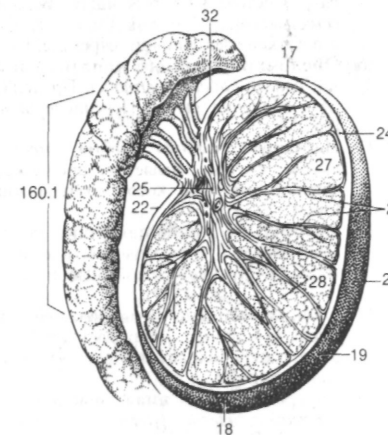


Рис. Г. Яичко и придаток яичка

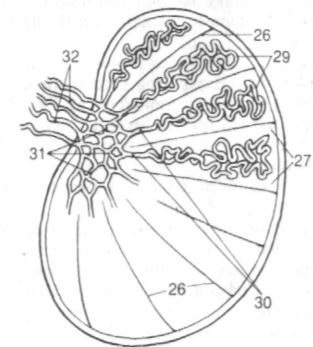


Рис. Д. Яичко (схема)

- 1 Придаток яичка, *epididymis*. Лежит вдоль залнемедиальной поверхности яичка. Служит резервуаром для накопления спермы. Рис. А.
- 2 Головка придатка яичка, *caput epididymitis*. Состоит из выносящих канальцев яичка. Рис. А.
- 3 Тело придатка яичка, *corpus epididymidis*. Средняя часть, образованная спирально свернутым протоком придатка яичка. Рис. А.
- 4 Хвост придатка яичка, *cauda epididymidis*. Расположен книзу от тела и состоит из витков спирали протока придатка яичка. Рис. А.
- 5 Дольки (конусы) придатка яичка, *lobuli (coni) epididymidis*. Имеют коническую форму дольки, входят в состав головки придатка и разделены между собой соединительной тканью. Каждую из них образуют один или два выносящих канальца яичка. Рис. А.
- 6 Проток придатка яичка, *ductus epididymidis*. Спирально свернутый проток, имеющий в расправленном состоянии длину 5 - 6 м. Начинается от головки придатка, из выносящих канальцев яичка и заканчивается в области хвоста, продолжаясь в семявыносящий проток. Рис. А.
- 7 Отклоняющиеся проточки, *ductuli aberrantes*. Слепые ответвления выносящих канальцев яичка и протока придатка. Являются остатками каудальных трубочек первичной почки.
- 8 [Верхний отклоняющийся проточек, *ductulus aberrans superior*]. Находится в головке придатка яичка.
- 9 [Нижний отклоняющийся проточек, *ductulus aberrans inferior*]. Находится в хвосте придатка яичка. Рис. А.
- 10 Привесок яичка, *appendix testis*. Везикулярное образование на верхнем полюсе яичка, рудимент парамезонефрального протока. Рис. А.
- 11 [Привесок придатка яичка, *appendix epididymidis*]. Находится у головки придатка яичка (остаток мезонефроса). Рис. А.
- 12 Придаток привеска яичка, *paradidymis*. Билатеральные слепые протоки. Расположены сверху от головки придатка и спереди от семенного канатика (остаток мезонефроса). Рис. А.
- 13 Семявыносящий проток, *ductus deferens*. Имеет длину около 60 см и расположен между придатком яичка и семенным пузырьком. Сначала находится в свернутом состоянии, а затем становится прямым. Рис. А, Б, Г, Д.
- 14 Ампула семявыносящего протока, *ampulla ductus deferentis*. Овальной формы расширенная часть протока, перед его соединением с протоком семенного пузырька. Рис. Б.
- 15 Дивертикул ампулы, *diverticulum ampullae*. Боковые выпячивания стенки ампулы семявыносящего протока. Рис. Б.

- 16 Адвентициальная оболочка, *tunica adventitia*. Соединительная ткань, окружающая семявыносящий проток снаружи. Рис. Д.
- 17 Мышечная оболочка, *tunica muscularis*. Относительно толстый слой, придающий стенке семявыносящего протока почти хрящевую плотность. Рис. Д.
- 18 Слизистая оболочка, *tunica mucosa*. Многоклеточный цилиндрический эпителий семявыносящего протока, его клетки снабжены стереоцилиями. Рис. Д.
- 19 Семявыбрасывающий проток, *ductus ejaculatorius*. Формируется при соединении *ductus deferens* и выделительного протока семенного пузырька, прободает предстательную железу и открывается в предстательную часть уретры. Рис. Б.
- 20 Семенной пузырек, *vesicula seminalis*. Представляет собой железу, которая состоит из свернутой трубочки длиной около 12 см. Ранее рассматривался только какместилище для спермы. Рис. Б, В.
- 21 Адвентициальная оболочка, *tunica adventitia*. Соединительнотканная оболочка семенного пузырька. Рис. В.
- 22 Мышечная оболочка, *tunica muscularis*. Мышечный слой стенки семенного пузырька. Рис. В.
- 23 Слизистая оболочка, *tunica mucosa*. Покрыта цилиндрическим эпителием с бокаловидными клетками. Образует многочисленные ветвящиеся складки. Рис. В.
- 24 Выделительный проток, *ductus excretorius*. Отходит от семенного пузырька, соединяется с *ductus deferens*, формируя семявыбрасывающий проток. Рис. Б.
- 25 [[Семенной канатик, *funiculus spermaticus*]]. Состоит из окруженных оболочками семявыносящего протока сосудов, нервов и остатков влагалищного отростка. Рис. Г.
- 26 Оболочки семенного канатика и яичка, *tunicae funiculi spermaticid*. Продолжаются в оболочки яичка. Перечислены ниже. Рис. Г.
- 27 Наружная семятая фасция, *fascia spermatica externa*. Является продолжением фасции наружной косой мышцы живота. Рис. Г.
- 28 Мышца, поднимающая яичко, *m. cremaster*. Является производным, преимущественно внутренней косой мышцы живота. Рис. Г.
- 29 Фасция мышцы, поднимающей яичко, *fascia cremasterica*. Покрывает соответствующую мышцу, заходит между ее мышечными волокнами. Рис. Г.
- 30 Внутренняя семенная фасция, *fascia spermatica interna* [[*tunica vaginalis communis*]]. Пальцевидное выпячивание поперечной фасции. Располагается под *m. cremaster* и покрывает яичко, придаток, семявыносящий проток, сосуды и нервы. Рис. Г.
- 31 [Следы влагалищного отростка, *vestigium processus vaginalis*]. Остаток эмбрионального влагалищного отростка брюшины. Рис. Г.

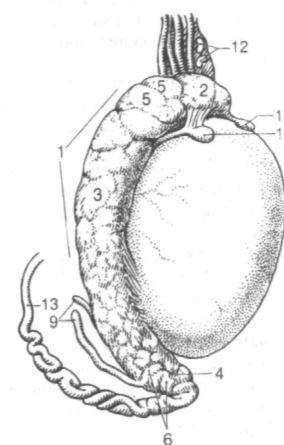


Рис. А. Яичко и придаток яичка

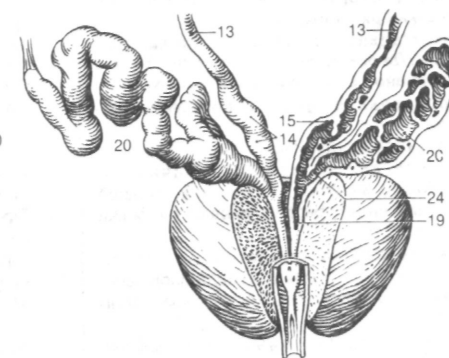


Рис. Б. Предстательная железа, семенные пузырьки и семявыносящие протоки (вид спереди) [73]



Рис. В. Микроскопическое строение семенного пузырька

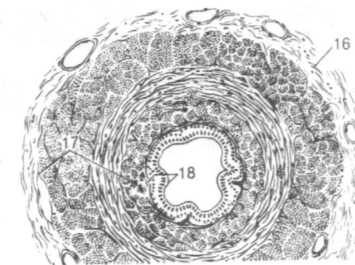


Рис. Д. Микроскопическое строение семявыносящего протока

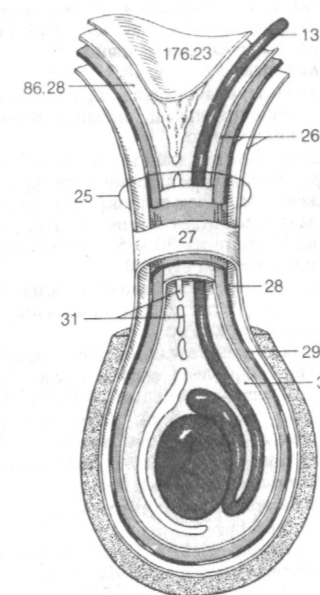


Рис. Г. Оболочки семенного канатика и яичка (схема)



- 1 Влагалищная оболочка яичка, *tunica vaginalis testis*. Двухслойный серозный покров яичка, формирующийся из влагалищного отростка брюшины. Рис. А.
- 2 Parietalная пластинка, *lamina parietalis* [[*periorchium*]]. Наружний листок влагалищной оболочки яичка. Рис. А.
- 3 Висцеральная пластинка, *lamina visceralis* [[*eporchium*]]. Серозный листок, покрывающий яичко. Рис. А.
- 4 Верхняя связка придатка яичка, *lig. epididymitis superius*. Складка влагалищной оболочки яичка, расположенная у головки придатка. Рис. А.
- 5 Нижняя связка придатка, *lig. epididymidis inferius*. Складка влагалищной оболочки яичка, расположенная у хвоста придатка. Рис. А.
- 6 Пазуха придатка яичка, *sinus epididymidis*. Щель между яичком и телом придатка и латеральной поверхностью яичка. Сверху и снизу ограничена связками придатка. Рис. А.
- 7 [[Опускание яичка, *descensus testis*]]. Перемещение яичек из брюшной полости через паховый канал в мошонку на последних неделях беременности.
- 8 [[Проводник яичка, *gubernaculum testis*]]. В эмбриогенезе развивается из каузальной гонадной связки. Представляет собой фиброзный тяж, обеспечивающий процесс опускания яичка.
- 9 [[Пахово-половая связка, *lig. genitoinguinale*]]. Эмбриональный предшественник проводника яичка.
- 10 Предстательная железа, *prostatea* (*glandula prostatica*). Имеет форму каштана. Расположена под мочевым пузырем и охватывает начальный отдел мочеиспускательного канала. Состоит из 30 - 50 трубчато-альвеолярных желез. Рис. Б, В, Г.
- 11 Основание предстательной железы, *basis prostatae*. Часть железы, прилежащая к мочевому пузырю. Рис. Б.
- 12 Верхушка предстательной железы, *apex prostatae*. Направлена вперед и вниз. Окружает мочеиспускательный канал. Рис. Б.
- 13 Передняя поверхность, *facies anterior*. Обращена к лобковому симфизу. Рис. Б, Г.
- 14 Задняя поверхность, *facies posterior*. Направлена к прямой кишке. Рис. Б.
- 15 Нижнелатеральная поверхность, *facies inferolateralis*. Рис. Г.
- 16 Доля (правая/левая), *lobus (dexter/sinister)*. Развиваются из каудальной закладки предстательной железы. Рис. Б, Г.
- 17 Перешеек предстательной железы, *isthmus prostatae*. Средняя часть, расположенная спереди от мочеиспускательного канала, которая соединяет две доли органа. Состоит из фиброзно-мышечной стромы и не содержит желез. Рис. Г.
- 18 [Средняя доля, *lobus medius*]. Расположена

между мочеиспускательным каналом и семявыбрасывающим протоком. Имеется тенденция к гормонпродуцирующей гипертрофии этой доли в пожилом возрасте, что может вызывать сужение просвета уретры. Рис. Б, Г.

19 Капсула предстательной железы, *capsula prostatica*. Тесно срастается с железой. Содержит неисчерченные мышечные волокна. Рис. Г.

20 Паренхима, *parenchyma*. Железистый компонент предстательной железы.

21 Предстательные проточки, *ductuli prostatici*. От 15 до 30 выводных протоков, которые открываются в предстательную часть мочеиспускательного канала. Рис. В.

22 Мышечное вещество, *substantia muscularis*. Гладкие мышечные волокна между железистыми дольками. Рис. В.

23 Лобково-предстательная мышца, *m. puboprostaticus*. Неисчерченные мышечные волокна в лобково-предстательной (лобково-пузырной) связке.

24 Бульбоуретральная железа [[Купера]], *glandula bulbourethralis* [[Cowper]]. Размером с горошину слизистая железа в толще мочеполовой диафрагмы. Рис. Д.

25 Проток бульбоуретральной железы, *ductus gl. bulbourethralis*. Имеет длину около 3-4 см. Рис. Д.

26 НАРУЖНЫЕ МУЖСКИЕ ПОЛОВЫЕ ОРГАНЫ, *organa genitalia masculina externa*. Рис. Д.

27 Половой член, *penis*. Сокоупительный орган, состоящий из пещеристых тел и мочеиспускательного канала. Рис. Д.

28 Корень полового члена, *radix penis*. Фиксируется к лобку. Рис. Д.

29 Тело полового члена, *corpus penis*. Находится между головкой и корнем. Рис. Д.

30 Ножка полового члена, *crus penis*. Пещеристое тело, которое прикрепляется к нижней ветви лобковой кости. Рис. Д.

31 Спинка полового члена, *dorsum penis*. Уплощенная верхняя поверхность полового члена.

32 Уретральная поверхность, *facies urethralis*. Нижняя поверхность полового члена. К ней прилежит мочеиспускательный канал, расположенный внутри губчатого тела. Рис. Д.

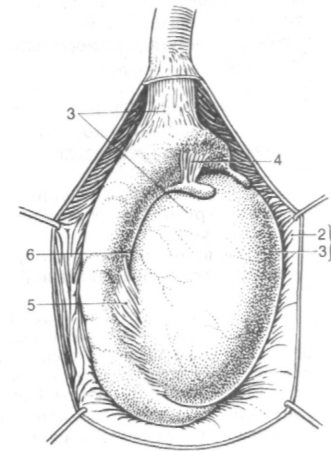


Рис. А. Правое яичко и придаток яичка с покрывающими их оболочками (вид с латеральной стороны)

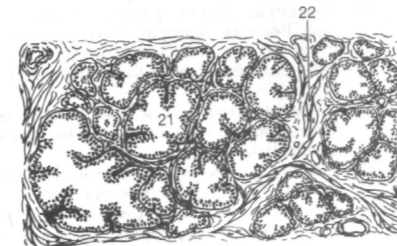


Рис. В. Микроскопическое строение предстательной железы

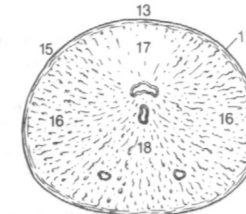


Рис. Г. Предстательная железа на горизонтальном срезе

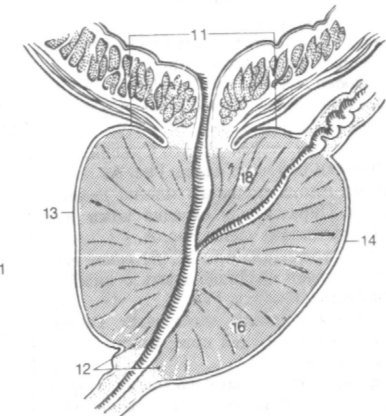


Рис. Б. Предстательная железа на сагитальном срезе

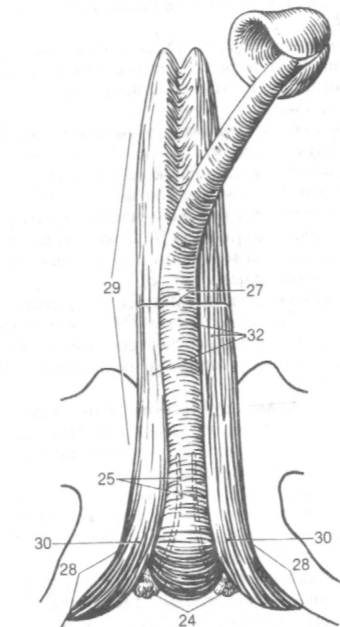


Рис. Д. Половой член (вид снизу)

- 1 Головка полового члена, *glans penis*. Расширенный конец губчатого тела полового члена. Рис. А, Г.
- 2 Венец головки, *corona glandis*. Выступающий задний край головки. Рис. А, Г.
- 3 Перегородка головки, *septum glandis*. Расположена по средней линии головки полового члена. Рис. В.
- 4 Шеюшка головки, *collum glandis*. Сужение позади головки полового члена. Рис. А.
- 5 Крайняя плоть полового члена, *preputium penis*. Циркулярная складка кожи над головкой полового члена. Рис. А.
- 6 Уздечка крайней плоти, *frenulum preputii*. Соединяет крайнюю плоть с нижней поверхностью головки. Рис. А.
- 7 Шов полового члена, *raphe penis*. Расположен на коже нижней поверхности полового члена. Рис. Б.
- 8 Пещеристое тело полового члена, *corpus cavernosum penis*. Парное образование. Отделены друг от друга перегородкой. Рис. А, Б, Г.
- 9 Губчатое тело полового члена, *corpus spongiosum penis*. Окружает мочеиспускательный канал. Рис. А, Б, Г.
- 10 Луковица полового члена, *bulbus penis*. Задний утолщенный конец губчатого тела. Рис. Г.
- 11 Белочная оболочка пещеристых тел, *tunica albuginea corporum cavernosorum*. Плотный соединительнотканый покров пещеристых тел. Рис. Б.
- 12 Белочная оболочка губчатого тела, *tunica albuginea corporis spongiosi*. По сравнению с белочной оболочкой пещеристых тел полового члена менее плотная. Рис. Б.
- 13 Перегородка полового члена, *septum penis* [*septum pectiniforme*]. Содержащая щели перегородка между правым и левым пещеристыми телами. Рис. Е.
- 14 Трабекулы пещеристых тел, *trabeculae corporum cavernosorum*. Соединительнотканые тяжи с неисчерченными мышечными волокнами внутри пещеристых тел. Рис. А, Б, Г.
- 15 Трабекулы губчатого тела, *trabeculae corporis spongiosi*. Соединительнотканые тяжи с отдельными неисчерченными мышечными волокнами. Рис. Б.
- 16 Ячейки пещеристых тел, *cavemae corporum cavernosorum*. Образуют широкаячестую, заполненную кровью, сеть пещеристых тел. Рис. Б, Г.
- 17 Ячейки губчатого тела, *cavemae corporis spongiosi*. Образуют мелкоячеистую, заполненную кровью, сеть. Рис. А, Б.
- 18 Завитковые артерии, *aa. helicinae*. Имеющие спиральный ход ветви глубокой артерии полового члена. Рис. Г.
- 19 Пещеристые вены, *vv. cavernosae*. Расширенные вены пещеристых тел.
- 20 Поверхностная фасция полового члена,

- fascia penis superficialis*. Тонкая подкожная фасция с отдельными гладкими мышечными волокнами. Соответствует мясистой оболочке мошонки. Рис. Б.
- 21 Глубокая фасция полового члена, *fascia penis profunda*. Покрывает пещеристые и губчатое тела. Рис. Б.
- 22 Железы крайней плоти, *g/L preputialis*. Сальные железы, расположенные, главным образом, в области венца головки полового члена.
- 23 Мужской мочеиспускательный канал (мужская уретра), *urethra masculina*. Составляет из трех частей. Рис. Г.
- 24 Предстательная часть, *pars prostatica*. Проходит внутри предстательной железы. Рис. Г.
- 25 Гребень мочеиспускательного канала (уретры), *crista urethralis*. Складка слизистой оболочки на заднее стенке предстательной части уретры, которая продолжается в язычок мочевого пузыря. Рис. Г.
- 26 Семенной холмик, *colliculus seminalis*. Возвышение на гребне мочеиспускательного канала с отверстиями семявыбрасывающих протоков. Рис. Г.
- 27 Предстательная маточка, *utriculus prostaticus*. Слепой мешочек внутри семенного холмика до 1 см глубины. Остаток парамезонефрального протока. Рис. Г.
- 28 Предстательная пазуха, *sinus prostaticus*. Борозда, которая находится по обе стороны от семенного холмика. Содержит отверстия предстательных протоков. Рис. Г.
- 29 Перепончатая часть, *pars membranacea*. Часть уретры на протяжении мочеполовой диафрагмы. Рис. Г.
- 30 Губчатая часть, *pars spongiosa*. Находится в губчатом теле полового члена. Рис. Г.
- 31 Ладьевидная ямка мочеиспускательного канала (уретры), *fossa navicularis urethrae*. Овальной формы расширение вблизи наружного отверстия мочеиспускательного канала. Рис. А, Г.
- 32 [Заслонка ладьевидной ямки, *valvula fossae navicularis*]. Складка слизистой оболочки на верхней стенке ладьевидной ямки.
- 33 Наружное отверстие мочеиспускательного канала (уретры), *osrium urethrae externum*. Рис. Г.
- 34 Лакуны мочеиспускательного канала (уретры), *lacunae urethrales*. Многочисленные углубления на слизистой оболочке, в которые открываются железы уретры. Рис. Г.
- 35 Железы мочеиспускательного канала (уретры), *g/L urethrales*. Выделяют слизь и открываются в лакуны уретры.
- 36 Парауретральные протоки (каналы), *ductus (canales) paraurethrales*. Выводные протоки уретральных желез, которые открываются вблизи наружного отверстия мочеиспускательного канала.

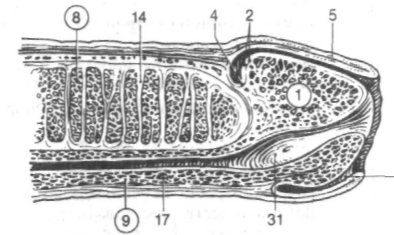


Рис. А. Передний отдел полового члена на продольном срезе

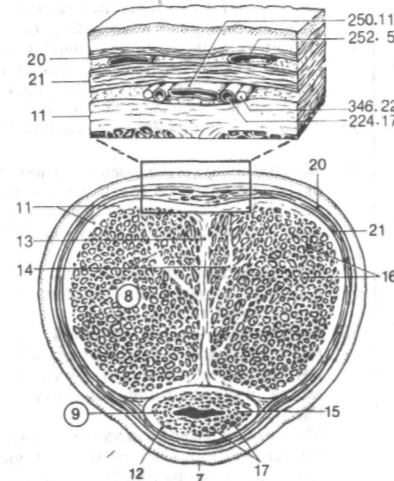


Рис. Б. Строение полового члена на поперечном срезе

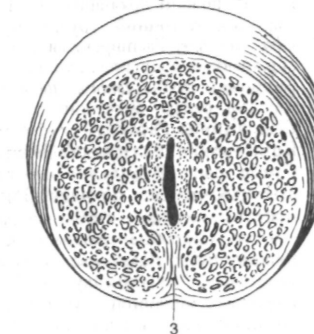


Рис. В. Головка полового члена на поперечном срезе

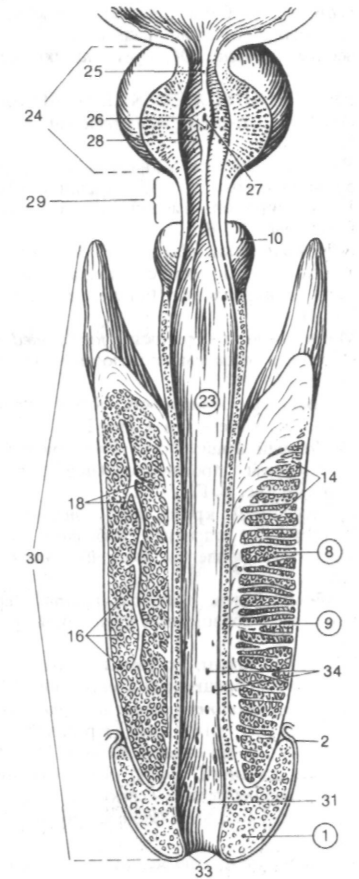


Рис. Г. Половой член, предстательная железа, основание мочевого пузыря и вскрытая на всем протяжении уретра

- 1 **Мошонка**, *scrotum*. Сумка, содержащая оба яичка. Рис. А.
- 2 **Шов мошонки**, *raphe scroti (scrotalis)*. Расположен по средней линии на коже мошонки. Рис. Л.
- 3 **Перегородка мошонки**, *septum scroti (scrotale)*. Соединительнотканная пластинка, расположенная в срединной плоскости внутри мошонки. Рис. А.
- 4 **Мясистая оболочка, мышца**, *tunica muscuius dartos*. Слой подкожной клетчатки, содержащий гладкие мышечные и эластические волокна. Образует складки кожи мошонки. Рис. А.
- 5 **ВНУТРЕННИЕ ЖЕНСКИЕ ПОЛОВЫЕ ОРГАНЫ**, *organa genitalia feminina interna*. Рис. Б, В, Г.
- 6 **Яичник**, *ovarium*. Миндалевидной формы орган, примерно 2,5 - 4,5 см длиной и 0,5 - 1 см шириной. Расположен в полости брюшины. Рис. В, Г.
- 7 **Ворота яичника**, *hilum ovarii*. Место входа и выхода яичниковых сосудов, а также область **прикрепления брыжейки яичника**. Рис. В.
- 8 **Медиальная поверхность**, *facies medialis*. Обращена медиально к полости малого таза. Рис. Г.
- 9 **Латеральная поверхность**, *facies lateralis*. Обращена к стенке таза. Рис. Г.
- 10 **Свободный край**, *mar go liber*. Находится со стороны, противоположной воротам яичника. Рис. В, Г.
- 11 **Брыжеечный край**, *margo mesovaricus*. Расположен напротив свободного края. Место прикрепления брыжейки яичника. Рис. Г.
- 12 **Трубный конец**, *extremitas tubaria*. Верхний полюс, обращенный к маточной трубе. Рис. Г.
- 13 Маточный конец, *extremitas uterina*. Нижний полюс, обращенный к матке. Рис. Г.
- 14 **Белочная оболочка**, *tunica albuginea*. Тонкая капсула органа под герминативным эпителием, покрывающим яичник. Рис. В.
- 15 **Строма яичника**, *stroma ovarii*. Соединительнотканная основа коркового вещества. Содержит большое количество клеток. Рис. В.
- 16 Корковое вещество яичника, *cortex ovarii*. Содержит фолликулы различной степени зрелости. Рис. В.
- 17 **Мозговое вещество яичника**, *medulla ovarii*. Богатая сосудами центральная область органа. Рис. В.
- 18 **Первичные яичниковые фолликулы**, *folliculi ovarici primarii*. Лишенные просвета структуры, состоящие из яйцеклетки и окружающего ее одного слоя фолликулярных клеток. Рис. В.
- 19 **Везикулярные яичниковые фолликулы**, *folliculi ovarici vesiculosi*. За-

полненные жидкостью пузырьки, каждый из которых содержит зрелую яйцеклетку. Рис. Б, В.

- 20 [[Тека (оболочка) фолликула, *theca folliculi*]]. Специфическая соединительнотканная оболочка фолликулов. Состоит из наружного и внутреннего слоев. Рис. Б.
- 21 **Наружная тека**, *theca externa*. Фиброзный, с небольшим количеством сосудов, слой оболочки фолликула. Рис. Б.
- 22 **Внутренняя тека**, *theca interna*. Состоит из плотно расположенных клеток и большого количества сосудов. В зрелых фолликулах клетки этого слоя продуцируют эстрадиол. Рис. Б.
- 23 Фолликулярный эпителий (зернистый слой), *epithelium folliculare (stratum granuloseum)*. Образован несколькими слоями фолликулярных клеток. Рис. Б.
- 24 **Яйценосный бугорок**, *cumulus oophorus (ovifer)*. Состоит из фолликулярных клеток, окружающих яйцеклетку. Выступает в просвет граафова фолликула. Рис. Б, В.
- 25 **Овоцит**, *ovocytus*. Яйцеклетка. Рис. Б.
- 26 **Желтое тело**, *corpus luteum*. Развивается из фолликулярных клеток и клеток внутренней теки разорвавшегося фолликула. Обладает гормонпродуцирующей активностью. Рис. В.
- 27 **Беловатое тело**, *corpus albicans*. Образуется в результате замещения желтого тела соединительной тканью. Рис. В.
- 28 **Собственная связка яичника**, *lig. ovarii proprium [chorda uteroovarica]*. Соединяет маточный конец яичника с маткой. Развивается из каудальной гонадной складки. Рис. Г.
- 29 **Маточная труба (фаллопиева)**, *tuba uterina (salpinx)*. Идет от матки к яичнику. Имеет длину примерно 10 см. Рис. Г.
- 30 **Брюшное отверстие маточной трубы**, *ostium abdominale tubae uterinae*. Открывается в полость брюшины. Рис. Г.
- 31 **Воронка маточной трубы**, *infundibulum tubae uterinae*. Расширенный конец трубы, обращенный к яичнику. Рис. Г.
- 32 **Бахромки трубы**, *fimbriae tubae*. Отростки воронки вокруг брюшного отверстия маточной трубы. Рис. Г.
- 33 **Яичниковая бахромка**, *fimbria ovarica*. Самый длинный отросток воронки, который прикрепляется к яичнику. Рис. Г.
- 34 **Ампула маточной трубы**, *ampulla tubae uterinae*. Составляет латеральные 2/3 маточной трубы. Ее просвет уменьшается в направлении к перешейку. Рис. Г.
- 35 **Перешеек маточной трубы**, *isthmus tubae uterinae*. Самая узкая часть. Рис. Г.
- 36 **Маточная часть**, *pars uterina*. Часть трубы внутри стенки матки. Рис. Г.
- 37 **Маточное отверстие трубы**, *ostium uterinum tubae*. Открывается в полость матки. Рис. Г.

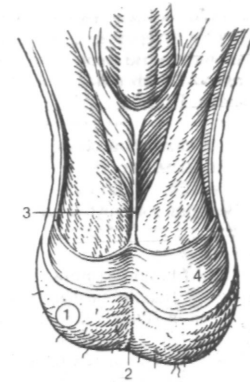


Рис. А. Мошонка (вид спереди)

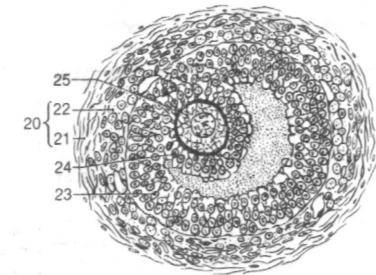


Рис. Б. Микроскопическое строение фолликула

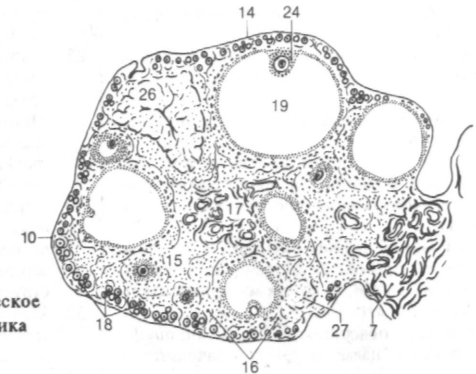


Рис. В. Микроскопическое строение яичника

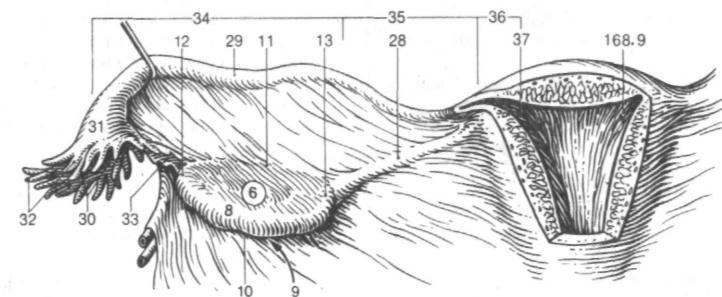


Рис. Г. Маточная труба, яичник и матка (вид сзади)

- 1 Серозная оболочка, *tunica serosa*. Брюшина, покрывающая маточную трубу. Рис. Б.
- 2 Подсерозная основа, *tela subserosa*. Слой соединительной ткани, расположенный под серозной оболочкой маточной трубы. Рис. Б.
- 3 Мышечная оболочка, *tunica muscularis*. Слой гладких мышечных волокон маточной трубы. Рис. Б.
- 4 Слизистая оболочка, *tunica mucosa*. Покрыта цилиндрическим реснитчатым эпителием с секреторными клетками. Образует многочисленные складки. Рис. Б.
- 5 Трубные складки, *plicae tubariae (tubales)*. Многочисленные ветвящиеся складки слизистой оболочки, которые в отдельных местах полностью перекрывают просвет маточной трубы. Рис. Б.
- 6 Матка, *uterus [metra]*. Имеет длину около 7,5 см. Рис. А, В.
- 7 Тело матки, *corpus uteri*. Находится между шейкой и дном. Содержит полость, уплощенную в переднезаднем направлении. Рис. В.
- 8 Дно матки, *fundus uteri*. Куполообразная часть выше отверстий маточных труб. Рис. В.
- 9 Рог матки правый/левый, *cornu uteri dextrum/sinistrum*. Небольшое выпячивание полости у маточного отверстия трубы. Образуется в результате неполного сращения парамезонефральных протоков. См. с. 167, рис. Г.
- 10 Край матки правый/левый, *marginis dexter et sinister*. Закругленный латеральный край матки, к которому прикрепляется *lig. latum uteri*. Рис. А.
- 11 Кишечная поверхность, *facies intestinalis*. Направлена назад и вверх. Находится в контакте с кишечником. Рис. В.
- 12 Полость матки, *cavitas uteri*. Покрыта слизистой оболочкой. Рис. А, В.
- 13 Пузырная поверхность, *facies vesicalis*. Направлена вперед и вниз в сторону мочевого пузыря. Рис. В.
- 14 Перешеек матки, *isthmus uteri*. Расположен между телом и шейкой матки. Имеет длину около 1 см. Рис. В.
- 15 Шейка матки, *cervix uteri*. Нижняя треть матки, отделенная от тела перешейком. Имеет длину около 2,5 см. Рис. В.
- 16 Надвлагалищная часть шейки, *portio supravaginalis cervicis*. Окружена соединительной тканью. Рис. В.
- 17 Влагалищная часть шейки, *portio vaginalis cervicis*. Находится во влагалище и покрыта влагалищным эпителием. Рис. В.
- 18 Отверстие матки, *ostium uteri*. Открывается во влагалище. Имеет круглую форму у нерожавшей женщины и становится щелевидным после родов. Рис. В.

- 19 Передняя губа, *labium anterius*. Ограничивает маточное отверстие спереди. Рис. В.
- 20 Задняя губа, *labium posterius*. Ограничивает маточное отверстие сзади. Рис. В.
- 21 Канал шейки матки, *canalis cervicis uteri*. Цилиндрической формы полость внутри шейки матки. Рис. В.
- 22 Пальмовидные складки, *plicae palmatae*. Складки слизистой оболочки, похожие на листья пальмы. Рис. В.
- 23 Железы шейки (матки), *glandulae cervicales (uteri)*. Ветвящиеся трубчатые слизистые железы в слизистой оболочке шейки матки.
- 24 Параметрий (околоматочная клетчатка), *parametrium*. Соединительная ткань между двумя листками широкой связки матки. Рис. А.
- 25 Парацервикс (околошеечная клетчатка), *paracervix*. Расположена вокруг шейки матки и является продолжением параметрия.
- 26 Серозная оболочка (периметрий), *tunica serosa (perimetrium)*. Брюшина, покрывающая матку. Рис. А.
- 27 Подсерозная основа, *tela subserosa*. Слой соединительной ткани, расположенный под брюшиной, покрывающей матку. Рис. А.
- 28 Мышечная оболочка (миометрий), *tunica muscularis (myometrium)*. Толстый слой гладких мышечных волокон, имеющих спиральный ход. Рис. А.
- 29 Слизистая оболочка (эндометрий), *tunica mucosa (endometrium)*. Покрыта цилиндрическим эпителием, содержит железы. Подвергается изменениям на протяжении менструального цикла. Рис. А.
- 30 Маточные железы, *glandulae uterinae*. Простые трубчатые железы в слизистой оболочке матки. Рис. А.
- 31 Прямокишечно-маточная мышца, *m. rectouterina*. Гладкие мышечные волокна в составе одноименной складки. Рис. В.
- 32 Круглая связка матки, *lig. teres uteri*. В эмбриогенезе развивается из каудальной гонадной складки. Начинается от стенки матки вблизи маточной трубы, лежит между листками *lig. latum uteri*, проходит через паховый канал и заканчивается в толще большой половой губы. Рис. В.
- 33 [[Влагалищный отросток брюшины, *processus vaginalis peritonei*]]. Временно присутствующий в эмбриогенезе вырост брюшины, который проходит через паховый канал.

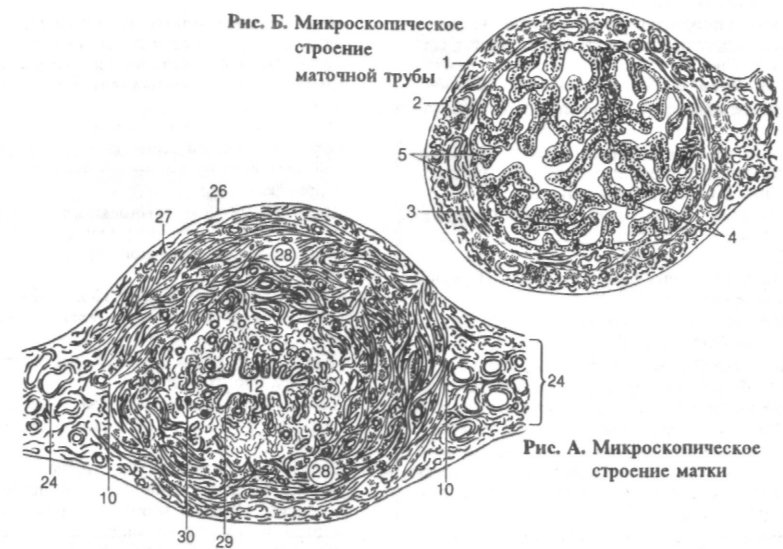


Рис. Б. Микроскопическое строение маточной трубы

Рис. А. Микроскопическое строение матки

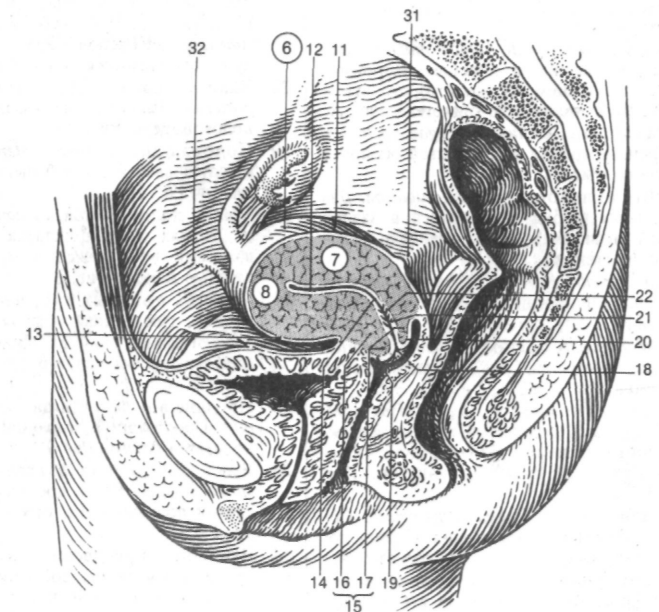


Рис. В. Средний сагиттальный разрез женского таза

- 1 Влагалище, *vagina*. Уплощенная трубка длиной около 10 см, в которую открывается отверстие матки. Рис. А.
- 2 Свод влагалища, *forix vaginae*. Расположен между шейкой матки и стенкой влагалища. Рис. А.
- 3 Передняя часть, *pars anterior*. Передняя, уплощенная часть свода влагалища. Рис. А.
- 4 Задняя часть, *pars posterior*. Задняя часть свода влагалища. Представляет клинический интерес в связи с близостью расположения к полости брюшины. Рис. А.
- 5 Боковая часть, *pars lateralis*. Содержит переднюю и заднюю части свода влагалища.
- 6 Передняя стенка, *paries anterior*. Передняя стенка влагалища. Рис. А.
- 7 Задняя стенка, *paries posterior*. Задняя стенка влагалища. Рис. А.
- 8 Девственная плева, *hymen*. Складка слизистой оболочки, которая начинается, преимущественно, от задней стенки влагалища и частично перекрывает вход в него. Рис. В.
- 9 Лоскуты девственной плевы, *sagunculae hymenales*. Остатки девственной плевы на стенке влагалища, сохраняющиеся после родов. Рис. А, Г.
- 10 Мышечная оболочка, *tunica muscularis*. Относительно тонкий слой гладких мышечных волокон. Рис. А.
- 11 Слизистая оболочка, *tunica mucosa*. Покрыта многослойным плоским неороговевающим эпителием, клетки которого содержат большое количество гликогена. Рис. А.
- 12 Влагалищные складки, *rugae vaginales*. Поперечные гребни на слизистой оболочке влагалища. Рис. А.
- 13 Столбы складок, *columnae rugarum*. Два продольных гребня на передней и задней стенках влагалища, образованные венозными сплетениями.
- 14 Задний столб складок, *colwnna rugarum posterior*. Расположен на задней стенке влагалища. Рис. А, Г.
- 15 Передний столб складок, *columna rugarum anterior*. Расположен на передней стенке влагалища. Рис. А, Г.
- 16 Уретральный киль влагалища, *carina urethralis vaginae*. Продольный гребень в нижней части переднего столба складок. Образован мочеиспускательным каналом. Рис. А, В, Г.
- 16а Губчатая оболочка, *tunica spongiosa*. Содержит сосудистые сплетения и расположена снаружи от *tunica muscularis*. Рис. А.
- 17 Придаток яичника, *epoорноп*. Рудимент мезонефроса, расположенный в брыжейке маточной трубы. Рис. Б.
- 18 Продольный проток придатка яичника, *ductus epoophorontis longitudinalis*. Остаток мезонефрального протока, расположенный в брыжейке маточной трубы. Рис. Б.
- 19 Поперечные проточки, *ductuli transversi*. Остатки 10-20 поперечных мезонеф-

ральных трубочек, которые открываются в продольный проток придатка яичника. Рис. Б.

- 20 Везикулярные привески, *appendices vesiculosae*. Расположенные вблизи воронки маточной трубы остатки мезонефральных канальцев, которые заканчиваются пузырьками. Рис. Б.

21 Околояичник, *paroophoron*. Расположен между самыми нижними ветвями яичниковой артерии. Рудимент каудальной части мезонефроса. Рис. Б.

22 [Остаточный семявыносящий проток, *ductus deferens vestigialis*]. Остаток эмбрионального мезонефрального протока у женщин.

23 НАРУЖНЫЕ ЖЕНСКИЕ ПОЛОВЫЕ ОРГАНЫ, *organa genitalia feminina externa*. Рис. В, Г.

24 Женская половая область, *puendum femininum*. Рис. В, Г.

25 Лобок, *mons pubis*. Жировая прокладка спереди и сверху лобкового симфиза. Рис. В.

26 Большая половая губа, *labium majus pudendi*. Складка кожи, снаружи покрытая волосами. Изнутри волосяных фолликулов меньше и кожа по внешнему виду напоминает слизистую оболочку. Рис. В.

27 Передняя спайка губ, *commissura labiorum anterior*. Расположена спереди и сверху по отношению к половой щели. Рис. В.

28 Задняя спайка губ, *commissura labiorum posterior*. Расположена кзади и книзу от половой щели. Рис. В.

29 Половая щель, *rima pudendi*. Находится между правой и левой большими половыми губами. Рис. В.

30 Малая половая губа, *labium minus pudendi*. Тонкая кожная складка, не покрытая волосами и содержащая многочисленные сальные железы. Рис. В.

31 Уздечка половых губ, *frenulum labiorum pudendi*. Поперечная кожная складка спереди от задней спайки. Образуется при соединении малых половых губ между собой. Рис. В.

32 Преддверие влагалища, *vestibulum vaginae*. Пространство, ограниченное малыми половыми губами. Рис. В.

33 Ямка преддверия влагалища, *fossa vestibuli vaginae*. Часть преддверия между уздечкой половых губ и отверстием влагалища. Рис. В.

34 Луковица преддверия, *bulbus vestibuli*. Эректильная ткань, соответствующая губчатому телу полового члена. Расположена, преимущественно, в основании больших половых губ. Рис. В.

35 Промежуточная часть [спайка] луковичи, *pars intermedia [commissura] bulborum*. Расположена между наружным отверстием уретры и клитором.

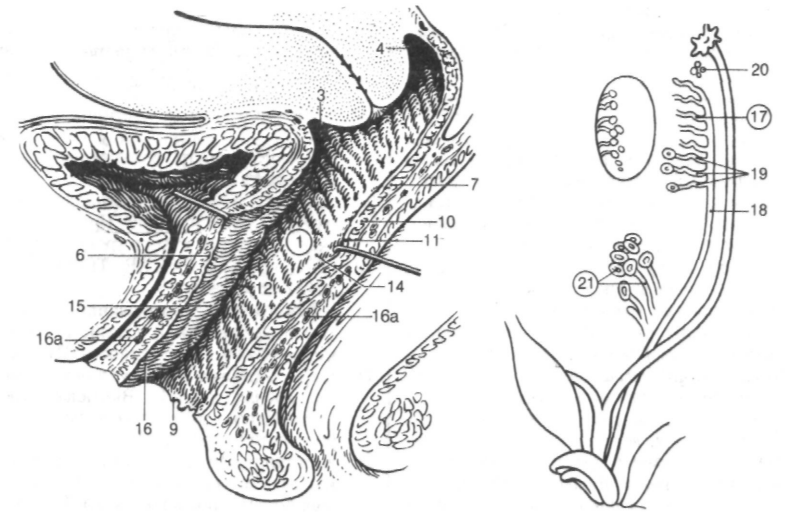


Рис. А. Мочевой пузырь, мочеиспускательный канал, влагалище, матка и прямая кишка на сагитальном разрезе таза  
Рис. Б. Эмбриональное развитие органов женской мочеполовой системы (схема)

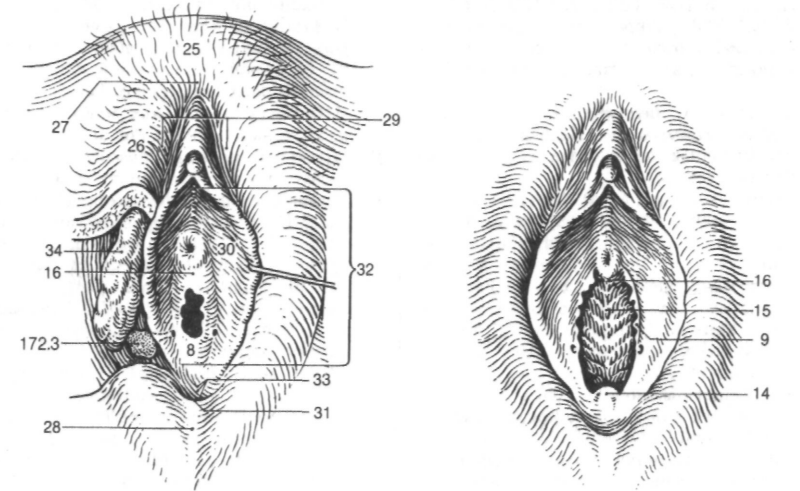


Рис. В. Наружные женские половые органы  
Рис. Г. Наружные женские половые органы



- 1 Отверстие влагалища, *ostium vaginae*. Открывается в преддверии. Рис. А.
- 2 Малые преддверные железы, *gL vestibulares minores*. Простые трубчатые слизистые железы у наружного отверстия уретры
- 3 Большая железа преддверия, [[бартолинова железа]], *gL vestibularis major* [[*Bartholini*]]. Размером с горошину слизистая железа, расположенная в заднем отделе мочеполовой диафрагмы. Ее проток открывается в нижней трети преддверия между малыми половыми губами и девственной плевой (или ее лоскутами). Рис. А.
- 4 Клитор, *clitoris*. Гомолог пещеристых тел полового члена. Расположен спереди от малых половых губ. Рис. А.
- 5 Ножка клитора, *crus clitoridis*. Прикрепляется к нижней ветви *os rubis*. Рис. А.
- 6 Тело клитора, *corpus clitoridis*. Формируется при соединении двух ножек. Рис. А.
- 7 Головка клитора, *glans clitoridis*. Имеющая форму желудя верхушка клитора, соединенная с луковицей преддверия. Рис. А.
- 8 Уздечка клитора, *frenulum clitoridis*. Формируется при соединении малых половых губ на нижней поверхности клитора. Рис. А.
- 9 Крайняя плоть клитора, *preputium clitoridis*. Формируется малыми половыми губами, которые соединяются между собой над головкой клитора. Рис. А.
- 10 ПЕЩЕРИСТОЕ ТЕЛО КЛИТОРА (ПРАВОЕ/ЛЕВОЕ), *corpus cavernosum clitoridis (dextrum/sinistrum)*. Состоит из эректильной ткани и входит в состав тела клитора. Рис. А.
- 11 Перегородка пещеристых тел, *septum corporum cavernosorum*. Неполная соединительнотканная перегородка между пещеристыми телами.
- 12 Фасция клитора, *fascia clitoridis*. Соединительнотканная наружная оболочка клитора.
- 13 Женский мочеиспускательный канал (женская уретра), *urethra feminina*. Имеет длину примерно 2,5 - 4 см. Рис. Г.
- 14 Наружное отверстие мочеиспускательного канала (уретры), *ostium urethrae externum*. Расположено на 2 - 3 см ниже клитора. Рис. А.
- 15 Мышечная оболочка, *tunica muscularis*. Состоит из циркулярных гладких мышечных волокон. Рис. Г.
- 16 Губчатая оболочка, *tunica spongiosa*. Богатая венозными сплетениями собственная пластинка слизистой оболочки, имеющая сходство с эректильной тканью. Рис. Г.
- 17 Слизистая оболочка, *tunica mucosa*. У мочевого пузыря покрыта переходным эпителием, который затем становится многослойным с участками многоядного цилиндрического. Рис. Г.
- 18 Железы мочеиспускательного канала

- ла (уретры), *gL urethrales*. Небольшие слизистые железы, открывающиеся в уретру. Рис. Г.
- 19 Лакуны мочеиспускательного канала уретры, *lacunae urethrales*. Карманы в слизистой оболочке, в которые открываются *glandulae urethrales*. Рис. Г.
- 20 [[Парауретральные протоки, *ductus paraurethrales*]]. Имеют длину 1 - 2 см и открываются в уретру возле ее наружного отверстия. Рис. Г.
- 21 Гребень мочеиспускательного канала (уретры), *crista urethralis*. Продольная складка вдоль задней стенки уретры. Рис. Г.
- 22 ОНТОГЕНЕТИЧЕСКИЕ ТЕРМИНЫ, *nomina ontogenetica*.
- 23 [[Децидуальные (отпадающие) оболочки, *membranae deciduae*]]. Слизистые оболочки матки во время беременности. Рис. В.
- 24 Parietalная децидуальная оболочка, *decidua parietalis*. Выстилает всю полость матки, за исключением места, где расположен зародыш. Рис. В.
- 25 Капсулярная децидуальная оболочка, *decidua capsularis*. Расположена между эмбрионом и полостью матки. Рис. В.
- 26 Базальная децидуальная оболочка, *decidua basalis*. Находится между эмбрионом и стенкой матки. Рис. В.
- 27 Плацента, *placenta*. Орган метаболического обмена между материнским организмом и плодом. Развивается из трофобласта и слизистой оболочки матки. Рис. Д.
- 28 [[Маточная или материнская часть, *pars uterina*]]. Часть плаценты, состоящая из базальной децидуальной оболочки и плацентарных перегородок. Рис. Д.
- 29 [[Плодная часть, *pars fetalis*]]. Состоит из хориона и амниона. Рис. Д.
- 30 Пупочный канатик, *funiculus umbilicalis*. Развивается из брюшного стебелька. Рис. Д.
- 31 Первичная почка (мезонефрос), *mesonephros*. Следующая за пронефросом филогенетическая генерация почки. Является предшественником метанефроса. Рис. Б.
- 32 Мезонефральный [[вольфов]] проток, *ductus mesonephricus* [[*Wolf*]]. Развивается из пронефроса. Из него формируется семявыносящий проток. Рис. Б.
- 33 Парамезонефральный [[мюллеров]] проток, *ductus paramesonephricus* [[*Muller*]]. Формируется из желобка целомического эпителия рядом с мезонефральным протоком. Из него развиваются маточные трубы, матка и часть влагалища. Рис. Б.
- 34 Первичный мочеполовой синус, *sinus urogenitalis primitivus*. Отдел клоаки спереди уроректальной перегородки. Из него развиваются нижняя часть мочевого пузыря, уретра и преддверие влагалища. Рис. Б.

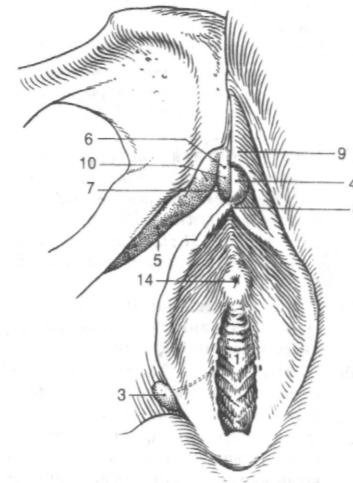


Рис. А. Наружные женские половые органы и лобковая кость

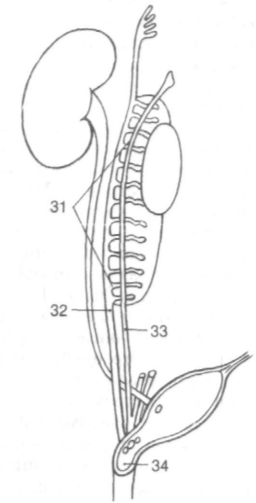


Рис. Б. Эмбриональное развитие органов женской мочеполовой системы (схема)

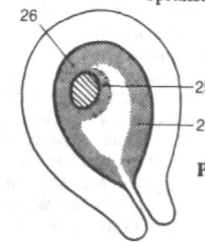


Рис. В. Беременная матка (схема)

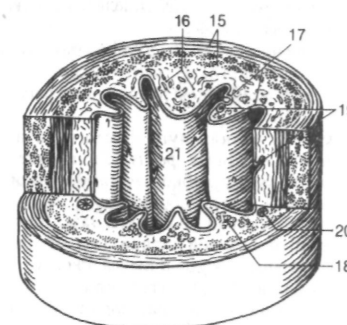


Рис. Г. Женская уретра

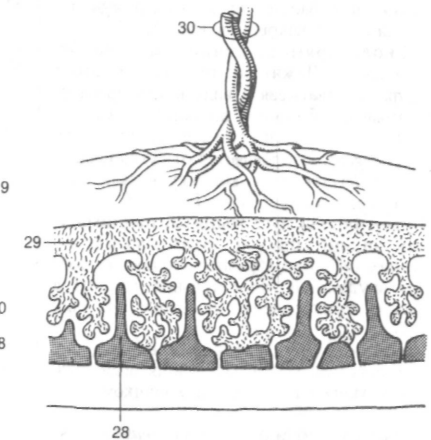


Рис. Д. Плацента (схема)



- 1 **ПРОМЕЖНОСТЬ, *perineum***. Область между задним проходом и наружными половыми органами.
- 2 **Шов промежности, *raphe perinealis***. Проходит по средней линии на коже промежности и продолжается в шов мошонки.
- 3 Мышцы промежности, *musculi perinei (perineales)*.
- 4 Сухожильный центр промежности, *centrum tendineum perinei*. Расположен между прямой кишкой и влагалищем (или мужской уретрой). Место соединения мышц промежности. Рис. А.
- 5 Диафрагма таза, *diaphragma pelvis*. Мышечное дно таза, которое формируется главным образом мышцей, поднимающей задний проход. Рис. А, Б.
- 6 Мышца, поднимающая задний проход, *m. levator ani*. Начинается от лобковой кости и фасции внутренней запирающей мышцы, заканчивается в области заднего прохода и заднепроходно-копчиковой связки. Соединяясь с одноименной мышцей противоположной стороны, формирует воронку, основание которой обращено вверх. Инн.: половой нерв и мышечные ветви крестцового сплетения (S 3 - 4). Рис. А, Б.
- 7 Лобково-копчиковая мышца, *m. pubococcygeus*. Направляется от лобковой кости к сухожильному центру, наружному сфинктеру заднего прохода и к копчику. Рис. А, Б.
- 8 Мышца, поднимающая предстательную железу (лобково-влагалищная мышца), *m. levator prostatae (m. pubovaginalis)*. Волокна *m. pubococcygeus*, вплетаясь в фасцию предстательной железы или стенку влагалища. Рис. А.
- 9 Лобково-прямокишечная мышца, *m. puborectalis*. Лежит кнутри от лобкового симфиза, охватывая в виде петли промежностный изгиб прямой кишки. Рис. А, Б.
- 10 Подвздошно-копчиковая мышца, *m. iliococcygeus*. Направляется от сухожильной дуги *m. levator ani* к копчику и заднепроходно-копчиковой связке. Рис. А, Б.
- 11 [Сухожильная дуга мышцы, поднимающей задний проход, *arcus tendineus m. levatoris ani*]. Дугообразное утолщение фасции внутренней запирающей мышцы в области прикрепления *m. levator ani*. Рис. А, Б.
- 12 Заднепроходно-копчиковая связка, *lig. apococcygeum*. Плотный фиброзный тяж между задним проходом и копчиком. Рис. А, В.
- 13 Копчиковая мышца, *m. coccygeus*. Волокна мышцы веерообразно расходятся от седалищной ости в направлении латеральной поверхности крестца и копчика. Часть из них присоединяется к крестцово-остистой связке. Инн.: мышечные ветви крестцового сплетения (S 4 - 5). Рис. А.
- 14 Наружный сфинктер заднего прохода, *m. sphincter ani externus*. Состоит из поперечнополосатых мышечных волокон. В нем различают три части. Инн.: половой нерв. Рис. Б, В.
- 15 Подкожная часть, *pars subcutanea*. Не имеет костной точки прикрепления. Охватывает задний проход и расположена снаружи от поверхностной части. Рис. Б, В. См. стр. 177, рис. Б.
- 16 Поверхностная часть, *pars superficialis*. Образована волокнами, идущими между сухожильным центром и заднепроходно-копчиковой связкой. Рис. Б, В.
- 17 Глубокая часть, *pars profunda*. Слой циркулярных волокон высотой 3 - 4 см. Рис. Б, В.
- 18 Фасция таза, *fascia pelvis*. Покрывает стенки и органы таза. Является продолжением поперечной фасции.
- 19 Париетальная фасция таза, *f. pelvis parietalis*. Часть фасции таза, которая покрывает его стенки. Рис. А, Б.
- 20 Запирающая фасция, *fascia obturatoria*. Утолщенная часть фасции таза, покрывающая внутреннюю запирающую мышцу. Рис. А, Б.
- 21 Висцеральная [внутритазовая] фасция таза, *fascia pelvis visceralis (fascia endopelvina)*. Часть фасции таза, покрывающая тазовые органы. Рис. Б.
- 22 Предстательная фасция, *f. prostatae*. Покрывает предстательную железу. Рис. В.
- 23 Брюшинно-промежностная фасция, *fascia peritoneoperinealis*. Общий термин для перечисленных ниже структур. См. 24 - 25.
- 24 Прямокишечно-пузырная перегородка, *septum rectovesical*. Расположена между прямой кишкой и мочевым пузырем. Рис. В.
- 25 Прямокишечно-влагалищная перегородка, *septum rectovaginale*. Отделяет прямую кишку от влагалища.
- 26 Верхняя фасция диафрагмы таза, *fascia diaphragmatis pelvis superior*. Покрывает верхнюю поверхность диафрагмы таза. Рис. Б.
- 27 Сухожильная дуга фасции таза, *arcus tendineus fasciae pelvis*. Утолщение *fascia pelvis* между лобковым симфизом и седалищной остью, образованное за счет сращения фасции со стенкой таза. Вдоль этой дуги от боковой стенки таза отходят висцеральные сосуды и нервы. Рис. А.
- 28 Лобково-предстательная (лобково-пузырная) связка, *lig. puboprostaticum (lig. pubovesicale)*. Соединяет лобковый симфиз с предстательной железой (у женщин - с шейкой мочевого пузыря). Состоит из соединительной ткани и гладких мышечных волокон. Рис. В.
- 29 Нижняя фасция диафрагмы таза, *fascia diaphragmatis pelvis inferior*. Покрывает *m. levator ani* со стороны седалищно-прямокишечной ямки. Рис. Б.

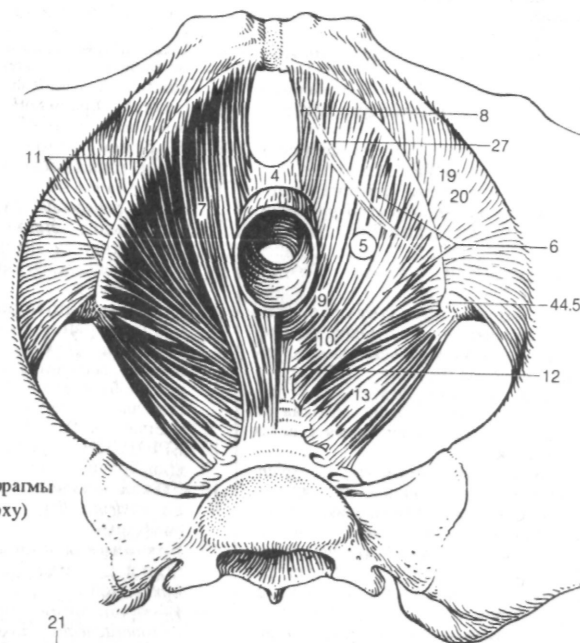


Рис. А. Мышцы диафрагмы таза (вид сверху)

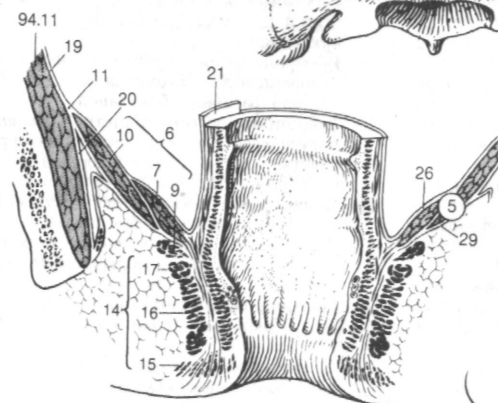


Рис. Б. Мышцы и фасции диафрагмы таза на фронтальном разрезе таза

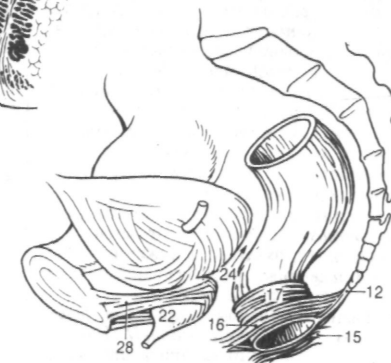
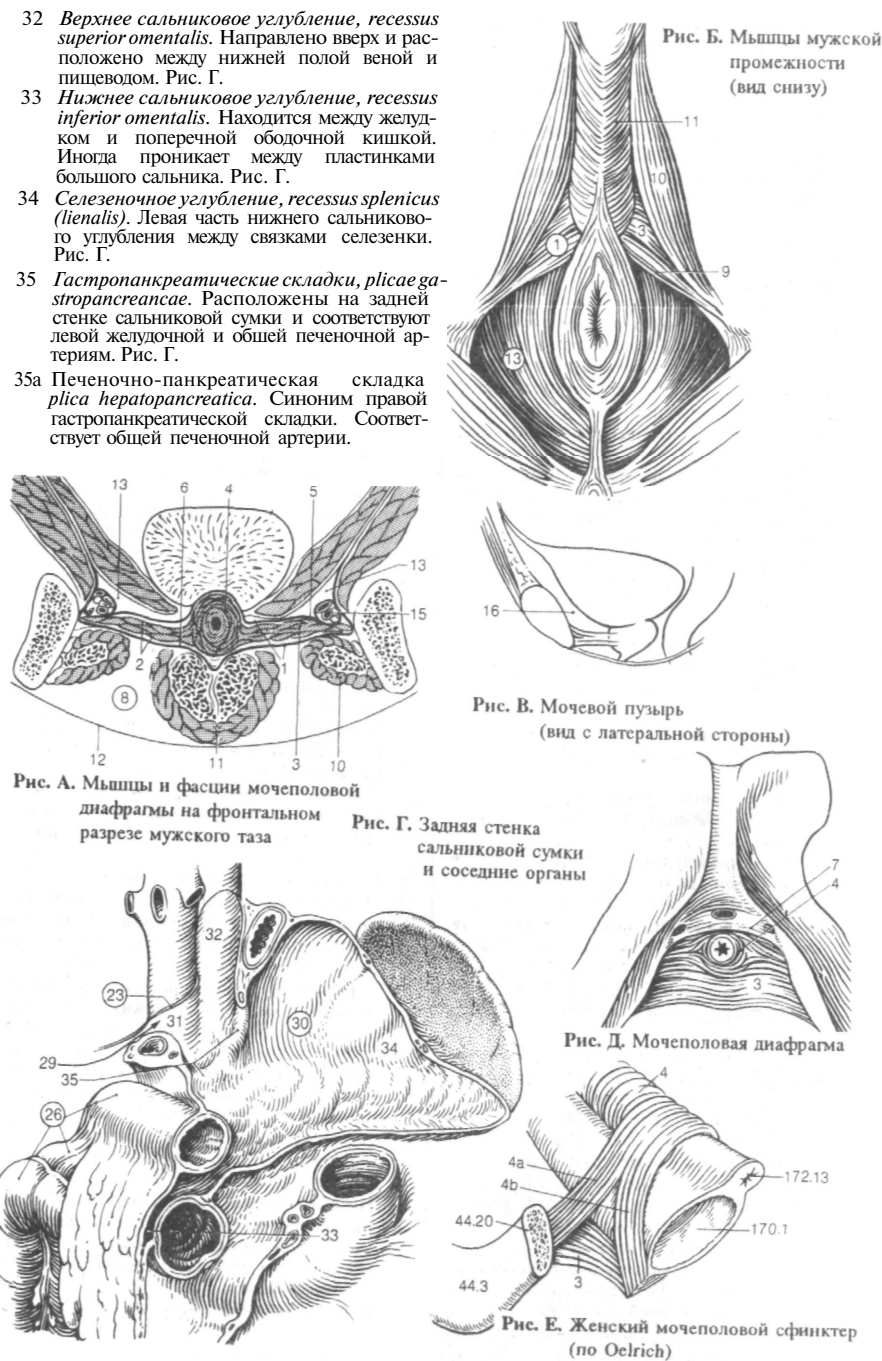


Рис. В. Органы малого таза мужчины

- 1 [[Мочеполовая диафрагма, *diaphragma urogenitale*]]. Фиброзно-мышечная стенка между нижними ветвями лобковых костей. Рис. А, Б, Д.
- 2 Глубокое пространство промежности, *spatium perinei profundum*. Расположено между верхней и нижней фасциями мочеполовой диафрагмы. Содержит глубокую поперечную мышцу промежности, сфинктер уретры, бульбоуретральные железы, сосуды и нервы полового члена. Рис. А.
- 3 Глубокая поперечная мышца промежности, *nutransversus perinei profundus*. Трапециевидная мышечная пластинка, заполняющая пространство, ограниченное лобковой дугой. Инн.: половой нерв. Рис. А, Б, Д.
- 4 Сфинктер мочеиспускательного канала, *m. sphincter urethrae*. Окружает перепончатую часть мочеиспускательного канала. Инн.: половой нерв. Рис. А, Д.
- 4а Компрессор мочеиспускательного канала, *m. compressor urethrae*. Волокна *m. sphincter urethrae*, направляющиеся к ветви седалищной кости. Рис. Е.
- 46 Уретровлагинальный сфинктер, *m. sphincter urethrovaginalis*. Волокна *m. compressor urethrae* к луковиче преддверия. Рис. Е.
- 5 Верхняя фасция мочеполовой диафрагмы, *fascia diaphragmatis urogenitalis superior*. Покрывает поверхность глубокой поперечной мышцы промежности, обращенную к седалищно-анальной ямке. Рис. А.
- 6 Мембрана промежности [нижняя фасция мочеполовой диафрагмы], *membrana perinei* [*fascia diaphragmatis urogenitalis inferior*]. Покрывает нижнюю поверхность *m. transversus perinei profundus*. Рис. А.
- 7 Поперечная связка промежности, *lig. transversum perinei*. Утолщение в месте сращения фасций мочеполовой диафрагмы у передневерхнего края глубокой поперечной мышцы промежности. Рис. Д.
- 8 Поверхностное пространство промежности, *spatium perinei superficiale*. Находится между поверхностной фасцией промежности и мембраной промежности. Содержит корень полового члена. Рис. А.
- 9 Поверхностная поперечная мышца промежности, *m. transversus perineisuperficialis*. Отщепившаяся часть глубокой поперечной мышцы промежности, которая заканчивается в сухожильном центре. Инн.: половой нерв. Рис. Б.
- 10 Седалищно-пещеристая мышца, *m. ischiocavernosus*. Начинается от ветви седалищной кости, охватывает ножку полового члена и заканчивается в белочной оболочке пещеристого тела. Рис. А, Б.
- 11 Луковично-губчатая мышца, *m. bulbospongiosus* [*m. bulbocavernosus*]. Начинается от сухожильного центра и шва полового члена; охватывает нижнебоковую поверхность *corpus spongiosum* и направляется к мембране промежности и спинке полового члена. У женщин окружает луковичу преддверия. Инн.: половой нерв. Рис. А, Б.
- 12 Поверхностная фасция промежности, *fascia perinei superficialis*. Ограничивает поверхностное пространство промежности спереди и снизу. Рис. А.
- 13 Седалищно-анальная ямка, *fossa ischioanalis*. Находится между мышцей, поднимающей задний проход, и *m. obturatorius internus*. Ограничена спереди и снизу мочеполовой диафрагмой. Рис. А, Б.
- 14 Жировое тело седалищноанальной ямки, *corpus adiposum fossae ischioanalis*.
- 15 Пудендальный канал [[Олкока]], *canalis pudendalis* [[Alcock]]. Находится на латеральной стенке седалищноанальной ямки между листками фасции запирательной мышцы. Содержит половые сосуды и нервы. Рис. А.
- 16 Залобковое пространство [[предпузырное пространство Ретциуса]], *spatium retropubicum* [*spatium praevesiciale*; *cavum Retzii*]. Находится между мочевым пузырем, лобковым симфизом и лобково-предстательной связкой. Заполнено рыхлой клетчаткой. Рис. В.
- 17 БРЮШИНА, *peritoneum*. Серозный покров брюшной полости.
- 18 [[Полость живота, брюшная полость, *cavitas abdominalis*]]. Расположена снизу от диафрагмы.
- 19 Брюшинная полость, полость брюшины *cavitas peritonealis*. Ограничена брюшиной.
- 19а Внебрюшинное пространство, *spatium extraperitoneal*. Находится между забрюшинной фасцией и брюшиной.
- 20 Забрюшинное пространство, *spatium retroperitoneale*. Часть внебрюшинного пространства у задней стенки брюшной полости возле расположенных там органов.
- 21 Забрюшинная фасция, *fascia extraperitonealis*. Расположена под брюшиной.
- 22 Забрюшинный орган *H. organum extraperitoneale*. Расположен в забрюшинном пространстве.
- 23 Парietальная брюшина, *peritoneum parietale*. Покрывает стенки брюшной полости. Рис. Г.
- 24 Серозная оболочка, *tunica serosa*. Покрывает однослойным плоским эпителием.
- 25 Подсерозная основа, *tela subserosa*. Слой соединительной ткани под серозной оболочкой.
- 26 Висцеральная брюшина, *peritoneum viscerate*. Покрывает органы брюшной полости. Рис. Г.
- 27 Серозная оболочка, *tunica serosa*. См. 24
- 28 Подсерозная основа, *tela subserosa*. См. 25
- 29 Сальниковое [[винслово]] отверстие, *foramen omentale (epiploicum)* [[Winslow]]. Вход в сальниковую сумку позади печеночно-двенадцатиперстной связки. Рис. Г.
- 30 Сальниковая сумка, *bursa omentalis*. Расположена позади желудка. Рис. Г.
- 31 Преддверие сальниковой сумки, *vestibulum bursae omentalis*. Находится под хвостатой долей печени и слева ограничено гастропанкреатическими складками. Рис. Г.



- 1 [[Первичная (общая) дорсальная брыжейка, *mesenterium dorsale commune*]]. Два слоя спланхномезодермы, окружающие и поддерживающие первичную кишку в полости тела зародыша.
- 2 Брыжейка тонкой кишки, *mesenterium*. Берет начало от задней стенки брюшной полости, фиксирует покрытые брюшиной части тонкой кишки и содержит в своем составе сосуды и нервы. Рис. Б.
- 3 Корень брыжейки тонкой кишки, *radix mesenterii*. Прикрепляется к задней стенке брюшной полости на протяжении от L 2 до правой подвздошной ямки. Рис. А.
- 4 Брыжейка ободочной кишки, *mesocolon*. Складка брюшины, поддерживающая ободочную кишку. Содержит сосуды и нервы.
- 5 Брыжейка поперечной ободочной кишки, *mesocolon transversum*. Поддерживает поперечную ободочную кишку. Рис. А, Б.
- 6 Брыжейка восходящей ободочной кишки, *mesocolon ascendens*. На 4-м месяце внутриутробного развития срастается с задней стенкой брюшной полости.
- 7 Брыжейка нисходящей ободочной кишки, *mesocolon descendens*. На 4-м месяце внутриутробного развития срастается с задней стенкой брюшной полости.
- 8 Брыжейка сигмовидной ободочной кишки, *mesocolon sigmoideum*. Поддерживает сигмовидную кишку в брюшной полости. Рис.Б.
- 9 Брыжейка червеобразного отростка (*apneHmca*) *inesoappendix* [[*mesenteriolum*]]. Рис.Б.
- 10 Малый сальник, *omentum minus*. Соединяет желудок и двенадцатиперстную кишку с печенью.
- 11 Печеночно-желудочная связка, *lig. hepatogastricum*. Часть малого сальника между желудком и печенью. Рис. Б.
- 12 Печеночно-дуоденальная связка, *lig. hepatoduodenale*. Часть малого сальника между печенью и двенадцатиперстной кишкой. Содержит собственную печеночную артерию, общий желчный проток и воротную вену. Рис. Б.
- 13 [Печеночно-ободочная связка, *lig. hepatocolicum*). Продолжение печеночно-дуоденальной связки в направлении *flexura coli dextra* или поперечной ободочной кишки. Присутствует непостоянно. Рис. Б.
- 14 Большой сальник, *omentum majus*. Складка брюшины между желудком и поперечной ободочной кишкой. Свисает в виде фартука и содержит различное количество жировой ткани. Рис. Б.
- 15 Желудочно-диафрагмальная связка, *lig. gastrophrenicum*. Расположена между желудком и диафрагмой. Является продолжением кверху диафрагмально-селезеночной и желудочно-селезеночной связок. Рис. А,Б
- 16 Желудочно-селезеночная связка, *lig. gastrosplenicum (gastrolienale)*. Соединяет большую кривизну желудка и ворота селезенки. Рис. Б.
- 17 Желудочно-ободочная связка, *lig. gastrocolicum*. Соединяет большую кривизну желудка с сальниковой лентой поперечной ободочной кишки. Присоединяется к желудочно-селезеночной связке. Рис. Б.
- 18 Диафрагмально-ободочная связка, *lig. phrenicocolicum*. Складка брюшины между диафрагмой и нисходящей ободочной кишкой. Рис. Б.
- 19 Селезеночно-почечная связка (диафрагмально-селезеночная связка), *lig. splenorenale (lienorenale, phrenicosplenicum)*. Складка брюшины, направляющаяся от диафрагмы, левой почки и поджелудочной железы к воротам селезенки. Справа она продолжается в брыжейку поперечной ободочной кишки. Рис. Б.
- 20 Связки печени, *ligg. hepatis*.
- 21 Венечная связка, *lig. coronarium*. Образуется в месте перехода париетальной брюшины с диафрагмы на печень. Ограничивает внебрюшинное поле. Рис. А.
- 22 Серповидная связка (печени), *lig. falciforme (hepatis)*. Дупликатура брюшины между печенью и передней стенкой живота. Рис. Б.
- 23 Правая треугольная связка, *lig. triangulare dextrum*. Правый край венечной связки. Соединяет правую долю печени и диафрагму. Рис. А.
- 24 Левая треугольная связка, *lig. triangulare sinistrum*. Левый край венечной связки. Соединяет печень и диафрагму. Рис. А.
- 25 Печеночно-почечная связка, *lig. hepatorenale*. Является продолжением венечной связки и прикрепляется к правой почке. Рис.А.
- 26 Складки и ямки, *plicae et fossae*.
- 27 Истонченная фасция, *fascia retinens rostralis*. Находится в области двенадцатиперстно-тощего изгиба. Содержит *m. suspensorius duodeni*. Рис. А. См. 124.10.
- 28 Верхняя дуоденальная складка (дуоденально-еюнальная складка), *plica duodenalis superior (plica duodenojejunalis)*. Соответствует нижней брыжеечной вене. Расположена слева от двенадцатиперстно-тощего изгиба и спереди от верхнего дуоденального углубления. Рис. А.
- 29 Верхнее дуоденальное углубление, *recessus duodenalis superior*. Находится позади *plica duodenalis superior*. Рис. А.
- 30 Нижняя дуоденальная складка (дуоденально-брыжеечная складка), *plica duodenalis inferior (plica duodenomesocolica)*. Расположена спереди от двенадцатиперстно-тощего изгиба. Рис. А.
- 31 Нижнее дуоденальное углубление, *recessus duodenalis inferior*. Лежит позади *plica duodenalis inferior*. Рис. А.

- 32 [Парадуоденальная складка, *plica para-duodenalis*]. Находится слева от двенадцатиперстной кишки. Рис. А.
- 33 [Парадуоденальное углубление, *recessus para-duodenalis*]. Расположено позади одноименной складки, справа от которой находится вход в это углубление. Рис. А.
- 34 [Ретродуоденальное углубление, *recessus retroduodenalis*]. Находится между аортой и двенадцатиперстной кишкой. Вход в это углубление находится слева от *duodenum*. Рис. А.

Рис. А. Задняя стенка полости живота [72]

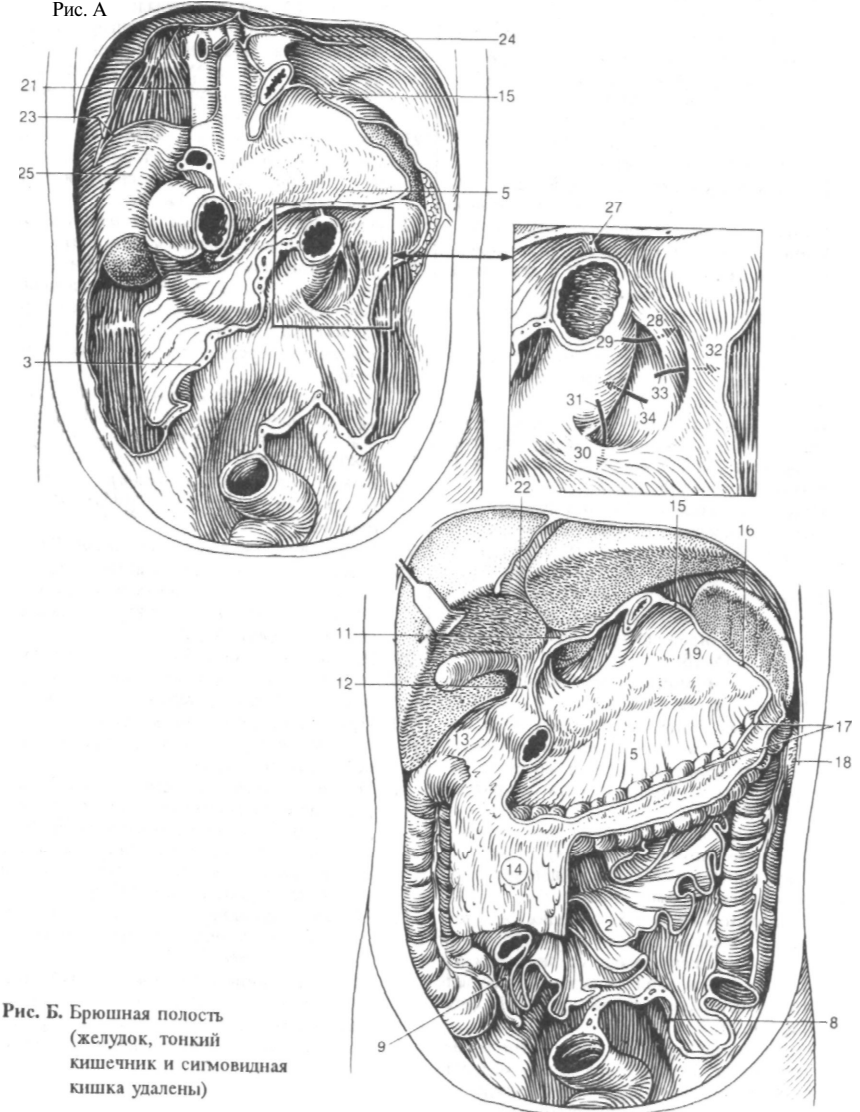


Рис. Б. Брюшная полость (желудок, тонкий кишечник и сигмовидная кишка удалены)

- 1 Межсигмовидное углубление, *recessus intersigmoideus*. Расположено с левой стороны корня брыжейки сигмовидной ободочной кишки. Рис. А.
- 2 Верхнее илеоцекальное углубление, *recessus iliocaecalis superior*. Определяется выше илеоцекального угла. Рис. А.
- 3 Сосудистая слепокишечная складка, *plica caecalis vascularis*. Лежит спереди верхнего илеоцекального углубления и содержит ветвь подвздошно-ободочной артерии. Рис. А.
- 4 Нижнее илеоцекальное углубление, *recessus iliocaecalis inferior*. Расположено ниже илеоцекального угла. Рис. А.
- 5 Илеоцекальная складка, *plica ileocaecalis*. Проходит спереди нижнего илеоцекального углубления и продолжается вниз к червеобразному отростку. Рис. А.
- 6 Позадислепокишечное углубление, *recessus retrocaecalis*. Расположено позади слепой кишки или *colon ascendens*. Рис. А.
- 7 **Слепокишечные складки, *plicae caecales***. Находятся на наружной поверхности слепой кишки и соответствуют полулунным складкам слизистой оболочки. Рис. А.
- 8 Околоободочные борозды, *sulci pagocolici*. Различаются с левой стороны нисходящей ободочной кишки. Встречаются постоянно. Рис. А.
- 9 Поддиафрагмальные углубления, *recessus subphrenici*. Расположены по обе стороны от *lig.fakiforme* между печенью, диафрагмой и венозной связкой. Рис. В.
- 10 Подпеченочные углубления, *recessus subhepatici*. Отделяют печень от поперечной ободочной кишки и других, соседних с ней, органов. Рис. В.
- 11 Печеночно-почечное углубление, *recessus hepatorenalis*. Одно из подпеченочных углублений, ограниченное почкой и надпочечником. Рис. В.
- 12 Передняя париетальная брюшина, *peritoneum parietale anterius*.
- 13 Срединная пупочная складка, *plica umbilicalis mediana* [*plica umbilicalis media*]. Проходит между верхушкой мочевого пузыря и пупком. Содержит остаток урахуса. Рис. А, Б.
- 14 Надпузырная ямка, *fossa supravesical*. Небольшое углубление спереди от мочевого пузыря между срединной и медиальной пупочной складками. Рис. Б.
- 15 Медиальная пупочная складка, *plica umbilicalis medialis* [*plica umbilicalis lateralis*]). Расположена между срединной и латеральной пупочной складками. Соответствует облитерированной пупочной артерии. Рис. А, Б.
- 16 Медиальная паховая ямка, *fossa inguinalis medialis*. Расположена между медиальной и латеральной пупочными складками. Соответствует поверхностному паховому кольцу, Рис. Б.
- 17 Паховый треугольник, *trigonum inguinale*. Ограничен латеральным краем прямой мышцы живота, паховой связкой и латеральной пупочной складкой. Рис. Б.
- 18 Латеральная пупочная складка, *plica umbilicalis lateralis* [*plica epigastrica*]]. Соответствует нижней надчревной артерии. Рис. А, Б.
- 19 Латеральная паховая ямка, *fossa inguinalis lateralis*. Расположена снаружи от латеральной паховой складки и соответствует глубокому паховому кольцу. Рис. Б.
- 20 Поперечная пузырная складка, *plica vesicalis transversa*. Хорошо различается только при умеренном заполнении мочевого пузыря. Рис. А.
- 21 Околопузырная ямка, *fossa paravesicalis*. Находится с латеральной стороны от мочевого пузыря и ограничена снаружи семявыносящим протоком. Рис. Б.
- 22 Мочеполовая брюшина, *peritoneum urogenitale*. Покрывает органы малого таза.
- 23 [[Влагатный отросток брюшины, *processus vaginalis peritonei*]]. Пальцевидное выпячивание брюшины, проходящее через паховый канал, которое формируется в эмбриогенезе перед опусканием яичка в мошонку.
- 24 Широкая связка матки, *lig. latum uteri*. Складка брюшины между боковой стенкой таза и маткой. Содержит сосуды и нервы. Состоит из трех частей. Рис. А.
- 25 Брыжейка матки, *mesometrium*. Рис. А.
- 26 Брыжейка маточной трубы, *mesosalpinx*. Рис. А.
- 27 Брыжейка яичника, *mesovarium*. Рис. А.
- 28 Связка, подвешивающая яичник, *lig. suspensorium ovarii*. Развивается из верхней гонадной складки. Содержит яичниковые сосуды и нервы. Рис. А.
- 29 Яичниковая ямка, *fossa ovarica*. Соответствует месту начала внутренней и наружной подвздошных артерий.
- 30 Прямокишечно-маточная складка, *plica rectouterina*. Проходит между прямой кишкой и маткой. Рис. А.
- 31 Прямокишечно-маточное углубление [[дугласов карман]], *excavatio rectouterina* [*Douglas*]]. Самая каудальная часть брюшинной полости, расположенная между прямой кишкой, маткой и двумя прямокишечно-маточными складками. Рис. А.
- 32 Пузырно-маточное углубление, *excavatio vesicouterina*. Расположено между маткой и мочевым пузырем. Рис. А.
- 33 Прямокишечно-пузырное углубление, *excavatio rectovesical*. У мужчин самая каудальная часть полости брюшины, расположенная между прямой кишкой и мочевым пузырем.

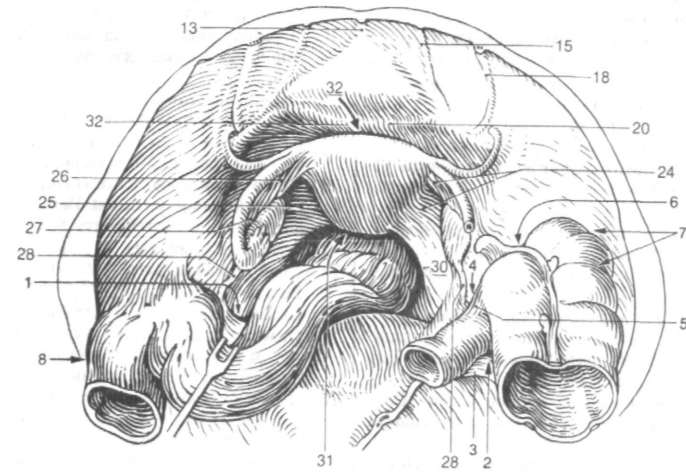


Рис. А. Органы женского малого таза (вид сверху)

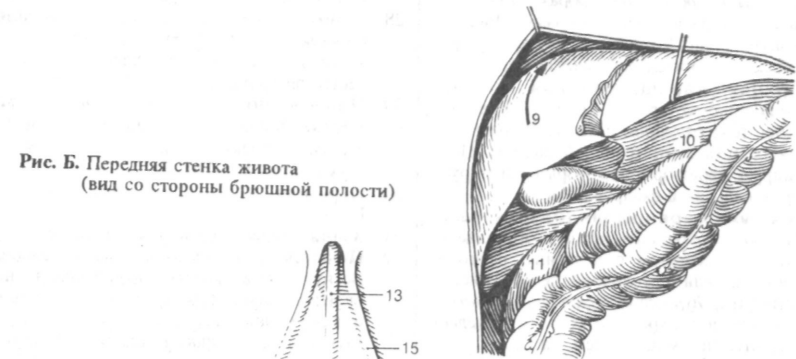


Рис. Б. Передняя стенка живота (вид со стороны брюшной полости)

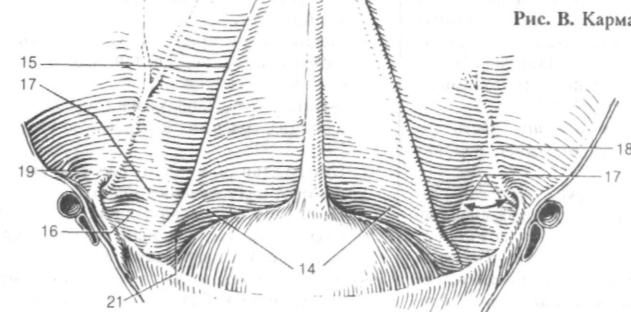


Рис. В. Карманы печени

- 1 ЭНДОКРИННЫЕ ЖЕЛЕЗЫ, *glandulae endocrinae*. Железы, не имеющие выводных протоков.
- 2 Щитовидная железа, *glandula thyroidea*. Вырабатывает гормоны тироксин и трийодтиронин, которые регулируют основной обмен. Ее патологическое увеличение называется зобом. Рис. А, Б.
- 3 Доля (правая/левая), *lobus (dexter/sinister)*. Лежат по обе стороны трахеи. Рис. А.
- 4 Перешеек щитовидной железы, *isthmus gl thyroideae*. Соединяет правую и левую доли. Рис. А.
- 5 [Пирамидальная доля, *lobus pyramidalis*]. Расположенный по средней линии тяж железистой ткани. Присутствует непостоянно. Рис. А.
- 6 Добавочные щитовидные железы, *glandulae thyroideae accessoriae*. Эктопические участки ткани щитовидной железы. Например, в корне языка.
- 7 Фиброзная капсула, *capsula fibrosa*. Соединительно-тканная оболочка щитовидной железы.
- 8 Строма, *stroma* соединительнотканый остов железы. Рис. В.
- 9 Паренхима, *parenchima*. Образована специфическими железистыми клетками. Рис. В.
- 10 Дольки, *lobuli*. Участки паренхимы, разделенные соединительной тканью. Рис. Б.
- 11 Верхняя паращитовидная железа, *glandula parathyroidea superior*. Эпителиальное тело размером с чечевичку, расположенное позади щитовидной железы. Продуцирует паратгормон, который регулирует обмен кальция и фосфора. Рис. Б.
- 12 Нижняя паращитовидная железа, *glandula parathyroidea inferior*. Эпителиальное тело размером с чечевичку, расположенное позади щитовидной железы. Рис. Б.
- 13 Гипофиз, *hypophysis (glandula pituitaria)*. Расположен в турецком седле и обладает многосторонним действием. Рис. Г.
- 14 Аденогипофиз (передняя доля), *adenohypophysis (lobus anterior)*. Самая большая доля гипофиза, которая развивается из эктодермы ротовой полости (карман Ратке). Содержит функционально и гистохимически различные типы клеток. Рис. Г.
- 15 Бугорная часть, *pars tuberalis*. Часть передней доли, которая окружает воронку гипофиза. Рис. Г.
- 16 Промежуточная часть, *pars intermedia* Узкая часть аденогипофиза, содержащая заполненные коллоидом фолликулы. Рис. Г.
- 17 Дистальная часть, *pars distalis*. Передняя, самая обширная часть аденогипофиза. Рис. Г.
- 18 [[Глоточная часть, *pars pharyngea*]]. Аденогипофизарная ткань в подслизистом слое глотки. Остаток кармана Ратке.
- 19 Нейрогипофиз (задняя доля), *neurohypophysis (lobus posterior)*. Имеет небольшие размеры, развивается из промежуточ-

- ного мозга и является гормонаккумуляционной областью. Рис. Г.
- 20 Воронка, *infundibulum*. Ножка, на которой расположен гипофиз. Рис. Г.
- 21 Нервная доля, *lobus nervosus*. Задняя доля гипофиза. Служит для накопления гормонов. Рис. Г.
- 22 Шишковидное тело (шишковидная железа), *corpus pineale (glandula pinealis)*. Развивается из промежуточного мозга и лежит над пластинкой четверохолмия. Рис. Г.
- 23 Вилочковая железа (тимус), *thymus*. Орган иммунной системы. Расположен позади грудины и подвергается регрессии после полового созревания. Рис. Д.
- 24 Доля (правая/левая), *lobus (dexter/sinister)*. Рис. Д.
- 25 [Добавочные узелки вилочковой железы (тимуса), *noduli thymici accessorii*]. Диффузно расположенные неинкапсулированные лимфатические фолликулы.
- 26 Дольки вилочковой железы, *lobuli thymi*. Разделены между собой перегородками соединительной ткани. Рис. Д.
- 27 Кортикковое вещество вилочковой железы (тимуса), *cortex thymi*. Содержат большое количество лимфоцитов.
- 28 Мозговое вещество вилочковой железы (тимуса), *medulla thymi*. Содержит тельца Гассали и относительно небольшое количество лимфоцитов.
- 29 Надпочечник, *glandula suprarenalis (adrenalis)*. Прилежит с медиальной стороны к верхнему полюсу почки. Развивается из двух источников. Рис. Е.
- 30 Передняя поверхность, *facies anterior*. Рис. Е.
- 31 Задняя поверхность, *facies posterior*.
- 32 Почечная поверхность, *facies renalis*. Вогнутая поверхность надпочечника, направлена вниз и латерально к верхнему полюсу почки. Рис. Е.
- 33 Верхний край, *margo superior*. Разделяет переднюю и заднюю поверхности надпочечника. Рис. Е.
- 34 Медиальный край, *margo medialis*. Находится между передней и задней поверхностями органа. Рис. Е.
- 35 Ворота, *hilum*. Направлены вперед, вверх или вниз, содержат центральную вену. Рис. Е.
- 36 Центральная вена, *v. centralis*. Выходит из ворот надпочечника. Рис. Е.
- 37 Кортикковое вещество (кора), *cortex*. Подразделяется на три зоны. Развивается из целомического эпителия. Рис. Ж.
- 38 Мозговое вещество, *medulla*. Состоит из хромофинных клеток, симпатических нейронов и венозных синусов. Развивается из клеток нейрального гребня. Рис. Ж.
- 39 Добавочные надпочечники, *glandulae suprarenales accessoriae*. Эктопические расположенные участки надпочечниковой ткани.



Рис. А. Щитовидная железа (вид спереди)

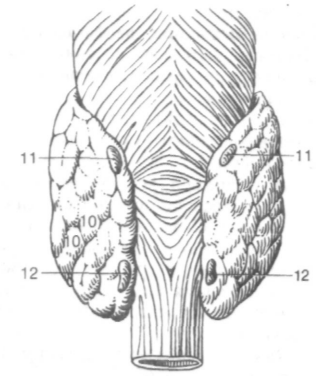


Рис. Б. Щитовидная железа (вид сзади)

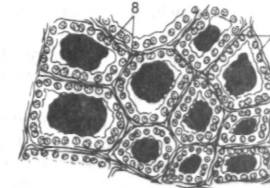


Рис. В. Микроскопическое строение щитовидной железы

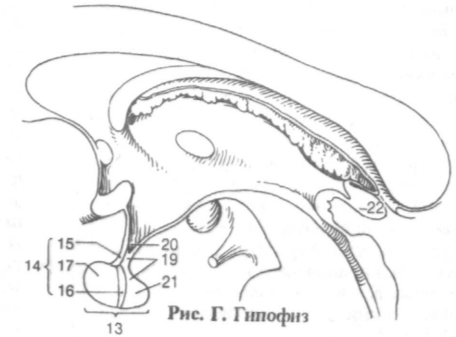


Рис. Г. Гипофиз

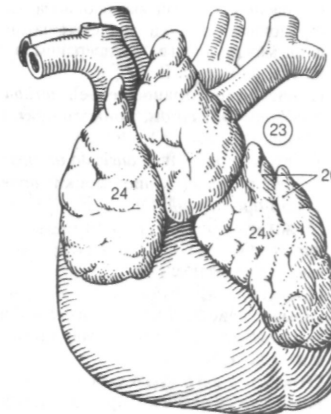


Рис. Д. Тимус

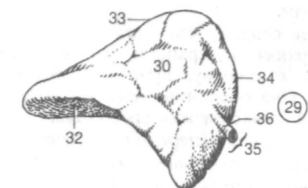


Рис. Е. Надпочечник

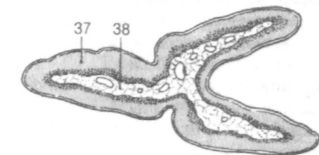


Рис. Ж. Поперечный срез надпочечника



- 1 ПЕРИКАРД, *pericardium*. Ограничивает сердце от соседних органов. Состоит из фиброзного и двух листков серозного перикарда. Рис. А.
- 2 Фиброзный перикард, *pericardium fibrosum*. Плотная наружная соединительнотканная часть перикарда. Частично срастается с диафрагмой.
- 3 Грудино-перикардиальные связки, *ligg. sternopericardica*. Соединяют перикард с грудиной.
- 4 Серозный перикард, *pericardium serosum*. Состоит из однослойного плоского эпителия (мезотелия). С одной стороны прилежит к фиброзному перикарду (париетальная пластинка), с другой - покрывает сердце (висцеральная пластинка). В области крупных сосудов пластинки переходят одна в другую.
- 5 Париетальная пластинка, *lamina parietalis*. Часть серозного перикарда.
- 6 Висцеральная пластинка [эпикард], *lamina visceralis [epicardium]*. Состоит из мезотелия и слоя рыхлой волокнистой соединительной ткани (*lamina propria*).
- 7 Перикардиальная полость, *cavitas pericardialis*. Находится между двумя листками серозного перикарда и содержит небольшое количество жидкости.
- 8 Поперечная пазуха перикарда, *sinus transversus pericardii*. Расположена между аортой и легочным стволом сзади, легочными венами спереди. Рис. А.
- 9 Косая пазуха перикарда, *smus obliquus pericardii*. Ограничена основаниями правых легочных вен и *v. cava inferior* с одной стороны, левыми легочными венами - с другой. Рис. А.
- 10 СЕРДЦЕ, *cor*.
- 11 Основание сердца, *basis cordis*. Его широкая верхняя поверхность направлена дорсально, в сторону, противоположную верхушке. Она образована, главным образом, задней стенкой левого предсердия.
- 12 Грудно-реберная [передняя] поверхность, *facies sternocostalis [anterior]*. Выпуклая, направленная вперед поверхность сердца. Рис. Б, Г.
- 13 Диафрагмальная поверхность [нижняя], *facies diaphragmatica [inferior]*. Нижняя, плоская поверхность сердца, которая соприкасается с диафрагмой. Рис. Г.
- 14 Легочная поверхность, *facies pulmonalis*. Соприкасается с легкими. Рис. Г.
- 15 Правый край, *mar go dexter*. У трупа обычно заостренный. Рис. Б.
- 16 Верхушка сердца, *apex cordis*. Направлена вперед, вниз и влево. Рис. Б.
- 17 Вырезка верхушки сердца, *incisura apicis cordis*. Находится с правой стороны от верхушки сердца в месте соединения межжелудочковых борозд. Рис. Б.

- 18 Передняя межжелудочковая борозда, *sulcus interventricularis anterior*. Расположена на передней поверхности сердца и соответствует межжелудочковой перегородке. В ней проходит передняя межжелудочковая ветвь левой венечной артерии. Рис. Б, Г.
- 19 Задняя межжелудочковая борозда, *sulcus interventricularis posterior*. Проходит по диафрагмальной поверхности сердца и соответствует межжелудочковой перегородке. Содержит заднюю межжелудочковую ветвь правой венечной артерии. Рис. Г.
- 20 Венечная борозда, *sulcus coronarius*. Огибает сердце на границе между предсердиями и желудочками. Рис. Б, В.
- 21 Желудочек сердца [правый/левый], *ventriculus [dexter/sinister] cordis*. Отвечая функциональным потребностям, стенка левого желудочка толще, чем правого. Рис. В.
- 22 Межжелудочковая перегородка, *septum interventriculare*. Разделяет правый и левый желудочки. На поверхности сердца ей соответствуют передняя и задняя межжелудочковые борозды.
- 23 Мышечная часть, *pars muscularis*. Наиболее протяженная и толстая часть межжелудочковой перегородки. Рис. В.
- 24 Перепончатая часть, *pars membranacea*. Небольшой протяженности тонкая фиброзная пластинка в составе межжелудочковой перегородки, расположенная выше отверстия аорты. Производное эндокарда. Рис. В.
- 25 Предсердно-желудочковая перегородка, *septum atrioventriculare*. Участок перепопчатой части межжелудочковой перегородки, расположенный выше основания перегородочной створки трехстворчатого клапана между правым предсердием и левым желудочком. Рис. В.
- 26 Предсердие [правое/левое], *atrium [dextrum/sinistrum] cordis*. Тонкостенная камера сердца. Рис. В.
- 27 Ушко предсердия, *auricula atrialis*. Пальцевидное выпячивание стенки правого и левого предсердий. Рис. Б, В.
- 28 Межпредсердная перегородка, *septum interatriale*. Проходит между правым и левым предсердиями.
- 29 Предсердно-желудочковое отверстие (правое/левое), *ostium atrioventriculare (dexter/sinister)*. Находится между предсердием и желудочком. Рис. Г.
- 30 Отверстие легочного ствола, *ostium trunci pulmonalis*. Соединяет правый желудочек с легочным стволом. Рис. Г.
- 31 Отверстие аорты, *ostium aortae*. Соединяет левый желудочек с аортой. Рис. В, Г.

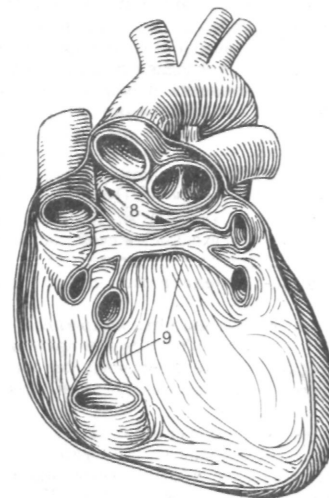


Рис. А. Перикард с крупными сосудами

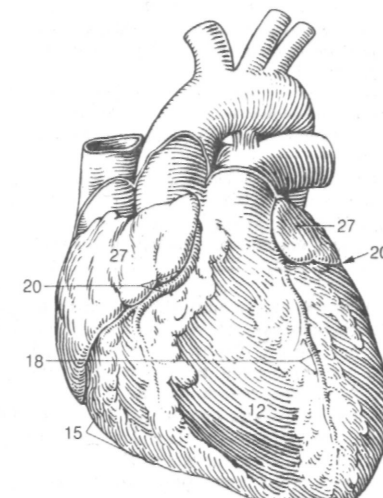


Рис. Б. Сердце (вид спереди)

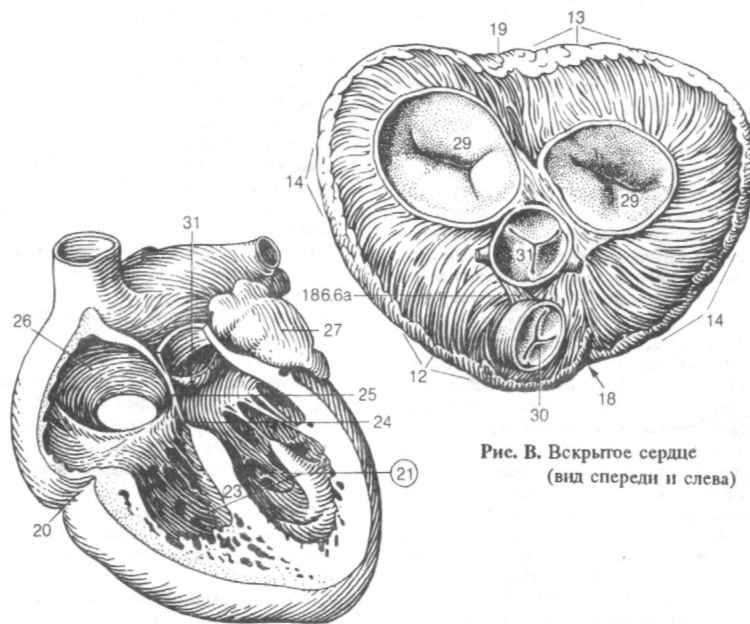


Рис. В. Вскрытое сердце (вид спереди и слева)

Рис. Г. Основание сердца (предсердия удалены)



- 1 Мясистые трабекулы, *trabeculae carneae*. Выступают в просвет желудочков. Рис. А.
- 2 Завиток сердца, *vortex cordis*. Спиральный заворот мышечных волокон на верхушке сердца. Рис. Б.
- 3 Сосочковые мышцы, *mnupapillaris*. Имеют конусовидную форму и выступают в полость желудочков. Сухожильными хордами соединяются со створками предсердно-желудочковых клапанов и регулируют их положение. Рис. А, Г.
- 4 Сухожильные хорды, *cordae tendineae*. Соединяют сосочковые мышцы и створки предсердно-желудочковых клапанов. Рис. А, Г.
- 5 Фиброзный треугольник правый/левый, *trigouon fibrosum dextrum/sinistrum*. Клиновидной формы участки соединительной ткани между аортой и предсердно-желудочковыми отверстиями. Рис. В.
- 6 Фиброзные кольца правое/левое, *anulus fibrosus dexter/sinister*. Находятся между предсердиями и желудочками. Место начала створок предсердно-желудочковых клапанов. Рис. В.
- 6а Сухожилие артериального конуса, *tendo infundibuli*. Остаток эмбриональной, спиральной перегородки. Рис. В. См. стр.185, рис. Г.
- 7 Миокард, *myocardium*. Состоит из кардиомиоцитов и специализированных мышечных клеток проводящей системы сердца (волокна Пуркинье). Рис. А, Г.
- 7а Проводящая система сердца, *systema conducens cordis*. Рис. Г.
- 8 Синусно-предсердный узел [[синусный узел Кисса-Флека]], *nodus sinuatrialis* [[*Keith-Flack*]]. Комплекс специализированных мышечных клеток спереди от отверстия верхней полой вены. Является водителем ритма сердца (пейсмекером), т.е. определяет частоту его сокращений. Рис. Г.
- 9 Предсердно-желудочковый узел [[узел Ашоффа-Тавары]], *nodus atrioventricularis* [[*Aschoff-Tawara*]]. Комплекс специализированных мышечных клеток в межпредсердной перегородке снизу от овальной ямки и спереди от отверстия венозного синуса. Миогенетически передаваемый от синусного узла импульс после латентного периода через *nodus atrioventricularis* и пучок Гиса проводится к миокарду желудочков. При повреждении синусно-предсердного узла узел Ашоффа-Тавары становится вторичным пейсмекером. Рис. Г.
- 10 Предсердно-желудочковый пучок, *fasciculus atrioventricularis*. Соединяет предсердно-желудочковый узел и сосочковые мышцы. Состоит из специализированных мышечных волокон. Рис. Г.
- 11 [[Ствол, пучок Гиса, *truncus* [[*His*]]. Начальный отдел предсердно-желудочкового пучка, расположенный в перепонча-

- той части межжелудочковой перегородки. Делится на правую и левую ножки. Рис. Г.
- 12 Ножка (правая/левая), *crus (dextrum/sinistrum)*. Обе ножки являются продолжением пучка Гиса, проходят внутри межжелудочковой перегородки и разветвляются в сосочковых мышцах правого и левого желудочков. Рис. Г.
- 12а Подэпикардальные ветви, *rami subendocardiales*. Поверхностные ветви проводящей системы (волокна Пуркинье). Рис. Г.
- 13 Эндокард, *endocardium*. Выстилает камеры сердца и включает в свой состав однослойный плоский эпителий (эндотелий).
- 14 Правое предсердие, *atrium dextrum*. Рис. А, Г.
- 15 Гребенчатые мышцы, *mnupectinati*. Пучки мышечных волокон в стенке правого предсердия, которые начинаются от пограничного гребня. Напоминают зубы гребенки. Рис. А.
- 16 Пограничная борозда, *sulcus terminalis*. Отделяет эмбриональный венозный синус от собственно правого предсердия и окружает отверстия полых вен. Рис. Г.
- 17 Пограничный гребень, *crista terminalis*. Дугообразный мышечный тяж, соответствующий одноименной борозде и расположенный на внутренней поверхности правого предсердия. Рис. А.
- 18 Синус полых вен, *sinus venarum cavarum*. Гладкостенная полость, ограниченная *crista terminalis*, в которую поступает кровь из полых вен. Рис. А.
- 19 Овальная ямка, *fossa ovalis*. Углубление на межпредсердной перегородке - остаток заросшего овального отверстия, существовавшего в эмбриогенезе. Рис. А.
- 20 Край овальной ямки, *limbus fossae ovalis*. Слегка приподнятый край овальной ямки. Рис. А.
- 21 [Овальное отверстие, *foramen ovale*]. Сохраняется в межпредсердной перегородке до рождения.
- 22 Правое ушко, *auricula dextra*. Выпячивание стенки правого предсердия. Рис. А.
- 23 Отверстие верхней полой вены, *ostium venae cavae superioris*. Рис. А.
- 24 Отверстие нижней полой вены, *ostium venae cavae inferioris*. Рис. А.
- 25 Межвенозный бугорок, *tuberculum intervenosum*. Лежит на боковой стенке правого предсердия между отверстиями полых вен. Рис. А.
- 26 Заслонка нижней полой вены [[евстахиева заслонка]], *valvula venae cavae inferioris* [[*valvula Eustachii*]]. Полулунная складка у отверстия нижней полой вены. В период внутриутробного развития направляет кровь из вены в овальное отверстие. Рис. А.
- 27 Заслонка венозного синуса [[тебесиева заслонка]], *valvula sinus coronarii* [[*valvula*

- Thebesii*]]. Полулунная складка у отверстия венозного синуса. Рис. А.
- 27а Отверстие венозного синуса. *Ostium sinus coronarii*. Рис. А.
- 28 Отверстия наименьших вен, *foramina venarum minimarum*. Эти вены начинаются в толще миокарда и впадают в правое предсердие или другие камеры сердца. Рис. А.

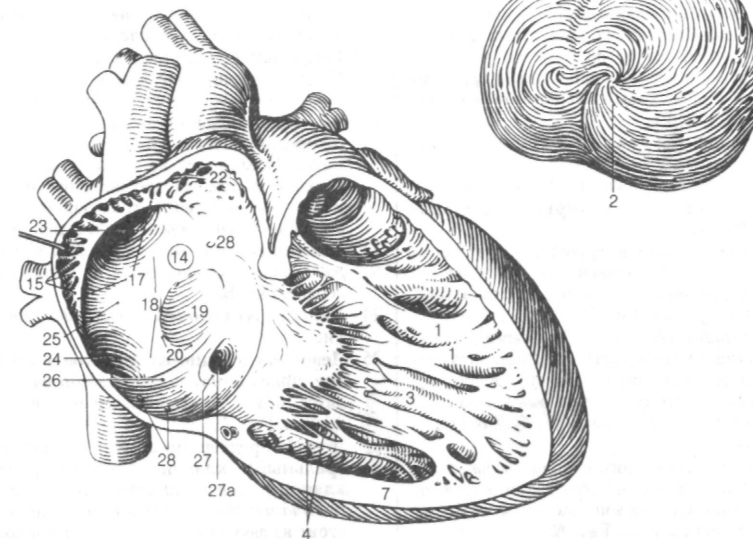


Рис. А. Правые предсердие и желудочек (вскрыты)

Рис. Б. Верхушка сердца (вид снизу)

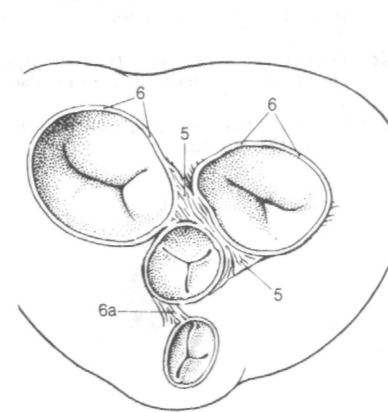


Рис. В. Клапаны сердца (вид сверху)

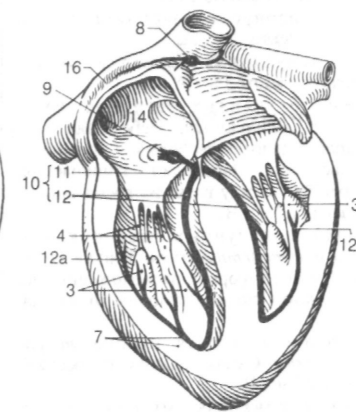


Рис. Г. Проводящая система сердца

- 1 **Правый желудочек**, *ventriculus dexter*. Рис. В.
- 2 **Правое предсердно-желудочковое отверстие**, *ostium atrioventriculare dextrum*. Находится между правыми предсердием и желудочком. Рис. А.
- 3 **Правый предсердно-желудочковый (трехстворчатый) клапан**, *valva atrioventricularis dextra (valva tricuspidalis)*. Находится между правыми предсердием и желудочком. Состоит из трех створок, которые начинаются от фиброзного кольца и при помощи сухожильных хорд прикрепляются к сосочковым мышцам правого желудочка. Рис. А.
- 4 Передняя створка, *cuspis anterior*. Рис. А, В.
- 5 Задняя створка, *cuspis posterior*. Рис. А.
- 6 Перегородочная створка, *cuspis septalis*. Рис. А.
- 7 **Наджелудочковый гребень**, *crista supra-ventricularis*. Мышечный тяж, который отделяет артериальный конус от остальной части желудочка. Рис. В.
- 8 **Артериальный конус [воронка]**, *conus arteriosus [infundibulum]*. Гладкостенная, воронкообразная часть правого желудочка спереди от отверстия легочного ствола. В эмбриогенезе носит название *bulbus cordis*. Рис. В.
- 9 **Отверстие легочного ствола**, *ostium trunci pulmonalis*. Ведет из желудочка в *truncus pulmonalis*. Ограничено заслонками клапана легочного ствола. Рис. А.
- 10 **Клапан легочного ствола**, *valva trunci pulmonalis*. Состоит из трех заслонок. Рис. А.
- 11 Передняя полулунная заслонка, *valvula semilunaris anterior*. Рис. А.
- 12 Правая полулунная заслонка, *valvula semilunaris dextra*. Рис. А.
- 13 Левая полулунная заслонка, *valvula semilunaris sinistra*. Рис. А.
- 14 Узелки полулунных заслонок, *noduli valvularum semilunarium*. Небольшие возвышения в центре свободного края каждой заслонки. Заполняют клиновидное пространство между ними во время смыкания клапана. Рис. В.
- 15 Луночки полулунных заслонок, *lunulae valvularum semilunarium*. Тонкие полоски полулунной формы, расположенные на краю заслонки по обе стороны от узелка. Рис. В.
- 16 Передняя сосочковая мышца, *m. papillaris anterior*. Самая большая из сосочковых мышц. Рис. В.
- 17 Задняя сосочковая мышца, *m. papillaris posterior*. Рис. В.
- 18 [[Перегородочные сосочковые мышцы, *mm. papillares septales*]]. Начинаются от межжелудочковой перегородки. Присутствуют непостоянно. Рис. В.
- 19 Перегородочно-краевая трабекула, *trabecula septomarginalis*. Мышечный тяж между межжелудочковой перегородкой и основанием передней сосочковой мышцы. Содержит правую ножку пучка Гиса. Рис. В.
- 20 **Левое предсердие**, *atrium sinistrum*. Рис. Б.
- 21 **Левое ушко**, *auricula sinistra*. Выпячивание стенки левого предсердия, охватывающее легочный ствол слева. Рис. Б.
- 21a **Гребенчатые мышцы**, *musculi pectinati*. Пучки мышечных волокон в стенке левого предсердия. Напоминают зубцы гребенки.
- 22 **Заслонка овального отверстия [серп перегородки]**, *valvula foraminis ovalis [falx septi]*. Развивается из первичной перегородки и формирует дно овальной ямки. У плода под действием тока крови отклоняется в сторону левого предсердия. Рис. Б.
- 23 **Отверстия легочных вен**, *ostia venarum pulmonalium*. Открываются в левое предсердие. Рис. Б.
- 24 Левый желудочек, *ventriculus sinister*. Рис. Б.
- 25 **Левое предсердно-желудочковое отверстие**, *ostium atrioventriculare sinistrum*. Находится между левым предсердием и желудочком. Рис. А.
- 26 **Левый предсердно-желудочковый (митральный) клапан**, [[двухстворчатый клапан]], *valva atrioventricularis sinistra (valvula mitralis)*, [[*valvula bicuspidalis*]]. Состоит из двух створок, которые начинаются от фиброзного кольца и посредством сухожильных хорд соединяются с сосочковыми мышцами левого желудочка. Рис. А.
- 27 Передняя створка, *cuspis anterior*. Обращена к межжелудочковой перегородке. Рис. А, Б.
- 28 Задняя створка, *cuspis posterior*. Прилежит к боковой стенке желудочка. Рис. А, Б.
- 28a **Комиссуральные створки**, *cuspides commissurales*. См. стр. 409.

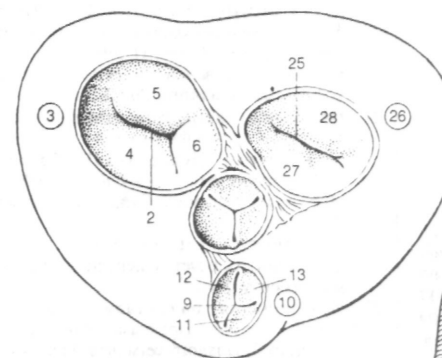


Рис. А. Клапаны сердца (вид сверху)

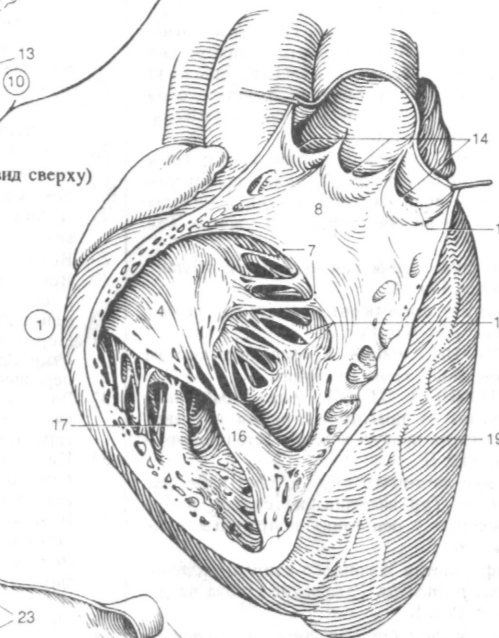


Рис. В. Правый желудочек (удалена его передняя стенка)

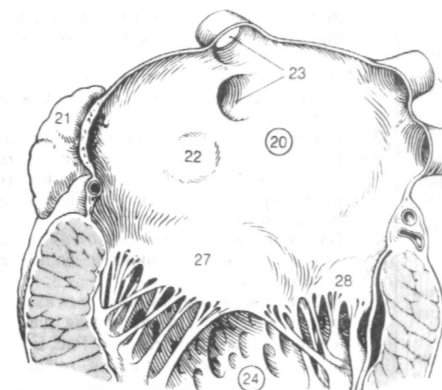


Рис. Б. Левое предсердие (вскрыто)

- 1 Отверстие аорты, *ostium aorta\**. Отверстие левого желудочка, ведущее в аорту. Рис. А.
- 1а Мясистые трабекулы, *trabeculae carneae*. Выступают в просвет желудочка. Рис. А.
- 2 Клапан аорты, *valva aortae*. Расположен у начала аорты и состоит из трех заслонок. Рис. А.
- 3 Задняя полулунная заслонка, *valvula semilunaris posterior*. Рис. А.
- 4 Правая полулунная заслонка, *valvula semilunaris dextra*. Рис. А.
- 5 Левая полулунная заслонка, *valvula semilunaris sinistra*. Рис. А.
- 6 Узелки заслонок аорты, *noduli valvularum semilunarium*. Находятся в центре свободного края каждой заслонки. Заполняют клиновидной формы пространство, образующееся между ними во время смыкания клапанов. Рис. А.
- 7 Луночки заслонок аорты, *lunulae valvularum semilunarium*. Тонкие, полулунной формы полоски, расположенные на краю заслонки по обе стороны от узелков. Рис. А.
- 8 Передняя сосочковая мышца, *m. papillaris anterior*. Рис. А.
- 9 Задняя сосочковая мышца, *m. papillaris posterior*. Рис. А.
- 10 АРТЕРИИ, *arteriae*. Кровеносные сосуды, проводящие кровь от сердца.
- 11 ЛЕГОЧНЫЙ СТВОЛ, *truncus pulmonalis*. Отходит от правого желудочка и разветвляется на правую и левую легочные артерии. Рис. Б.
- 12 Синус легочного ствола, *sinus trunci pulmonalis*. Три выпячивания стенки, расположенные у основания полулунных створок. Рис. Б.
- 13 Бифуркация легочного ствола, *bifurcatio trunci pulmonalis*. Разделение ствола на две ветви. Рис. Б.
- 14 Правая легочная артерия, *a. pulmonalis dextra*. Проходит позади восходящей части аорты. Рис. Б.
- 14а Ветви верхней доли, *rami lobi superioris*.
- 15 Верхушечная ветвь, *ramus apicalis*. Направляется к верхушечному сегменту. Рис. Б.
- 16 Задняя нисходящая ветвь, *ramus posterior descendens*. Следует к нижней части заднего сегмента. Рис. Б.
- 17 Передняя нисходящая ветвь, *ramus anterior descendens*. Идет к нижней части переднего сегмента. Рис. Б.
- 18 Передняя восходящая ветвь, *ramus anterior ascendens*. Направляется к верхней части переднего сегмента. Рис. Б.
- 19 Задняя восходящая ветвь, *ramus posterior ascendens*. Следует к верхней части заднего сегмента. Рис. Б.
- 20 Ветви средней доли, *rami lobi medii*. Рис. Б.
- 21 Латеральная ветвь, *ramus lateralis*. Идет к латеральному сегменту. Рис. Б.

- 22 Медиальная ветвь, *ramus medialis*. Предназначена для медиального сегмента. Рис. Б.
- 22а Ветви нижней доли, *rami lobi inferioris*.
- 23 Верхняя (верхушечная) ветвь нижней доли, *ramus superior (apicalis) lobi inferioris*. Направляется к верхнему сегменту нижней доли правого легкого. Рис. Б.
- 24 Базальная часть, *pars basalis*. Ветви для базальных сегментов нижней доли. Рис. Б.
- 25 Медиальная [[сердечная]] базальная ветвь, *ramus basalis medialis [[cardiacusj]*. Идет к медиальному базальному сегменту. Рис. Б.
- 26 Передняя базальная ветвь, *ramus basalis anterior*. Следует к переднему базальному сегменту. Рис. Б.
- 27 Латеральная базальная ветвь, *ramus basalis lateralis*. Предназначена для латерального базального сегмента. Рис. Б.
- 28 Задняя базальная ветвь, *ramus basalis posterior*. Направляется к заднему базальному сегменту. Рис. Б.
- 29 Левая легочная артерия, *a. pulmonalis sinistra*. Рис. Б.
- 29а Ветви верхней доли, *rami lobi superioris*.
- 30 Верхушечная ветвь, *ramus apicalis*. Идет к верхней части верхушечно-заднего сегмента. Рис. Б.
- 31 Передняя нисходящая ветвь, *ramus anterior descendens*. Следует к нижней части переднего сегмента. Рис. Б.
- 32 Задняя ветвь, *ramus posterior*. Направляется к задней части верхушечно-заднего сегмента. Рис. Б.
- 33 Передняя восходящая ветвь, *ramus anterior ascendens*. Предназначена для верхней части переднего сегмента. Рис. Б.
- 34 Язычковая ветвь, *ramus lingularis*. Делится на две ветви. Рис. Б.
- 35 Верхняя язычковая ветвь, *ramus lingularis superior*. Идет к верхнему язычковому сегменту. Рис. Б.
- 36 Нижняя язычковая ветвь, *ramus lingularis inferior*. Направляется к нижнему язычковому сегменту. Рис. Б.
- 36а Ветви нижней доли, *rami lobi inferioris*.
- 37 Верхняя ветвь нижней доли, *ramus superior lobi inferioris*. Следует к верхушечному (верхнему) сегменту нижней доли левого легкого. Рис. Б.
- 38 Базальная часть, *pars basalis*. Ветви к базальным сегментам нижней доли левого легкого. Рис. Б.
- 39 Медиальная базальная ветвь, *ramus basalis medialis*. Предназначена для медиального базального сегмента. Рис. Б.
- 40 Передняя базальная ветвь, *ramus basalis anterior*. Направляется к переднему базальному сегменту. Рис. Б.
- 41 Латеральная базальная ветвь, *ramus basalis lateralis*. Следует к латеральному базальному сегменту. Рис. Б.
- 42 Задняя базальная ветвь, *ramus basalis posterior*. Направляется к заднему базальному сегменту. Рис. Б.

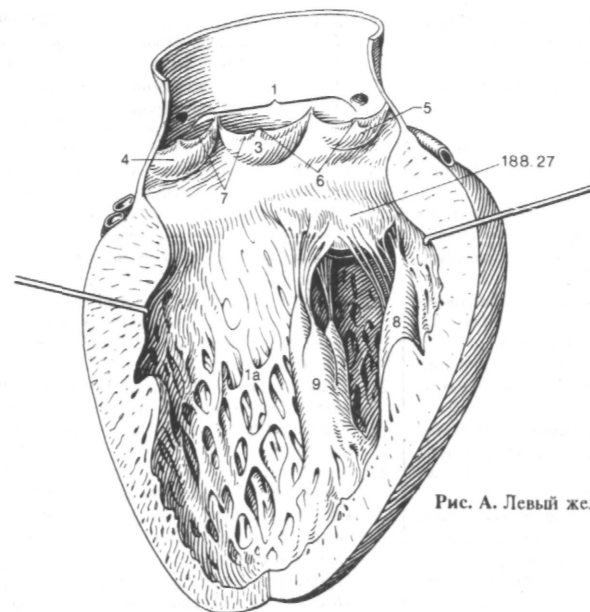


Рис. А. Левый желудочек (вскрыт)

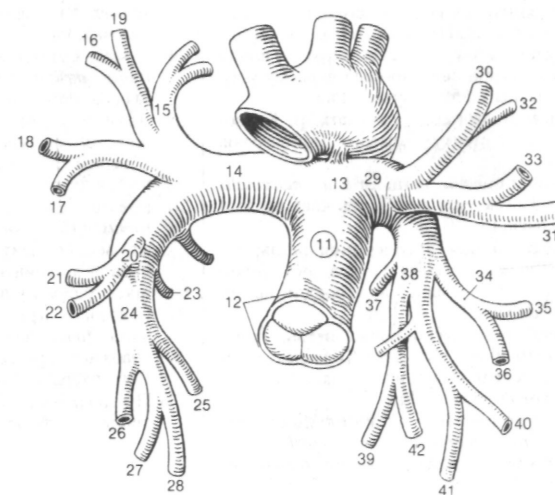


Рис. Б. Легочные артерии [6, 43, 81]

- 1 Артериальный [[боталлов]] проток, *ductus arteriosus* [[*Botalli*]]. Короткий артериальный ствол между бифуркацией легочного ствола и дугой аорты. Функционирует до рождения. Рис. А.
- 2 Артериальная связка, *lig. arteriosum*. Фиброзный тяж на месте заросшего артериального протока. Рис. Б.
- 3 АОРТА, *aorta*. Самый крупный артериальный сосуд большого круга кровообращения. Рис. Б.
- 4 ВОСХОДЯЩАЯ ЧАСТЬ АОРТЫ, *pars ascendens aortae*. Находится в пределах перикарда и идет в восходящем направлении. Рис. Б.
- 5 Луковица аорты, *bulbus aortae*. Расширенные стенки аорты возле ее основания. Соответствует синусам аорты. Рис. В.
- 6 Синусы аорты, *sinus aortae*. Расширения просвета аорты на уровне заслонок аортального клапана. Рис. В.
- 7 Правая венечная артерия, *acoronaria dextra*. Начинается от правого синуса аорты и проходит в правой венечной борозде. Рис. В, Г.
- 7а Предсердно-желудочковые ветви, *rami atrioventriculares*. Расположены в одной борозде. Участвуют в кровоснабжении предсердно-желудочкового узла. Рис. Г.
- 8 Ветвь артериального конуса, *rami4s coni arteriosi*. Разветвляется в верхней части правого желудочка. Рис. В.
- 9 Ветвь синусно-предсердного узла, *ramus nodi sinoatrialis*. Направляется к сосудистому сплетению у отверстия верхней полой вены и далее к синусно-предсердному узлу. Встречается в 55 % случаев. Рис. В.
- 9а Предсердные ветви, *rami atriales*. Кровоснабжают стенку правого предсердия. Рис. В.
- 10 Правая краевая ветвь, *ramus marginalis dexter*. Спускается вниз вдоль края правого желудочка. Рис. В, Г
- 11 Промежуточная предсердная ветвь, *ramus atrialis intermedius*. Идет в восходящем направлении по задней поверхности правого предсердия. Рис. Г.
- 12 Задняя межжелудочковая ветвь, *ramus interventricularis posterior*. Конечная ветвь правой венечной артерии в задней межжелудочковой борозде. Рис. Г.
- 13 Перегородочные межжелудочковые ветви, *rami interventricularis septales*. Кровоснабжают межжелудочковую перегородку. Рис. Г.
- 14 Ветвь предсердно-желудочкового узла, *ramus nodi atrioventricularis*. Отходит у начала межжелудочковой ветви и направляется к предсердно-желудочковому узлу. Рис. Г.
- 15 [Правая заднелатеральная ветвь, *ramus posterolateral dexter*]. Кровоснабжа-

ет заднюю стенку левого желудочка. Присутствует непостоянно. Рис. Г.

- 16 Левая венечная артерия, *a. coronaria sinistra*. Короткий ствол, который отходит от левого синуса аорты. Рис. В.
- 17 Передняя межжелудочковая ветвь, *ramus interventricularis anterior*. Проходит в передней межжелудочковой борозде. Рис. В.
- 18 Ветвь артериального конуса, *ramus coni arteriosi*. Направляется к артериальному конусу. Рис. В.
- 19 Латеральная ветвь, *ramus lateralis*. Кровоснабжает переднюю стенку левого желудочка. Рис. В.
- 20 Перегородочные межжелудочковые ветви, *rami interventricularis septales*. Кровоснабжают передние 2/3 межжелудочковой перегородки. Рис. В.
- 21 Огибающая ветвь, *ramus circumflexus*. Является продолжением *acoronaria sinistra*. Занимает левую часть венечной борозды. Рис. В, Г.
- 22 Анастомотическая предсердная ветвь, *ramus atrialis anastomoticus*. Проходит через межпредсердную перегородку и анастомозирует непосредственно с правой венечной артерией или с одной из ее ветвей. Рис. В.
- 22а Предсердно-желудочковые ветви, *rami atrioventriculares*. Дистальная часть огибающей ветви, расположенная в *sulcus atrioventricularis*. Рис. Г.
- 23 Левая краевая ветвь, *ramus marginalis sinister*. Разветвляется в стенке левого желудочка. Рис. В.
- 24 Промежуточная предсердная ветвь, *ramus atrialis intermedius*. Кровоснабжает заднюю стенку левого предсердия. Рис. Г.
- 25 Задняя ветвь левого желудочка, *ramus posterior ventriculi sinistri*. Направляется к задней стенке левого желудочка. Встречается непостоянно. Рис. Г.
- 26 [Ветвь синусно-предсердного узла, *ramus nodi sinoatrialis*]. Встречается в 45% случаев. Отходит у места начала левой венечной артерии и направляется к синусно-предсердному узлу. Рис. В.
- 27 [Ветвь предсердно-желудочкового узла, *ramus nodi atrioventricularis*]. Кровоснабжает предсердно-желудочковый узел. Встречается непостоянно. Рис. Г
- 27а Предсердные ветви, *rami atriales*. Кровоснабжают стенку левого предсердия.

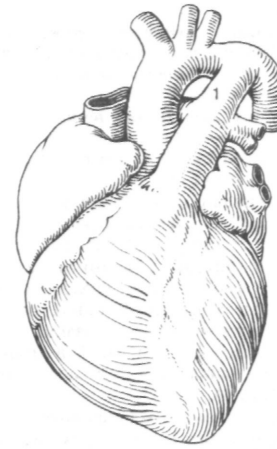


Рис. А. Сердце плода

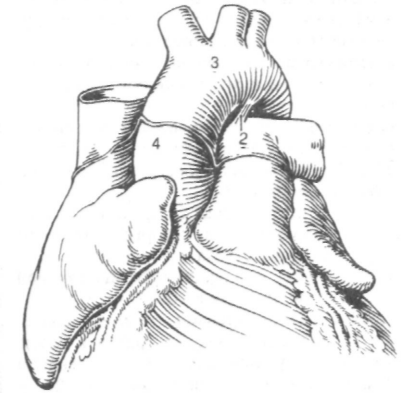


Рис. Б. Аорта и легочный ствол (вид спереди)

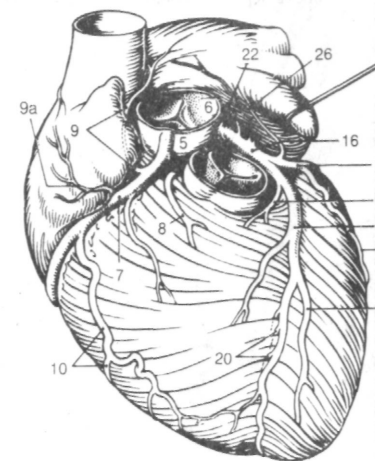


Рис. В. Сосуды сердца (вид спереди) [62]

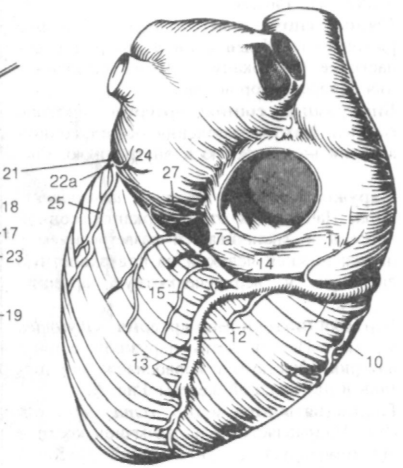


Рис. Г. Сосуды сердца (вид сзади) [62]

- 1 ДУГА АОРТЫ, *arcus aortae*. Находится между восходящей и нисходящей частями аорты. Рис. А.
- 2 Перешеек аорты, *isthmus aortae*. Сужение аорты между левой подключичной артерией и артериальной связкой. Рис. А.
- 3 Парааортальные тельца, *corpore azaaortica*. Островки хромафинной ткани, разбросанные вдоль аорты.
- 4 Плечеголовной ствол, *truncus brachiocephalicus*. Первая ветвь дуги аорты. Разделяется на правые подключичную и общую сонную артерии. Рис. А.
- 5 (Низшая щитовидная артерия, *athyroidea ima*). Непарный сосуд, который отходит от плечеголовного ствола или непосредственно от аорты в направлении щитовидной железы. Наблюдается в 10%. Рис. А.
- 6 Общая сонная артерия, *a carotis communis*. Расположена сбоку от трахеи и гортани под грудино-ключично-сосцевидной мышцей. На шее ветвей не дает. Рис. А.
- 7 Сонный гломус, *glomus caroticum*. Расположен в области бифуркации общей сонной артерии и функционирует как "хеморецептор". Содержит хромафинные клетки, расположенные вокруг капиллярных клубочков, а также большое количество нервных окончаний. Реагирует, в первую очередь, на уровень кислорода в крови и менее чувствителен к изменению концентрации СО<sub>2</sub>. Рис. А.
- 8 Сонный синус, *sinus caroticus*. Небольшое расширение общей сонной артерии в области ее бифуркации. Место расположения барорецепторов. Рис. А.
- 8a Бифуркация сонной артерии, *bifurcatio carotica*. Место разделения общей сонной артерии на наружную и внутреннюю. Рис. А.
- 9 Наружная сонная артерия, *axarotis externa*. Начинается от бифуркации сонной артерии и заканчивается разветвлением у шейки нижней челюсти на поверхностную височную и верхнечелюстную артерии. Рис. А.
- 10 Верхняя щитовидная артерия, *a.thyroidea superior*. Первая ветвь наружной сонной артерии. Участвует в кровоснабжении гортани и щитовидной железы. Рис. А.
- 11 Подподъязычная ветвь, *ramus infrahyoideus*. Направляется к подъязычной кости и анастомозирует с одноименной артерией противоположной стороны. Рис. А.
- 12 Грудино-ключично-сосцевидная ветвь, *ramus sternocleidomastoideus*. Уб\>ОКОсна:оK&ei одноименную мышцу. Рис. А.
- 13 Верхняя гортанная артерия, *a. laryngea superior*. Прободает щитоподъязычную мембрану и проходит под слизистой оболочкой грушевидного кармана. Рис. А.
- 14 Перстнещитовидная ветвь, *ramus cricothyroideus*. Кровоснабжает одноименную

мышцу и нижнюю часть гортани. Анастомозирует с ветвью противоположной стороны. Рис. А.

- 15 Передняя железистая ветвь, *ramus glandularis anterior*. Кровоснабжает, преимущественно, переднюю часть щитовидной железы. Рис. А.

- 16 Задняя железистая ветвь, *ramus glandularis posterior*. Кровоснабжает верхнюю и, в меньшей степени, заднюю части щитовидной железы. Рис. А.

- 16a Латеральная железистая ветвь, *ramus glandularis lateralis*. Кровоснабжает латеральную часть щитовидной железы. Рис. А.

- 17 Восходящая глоточная артерия, *a pharyngea ascendens*. Отходит от начального отдела наружной сонной артерии. Поднимается вверх до основания черепа, располагаясь между глоткой и мышцами, которые начинаются от шиловидного отростка. Рис. А.

- 18 Задняя менингеальная артерия, *a meningea posterior*. На шее проходит латерально от внутренней сонной артерии, проникает в череп через яремное отверстие и кровоснабжает твердую оболочку головного мозга задней черепной ямки. Рис. А.

- 19 Глоточные ветви, *rami pharyngeales*. Кровоснабжают стенку глотки. Рис. А.

- 20 Нижняя барабанная артерия, *a. tympanica inferior*. Проникает в барабанную полость через барабанный каналец. Рис. А.

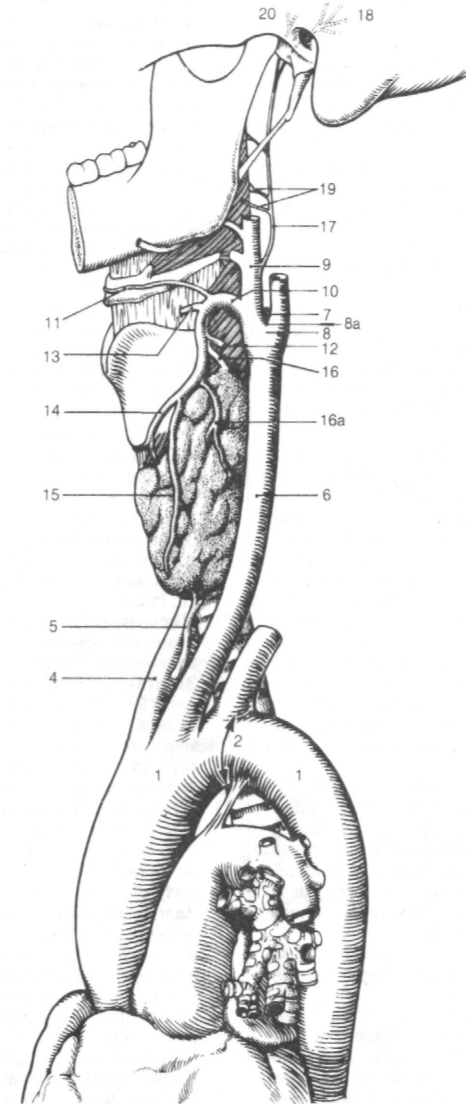


Рис. А. Дуга аорты и сосуды шеи

- 1 Язычная артерия, *aliqualis*. Вторая передняя ветвь наружной сонной артерии. Под *nuhyoglossus* направляется к языку. Рис. А, Б, В.
- 2 Надподъязычная ветвь, *ramus suprahyoideus*. Проходит у верхнего края подъязычной кости. Анастомозирует с артерией противоположной стороны и с *ramus infrahyoideus*. Рис. Б.
- 3 Подъязычная артерия, *a. sublingualis*. Начинается на уровне переднего края подъязычно-язычной мышцы, проходит между челюстно-подъязычной мышцей и подъязычной железой до десны. Рис. Б.
- 4 Дорсальные ветви языка, *rami dorsales linguae*. Кровоснабжают корень языка. Рис. Б.
- 5 Глубокая артерия языка, *aprofunda linguae*. Конечная ветвь язычной артерии, которая проходит между подборочно-язычной и нижней продольной мышцами к верхушке языка, где анастомозирует с одноименной артерией противоположной стороны. Рис. Б.
- 6 [Язычно-лицевой ствол, *truncus linguo-facialis*]. Присутствует непостоянно. Рис. А.
- 7 Лицевая артерия, *a. facialis*. Третья передняя ветвь наружной сонной артерии. Под шилоподъязычной мышцей направляется сначала вперед, затем латерально и огибает тело нижней челюсти у переднего края жевательной мышцы. Рис. А, Б, В.
- 8 Восходящая небная артерия, *a. palatina ascendens*. Начинается от лицевой артерии, проходит между шилоязычной мышцей и латеральной стенкой глотки. Кровоснабжает небную миндалину и мягкое небо. В случае ее отсутствия перечисленные структуры кровоснабжает восходящая глоточная артерия. Рис. В.
- 9 Миндаликовая ветвь, *ramus tonsillaris*. Начинается от восходящей небной артерии и кровоснабжает небные миндалины. Рис. В.
- 10 Подподбородочная артерия, *a. submental*. Лежит под челюстно-подъязычной мышцей, кровоснабжает эту мышцу и поднижнечелюстную железу. Анастомозирует с подъязычной артерией. Рис. В.
- 11 Железистые ветви, *rami glandulares*. Кровоснабжают поднижнечелюстную железу. Рис. В.
- 12 Нижняя губная артерия, *a. labialis inferior*. Расположена между мышцами и слизистой оболочкой нижней губы. Анастомозирует с подподбородочной, подбородочной артериями и *a. labialis inferior* противоположной стороны. Рис. В.
- 13 Верхняя губная артерия, *a. labialis superior*. Проходит между мышцами и слизистой оболочкой верхней губы. Анастомозирует с одноименной артерией противоположной стороны, а также с *atraversa faciei et infraorbitalis*. Рис. В.
- 13а Ветвь перегородки носа, *ramus septi nasi*. Направляется к венозному сплетению перегородки носа (Киссельбахово поле). Рис. В.

- 13б Латеральная ветвь носа, *ramus lateralis nasi*. Идет к основанию крыла носа. Рис. В.
- 14 Угловая артерия, *a. angularis*. Конечная ветвь лицевой артерии, которая анастомозирует с глазной артерией. Рис. В.
- 15 Затылочная артерия, *a. occipitalis*. Вторая задняя ветвь наружной сонной артерии. Направляется к затылку у одноименной борозде сосцевидного отростка и анастомозирует с поверхностной височной, позвоночной, глубокой шейной и задней ушной артериями. Рис. В, Г.
- 16 Сосцевидная ветвь, *ramus mastoideus*. Проходит через сосцевидное отверстие к диплозу и твердой оболочке головного мозга. Кровоснабжает также ячейки сосцевидного отростка. Рис. В.
- 17 Ушная ветвь, *ramus auricularis*. Проходит позади ушной раковины под грудно-ключично-сосцевидной мышцей. Рис. В.
- 18 Грудно-ключично-сосцевидные ветви, *rami stemocleidomastoidei*. Небольшие мышечные ветви. Рис. В.
- 19 [Менингеальная ветвь, *ramus meningeus*]. Проходит через теменное отверстие и кровоснабжает твердую оболочку головного мозга. Присутствует непостоянно. Рис. В.
- 20 Затылочные ветви, *rami occipitales*. Имеют извилистый ход. Направляются через трапециевидную мышцу к затылочной области. Рис. В.
- 21 Нисходящая ветвь, *ramus descendens*. Проходит под ременной мышцей головы и разветвляется в близлежащих мышцах. Рис. В.
- 22 Задняя ушная артерия, *a. auricularis posterior*. Третья задняя ветвь наружной сонной артерии. Расположена сначала между околоушной железой и шиловидным отростком, затем между ушной раковиной и сосцевидным отростком. Рис. В, Г.
- 23 Шиლოსосцевидная артерия, *a. stylomastoidea*. Сопровождает лицевой нерв и кровоснабжает слизистую оболочку барабанной полости, ячейки сосцевидного отростка, полукружные каналы. Рис. Г.
- 24 Задняя барабанная артерия, *a. tympanica posterior*. Проникает в канал лицевого нерва вместе с барабанной струной и идет в направлении барабанной перепонки. Рис. Г.
- 25 Сосцевидные ветви, *rami mastoidei*. Направляются к ячейкам сосцевидного отростка. Рис. Г.
- 26 [Стременная ветвь, *ramus stapediais*]. Кровоснабжает одноименную мышцу.
- 27 Ушная ветвь, *ramus auricularis*. Кровоснабжает кожу задней и передней (прободающие ветви) поверхностей ушной раковины, а также ушные мышцы. Рис. Г.
- 28 Затылочная ветвь, *ramus occipitalis*. Проходит над сосцевидным отростком к затылку, где анастомозирует с затылочной артерией. Рис. Г.
- 28а Ветвь околоушной железы, *ramus parotidus*. Рис. Г.

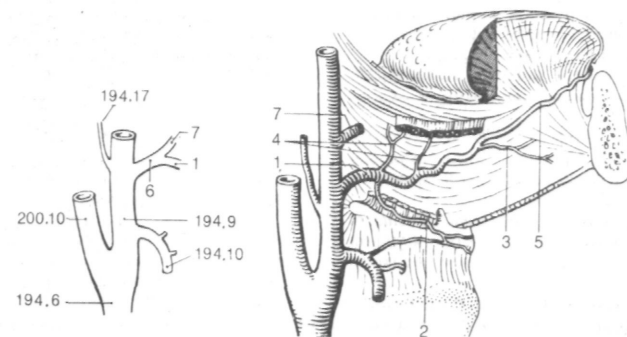


Рис. А. Язычно-лицевой ствол

Рис. Б. Ветви наружной сонной артерии

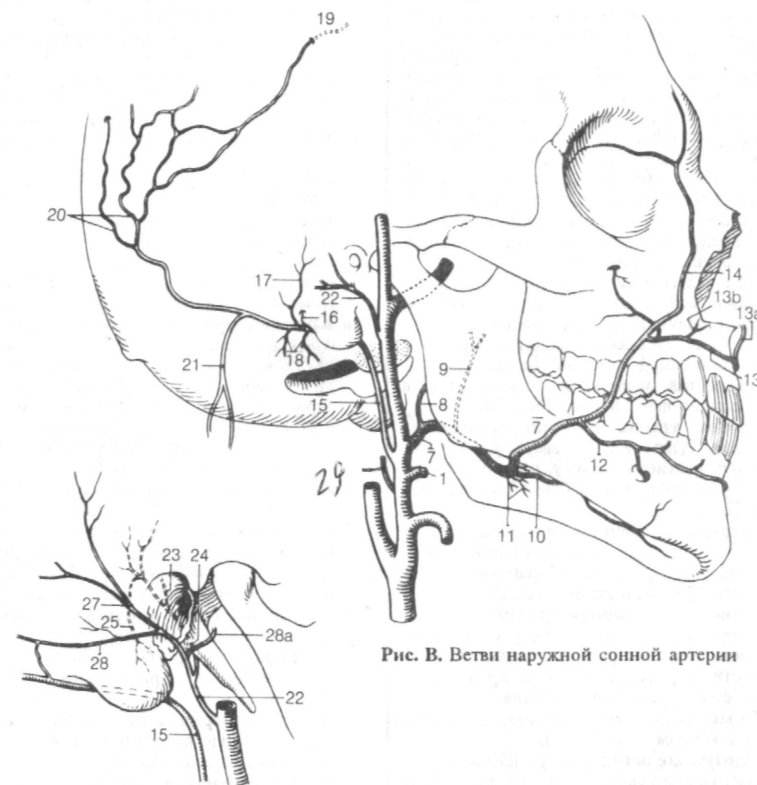


Рис. В. Ветви наружной сонной артерии

Рис. Г. Ветви наружной сонной артерии



- 1 **Поверхностная височная артерия, *atemporalis superficialis***. Одна или две конечные ветви наружной сонной артерии. Вместе с ушно-височным нервом идут спереди от ушной раковины. Рис. А, Б.
- 2 **Ветвь околоушной железы, *ramus parotidicus***. Кровоснабжает одноименную железу. Рис. А.
- 3 **Поперечная артерия лица, *a. transversa faciei (facialis)***. Проходит ниже скуловой дуги под фасцией околоушной железы в направлении щеки. Рис. А.
- 4 **Передние ушные ветви, *rami auriculares anteriores***. Многочисленные ветви к ушной раковине и наружному слуховому проходу. Рис. А.
- 5 **Скулоглазничная артерия, *azygomati-orbitalis***. Проходит выше скуловой дуги к латеральному краю глазницы. Рис. А.
- 6 **Средняя височная артерия, *a. temporalis media***. Отходит выше скуловой дуги и кровоснабжает одноименную мышцу. Рис. А.
- 7 **Лобная ветвь, *ramus frontalis***. Передняя ветвь поверхностной височной артерии. Анастомозирует с одноименным сосудом противоположной стороны, надглазничной и надбровковой артериями (ветви внутренней сонной артерии). Рис. А.
- 8 **Теменная ветвь, *ramus parietalis***. Задняя ветвь поверхностной височной артерии. Анастомозирует с одноименной ветвью противоположной стороны, задней ушной и затылочной артериями. Рис. А.
- 9 **Верхнечелюстная артерия, *a. maxillaris***. Крупная конечная ветвь наружной сонной артерии. Начинается ниже височно-нижнечелюстного сустава, проходит с наружной или внутренней стороны от латеральной крыловидной мышцы и разветвляется в крыловидно-небной ямке. Рис. А, Б.
- 10 **Глубокая ушная артерия, *auricularis profunda***. Идет назад и вверх к височно-нижнечелюстному суставу, наружному слуховому проходу и барабанной перепонке. Рис. Б.
- 11 **Передняя барабанная артерия, *a. tympanica anterior***. В сопровождении *chorda tympani* через каменисто-барабанную щель заходит в барабанную полость. Рис. Б.
- 12 **Нижняя альвеолярная артерия, *a. alveolaris inferior***. Проходит между медиальной крыловидной мышцей и ветвью нижней челюсти. В *canalis mandibulae* продолжается до подбородочного отверстия. Рис. Б.
- 13 **Зубные ветви, *rami dentales***. Направляются к корням зубов. Рис. Б.
- 13а **Околозубные ветви, *rami peridentales***.
- 14 **Челюстно-подъязычная ветвь, *ramus mylohyoideus***. Начинается перед отверстием нижней челюсти и с *p. mylohyoideus* лежит в одноименной борозде. Анастомозирует с *a. submentalis*. Рис. Б.
- 15 **Подбородочная ветвь, *ramus mentalis***. Конечная ветвь нижней альвеолярной артерии. Кровоснабжает подбородок. Рис. Б.
- 16 **Средняя менингеальная артерия, *a. meningea media***. Проходит медиально от т. *pterygoideus lat* и через остистое отверстие заходит в среднюю черепную ямку, где разветвляется на конечные ветви. Рис. Б, В.
- 17 **Добавочная ветвь, *ramus accessorius***. Начинается от средней менингеальной или верхнечелюстной артерии и кровоснабжает слуховую трубу, крыловидные мышцы. Проникает в череп через овальное отверстие и разветвляется в твердой оболочке вокруг *ganglion trigeminale*.
- 18 **Каменистая ветвь, *ramus petrosus***. Начинается от средней менингеальной артерии в полости черепа. Через расщелину канала большого каменистого нерва анастомозирует с шилососцевидной артерией. Рис. В.
- 19 **Верхняя барабанная артерия, *a. tympanica superior***. Лежит рядом с каменистой ветвью и вместе с *p. petrosus minor* проникает в барабанную полость. Рис. В.
- 20 **Лобная ветвь, *ramus frontalis***. Крупная конечная ветвь средней менингеальной артерии. Внутри черепа лежит в костной борозде или канале у края малых крыльев клиновидной кости. Рис. В.
- 21 **Теменная ветвь, *ramus parietalis***. Кровоснабжает заднюю часть твердой оболочки в области свода черепа. Рис. В.
- 22 **Глазничная ветвь, *ramus orbitalis***. Проходит через верхнюю глазничную щель к слезной железе. Рис. В.
- 23 **Анастомотическая ветвь [[со слезной артерией]], *ramus anastomoticus [[cum a. lacrimalis]]***. Рис. В.
- 23а **Крыловидно-менингеальная артерия, *arterygomeningea***. Начинается от верхнечелюстной или средней менингеальной артерий и через овальное отверстие заходит в череп. Кровоснабжает мышцу, напрягающую небную занавеску, крыловидные мышцы, слуховую трубу, твердую оболочку головного мозга и тройничный узел.
- 24 **Жевательная артерия, *a. masseterica***. Проходит над вырезкой нижней челюсти и кровоснабжает одноименную мышцу. Рис. Б.
- 25 **Передняя глубокая височная артерия, *a. temporalis profunda anterior***. Идет вверх и вступает в височную мышцу. Рис. Б.
- 25а **Задняя височная артерия, *a. temporalis profundae anterior***. См. стр. 409
- 26 **Крыловидные ветви, *rami pterygoidei***. Кровоснабжают крыловидные мышцы. Рис. Б.
- 27 **Щечная артерия, *a. buccalis***. Проходит по щечной мышце вперед и вниз. Кровоснабжает щеку и десну. Рис. Б.
- 28 **Задняя верхняя альвеолярная артерия, *a. alveolaris superior posterior***. Ее ветви заходят в альвеолярные каналы и кровоснабжают верхние моляры, десну и слизистую оболочку верхнечелюстной пазухи. Рис. Б.
- 29 **Зубные ветви, *rami dentales***. Направляются к корням моляров верхней челюсти. Рис. Б.
- 29а **Околозубные ветви, *rami peridentales***.

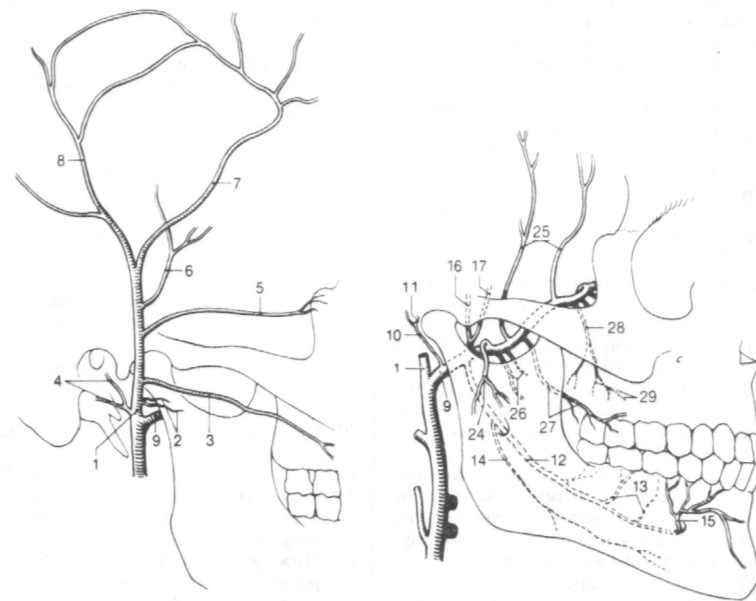


Рис. А. Поверхностная височная артерия

Рис. Б. Верхнечелюстная артерия

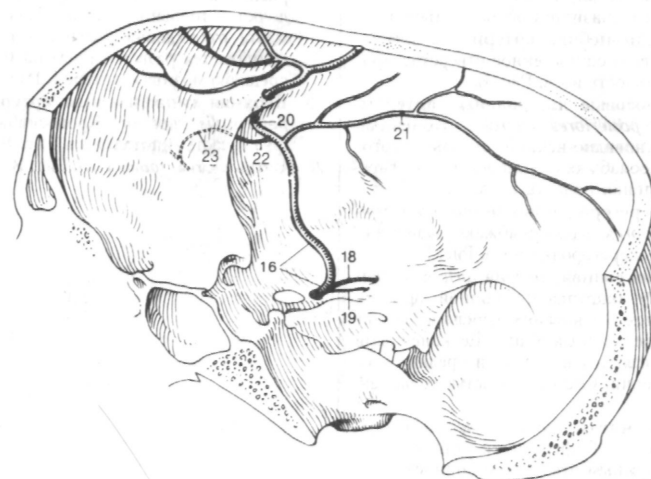


Рис. В. Средняя менингеальная артерия

- 1 Подглазничная артерия, *a. infraorbitalis*. Конечная ветвь верхнечелюстной артерии. Проходит через нижнюю глазничную щель, подглазничные борозду и канал. Выходит на лицо из подглазничного отверстия. Рис. А.
- 2 Передние верхние альвеолярные артерии, *aa. alveolares superiores anteriores*. Начинаются в *canalis infraorbitalis* и в толще кости спускаются к передним зубам верхней челюсти. Рис. А.
- 3 Зубные ветви, *rami dentales*. Направляются к корням зубов. Рис. А.
- 3а Околозубные ветви, *rami peridentales*.
- 4 Артерия крыловидного канала, *a. canalis pterygoidei*. Проходит через одноименный канал и кровоснабжает слуховую трубу, слизистую оболочку верхней части глотки и барабанной полости. Рис. А, Б.
- 4а Глоточная ветвь, *ramus pharyngeus*.
- 5 Нисходящая небная артерия, *a. palatina descendens*. Спускается через большой небный канал. Рис. А, Б.
- 6 Большая небная артерия, *apalarina major*. Выходит из большого небного отверстия и направляется к переднему отделу неба. Кровоснабжает покрывающую его слизистую оболочку и десну. Рис. Б.
- 7 Малые небные артерии, *aa. palatinae minores*. Отходят от большой небной артерии внутри канала и через малые небные отверстия достигают мягкого неба. Рис. Б.
- 7а Глоточная ветвь, *ramus pharyngeus*. Направляется к слизистой оболочке глотки.
- 8 Клиновидно-небная артерия, *a. sphenopalatine*. Через одноименное отверстие проникает в полость носа. Рис. Б.
- 9 Задние носовые латеральные артерии, *aa. nasa-les posteriores laterales*. Конечные ветви клиновидно-небной артерии, которые кровоснабжают заднюю часть латеральной стенки полости носа. Рис. Б.
- 9а Задние перегородочные ветви, *rami septales posteriores*. Кровоснабжают заднюю часть перегородки носа. Рис. Б.
- 10 Внутренняя сонная артерия, *arteria carotis interna*. От бифуркации сонной артерии поднимается к основанию черепа и заходит в него через сонный канал. Ее конечными ветвями являются передняя и средняя мозговые артерии. Состоит из четырех частей. Рис. Б, В.
- 11 Шейная часть, *pars cervicalis*. Расположена между бифуркацией сонной артерии и наружным отверстием сонного канала. Ветвей не дает. Рис. Б, В.
- 12 Сонный синус, *sinus caroticus*. В ряде случаев непостоянное расширение начального отдела внутренней сонной артерии. Место расположения барорецепторов. Рис. Б.
- 13 Каменистая часть, *pars petrosa*. Расположена на протяжении сонного канала. Рис. В.
- 14 Сонно-барабанные артерии, *aa. carotico-tympanicae*. Направляются в барабанную полость. Рис. В.
- 15 Крыловидная ветвь, *ramus pterygoideus*. Проходит в одноименном канале и кровоснабжает боковую стенку клиновидной пазухи. Рис. В.
- 16 Пещеристая часть, *pars cavernosa*. Расположена на протяжении пещеристого синуса и заканчивается вблизи зрительного канала. Рис. В.
- 17 Базальная ветвь намета, *ramus basalis tentorii*. Идет вдоль верхнего края пирамиды височной кости к намету мозжечка. Рис. В.
- 18 Краевая ветвь намета, *ramus marginalis tentorii*. Проходит вблизи вырезки намета мозжечка. Рис. В.
- 19 Менингеальная ветвь, *ramus meningeus*. Разветвляется в твердой мозговой оболочке средней черепной ямки. Рис. В.
- 20 Ветвь тройничного узла, *ramus ganglionis trigeminalis*. Рис. В.
- 21 Ветви нервов, *rami nervorum*. Рис. В.
- 22 Ветвь пещеристого синуса, *ramus sinus cavernosa*. Направляется к пещеристому синусу. Рис. В.
- 23 Нижняя гипофизарная артерия, *a. hypophysialis inferior*. Кровоснабжает заднюю долю гипофиза. Рис. В.
- 24 Мозговая часть, *pars cerebri*. Конечный отдел внутренней сонной артерии, расположенный внутри от твердой оболочки головного мозга. Начинается от места отхождения глазной артерии и заканчивается разветвлением на переднюю и среднюю мозговые артерии. Рис. В.
- 25 Верхняя гипофизарная артерия, *a. hypophysialis superior*. Кровоснабжает гипофиз и часть гипоталамуса. Рис. В.
- 26 Ветвь ската, *ramus clivi*. Рис. В.

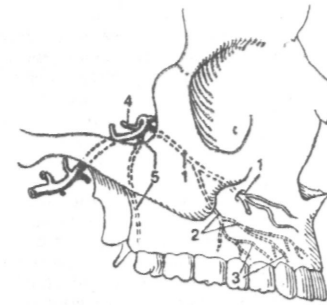


Рис. А. Подглазничная артерия

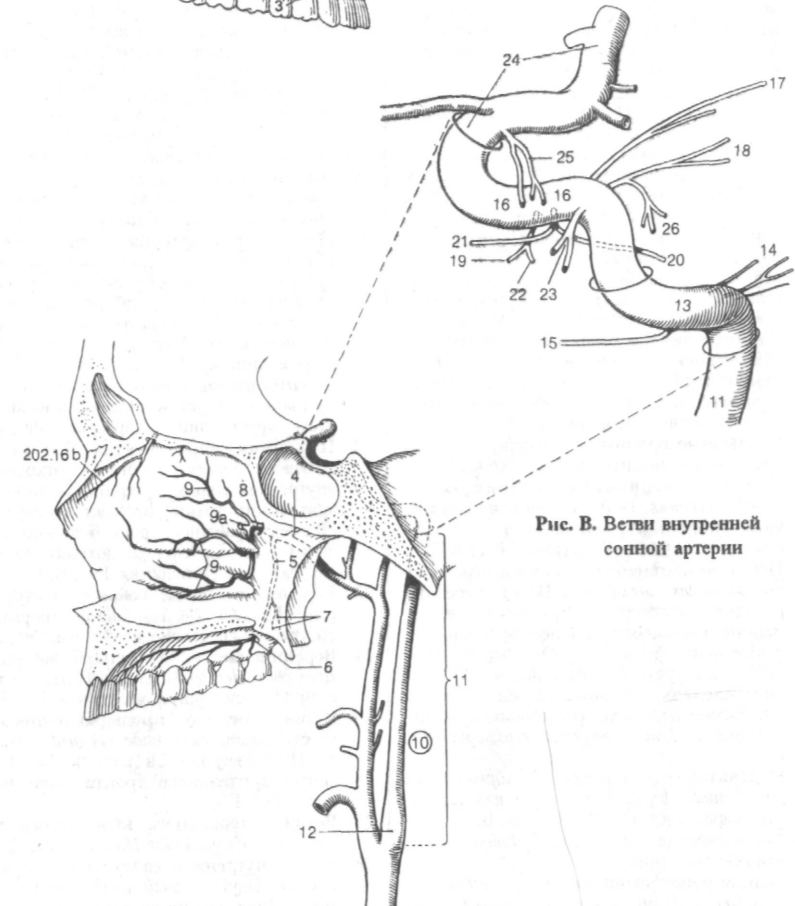


Рис. В. Ветви внутренней сонной артерии

Рис. Б. Артерии латеральной стенки полости носа

- 1 Глазная артерия, *a. ophthalmica*. Отходит от изгиба внутренней сонной артерии и вместе со зрительным нервом через *canalis opticus* проникает в глазницу. Рис. А.
- 2 Центральная артерия сетчатки, *a. centralis retinae*. Заходит в зрительный нерв снизу, на расстоянии 1 см от заднего полюса глазного яблока и разветвляется в сетчатке. Рис. А.
- 3 Слезная артерия, *a. lacrimalis*. Боковая ветвь глазной артерии, которая вдоль верхнего края латеральной прямой мышцы направляется к слезной железе. Рис. А.
- 4 Анастоматическая ветвь [со средней менингеальной артерией], *ramus anastomoticus [cum a meningea media]*. Соединяется с глазничной ветвью средней менингеальной артерии. Иногда заменяет глазную артерию. Рис. А.
- 5 Латеральные артерии века, *aa palpebrales laterales*. Направляются к верхнему и нижнему веку. Рис. А, Б.
- 5а Возвратная менингеальная ветвь, *ramus meningeus recurrens*. Через верхнюю глазничную щель заходит в полость черепа и анастомозирует с *ramus anastomoticus*.
- 6 Короткие задние ресничные артерии, *aa ciliares posteriores breves*. Ор 10 до 15 ветвей, которые прободают склеру вокруг зрительного нерва и разветвляются в собственно сосудистой оболочке. Рис. А.
- 7 Длинные задние ресничные артерии, *aa ciliares posteriores longae*. Подходят к глазному яблоку с двух сторон. Между склерой и собственно сосудистой оболочкой достигают ресничного тела. Рис. А, Б.
- 8 Мышечные артерии, *aa musculares*. Кровоснабжают мышцы глазного яблока.
- 9 Передние ресничные артерии, *aa ciliares anteriores*. Ветви слезной или мышечных артерий к ресничному телу и собственной сосудистой оболочке. Рис. А, Б.
- 10 Передние конъюнктивальные артерии, *aa conjunctivales anteriores*. Ветви передних ресничных артерий к конъюнктиве. Рис. Б.
- 11 Задние конъюнктивальные артерии, *aa conjunctivales posteriores*. Отходят от слезной и надглазничной артерий. Рис. А.
- 12 Эписклеральные артерии, *aa episclerales*. Ветви передних ресничных артерий, которые идут по поверхности склеры. Рис. Б.
- 13 Надглазничная артерия, *a supraorbital [a frontalis lat.]*. Идет через надглазничную вырезку к коже лба. Рис. А, Б.
- 13а Диплоическая ветвь, *ramus diploicus*. Направляется к диплое.
- 14 Задняя решетчатая артерия, *a ethmoidalis posterior*. Расположена под верхней косой мышцей, через заднее решетчатое отверстие проникает в заднюю решетчатую пазуху и задний отдел полости носа. Рис. А.
- 15 Передняя решетчатая артерия, *a ethmoidalis anterior*. Через переднее решетчатое отверстие попадает в череп, откуда через

решетчатую пластинку ее ветви проникают в носовую полость, в лобную и переднюю решетчатую пазухи. Рис. А.

- 16 Передняя менингеальная ветвь, *a meningea anterior*. Ветвь внутричерепной части передней решетчатой артерии к твердой оболочке головного мозга. Рис. А.
- 16а Передние перегородочные ветви, *rami septales anteriores*. Отходят от передней решетчатой артерии к верхней части носовой перегородки.
- 16б Латеральные передние носовые ветви, *rami anteriores laterales*. Отходит от передней решетчатой артерии к слизистой оболочке перегородки носа и передней решетчатой пазухи. См. стр. 201, рис. Б.
- 17 Медиальные артерии века, *aa palpebrales mediales*. Начинаются от глазной артерии, анастомозируют с *aa palpebrales laterales* и формируют дуги века. Рис. А, Б.
- 18 Дуга верхнего века, *arcus palpebralis superior*. Анастомоз латеральной и медиальной артерий века над *tarsus superior*. Рис. Б.
- 19 Дуга нижнего века, *arcus palpebralis inferior*. Анастомоз латеральной и медиальной артерий века книзу от *tarsus inferior*. Рис. Б.
- 20 Надблоковая артерия, *a supratrochlearis [a frontalis med.]*. Конечная ветвь глазной артерии, проходящая через лобную вырезку. Анастомозирует с артерией противоположной стороны, надглазничной и поверхностной височной артериями. Рис. А, Б.
- 21 Дорсальная артерия носа, *a. dorsalis nasi (a nasi externa)*. Прободает круговую мышцу глаза и следует вдоль спинки носа. Анастомозирует с лицевой артерией. Рис. А, Б.
- 22 Передняя ворсинчатая артерия, *a chorioidea anterior*. Обычно отходит от внутренней сонной артерии. Следует вдоль зрительного тракта, вступает в сосудистое сплетение нижнего рога бокового желудочка и в его составе доходит до межжелудочкового отверстия. Рис. В, Г.
- 23 Ворсинчатые ветви бокового желудочка, *rami chorioidei ventriculi lateralis*. Формирует сосудистое сплетение желудочка. Рис. В, Г.
- 24 Ворсинчатые ветви третьего желудочка, *rami chorioidei ventriculi tertii*. Следуют к сосудистому сплетению желудочка. Рис. В.
- 25 Ветви переднего продырявленного вещества, *rami substantiae perforatae anterioris*. Идет к внутренней капсуле. Рис. Г.
- 26 Ветви зрительного тракта, *rami tractus optici*. Рис. Г.
- 27 Ветви латерального коленчатого тела, *rami corporis geniculati lateralis*. Рис. Г.
- 28 Ветви внутренней капсулы, *rami capsulae internaе*. Идут к задней части капсулы.
- 29 Ветви бледного шара, *rami globi pallidi*.
- 30 Ветви хвоста хвостатого ядра, *rami caudae nuclei caudati*. Подходят к ядру снизу.
- 31 Ветви серого бугра, *rami tuberi cinerei*. Рис. Г.
- 32 Ветви ядер гипоталамуса, *rami nucleorum hypothalamicorum*.

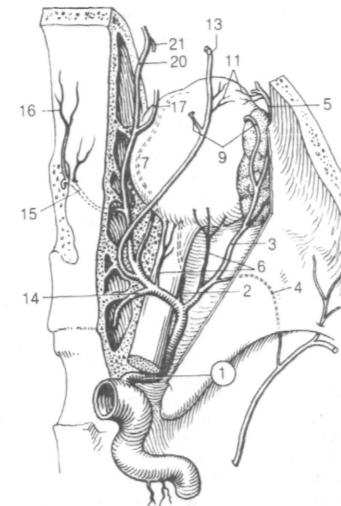


Рис. А. Глазная артерия

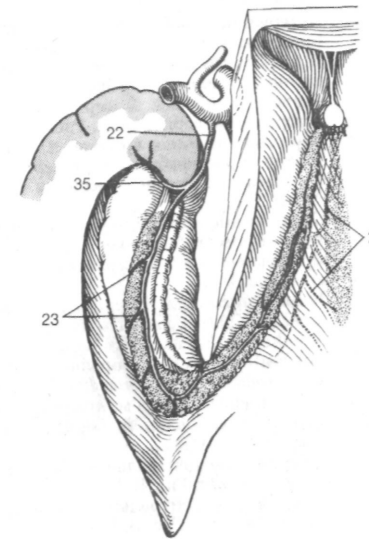


Рис. В. Передняя ворсинчатая артерия (вид сверху)

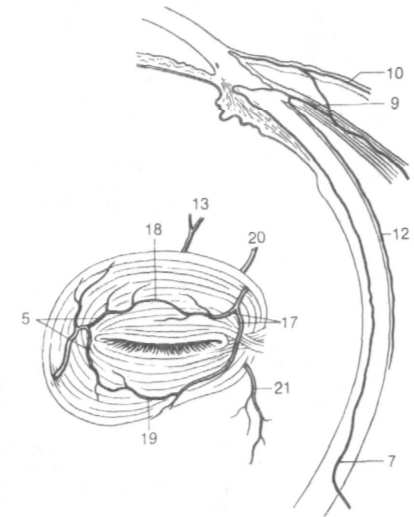


Рис. Б. Ветви глазной артерии на лице

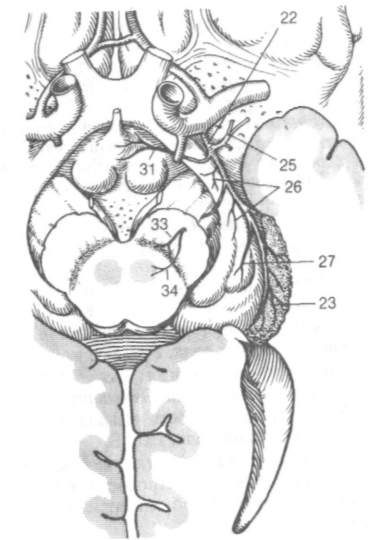


Рис. Г. Передняя ворсинчатая артерия (вид снизу)

- 33 Ветви черного вещества, *rami substantiae nigrae*. Проходят через ножку мозга. Рис. Г.
- 34 Ветви красного ядра, *rami nuclei rubri*. Проходят через ножку мозга. Рис. Г.
- 35 Ветви миндалинкового тела, *rami corporis amygdaloidei*. Кровоснабжают медиальное миндалинковое тело. Рис. В.

- 1 Передняя мозговая артерия, *a. cerebri anterior*. Одва из двух конечных ветвей внутренней сонной артерии. Направляется кзади над мозолистым телом и кровоснабжает большую часть медиальной поверхности полушарий большого мозга. Рис. А.
- 2 Прекоммуникационная часть, *pars precommunicalis*. Часть передней мозговой артерии до отхождения передней соединительной артерии. Рис. А.
- 3 Переднемедиальные центральные артерии (переднемедиальные таламостриарные артерии), *aa centrales anteromediales (aa thalamostriatae anteromediales)*. Начинаются от передних мозговых артерий. Подходят к таламусу и полосатому телу снизу. Рис. А.
- 4 Короткая центральная артерия, *a. centralis brevis*. Ветвь передней мозговой артерии к полушарию головного мозга. Рис. А.
- 5 Длинная центральная артерия (возвратная артерия) [[Гейбнера]], *a. centralis longa (a. recurrens)* [[Heubner]]. Ретроградная ветвь, расположенная параллельно передней мозговой артерии. Пронизывает переднее продырявленное вещество и кровоснабжает среднюю и латеральную части чечевицеобразного ядра, головку *nucleus caudatus*, переднюю ножку внутренней капсулы. Рис. А.
- 6 Передняя соединительная артерия, *a. communicans anterior*. Соединяет передние мозговые артерии между собой. Рис. А.
- 7 Переднемедиальные центральные ветви, *rami centrales anteromediales*. Заходят в мозг почти сразу после своего начала. Рис. А.
- 8 Посткоммуникационная часть (перикаллозная артерия), *pars postcommunicalis (apercallosa)*. Участок передней мозговой артерии после отхождения *acomunicans anterior*. Рис. Б.
- 9 Медиальная лобно-базальная артерия (медиальная глазнично-лобная ветвь), *a. frontobasalis medialis (r. orbitofrontalis medialis)*. Кровоснабжает нижнюю поверхность лобной доли. Рис. Б.
- 10 Мозолисто-краевая артерия, *a. callosomarginalis*. Проходит в борозде мозолистого тела. Рис. Б.
- 11 Переднемедиальная лобная ветвь, *ramus frontalis anteromedialis*. Кровоснабжает нижнюю половину медиальной поверхности лобной доли. Рис. Б.
- 12 Промежуточно-медиальная лобная ветвь, *ramus frontalis mediomedialis*. Кровоснабжает среднюю часть медиальной поверхности лобной доли. Рис. Б.
- 13 Заднемедиальная лобная ветвь, *ramus frontalis posteromedialis*. Кровоснабжает заднюю часть медиальной поверхности лобной доли. Рис. Б.
- 14 Поясная ветвь, *ramus cingularis*. Проходит в одноименной борозде. Рис. Б.
- 15 Парацентральная артерия, *aparacentralis*. Кровоснабжает участок коры, располо-

- женный позади центральной борозды. Рис. Б.
- 16 Предклинная артерия, *aprecunealis*. Кровоснабжает область спереди от клина. Рис. Б.
- 17 Теменно-затылочная артерия, *aparietoooccipitalis*. Проходит в одноименной борозде. Рис. Б.
- 18 Средняя мозговая артерия, *a. cerebri media*. Вторая конечная ветвь внутренней сонной артерии. Проходит между лобной и теменной долями в латеральной борозде и кровоснабжает большую часть верхнелатеральной поверхности полушария большого мозга. Рис. А.
- 19 Клиновидная часть, *pars sphenoidalis*. Начальный отдел средней мозговой артерии, расположенный почти горизонтально и параллельно малым крыльям клиновидной кости. Рис. А.
- 20 Переднелатеральные центральные артерии (переднелатеральные таламостриарные артерии), *aa. centraks anterolateraks (aa thalamostriatae anterolateraks)*. Заходят в вещество мозга через переднее продырявленное вещество.
- 21 Медиальные ветви, *rami mediaks*. Проходят через *nucleus knitifomis* к хвостатому ядру и внутренней капсуле. Рис. А.
- 22 Латеральные ветви, *rami lateraks*. Обгибают *nucleus knitifomis* с латеральной стороны и направляются к внутренней капсуле и хвостатому ядру. Рис. А.
- 23 Островковая часть, *pars insularis*. Часть средней мозговой артерии, расположенная на поверхности островка. Рис. Г.
- 24 Островковые артерии, *aa insulares*. Кровоснабжают кору островка. Рис. Г.
- 25 Латеральная лобно-базальная артерия (латеральная глазнично-лобная ветвь), *a. frontobasalis lateralis (ramus orbitofrontalis lateralis)*. Направляется вперед и разветвляется на нижней и верхнелатеральной поверхностях лобной доли. Рис. В, Г.
- 26 Передняя височная артерия, *a. temporalis anterior*. Кровоснабжает кору передней части верхней и средней височных извилин. Рис. В, Г.
- 27 Средняя височная артерия, *a. temporalis media*. Кровоснабжает кору средней части верхнелатеральной поверхности височной доли. Рис. В, Г.
- 28 Задняя височная артерия, *a. temporalis posterior*. Кровоснабжает кору задней части височной доли. Рис. В, Г.
- 29 Конечная часть (корковая часть), *pars terminalis (pars corticalis)*. Терминальные ветвления средней мозговой артерии.
- 30 Артерия центральной борозды, *asuki centralis*. Рис. В, Г.
- 31 Артерия предцентральной борозды, *a. suki precentralis*. Рис. В, Г.
- 32 Артерия постцентральной борозды, *a. suki postcentralis*. Рис. В, Г.
- 33 Передняя и задняя теменные артерии, *aa parietaks anterior et posterior*. Кровоснабжают кору теменной доли. Рис. В, Г.
- 34 Артерия угловой извилины, *a gyri angularis*. Рис. В, Г.

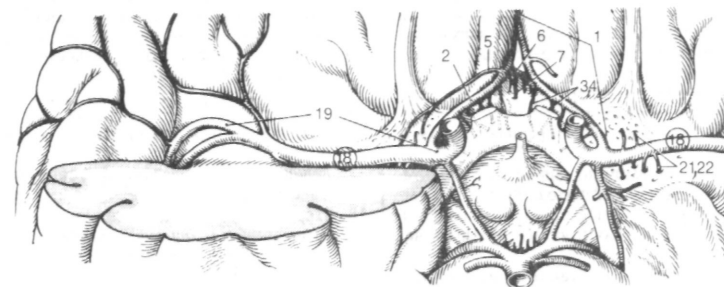


Рис. А. Передняя и средняя мозговые артерии

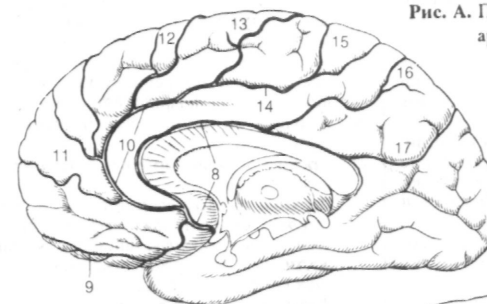


Рис. Б. Передняя мозговая артерия

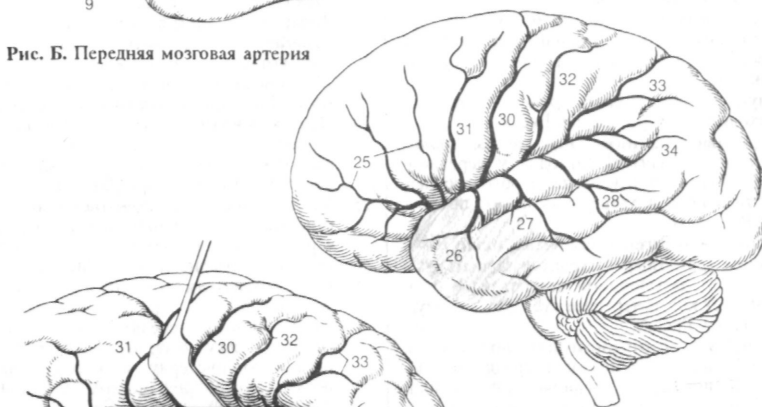


Рис. В. Средняя мозговая артерия

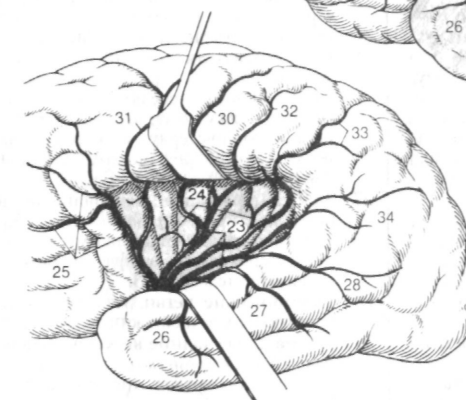


Рис. Г. Островковые артерии

- 1 Подключичная артерия, *asubclavia* Проходит между передней и средней лестничными мышцами в одноименной борозде на первом ребре и дистальнее его наружного края продолжается в подмышечную артерию. Рис. А.
- 2 Позвоночная артерия, *a vertebralis*. Начинается позади передней лестничной мышцы, проходит в отверстиях поперечных отростков (С 6 - С 1). Ложится в одноименную борозду на задней дуге атланта, прободает заднюю атлантозатылочную мембрану и через большое отверстие заходит в полость черепа. Состоит из четырех частей. Рис. А, Б, Г.
- 3 Предпозвоночная часть, *pars prevertebralis*. Короткий участок до вступления артерии в отверстие поперечного отростка С 6. Рис. А.
- 4 Поперечноотростковая (шейная) часть, *pars transversaria (cervicalis)*. Расположена в отверстиях поперечных отростков С 6 - С 1. Рис. А.
- 5 Спинномозговые (корешковые) ветви, *rami spinales (radiculares)*. Проходят вместе со спинномозговыми нервами и кровоснабжают спинной мозг, его оболочки и тела позвонков. Рис. А.
- 6 Мышечные ветви, *rami musculares*. Кровоснабжают соседние мышцы шеи. Рис. А.
- 7 Атлантовая часть, *pars atlantica*. Расположена в поперечном отверстии и на верхней поверхности задней дуги атланта. Проецируется в подзатылочный треугольник. Рис. А.
- 8 Внутричерепная часть, *pars intracranialis*. Находится внутри черепа. Рис. А.
- 9 Передняя менингеальная ветвь, *ramus meningeus [anterior]*. Отходит у переднего края большого отверстия. Кровоснабжает кости черепа и твердую мозговую оболочку. Рис. А, Б.
- 10 Задняя менингеальная ветвь, *ramus meningeus [posterior]*. Отходит у заднего края большого затылочного отверстия. Кровоснабжает кости черепа и твердую мозговую оболочку. Рис. А.
- 11 Передняя спинномозговая артерия, *a. spinalis anterior*. В передней срединной щели спинного мозга соединяется с артерией противоположной стороны, образуя непарный сосуд. Рис. А, Б.
- 12 Задняя нижняя мозжечковая артерия, *a. inferior posterior cerebelli*. Кровоснабжает кору нижней поверхности мозжечка, его ядра и продолговатый мозг. Рис. А, Б, Г.
- 13 Ворсинчатая ветвь четвертого желудочка, *ramus choroideus ventriculi quarti*. Входит в состав сосудистого сплетения четвертого желудочка.
- 14 Ветвь миндалина мозжечка, *ramus tonsillae cerebelli*. Кровоснабжает соответствующую структуру мозжечка.
- 15 Латеральные и медиальные мозговые ветви, *rami medullares medialis et lateralis*. Кровоснабжают продолговатый мозг и нижнюю ножку мозжечка.
- 16 Задняя спинномозговая артерия, *a. spinalis posterior*. Тонкий, иногда парный сосуд, который идет вдоль задней поверхности спинного мозга. Отходит внутри черепа от задней нижней мозжечковой или позвоночной артерий. Рис. Б, Г.
- 17 Базилярная артерия, *a. basilaris*. Непарный толстый артериальный ствол, который образуется в результате соединения позвоночных артерий и заканчивается разделением на две задние мозговые артерии. Рис. А, Б, Г.
- 18 Передняя нижняя мозжечковая артерия, *a. inferior anterior cerebelli*. Разветвляется в передней части нижней поверхности мозжечка. Рис. Б, Г.
- 19 Артерия лабиринта [ветвь внутреннего слухового прохода], *a. labirynthi [ramus meatus acustici interni]*. В сопровождении преддверно-улиткового нерва направляется к внутреннему уху. Может начинаться от базилярной артерии. Рис. Б, Г.
- 20 Артерии моста, *aa. pontis*. Кровоснабжают мост. Рис. Б, Г.
- 21 Среднемозговые артерии, *amesencephalicae*. Рис. Б.
- 22 Верхняя мозжечковая артерия, *a. superior cerebelli*. Обгибает ножку мозга и проходит через охватывающую цистерну к поверхности мозжечка, расположенную под *tentorium cerebelli*. Рис. Б, Г.
- 23 Задняя мозговая артерия, *a. cerebri posterior*. Конечная ветвь базилярной артерии, которая кровоснабжает затылочную и 2/3 теменной доли полушария большого мозга. Состоит из трех частей. Рис. Б, В, Г.
- 24 Предкоммуникационная часть, *pars precommunicalis*. Короткий отрезок артерии от места ее начала до отхождения задней соединительной артерии. Рис. Б.
- 25 Заднемедиальные центральные артерии, *aa. centrales posteromediales*. Проходят через заднее продырявленное вещество к таламусу и бледному шару. Рис. Б.
- 26 Посткоммуникационная часть, *pars postcommunicalis*. Отрезок сосуда после отхождения задней соединительной артерии. Обгибает ножку мозга, проходит через охватывающую цистерну и вырезку намета мозжечка к нижней поверхности полушария большого мозга. Рис. Б.
- 27 Заднелатеральные центральные артерии, *aa. centrales posterolaterales*. Кровоснабжают задний отдел таламуса, пластинку четверохолмия, эпифиз и медиальное коленчатое тело. Рис. В.
- 28 Таламические ветви, *rami thalamici*. Направляются к задней части таламуса. Рис. В.
- 29 Медиальные задние ворсинчатые ветви, *rami choroidei posteriores mediales*. Идут в направлении крыши третьего желудочка. Рис. В, Г.
- 30 Латеральные задние ворсинчатые ветви, *rami choroidei posteriores laterales*. Входят в состав сосудистого сплетения бокового желудочка. Рис. В, Г.
- 31 Ножковые ветви, *rami pedunculares*. Рис. Г.

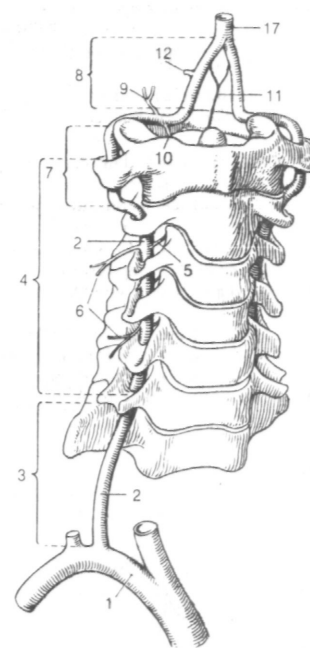


Рис. А. Позвоночная артерия

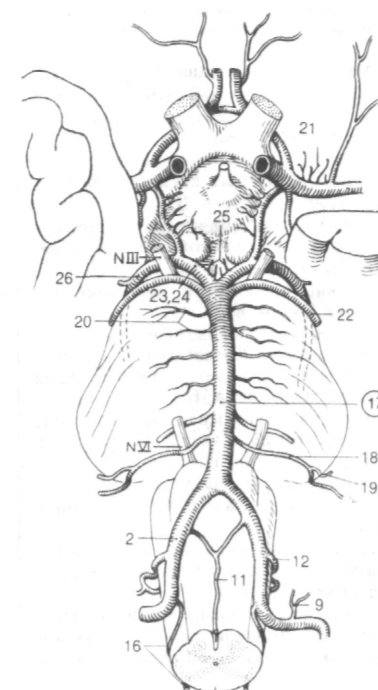


Рис. Б. Артерии основания мозга

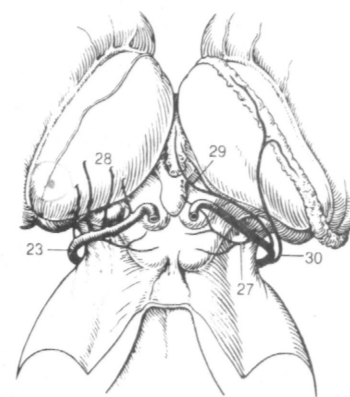


Рис. В. Задняя мозговая артерия

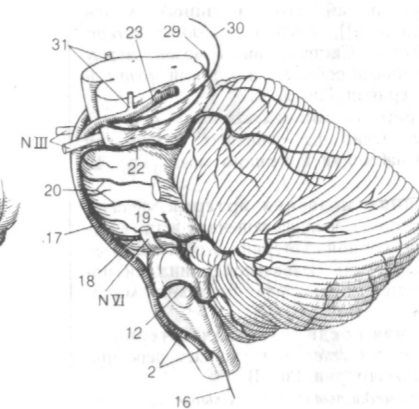


Рис. Г. Базилярная артерия

- 1 **Конечная (корковая) часть, pars terminata (corticalis).** Кровоснабжает нижнюю поверхность затылочной и большую часть височной долей полушарий большого мозга.
- 2 **Латеральная затылочная артерия, a. occipitalis lateralis.** Крупный ствол, от которого отходят три перечисленные ниже ветви, кровоснабжающие кору нижней поверхности височной доли. Рис. А, Б.
- 3 **Передние височные ветви, ramitemporales anteriores.** Рис. А, Б.
- 4 **Височные ветви (медиальные, промежуточные), rami temporales (intermedii, mediales).** Рис. А, Б.
- 5 **Задние височные ветви, rami temporales posteriores.** Рис. А, Б.
- 6 **Медиальная затылочная артерия, a. occipitalis medialis.** Кровоснабжает заднюю часть медиальной поверхности полушария большого мозга. Рис. А, Б.
- 7 **Дорсальная ветвь мозолистого тела, ramus corporis callosi dorsalis.** Направляется к валу мозолистого тела. Рис. А.
- 8 **Теменная ветвь, ramus parietalis.** Разветвляется в коре задней части теменной доли. Рис. А.
- 9 **Теменно-затылочная ветвь, ramus parieto-occipitalis.** Расположена в одноименной борозде. Рис. А, Б.
- 10 **Шпорная ветвь, ramus calcarinus.** Проходит в одноименной борозде и кровоснабжает кору зрительной области. Рис. А, Б.
- 11 **Затылочно-височная ветвь, ramus occipitotemporalis.** Направляется к коре височной доли. Рис. А, Б.
- 12 **Артериальный круг большого мозга [[виллизиев]], circulus arteriosus cerebri [[Willisii]].** Система анастомозов между внутренними сонными и задними мозговыми артериями. Рис. Б, В.
- 13 **Внутренняя сонная артерия, a. carotis interna.** Один из основных источников кровоснабжения конечного мозга. Рис. Б, В.
- 14 **Передняя мозговая артерия, a. cerebri anterior.** Передняя конечная ветвь внутренней сонной артерии. Кровоснабжает большую часть медиальной и нижней поверхностей полушария большого мозга. Рис. В.
- 15 **Передняя соединительная артерия, a. communicans anterior.** Соединяет передние мозговые артерии. Рис. В.
- 16 **Переднемедиальные центральные артерии, aa. centrales anteromediales.** Проникают в вещество мозга на его основании. Рис. В.
- 17 **Средняя мозговая артерия, a. cerebri media.** Латеральная конечная ветвь внутренней сонной артерии. От нее часто начинается задняя соединительная артерия. Рис. В.
- 18 **Задняя соединительная артерия, a.**

- communicans posterior.* Соединяет внутреннюю сонную или среднюю мозговую артерии с *a. cerebri posterior.* Рис. А, В.
- 19 **Ветвь перекреста, ramus chiasmaticus.** Направляется к зрительному перекресту. Рис. В.
- 20 **Ветвь глазодвигательного нерва, ramus nervi oculomotorii.** Рис. В.
- 21 **Таламическая ветвь, ramus thalamicus.** Подходит к таламусу снизу. Рис. А, В.
- 22 **Гипоталамическая ветвь, ramus hypothalamicus.** Направляется к гипоталамусу. Рис. А, В.
- 23 **Ветвь хвоста хвостатого ядра, ramus caudae nuclei caudati.** Направляется к одноименному ядру через сосудистую шель. Рис. В.
- 24 **Задняя мозговая артерия, a. cerebri posterior.** Конечная ветвь базилярной артерии – один из основных источников кровоснабжения конечного мозга. Рис. А, В.



Рис. Б. Задняя мозговая артерия

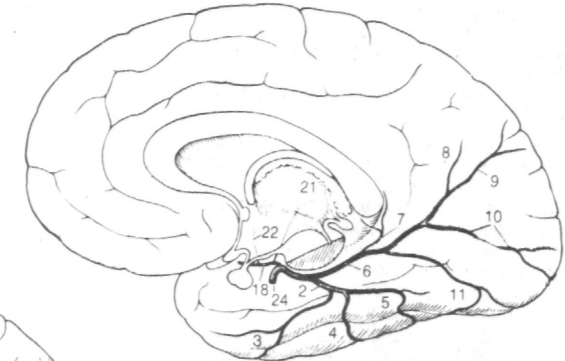


Рис. А. Задняя мозговая артерия (вид с нижнелатеральной поверхности полушария)

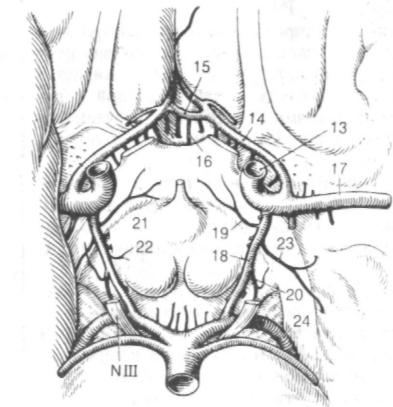


Рис. В. Артериальный круг большого мозга (виллизиев круг)



- 1 **Внутренняя грудная артерия, *a thoracica interna* [[*amammaria interna*]].** Отходит от подключичной артерии и спускается по внутренней поверхности передней стенки грудной клетки к диафрагме. Рис. А, Б.
- 2 **Медиастинальные ветви, *rami mediastinalis*.** Кровоснабжают органы средостения. Рис. Б.
- 3 **Тимусные ветви, *rami thymici*.** Рис. Б.
- 4 **[Бронхиальные ветви, *rami bronchioles*].** Рис. Б.
- 4а **Трахеальные ветви, *rami tracheales*.**
- 5 **Перикардиодиафрагмальная артерия, *a pericardiacophrenica*.** Сопровождает диафрагмальный нерв. Кровоснабжает перикард и диафрагму. Рис. Б.
- 6 **Грудные ветви, *rami stemales*.** Рис. Б.
- 7 **Прободающие ветви, *rami perforantes*.** Проходят через первый - шестой межреберные промежутки. Рис. Б.
- 8 **Медиальные ветви молочной железы, *rami mammarii mediales*.** Крупные прободающие ветви, кровоснабжающие молочную железу. Рис. Б.
- 9 **[Латеральная реберная ветвь, *ramus costalis lateralis*].** Проходит параллельно и с латеральной стороны от внутренней грудной артерии. Встречается непостоянно. Рис. Б.
- 10 **Передние межреберные ветви, *rami intercostales anteriores*.** Расположены в передних отделах верхних шести межреберий. Рис. Б.
- 11 **Мышечно-диафрагмальная артерия, *a musciophrenica*.** Проходит позади реберной дуги. От нее начинаются передние межреберные ветви к седьмому - девятому межреберьям. Рис. Б.
- 12 **Верхняя надчревная артерия, *aepigastrica superior*.** Является продолжением внутренней грудной артерии, которая проникает в брюшную полость между грудной и реберной частями диафрагмы [[груднореберный треугольник или шель Ларрея]]. Рис. Б.
- 13 **Щитошейный ствол, *truncus thyrocervicalis*.** Наиболее постоянные ветви этого сосуда: поперечная артерия шеи, нижняя щитовидная и надлопаточная артерии. Рис. А, Б.
- 14 **Нижняя щитовидная артерия, *a. thyroidea inferior*.** Поднимается вдоль переднего края *m. scalenus anterior* до уровня С 6 и позади общей сонной артерии направляется к щитовидной железе. Рис. А, Б.
- 15 **Нижняя гортанная артерия, *a laryngealis inferior*.** Поднимается позади трахеи, прободает нижний констриктор глотки и направляется к гортани. Рис. А, Б.
- 16 **Железистые ветви, *rami glandulares*.** Кровоснабжают нижнюю и заднюю поверхности щитовидной железы. За счет восходящих ветвей - парашитовидную железу. Рис. А.
- 17 **Глоточные ветви, *ramipharyngeales*.** Кровоснабжают стенку глотки. Рис. А, Б.
- 18 **Пищеводные ветви, *rami oesophageales*.** ~ А, Б.
- 19 **Трахеальные ветви, *rami tracheales*.** Рис. А, Б.
- 20 **Восходящая шейная артерия, *a. cervicalis ascendens*.** Расположена на поверхности передней лестничной мышцы с медиальной стороны от диафрагмального нерва. Может распространяться до основания черепа. Рис. А, Б.
- 21 **Спинальные ветви, *rami spinales*.** Идут через межпозвоночные отверстия к спинному мозгу. Рис. А, Б.
- 22 **Поперечная артерия шеи, *a transversa cervicis (colli)*.** Чаще всего (75 %) отходит от подключичной артерии, следует между столами плечевого сплетения к верхней части трапециевидной мышцы и далее проходит вместе с дорсальным нервом лопатки. В 25 % случаев является ветвью щитошейного ствола. Рис. А, Б.
- 23 **Поверхностная ветвь, *ramus superficialis*.** Отходит от поперечной артерии шеи или от *truncus thyrocervicalis*. Идет позади добавочного нерва к мышце поднимающей лопатку, ременной и передней части трапециевидной мышцы. Рис. А, Б.
- 23а **Восходящая ветвь, *ramus ascendens*.**
- 23б **Нисходящая ветвь, *ramus descendens*.**
- 24 **Глубокая ветвь (дорсальная лопаточная артерия), *ramus profundus (adorsalis scapulae)*.** Отходит от поперечной артерии шеи или от подключичной артерии (67%). Сопровождает *n. dorsalis scapulae* и кровоснабжает мышцы, берущие начало от медиального края лопатки. Рис. А, Б.
- 24а **[Дорсальная лопаточная артерия, *a dorsalis scapulae*].** Старое название глубокой ветви.

Рис. А. Щитошейный ствол

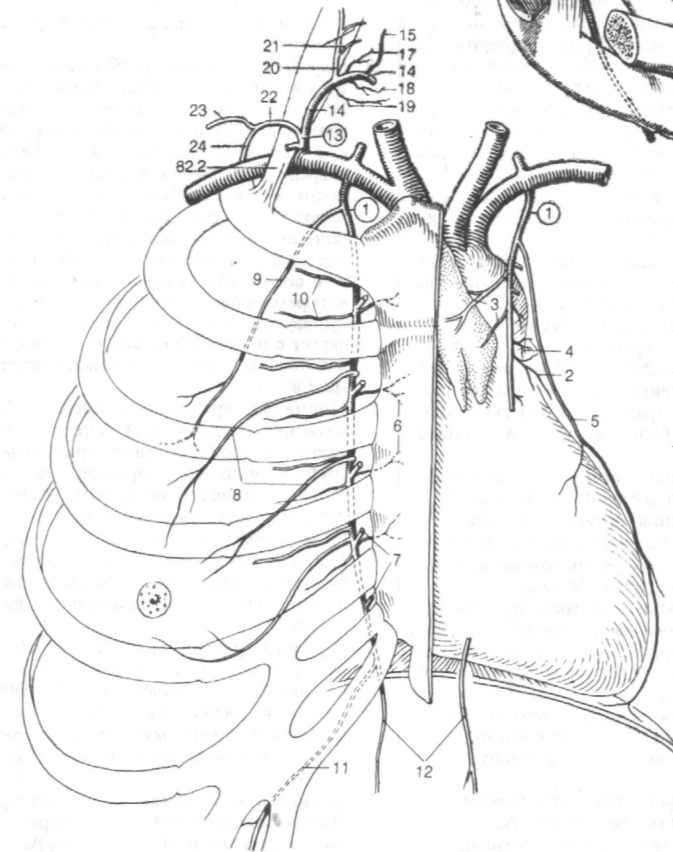
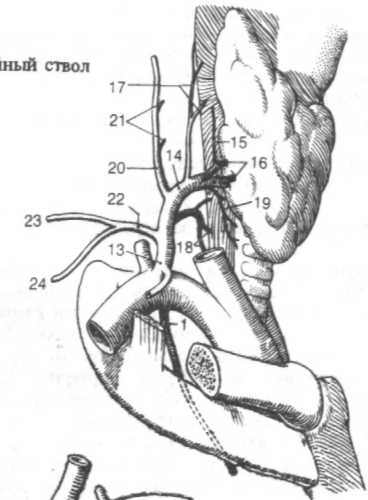


Рис. Б. Внутренняя грудная артерия и щитошейный ствол

- 1 Надлопаточная артерия, *a. suprascapularis*. Обычно начинается от щитовидного ствола, пересекает спереди *m. scalenus anterior* и проходит над верхней поперечной связкой лопатки к надостной и полостной ямкам. Анастомозирует с артерией, огибающей лопатку. Рис. А.
- 2 Акромиальная ветвь, *ramus acromialis*. Прободает трапециевидную мышцу и направляется к акромиону. Рис. А.
- 3 Реберно-шейный ствол, *truncus costocervicalis*. Отходит от задней стенки подключичной артерии за передней лестничной мышцей. Рис. Б.
- 4 Глубокая шейная артерия, *a. cervicalis profunda*. Проходит между поперечными отростками С 7 и Т 1, поднимается вверх вдоль полустистой мышцы и кровоснабжает мышцы вийной области. Рис. Б.
- 5 Наивысшая межреберная артерия, *a. intercostalis suprema*. Общий ствол первых двух задних межреберных артерий. Рис. Б.
- 6 Первая и вторая задние межреберные артерии, *aa. intercostales posterior prima et secunda*. Проходят в первых двух межреберьях соответственно. Рис. Б.
- 7 Дорсальные ветви, *rami dorsales*. Кровоснабжают мышцы и кожу задней области шеи. Рис. Б.
- 8 Спинномозговые ветви, *rami spinales*. Проходят через межпозвоночные отверстия между Т1 - Т2 к спинному мозгу. Рис. Б.
- 9 **ПОДМЫШЕЧНАЯ АРТЕРИЯ, *arteria axillaris***. Продолжение подключичной артерии. Ее дистальная граница соответствует нижнему краю большой грудной мышцы. Рис. А, Б.
- 10 Подлопаточные ветви, *rami subscapulars*. Идут к одноименной мышце. Рис. А.
- 11 Верхняя грудная артерия, *a. thoracica superior*. Непостоянная ветвь к подключичной, первым двум межреберным и передней зубчатой мышцам. Рис. А.
- 12 Грудоакромиальная артерия, *a. thoracoacromialis*. Начинается на уровне верхнего края малой грудной мышцы и посылает свои ветви в различных направлениях. Рис. А.
- 13 Акромиальная ветвь, *ramus acromialis*. Направляется вверх и латерально через дельтовидную мышцу к акромиону лопатки. Рис. А.
- 14 Акромиальная сеть, *rete acromiale*. Образуется возле акромиона. Рис. А.
- 15 Ключичная ветвь, *ramus clavicularis*. Небольшой сосуд для ключицы и подключичной мышцы. Рис. А.
- 16 Дельтовидная ветвь, *ramus deltoideus*. Направляется назад и латерально к дельтовидной и большой грудной мышцам. Рис. А.
- 17 Грудные ветви, *rami pectorales*. Направ-

ляются вниз к большой, малой грудным и передней зубчатой мышцам. Рис. А.

- 18 Латеральная грудная артерия, *a. thoracica lateralis*. Спускается вдоль латерального края малой грудной мышцы к передней зубчатой и грудным мышцам. Рис. А.
- 19 Латеральные ветви молочной железы, *rami mammarii laterales*. Рис. А.
- 20 Подлопаточная артерия, *a. subscapularis*. Начинается у наружного края подлопаточной мышцы. Кровоснабжает *mm. subscapularis, latissimus dorsi, teres major*. Рис. А.
- 21 Грудоспинная артерия, *a. thoracodorsalis*. Ветвь к широчайшей мышце спины и большой круглой мышце. Рис. А.
- 22 Артерия, огибающая лопатку, *a. circumflexa scapulae*. Через трехстороннее отверстие попадает в полостную ямку, где анастомозирует с надлопаточной артерией. Рис. А.
- 23 Передняя артерия, огибающая плечевую кость, *a. circumflexa anterior humeri*. Начинается ниже сухожилия широчайшей мышцы спины примерно на одном уровне с *a. circumflexa posterior humeri*. Обгибает спереди хирургическую шейку плечевой кости и кровоснабжает клювовидно-плечевую и двуглавую мышцы. Рис. А.
- 24 Задняя артерия, огибающая плечевую кость, *a. circumflexa posterior humeri*. Вместе с подмышечным нервом проходит через четырехстороннее отверстие к плечевому суставу и дельтовидной мышце. Анастомозирует с *a. circumflexa anterior humeri*, надлопаточной и грудоакромиальной артериями. Рис. А.
- 25 Плечевая артерия, *a. brachialis*. Продолжение подключичной артерии. Начинается на уровне нижнего края большой грудной мышцы и проходит в *sulcus bicipitalis medialis* до места разветвления на лучевую и локтевую артерии. Рис. А.
- 26 [Поверхностная плечевая артерия, *a. brachialis superficialis*]. Термин используется в тех случаях, когда *a. brachialis* располагается спереди от срединного нерва. Рис. А.
- 27 Глубокая артерия плеча, *a. profunda brachii*. Проходит с лучевым нервом в спиральной борозде на плечевой кости. Рис. А.
- 28 Артерии, питающие плечевую кость, *aa. nutritivae (nutrientes) humeri*. Направляются к костному мозгу плечевой кости. Рис. А.
- 29 Дельтовидная ветвь, *ramus deltoideus*. Идет позади плечевой кости латерально и вверх к дельтовидной мышце. Рис. А.
- 30 Средняя коллатеральная артерия, *a. collateralis media*. Проходит позади плечевой кости и формирует локтевую суставную сеть. Рис. А.
- 31 Лучевая коллатеральная артерия, *a. collateralis radialis*. Идет в сопровождении

лучевого нерва к локтевой суставной сети. Ее передняя ветвь анастомозирует с лучевой возвратной артерией. Рис. А.

- 32 Верхняя локтевая коллатеральная артерия, *a. collateralis ulnaris superior*. Начинается вблизи глубокой артерии плеча, сопровождает локтевой нерв и присоединяется к локтевой суставной сети. Рис. А.
- 33 Нижняя локтевая коллатеральная артерия, *a. collateralis ulnaris inferior*. Начинается выше медиального надмышелка плечевой кости, проходит по поверхности плечевой мышцы, прободает медиальную межмышечную перегородку и присоединяется к локтевой суставной сети. Рис. А.

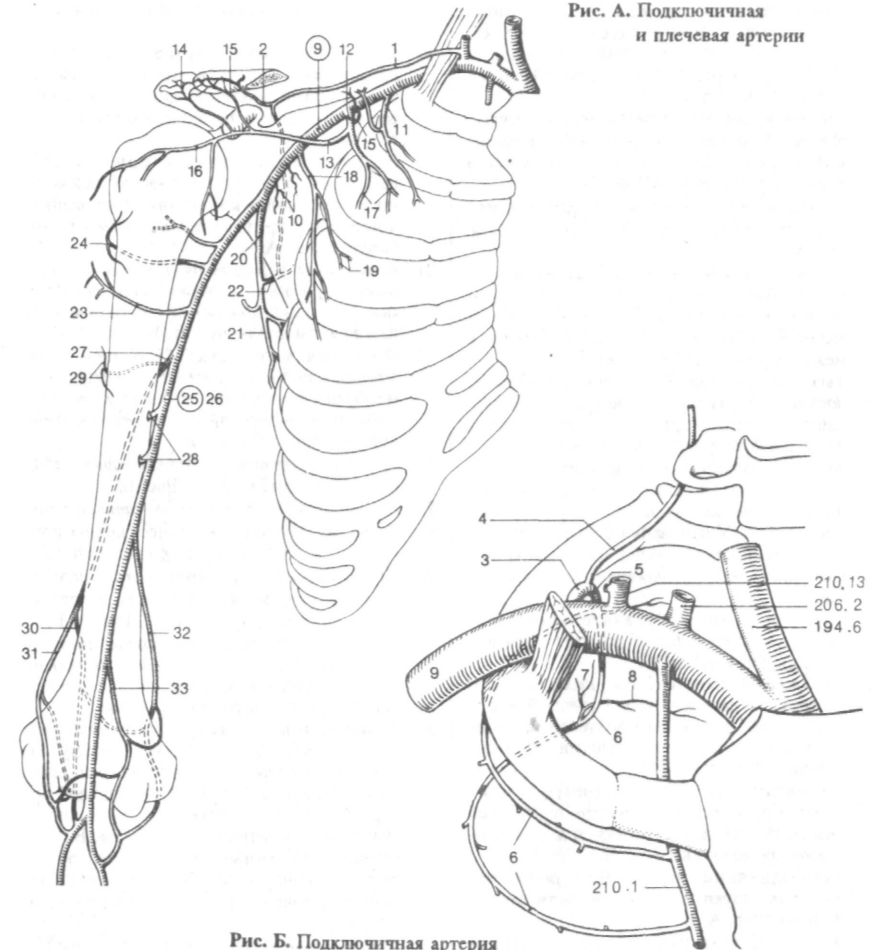


Рис. А. Подключичная и плечевая артерии

Рис. Б. Подключичная артерия

- 1 Лучевая артерия, *a. radialis*. Одна из ветвей *a. brachialis*. Лежит между круглым пронатором и плечелучевой мышцей, затем вдоль латеральной стороны лучевого сгибателя запястья доходит до кисти. В дистальной трети предплечья расположена поверхностно и доступна пальпации. Рис. Б.
- 2 Лучевая возвратная артерия, *a. recurrens radialis*. Поднимается медиально от лучевого нерва и анастомозирует с лучевой коллатеральной артерией. Рис. Б.
- 3 Ладанная запястная ветвь, *ramus carpalis palmaris*. Отходит у дистального края квадратного пронатора. Участвует в образовании сети запястья. Рис. Б.
- 4 Поверхностная ладонная ветвь, *ramus palmaris superficialis*. Небольшой сосуд, который проходит через мышцы тенара и участвует в образовании поверхностной ладонной дуги. Рис. Б.
- 5 Тыльная запястная ветвь, *ramus carpalis dorsalis*. Проходит в поперечном направлении на тыле запястья под сухожилиями длинных разгибателей. Рис. А.
- 6 Тыльная сеть запястья, *rete carpalum dorsale*. Артериальная сеть на тыле запястья. Рис. А.
- 7 **Тыльные пястные артерии, *aa. metacarpales dorsales***. Четыре сосуда, которые начинаются от тыльной запястной сети или тыльной запястной ветви и направляются к межпальцевым промежуткам. Рис. А.
- 8 Тыльные пальцевые артерии, *aa. digitales dorsales*. Образуются в результате бифуркации пястных артерий и разветвляются на тыльной стороне пальцев. Рис. А.
- 9 Артерия большого пальца кисти, *a. princeps pollicis*. Отходит от лучевой артерии после ее выхода из первого межпястного промежутка. У основания большого пальца разделяется на две ветви, которые кровоснабжают его ладонную поверхность. Рис. Б.
- 10 Лучевая артерия указательного пальца, *a. radialis indicis*. Проходит с лучевой стороны пальца. Рис. Б.
- 11 Глубокая ладонная дуга, *arcus palmaris profundus*. Анастомоз между лучевой и глубокой ладонной ветвью локтевой артерии. Расположен под сухожилиями длинных сгибателей. Рис. Б.
- 12 Ладонные пястные артерии, *aa. metacarpales palmares*. Начинаются от глубокой ладонной дуги и направляются к межпальцевым промежуткам. Рис. Б.
- 13 Прободающие ветви, *rami perforantes*. Анастомозируют с тыльными пястными артериями. Рис. А, Б.
- 14 Локтевая артерия, *a. ulnaris*. Вторая конечная ветвь плечевой артерии. Лежит под круглым пронатором, затем с латеральной стороны локтевого сгибателя запястья доходит до кисти, где продолжается в поверхностную ладонную дугу. Рис. Б.
- 15 Локтевая возвратная артерия, *a. recurrens ulnaris*. Отходит от локтевой или плечевой артерий и делится на две ветви. Рис. Б.
- 16 Передняя ветвь, *ramus anterior*. Поднимается с медиальной стороны от плечевой мышцы и анастомозирует с нижней локтевой коллатеральной артерией. Рис. Б.
- 17 Задняя ветвь, *ramus posterior*. Вместе с локтевым нервом проходит позади медиального надмыщелка плечевой кости и участвует в образовании локтевой суставной сети. Анастомозирует с верхней локтевой коллатеральной артерией. Рис. Б.
- 18 Локтевая суставная сеть, *rete articulare cubiti*. Лучше развита с задней стороны сустава. Рис. Б.
- 19 Общая межкостная артерия, *a. interossea communis*. Короткий ствол, который берет начало от локтевой артерии. Заканчивается передней и задней межкостными артериями. Рис. Б.
- 20 Задняя межкостная артерия, *a. interossea posterior*. Проходит между межкостной мембраной и кривой хордой на заднюю поверхность предплечья к мышцам - разгибателям. Рис. А, Б.
- 21 **Возвратная межкостная артерия, *a. interossea recurrens***. Ложится под локтевой мышцей и анастомозирует со средней коллатеральной артерией. Рис. Б.
- 22 Передняя межкостная артерия, *a. interossea anterior*. Следует вдоль межкостной мембраны и на уровне верхнего края квадратного пронатора присоединяется к тыльной сети запястья. Рис. Б.
- 23 Артерия, сопровождающая срединный нерв, *a. comitans nervi mediani*. Рис. Б.
- 24 **Ладонная запястная ветвь, *ramus carpalis palmaris***. Отходит дистальнее квадратного пронатора и направляется к кисти. Рис. Б.
- 25 Тыльная запястная ветвь, *ramus carpalis dorsalis*. Переходит на тыл кисти и присоединяется к *rete carpalum dorsale*. Рис. А, Б.
- 26 Глубокая ладонная ветвь, *ramus palmaris profundus*. Отходит от *a. ulnaris* на уровне гороховидной кости и участвует в образовании глубокой ладонной дуги. Рис. Б.
- 27 Поверхностная ладонная дуга, *arcus palmaris superficialis*. Расположена между ладонным апоневрозом и сухожилиями длинных сгибателей. Формируется локтевой артерией, анастомозирующей с поверхностной ладонной ветвью *a. radialis*. Рис. Б.
- 28 Общие ладонные пальцевые артерии, *aa. digitales palmares communes*. Основной источник кровоснабжения пальцев. Рис. Б.
- 29 **Собственные ладонные пальцевые артерии, *aa. digitales palmares propriae***. Хорошо развитые сосуды, расположенные на ладонной поверхности лучевой и локтевой стороны каждого пальца. Рис. Б.

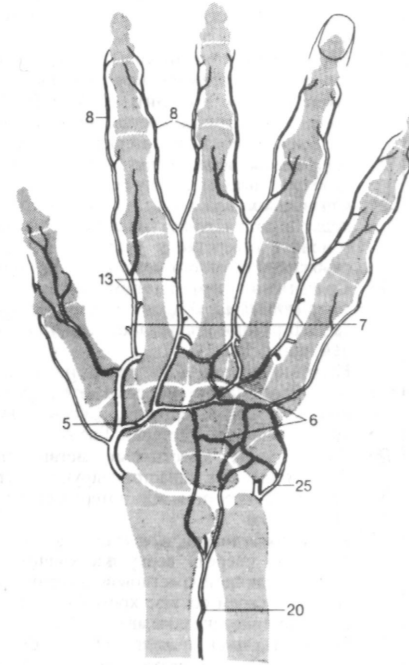


Рис. А. Тыльные артерии кисти

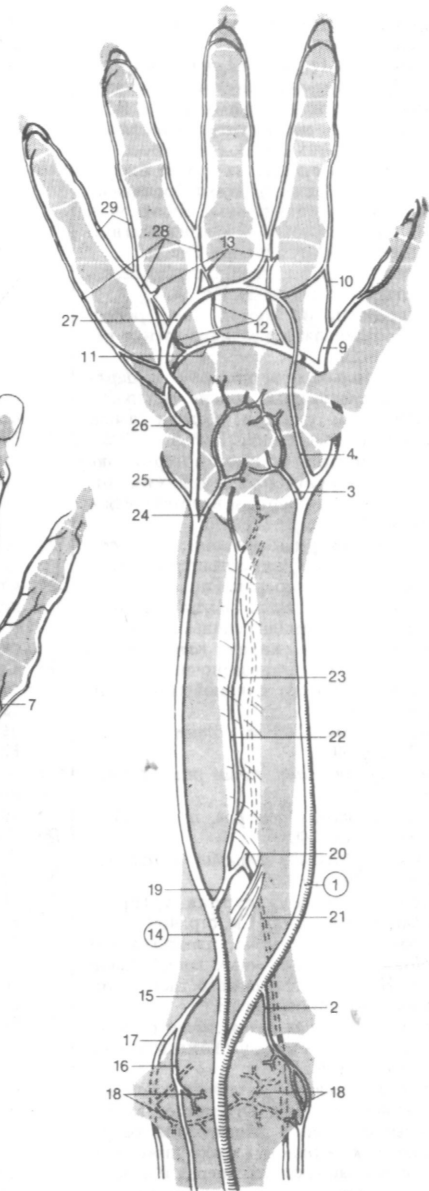


Рис. Б. Артерии предплечья и кисти (вид с ладонной стороны)

- 1 **НИСХОДЯЩАЯ ЧАСТЬ АОРТЫ, pars descendens aortae.** Начинается от перешейка аорты и заканчивается на уровне тела 4-го поясничного позвонка.
- 2 **ГРУДНАЯ ЧАСТЬ АОРТЫ, pars thoracica aortae.** Часть *pars descendens aortae* до аортального отверстия диафрагмы. Рис. А, Б.
- 3 Бронхиальные ветви, *rami bronchioles*. Место начала этих сосудов варьирует, но чаще всего они отходят на уровне бифуркации трахеи. Кровоснабжают бронхиальное дерево до респираторных бронхиол, а также междольковую соединительную ткань и висцеральную плевру. Рис. А.
- 4 Пищеводные ветви, *rami oesophageales*. Направляются к пищеводу. Рис. А.
- 5 **Перикардиальные ветви, rami pericardiaci.** Кровоснабжают заднюю стенку перикарда. Рис. А.
- 6 Медиастинальные ветви, *rami mediastinales*. Многочисленные тонкие веточки к лимфатическим узлам и соединительной ткани заднего средостения. Рис. А.
- 7 Верхние диафрагмальные артерии, *aa phrenicae superiores*. Отходят в нижнем отделе грудной части аорты и направляются к диафрагме. Рис. А.
- 8 Задние межреберные артерии, *aa intercostales posteriores*. Разветвляются в задних отделах 3-11 межреберий. Рис. А, Б.
- 9 Спинная ветвь, *ramus dorsalis*. Кровоснабжает кожу и мышцы спины. Рис. Б.
- 10 Спинномозговые ветви, *rami spinales*. Проходят через межпозвоночные отверстия. Кровоснабжают спинной мозг и его оболочки. Рис. Б.
- 10а **Постцентральная ветвь, ramus postcentralis.** См. стр. 409
- 10б **Прелиминарная ветвь, ramus praelaminaris.** См. стр. 409
- 10в **Задняя корешковая артерия, a. radicularis posterior.** См. стр. 409
- 10г **Передняя корешковая артерия, a. radicularis anterior.** См. стр. 409
- 10д **Сегментарная медуллярная артерия, a. medullaris segmentalis.** См. стр. 409
- 11 **Медиальная кожная ветвь, ramus cutaneus medialis.** Одна из конечных ветвей *ramus spinalis*. Направляется вдоль остистого отростка к коже спины. Рис. Б.
- 12 **Латеральная кожная ветвь, ramus cutaneus lateralis.** Наружная из двух кожных ветвей *ramus spinalis*. Рис. Б.
- 13 Коллатеральная ветвь, *ramus collateralis* [*ramus supracostalis*]]. Отходит от задней латеральной артерии вблизи угла ребра, спускается к верхнему краю нижележащего ребра, направляется вперед и анастомозирует с ветвью внутренней грудной артерии. Рис. А, Б.
- 14 Латеральная кожная ветвь, *ramus cutaneus lateralis*. Выходит под кожу на боковую поверхность грудной клетки и делится на переднюю и заднюю ветви. Рис. Б.
- 15 **Латеральные ветви молочной железы, rami**  
*mammarii laterales.* **Начинаются** от латеральной кожной ветви и кровоснабжают молочную железу. Рис. Б.
- 16 **Подреберная артерия, a. subcostalis.** Сегментарный сосуд, который проходит вдоль нижнего края двенадцатого ребра и соответствует задней межреберной артерии.
- 17 Спинная ветвь, *ramus dorsalis*. Кровоснабжает мышцы и кожу спины. Рис. Б.
- 18 Спинномозговая ветвь, *ramus spinalis*. Через межпозвоночное отверстие между двумя последними грудными позвонками заходит в позвоночный канал. Кровоснабжает спинной мозг и его оболочки. Рис. Б.
- 19 **БРЮШНАЯ ЧАСТЬ АОРТЫ, pars abdominalis aortae.** Отрезок аорты на протяжении от диафрагмы до ее бифуркации на уровне 4-го поясничного позвонка. Рис. А.
- 20 **Нижняя диафрагмальная артерия, a. phrenica inferior.** Парная артерия, которая подходит к нижней поверхности диафрагмы. Рис. А.
- 21 Верхние надпочечниковые артерии, *aa suprarenales (adrenales) superiores*. Рис. А.
- 22 Поясничные артерии, *aa lumbales*. Четыре сегментарных сосуда, гомологичные задним межреберным артериям. Рис. А.
- 23 Дорсальная ветвь, *ramus dorsalis*. Кровоснабжает мышцы и кожу спины. Рис. А.
- 24 Спинномозговая ветвь, *ramus spinalis*. Заходит в позвоночный канал через межпозвоночное отверстие и участвует в кровоснабжении спинного мозга и его оболочек.
- 25 Срединная крестцовая артерия, *a. sacralis mediana*. Отходит от аорты у места ее бифуркации и спускается вниз по средней линии. Рис. А.
- 26 Нижние поясничные артерии, *aa lumbales imae*. Парные боковые ветви срединной крестцовой артерии. Соответствуют пятой поясничной артерии. Рис. А.
- 26а Латеральные крестцовые ветви, *rami sacrales laterales*. Анастомозируют с латеральными крестцовыми артериями от *a. iliaca interna*
- 27 Копчиковое тельце, *gbmus coccygeum*. Расположено спереди верхушки копчика на конце срединной крестцовой артерии и содержит в своем составе хромафинные клетки и артериовенозные анастомозы. Рис. А.
- 28 Чревный ствол, *truncus coeliacus*. Отходит от брюшной части аорты на уровне Т 12 и разветвляется на левую желудочную, общую печеночную и селезеночную артерии. Рис. А.
- 29 Левая желудочная артерия, *a. gastrica sinistra*. Поднимается вверх в левой гастропанкреатической складке к кардиальной части желудка и далее продолжается вдоль его малой кривизны. Рис. А.
- 30 Пищеводные ветви, *rami oesophageales*. Тонкие сосуды, кровоснабжающие брюшную часть пищевода. Рис. А.

Рис. А. Аорта

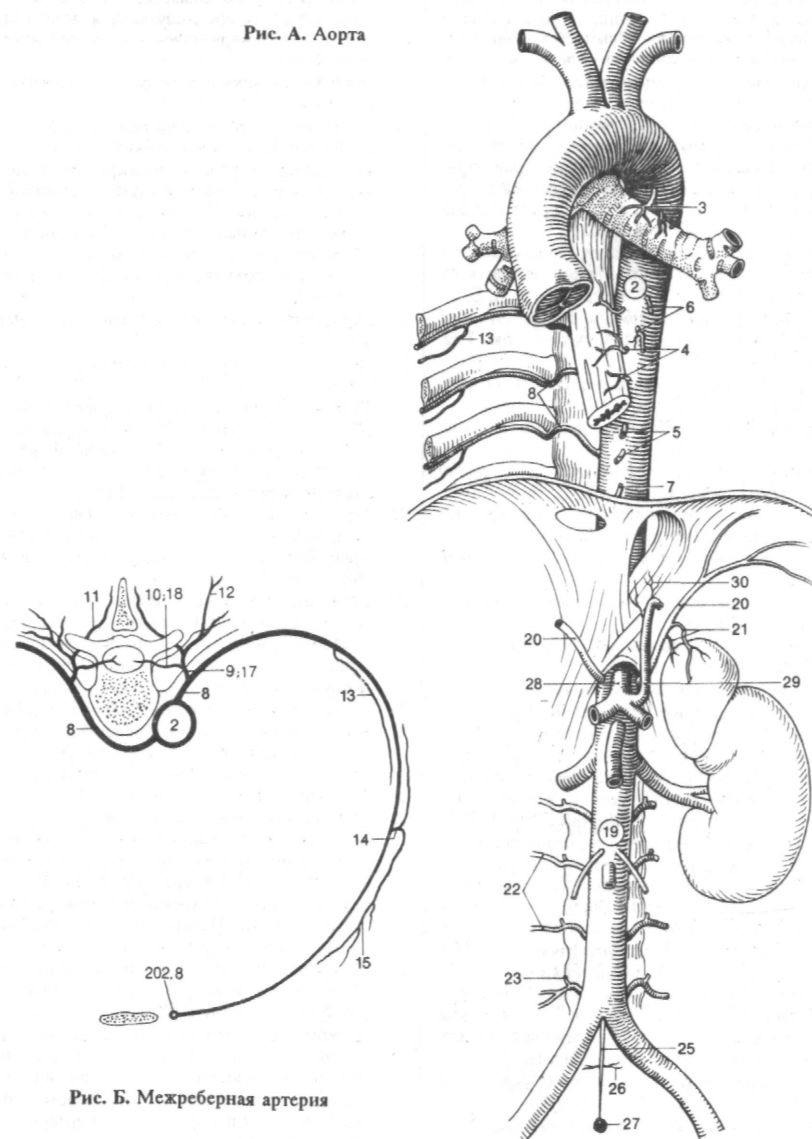


Рис. Б. Межреберная артерия

- 1 **Общая печеночная артерия, *a. hepatica communis***. Ветвь чревного ствола (иногда *ajnesenterica sup.*). Идет к печени и разделяется на гастродуоденальную и собственную печеночную артерии. Кровоснабжает печень, желудок, двенадцатиперстную кишку и поджелудочную железу. Рис. А, В.
- 2 Собственная печеночная артерия, *a. hepatica propria*. Конечная ветвь общей печеночной артерии к печени. Рис. А, Б, В.
- 3 **Правая желудочная артерия, *a. gastrica dextra***. Направляется к верхнему краю привратника и далее следует вдоль малой кривизны желудка, где анастомозирует с левой желудочной артерией. Рис. А.
- 4 **Правая ветвь, *ramus dexter***. Кровоснабжает правую долю печени. Может отходить от верхней брыжеечной артерии. Рис. А, Б.
- 5 **Желчепузырная артерия, *a. cystica***. Отходит от правой ветви к желчному пузырю. Рис. А, Б.
- 6 **Артерия хвостатой доли, *a. lobi caudati***. Рис. Б.
- 7 **Артерия переднего сегмента, *a. segmenti anterioris***. Рис. Б.
- 8 **Артерия заднего сегмента, *a. segmenti posterioris***. Рис. Б.
- 9 **Левая ветвь, *ramus sinister***. Кровоснабжает левую долю печени. Рис. А, Б.
- 10 **Артерия хвостатой доли, *a. lobi caudari***. Рис. Б.
- 11 **Артерия медиального сегмента, *a. segmenti medialis***. Рис. Б.
- 12 **Артерия латерального сегмента, *a. segmenti lateralis***. Рис. Б.
- 12a **Промежуточная ветвь, *ramus intermedius***. Идет к квадратной доле печени. Рис. Б.
- 13 **Гастродуоденальная артерия, *a. gastroduodenalis***. Позади нижнего края привратника разделяется на переднюю верхнюю панкреатодуоденальную и правую желудочно-сальниковую артерии. Рис. А, В.
- 14 **[Наддуоденальная артерия, *a. supraduodenalis*]**. Отходит от *a. gastroduodenalis*. Кровоснабжает 2/3 передней и 1/3 задней стенок верхней части двенадцатиперстной кишки. Присутствует непостоянно.
- 15 **Задняя верхняя панкреатодуоденальная артерия, *a. pancreaticoduodenalis superior posterior***. Проходит позади головки *pancreas*, отдает панкреатические и дуоденальные ветви и анастомозирует с нижней панкреатодуоденальной артерией. Рис. В.
- 16 **Панкреатические ветви, *rami pancreatici***. Разветвляются в головке железы.
- 17 **Дуоденальные ветви, *rami duodenales***.
- 18 **Позадидуоденальные артерии, *aa. retroduodenales***. Ветви гастродуоденальной артерии к задней поверхности двенадцатиперстной кишки и головке поджелудочной железы. Пересекают спереди общий желчный проток, который кровоснабжают.
- 19 **Правая желудочно-сальниковая ар-**

терия, *a. gastro-omentalis dextra*. Начинается на уровне нижнего края привратника как продолжение гастродуоденальной артерии. В большом сальнике проходит вдоль большой кривизны желудка и анастомозирует с левой желудочно-сальниковой артерией. Рис. А, В.

- 20 **Желудочные ветви, *rami gastrici***. Короткие сосуды к желудку. Рис. А.
- 21 **Сальниковые ветви, *rami omentales***. Кровоснабжают большой сальник. Рис. А.
- 22 **Передняя верхняя панкреатодуоденальная артерия, *a. pancreaticoduodenalis superior anterior***. Конечная ветвь *a. gastroduodenalis*. Направляется вниз спереди поджелудочной железы и анастомозирует с нижней панкреатодуоденальной артерией. Рис. А, В.
- 23 **Панкреатические ветви, *rami pancreatici***. Рис. А, В.
- 24 **Дуоденальные ветви, *rami duodenales***. Рис. А, В.
- 25 **Селезеночная артерия, *a. splenica (lienalis)***. Ветвь чревного ствола, которая идет вдоль верхнего края поджелудочной железы, затем в диафрагмально-селезеночной связке к воротам селезенки. Рис. В.
- 26 **Панкреатические ветви, *rami pancreatici***. Многочисленные мелкие и отдельные крупные сосуды к поджелудочной железе. Рис. А, В.
- 27 **Дорсальная панкреатическая артерия, *a. pancreatica dorsalis***. Отходит у места начала селезеночной артерии и спускается позади шейки поджелудочной железы, частично погружаясь в железистую ткань. Рис. В.
- 28 **Нижняя панкреатическая артерия, *a. pancreatica inferior***. Ветвь дорсальной панкреатической артерии, которая направляется влево к нижней и задней поверхностям тела поджелудочной железы. Рис. В.
- 28a **Предпанкреатическая артерия, *a. praepancreatica***. Анастомоз между дорсальной панкреатической и передней верхней панкреатодуоденальной артериями. Рис. В.
- 29 **Большая панкреатическая артерия, *a. pancreatica magna***. Начинается от середины селезеночной артерии, спускается к задней поверхности поджелудочной железы, где разветвляется и анастомозирует с нижней панкреатической артерией. Рис. В.
- 30 **Хвостовая панкреатическая артерия, *a. caudae pancreatis***. Начинается от дистальной части селезеночной артерии или от одной из ее конечных ветвей. Анастомозирует с нижней панкреатической артерией в области хвоста *pancreas*. Рис. В.
- 31 **Левая желудочно-сальниковая артерия, *a. gastroomentalis (epiploica) sinistra***. Сначала расположена в желудочно-селезеночной связке, затем проходит в большом сальнике и анастомозирует с правой желудочно-сальниковой артерией. Рис. А, В.

- 32 **Желудочные ветви, *rami gastrici***. Длинные сосуды к желудку.
- 33 **Сальниковые ветви, *rami omentalis***. Проходят в большом сальнике. Рис. А.
- 34 **Короткие желудочные артерии, *ocu gastricae breves***. Отходят от селезеночной артерии или ее ветвей ко дну желудка. Рис. А.
- 35 **Селезеночные ветви, *rami splenici***. 5-6 ветвей *a. lienalis*, которые отходят перед ее вступлением в ворота селезенки. Рис. А.
- 35a **Задняя желудочная артерия, *agastrica posterior***. Идет к задней стенке желудка. Рис. А.

Рис. Б. Ветви печеночной артерии [51]

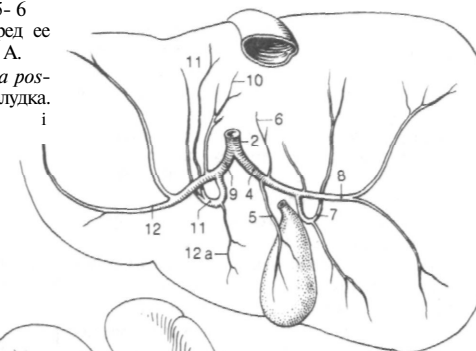


Рис. А. Чревной ствол

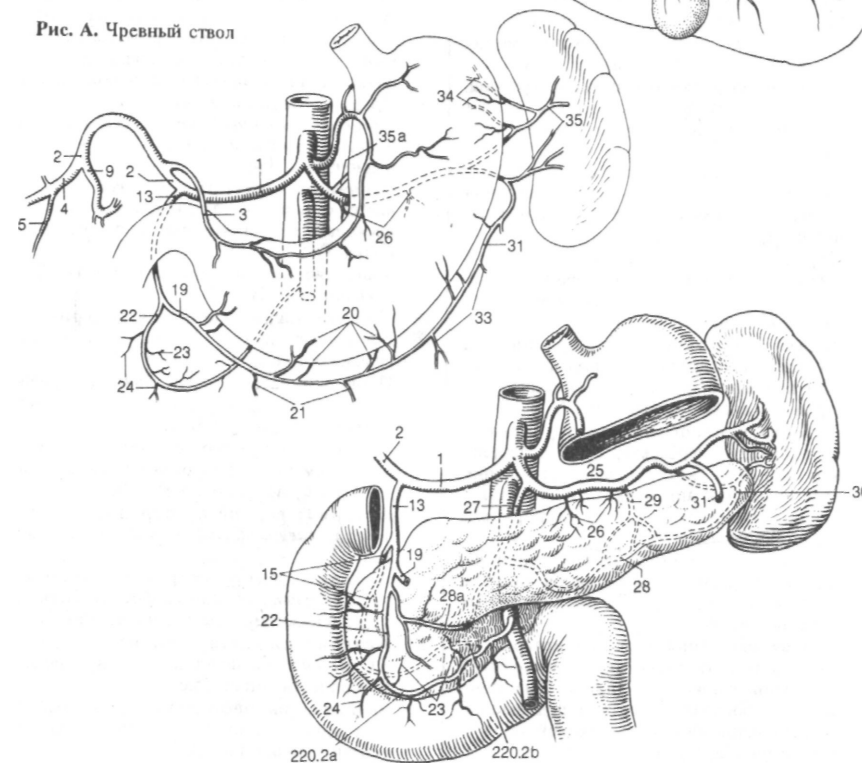


Рис. В. Кровоснабжение поджелудочной железы и двенадцатиперстной кишки [51]

- 1 Верхняя брыжеечная артерия, *a. mesenterial superior*. Непарная ветвь брюшной части аорты. Начинается примерно на 1 см ниже чревного ствола, сначала лежит позади поджелудочной железы, затем проходит спереди крючковидного отростка. Ее ветви продолжают в брыжейку тонкой и поперечной ободочной кишки. Рис. А, Б.
- 2 Нижняя панкреатодуоденальная артерия, *aa. pancreaticoduodenalis inferior*. Отходит на уровне верхнего края горизонтальной части двенадцатиперстной кишки. Ее ветви лежат спереди и сзади головки поджелудочной железы. Рис. А.
- 2а Передняя ветвь, *ramus anterior*. Анастомозирует с передней верхней панкреатодуоденальной артерией. См. с. 219. Рис. В.
- 2б Задняя ветвь, *ramus posterior*. Анастомозирует с задней верхней панкреатодуоденальной артерией. См. с. 219. Рис. В.
- 3 Тошекишечные артерии, *aajejunales*. Идет к тощей кишке в ее брыжейке. Рис. А.
- 4 Подвздошнокишечные артерии, *aa ileales*. Подходят к подвздошной кишке между двумя листками ее брыжейки. Рис. А.
- 5 Подвздошно-ободочнокишечная артерия, *a. ileocolica*. В брыжейке тонкой кишки идет вниз и вправо к илеоцекальному углу. Рис. А.
- 6 Ободочнокишечная ветвь, *ramus colicus*. Направляется к восходящей ободочной кишке. Анастомозирует с правой ободочнокишечной артерией. Рис. А.
- 7 Передняя слепокишечная артерия, *a. caecalis (cecalis) anterior*. В слепокишечной складке подходит к передней поверхности слепой кишки. Рис. А.
- 8 Задняя слепокишечная артерия, *a. caecalis (cecalis) posterior*. Направляется позади конечного отдела *ileum* к задней поверхности слепой кишки. Рис. А.
- 9 Артерия червеобразного отростка, *a. appendicularis*. Пересекает сзади подвздошную кишку и ложится вдоль свободного края брыжейки аппендикса. Место начала артерии непостоянное, она может быть двойной. Рис. А.
- 9а Повздошнокишечная ветвь, *ramus ilealis*. Направляется к подвздошной кишке и анастомозирует с одной из тонкокишечных артерий. Рис. А.
- 10 Правая ободочнокишечная артерия, *a. colica dextra*. Напраатается к восходящей ободочной кишке забрюшинно. Анастомозирует с восходящей ветвью подвздошно-ободочнокишечной и со средней ободочнокишечной артериями. Рис. А.
- 10а Артерия правого изгиба ободочной кишки, *aflexura dextra*. Рис. А.
- 11 Средняя ободочнокишечная артерия, *a. colica media*. Расположена в брыжейке поперечной ободочной кишки. Рис. А.
- 1а Краевая ободочнокишечная артерия, *a.*

*marginalis coli* [[Drummond]]. Анастомоз левой ободочной и сигмовидных артерий. Рис. Б.

- 12 Нижняя брыжеечная артерия, *a. mesenterica inferior*. Отходит от брюшной части аорты на уровне L3 - L4. Направляется влево и кровоснабжает левую треть поперечной ободочной, нисходящую, сигмовидную ободочные кишки, а также большую часть гестум. Рис. Б.
- 12а Восходящая [межбрыжеечная] артерия, *a. ascendens [intermesenterica]*. Анастомозирует с левой ободочнокишечной и средней ободочнокишечной артериями. Рис. А, Б.
- 13 Левая ободочнокишечная артерия, *a. colica sinistra*. Ретроперитонеально направляется к нисходящей ободочной кишке. Рис. Б.
- 14 Сигмовидно-кишечные артерии, *aa. sigmoideae*. Идет косо вниз к стенке сигмовидной кишки. Рис. Б.
- 15 Верхняя прямокишечная артерия, *a. rectalis superior*. Позади прямой кишки заходит в малый таз, где разделяется на правую и левую ветви, которые, прободая мышечный слой, кровоснабжают слизистую оболочку кишки до анальных заслонок. Рис. Б.
- 16 Средняя надпочечниковая артерия, *a. suprarenalis (adrenalis) media*. Отходит от брюшной части аорты и кровоснабжает надпочечник. Рис. В.
- 17 Почечная артерия, *a. renalis*. Начинается от аорты на уровне L1 и делится на несколько ветвей, которые идут к воротам почки. Рис. В, Г.
- 17а Капсулярные артерии, *aaxapsulares (perirenales)*. Рис. В.
- 18 Нижняя надпочечниковая артерия, *a. suprarenalis inferior*. Участвует в кровоснабжении надпочечника. Рис. В.
- 19 Передняя ветвь, *ramus anterior*. Кровоснабжает верхний, передний и нижний сегменты почки. Рис. В, Г.
- 20 Артерия верхнего сегмента, *a. segment superioris*. Распространяется на заднюю поверхность почки. Рис. В.
- 21 Артерия верхнего переднего сегмента, *a. segmenti anterioris superioris*. Рис. В.
- 22 Артерия нижнего переднего сегмента, *a. segmenti anterioris inferioris*. Ветвь к передненижнему сегменту почки. Рис. В.
- 23 Артерия нижнего сегмента, *a. segmenti inferioris*. Распространяется на заднюю поверхность органа. Рис. В.
- 24 Задняя ветвь, *ramus posterior*. Направляется к заднему, самому большому по размеру сегменту почки. Рис. В, Г.
- 25 Артерия заднего сегмента, *a. segmenti posterioris*. Разветвляется в соответствующем сегменте почки. Рис. Г.
- 26 Мочеточничковые ветви, *rami ureterici*. Ветви к мочеточнику. Рис. В.

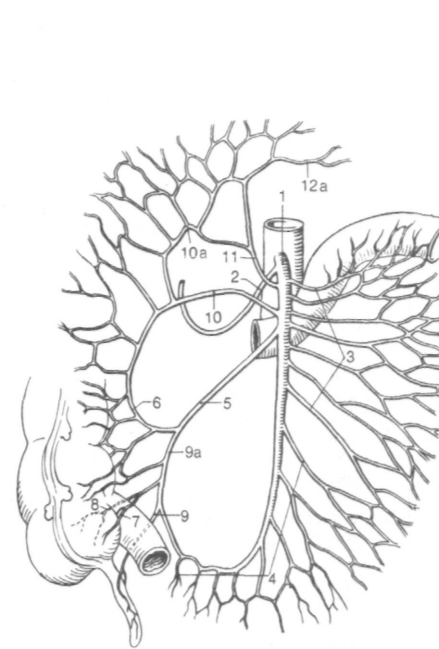


Рис. А. Верхняя брыжеечная артерия

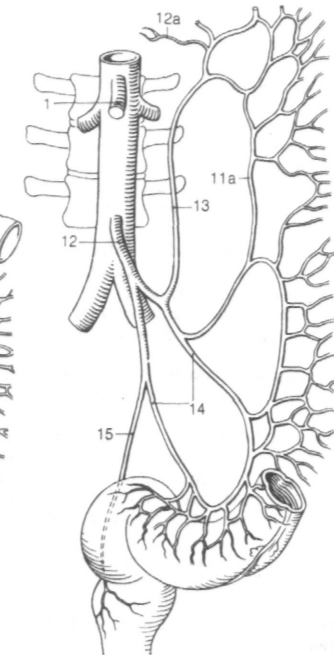


Рис. Б. Нижняя брыжеечная артерия

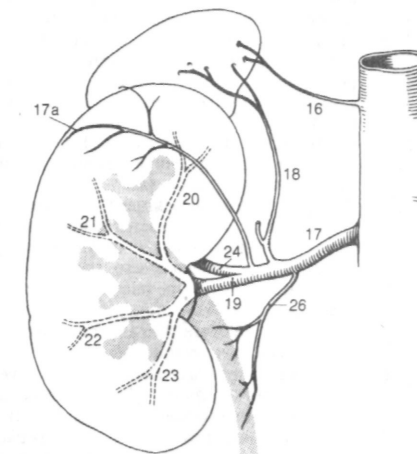


Рис. В. Сегментарные артерии почки (вид спереди) [37]

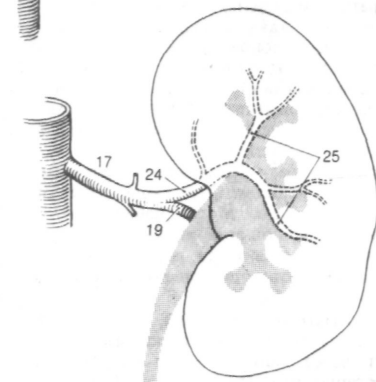


Рис. Г. Сегментарные артерии почки (вид сзади) [37]



- 1 Яичковая артерия, *atesicularis*. Начинается от аорты на уровне L 2, пересекает мочеточник спереди и с семявыносящим протоком проходит через паховый канал к яичку. Рис. В.
- 2 Мочеточниковые ветви, *rami ureterici*. Направляются к мочеточнику. Рис. В.
- 2а Ветви придатка яичка, *rami epididymides*.
- 3 Яичниковая артерия, *a. ovarica*. Начинается от аорты на уровне L 2' и достигает яичника в составе *lig. suspensorium ovarii*. Анастомозирует с маточной артерией. Рис. В.
- 4 Мочеточниковые ветви, *rami ureterici*. Направляются к мочеточнику. Рис. В.
- 4а Трубные ветви, *rami tubarii (tubaks)*. Направляются к воронке маточной трубы и анастомозируют с ветвями маточной артерии.
- 5 Бифуркация аорты, *bifurcatio aortae*. Находится спереди L 4, примерно на уровне пупка. Рис. В.
- 6 Общая подвздошная артерия, *a. Shaca communis*. От бифуркации аорты на уровне L 4 продолжается до крестцово-подвздошного сочленения, где разделяется на наружную и внутреннюю подвздошные артерии. Рис. В.
- 7 Внутренняя подвздошная артерия, *a. Shaca interna*. От бифуркации общей подвздошной артерии направляется в малый таз к верхнему краю большого седалищного отверстия. Рис. В.
- 8 Подвздошно-поясничная артерия, *a. ilio-lumbalis*. Проходит под большой поясничной мышцей назад и латерально к подвздошной ямке. Рис. В.
- 9 Поясничная ветвь, *ramus lumbalis*. Кровоснабжает большую поясничную мышцу и квадратную мышцу поясницы. Рис. В.
- 10 Спинномозговая ветвь, *ramus spinalis*. Заходит в позвоночный канал через отверстие между крестцом и L 5. Рис. В.
- 11 Подвздошная ветвь, *ramus iliacus*. Разветвляется в одноименной мышце и анастомозирует с глубокой артерией, огибающей подвздошную кость. Рис. В.
- 12 Латеральные крестцовые артерии, *aa sacrales laterales*. Спускаются сбоку от *a. sacralis mediana*. Могут начинаться от верхней ягодичной артерии. Рис. В.
- 13 Спинномозговые ветви, *rami spinales*. Через тазовые отверстия крестца заходят в *canalis sacralis*. Рис. В.
- 14 Запирательная артерия, *a. obturatoria*. Идет вдоль латеральной стенки таза и проходит через запирательное отверстие к приводящим мышцам бедра. Рис. Б, В.
- 15 Лобковая ветвь, *ramus pubieus*. Соединяется с запирательной ветвью нижней надчревной артерии [*corona mortis*]] Рис. В.
- 16 Вертлужная ветвь, *ramus acetabularis*. Проходит через одноименную вырезку к связке головки бедренной кости. Рис. Б.
- 17 Передняя ветвь, *ramus anterior*. Располо-

- жена на короткой приводящей мышце и анастомозирует с медиальной артерией, огибающей бедренную кость. Рис. Б.
- 18 Задняя ветвь, *ramus posterior*. Находится под короткой приводящей мышцей. Рис. Б.
- 19 Верхняя ягодичная артерия, *a. glutealis superior*. Выходит из таза через большое седалищное отверстие над грушевидной мышцей. Рис. А, В.
- 20 Поверхностная ветвь, *ramus superficialis*. Находится между большой и средней ягодичными мышцами. Анастомозирует с нижней ягодичной артерией. Рис. А.
- 21 Глубокая ветвь, *ramus profundus*. Располагается между средней и малой ягодичными мышцами. Рис. А.
- 22 Верхняя ветвь, *ramus superior*. Идет вдоль верхнего края малой ягодичной мышцы к *m. tensor fasciae latae*. Рис. А.
- 23 Нижняя ветвь, *ramus inferior*. В средней ягодичной мышце доходит до большого вертела бедренной кости. Рис. А.
- 24 Нижняя ягодичная артерия, *a. glutealis inferior*. Проходит через большое седалищное отверстие под грушевидной мышцей и разветвляется под *m. gluteus maximus*. Анастомозирует с верхней ягодичной и запирательной артериями, а также с латеральной и медиальной артериями, огибающими бедренную кость. Рис. А, В.
- 25 Артерия, сопровождающая седалищный нерв, *a. comitans n. ischiadici (sciatici)*. В филогенезе главная артерия нижней конечности. Сопровождает и кровоснабжает *nischiadicus*. Анастомозирует с медиальной артерией, огибающей бедренную кость и прорывающимися артериями. Рис. А, В.
- 26 Пупочная артерия, *a. umbilicalis*. Ветвь внутренней подвздошной артерии. После рождения ее просвет выше отхождения верхних пузырных артерий облитерируется. Рис. В.
- 26а Открытая часть, *pars patens*. Необлитерированная часть пупочной артерии. От нее отходят следующие сосуды:
- 27 Артерия семявыносящего протока, *a. ductus deferentis*. Спускается в полость таза ко дну мочевого пузыря, откуда в сопровождении семявыносящего протока направляется к яичку, где анастомозирует с *a. testicularis*. Рис. В.
- 28 Мочеточниковые ветви, *rami ureterici*. Три ветви к мочеточнику. Рис. В.
- 29 Верхние мочепузырные артерии, *aa vesicales superiores*. Кровоснабжают верхний и средний отделы мочевого пузыря. Рис. В.
- 29а Облитерированная часть, *pars occlusa*. Часть пупочной артерии, которая после рождения превращается в медиальную пупочную связку.
- 30 Медиальная пупочная связка, *lig. umbilicale mediale (laterale)*. Замещает пупочную артерию и проходит в одноименной складке брюшины. Рис. В.

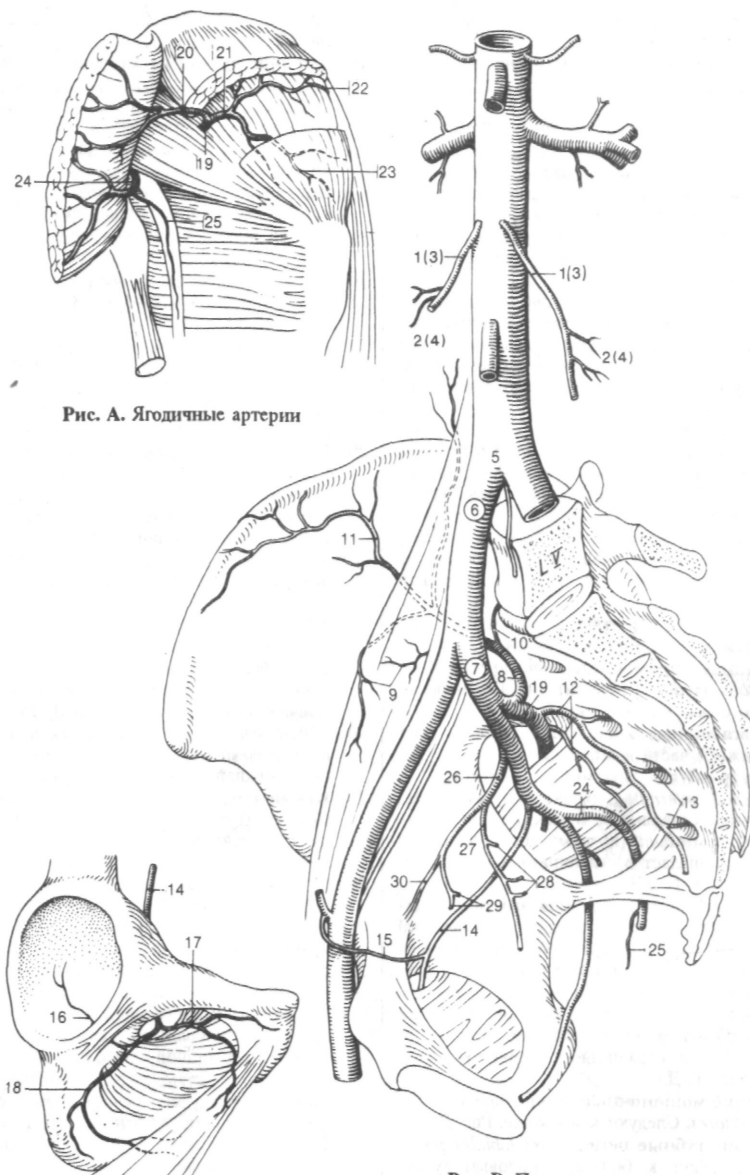


Рис. А. Ягодичные артерии

Рис. Б. Запирательные артерии

Рис. В. Подвздошные артерии

- 1 **Нижняя пузырная артерия, *a. vesicalis inferior***. Кровоснабжает нижнюю часть мочевого пузыря (предстательную железу и семенной пузырек). Рис. А.
- 1а Предстательные ветви, *rami prostatici*. Идут к предстательной железе и семенному пузырьку.
- 2 **Маточная артерия, *a. uterina***. Соответствует артерии семявыносящего протока. В основании широкой связки доходит до *cervix uteri* и, извиваясь, поднимается вдоль латерального края матки. Рис. А, В.
- 2а Завитковые ветви, *rami helicini*. Свернутые спирально конечные ветви маточной артерии. Рис. В.
- 3 Влагалищные ветви, *rami vaginales (aa. azugoi vaginae)*. Направляются к шейке матки, где анастомозируют с одноименными сосудами противоположной стороны. Кровоснабжают верхнюю часть влагалища. Рис. А, В.
- 4 Яичниковая ветвь, *ramus ovaricus*. Проходит вдоль *lig. ovarii proprium* и вступает в яичник через его брыжейку. Анастомозирует с *a. ovarica* и тубной ветвью маточной артерии. Рис. В.
- 5 **Трубная ветвь, *ramus tubarius (tubalis)***. Подходит к маточной трубе в составе ее брыжейки и анастомозирует с яичниковой артерией. Рис. В.
- 6 Влагалищная артерия, *a. vaginalis*. Начинается от *a. iliaca interna*. Рис. А.
- 7 Средняя прямокишечная артерия, *a. rectalis media*. Проходит по дну полости малого таза к прямой кишке. Рис. А, Д.
- 7а [Влагалищные ветви, *rami vaginales*]. Идут к нижней части влагалища. Рис. А.
- 8 **Внутренняя половая артерия, *a. pudenda interna***. Выходит из таза через большое седалищное отверстие под грушевидной мышцей и через *for. ischiadicum minus* попадает в седалищно-анальную ямку. Рис. А, Г, Д.
- 9 **Нижняя прямокишечная артерия, *a. rectalis inferior***. Отходит в седалищно-анальной ямке и кровоснабжает оба сфинктера и кожу ниже анальных заслонок. Рис. Г, Д.
- 10 **Промежностная артерия, *a. perinealis***. Начинается у заднего края мочеполовой диафрагмы и кровоснабжает луковично-губчатую и седалищно-пещеристую мышцы. Рис. Г, Д.
- 11 **Задние мошоночные ветви, *rami scrotales posteriores***. Следуют к мошонке. Рис. Д.
- 12 **Задние губные ветви, *rami labiales posteriores***. Идут к большим половым губам. Рис. Г.
- 13 **Уретральная артерия, *a. urethralis***. Проникает в губчатое тело у места соединения ножек полового члена и следует до его головки. Анастомозирует с дорсальной и глубокой артериями полового члена. Рис. Д.
- 14 **Артерия луковицы полового члена, *a.***

*bulbi penis*. Кровоснабжает луковицу полового члена, глубокую поперечную мышцу промежности и бульбоуретральную железу. Рис. Д.

- 15 **Артерия луковицы преддверия (влагалища) " \* " # " *vestibuli (vaginae)***. Рис. Г.
- 16 **Глубокая артерия полового члена, *a. profunda penis***. Проходит в составе пещеристого тела полового члена в дистальном направлении. Рис. Д.
- 17 **Дорсальная артерия полового члена, *a. dorsalis penis***. Проходит под фас шей вдоль спинки полового члена в направ. нии его головки. Рис. Д См. с. 165, рис. Б.
- 18 **Глубокая артерия клитора, *a. profunda clitoridis***. Соответствует глубокой артерии полового члена. Рис. Г.
- 19 **Дорсальная артерия клитора, *a. dorsalis clitoridis***. Соответствует дорсальной артерии полового члена. Рис. Г.

**АРТЕРИИ НИЖНЕЙ КОНЕЧНОСТИ, *arteriae membri inferioris*.**

- 20 **Наружная подвздошная артерия, *a. Iliaca externa***. Ветвь *a. iliaca communis*, продолжающаяся в бедренную артерию. Рис. А.
- 21 **Нижняя надчревная артерия, *a. epigastrica inferior***. Начинается позади паховой связки, поднимается по внутренней поверхности прямой мышцы живота в латеральной пупочной складке и анастомозирует с *a. epigastrica superior*. Рис. А, Б.
- 22 **Лобковая ветвь, *ramus pubicus***. Рис. А.
- 23 **Запирательная ветвь, *ramus obturatorius***. Анастомозирует с лобковой ветвью запирательной артерии [*corona mortis*]. Рис. А.
- 24 [Добавочная запирательная артерия, *a. obturatoria accessoria*]. Обычно начинается от нижней надчревной артерии.
- 25 **Кремастерная артерия, *a. cremasterica***. Соответствует артерии круглой связки матки. Кровоснабжает мышцу, поднимающую яичко.
- 26 **Артерия круглой связки матки, *a. ligamenti teretis uteri***. Кровоснабжает соединительную ткань и гладкомышечные волокна круглой связки матки. Рис. А, В.
- 27 **Глубокая артерия, огибающая подвздошную кость, *a. circumflexa iliaca profunda***. Под поперечной фасцией проходит в заднелатеральном направлении вдоль гребня подвздошной кости. Рис. А.
- 28 **Восходящая ветвь, *ramus ascendens***. Поднимается между поперечной и внутренней косой мышцами живота к точке Мак-Бурнея. Анастомозирует с подвздошно-поясничной артерией. Рис. А.
- 29 **Бедренная артерия, *a. femoralis***. Простирается от паховой связки до выхода из приводящего канала, где продолжается в подколенную артерию. Рис. Б.
- 30 **Поверхностная надчревная артерия, *a. epigastrica superficialis***. Начинается от бедренной артерии дистальнее паховой

связки и проходит по поверхности мышц живота к пупку. Рис. Б.

- 31 **Поверхностная артерия, огибающая подвздошную кость, *a. circumflexa iliaca superficialis***. Проходит параллельно паховой связке в направлении передней верхней ости подвздошной кости. Рис. Б.
- 32 **Наружные половые артерии, *aa. pudendae externae***. Два сосуда, которые кровоснабжают кожу нижнего отдела живота и наружных половых органов. Рис. Б.
- 33 **Передние мошоночные ветви, *rami scrotales anteriores***. Рис. Б.
- 34 **Передние губные ветви, *rami labiales anteriores***. Рис. Б.
- 35 **Паховые ветви, *rami inguinales***. Кровоснабжают кожу паховой области. Рис. Б.

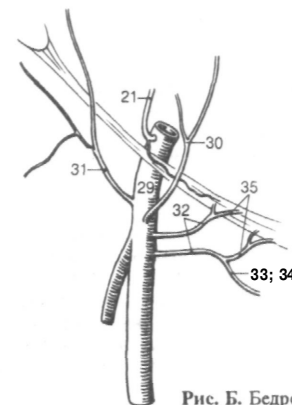


Рис. Б. Бедренная артерия

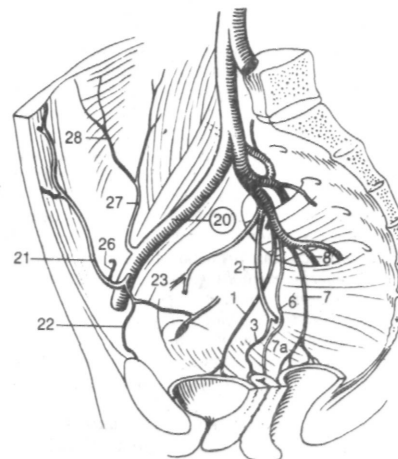


Рис. А. Наружная и внутренняя подвздошные артерии

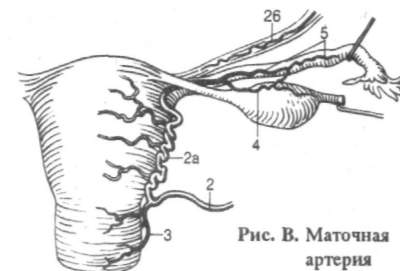


Рис. В. Маточная артерия

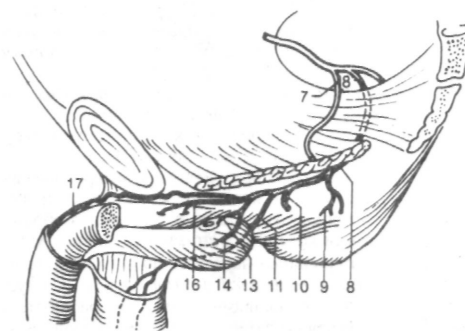


Рис. Д. Внутренняя половая артерия

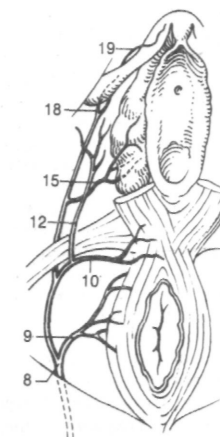


Рис. Г. Внутренняя половая артерия

- 1a Нисходящая коллатеральная артерия, *a. descendens genicularis*. Отходит от бедренной артерии в приводящем канале и прободает *lamina vastoadductoria*. Рис. А, Б.
- 16 Подкожная ветвь, *ramus saphenus*. Сопровождает одноименный нерв. Рис. А, Б.
- 1в Суставная ветвь, *ramus articularis*. Анастомозирует с другими артериями в медиальной широкой мышце бедра и заканчивается в коленной суставной сети. Рис. А.
- 2 Глубокая артерия бедра, *a. profunda femoris*. Самая крупная ветвь бедренной артерии, отходит от ее задней поверхности и дает перечисленные ниже ветви. Рис. А.
- 3 Медиальная артерия, огибающая бедренную кость, *a. circumflexa femoris medialis*. Направляется медиально и назад между подвздошно-поясничной и гребенчатой мышцами. Рис. А.
- 3а Поверхностная ветвь, *ramus superficialis*. Проходит между гребенчатой и длинной приводящей мышцами. Рис. А.
- 4 Глубокая ветвь, *ramus profundus*. Проходит под малым вертелом к квадратной мышце бедра, большой приводящей и мышцам задней группы бедра. Анастомозирует с ягодичными артериями. Рис. А.
- 5 Восходящая ветвь, *ramus ascendens*. Разветвляется в короткой, большой приводящей и наружной запирательной мышцах. Анастомозирует с запирательной артерией. Рис. А.
- 6 Нисходящая ветвь, *ramus descendens*. Следует между квадратной мышцей бедра и *m. adductor magnus*. Кровоснабжает мышцы задней группы бедра. Рис. А.
- 7 Ветвь вертлужной впадины, *ramus acetabularis*. Проходит через вертлужную вырезку к связке головки бедра и анастомозирует с запирательной артерией. Рис. А.
- 8 Латеральная артерия, огибающая бедренную кость, *a. circumflexa femoris lateralis*. Направляется латерально под прямой мышцей бедра. Рис. А.
- 9 Восходящая ветвь, *ramus ascendens*. Под *mm. sartorius et rectus femoris* поднимается к напрягателю широкой фасции. Анастомозирует с медиальной артерией, огибающей бедренную кость и ягодичными артериями. Рис. А.
- 10 Нисходящая ветвь, *ramus descendens*. Под прямой мышцей спускается к коленному суставу. Рис. А.
- 11 Поперечная ветвь, *ramus transversus*. Вступает в латеральную широкую мышцу, где образует многочисленные анастомозы. Рис. А.
- 12 Прободающие артерии, *aa. perforates*. Конечные ветви глубокой артерии бедра. Проходят вблизи бедренной кости через щели в приводящих мышцах к мышцам задней группы бедра. Рис. А.
- 12а Питающие бедро артерии, *aa. nutrientes*

- (*nutriciae*) *femoris*. Начинаются от первой и третьей прободающих артерий.
- 43 Подколенная артерия, *a. poplitea*. Начинается у выхода из приводящего канала и продолжается до нижнего края подколенной мышцы, где разветвляется на конечные ветви. Рис. Б.
- 14 Латеральная верхняя коленная артерия, *a. superior lateralis genuis*. Отходит на уровне латерального мыщелка бедренной кости и под сухожилием двуглавой мышцы бедра направляется вперед, где вступает в коленную суставную сеть. Рис. А, Б.
- 15 Медиальная верхняя коленная артерия, *a. superior medialis genuis*. Проходит под сухожилием большой приводящей мышцы бедра и участвует в формировании коленной суставной сети. Рис. Б.
- 16 Средняя коленная артерия, *a. media genuis*. Направляется вперед. В полости сустава кровоснабжает крестообразные связки и складки синовиальной оболочки. Рис. Б.
- 17 Икроножные артерии, *aa. surales*. Кровоснабжают икроножную мышцу и сухожилие двуглавой мышцы. Рис. Б.
- 18 Латеральная нижняя коленная артерия, *a. inferior lateralis genuis*. Проходит под латеральной головкой икроножной мышцы и *lig. collaterale fibulare*. Присоединяется к коленной суставной сети. Рис. А, Б.
- 19 Медиальная нижняя коленная артерия, *a. inferior medialis genuis*. Проходит под медиальной головкой икроножной мышцы и *lig. collaterale tibiale*. Присоединяется к коленной суставной сети. Рис. А, Б.
- 20 Коленная суставная сеть, *rete articularis genuis*. Артериальное сплетение спереди коленного сустава. Рис. А.
- 21 Сеть надколенника, *rete patellare*. Расположена спереди надколенника. Рис. А.
- 22 Передняя большеберцовая артерия, *a. tibialis anterior*. Начинается у нижнего края подколенной мышцы, прободает межкостную перепонку, ложится между *m. tibialis anterior* и длинным разгибателем пальцев. В дистальном отделе голени расположена между *m. tibialis anterior* и *m. extensor hallucis longus*. Рис. А, Б, В.
- 23 [Задняя большеберцовая возвратная артерия, *a. recurrens tibialis posterior*]. Проходит под *m. popliteus* к коленному суставу. Присутствует непостоянно. Рис. А, Б.
- 24 Передняя большеберцовая возвратная артерия, *a. recurrens tibialis anterior*. Прободает *m. tibialis anterior* и участвует в образовании коленной суставной сети. Рис. А, Б.
- 25 Латеральная передняя лодыжковая артерия, *a. malleolaris anterior lateralis*. Следует под сухожилиями длинного разгибателя пальцев к латеральной лодыжковой сети. Рис. В.
- 26 Медиальная передняя лодыжковая артерия, *a. malleolaris anterior medialis*. Проходит под сухожилием *m. tibialis anterior* к медиальной лодыжковой сети. Рис. В.

- 27 Латеральная лодыжковая сеть, *rete malleolar laterale*. Артериальная сеть в области латеральной лодыжки. Рис. В.

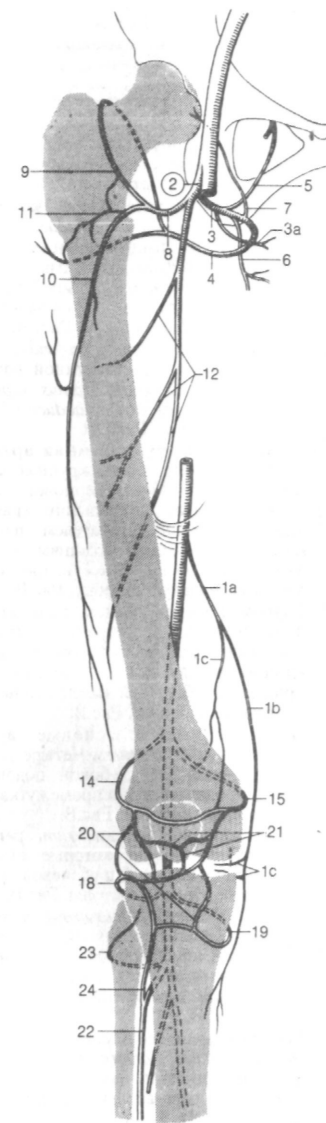


Рис. А. Артерии нижней конечности (вид спереди)

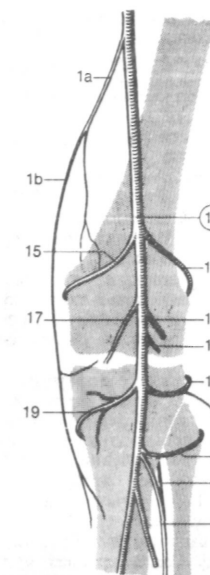


Рис. Б. Подколенная артерия

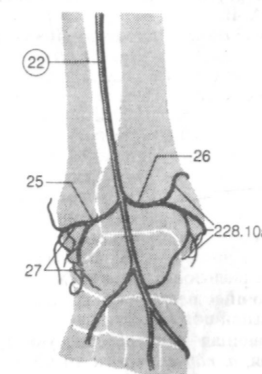


Рис. В. Передняя большеберцовая артерия и ее ветви в области голеностопного сустава

- 1 **Тыльная артерия стопы, *a. dorsalis pedis***. Продолжение передней большеберцовой артерии на тыне стопы. Пересекает сзади сухожилие *m. extensor hallucis longus* и после выхода из-под нижнего края *retinaculum mm. extensorum inferius* ложится с латеральной стороны от этой мышцы, где доступна пальпации. Рис. Б.
- 2 **Латеральная предплюсневая артерия, *a. tarsalis lateralis***. Начинается на уровне головки таранной кости и проходит под сухожилиями короткого разгибателя пальцев к кубовидной кости. Анастомозирует с дугообразной артерией. Рис. Б.
- 3 **Медиальные предплюсневые артерии, *aa. tarsales mediales***. Направляются к внутреннему краю стопы. Рис. Б.
- 4 **Дугообразная артерия, *a. arcuata***. На уровне оснований плюсневых костей дугообразно изгибается в латеральную сторону и проходит под коротким разгибателем пальцев. Рис. Б.
- 5 Тыльные плюсневые артерии, *aa. metatarsals dorsales*. Четыре ветви, которые начинаются от дугообразной артерии и в межплюсневых промежутках продолжают в дистальном направлении. Рис. Б.
- 6 Тыльные пальцевые артерии, *aa. digitales dorsales*. Берут начало от тыльных плюсневых артерий. Рис. Б.
- 7 Глубокая подошвенная артерия, *a. plantaris profunda*. Самая крупная прободающая ветвь, которая начинается от первой тыльной плюсневой артерии и соединяется с подошвенной дугой. Рис. Б.
- 8 **Задняя большеберцовая артерия, *a. tibialis posterior***. Проходит под сухожильной дугой камбаловидной мышцы, поверхностным слоем мышц задней группы голени и огибает медиальную лодыжку сзади. Рис. А, В.
- 9 **Ветвь, огибающая малоберцовую кость, *ramus circumflexus fibularis* [*ramus fibularis*]**. Отходит у места начала задней большеберцовой артерии. Идет вперед, огибает головку малоберцовой кости и участвует в образовании коленной суставной сети. Рис. А.
- 10 **Медиальные лодыжковые ветви, *rami malleolares mediales***. Следуют позади медиальной лодыжки и присоединяются к медиальной лодыжковой сети. Рис. А.
- 10а Медиальная лодыжковая сеть, *rete malleolare mediate*. Артериальная сеть в области медиальной лодыжки. Рис. А.
- 11 **Пяточные ветви, *rami calcanei***. Идут к медиальной поверхности пятки. Рис. А.
- 11а Питающая большеберцовую кость артерия, *a. nutriens (nutricea) tibialis*. Отходит ниже линии камбаловидной мышцы и проникает в питательное отверстие. Рис. А.
- 12 **Малоберцовая артерия *a-fibularis***. Проходит под длинным сгибателем большого пальца к пятке. Рис. А.
- 13 **Прободающая ветвь, *ramus perforans***. Прободает межкостную перепонку над лодыжкой и направляется к латеральной лодыжковой сети, а также отдает веточки к тылу

стопы Рис. А.

- 14 **Соединительная ветвь, *ramus communicans***. Поперечно расположенный анастомоз между малоберцовой и задней большеберцовой артериями. Рис. А.
- 15 **Латеральные лодыжковые ветви, *rami malleolares laterales***. Часто отходят от соединительной ветви. Участвуют в образовании латеральной лодыжковой сети. Рис. А.
- 16 **Пяточные ветви, *rami calcanei***. Проходят с наружной стороны пятки. Рис. А.
- 17 **Пяточная сеть, *rete calcaneum***. Артериальная сеть в области пятки. Рис. А.
- 17а **Питающая малоберцовую кость артерия, *a. nutriens (nutricia) fibulae***. Рис. А.
- 18 **Медиальная подошвенная артерия, *a. plantaris medialis***. Меньшая по размеру конечная ветвь задней большеберцовой артерии. Кровоснабжает *m. abductor hallucis* и *m. flexor digitorum brevis*. Рис. В.
- 19 **Глубокая ветвь, *ramus profundus***. Обычно присоединяется к подошвенной дуге. Рис. В.
- 20 **Поверхностная ветвь, *ramus superficialis***. Проходит снаружи от *m. abductor hallucis* к большому пальцу. Рис. В.
- 21 **Латеральная подошвенная артерия, *a. plantaris lateralis***. Более крупная конечная ветвь задней большеберцовой артерии. Проходит вдоль латерального края стопы между коротким сгибателем пальцев и квадратной мышцей подошвы до основания пятой плюсневой кости, где поворачивает в медиальную сторону. Рис. В.
- 22 **Глубокая подошвенная дуга, *arcus plantaris profundus***. Дугообразно изогнутый дистальный отдел латеральной подошвенной артерии между кривой головкой мышцы, приводящей большой палец стопы и межкостными мышцами. Рис. В.
- 23 **Подошвенные плюсневые артерии, *aa. metatarsales plantares***. Четыре ветви, которые отходят от глубокой подошвенной дуги и продолжают в промежутках между плюсневыми костями. Рис. В.
- 24 **Прободающие ветви, *rami perforantes***. Обычно два сосуда, которые отходят от каждой подошвенной плюсневой артерии и направляются на тыл стопы. Рис. В.
- 25 **Общие подошвенные пальцевые артерии, *aa. digitales plantares communes***. Являются продолжением подошвенных плюсневых артерий. Каждая из них разделяется на две собственные подошвенные пальцевые артерии. Рис. В.
- 26 **Собственные подошвенные пальцевые артерии, *aa. digitales plantares propriae***. Следуют по медиальной и латеральной сторонам каждого пальца вблизи подошвенной поверхности. Рис. В.
- 26а [Поверхностная подошвенная дуга, *arcus plantaris superficialis*]. Поверхностно расположенный анастомоз между медиальной и латеральной подошвенными артериями. Встречается непостоянно.

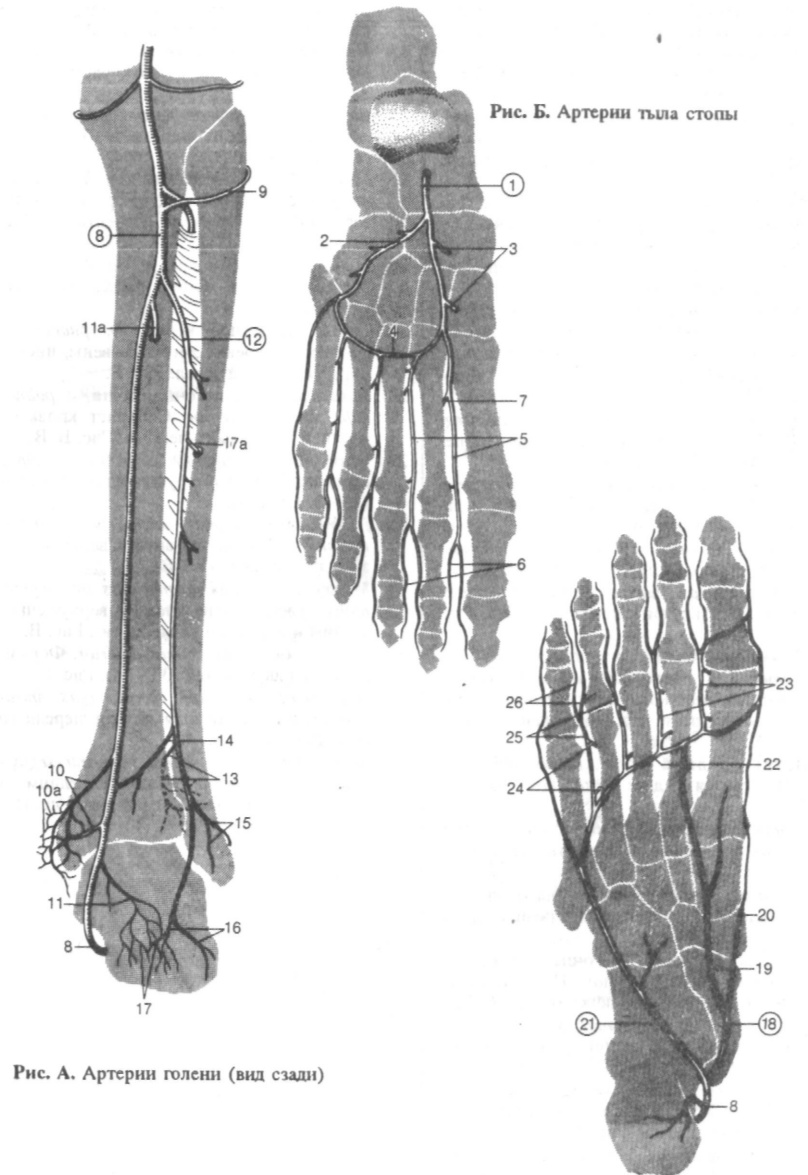


Рис. А. Артерии голени (вид сзади)

Рис. Б. Артерии тыла стопы

Рис. В. Артерии подошвенной поверхности стопы

- 1 ВЕНЫ, *venae*. Тонкостенные сосуды, по которым кровь движется к сердцу.
- 2 ЛЕГОЧНЫЕ ВЕНЫ, *w. pulmonales*. Направляются от легких к сердцу.
- 3 [[Правые легочные вены, *w. pulmonales dextrae*]]. Две правые легочные вены. Иногда образуют общий ствол. Рис. А, Б.
- 4 Правая верхняя легочная вена, *v. pulmonalis dextra superior*. Собирают кровь от верхней и средней долей легкого. Рис. А, Б.
- 5 Вершущная ветвь, *ramus apicalis*. Формируется из двух частей (6 - 7). Рис. А.
- 6 Внутрисегментарная часть, *pars intrasegmentalis*. Выходит непосредственно из верхушечного сегмента. Рис. А.
- 7 Межсегментарная часть, *pars intersegmentalis*. Расположена между верхушечным и задним сегментами верхней доли. Рис. А.
- 8 Передняя ветвь, *ramus anterior*. Формируется из двух частей (9 - 10). Рис. А.
- 9 Внутрисегментарная часть, *pars intrasegmentalis*. Выходит непосредственно из переднего сегмента. Рис. А.
- 10 Межсегментарная часть, *pars intersegmentalis*. Расположена между передним и латеральным сегментами. Рис. А.
- 11 Задняя ветвь, *ramus posterior*. Образуется из двух частей (12 - 13). Рис. А.
- 12 Внутрислоевая часть, *pars infralobaris*. Начинается внутри заднего сегмента. Рис. А.
- 13 Поддоловая часть, *pars intralobaris [intersegmentalis]*. Расположена между задним сегментом верхней и верхушечным (верхним) сегментом нижней долей легкого. Рис. А.
- 14 Ветвь средней доли, *ramus lobi medii*. Формируется из двух частей (15 - 16). Рис. А.
- 15 Латеральная часть, *pars lateralis*. Отходит от латерального сегмента средней доли. Рис. А.
- 16 Медиальная часть, *pars medialis*. Отходит от медиального сегмента средней доли. Рис. А.
- 17 Правая нижняя легочная вена, *v. pulmonalis dextra inferior*. Начинается от нижней доли правого легкого. Рис. А, Б.
- 18 Верхняя ветвь, *ramus superior*. Формируется из двух частей (См. 19 и 20). Рис. А.
- 19 Внутрисегментарная часть, *pars intrasegmentalis*. Лежит внутри верхушечного сегмента нижней доли. Рис. А.
- 20 Межсегментарная часть, *pars intersegmentalis*. Расположена между верхушечным и задним базальными сегментами нижней доли. Рис. А.
- 21 Общая базальная вена, *v. basalis communis*. Собирает кровь от всех базальных сегментов и формируется из верхней и

- нижней базальных вен. Рис. А.
- 22 Верхняя базальная вена, *v. basalis superior*. Собирает кровь от латерального и переднего базальных сегментов. Рис. А.
- 23 Передняя базальная ветвь, *ramus basalis anterior*. Образуется из двух частей (24 - 25). Рис. А.
- 24 Внутрисегментарная часть, *pars intrasegmentalis*. Идет от переднего базального сегмента. Рис. А.
- 25 Межсегментарная часть, *pars intersegmentalis*. Расположена между передним и латеральными базальными сегментами. Рис. А.
- 26 Нижняя базальная вена, *v. basalis inferior*. Начинается от заднего базального сегмента. Рис. А.
- 27 Левые легочные вены, *w. pulmonales sinistrae*. Две левые легочные вены, иногда образуют общий ствол. Рис. Б.
- 28 Левая верхняя легочная вена, *v. pulmonalis sinistra superior*. Собирает кровь от верхней доли левого легкого. Рис. Б, В.
- 29 Верхушечно-задняя ветвь, *ramus apicoposterior*. Формируется из двух частей (30 - 31). Рис. В.
- 30 Внутрисегментарная часть, *pars intrasegmentalis*. Начинается внутри верхушечно-заднего сегмента. Рис. В.
- 31 Межсегментарная часть, *pars intersegmentalis*. Расположена между верхушечно-задним и передним сегментами. Рис. В.
- 32 Передняя ветвь, *ramus anterior*. Формируется из двух частей (33 - 34). Рис. В.
- 33 Внутрисегментарная часть, *pars intrasegmentalis*. Начинается внутри переднего сегмента. Рис. В.
- 34 Межсегментарная часть, *pars intersegmentalis*. Расположена между передним и верхним язычковыми сегментами. Рис. В.

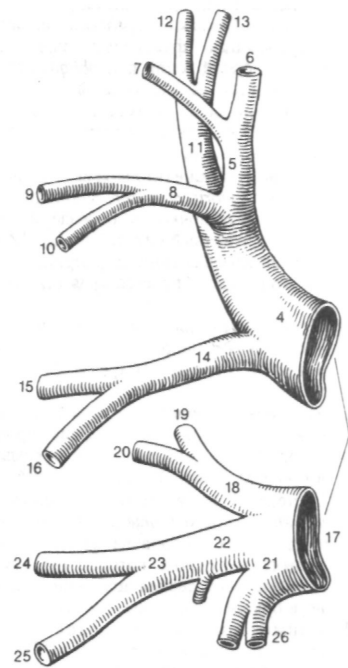


Рис. А. Правые легочные вены [6]

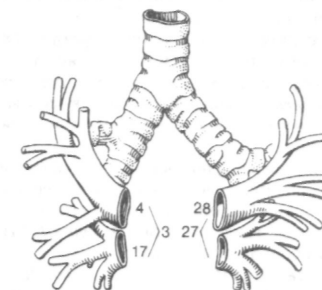


Рис. Б. Легочные вены (схема) [6]

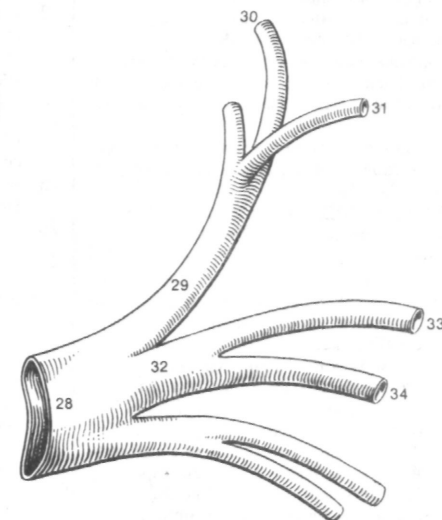


Рис. В. Левая верхняя легочная вена [6]

- 1 Язычковая ветвь, *ramus lingularis*. Формируется из двух частей (2 - 3). Рис. А.
- 2 Верхняя часть, *pars superior*. Отходит от верхнего язычкового сегмента. Рис. А.
- 3 Нижняя часть, *pars inferior*. Отходит от нижнего язычкового сегмента. Рис. А.
- 4 Левая нижняя легочная вена, *v. pulmonalis sinistra inferior*. Собирает кровь от нижней доли левого легкого. Рис. А.
- 5 Верхняя ветвь, *ramus superior*. Образуется из двух частей (6 - 7). Рис. А.
- 6 Внутрисегментарная часть, *pars intrasegmentalis*. Находится внутри соответствующего сегмента нижней доли левого. Рис. А.
- 7 Межсегментарная часть, *pars intersegmentalis*. Латерально лежит между верхним и передним базальным сегментами; медиально - между верхним и задним базальным сегментами. Рис. А.
- 8 Общая базальная вена, *v. basalis communis*. Общий ствол верхней и нижней базальных вен. Рис. А.
- 9 Верхняя базальная вена, *v. basalis superior*. Находится между передней базальной ветвью и общей базальной веной. Рис. А.
- 10 Передняя базальная ветвь, *ramus basalis anterior*. Формируется из двух частей (11 - 12). Рис. А.
- 11 Внутрисегментарная часть, *pars intrasegmentalis*. Начинается внутри переднего базального сегмента. Рис. А.
- 12 Межсегментарная часть, *pars intersegmentalis*. Расположена между медиальным и латеральными базальными сегментами. Рис. А.
- 13 Нижняя базальная вена, *v. basalis inferior*. Отходит от заднего базального сегмента. Рис. А.
- 14 ВЕНЫ СЕРДЦА, *w. cordis*. Собирают кровь от стенки сердца. Рис. Б.
- 15 Венечный синус, *sinus coronarius*. Расположен на задней стенке сердца. Начинается от отверстия косой вены левого предсердия и заканчивается в правом предсердии. Рис. Б.
- 16 Передняя межжелудочковая вена, *v. interventricularis anterior*. Проходит в переднем межжелудочковой борозде. Рис. Б.
- 17 Задняя вена левого желудочка, *v. posterior ventriculi sinistri*. По задней поверхности левого желудочка направляется вверх и присоединяется к большой вене сердца или венечному синусу. Рис. Б.
- 18 Косая вена левого предсердия, *v. obliqua atrii sinistri*. Небольшой рудиментарный сосуд на задней стенке левого предсердия.

Остаток левого кюверова протока. Рис. Б.

- 19 Складка левой полой вены, *plica v. cavae sinistae*. Складка серозного перикарда, покрывающая фиброзный тяж, между плечеголовной веной и *v. obliqua atrii sinistri* (остаток эмбриональной левой верхней полой вены). Проходит спереди от сосудов левого легкого, которые может шунтировать. Рис. Б.
- 20 Задняя межжелудочковая вена, *v. interventricularis posterior*. Проходит в задней межжелудочковой борозде и открывается в венечный синус. Рис. Б.
- 20a Правая краевая вена, *v. marginalis dextra*. Проходит вдоль правого края сердца. Рис. Б.
- 20б Правая венечная вена, *v. coronaria dextra*. Добавочная вена, расположенная в правой венечной борозде. Встречается в 32 % случаев.
- 21 Малая вена сердца, *v. cardiaca parva*. Начинается у правого края сердца, проходит в правой венечной борозде и открывается в венечный синус. Рис. Б.
- 22 Передняя вена правого желудочка, *v. ventriculi dextri anterior*. От одного до трех мелких сосудов на передней стенке правого желудочка, которые открываются в малую вену сердца или непосредственно в правое предсердие. Рис. Б.
- 23 Наименьшие вены сердца [Тебесиевы], *w. cardiaca minima [Thebesii]*. Открываются непосредственно в полости сердца, главным образом в правое предсердие.
- 24 Левые и правые предсердные вены, *w. atriales dextrae et sinistae*. Небольшие сосуды от стенок предсердия. Рис. Б.
- 25 Желудочковые вены, *w. ventriculares*. Начинаются от стенок желудочков. Рис. Б.
- 26 Предсердно-желудочковые вены, *w. atrioventriculares*. Рис. Б.
- 27 ВЕРХНЯЯ ПОЛАЯ ВЕНА, *v. cava superior*. Рис. В.
- 28 ПЛЕЧЕГОЛОВНЫЕ ВЕНЫ [ПРАВАЯ И ЛЕВАЯ], *w. brachiocephalicae [dextra et sinistra]*. Каждая формируется из внутренней яремной и подключичной вен. В результате соединения двух плечеголовных вен образуется *v. cava superior*. Рис. В.
- 29 Нижние щитовидные вены, *w. thyroideae inferiores*. Начинаются от непарного щитовидного сплетения, впадают в левую (иногда правую) плечеголовную вену. Рис. В.
- 30 Непарное щитовидное сплетение, *plexus thyroideus impar*. Расположено спереди трахеи под нижним краем щитовидной железы. Рис. В.
- 31 Нижняя гортанная вена, *v. laryngea inferior*. Направляется от гортани к непарному щитовидному сплетению. Рис. В.

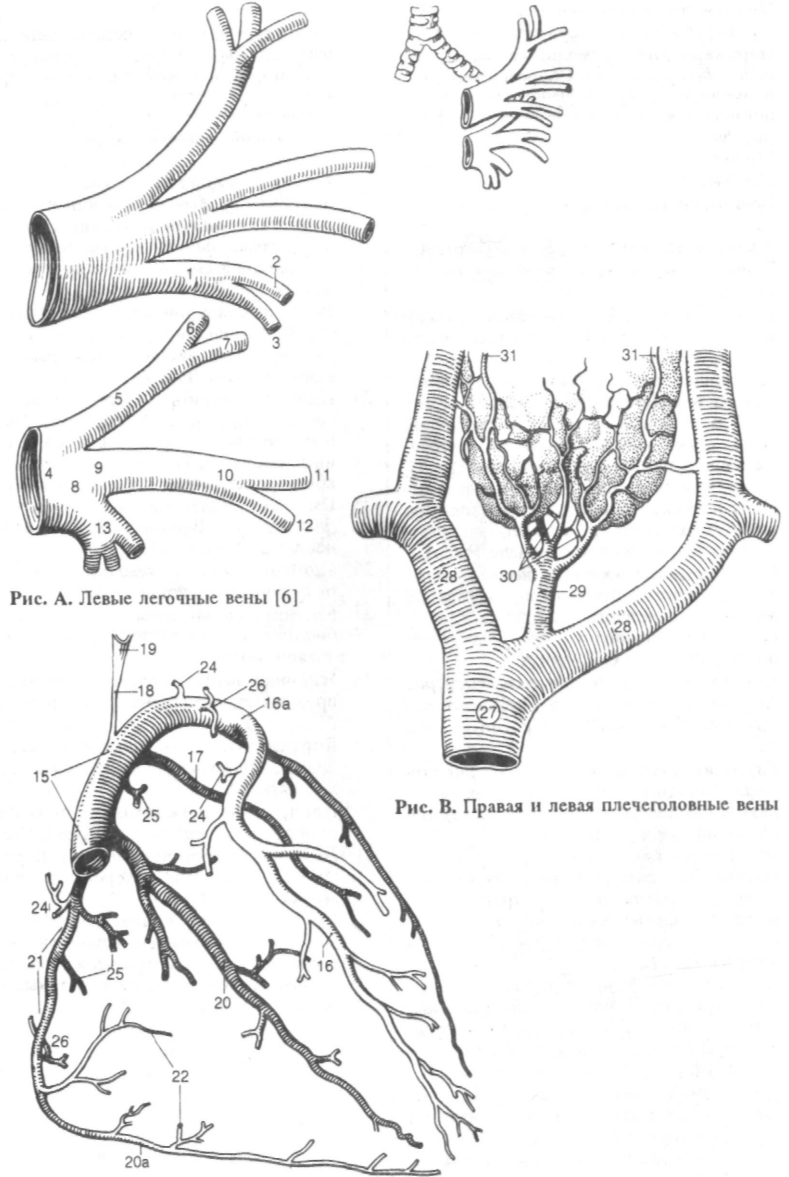


Рис. А. Левые легочные вены [6]

Рис. В. Правая и левая плечеголовные вены

Рис. Б. Вены сердца [15]



- 1 **Тимусные вены**, *w. thymicae*. Отходят от вилочковой железы. Рис. А.
- 2 **Перикардиальные вены**, *w. pericardicae*. Берут начало от перикарда. Рис. А.
- 3 **Перикардиодиафрагмальные вены**, *vv. pericardiacophrenicae*. Сопровождают одноименную артерию. Начинаются от перикарда и верхней поверхности диафрагмы. Рис. А.
- 4 **Медиастинальные вены**, *vv. mediastinales*. Рис. А.
- 5 **Бронхиальные вены**, *vv. bronchioles*. Рис. А.
- 6 **Трахеальные вены**, *w. tracheales*. Рис. А.
- 7 **Пищеводные вены**, *w. oesophageales*. Рис. А.
- 8 **Позвоночная вена**, *v. vertebralis*. Сопровождает одноименную артерию, часто формирует вокруг нее сплетение. Рис. А.
- 9 **Затылочная вена**, *v. occipitalis*. Начинается из венозной сети затылочной области. Как правило - приток позвоночной вены, также может впадать во внутреннюю или наружную яремные вены. Рис. А.
- 10 **Передняя позвоночная вена**, *v. vertebralis anterior*. Сопровождает восходящую шейную артерию и впадает в позвоночную вену в нижнем ее отделе. Рис. А.
- 11 **[Добавочная позвоночная вена, *v. vertebralis accessoria*]**. Является продолжением венозного сплетения позвоночной артерии. Часто проходит через межпозвоночное отверстие С 7. Рис. А.
- 12 **Подзатылочное венозное сплетение**, *plexus venosus suboccipitalis*. Находится между затылочной костью и атлантом. Рис. А.
- 13 **Глубокая шейная вена**, *v. cervicalis profunda*. Сопровождает одноименную артерию и расположена под полусухожильными мышцами головы и шеи. Рис. А.
- 14 **Внутренние грудные вены**, *vv. thoracicae intemae*. Две вены, которые сопровождают *a. thoracica interna* до хряща третьего ребра, где они сливаются в один сосуд и поднимаются вверх с медиальной стороны от артерии. Рис. А.
- 15 **Верхние надчревные вены**, *w. epigastricae superiores*. Сопровождают одноименные артерии и продолжают во внутренние грудные вены, которые следуют позади хрящей ребер у края грудины. Рис. А.
- 16 **Подкожные вены живота**, *w. subcutaneae abdominis*. Являются притоками верхних надчревных вен. Рис. А.
- 17 **Мышечно-диафрагмальные вены**, *w. musculophrenicae*. Сопровождают одноименные артерии. Рис. А.
- 18 **Передние межреберные вены**, *w. intercostales anteriores*. Проходят в межреберьях. Рис. А.
- 19 **Наивысшая межреберная вена**, *v. inter-*

*costalis suprema*. Отводит кровь от первого межреберья к плечеголовной или позвоночной венам. Рис. А.

20 **Левая верхняя межреберная вена**, *v. intercostalis superior sinistra*. Дренажирует левые второе и третье (иногда четвертое) межреберья и открывается в левую плечеголовную вену. Рис. А.

21 **Внутренняя яремная вена**, *v. jugularis interna*. Спускается от яремного отверстия к месту соединения с подключичной веной. Является главной веной шеи. Рис. А.

22 **Верхняя луковица внутренней яремной вены**, *bulbus superior v. jugularis*. Расширенные вены в яремном отверстии у места ее начала. Рис. А.

23 **Вена канала улитки**, *v. aquaeductus cochleae*. Небольшого размера сосуд, который проходит вместе с перилимфатическим протоком. Рис. А.

24 **Нижняя луковица внутренней яремной вены**, *bulbus inferior v. jugularis*. Расширение нижнего конца вены, перед ее слиянием с *v. subclavia*. Краниально вход в луковицу, закрывается клапаном. Рис. А.

25 **Глоточное сплетение**, *plexus pharyngeus (pharyngealis)*. Венозная сеть на поверхности мышц глотки. Рис. А.

26 **Глоточные вены**, *vv. pharyngeales*. Отходят от глоточного сплетения. Рис. А.

27 **Менингеальные вены**, *vv. meningeae*. Небольшие веточки от твердой оболочки головного мозга.

28 **Язычная вена**, *v. lingualis*. Обычно сопровождает одноименную артерию. Рис. А.

29 **Дорсальные вены языка**, *w. dorsales linguae*. Многочисленные сосуды от спинки языка. Рис. А.

30 **Вена, сопровождающая подъязычный нерв**, *v. comitans n. hypoglossi*. Рис. А.

31 **Подъязычная вена**, *v. sublingualis*. Крупный сосуд с латеральной стороны от подъязычного нерва. Рис. А.

32 **Глубокая вена языка**, *v. profunda linguae*. В сопровождении одноименной артерии проходит с латеральной стороны от подбородочно-подъязычной мышцы. Рис. А.

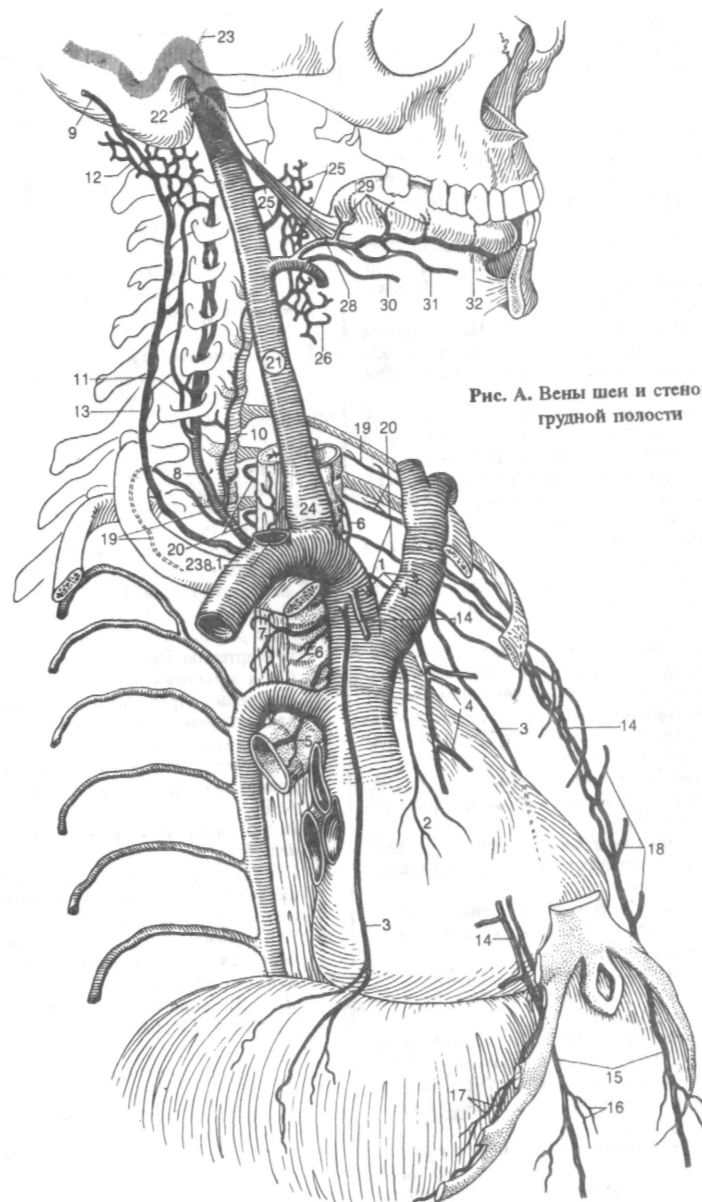


Рис. А. Вены шеи и стенок грудной полости

- 1 Верхняя щитовидная вена, *v. thyroidea superior*. Сопровождает одноименную артерию и впадает в лицевую или внутреннюю яремную вены. Рис. А, Б.
- 2 Средние щитовидные вены, *vv. thyroideae mediae*. Одна или несколько вен, которые идут отдельно от артерий и впадают во внутреннюю яремную вену. Рис. А.
- 3 Грудно-ключично-сосцевидная вена, *v. sternocleidomastoidea*. Отходит от одноименной мышцы и впадает во внутреннюю яремную или верхнюю щитовидную вены. Рис. А.
- 4 Верхняя гортанная вена, *v. laryngea superior*. Сопровождает одноименную артерию. Является притоком верхней щитовидной вены. Рис. А.
- 5 Лицевая вена, *v. facialis*. Начинается от медиального угла глаза, проходит позади *a. facialis*, затем под *glandula submandibularis*. Рис. А, Б.
- 6 Угловая вена, *v. angularis*. Лишенный клапанов приток лицевой вены, который формируется у медиального угла глаза из надбровковой и надглазничной вен. Посредством носолобной вены соединяется с *v. ophthalmica superior*. Рис. А, Б.
- 7 Надбровковые вены, *vv. supratrochleares* [*v. frontalis*]]. Начинаются в области венечного шва и впадают в угловую вену, собирая кровь от медиальной половины лба. Рис. А, Б.
- 8 Надглазничная вена, *v. supraorbitalis*. Начинается от латеральной части лба и присоединяется к надбровковым венам. Рис. А.
- 9 Вены верхнего века, *vv. palpebrales superiores*. Осуществляют отток крови от верхнего века. Рис. А.
- 10 Наружные носовые вены, *vv. nasales externae*. Начинаются в области наружного носа. Рис. А.
- 11 Вены нижнего века, *vv. palpebrales inferiores*. Осуществляют отток крови от нижнего века. Рис. А.
- 12 Верхняя губная вена, *v. labialis superior*. Берет начало в области верхней губы. Рис. А.
- 13 Нижние губные вены, *vv. labiales inferiores*. Обычно несколько веточек от нижней губы. Рис. А.
- 14 Глубокая вена лица, *v. profunda faciei (facialis)*. Отходит от крыловидного сплетения, направляется вперед по поверхности верхней челюсти и впадает в лицевую вену. Рис. А, Б.
- 15 Ветви околоушной железы, *rami parotidei*. Рис. А.
- 16 Наружная небная вена, *v. palatina externa*. Осуществляет отток крови от латеральных частей мягкого неба и стенки глотки. Является притоком лицевой вены. Рис. А, Б.
- 17 Подподбородочная вена, *v. submentalis*.

- Сопровождает одноименную артерию и анастомозирует с подъязычной и передней яремной венами. Рис. А.
- 18 Занижнечелюстная вена, *v. retromandibularis*. Формируется из нескольких ветвей впереди ушной раковины и впадает в лицевую вену. Рис. А, Б.
- 19 Поверхностные височные вены, *vv. temporales superficiales*. Сопровождают одноименные артерии. Рис. А.
- 20 Средняя височная вена, *v. temporalis media*. Начинается от височной мышцы и впадает в поверхностные височные вены. Рис. А.
- 21 Поперечная вена лица, *v. transversa faciei (facialis)*. Сопровождает одноименную артерию и проходит снизу от скуловой дуги. Рис. А.
- 22 Верхнечелюстные вены, *vv. maxillares*. Соединяют крыловидное сплетение с занижнечелюстной веной. Рис. Б.
- 23 Крыловидное сплетение, *plexus pterygoideus*. Расположено между височной и крыловидными мышцами, главным образом, вокруг *m. pterygoideus lateralis*. Его притоками являются перечисленные ниже вены. Рис. Б.
- 24 Средние менингеальные вены, *vv. meningae mediae*. Сопровождают одноименную артерию. Рис. Б.
- 25 Глубокие височные вены, *vv. temporales profundae*. Сопровождают одноименную артерию. Рис. Б.
- 26 Вена крыловидного канала, *v. canalis pterygoidei*. Проходит в одноименном канале клиновидной кости. Рис. Б.
- 27 Передние ушные вены, *vv. auriculares anteriores*. Начинаются от наружного слухового прохода и ушной раковины. Рис. А, Б.
- 28 Вены околоушной железы, *vv. parotideae*. Рис. Б.
- 29 Суставные вены, *vv. articulares*. Осуществляют отток крови от височнонижнечелюстного сустава. Рис. Б.
- 30 Барабанные вены, *vv. tympanicae*. Начинаются от стенок барабанной полости.
- 31 Шилососцевидная вена, *v. stylomastoidea*. В сопровождении лицевого нерва выходит из барабанной полости. Рис. Б.

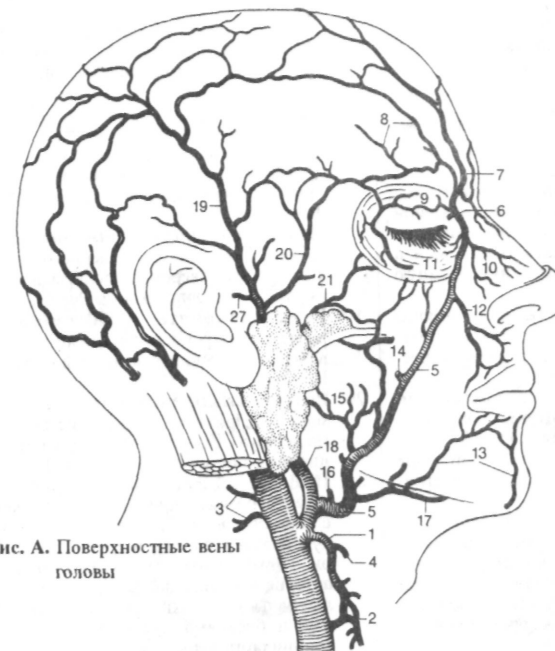


Рис. А. Поверхностные вены головы

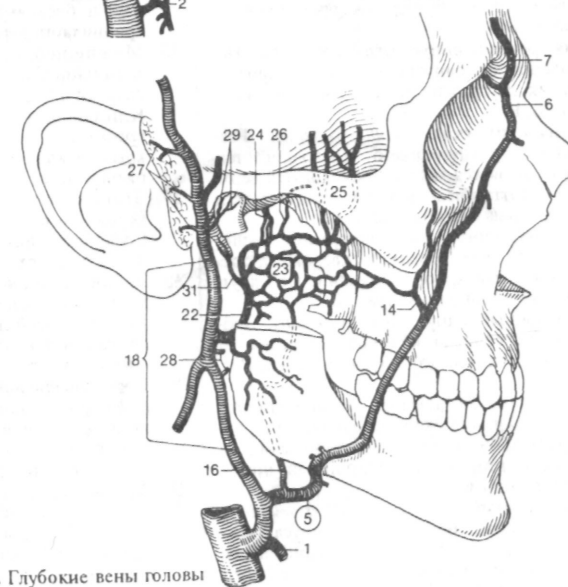


Рис. Б. Глубокие вены головы

- 1 Наружная яремная вена, *v. jugularis externa*. Образуется при соединении затылочной и задней ушной вен, проходит между подкожной мышцей и поверхностным листком фасции шеи. Впадает в подключичную вену. Рис. А.
- 2 [[Затылочная вена, *v. occipitalis*]]. Сопровождает одноименную артерию. Рис. А.
- 3 Задняя ушная вена, *v. auricularis posterior*. Лежит поверхностно позади ушной раковины. Рис. А.
- 4 Передняя яремная вена, *v. jugularis anterior*. Начинается на уровне подъязычной кости, пересекает грудино-ключично-сосцевидную мышцу в нижнем отделе шеи и обычно открывается в наружную яремную вену. Рис. А.
- 5 Яремная венозная дуга, *arcus venosus jugularis*. Соединение передних яремных вен в надгрудном межпоясничном пространстве. Рис. А.
- 6 Надлопаточная вена, *v. suprascapularis*. Обычно два сосуда, которые сопровождают одноименную артерию. Рис. А.
- 7 Поперечные вены шеи, *w. transversae cervicis*. Идут вместе с поперечной артерией шеи. Рис. А.
- 8 **Синусы твердой мозговой оболочки, *sinus durae matris***. Венозные каналы с неспадающимися стенками между листками твердой оболочки головного мозга. Собирают кровь от мозга, его оболочек и отводят ее во внутреннюю яремную вену. Рис. Б, В.
- 9 Поперечный синус, *sinus transversus*. Начинается от синусного стока и продолжается латерально в сигмовидный синус. Рис. Б, В.
- 10 Синусный сток, *confluens sinum*. Расположен у внутреннего затылочного выступа. Является местом, где сходятся верхний сагиттальный, прямой, затылочный и поперечный синусы. Рис. Б, В.
- 10а Краевой синус, *sinus marginalis*. Расположен по краю большого отверстия и соединяет базиллярное сплетение с внутренним позвоночным. Рис. Б.
- 11 Затылочный синус, *sinus occipitalis*. Проходит в основании серпа мозжечка от краевого синуса до синусного стока. Рис. Б, В.
- 12 Базиллярное сплетение, *plexus basilaris*. Расположено на скате. Соединяется с пещеристым и каменными синусами, а также с венозными сплетениями позвоночного канала. Рис. Б.
- 13 Сигмовидный синус, *sinus sigmoideus*. Продолжение поперечного синуса впереди. Образуется S-образный изгиб перед яремным отверстием и переходит в *bulbus superior venae jugularis*. Рис. Б, В.
- 14 Верхний сагиттальный синус, *sinus sagittalis superior*. Расположен в основании серпа мозга от петушиного гребня до синусного стока. Рис. Б, В.
- 15 Боковые лакуны, *lacunae laterales*. Боковые карманы в стенке сагиттального синуса. Рис. В.
- 16 Нижний сагиттальный синус, *sinus sagittalis inferior*. Проходит в свободном крае серпа мозга и открывается в прямой синус. Рис. В.
- 17 Прямой синус, *sinus rectus*. Образуется при соединении большой вены мозга и нижнего сагиттального синуса. Идет в направлении синусного стока вдоль линии прикрепления серпа мозга к намету мозжечка. Рис. В.
- 18 Нижний каменистый синус, *sinus petrosus inferior*. Проходит от пещеристого синуса к яремному отверстию вдоль заднего края пирамиды височной кости. Рис. Б.
- 19 Вены лабиринта, *w. labyrinthales*. Выходят из внутреннего слухового прохода и впадают в нижний каменистый синус. Рис. В.
- 20 Верхний каменистый синус, *sinus petrosus superior*. Проходит от пещеристого к сигмовидному синусу вдоль верхнего края пирамиды височной кости. Рис. Б.
- 21 Пещеристый синус, *sinus cavernosus*. Губчатая венозная структура, расположенная с двух сторон от турецкого седла, в которую впадают глазные и другие вены. Внутри синуса проходят внутренняя сонная артерия и отводящий нерв, а в составе его латеральной стенки лежат глазодвигательный и блоковый нервы, 1-я и 2-я ветви тройничного нерва. Рис. Б.
- 22 Межпещеристые синусы, *sinus intercavernosi*. Соединяют пещеристые синусы спереди и сзади гипофиза. Рис. Б.
- 23 Клиновидно-теменной синус, *sinus sphenoparietalis*. Проходит по краю малых крыльев клиновидной кости. Приток пещеристого синуса. Рис. Б.
- 24 Диплоические вены, *w. diploicae*. Расположены в диплоэ костей свода черепа. Соединяют синусы твердой мозговой оболочки с поверхностными венами головы.
- 25 Лобная диплоическая вена, *v. diploica frontalis*. Проходит внутри лобной кости вблизи средней линии. Одним концом открывается в надглазничную вену, другим - в верхний сагиттальный синус. Рис. А.
- 26 Передняя височная диплоическая вена, *v. diploica temporalis anterior*. Расположена в пределах лобной кости и открывается в глубокую височную вену и клиновидно-теменной синус. Рис. А.
- 27 Задняя височная диплоическая вена, *v. diploica temporalis posterior*. Находится внутри теменной кости и соединяется с задней ушной веной и поперечным синусом. Рис. А.
- 28 Затылочная диплоическая вена, *v. diploica occipitalis*. Самая широкая из диплоических вен. Приток затылочной вены и поперечного синуса. Рис. А.

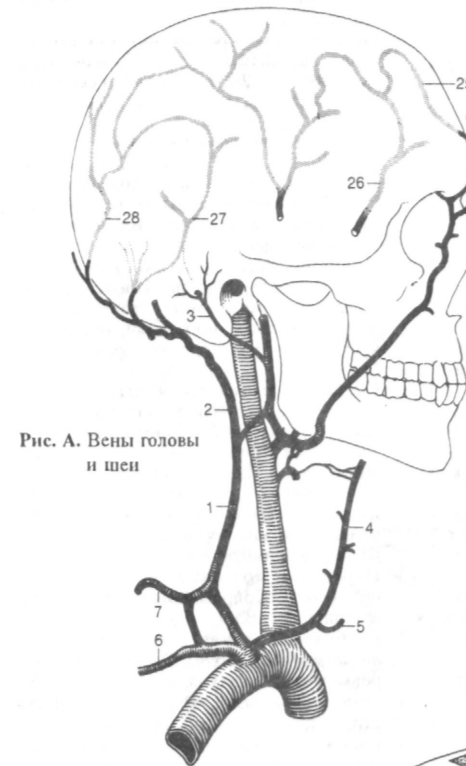


Рис. А. Вены головы и шеи

Рис. Б. Синусы твердой оболочки головного мозга

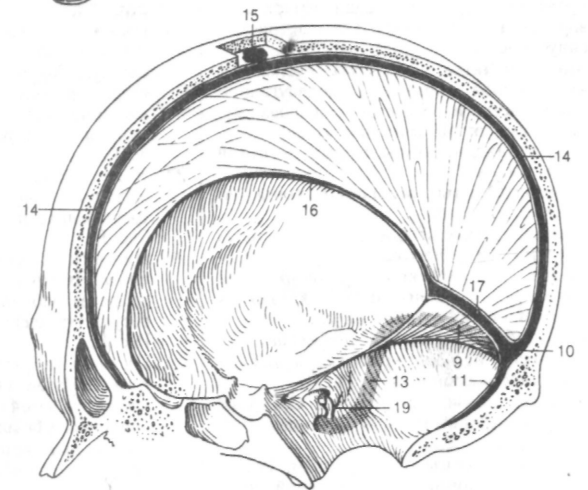
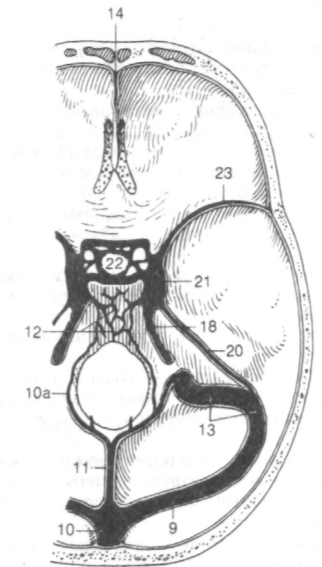


Рис. В. Синусы твердой оболочки головного мозга правой половины черепа

- 1 **Эмиссарные вены**, *vv. emissariae*. Соединяют между собой синусы твердой мозговой оболочки, диплоические вены и поверхностные вены головы.
- 2 **Теменная эмиссарная вена**, *v. emissaria parietalis*. Соединяет верхний сагиттальный синус и поверхностную височную вену и проходит в теменном отверстии. Рис. А.
- 3 **Сосцевидная эмиссарная вена**, *v. emissaria mastoidea*. Через сосцевидное отверстие соединяет сигмовидный синус с затылочной веной. Рис. А.
- 4 **Мышечковая эмиссарная вена**, *v. emissaria condylaris*. Через мышечковый канал соединяет сигмовидный синус с наружным позвоночным венозным сплетением. Рис. А.
- 5 **Затылочная эмиссарная вена**, *v. emissaria occipitalis*. Соединяет синусный сток с затылочной веной. Рис. А.
- 6 **Венозное сплетение подъязычного канала**, *plexus venosus canalis hypoglossi*. Соединяет венозное сплетение вокруг большого отверстия и внутреннюю яремную вену. Рис. А.
- 7 **Венозное сплетение овального отверстия**, *plexus venosus foraminis ovalis*. Соединяет пещеристый синус и крыловидное сплетение. Рис. Г.
- 8 **Венозное сплетение сонного канала**, *plexus venosus caroticus internus*. Соединяет пещеристый синус с крыловидным сплетением. Рис. Г.
- 8а **Гилофизарные поральные вены**, *vv. portales hypophysialis*. Осуществляют отток крови из артериальной капиллярной сети воронки и аденогипофиза в пещеристый синус. Рис. Д.
- 9 **Мозговые вены**, *vv. cerebri*. Расположены, главным образом, в подпаутинном пространстве и не имеют клапанов. Осуществляют отток венозной крови, преимущественно в синусы твердой мозговой оболочки.
- 10 **Поверхностные мозговые вены**, *vv. superficiales cerebri*.
- 11 **Верхние мозговые вены**, *vv. superiores cerebri*. Начинаются от латеральной, медиальной и переднеинтерней поверхностей полушария большого мозга. Открываются в верхний сагиттальный синус.
- 12 **Предлобные вены**, *vv. prefrontales*. Берут начало от лобного полюса и нижней поверхности лобной доли. Рис. Б.
- 13 **Лобные вены**, *vv. frontales*. Собирают кровь от верхней трети лобной доли. Рис. Б.
- 14 **Теменные вены**, *vv. parietales*. Расположены на поверхности теменной доли. Рис. Б.
- 15 **Затылочные вены**, *vv. occipitales*. Находятся в области затылочной доли. Рис. Б.
- 16 **Нижние мозговые вены**, *vv. inferiores cerebri*. Лежат на основании мозга и от-

крываются в пещеристый, каменистый и поперечный синусы

- 17 **Вена крючка**, *v. unci*. Рис. В.
- 18 **Поверхностная средняя мозговая вена**, *v. media superficialis cerebri*. Начинается от коры нижних 2/3 полушарий, проходит в латеральной борозде мозга и впадает в пещеристый синус. Рис. Б.
- 19 **Верхняя анастомотическая** [[Троларова]] **вена**, *v. anastomotica superior* [[Trolard]]. Анастомоз поверхностной средней мозговой вены с верхним сагиттальным синусом. Не всегда хорошо выражена. Рис. Б.
- 20 **Нижняя анастомотическая вена** [[вена Лаббе]], *v. anastomotica inferior* [[Labbe]]. Анастомоз поверхностной средней мозговой вены с поперечным синусом. Не всегда хорошо выражена. Рис. Б.
- 21 **Глубокие мозговые вены**, *vv. profundae cerebri*. На значительном протяжении лежат в толще мозгового вещества.
- 22 **Назальная** [[розенталя]] **вена**, *v. basalis* [[Rosenthal]]. Начинается у переднего продырявленного вещества, направляется вдоль зрительного тракта, огибает ствол мозга и на его дорсальной поверхности впадает в большую мозговую вену. Рис. В.
- 23 **Передние мозговые вены**, *vv. anteriores cerebri*. Сопровождают одноименную артерию. Рис. В.
- 24 **Глубокая средняя мозговая вена**, *v. media profunda cerebri*. Начинается у островка и впадает в базальную вену. Рис. В.
- 25 **Островковые вены**, *vv. insulares*. Притоки глубокой средней мозговой вены.
- 26 **Нижние таламостриарные вены**, *vv. thalamostriatae inferiores*. Начинаются от таламуса, хвостатого и чечевицеобразного ядер. Проходят через переднее продырявленное вещество и открываются в базальную или глубокую среднюю мозговую вены. Рис. В.
- 27 **Вена обонятельной извилины**, *v. gyri olfactorii*. Начинается от обонятельного треугольника и соседних областей мозга. Рис. В.
- 28 **Нижняя желудочковая вена**, *v. ventricularis inferior*. Начинается от белого вещества лобной доли и проходит через сосудистую щель на уровне ножки мозга. Рис. В.
- 29 **Нижняя ворсинчатая вена**, *v. choroidea inferior*. Отводит кровь от гиппокампа, зубчатой извилины и сосудистого сплетения в базальную вену. Рис. В.
- 30 **Ножковые вены**, *vv. peduncubres*. Начинаются от ножки мозга. Рис. В.

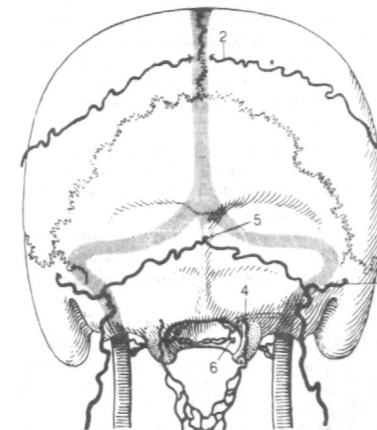


Рис. А. Вены затылочной области

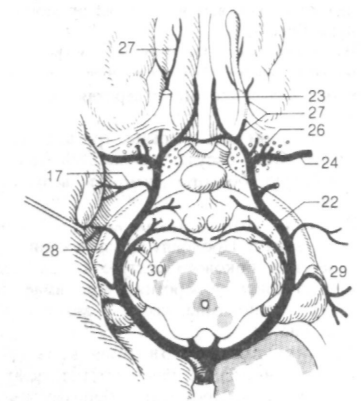


Рис. В. Вены основания мозга

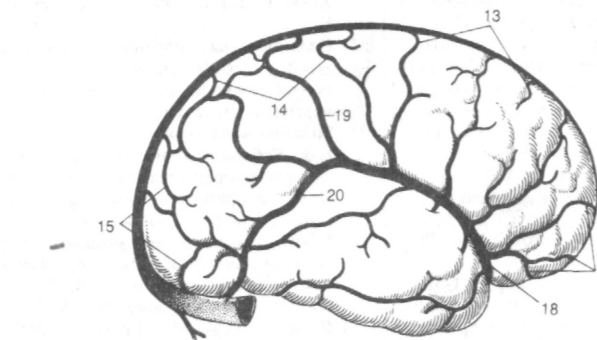
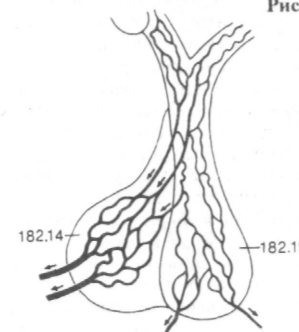
Рис. Б. Мозговые вены  
(вид с латеральной стороны)

Рис. Д. Воротные сосуды гипофиза

Рис. Г. Вены глазницы и средней  
черепной ямки

- 1 Большая мозговая [[Галена]] вена, *v. magna cerebri* [[*Galenii*]]. Короткий ствол между местом соединения двух внутренних мозговых вен и началом прямого синуса. Рис. А, В.
- 2 Внутренние мозговые вены, *w. internae cerebri*. Каждая из них начинается у межжелудочкового отверстия, проходит в поперечной борозде мозга между сводом и таламусом или в крыше третьего желудочка. Оба сосуда, соединяясь вместе, формируют большую мозговую вену. Рис. А, В.
- 3 Верхняя ворсинчатая вена, *v. choroidea superior*. Проходит вдоль сосудистого сплетения бокового желудочка до межжелудочкового отверстия и принимает ветви от гиппокампа, свода и мозолистого тела. Рис. А.
- 4 Верхняя таламостриарная вена (конечная вена), *v. thalamostriata superior (v. terminalis)*. Проходит в борозде между таламусом и хвостатым ядром, принимая ветви от окружающих таламус структур. У межжелудочкового отверстия открывается в верхнюю ворсинчатую вену. Рис. А.
- 5 Передняя вена прозрачной перегородки, *v. anterior septi pellucidi*. Проходит в прозрачной перегородке и собирает кровь от лобной доли и колена мозолистого тела. Впадает в верхнюю таламостриарную вену. Рис. А, В.
- 6 Задняя вена прозрачной перегородки, *v. posterior septi pellucidi*. Начинается от крыши бокового желудочка и присоединяется к внутренней мозговой вене. Рис. В.
- 7 Медиальная вена преддверия бокового желудочка, *v. medialis atrii ventriculi lateralis*. Осуществляет отток крови от теменной и затылочной долей. Проходит вдоль медиальной стенки заднего рога бокового желудочка. Рис. А.
- 8 Латеральная вена преддверия бокового желудочка, *v. lateralis atrii ventriculi lateralis*. Начинается от затылочной и височной долей. Проходит в составе латеральной стенки бокового желудочка спереди от заднего рога. Рис. А.
- 9 Вены хвостатого ядра, *vv. nuclei caudati*. Рис. А.
- 10 Латеральные прямые вены, *vv. directae laterales*. Начинаются от стенки латерального желудочка и впадают во внутреннюю мозговую вену. Рис. А.
- 11 Задняя вена мозолистого тела, *v. posterior corporis callosi*. Проходит книзу от валика мозолистого тела. Рис. А, В.
- 12 Дорсальная вена мозолистого тела, *v. dorsalis corporis callosi*. Огибает валик мозолистого тела. Рис. В.
- 13 Вены ствола мозга, *w. trunci encephali*.
- 14 Передняя мостосреднемозговая вена, *v.*

*pontomesencephalica anterior*. Является продолжением вен продолговатого мозга в область межжозжовой ямки. Осуществляет отток крови от ствола мозга в каменную и базальную вены. Рис. В.

- 15 Вены моста, *w. pontis*. Большинство из них впадают в каменную или в переднюю мостосреднемозговую вены. Рис. В.
- 16 Вены продолговатого мозга, *w. medullae oblongatae*. Осуществляют отток крови от продолговатого мозга и являются притоками передней мостосреднемозговой вены. Рис. В.
- 17 Вена латерального кармана четвертого желудочка, *v. recessus lateralis ventriculi quarti*. Приток нижнего каменного синуса. Рис. В.
- 18 Вены мозжечка, *w. cerebelli*.
- 19 Верхняя вена червя, *v. superior vermis*. Начинается от верхней части червя и впадает в большую мозговую или внутренние мозговые вены. Рис. В.
- 20 Нижняя вена червя, *v. inferior vermis*. Начинается от нижней половины червя мозжечка и открывается в прямой синус. Рис. В.
- 21 Верхние вены мозжечка, *w. superiores cerebelli*. Отходят от боковой поверхности полушария мозжечка и открываются в поперечный синус. Рис. А.
- 22 Нижние вены мозжечка, *w. inferiores cerebelli*. Собирают кровь от нижней и латеральной поверхностей полушария мозжечка. Являются притоками близлежащих синусов твердой мозговой оболочки. Рис. В.
- 23 Предцентральная вена мозжечка, *v. praecentralis cerebelli*. Начинается между язычком и центральной долькой. Впадает в большую мозговую вену. Рис. В.
- 24a Каменистая вена *v. petrosa*. В ряде случаев крупный сосуд, который отходит от клочка и впадает в верхний или нижний каменный синусы. Рис. В.
- 24 Вены глазницы, *w. orbitae*.
- 25 Верхняя глазная вена, *v. ophthalmica superior*. Продолжение носолобной вены. Расположена сверху и медиально от глазного яблока. Выходит из глазницы через верхнюю глазничную щель и впадает в пещеристый синус. Рис. Б.
- 26 Носолобная вена, *v. nasofrontalis*. Находится между верхней глазной веной с одной стороны и местом соединения надблоковой и уповой вен - с другой. Рис. Б.
- 27 Решетчатые вены, *w. eihmoidales*. Рис. Б.
- 28 Слезная вена, *v. lacrimalis*. Рис. Б.
- 29 Вортикозные вены, *w. vorticosae (w. choroideae oculi)*. Четыре - пять ветвей от сосудистой оболочки, которые проходят через склеру на боковой стороне глазного яблока. Рис. Б.

Рис. А. Мозговые вены (вид сверху)

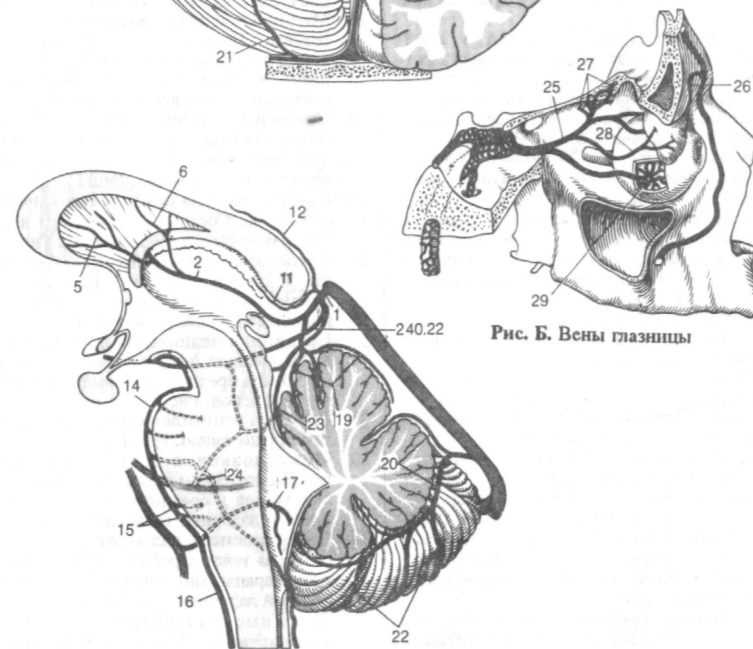
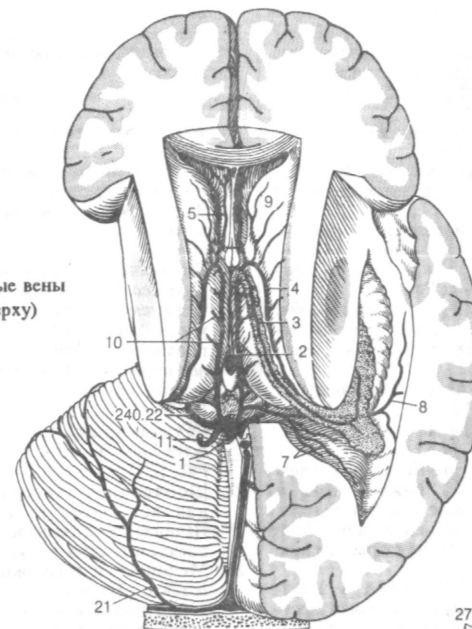


Рис. В. Вены мозга

- 1 **Ресничные вены, w. ciliares.** Начинаются от ресничного тела и впадают в вены глазного яблока (вортикозные вены). Рис. А.
- 2 **Передние ресничные вены, w. ciliares anteriores.** Сопровождают одноименные артерии и отводят кровь от ресничного тела в вены мышц глазного яблока у места их прикрепления. Рис. А.
- 2а [Венозный синус склеры, *sinus venosus sclerae*]. Рис. А. См. 354.30.
- 3 **Склеральные вены, w. sclerales.** Тонкие сосуды в передних отделах белой оболочки.
- 4 **Центральная вена сетчатки, v. centralis retinae.** Сопровождают одноименную артерию и впадает в верхнюю глазную вену или пещеристый синус. Рис. А.
- 5 **Эпи склеральные вены, w. episclerales.** Проходят по поверхности белой оболочки и присоединяются к верхней глазной вене. Рис. А.
- 6 **Вены век, w. palpebrales.** Начинаются от верхнего века. Рис. А.
- 7 **Конъюнктивальные вены, w. conjunctivales.** Рис. А.
- 8 **Нижняя глазная вена, v. ophthalmica inferior.** Начинается от нижнего века и слезной железы. Присоединяется к верхней глазной вене либо направляется прямо в пещеристый синус или крыловидное сплетение. Рис. А.
- 9 **ПОДКЛЮЧИЧНАЯ ВЕНА, v. subclavia.** Расположена между передней лестничной и гоудиноключично-сосцевидной мышцами на протяжении от наружного края первого ребра до места соединения с внутренней яремной веной. Рис. Б.
- 10 **Грудные вены, w. pectorales.** Идут от грудных мышц к подключичной вене. Рис. Б.
- 11 **Дорсальная лопаточная вена, v. scapularis dorsalis.** Сопровождают одноименную артерию и является притоком подключичной вены. Нередко впадает в наружную яремную вену. Рис. Б.
- 12 **[Грудоакромиальная вена, v. thoracoacromialis.** Непостоянный приток подключичной вены. Рис. Б.
- 13 **Подмышечная вена, v. axillaris.** Сопровождают одноименную артерию от наружного края 1-го ребра до нижнего края сухожилия m.teres major. Рис. Б, Г.
- 13а **Подлопаточная, огибающая лопатку, грудоспинная вены, передняя и задние вены, огибающие плечевую кость, vv. subscapularis, circumflexa scapulae, thoracodorsalis, circumflexa posterior humeralis, circumflexa anterior humeralis.** Недавно полученные названия вены. Сопровождают одноименные артерии.
- 14 **Латеральная грудная вена, v. thoracica lateralis.** Проходит по передней зубчатой мышце, сопровождая одноименную артерию. Рис. Б.
- 14а **Грудонадчревные вены, vv. thoracoepigastricae.** Подкожные вены боковой стенки туловища. Являются коллатералиями между верхней и нижней полыми венами. Рис. Б.

- 16 **Околососковое венозное сплетение, plexus venosus areolaris.** Расположено вокруг соска молочной железы. Рис. Б.
- 17 **Плечевые вены, w. brachiales.** Сопровождают одноименную артерию. Рис. Б.
- 18 **Локтевые вены, w. ulnares.** Сопровождают одноименную артерию. Рис. Б.
- 19 **Лучевые вены, w. radiales.** Сопровождают одноименную артерию. Рис. Б.
- 19а **Передние межкостные вены, w. interosseae anteriores.** Сопровождают одноименную артерию.
- 19б **Задние межкостные вены, w. interosseae posteriores.** Сопровождают одноименную артерию.
- 20 **Латеральная подкожная вена руки, v. cephalica** Приток подмышечной вены. Начинается от тыльной венозной сети кисти у основания большого пальца, на плече проходит в *sulcus bicipitalis lateralis* и далее продолжается в борозду между дельтовидной и большой грудной мышцами. Рис. В, Г.
- 21 **Грудоакромиальная вена, v. thoracoacromialis.** Приток подмышечной вены. Рис. Б, Г.
- 22 **[Добавочная латеральная подкожная вена руки, к cephalica accessoria].** Начинается на тыльной поверхности предплечья и впадает в v. cephalica. Рис. В, Г.
- 23 **Медиальная подкожная вена руки, v. basilica.** Начинается выше дистального конца локтевой кости. Пробождает фасцию плеча в середине *sulcus bicipitalis medialis* и впадает в плечевую вену. Рис. Б, Г.
- 24 **Срединная локтевая вена, v. mediana cubiti.** Соединяет медиальную и латеральную подкожные вены руки в косом направлении снизу вверх. Рис. Г.
- 25 **Срединная вена предплечья, v. mediana antebrachii.** Соединяет v. cephalica и v. basilica. Встречается непостоянно. Рис. Г.
- 26 **Срединная латеральная подкожная вена, v. mediana cephalica** Соединяет срединную вену предплечья с латеральной подкожной веной руки. Рис. Г.
- 27 **Срединная медиальная подкожная вена, v. mediana basilica.** Соединяет срединную вену предплечья с медиальной подкожной веной. Рис. Г.
- 28 **Тыльная венозная сеть кисти, rete venosum dorsale manus.** Рис. В.
- 29 **Межголовковые вены, w. intercapitulares.** Расположены между головками пястных костей и соединяют между собой тыльные и ладонные вены кисти. Рис. В, Г.
- 30 **Поверхностная ладонная венозная дуга, arcus venosus palmaris superficialis.** Лежит параллельно артериальной поверхностной ладонной дуге. Рис. Г.
- 31 **Ладонные пальцевые вены, w. digitales palmares.** Лежат на ладонной поверхности пальцев. Рис. Г.
- 32 **Глубокая ладонная венозная дуга, arcus venosus palmaris profundus.** Сопровождают артериальную глубокую ладонную дугу. Рис. Б, Г.
- 33 **Дорсальные пястные вены, w. meta-**

*carpales aorsales.* Собирают венозную кровь от 2 - 5 пальцев и впадают в венозную сеть тыла кисти. Рис. В.

34 **Ладонные пястные вены, w. metacarpales palmares.** Притоки глубокой ладонной венозной дуги. Рис. Б, Г.

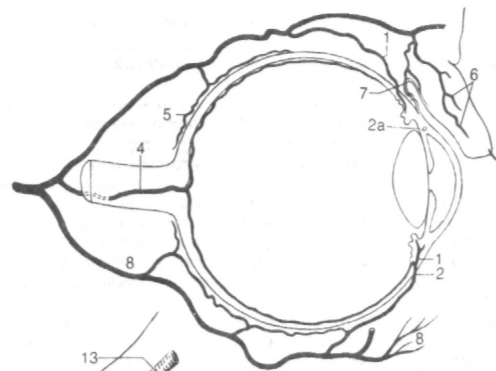


Рис. А. Вены глазного яблока

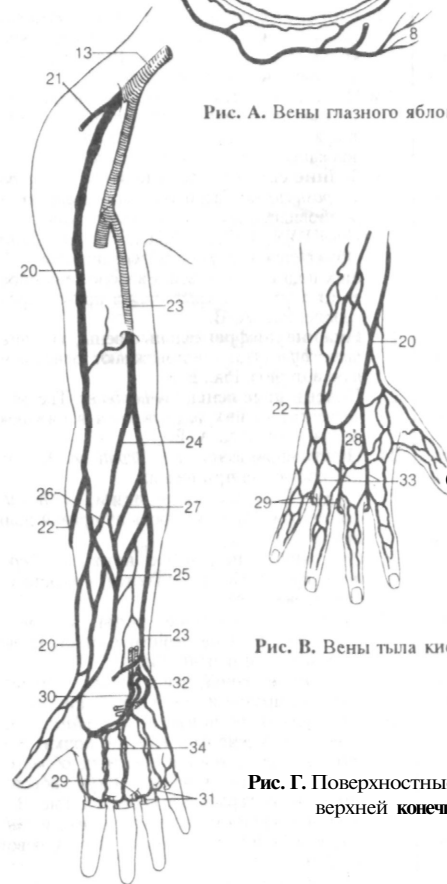


Рис. В. Вены тыла кисти

Рис. Г. Поверхностные вены верхней конечности

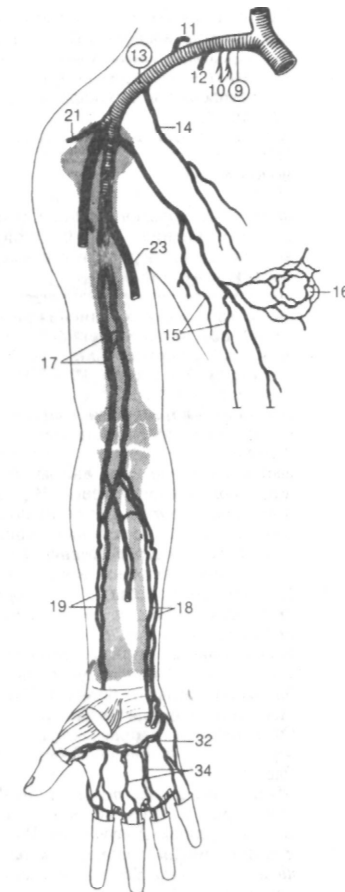


Рис. Б. Глубокие вены верхней конечности (мщ впереди)



- 1 НЕПАРНАЯ ВЕНА, *v. azygos*. Продолжение правой восходящей поясничной вены. Проходит вдоль позвоночного столба и впадает в верхнюю полую вену у места ее вступления в перикард на уровне Т4 - Т5. Рис. А.
- 1а Дуга непарной вены, *arcus venae azygos*. Образуется вблизи соединения с верхней полую вену.
- 2 Правая верхняя межреберная вена, *v. intercostalis superior dextra*. Образуется за счет соединения 2-, 3-й (4-ой) правых верхних межреберных вен и впадает в непарную вену. Рис. А.
- 3 Полунепарная вена, *v. hemiazygos*. Начинается у места соединения левой восходящей поясничной вены с 9 - 11 левыми задними межреберными венами и *v. subcostalis*. На уровне Т9 - Т10 впадает в *v. azygos*. Рис. А.
- 4 Добавочная полунепарная вена, *v. hemiazygos accessoria*. Принимает кровь от 4 - 8 левых задних межреберных вен, и впадает в непарную вену, иногда общим стволом с полунепарной веной. В ряде случаев притоком *v. hemiazygos accessoria* является одна из первых трех левых задних межреберных вен, которая обеспечивает ее связь с левой плечеголовной веной. Рис. А.
- 5 Пищеводные вены, *w. oesophageales*. Осуществляют отток крови от пищевода в непарную вену. Рис. А.
- 6 Бронхиальные вены, *w. bronchiales*. Притоки непарной или полунепарной вены, собирающие кровь от бронхов. Рис. А.
- 7 Перикардиальные вены, *w. pericardiales*. От перикарда направляются к непарной, верхней полую или плечеголовным венам. Рис. А.
- 8 Медиастинальные вены, *w. mediastinales*. Некоторые из них непосредственно впадают в верхнюю полую вену. Рис. А.
- 9 Верхние диафрагмальные вены, *w. phrenicae superiores*. Небольшие сосуды, берущие начало от диафрагмы. Рис. А.
- 10 Восходящая поясничная вена, *v. lumbalis ascendens*. Расположена в брюшной полости и продолжается справа - в непарную, слева - в полунепарную вены. В каудальном направлении анастомозирует с общей подвздошной веной. Рис. А, Б.
- 11 Поясничные вены, *w. lumbaks*. Первая и вторая из них формируют восходящую поясничную вену. Рис. А.
- 12 Подреберная вена, *v. subcostalis*. Проходит вдоль нижнего края 12-го ребра. Соединяется с восходящей поясничной веной спереди тела Т12, образуя ствол, который продолжается в парную или полунепарную вены. Рис. А, Б.
- 13 Задние межреберные вены, *w. intercostales posteriores*. Вены 4 - 11 межреберий. Являются притоками непарной или полунепарной вен. Рис. А.
- 14 Дорсальная ветвь, *ramus dorsalis*. Начинается в мышцах и коже спины. Рис. А, Б.
- 15 Межпозвоночная вена, *v. interveneralis*. Формируется у межпозвоночного

- отверстия. Рис. Б.
- 16 Спинномозговая ветвь, *ramus spinalis*. Осуществляет отток крови от спинного мозга и его оболочек. Рис. Б.
- 16а Вены позвоночного канала, *venae columnae vertebrales*.
- 17 Переднее/заднее наружное позвоночное венозное сплетение, *plexus venosus vertebrates externus anterior/posterior*. Расположены впереди тел позвонков и сзади их дуг соответственно. Рис. Б.
- 18 Переднее/заднее внутреннее позвоночное венозное сплетение, *plexus venosus vertebrates internus anterior/posterior*. Расположены между твердой мозговой оболочкой и надкостницей (связками) соответственно у передней и задней стенок позвоночного канала. Рис. Б.
- 19 Базально-позвоночные вены, *w. basivertebrales*. Находятся внутри тела позвонка. Направляются назад и открываются в переднее внутреннее позвоночное сплетение. Рис. Б.
- 20 Спинномозговые вены, *w. medullae spinalis*. Венозное сплетение, собирающее кровь от спинного мозга. Расположено в подпаутинном пространстве.
- 20а Передние спинномозговые вены, *w. spiniales anteriores*. Краниально анастомозируют с венами моста, каудально продолжают в терминальную вену.
- 20б Задние спинномозговые вены, *w. spiniales posteriores*. Расположены в пределах от Еомбовидной ямки до мозгового конуса.
- ИЖНЯЯ ПОЛАЯ ВЕНА, *v. cava inferior*. Образуется в результате соединения общих подвздошных вен. Расположена справа от аорты и открывается в правое предсердие. Рис. А, В.
- 22 Нижние диафрагмальные вены, *w. phrenicae inferiores*. Сопровождают одноименную артерию. Рис. В.
- 23 Поясничные вены, *w. lumbaks*. Третья и четвертая из них открываются в нижнюю полую вену. Рис. А, В.
- 24 Печеночные вены, *w. hepaticae*. Короткие сосуды внутри печени.
- 25 Правые печеночные вены, *w. hepaticae dextrae*. Выносят кровь из правой доли печени. Рис. В.
- 26 Средние печеночные вены, *w. hepaticae intermediae*. Начинаются в хвостатой доле печени. Рис. В.
- 27 Левые печеночные вены, *w. hepaticae sinistrae*. Обеспечивают отток крови от левой доли печени. Рис. В.
- 28 Почечные вены, *w. renaks*. Отводят кровь от правой и левой почек. Рис. В.
- 28а Капсулярные вены, *w. capsulares*. Расположены в жировой капсуле почки, анастомозируют с венами соседних областей и звездчатыми венами, могут обеспечивать коллатеральный кровоток. Рис. В.
- 29 Левая надпочечниковая вена, к *suprarenalis (adrenalis) sinistra*. Приток левой почечной вены. Рис. В.
- 30 Левая яичниковая вена, *v. testicularis sinistra*. Рис. В.

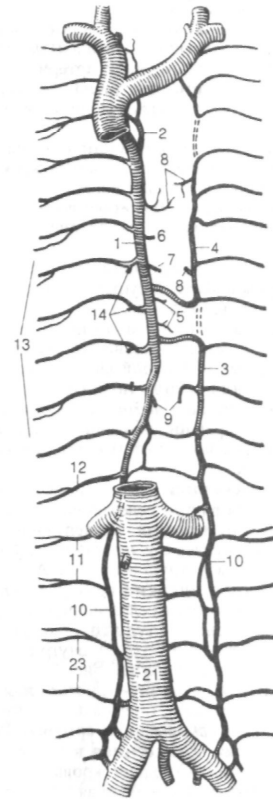


Рис. А. Вены задней стенки грудной и брюшной полостей

- 31 Левая яичниковая вена, *v. ovarica sinistra*. Рис. В.
- 32 Правая надпочечниковая вена, *v. suprarenalis (adrenalis) dextra*. Приток нижней полую вены. Рис. В.
- 33 Правая яичниковая вена, *v. testicularis dextra*. Приток нижней полую вены. Рис. В.
- 34 Правая яичниковая вена, *v. ovarica dextra*. Впадает в нижнюю полую вену. Рис. В.
- 35 Лозовидное сплетение, *plexus pampiniformis*. Венозная сеть вокруг семенного канатика. Рис. В.

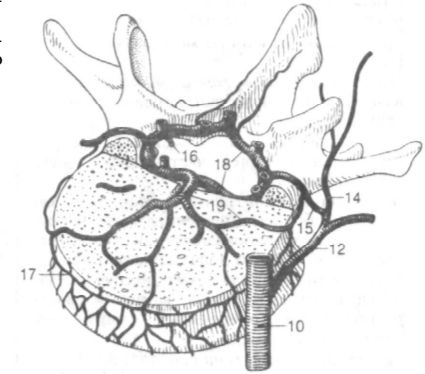


Рис. Б. Вены позвонка

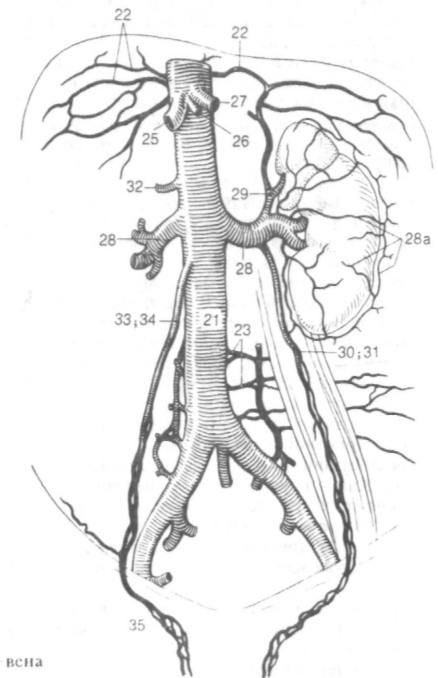


Рис. В. Нижняя полая вена

- 1 Воротная вена, *vena portae hepatis*. Собирает кровь от органов пищеварительного аппарата, брюшной полости и селезенки. Ее притоки образуют анастомозы с прямокишечным сплетением, с пищеводными и поверхностными венами живота. Рис. А.
- 2 Правая ветвь, *ramus dexter*. Толстый и короткий ствол, который делится внутри правой доли печени до междольковых вен. Рис. А.
- 3 Передняя ветвь, *ramus anterior*. Направляется к передней части правой доли печени. Рис. А.
- 4 Задняя ветвь, *ramus posterior*. Распространяется в задней части правой доли печени. Рис. А.
- 5 Левая ветвь, *ramus sinister*. Меньшего калибра, но более протяженная ветвь воротной вены, разветвляющаяся в хвостатой, квадратной и левой долях печени. Рис. А.
- 6 Поперечная часть, *pars transversa*. Начальный отрезок левой ветви, который располагается поперечно в воротах печени. Рис. А.
- 7 Хвостовые ветви, *rami caudati*. Рис. А.
- 8 Пупочная часть, *pars umbilicalis*. Продолжение левой ветви внутри *lobus hepatis sinister* в сагитальном направлении. Рис. А.
- 9 [Венозный проток, *ductus venosus*]. Сосуд, который в эмбриогенезе соединяет левую пупочную вену с нижней полой веной в обход печени. Рис. Б.
- 10 Венозная связка, *lig. venosum*. Тяж соединительной ткани на месте венозного протока в одноименной борозде. Рис. Б.
- 11 Боковые ветви, *rami laterales*. Направляются к квадратной и части хвостатой долям печени.
- 12 Левая пупочная вена, *v. umbilicalis sinistra*. Эмбриональный сосуд, который впадает в воротную вену, а также через *ductus venosus* соединяется с нижней полой веной. Рис. Б.
- 13 Круглая печеночная связка, *lig. teres hepatis*. Фиброзный тяж, замещающий пупочную вену после рождения. Рис. А.
- 14 Медиальные ветви, *rami mediales*. Отходят от *pars umbilicalis* к переднему отделу левой доли печени. Рис. А.
- 15 Желчепузырная вена, *v. cystica*. Направляется от желчного пузыря к правой ветви воротной вены. Рис. А.
- 16 Околупупочные вены, *w. paraumbilicales*. Окружают круглую связку печени. Соединяют левую ветвь воротной вены и подкожные вены живота. Рис. А.
- 17 Левая желудочная вена, *v. gastrica sinistra*. Сопровождает одноименную артерию. Рис. А.
- 18 Правая желудочная вена, *v. gastrica dextra*. Идет вместе с одноименной артерией. Рис. А.
- 19 Предпривратничковая вена, *v. praepylorica*. Ветвь от передней поверхности привратника к правой желудочной или к во-

- ротной венам. Рис. А.
- 20 Верхняя брыжеечная вена, *v. mesenterica superior*. Собирает кровь от стенок кишечной трубки, начиная от дистального отдела двенадцатиперстной кишки до левого изгиба ободочной кишки. Соединяясь с *v. splenica*, формирует воротную вену. Рис. А.
- 21 Тошечкишечные вены, *w. jejunales*. Собирают кровь от стенок тощей кишки. Рис. А.
- 21a Подвздошнокишечные вены, *w. ileales*. Собирают кровь от стенок подвздошной кишки. Рис. А.
- 22 Правая желудочно-сальниковая вена, *v. gastro-omentalis (epiploica) dextra*. Сопровождает одноименную артерию. Рис. А.
- 23 Панкреатические вены, *w. pancreaticae*. Отходят от поджелудочной железы. Рис. А.
- 24 Панкреатодуоденальные вены, *w. pancreaticoduodenales*. Сопровождают одноименные артерии. Рис. А.
- 25 Подвздошно-ободочная вена, *v. ileocolica*. Собирает кровь из илеоцекальной области. Рис. А.
- 26 Вена червеобразного отростка, *v. appendicularis*. Осуществляет отток крови от аппендикса. Рис. А.
- 27 Правая ободочнокишечная вена, *v. colica dextra*. Начинается от стенки восходящей ободочной кишки. Рис. А.
- 28 Средняя ободочнокишечная вена, *v. colica media (intermedia)*. Собирает кровь от поперечной ободочной кишки. Может открываться в нижнюю брыжеечную вену. Рис. А.
- 29 Селезеночная вена, *v. splenica*. Проходит сначала внутри селезеночно-почечной связки, затем позади поджелудочной железы и, соединяясь с *v. mesenterica inferior*, формирует воротную вену. Рис. А.
- 30 Панкреатические вены, *w. pancreaticae*. Открываются в селезеночную вену. Рис. А.
- 31 Короткие желудочные вены, *w. gastricae breves*. Проходят внутри желудочно-селезеночной связки. Рис. А.
- 32 Левая желудочно-сальниковая вена, *v. gastroomentalis (epiploica) sinistra*. Сопровождает одноименную артерию. Рис. А.
- 33 Нижняя брыжеечная вена, *v. mesenterica inferior*. Собирает кровь от стенок кишечной трубки, начиная от левого изгиба ободочной кишки до верхнего отдела прямой кишки и впадает в селезеночную вену. Рис. А.
- 34 Левая ободочнокишечная вена, *v. colica sinistra*. Собирает кровь от нисходящей ободочной кишки. Рис. А.
- 35 Сигмовидные вены, *w. sigmoideae*. Собирают кровь от сигмовидной кишки. Рис. А.
- 36 Верхняя прямокишечная вена, *v. rectalis superior*. Отходит от верхнего отдела прямой кишки. Рис. А.
- 37 ОБЩАЯ ПОДВЗДОШНАЯ ВЕНА, *v. iliaca communis*. Располагается на протя-

- жении от L 4 до крестцово-подвздошного сочленения. Соединяется с одноименным сосудом противоположной стороны и формирует нижнюю полую вену. Рис. А.
- 38 Срединная крестцовая вена, *v. sacralis mediana*. Непарный приток левой общей подвздошной вены. Рис. А.
- 39 Подвздошно-поясничная вена, *v. ilio-lumbalis*. Сопровождает одноименную артерию и открывается в общую или внутреннюю подвздошную вены. Рис. А.

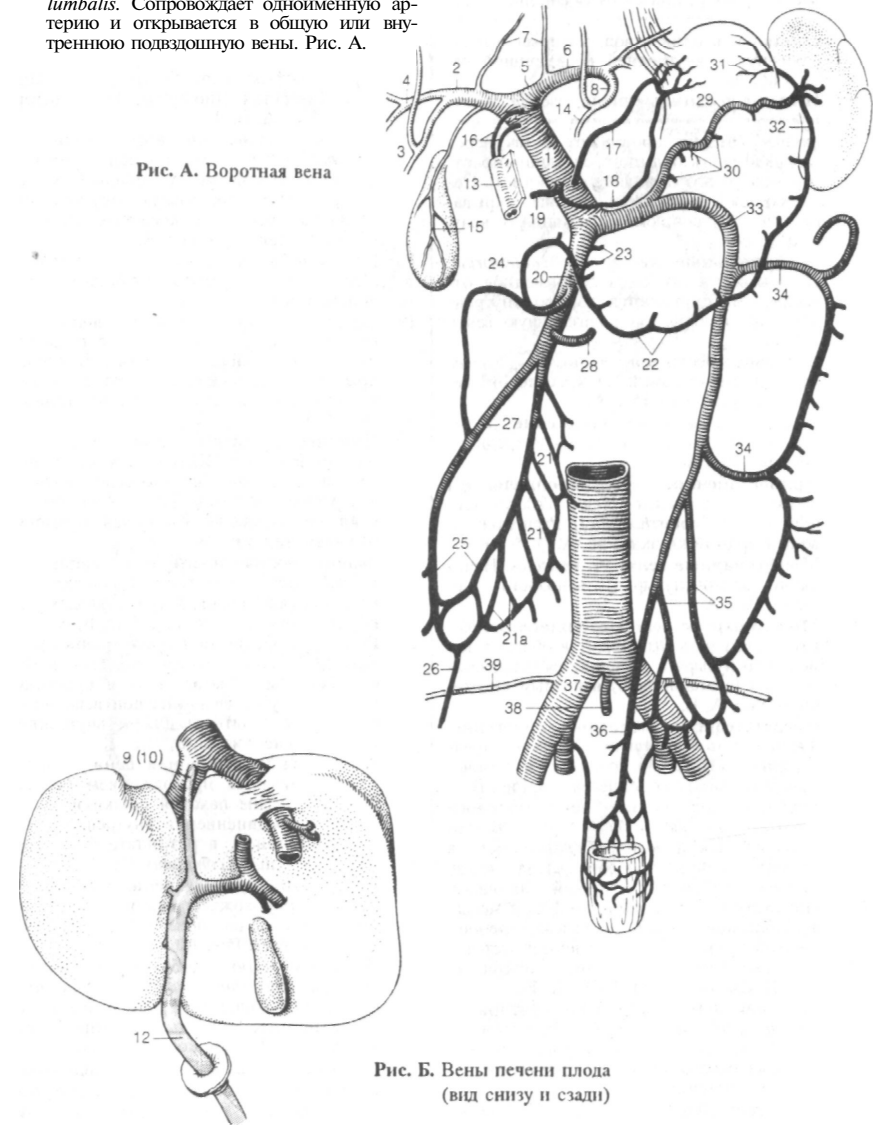


Рис. А. Воротная вена

Рис. Б. Вены печени плода  
(вид снизу и сзади)

- 1 Внутренняя подвздошная [[подчревная]] вена, *v. iliaca interna* [[*v. hypogastrica*]]. Короткий ствол, притоки которого собирают кровь от тазовых органов и промежности. Рис. А, В.
- 2 Верхние ягодичные вены, *w. gluteales superiores*. Сопровождают верхнюю ягодичную артерию. Проникают в таз через верхнюю часть большого седалищного отверстия [[надгрушевидное отверстие]], сливаются в один ствол, который присоединяется к внутренней подвздошной вене. Рис. А.
- 3 Нижние ягодичные вены, *w. gluteales inferiores*. В сопровождении нижней ягодичной артерии проникают в таз через нижнюю часть большого седалищного отверстия [[подгрушевидное отверстие]]. Соединяются в один ствол, который открывается в внутреннюю подвздошную вену. Рис. А, В.
- 4 Запирательные вены, *w. obturatoriae*. Проникают в таз через одноименное отверстие и открываются как во внутреннюю, так и в общую подвздошную вены. Рис. А.
- 5 Боковые крестцовые вены, *w. sacrales laterales*. Берут начало от крестцового венозного сплетения. Рис. А.
- 6 Крестцовое венозное сплетение, *plexus venosus sacralis*. Располагается спереди от крестца. Рис. А.
- 7 Прямокишечное [[геморроидальное]] венозное сплетение, *plexus venosus rectalis* [[*plexus hemorrhoidalis*]]. Расположено вокруг прямой кишки. Рис. А.
- 8 Мочепузырные вены, *w. vesicales*. Начинаются от мочепузырного венозного сплетения. Рис. А.
- 9 Мочепузырное венозное сплетение, *plexus venosus vesicalis*. Лежит в области дна мочевого пузыря и соединяется с предстательным (влагалищным) венозным сплетением. Рис. А, В.
- 10 Предстательное венозное сплетение, *plexus venosus prostaticus*. Окружает предстательную железу и соединяется с мочепузырным венозным сплетением. Рис. В.
- 11 Глубокая дорсальная вена полового члена, *v. dorsalis profunda penis*. Обычно непарный сосуд, который расположен в области спинки полового члена между глубокой фасцией и белой оболочкой. Проходит под лобковым симфизом между дугообразной связкой лобка и поперечной связкой промежности и присоединяется к предстательному венозному сплетению. Рис. В. См. также стр. 165. Рис. Б.
- 12 Глубокая дорсальная вена клитора, *v. dorsalis profunda clitoridis*. Подфасциальный сосуд на тыльной стороне клитора, который открывается в мочепузырное венозное сплетение. Рис. Б.
- 13 Маточные вены, *w. uterinae*. Соединяют маточное сплетение с внутренней подвздошной веной. Рис. А.
- 14 Маточное венозное сплетение, *plexus*

- venosus uterinus*. Расположено по обе стороны от матки в широкой связке. Соединяется с влагалищным венозным сплетением. Рис. А.
- 15 Влагалищное венозное сплетение, *plexus venosus vaginalis*. Окружает влагалище и за счет многочисленных анастомозов соединяется с соседними венозными сплетениями. Рис. А.
- 16 Внутренняя половая вена, *v. pudenda interna*. Идет вдоль боковой стенки седалищно-анальной ямки и проникает в таз через нижнюю часть большого седалищного отверстия [[подгрушевидное отверстие]]. Рис. А, Б, В.
- 17 Глубокие вены полового члена, *w. profundae penis*. Выходят у основания губчатого и пещеристых тел полового члена. Через глубокую дорсальную вену полового члена соединяются с предстательным венозным сплетением. Рис. В.
- 18 Глубокие вены клитора, *w. profundae clitoridis*. Соответствуют глубоким венам полового члена. Рис. Б.
- 19 Средние прямокишечные вены, *w. rectales mediae*. Начинаются от прямокишечного венозного сплетения. В стенке прямой кишки анастомозируют с верхней и нижними прямокишечными венами. Рис. А, В.
- 20 Нижние прямокишечные вены, *w. rectales inferiores*. Начинаются от стенок анального канала и присоединяются к внутренней половой вене. Анастомозируют со средними и верхней прямокишечными венами. Рис. Б, В.
- 21 Задние мошоночные/губные ветви, *w. scrotales/labiales posteriores*. Начинаются от мошонки или половых губ и впадают во внутреннюю половую вену. Рис. Б, В.
- 22 Вена луковицы полового члена/преддверия, *v. bulbi penis/vestibuli*. Начинается от луковицы губчатого тела и присоединяется к глубокой дорсальной вене полового члена (клитора) или к внутренней половой вене. Рис. Б, В.
- 23 Наружная подвздошная вена, *v. iliaca externa*. Является продолжением бедренной вены выше паховой связки и заканчивается соединением с внутренней подвздошной веной, в результате чего формируется *v. iliaca communis*. Рис. А.
- 24 Нижняя надчревная вена, *v. epigastrica inferior*. Сопровождают одноименную артерию вдоль задней поверхности передней стенки живота. Рис. А.
- 24a Лобковая ветвь (дополнительная запирательная вена), *ramus pubicus* (*v. obturatoria accessorial*). Анастомозирует с одной из запирательных вен на внутренней поверхности лобковой кости. Рис. А.
- 25 Глубокая вена, огибающая подвздошную кость, *v. circumflexa iliaca profunda*. Сопровождают одноименную артерию. Рис. А.

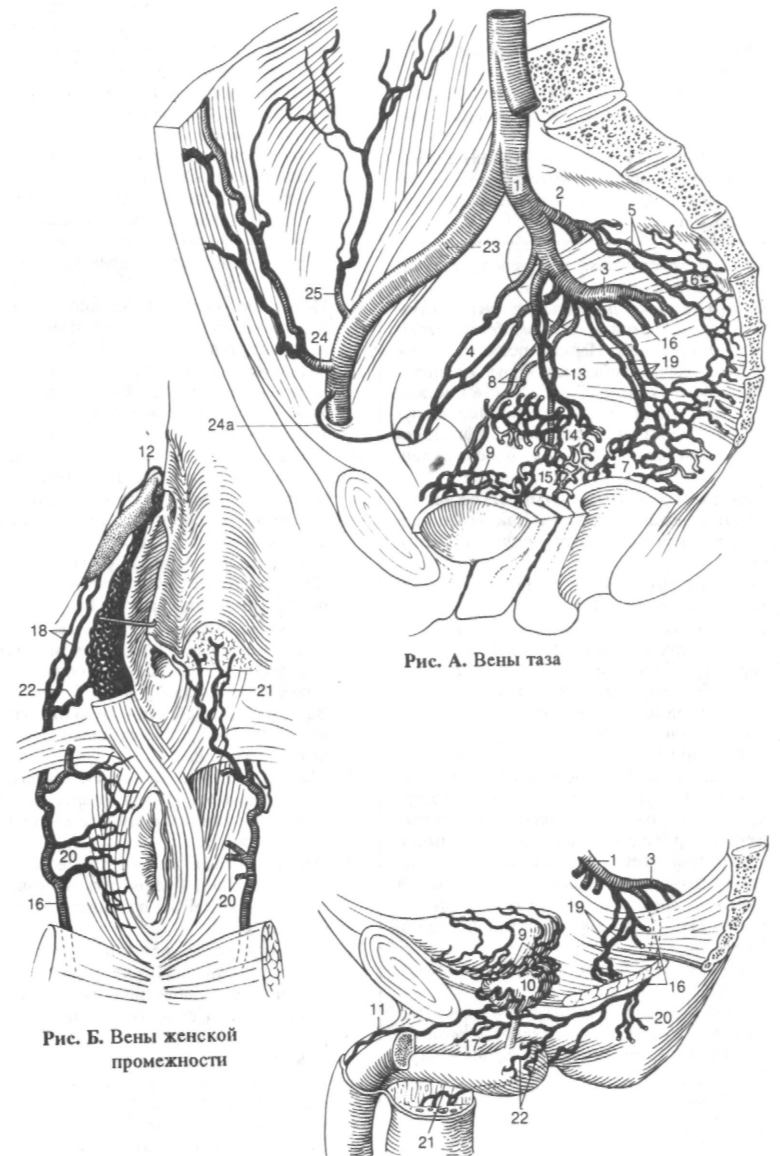


Рис. А. Вены таза

Рис. Б. Вены женской промежности

Рис. В. Вены мужских мочеполовых органов

**ВЕНЫ НИЖНЕЙ КОНЕЧНОСТИ, VENAE MEMBRANIFERAE.**

- 1 Бедренная вена, *v. femoralis*. Сопровождает одноименную артерию от сухожильной щели приводящего канала до паховой связки. Рис. А.
- 2 Наружные половые вены, *w. pudendae externae*. Начинаются от наружных половых органов. Рис. А.
- 3 Поверхностная вена, огибающая подвздошную кость, *v. circumflexa iliaca superficialis*. Сопровождает одноименную артерию. Рис. А.
- 4 Поверхностная надчревная вена, *v. epigastrica superficialis*. Сопровождает одноименную артерию. Рис. А.
- 5 Поверхностные дорсальные вены полового члена/клитора, *w. dorsales superficialis penis/clitoridis*. Парные подкожные сосуды, которые собирают кровь от полового члена (клитора), располагаясь между покрывающими его поверхностной и глубокой фасциями. Являются притоками бедренной или наружной половой вен. Рис. А. См. также стр. 165. Рис. Б.
- 6 Передние мошоночные/губные вены, *w. scrotales/labiales anteriores*. Впадают в бедренную или наружную половую вены. Рис. А.
- 7 Большая подкожная вена ноги, *v. saphena magna*. Имеет клапаны. Начинается на медиальной стороне стопы, направляется вверх и медиально, проходит через подкожную щель и впадает в бедренную вену. Ее притоками являются медиально расположенные поверхностные вены нижней конечности. Рис. А, Б, В, Г.
- 8 Добавочная подкожная вена ноги, *v. saphena accessoria*. Формируется из подкожных вен медиальной и задней поверхностей бедра и на некотором протяжении проходит параллельно большой подкожной вене, к которой в последующем присоединяется. Дистальный конец *v. saphena accessoria* может анастомозировать с малой подкожной веной. Рис. А.
- 9 Глубокая вена бедра, *v. profunda femoris*. Рис. А.
- 10 Медиальные вены, огибающие бедренную кость, *w. circumflexae mediales femorales*. Сопровождают одноименную артерию. Рис. А.
- 11 Латеральные вены, огибающие бедренную кость, *w. circumflexae laterales femorales*. Сопровождают одноименную артерию. Рис. А.
- 12 Прободающие вены, *w. perforantes*. Собирают кровь от мышц задней группы бедра, проходят через толщу приводящих мышц и открываются в глубокую вену бедра. Рис. А.
- 13 Подколенная вена, *к poplitea*. образу-

ется в результате соединения передней и задней большеберцовых вен, продолжается до сухожильной щели приводящего канала. В подколенной ямке расположена между подколенной артерией и большеберцовым нервом. Рис. В.

- 13а Икроножные вены, *venae surales*. Сопровождают одноименную артерию.
- 14 Вены колена, *w. geniculares*. Обычно пять сосудов, которые начинаются в области колена. Рис. А.
- 15 Малая подкожная вена ноги, *v. saphena parva*. Начинается на латеральном крае стопы, проходит по задней поверхности голени и впадает в подколенную вену. Рис. А, Б, В, Г.
- 16 Передние большеберцовые вены, *w. tibiales anteriores*. Сопровождают одноименную артерию. Рис. А, Б, В.
- 17 Тыльная венозная сеть стопы, *rete venosum dorsale pedis*. Дренажируется в большую и малую подкожные вены ноги, а также в *v. tibialis anterior*. Рис. Б.
- 18 Тыльная венозная дуга стопы, *arcus venosus dorsalis pedis*. Ее притоками являются тыльные плюсовые вены стопы. Главный коллектор для оттока крови от подошвенной стороны стопы. Рис. Б, В, Г.
- 19 Тыльные пальцевые вены стопы, *w. digitales dorsales pedis*. Проходят на тыльной стороне пальцев. Рис. Б.
- 20 Тыльные плюсовые вены, *w. metatarsales dorsales*. Образуются из тыльных пальцевых вен стопы и сопровождают одноименные артерии. Рис. Б, Г.
- 21 Задние большеберцовые вены, *w. tibiales posteriores*. Сопровождают одноименную артерию. Рис. В.
- 22 Малоберцовые вены, *w. fibulares*. Сопровождают одноименную артерию. Часто прикрыты длинным сгибателем большого пальца. Рис. В.
- 23 Подошвенная венозная сеть, *rete venosum plantare*. Густая сеть венозных сосудов под кожей на подошвенной стороне стопы. Рис. В.
- 24 Подошвенная венозная дуга, *arcus venosus plantaris*. Лежит параллельно артериальной подошвенной дуге. Рис. В.
- 25 Подошвенные плюсовые вены, *w. metatarsales plantares*. Сопровождают одноименные артерии. Рис. В.
- 26 Подошвенные пальцевые вены, *w. digitales plantares*. Проходят на сгибательной стороне пальцев. Рис. В.
- 26а Межголовчатые вены, *w. intercapitularis*. Соединяют тыльную и подошвенную венозные дуги. Рис. Г.
- 26б Латеральная краевая вена, *v. marginalis lateralis*. Соединяет тыльную и подошвенную венозные дуги. Является притоком *v. saphena parva*. Рис. Г.
- 26в Медиальная краевая вена, *v. mar-*

*ginalis medialis*. Соединяет тыльную и подошвенную венозные дуги. Является притоком *v. saphena magna*. Рис. Г.

- 27 Прободающие вены, *w. perforantes*. Соединяют между собой подкожные и глубокие вены нижней конечности, главным образом, на голени. Находящиеся в них клапаны препятствуют току крови из глубоких вен в поверхностные.

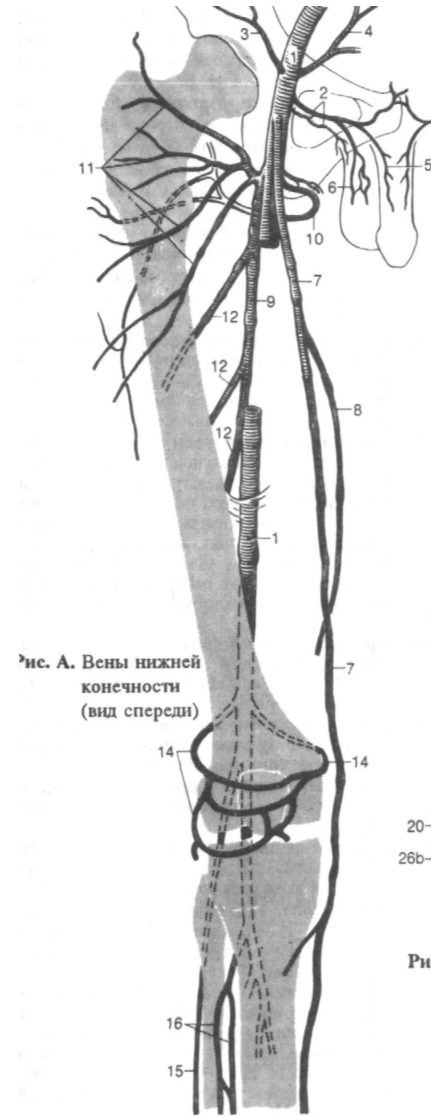


Рис. А. Вены нижней конечности (вид спереди)

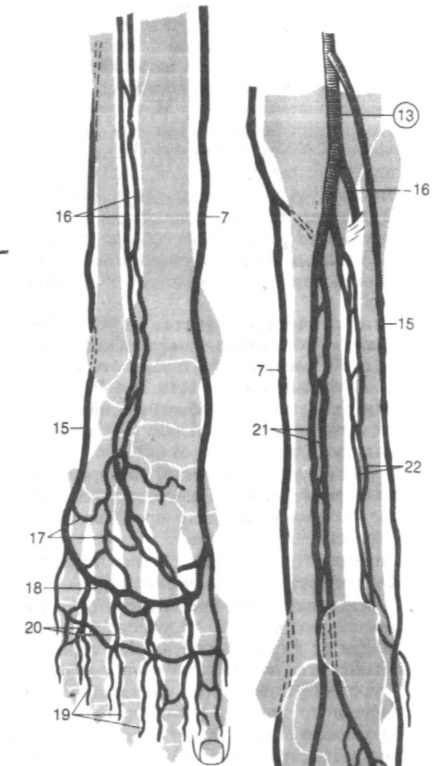


Рис. Б. Вены тыла стопы

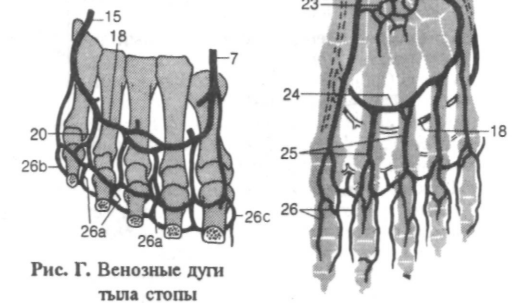


Рис. Г. Венозные дуги тыла стопы

Рис. В. Вены голени и подошвенной поверхности стопы

- 1 ЛИМФАТИЧЕСКАЯ СИСТЕМА, *systema lymphaticum*
- 2 Лимфатические сосуды, *vasa lymphatica*.
- 3 Лимфокапиллярный сосуд, *vas lymphocapillare*. Слепо начинается, его диаметр больше, чем кровеносного • капилляра, а стенка проницаема для коллоидных растворов (в том числе для клеточного детрита и микроорганизмов). Рис. В.
- 4 Лимфокапиллярная сеть, *rete lymphocapillare*. Образуется вблизи места начала лимфокапиллярных сосудов. Рис. В.
- 5 Лимфатический сосуд, *vas lymphaticum*. Следующее за лимфокапиллярами звено сосудистого русла. Имеет тонкую стенку с рассеянными гладкими мышечными клетками и значительное количество клапанов. Рис. В.
- 6 Лимфатическое сплетение, *plexus lymphaticus*. Образовано лимфатическими сосудами и расположено глубже относительно лимфокапиллярной сети. Рис. В.
- 7 Поверхностный лимфатический сосуд, *vas lymphaticum superficiale*. На конечностях проходит снаружи от фасции.
- 8 Глубокий лимфатический сосуд, *vas lymphaticum profundum*. Расположен под фасцией конечностей. Часто проходит вместе с кровеносными сосудами.
- 9 Лимфатические стволы, *trunci lymphatici*. Коллекторные лимфатические сосуды.
- 10 Поясничный ствол правый/левый, *truncus lumbaris dexter/sinister*. Осуществляет отток лимфы от нижних конечностей, стенок и органов таза, почек, надпочечников, яичка, а также большей части стенок живота в цистерну грудного протока. Рис. Б.
- 11 Кишечные стволы, *trunci intestinales*. Осуществляют транспорт лимфы от органов брюшной полости, которые кровоснабжаются верхней и нижней брыжеечными артериями в цистерну грудного протока. Рис. Б.
- 12 Бронхосредостенный ствол правый/левый, *truncus bronchomediastinalis dexter/sinister*. Собирает лимфу от легких и органов средостения. Левый ствол впадает в грудной проток, правый - в *ductus lymphaticus dexter*. Оба ствола могут являться притоками подключичных вен. Рис. Б.
- 13 Подключичный ствол Правый/левый, *truncus subclavius dexter/sinister*. Собирает лимфу от верхней конечности и проходит в сопровождении одноименной вены. Справа открывается в *ductus lymphaticus dexter*, слева - в венозный угол (место соединения внутренней яремной и левой подключичных вен). Рис. Б.
- 14 Яремный ствол правый/левый, *truncus jugularis dexter/sinister*. Сопровождает внутреннюю яремную вену и впадает в венозный угол Рис. Б.
- 15 Лимфатические протоки, *ductus lymphatici*. Самые крупные сосуды лимфатической системы.
- 16 Правый лимфатический проток (правый грудной проток), *ductus lymphaticus dexter (ductus thoracicus dexter)*. Образуется в результате соединения правых яремного, подключичного и бронхосредостенного стволов. Может отсутствовать. Рис. Б.
- 17 Грудной проток, *ductus thoracicus*. Начинается ниже диафрагмы от *cisterna chyli*. Поднимается позади грудной части аорты и впадает в левый венозный угол, образованный левыми подключичной и внутренней яремной венами. Рис. Б.
- 18 Дуга грудного протока, *arcus ductus thoracici*. Образуется перед вступлением протока в левый венозный угол. Рис. Б.
- 19 Шейная часть, *pars cervicalis*. Короткий участок протока впереди С 7. Рис. Б.
- 20 Грудная часть, *pars thoracica*. Начинается от аортального отверстия диафрагмы и заканчивается у верхнего края Т 1. Рис. Б.
- 21 Брюшная часть, *pars abdominalis*. Короткий участок протока спереди от L 1. Рис. Б.
- 22 Цистерна грудного протока, *cisterna chyli*. Непостоянно присутствующее расширение у места начала грудного протока. В нее впадают поясничные и кишечные стволы Рис. Б.
- 23 Лимфатический узел, *nodus lymphaticus (lymphonodus)*. Выполняет функцию лимфоретикулярного фильтра, расположен по ходу лимфатического сосуда и имеет диаметр 1 - 2,5 мм. Лимфа, перед попаданием в кровоток, проходит, как минимум, через два лимфатических узла. Это обеспечивает двойную защиту от распространения патогенных агентов и опухолевых клеток. Рис. А.
- 24 Приносящий лимфатический сосуд, *vas lymphaticum afferens*. Вступает в лимфатический узел с его выпуклой стороны. Рис. А.
- 25 Выносящий лимфатический сосуд, *vas lymphaticum efferens*. Выходит из ворот лимфатического узла. Рис. А.
- 26 Кортиковое вещество, *cortex*. Часть паренхимы узла, расположенная под капсулой. Рис. А.
- 27 Мозговое вещество, *medulla*. Лимфоретикулярная ткань, расположенная между корковым веществом и воротами узла. Рис. А.
- 28 Ворота, *hilum*. Небольшое впадение, через которое в узел входят артерия и нервы, а выходят вены и выносящие лимфатические сосуды. Рис. А.
- 29 Лимфатический фолликул, *nodulus lymphaticus (lymphonodulus)*. Сферической формы скопление лимфоретикулярной ткани, расположенное, главным образом, в корковом веществе узла. В центре фолликулов имеется светлый участок (герминативный центр). Рис. А.

Рис. А. Внутреннее строение лимфатического узла

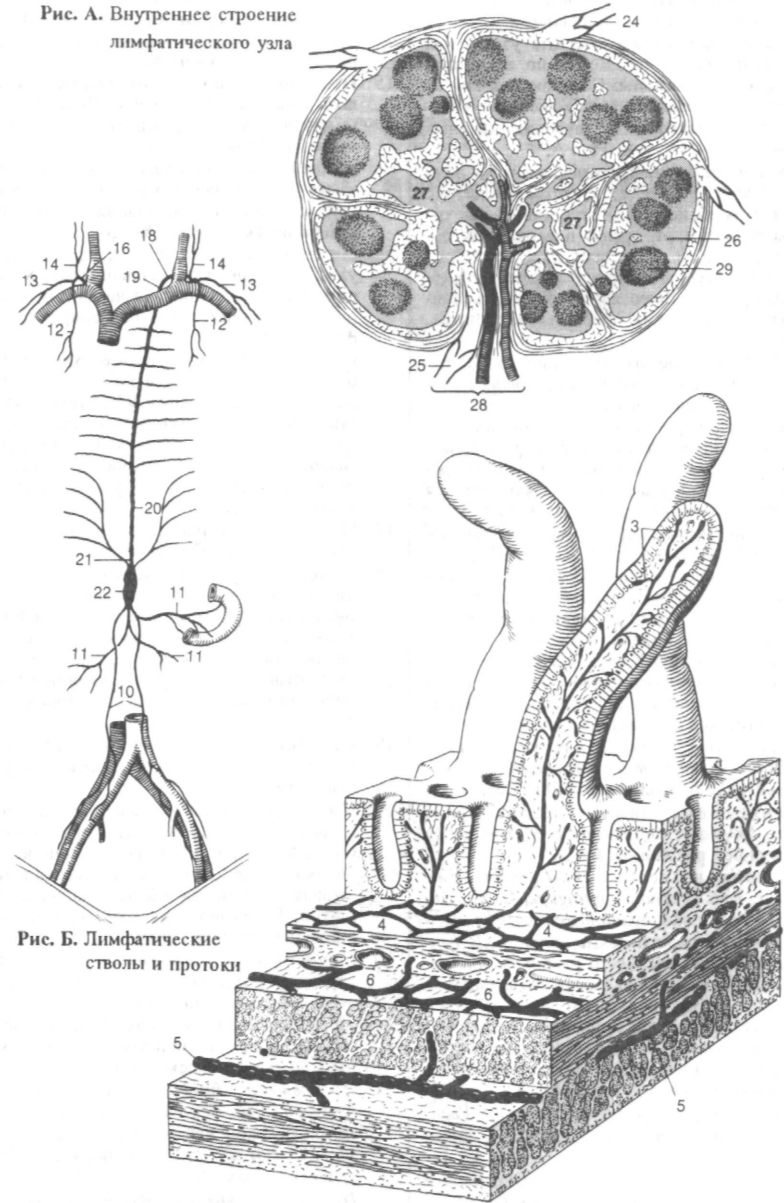


Рис. В. Лимфатические капилляры и сосуды в стенке тонкой кишки

- 1 РЕГИОНАРНЫЕ ЛИМФАТИЧЕСКИЕ УЗЛЫ, *nodi tymphatici regionales*.
- 2 ГОЛОВА И ШЕЯ, *caput et collum*.
- 3 Затылочные лимфатические узлы, *nodi tymphatici occipitales*. Лежат по краю трапециевидной мышцы. Собирают лимфу от затылочной области, а их выносящие сосуды заканчиваются в глубоких шейных лимфатических узлах. Рис. А.
- 4 Сосцевидные лимфатические узлы, *nodi tymphatici mastoidei* [[*retro-auriculares*]]. Лежат на сосцевидном отростке. В них оттекает лимфа от задней поверхности ушной раковины, прилежащей к ней кожи головы и задней стенки наружного слухового прохода. Выносящие сосуды заканчиваются в глубоких шейных лимфоузлах. Рис. А.
- 5 Поверхностные околоушные лимфатические узлы, *nodi tymphatici parotidei superficiales*. Расположены спереди козелка над околоушной фасцией. Их приносящие сосуды начинаются в коже височной области и передней поверхности ушной раковины. Выносящие сосуды заканчиваются в глубоких шейных лимфоузлах. Рис. А.
- 6 Глубокие околоушные лимфатические узлы, *nodi tymphatici parotidei profundi*. Находятся под околоушной фасцией. Собирают лимфу от барабанной полости, наружного слухового прохода, лобно-височной области, верхнего и нижнего века, корня носа, а также от слизистой оболочки заднего отдела нижней стенки носовой полости и носототки. Выносящие сосуды заканчиваются в глубоких шейных лимфоузлах. Рис. А.
- 7 Предушные лимфатические узлы, *nodi tymphatici prae-auriculares*. Расположены спереди от ушной раковины. Рис. А.
- 8 Нижнеушные лимфатические узлы, *nodi tymphatici infraauriculares*. Находятся под ушной раковиной. Рис. А.
- 9 Внутрижелезистые лимфатические узлы, *nodi tymphatici intraglandulares*. Лежат в толще околоушной железы. Рис. А.
- 10 Лицевые лимфатические узлы, *nodi tymphatici faciales*. Их место расположения вариабельно. Собирают лимфу от верхнего и нижнего века, наружного носа и кожи остальных областей лица, а также слизистой оболочки щеки. Их выносящие сосуды сопровождают *a. facialis* и заканчиваются в поднижнечелюстных лимфоузлах.
- 11 [Щечный узел, *nodus buccinatorius*]. Расположен на поверхности щечной мышцы. Рис. А.
- 12 [Носогубной узел, *nodus nasolabialis*]. Лежит под носогубной бороздой. Рис. А.
- 13 [Маларный узел, *nodus malaris*]. Лежит в подкожной клетчатке щеки.
- 14 [Нижнечелюстной узел, *nodus mandibularis*]. Расположен в подкожной клетчатке на уровне нижней челюсти. Рис. А.

- 14a Язычные лимфатические узлы, *nodi tymphatici Unguales*. Лежит на *m. Iyoglossus*. Собирают лимфу от нижней поверхности, латерального края и медиальной части передних 2/3 спинки языка.
- 15 Подподбородочные лимфатические узлы, *nodi tymphatici submentals*. Локализуются между передними брюшками двубрюшных мышц. Собирают лимфу от средней части нижней губы, дна полости рта, верхушки языка. Выносящие сосуды заканчиваются в глубоких шейных и поднижнечелюстных лимфатических узлах. Рис. Б.
- 16 Поднижнечелюстные лимфатические узлы, *nodi tymphatici submandibulares*. Расположены между нижней челюстью и поднижнечелюстной железой. Собирают лимфу от внутреннего угла таза, щеки, боковой поверхности носа, всей верхней губы и боковых частей нижней губы, десен, латеральной части передних 2/3 спинки языка, а также к ним подходят выносящие сосуды подподбородочных и лицевых лимфоузлов. Выносящие сосуды поднижнечелюстных узлов заканчиваются в глубоких шейных узлах. Рис. Б.
- 17 Передние шейные лимфатические узлы, *nodi tymphatici cervicales anteriores*.
- 18 Поверхностные (передние яремные) лимфатические узлы, *nodi tymphatici superficiales (jugulares anteriores)*. Расположены по ходу передней яремной вены. Собирают лимфу от кожи передней области шеи. Выносящие сосуды заканчиваются в глубоких шейных узлах обеих сторон. Рис. А.
- 19 Глубокие лимфатические узлы, *nodi tymphatici profundi*. Расположены в передней области шеи.
- 19a Подподязычные лимфатические узлы, *nodi tymphatici infrahyoidei*. Расположены ниже подъязычной кости по средней линии. Собирают лимфу от преддверия гортани, грушевидных карманов и близлежащих частей глотки. Выносящие сосуды заканчиваются в глубоких шейных лимфоузлах. Рис. Б.
- 20 Предгортанные лимфатические узлы, *nodi tymphatici praelaryngeales*. Расположены на перстнещитовидной связке и собирают лимфу от нижней половины гортани. Выносящие сосуды заканчиваются в глубоких шейных лимфатических узлах. Рис. Б.
- 21 Щитовидные лимфатические узлы, *nodi tymphatici thyroidei*. Располагаются в области щитовидной железы. Выносящие сосуды заканчиваются в глубоких шейных лимфатических узлах. Рис. Б.
- 22 Предтрахеальные лимфатические узлы, *nodi tymphatici pretracheales*. Расположены спереди от трахеи. Собирают лимфу от трахеи и гортани. Выносящие сосуды заканчиваются в глубоких шейных лимфатических узлах. Рис. Б.

- 23 Паратрахеальные лимфатические узлы, *nodi tymphatici paratracheales*. Находятся рядом с трахеей. (См. 22). Рис. Б.
- 23a Позадиглоточные лимфатические узлы, *nodi tymphatici retropharyngeales*. Расположены спереди дуги атланта. См. 258.13.

Рис. А. Поверхностные лимфатические узлы головы и шеи

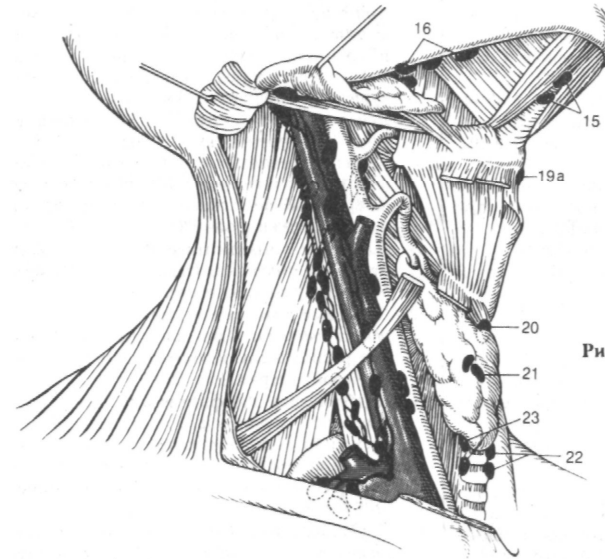
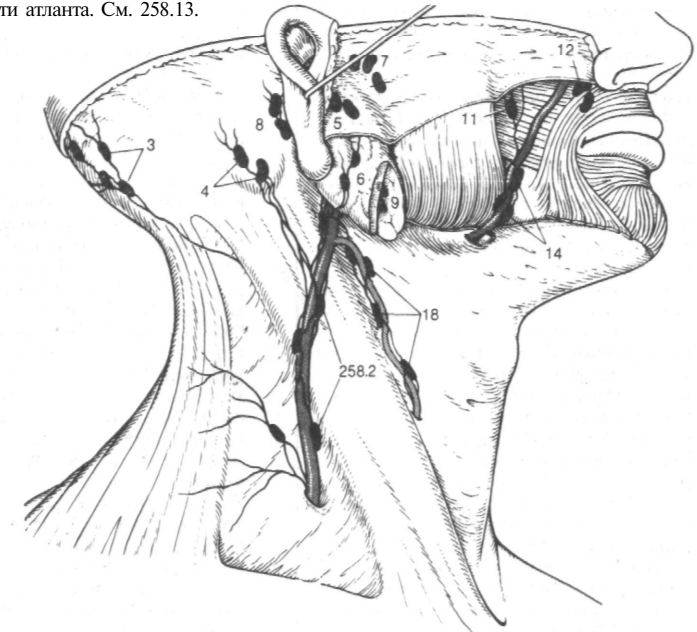


Рис. Б. Глубокие лимфатические узлы шеи



- 1 Латеральные шейные лимфатические узлы, *nodi lymphatici cervicales laterales*. Расположены в латеральной области шеи. Представлены нижеследующими группами:
- 2 Поверхностные лимфатические узлы, *nodi lymphatici superficiales*. Лежат по ходу наружной яремной вены. Собирают лимфу от нижнего отдела ушной раковины и области шеи ниже околоушной железы. Выносящие сосуды заканчиваются в глубоких шейных лимфоузлах. См. стр. 257, рис. Б.
- 3 Верхние глубокие лимфатические узлы, *nodi lymphatici profundi superiores*. Включают в свой состав три группы и собирают лимфу от соседних областей шеи, а также от лимфоузлов головы. Их выносящие сосуды формируют яремный ствол. Рис. А.
- 4 Латеральные лимфатические узлы, *nodi lymphatici laterales*. Расположены снаружи от внутренней яремной вены. Рис. А.
- 5 Передние лимфатические узлы, *nodi lymphatici anteriores*. Лежат спереди от внутренней яремной вены. Рис. А.
- 6 Яремно-двубрюшный узел, *nodus jugulodigastricus*. Самый краниальный из глубоких шейных узлов. Пальпируется при воспалении миндалин, языка и глотки. Рис. А.
- 7 Нижние глубокие лимфатические узлы, *nodi lymphatici profundi inferiores*. Состоят из двух групп. В них заканчиваются выносящие сосуды от лимфоузлов органов шеи и головы, а также они являются регионарными для соседних областей. Выносящие сосуды нижних глубоких узлов присоединяются к яремному стволу.
- 8 Яремно-лопаточно-подъязычный узел, *nodus jugulo-omohyoideus*. Расположен между лопаточно-подъязычной мышцей и внутренней яремной веной. Собирает лимфу от языка. Рис. А.
- 9 Латеральные лимфатические узлы, *nodi lymphatici laterales*. Расположены с латеральной стороны от внутренней яремной вены. Рис. А.
- 10 Передние лимфатические узлы, *nodi lymphatici anteriores*. Расположены спереди от внутренней яремной вены. Рис. А.
- 11 Надключичные лимфатические узлы, *nodi lymphatici supraclaviculares*. Расположены над ключицей. Рис. А.
- 12 Добавочные узлы, *nodi accessorii*.
- 13 Заглоточные лимфатические узлы, *nodi lymphatici retropharyngeales*. Расположены вдоль наружного края длинной мышцы головы на уровне латеральной массы атланта. Рис. А, Б.
- 14 ВЕРХНЯЯ КОНЕЧНОСТЬ, *membrum superius*.
- 15 Подмышечное лимфатическое сплетение, *plexus lymphaticus axillaris*. Образуется лимфатическими сосудами, соединяющими между собой 20 - 30 подмышечных лимфатических узлов. Рис. В.
- 16 Подмышечные лимфатические узлы, *nodi lymphatici axillares*. Расположены в одноименной топографической области верхней конечности. Рис. В.
- 17 Верхушечные лимфатические узлы, *nodi lymphatici apicales*. Лежат медиальнее подключичной вены между верхним краем *m. pectoralis minor* и вершиной подмышечной ямки. Собирает лимфу от верхнебековой части грудной клетки и остальных подмышечных лимфоузлов. Выносящие сосуды формируют подключичный ствол, который слева открывается в грудной проток или левую подключичную вену, справа - присоединяется к правой подключичной вене или к яремному стволу. Рис. В.
- 18 Плечевые лимфатические узлы, *nodi lymphatici brachiales*. Лежат по ходу подмышечной артерии и собирают лимфу от верхней конечности. Рис. В.
- 19 Подлопаточные лимфатические узлы, *nodi lymphatici subscapulars*. Расположены по ходу *a. subscapularis* и собирают лимфу от задней части грудной клетки, плечевого сустава и нижнезадней части шеи. Рис. В.
- 20 Грудные лимфатические узлы, *nodi lymphatici pectorales*. Расположены у нижнего края *m. pectorales minor* и собирают лимфу от передней и латеральной стенок туловища до уровня пупка. Рис. В.
- 21 Центральные лимфатические узлы, *nodi lymphatici centrales*. Расположены в жировой клетчатке подмышечной ямки и собирают лимфу от плечевых, подлопаточных и грудных лимфоузлов. Рис. В.
- 22 Межгрудные лимфатические узлы, *nodi lymphatici interpectorales*. Расположены между большой и малой грудными мышцами и собирают лимфу от молочной железы. Выносящие сосуды заканчиваются в верхушечных лимфоузлах. Рис. В.
- 23 Дельтовидно - грудные (подключичные) лимфатические узлы, *nodi lymphatici eliopectoralis (infraclaviculares)*. Расположены в одноименной борозде по ходу латеральной подкожной вены и собирают лимфу от кожи руки. Рис. В.
- 24 Плечевые лимфатические узлы, *nodi lymphatici brachiales*. Одиночные лимфоузлы по ходу сосудов плеча.
- 25 Локтевые лимфатические узлы, *nodi lymphatici cubitales*. Один или два узла, которые расположены в локтевой ямке по ходу плечевой артерии. Рис. В.
- 26 Надблоковые лимфатические узлы, *nodi lymphatici supratrochleares*. Расположены несколько выше локтевого сустава с медиальной стороны от *v. basilica*. Рис. В.
- 27 Поверхностные лимфатические узлы, *nodi lymphatici superficiales*.
- 28 Глубокие лимфатические узлы, *nodi lymphatici profundi*. Расположены по ходу глубоких лимфатических сосудов.

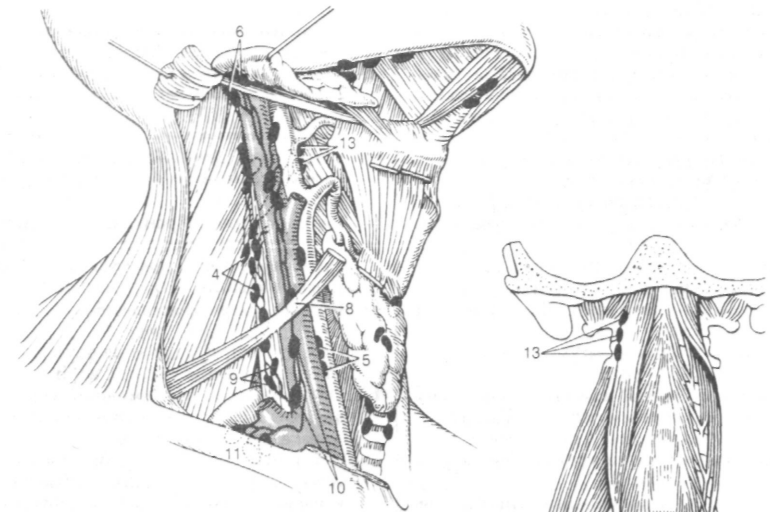


Рис. А. Глубокие лимфатические узлы шеи

Рис. Б. Шея (вид спереди)

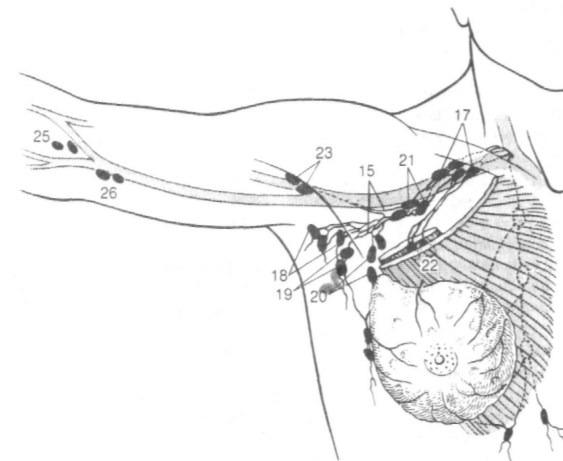


Рис. В. Лимфатические узлы верхней конечности, подмышечной полости и груди

- 1 ГРУДЬ, *thorax*.
- 2 ОКОЛОГРУДНЫЕ (ПАРАММАРНЫЕ) ЛИМФАТИЧЕСКИЕ УЗЛЫ, *nodi lymphoid paramammarii*. Находятся у латерального края молочной железы. Рис. А.
- 3 Окологрудные лимфатические узлы, *nodi lymphatici parasternales*. Расположены по ходу внутренних грудных сосудов. Собирают лимфу от молочной железы, межреберных промежутков, а также от печени и диафрагмы. Выносящие сосуды открываются в подключичную или внутреннюю яремную вены, а в отдельных случаях они могут присоединяться к грудному протоку или подключичному стволу. Рис. А.
- 4 Межреберные лимфатические узлы, *nodi lymphatici intercostales*. Локализуются в задних отделах межреберий. Собирают лимфу от плевры и мягких тканей межреберий. Рис. Г.
- 5 Предпозвоночные лимфатические узлы, *nodi lymphatici praevertebrales*. Расположены между пищеводом и позвоночным столбом. Являются регионарными для окружающих тканей. Рис. В, Г.
- 6 Верхние диафрагмальные лимфатические узлы, *nodi lymphatici phrenici superiores*. Расположены кзади от костнохрящевой границы седьмого ребра: с левой стороны - у аортального отверстия, с правой - около отверстия нижней полой вены. Собирают лимфу от печени и диафрагмы. Рис. Г.
- 7 Предперикардиальные лимфатические узлы, *nodi lymphatici prepericardiales*. Находятся между грудиной и перикардом. Собирают лимфу от грудины и переднего отдела перикарда. Эфферентные сосуды заканчиваются в окологрудных лимфоузлах. Рис. Б.
- 8 Латеральные перикардиальные лимфатические узлы, *nodi lymphatici pericardiales laterales*. Расположены между перикардом и медиастиальной плеврой. Рис. Б.
- 9 Передние средостенные лимфатические узлы, *nodi lymphatici mediastinals anteriores*. Находятся спереди дуги аорты и ее ветвей вдоль плечеголовных вен. Собирают лимфу от тимуса, перикарда и окологрудных лимфатических узлов. Выносящие сосуды впадают в бронхосредостенный ствол. Рис. Б.
- 10 [Узел артериальной связки, *nodus ligamenti arteriosi*]. Встречается непостоянно. Рис. Б.
- 11 Задние средостенные лимфатические узлы, *nodi lymphatici mediastinals posteriores*. Находятся в верхнем и заднем средостенных. Собирают лимфу от легких, бронхов, трахеи, пищевода, перикарда, диафрагмы и диафрагмальной поверхности печени. Выносящие сосуды впадают в грудной проток или бронхосредостенный

ствол. Задние средостенные лимфатические узлы состоят из перечисленных ниже групп:

- 12 Легочные юксталищеводные лимфатические узлы, *nodi lymphatici iuxtaoesophageales pulmonales*. Расположены около пищевода. Собирают лимфу от легкого. Рис. В.
- 13 Трахеобронхиальные лимфатические узлы, *nodi lymphatici tracheobronchiales*. Расположены около бронхов вблизи ворот легкого. Рис. В.
- 14 Верхние трахеобронхиальные лимфатические узлы, *nodi lymphatici tracheobronchiales superiores*. Локализуются спереди от трахеи и области ее бифуркации. Рис. В.
- 15 Нижние трахеобронхиальные лимфатические узлы, *nodi lymphatici tracheobronchiales inferiores*. Находятся каудальнее области бифуркации трахеи. Рис. В.
- 16 Околотрахеальные лимфатические узлы, *nodi lymphatici paratracheales*. Расположены вдоль трахеи. Рис. В.
- 17 [Узел дуги непарной вены, *nodus arcus venae azugos*]. Расположен в области дуги непарной вены. Встречается непостоянно. Рис. Б.

Рис. А. Лимфатические узлы верхней конечности, подмышечной полости и груди

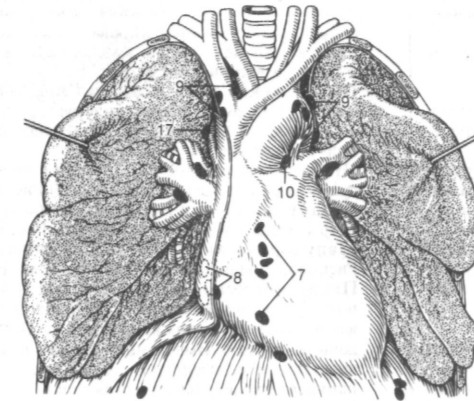


Рис. Б. Лимфатические узлы грудной полости

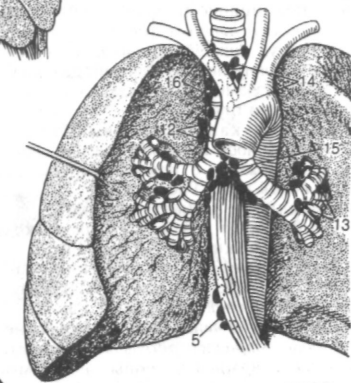


Рис. В. Лимфатические узлы грудной полости



Рис. Г. Лимфатические узлы грудной полости

- 1 **ЖИВОТ: ПАРИЕТАЛЬНЫЕ ЛИМФАТИЧЕСКИЕ УЗЛЫ**, *abdomen: nodi lymphatici parietales*. Расположены на стенках брюшной полости.
- 2 **Левые поясничные лимфатические узлы**, *nodi lymphatici lumbales sinistri (lumbares)*. Состоят из трех групп. Расположены по ходу брюшной части аорты. В них заканчиваются выносящие сосуды от парietальных и висцеральных узлов таза, а также они являются регионарными для надпочечников, мочеточников, яичек или яичников, маточных труб, дна матки и стенки живота. Выносящие сосуды поясничных лимфоузлов формируют поясничный ствол.
- 3 **Латеральные аортальные лимфатические узлы**, *nodi lymphatici aortici laterales*. Расположены слева от аорты. Рис. А.
- 4 **Преаортальные лимфатические узлы**, *nodi lymphatici preaortici*. Находятся спереди от аорты. Рис. А.
- 5 **Постаортальные лимфатические узлы**, *nodi lymphatici postaortici*. Расположены между аортой и позвоночным столбом. Рис. А.
- 6 **Промежуточные поясничные лимфатические узлы**, *nodi lymphatici lumbales (lumbares) intermedii*. Расположены между аортой и нижней полой веной. Выполняют аналогичную с левыми поясничными узлами функцию. Рис. А.
- 7 **Правые поясничные лимфатические узлы**, *nodi lymphatici lumbales (lumbares) dextri*. Лежат вокруг нижней полой вены и выполняют аналогичную с левыми поясничными лимфоузлами функцию. В их составе выделяются три группы.
- 8 Латеральные кавальные лимфатические узлы, *nodi lymphatici cavales laterales*. Расположены с правой стороны от нижней полой вены. Рис. А.
- 9 Предкавальные лимфатические узлы, *nodi lymphatici precavales*. Определяются спереди от нижней полой вены. Рис. А.
- 10 Посткавальные лимфатические узлы, *nodi lymphatici postcavales*. Локализуются позади нижней полой вены. Рис. А.
- 11 **Нижние диафрагмальные лимфатические узлы**, *nodi lymphatici phrenicae inferiores*. Находятся с нижней стороны диафрагмы возле аортального отверстия. Рис. А, В.
- 12 **Нижние надчревные лимфатические узлы**, *nodi lymphatici epigastrici inferiores*. Расположены по ходу нижней надчревной артерии. Рис. Б.
- 13 **ЖИВОТ: ВИСЦЕРАЛЬНЫЕ ЛИМФАТИЧЕСКИЕ УЗЛЫ**, *abdomen: nodi lymphatici viscerales*.
- 14 **Чревные лимфатические узлы**, *nodi lymphatici celiaci*. Расположены вокруг чревного ствола. В них оттекает лимфа от лимфоузлов желудка, двенадцатиперстной кишки, печени, желчного пузыря, поджелудочной железы и селезенки. Выносящие сосуды чревных лимфоузлов формируют кишечный ствол или впадают в цистерну грудного протока. Рис. А, В.
- 15 Желудочные лимфатические узлы [пра-

- вые/левые], *nodi lymphatici gastrici [dextri/sinistri]*. Лежат по ходу правой/левой желудочных артерий и собирают лимфу от желудка. Выносящие сосуды заканчиваются в чревных лимфоузлах. Рис. В.
- 16 **Лимфатическое кольцо кардии**, *anulus lymphaticus cardiaе*. Цепочка лимфатических узлов вокруг кардиальной части желудка. Встречается непостоянно. Рис. В.
- 17 **Желудочно-сальниковые лимфатические узлы [правые/левые]**, *nodi lymphatici gastro-omentalis [dextri/sinistri]*. Лежат по ходу правой и левой желудочно-сальниковых артерий. Собирают лимфу от желудка и большого сальника. Выносящие сосуды заканчиваются справа в печеночных лимфоузлах, слева - в узлах селезенки и поджелудочной железы. Рис. В.
- 18 **Пилорические лимфоузлы**, *nodi lymphatici pylorici*. Находятся вокруг пилоруса. Выносящие сосуды заканчиваются в печеночных или чревных лимфоузлах.
- 19 **Надпилорический узел**, *nodus supra-pyloricus*. Лежит над привратником. Рис. В.
- 20 **Щодпилорические узлы**, *nodi subpylorici*. Находятся ниже привратника. Рис. В.
- 21 **Запилорические узлы**, *nodi retro-pylorici*. Расположены позади привратника. Рис. В.
- 22 **Панкреатические лимфатические узлы**, *nodi lymphatici pancreatici*. Располагаются вдоль верхнего и нижнего краев поджелудочной железы. Выносящие сосуды заканчиваются в селезеночных, брыжеечных и панкреатодуоденальных лимфоузлах.
- 23 **Верхние панкреатические лимфатические узлы**, *nodi lymphatici pancreatici superiores*. Располагаются у верхнего края поджелудочной железы. Рис. А, В.
- 24 **Нижние панкреатические лимфатические узлы**, *nodi lymphatici pancreatici inferiores*. Находятся у нижнего края поджелудочной железы. Рис. А, В.
- 25 **Селезеночные лимфатические узлы**, *nodi lymphatici splenici (lienales)*. Лежат в воротах селезенки. Выносящие сосуды заканчиваются в чревных лимфоузлах. Рис. А, В.
- 26 **Панкреатодуоденальные лимфатические узлы**, *nodi lymphatici pancreaticoduodenales*. Расположены между поджелудочной железой и двенадцатиперстной кишкой и собирают лимфу от этих органов.
- 27 **Верхние панкреатодуоденальные лимфатические узлы**, *nodi lymphatici pancreaticoduodenales superiores*. Выносящие сосуды этих узлов заканчиваются в печеночных лимфоузлах. Рис. В.
- 28 **Нижние панкреатодуоденальные лимфатические узлы**, *nodi lymphatici pancreaticoduodenales inferiores*. Выносящие сосуды этих узлов заканчиваются в брыжеечных лимфоузлах. Рис. В.
- 29 **Печеночные лимфоузлы**, *nodi lymphatici hepatici*. Расположены в воротах печени и в составе печеночно-дуоденальной связки. Собирают лимфу от печени и соседних лимфоузлов. Выносящие сосуды печеночных узлов заканчиваются в чревных лимфоузлах.

Рис. А. Лимфатические узлы брюшной полости

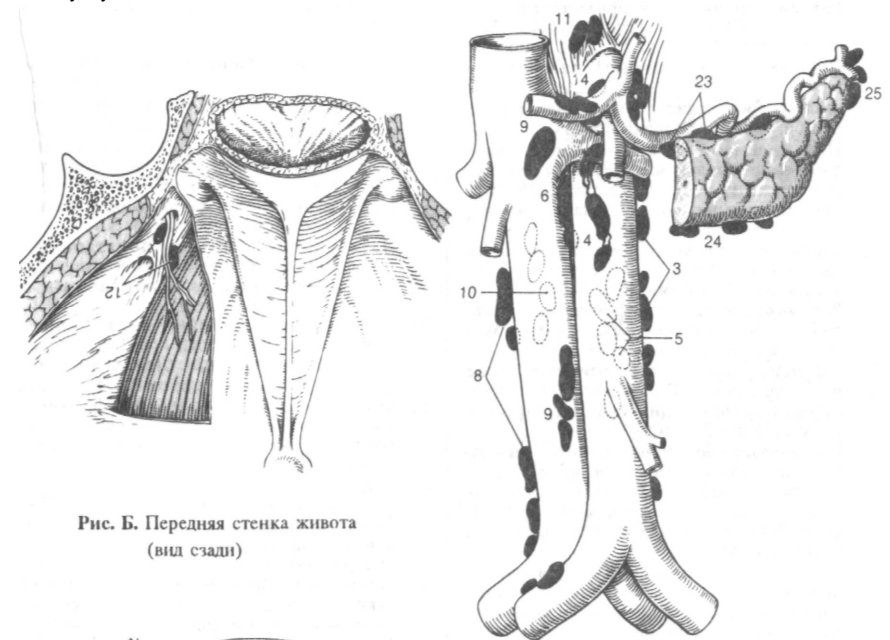


Рис. Б. Передняя стенка живота (вид сверху)



Рис. В. Лимфатические узлы верхнего этажа брюшной полости

- 1 **Брыжеечные лимфатические узлы, *nodi lymphatici mesenterici***. Их количество достигает 100 - 150. Собирают лимфу от стенки тонкой кишки. Выносящие сосуды заканчиваются в чревных лимфоузлах.
- 2 **Юкстакишечные лимфатические узлы, *nodi lymphatici juxtaintestinales***. Расположены вблизи стенки тонкой кишки.
- 3 **Верхние [центральные] лимфатические узлы, *nodi lymphatici superiores [centrales]***. Расположены вокруг ствола верхней брыжеечной артерии. Рис. А.
- 4 **Подвздошно-ободочнокишечные лимфатические узлы, *nodi lymphatici ileocolici***. Расположены по ходу одноименной артерии. Выносящие сосуды заканчиваются в чревных лимфоузлах. Рис. А.
- 5 **Предселезеночные лимфатические узлы, *nodi lymphatici precaecales***. Лежат по ходу *a. caecalis anterior*. Рис. А.
- 6 **Заслепокишечные лимфатические узлы, *nodi lymphatici retrocaecales***. Лежат по ходу задней слепокишечной артерии. Рис. А.
- 7 **Аппендикулярные лимфатические узлы, *nodi lymphatici appendiculares***. Локализуются вдоль артерии червеобразного отростка. Отсутствуют в 33 - 50%. Рис. А.
- 8 **Брыжеечно-ободочнокишечные лимфатические узлы, *nodi lymphatici mesocolici***. Собирают лимфу от большей части ободочной кишки и располагаются в *mesocolon*. Выносящие сосуды заканчиваются в чревных узлах.
- 9 **Околоободочнокишечные лимфатические узлы, *nodi lymphatici paracolic***. Расположены вдоль ободочной кишки на всем ее протяжении. Рис. А.
- 10 **Ободочнокишечные [правые/ средние/левые] лимфатические узлы, *nodi lymphatici colici [dexteri/Anedii/sinistri]***. Расположены по ходу правой, средней и левой ободочнокишечных артерий. Рис. А.
- 11 **Нижние брыжеечные лимфатические узлы, *nodi lymphatici mesenterici inferiores***. Лежат по ходу одноименной артерии и собирают лимфу от нисходящей ободочной, сигмовидной и части прямой кишки. От этих узлов лимфа оттекает в *nodi lymphatici preaortici*, расположенные на уровне отхождения *a. mesenterica inferior*. Рис. А.
- 12 **Сигмовидные лимфатические узлы, *nodi lymphatici sigmoidei***. Лежат вдоль одноименной артерии. Собирают лимфу от сигмовидной и части нисходящей ободочной кишки. Рис. А.
- 13 **Верхние прямокишечные лимфатические узлы, *nodi lymphatici rectales superiores***. Расположены по ходу *axectalis superior* и собирают лимфу от стенки прямой кишки. Рис. А.
- 14 **ТАЗ: ПАРИЕТАЛЬНЫЕ ЛИМФАТИЧЕСКИЕ УЗЛЫ, *pelvis: nodi lymphatici parietales***. Расположены у стенок таза.
- 15 **Общие подвздошные лимфатические узлы, *nodi lymphatici iliaci communes***. Лежат по ходу *valisasa interna*. В них заканчиваются выносящие сосуды узлов, собирающих

- лимфу от органов и стенок таза, передней стенки живота (до уровня пупка), а также мышц медиальной группы бедра и ягодичной области. Выносящие сосуды общих подвздошных лимфоузлов заканчиваются в поясничных лимфоузлах или в поясничном стволе. В их составе выделяют нижеперечисленные группы:
- 16 **Медиальные общие подвздошные лимфатические узлы, *nodi lymphatici iliaci communes mediales***. Расположены с медиальной стороны от сосудистого пучка. Рис. Б.
  - 17 **Промежуточные общие подвздошные лимфатические узлы, *nodi lymphatici iliaci communes intermedii***. Расположены между медиальной и латеральной группами позади сосудистого пучка. Рис. Б.
  - 18 **Латеральные общие подвздошные лимфатические узлы, *nodi lymphatici iliaci communes laterales***. Лежат латеральнее сосудистого пучка. Рис. Б.
  - 19 **Подаортальные общие подвздошные лимфатические узлы, *nodi lymphatici iliaci communes subaortici***. Лежат ниже бифуркации аорты, спереди от L 4. Рис. А, Б.
  - 20 **Общие подвздошные лимфатические узлы мыса, *nodi lymphatici iliaci communes promontorii***. Расположены спереди мыса. Рис. А, Б.
  - 21 **Наружные подвздошные лимфатические узлы, *nodi lymphatici iliaci externi***. Лежат вдоль наружных подвздошных сосудов и собирают лимфу от части мочевого пузыря, влагалища, а также от паховых лимфоузлов. Выносящие сосуды заканчиваются в общих подвздошных лимфоузлах. Состоят из нижеперечисленных групп:
  - 22 **Медиальные наружные подвздошные лимфатические узлы, *nodi lymphatici iliaci externi mediales***. Лежат медиальнее сосудистого пучка. Рис. Б.
  - 23 **Промежуточные наружные подвздошные лимфатические узлы, *nodi lymphatici iliaci externi intermedii***. Расположены между латеральной и медиальной группами позади сосудистого пучка. Рис. Б.
  - 24 **Латеральные наружные подвздошные лимфатические узлы, *nodi lymphatici iliaci externi laterales***. Расположены латеральнее сосудистого пучка. Рис. Б.
  - 25 **[Медиальный узел лакуны, *nodus lacunarum medialis*]**. Лежит в сосудистой лакуне, медиальнее сосудистого пучка. Рис. Б.
  - 26 **[Промежуточный узел лакуны, *nodus lacunarum intermedius*]**. Расположен в центре сосудистой лакуны. Встречается непостоянно. Рис. Б.
  - 27 **[Латеральный узел лакуны, *nodus lacunarum lateralis*]**. Определяется в латеральной части сосудистой лакуны. Рис. Б.
  - 28 **Межподвздошные наружные подвздошные лимфатические узлы, *nodi lymphatici iliaci externi interiliaci***. Лежат в месте деления общей подвздошной артерии на наружную и внутреннюю. Рис. Б.
  - 29 **Наружные подвздошные запирающие лимфатические узлы, *nodi lymphatici iliaci externi obturatorii***. Расположены по ходу запирающей артерии. Рис. Б.

*phatici iliaci externi obturatorii*. Расположены по ходу запирающей артерии. Рис. Б.

Рис. А. Лимфатические узлы брюшной полости

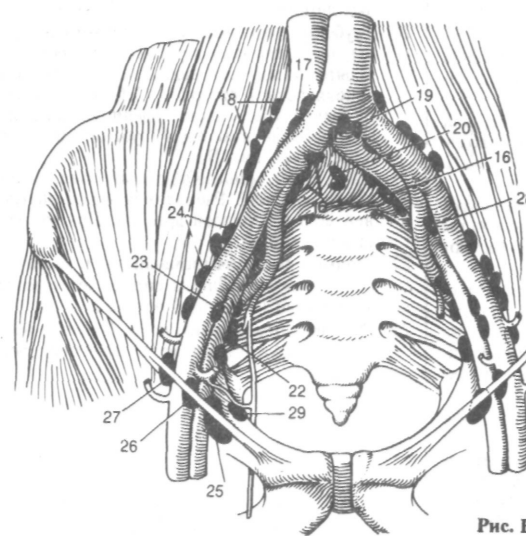
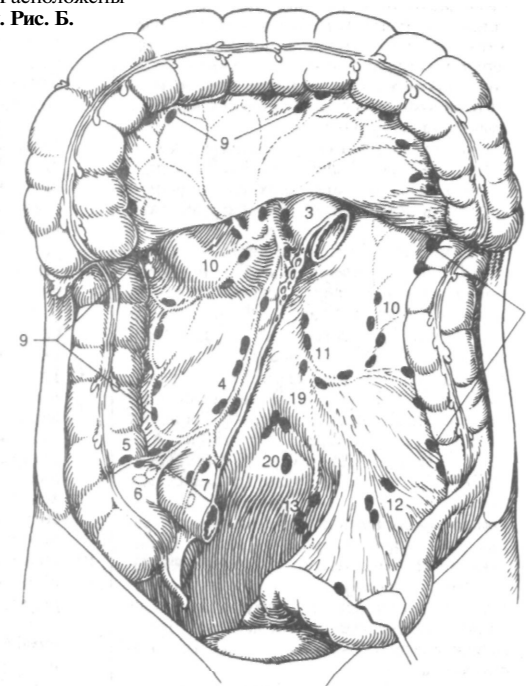


Рис. Б. Общие и наружные подвздошные лимфатические узлы

- 1 Внутренние подвздошные лимфатические узлы, *nodi lymphatici iliaci interni*. Расположены по ходу внутренней подвздошной артерии и собирают лимфу от тазовых органов, промежности, а также стенок таза. Выносящие сосуды заканчиваются в общих подвздошных лимфоузлах.
- 2 Верхние ягодичные лимфатические узлы, *nodi lymphatici gluteales superiores*. Расположены по ходу верхней ягодичной артерии и собирают лимфу от стенок таза. Рис. А.
- 3 Нижние ягодичные лимфатические узлы, *nodi lymphatici gluteales inferiores*. Локализуются по ходу нижней ягодичной артерии. Собирают лимфу от предстательной железы, проксимальной части мочеиспускательного канала. Рис. А.
- 4 Крестцовые лимфатические узлы, *nodi lymphatici sacrales*. Расположены на тазовой поверхности крестца. Собирают лимфу от предстательной железы. Рис. А.
- 5 **ТАЗ: ВИСЦЕРАЛЬНЫЕ ЛИМФАТИЧЕСКИЕ УЗЛЫ, *pelvis: nodi lymphatici viscerates*.**
- 6 Околочепузырные лимфатические узлы, *nodi lymphatici paravesicular*. Собирают лимфу от мочевого пузыря и предстательной железы. Рис. А.
- 7 Предмочепузырные лимфатические узлы, *nodi lymphatici prevesiculares*. Лежат между мочевым пузырем и лобковым симфизом. Рис. А.
- 8 Замочепузырные лимфатические узлы, *nodi lymphatici postvesiculares*. Расположены позади мочевого пузыря. Рис. А.
- 9 Латеральные мочепузырные лимфатические узлы, *nodi lymphatici vesiculares laterales*. Локализуются в нижней части медиальной пупочной связки. Рис. А.
- 10 Околوماتочные лимфатические узлы, *nodi lymphatici parauterine*. Расположены возле матки и собирают лимфу от *cervix uteri*. Рис. А.
- 11 Околочлагалищные лимфатические узлы, *nodi lymphatici paravaginales*. Расположены вблизи влагалища, от которого собирают лимфу. Рис. А.
- 12 Околопрямокишечные (аноректальные) лимфатические узлы, *nodi lymphatici pararectal (anorectales)*. Расположены на поверхности мышечного слоя прямой кишки, собирают лимфу от ее стенки, а также от влагалища. Рис. А.
- 13 **НИЖНЯЯ КОНЕЧНОСТЬ, *membrum inferius*.**
- 14 Поверхностные паховые лимфатические узлы, *nodi lymphatici inguinales superficiales*. Расположены в подкожной клетчатке на широкой фасции, собирают лимфу от заднего прохода, наружных половых органов, промежности, стенки живота и от нижней конечности. Выносящие сосуды поверхностных паховых узлов заканчиваются в *nodi lymphatici iliaci externi*.

- 15 Верхнемедиальные поверхностные паховые лимфатические узлы, *nodi lymphatici inguinales superficiales superomediales*. Лежат по ходу паховой связки, ближе к ее середине. Рис. Б.
- 16 Верхнелатеральные поверхностные паховые лимфатические узлы, *nodi lymphatici inguinales superficiales superolaterales*. Расположены снизу от паховой связки, ближе к ее латеральному концу. Рис. Б.
- 17 Нижние поверхностные паховые лимфоузлы, *nodi lymphatici inguinales superficiales inferiores*. Расположены вдоль вертикальной линии, которая является продолжением проксимального конца большой подкожной вены. В них заканчиваются поверхностные лимфатические сосуды нижней конечности. Рис. Б.
- 18 Глубокие паховые лимфатические узлы, *nodi lymphatici inguinales profundi*. Расположены под широкой фасцией на уровне подкожной щели. Верхний узел этой группы (узел Розенмюллера) обычно находится в области бедренного кольца. Глубокие паховые узлы собирают лимфу от глубоких сосудов нижней конечности и отводят ее в наружные подвздошные лимфоузлы. Рис. Б.
- 19 Поверхностные подколенные лимфатические узлы, *nodi lymphatici popliteales superficiales*. Расположены у проксимального конца малой подкожной вены и собирают лимфу от латерального края стопы и голени. Их выносящие сосуды проходят через сухожильную щель (большой приводящей мышцы) и заканчиваются в глубоких паховых лимфоузлах. Рис. В.
- 20 Глубокие подколенные лимфатические узлы, *nodi lymphatici popliteales profundi*. Находятся между капсулой коленного сустава и подколенной артерией. Собирают лимфу от задней поверхности голени. Выносящие сосуды заканчиваются в глубоких паховых лимфоузлах. Рис. В.
- 21 [Передний большеберцовый узел, *nodus tibialis anterior*]. Расположен возле передней большеберцовой артерии. Присутствует непостоянно.
- 22 [Задний большеберцовый узел, *nodus tibialis posterior*]. Иногда определяется возле задней большеберцовой артерии.
- 23 [Малоберцовый узел, *nodus fibularis*]. Может обнаруживаться возле малоберцовой артерии.

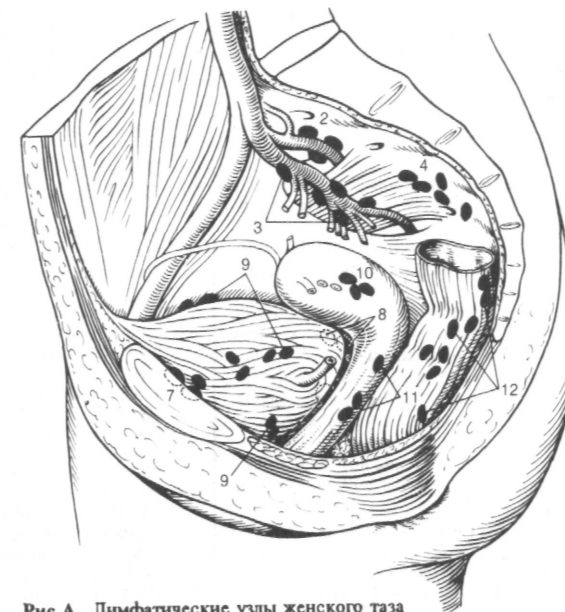


Рис. А. Лимфатические узлы женского таза

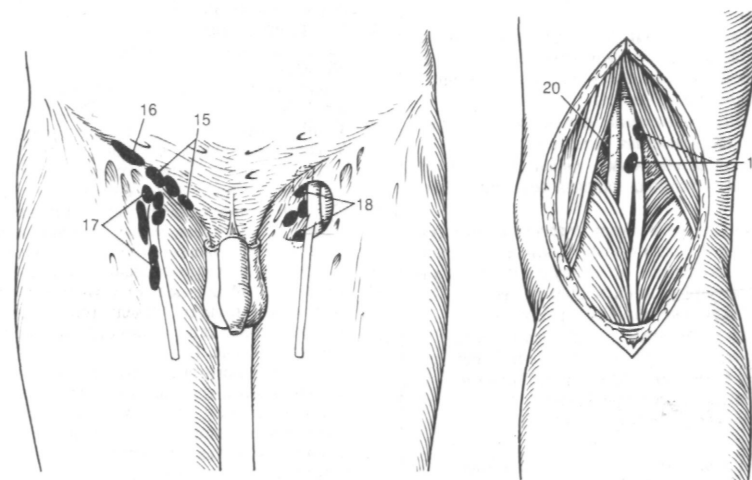


Рис. Б. Поверхностные и глубокие паховые лимфатические узлы

Рис. В. Лимфатические узлы подколенной ямки



- 1 СЕЛЕЗЕНКА, *splen (lien)*. Лимфоидный орган, связанный с системой кровообращения и выполняющий функции фагоцитоза, разрушения эритроцитов, лимфопоэза, фильтрации крови, а также синтеза антител. Рис. А, Б.
- 2 [Добавочная селезенка, *splen accessorius*]. Небольшие островки лимфорецикулярной ткани в большом сальнике или желудочно-селезеночной связке.
- 3 Диафрагмальная поверхность, *facies diaphragmatica*. Выпуклая поверхность селезенки.
- 4 Висцеральная поверхность, *facies visceralis*. Вогнутая поверхность селезенки. Рис. А.
- 5 Почечная поверхность, *facies renalis*. Часть висцеральной поверхности, которая соприкасается с почкой. Рис. А.
- 6 Желудочная поверхность, *facies gastrica*. Верхняя часть висцеральной поверхности, которая соприкасается с желудком. Рис. А.
- 7 Ободочнокишечная поверхность, *facies colica*. Соприкасается с ободочной кишкой. Рис. А.
- 8 Задний конец, *extremities posterior*. Рис. А.
- 9 Передний конец, *extremities anterior*. Рис. А.
- 10 Верхний край, *margo superior*. Находится между желудочной и диафрагмальной поверхностями. Рис. А.
- 11 Нижний край, *margo inferior*. Разделяет диафрагмальную и почечную поверхности. Рис. А.
- 12 Ворота селезенки, *hilum splenicum*. Место входа и выхода селезеночных сосудов. Расположены между желудочной и почечной поверхностями. Рис. А.
- 13 Серозная оболочка, *tunica serosa*. Брюшина, покрывающая селезенку. Рис. Б.
- 14 Фиброзная оболочка, *tunica fibrosa*. Соединительнотканная капсула селезенки. Рис. Б.
- 15 Трабекулы селезенки, *trabeculae splenicae [lienalis]*. Соединительнотканнные перекладины, отходящие от капсулы и проникающие внутрь органа в области ворот. Содержат кровеносные сосуды. Рис. Б.
- 16 Пульпа селезенки, *pulpa splenica [lienalis]*. Состоит из белой пульпы (лимфорецикулярная ткань, окружающая артерии) и красной пульпы (сеть ретикулярных волокон, пронизанная венозными синусоидами). Рис. Б.
- 17 Синус селезенки, *sinus splenica [lienalis]*. Тонкостенные пространства в красной пульпе селезенки, содержащие венозную кровь и анастомозирующие между собой. Рис. Б.
- 18 Селезеночные ветви, *rami splenica [lienales]*. Отходят от селезеночной артерии до ее вступления внутрь органа.
- 19 Кисточки, *penicilli*. Небольшие, похожие

на щетинки артериальные веточки в белой пульпе. Рис. Б.

- 20 Селезеночные лимфатические фолликулы (лимфатические узлы селезенки), *folliculi lymphatici splenici [lienalis] (lymphonoduli splenici)*. Сферической или цилиндрической формы скопления лимфорецикулярной ткани вокруг артерии (мальпигиево тельце). Различимы невооруженным глазом. Рис. Б.
- 21 НЕРВНАЯ СИСТЕМА, *systema nervosum*.
- 22 МОЗГОВЫЕ ОБОЛОЧКИ, *meninges*. Оболочки (твердая, паутинная, мягкая) состоят из соединительной ткани и окружают головной и спинной мозг.
- 23 Твердая оболочка головного мозга, *dura mater cranialis (encephali) [rachimeningis]*. Толстый фиброзный слой, образующий капсулу для мозга. Одновременно является надкостницей костей свода черепа. Рис. Д.
- 24 Серп большого мозга, *falx cerebri*. Листок твердой оболочки головного мозга, который заходит в продольную щель большого мозга. Рис. В.
- 25 Намет мозжечка, *tentorium cerebelli*. Листок твердой оболочки головного мозга, который расположен между верхним краем пирамиды височной кости и поперечным синусом. Поддерживает затылочные доли полушарий большого мозга. Рис. В.
- 26 Вырезка намента, *incisura tentorii*. Через нее проходит ствол мозга. Рис. В.
- 27 Серп мозжечка, *falx cerebelli*. Вырост *dura mater cranialis*, который разделяет полушария мозжечка. Рис. В.
- 28 Диафрагма седла, *diaphragma sellae*. Небольшой горизонтальный листок твердой оболочки головного мозга, который соединяет между собой клиновидные отростки и находится выше гипофиза. Рис. В.
- 29 Тройничная полость, *cavitas trigeminalis (cavum trigeminale)*. Карман, образованный твердой оболочкой, в котором расположен узел тройничного нерва. Рис. В.
- 30 Субдуральное пространство, *spatium subdurale*. Узкая щель между твердой и паутинной оболочками. Может расширяться (например, при кровоотечении). Рис. Д.
- 31 Твердая оболочка спинного мозга, *dura mater spinalis*. Отделяется от стенок позвоночного канала эпидуральным пространством. Рис. Г.
- 32 Наружная концевая нить (твердой оболочки спинного мозга), *filum terminale externum (durale)*. На уровне S2 - 3 твердая оболочка спинного мозга сливается с терминальной нитью и вместе с ней заканчивается в надкостнице Co 2.
- 33 Эпидуральное (перидуральное) пространство, *spatium epidurales (peridurale)*. Находится между стенкой позвоночного канала и твердой оболочкой спинного мозга. Заполнено жировой тканью и содержит венозные сплетения. Рис. Г.

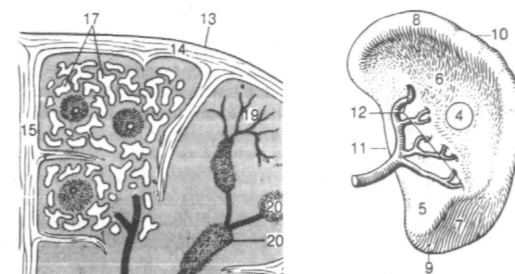


Рис. А. Селезенка

Рис. Б. Микроскопическое строение селезенки (схема)

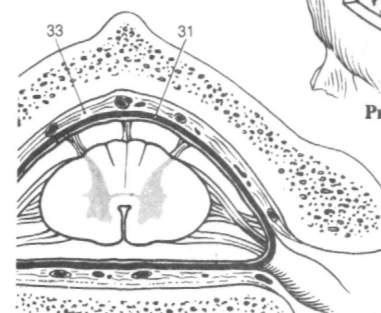


Рис. В. Серп мозга и намет мозжечка

Рис. Г. Оболочки спинного мозга

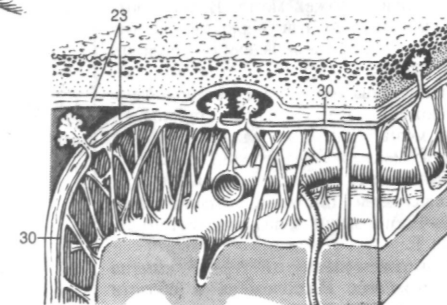


Рис. Д. Оболочки головного мозга



Паутинная оболочка головного мозга, *arachnoidea mater cranialis (encephali)*. Тонкая, лишенная сосудов, мембрана, которая удерживается относительно твердой оболочкой только за счет силы поверхностного натяжения, а к мягкой оболочке прикрепляется при помощи соединительнотканых тяжей. Рис. Г.

Подпаутинное пространство, *spatium subarachnoideum*. Находится между паутинной и мягкой оболочками. Пронизано соединительноткаными трабекулами и заполнено спинномозговой жидкостью. Рис. Г.

Спинномозговая жидкость, *liquor cerebrospinalis*. Характеризуется низким количеством белка и содержит от 2-х до 6-ти клеток в 1 мм. Выделяется сосудистыми сплетениями и попадает в подпаутинное пространство через отверстия в стенке четвертого желудочка.

Подпаутинные цистерны, *cisternae subarachnoideae*. Локальные расширения подпаутинного пространства, содержащие спинномозговую жидкость.

Мозжечково-мозговая (большая) цистерна, *cisterna cerebellomedullaris (magna)*. Находится между мозжечком и продолговатым мозгом. Сообщается с четвертым желудочком через срединную апертуру и продолжается в подпаутинное пространство спинного мозга. Рис. Б.

Цистерна латеральной ямки большого мозга, *cisterna fossae lateralis cerebri*. Определяется в латеральной борозде между островком, теменной, лобной и височной долями. Содержит ветви средней мозговой и островковой артерий. Рис. В.

Цистерна перекреста, *cisterna chiasmatica*. Локализуется вокруг зрительного перекреста. Рис. Б.

Межножковая цистерна, *cisterna interpeduncularis*. Расположена позади цистерны перекреста с латеральной стороны от височной доли и ножек мозга. В ней проходят глазодвигательный нерв, базилярная, верхняя мозжечковая и задняя мозговая артерии. Рис. Б.

Охватывающая цистерна, *cisterna ambiens*. Расположена с латеральной стороны от ножки мозга. Содержит заднюю мозговую, верхнюю мозжечковую артерии, базальную (Розенталя) вену и блоковый нерв. Рис. Е.

10 Перикаллезная цистерна, *cisterna pericallosa*. Расположена вдоль мозолистого тела. Рис. Е.

11 Мосто-мозжечковая цистерна, *cisterna pontocerebellaris*. Расположена в области мосто-мозжечкового угла и через латеральную апертуру сообщается с четвертым желудочком. Рис. Д.

12 Грануляции паутинной оболочки, *granulationes arachnoidalis*. Бессосудистые, имеющие форму ворсинок выросты пау-

тинной оболочки, проникающие в сагиттальный синус или диплоические вены и фильтрующие в крови спинномозговую жидкость из подпаутинного пространства. Интенсивное образование этих структур начинается после 10 лет. Рис. Г.

13 Паутинная оболочка спинного мозга, *arachnoidea mater spinalis*. Тонкая, лишенная сосудов мембрана, которая фиксируется относительно твердой оболочки только за счет силы поверхностного натяжения, а к мягкой оболочке прикрепляется с помощью соединительнотканых тяжей. Рис. А.

14 Подпаутинное пространство, *spatium subarachnoideum*. Находится между паутинной и мягкой оболочками спинного мозга. Пронизано соединительноткаными трабекулами и заполнено спинномозговой жидкостью. Рис. А.

15 Спинномозговая жидкость, *liquor cerebrospinalis*. Вырабатывается преимущественно сосудистыми сплетениями. Содержит от 2-х до 6-ти клеток в 1 мм<sup>3</sup> и характеризуется низким содержанием белка.

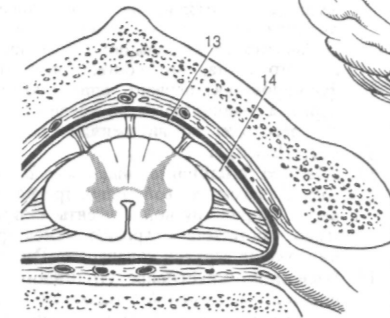


Рис. А. Оболочки спинного мозга

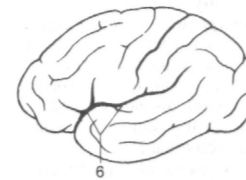


Рис. В. Полушарие большого мозга (вид с латеральной стороны)

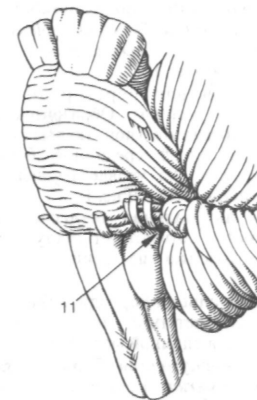


Рис. Д. Мосто-мозжечковая цистерна



Рис. Б. Сагиттальный разрез головного мозга

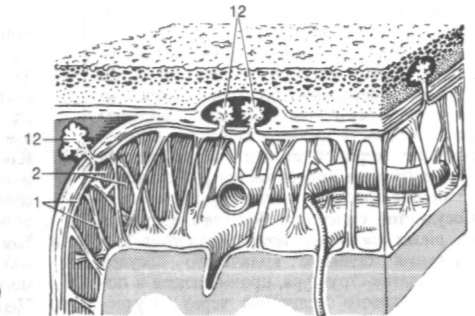


Рис. Г. Оболочки головного мозга

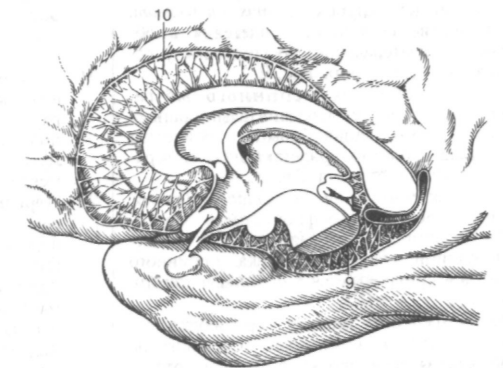


Рис. Е. Подпаутинные цистерны на сагиттальном разрезе головного мозга [7]

- 1 Мягкая оболочка головного мозга, *pia mater cranialis (encephali)*. Тонкий, содержащий сплетение мелких сосудов, соединительнотканый листок, который покрывает поверхность мозга и заходит во все его борозды.
- 2 Сосудистая основа четвертого желудочка, *tela choroidea ventriculi quarti*. Тонкая пластинка, состоящая из мягкой оболочки и эпендимы в нижней части крыши четвертого желудочка. Латерально прикрепляется к *tenia ventriculi quarti*, имеет срединную и две латеральные апертуры. Рис. Б.
- 3 Сосудистое сплетение четвертого желудочка, *plexus choroideus ventriculi quarti*. Парное бахромчатое образование, которое состоит из содержащих сосуды выростов внутреннего листка *tela choroidea*, покрытых эпендимой. Сплетение заходит в латеральные апертуры желудочка. Рис. Б.
- 4 Сосудистая основа третьего желудочка, *tela choroidea ventriculi tertii*. Тонкая, покрытая эпендимой пластинка мягкой оболочки, расположенная между лентами таламуса. Рис. В.
- 5 Сосудистое сплетение третьего желудочка, *plexus choroideus ventriculi tertii*. Парная, содержащая большое количество сосудов, ворсинчатая структура, выступающая в полость третьего желудочка со стороны его верхней стенки. Через *foramen interventriculare* продолжается в сосудистое сплетение бокового желудочка. Рис. В.
- 6 Сосудистое сплетение бокового желудочка, *plexus choroideus ventriculi lateralis*. Содержащая большое количество сосудов ворсинчатая структура, проникающая в полость бокового желудочка через сосудистую щель. От межжелудочкового отверстия продолжается до нижнего рога. Рис. В.
- 7 Сосудистый клубок, *glomus choroideum*. Утолщение сосудистого сплетения в области коллатерального треугольника у основания заднего рога. Рис. В.
- 8 Мягкая оболочка спинного мозга, *pia mater spinalis*. Соединительнотканый листок, содержащий большое количество сосудов и плотно прилегающий к поверхности спинного мозга. Рис. А.
- 9 Зубчатая связка, *lig. denticulatum*. Тонкая, ориентированная во фронтальной плоскости пластинка, которая проходит между передними и задними корешками спинного мозга и прикрепляется к *dura mater spinalis*. Рис. А.
- 10 Промежуточная шейная перегородка, *septum cervicale intermedium*. Соединительнотканная перегородка в шейном отделе спинного мозга. Берет начало от мягкой оболочки и заходит в задний канатик между тонким и клиновидным пучками. Рис. А,

- покрытый мягкой оболочкой. Проходит внутри *filum terminate externum*. Рис. Г, Д.
- 12 ЦЕНТРАЛЬНАЯ НЕРВНАЯ СИСТЕМА, *systema nervosum centrale*. Состоит из головного и спинного мозга.
- 13 СПИННОЙ МОЗГ, *medulla spinalis*. Состоит из белого и серого вещества (белое вещество, в отличие от серого, характеризуется высоким содержанием миелина). Начинается от каудального конца продолговатого мозга, что соответствует месту формирования первого спинномозгового нерва, а заканчивается на уровне L1 - 2, где переходит во внутреннюю концевую нить. Рис. А, Г.
- 14 Шейное утолщение, *intumescencia cervicalis*. Включает в свой состав третий шейный - второй грудной сегменты спинного мозга. Соответствует уровню сегментарной иннервации верхней конечности. Рис. Г.
- 15 Пояснично-крестцовое утолщение, *intumescencia lumbosacralis*. Включает в свой состав первый поясничный - третий крестцовый сегменты спинного мозга. Соответствует области сегментарной иннервации нижней конечности. Рис. Г.
- 16 Мозговой конус, *conus medullaris*. Каудальный заостренный конец спинного мозга, который на уровне L1 - 2 продолжается в концевую нить. Рис. Г.
- 17 Концевая нить (спинномозговая), *filum terminate (spinale)*. Является продолжением спинного мозга и заканчивается на задней поверхности копчика. Рис. Г, Д.
- 18 Концевой желудочек, *ventriculus terminalis*. Расширение центрального канала в мозговом конусе. Рис. Д.
- 19 Передняя срединная щель/кшга *mediana anterior*. Глубокая продольная щель на передней поверхности спинного мозга. Рис. Е.
- 20 Задняя срединная борозда, *sulci4S mediana posterior*. Расположена между задними канатиками. Рис. Е.
- 21 Задняя срединная перегородка, *septum medianum posterius*. Образована паутинной соединительной тканью и расположена в задней срединной борозде. Лучше выражена на уровне грудных сегментов спинного мозга. Рис. Е.
- 22 Передняя латеральная борозда, *sulcus anterolateral*. Соответствует месту выхода переднего корешка из спинного мозга. Рис. Е.
- 23 Задняя латеральная борозда, *sulcus posterolateralis*. Соответствует месту выхода заднего корешка в спинной мозг. Рис. Е.
- 24 Задняя промежуточная борозда, *sulcus intermedius posterior*. Неглубокая продольная щель по обе стороны от *sulcus medianus posterior*. Является наружной границей между тонким и клиновидным пучками. Рис. Е.

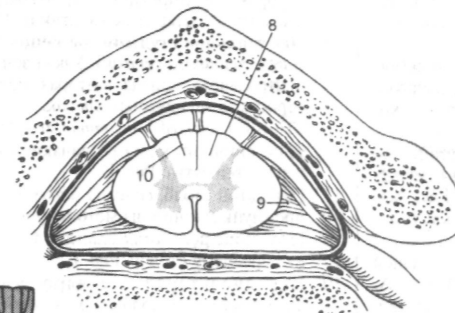


Рис. А. Оболочки спинного мозга



Рис. Б. Крыша ромбовидной ямки (четвертого желудочка)

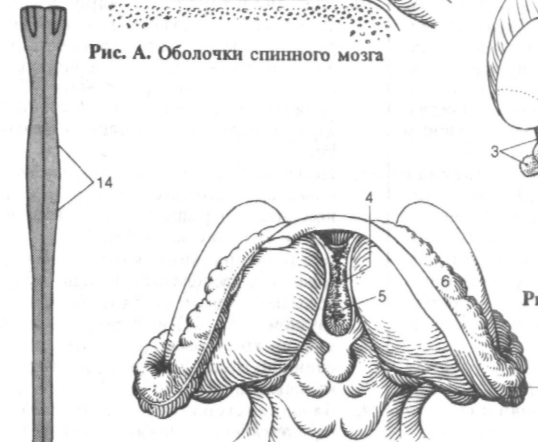


Рис. В. Сосудистое сплетение бокового желудочка

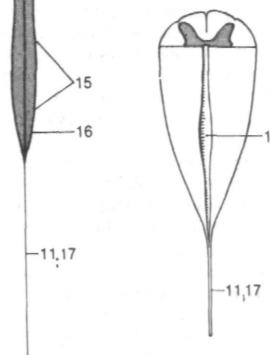


Рис. Г. Спинной мозг

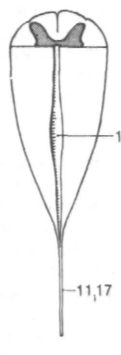


Рис. Д. Нижний конец спинного мозга

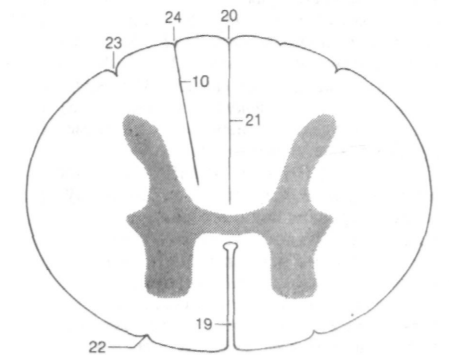


Рис. Е. Поперечный срез спинного мозга

- 1 Канатики спинного мозга, *funiculi medullae spinalis*. Три столба белого вещества, разделенные между собой передними и задними рогами серого вещества, а также соответствующими корешковыми нитями.
- 2 Передний канатик, *funiculus anterior*. Лежит между передней срединной щелью с одной стороны, передним рогом и его корешковыми нитями - с другой. Рис. А.
- 3 Боковой канатик, *funiculus lateralis*. Находится снаружи серого вещества между передними и задними корешками. Рис. А.
- 4 Задний канатик, *funiculus posterior*. Расположен между задним рогом и его корешковыми нитями с одной стороны, задней срединной перегородкой - с другой. Рис. А.
- 5 Сегменты спинного мозга, *segmenta medullae spinalis*. Участки мозга, корешковые нити которых формируют одну пару спинномозговых нервов, проходящих через соответствующие межпозвоночные отверстия. На изолированном спинном мозге границы между сегментами отсутствуют.
- 6 Шейные сегменты [1 - 8] = шейная часть, *segmenta cervicalia* [1 - 57] = *pars cervicalis*. Корешковые нити 1-7 сегментов выходят из позвоночного канала выше соответствующего им по номеру позвонка, а корешковые нити восьмого сегмента идут ниже тела С 7. Шейная часть спинного мозга имеет протяженность от атланта до середины С7. Рис. В.
- 7 Грудные сегменты [1 - 12] = грудная часть, *segmenta thoracica* [1 • 12] = *pars thoracica*. Расположены на протяжении от середины С 7 до середины Т 11. Рис. В.
- 8 Поясничные сегменты [1 - 5] = поясничная часть, *segmenta lumbalia* [1 - 5] = *pars lumbalis*. Проецируются от середины Т 11 до верхнего края тела L 1. Рис. В.
- 9 Крестцовые сегменты [1 - 5] = крестцовая часть, *segmenta sacralia* [1 - 5] = *pars sacralia*. Лежат позади тела L 1. Рис. В.
- 10 Копчиковые сегменты [1 - 3] = копчиковая часть, *segmenta coccygea* [1 - 3] = *pars coccygea*. Три небольших по размеру сегмента спинного мозга. Рис. В.
- 11 СРЕЗЫ СПИННОГО МОЗГА, *sectiones medullae spinalis*. Служат для описания внутреннего строения спинного мозга.
- 12 Центральный канал, *canalis centralis*. Облитерированный остаток полости нервной трубки. Расположен внутри центрального промежуточного вещества. Рис. А, Г.
- 13 Серое вещество, *substantia grisea*. Находится внутри от белого вещества и состоит из мультиполярных ганглиозных клеток, формирующих на протяжении спинного мозга симметричные сплошные столбы, связанные между собой. На поперечных срезах им соответствуют рога серого вещества, форма и размер которых варьируют в разных частях спинного мозга. Рис. А.

- 14 Белое вещество, *substantia alba*. Образовано миелиновыми нервными волокнами, которые группируются в проводящие пути и входят в состав трех канатиков. Рис. А.
- 15 Центральное студенистое вещество, *substantia gelatinosa centralis*. Узкая зона вокруг центрального канала, которая состоит из отростков эпендимных клеток.
- 16 СЕРЫЕ СТОЛБЫ, *columnae griseae*. В составе спинного мозга различают три столба серого вещества. Рис. Б.
- 17 Передний столб, *columna anterior*. Состоит преимущественно из мотонейронов. Рис. Б.
- 18 Передний рог, *cornu anterius*. Соответствует переднему столбу. Рис. Г.
- 19 Переднелатеральное ядро, *nucleus anterolateralis*. Расположено в переднелатеральном отделе переднего рога четвертого - восьмого шейных (С4 - 8) и второго поясничного - первого крестцового (L2 - S1) сегментов спинного мозга. Нейроны этого ядра иннервируют мышцы конечностей. Рис. Г.
- 20 Переднемедиальное ядро, *nucleus anteromedialis*. Находится в переднемедиальном отделе переднего рога на всем протяжении спинного мозга. Рис. Г.
- 21 Заднелатеральное ядро, *nucleus posterolateralis*. Расположено позади переднелатерального ядра в пятом шейном - первом грудном (С5 - Т1) и втором поясничном - втором крестцовом (L2 - S2) сегментах спинного мозга. Его нейроны иннервируют мышцы конечностей. Рис. Г.
- 22 Заднелатеральное ядро, *nucleus retroposterolateralis*. Лежит позади заднелатерального ядра в восьмом шейном - первом грудном (С8 - Т1) и первом - третьем крестцовых (S1 - 3) сегментах спинного мозга. Рис. Г.
- 23 Заднемедиальное ядро, *nucleus posteromedialis*. Находится рядом с белой спайкой на протяжении первого грудного - третьего поясничного (Т1 - L3) сегментов спинного мозга. Нейроны этого ядра, вероятно, иннервируют мышцы туловища. Рис. Г.
- 24 Центральное ядро, *nucleus centralis*. Небольшая по размеру, без четких границ группа нейронов в некоторых шейных и поясничных сегментах. Рис. Г.
- 25 Ядро добавочного нерва, *nucleus nervi accessorii* (*nuc. accessorius*). Расположено в верхних шести шейных сегментах (С1 - 6) вблизи переднелатерального ядра. Отростки нейронов ядра формируют спинномозговую часть добавочного нерва. Рис. Г.
- 26 Ядро диафрагмального нерва, *nucleus nervi phrenici* (*nuc. phrenicus*). Лежит в середине переднего рога на протяжении четвертого - седьмого шейных сегментов (С4 - 7). Рис. Г.

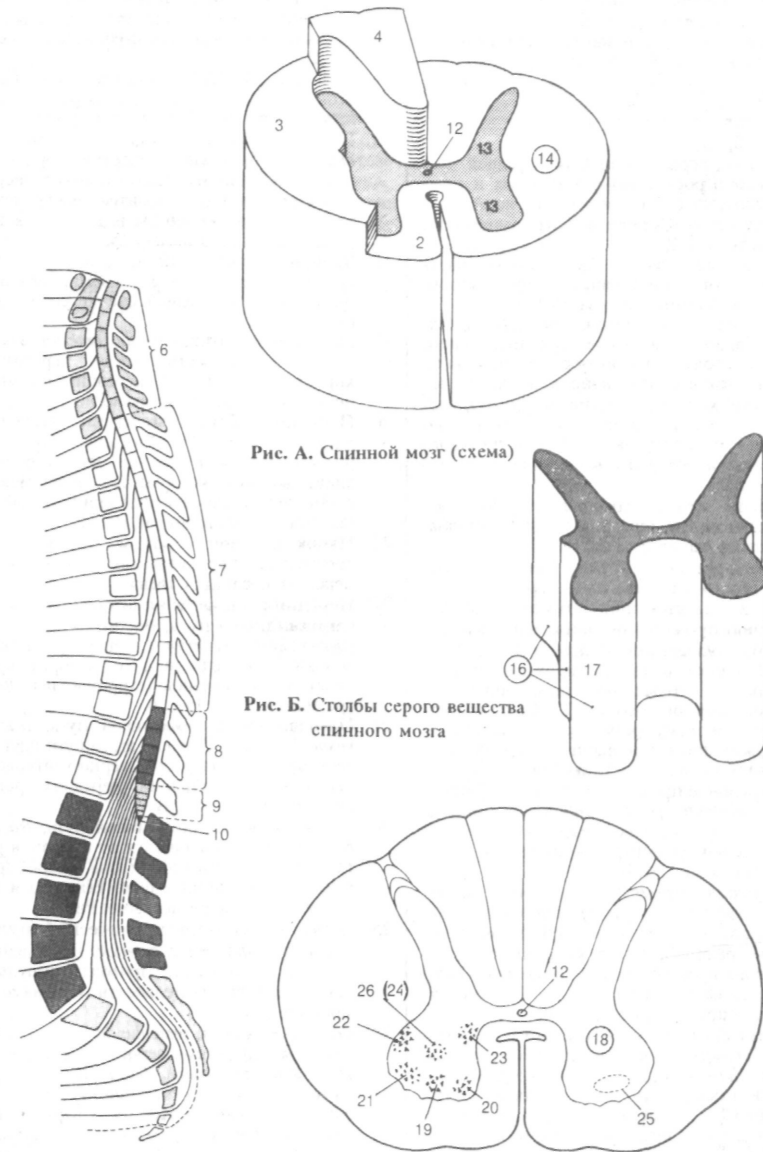


Рис. А. Спинальный мозг (схема)

Рис. Б. Столбы серого вещества спинного мозга

Рис. В. Сегменты спинного мозга Рис. Г. Ядра переднего рога серого вещества спинного мозга

- 1 Задний столб, *columna posterior*. В его состав входят, главным образом, интернейроны - элементы чувствительных и ассоциативных систем. Рис. Б.
- 2 Задний рог, *cornu posterius*. Поперечный срез заднего столба. Рис. А.
- 3 *Верхушка, apex*. Часть заднего рога, которая прилежит к вентральной стороне к студенистому веществу и состоит из крупных нейронов. Рис. А, В.
- 4 Головка, *caput*. Расширение средней части заднего рога в нижних шейных и грудных сегментах спинного мозга. Рис. А.
- 5 *Шейка, cervix*. Суженная часть заднего рога между головкой и основанием. Рис. А.
- 6 Основание, *basis*. Расширенная часть заднего рога, прилежащая к промежуточной зоне серого вещества. Рис. А.
- 7 Студенистое вещество, *substantia gelatinosa*. Расположено возле верхушки заднего рога. Состоит, главным образом, из стальных клеток и мелких нейронов. Рис. А, В.
- 8 Вторичное висцеральное вещество, *substantia visceralis secundaria*. Расположено спереди от центрального промежуточного вещества и содержит вегетативные нейроны. Рис. А.
- 9 Боковой столб, *columna lateralis*. Расположен между передним и задним столбами серого вещества. Рис. Б.
- 10 Боковой рог, *cornu laterale*. Небольшой выступ серого вещества на поперечном срезе Т1 - L2 сегментов спинного мозга. Рис. А.
- 11 Боковой промежуточный столб (автономный), *columna intermediolateralis (autonomica)*. Определяется на протяжении всех грудных и первых двух поясничных сегментов спинного мозга (Т1 - L2). Соответствует боковому рогу серого вещества и содержит преганглионарные нейроны вегетативной нервной системы. Рис. А, Б.
- 12 Центральное промежуточное [серое] вещество, *substantia [grisea] intermedia centralis*. Состоит из мелких нейронов, расположенных вокруг центрального канала спинного мозга. Рис. А, В.
- 13 Латеральное промежуточное [серое] вещество, *substantia [grisea] intermedia lateralis*. Нейроны симпатической нервной системы, расположенные снаружи от центрального промежуточного вещества. Определяется на протяжении Т1 - L2 сегментов спинного мозга. Рис. А, В.
- 14 Грудной столб [[Штиллинга - Кларка]] (грудное ядро), *columna thoracica (nuclei thoracicus)* [[Stilling-Clarke]]. Расположен в основании заднего рога на протяжении С8 - L2 сегментов спинного мозга. Принадлежит заднему спинномозжечковому пути. Рис. А, В.
- 15 Крестцовые парасимпатические ядра, *nuclei parasymphathici sacrales*. Нейроны парасимпатической нервной системы в S2 - 4 сегментах спинного мозга между передними и задними рогами.
- 16 Ретикулярная формация, *formatio reticularis*. Комплекс белого и серого вещества,

- имеющий сетевидное строение в углу между передними и задними рогами. Рис. А, В.
- 16a Передняя/задняя серая спайка, *commissura grisea anterior/posterior*. Серое вещество спереди/сзади от центрального канала. Рис. В.
- 17 БЕЛОЕ ВЕЩЕСТВО, *substantia alba*. Состоит, главным образом, из покрытых миелиновой оболочкой нервных волокон.
- 18 Передняя белая спайка, *commissura alba anterior*. Образована поперечно ориентированными, перекрещивающимися нервными волокнами. Находится между центральным промежуточным веществом и передней срединной щелью. Рис. В.
- 18a Задняя белая спайка, *commissura alba posterior*. Образована волокнами, перекрещивающимися в задней спайке серого вещества.
- 19 Передний канатик, *funiculus anterior*. Участок белого вещества между передними корешковыми нитями, передним рогом и передней срединной щелью. Рис. А, В.
- 20 Передние собственные пучки, *fasciculi proprii anteriores*. Расположены вокруг переднего столба и состоят из различной длины волокон, которые соединяют между собой отдельные сегменты спинного мозга (ассоциативные волокна). Рис. В.
- 21 Пучок краевой борозды, *fasciculus sulcomarginalis*. Ассоциативные волокна возле передней срединной щели.
- 22 Передний корково-спинномозговой (пирамидный) путь, *tractus corticospinalis (pyramidalis) anterior*. Неперекрещенные волокна пирамидного пути, которые проходят с латеральной стороны передней срединной щели. Рис. В.
- 23 Преддверно-спинномозговой путь, *tractus vestibulospinalis*. Волокна этого пути идут от вестибулярных ядер преддверно-улиткового нерва к мотонейронам передних рогов спинного мозга. Рис. В.
- 24 Ретикулярно-спинномозговой путь, *tractus reticulospinalis*. Начинается от нейронов ретикулярной формации ствола мозга, проходит в середине переднего канатика и заканчивается в переднем роге. Рис. В.
- 25 Передний спинно-таламический путь, *tractus spinothalamicus anterior*. Восходящие волокна к таламусу. Проводят импульсы тактильной чувствительности (осязание и давление). Рис. В.
- 26 Боковой канатик, *funiculus lateralis*. Расположен между рогами серого вещества и их корешковыми нитями. Рис. А, В.
- 27 Латеральные собственные пучки, *fasciculi proprii laterales*. Короткие нервные волокна вблизи серого вещества, соединяющие отдельные сегменты спинного мозга. Рис. В.
- 28 Латеральный корково-спинномозговой (пирамидный) путь, *tractus corticospinalis (pyramidalis) lateralis*. Занимает значительную часть площади бокового канатика и проводит двигательные импульсы от коры головного мозга. Рис. В.

- 29 Красноядерно-спинномозговой [[Монаков]] путь, *tractus rubrospinalis* [[Mona-kow]]. Находится спереди от латерального корково-спинномозгового пути. Начинается от клеток красного ядра и заканчивается на нейронах передних рогов. Рис. В.
- 30 Луквично-ретикулярно-спинномозговой путь, *tractus buworeticulospinalis*. Его наличие у человека - предмет дискуссии.
- 31 Мосто-ретикулярно-спинномозговой путь, *tractus pontoreticulospinalis*. Нет убедительных доказательств его наличия у человека.
- 32 Покрышечно-спинномозговой путь, *tractus tectospinalis*. Находится латерально от передней срединной щели в переднем канатике. Состоит из отростков нейронов, расположенных в *lamina tecti*, которые в стволе мозга образуют перекрест и заканчиваются на нейронах передних рогов. Рис. В.
- 33 Оливоспинномозговой путь, *tractus olivospinalis*. Присутствует в шейных сегментах спинного мозга. Начинается от нейронов оливы и заканчивается на клетках передних рогов. Рис. В.

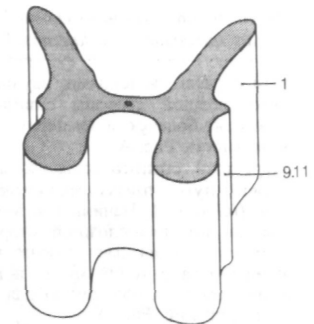


Рис. Б. Столбы серого вещества спинного мозга

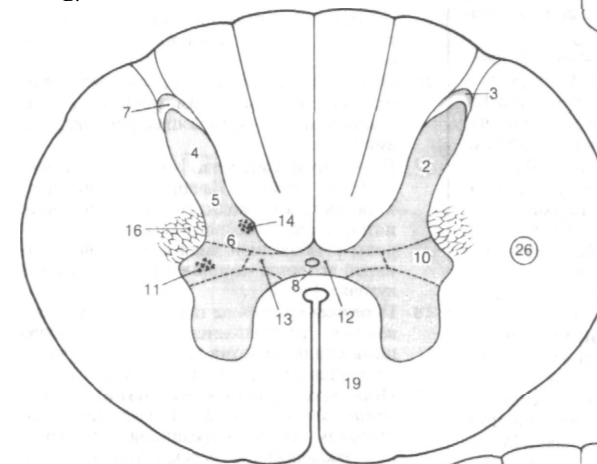


Рис. А. Поперечный разрез спинного мозга

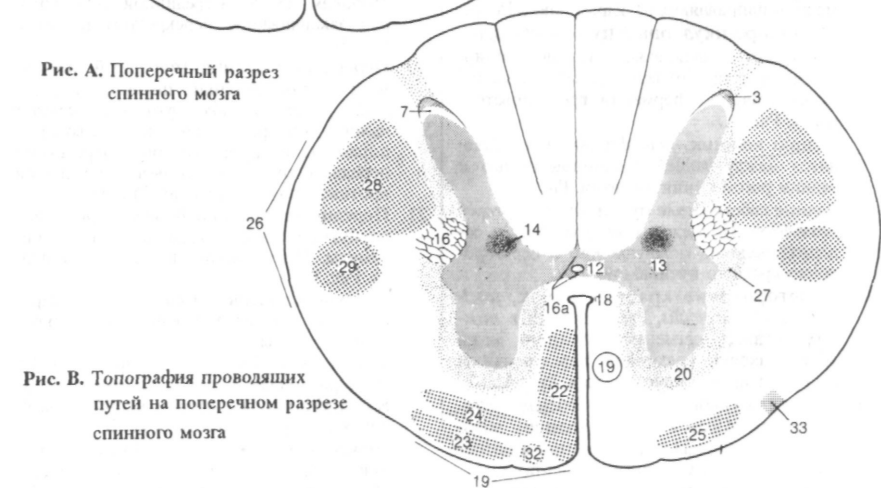
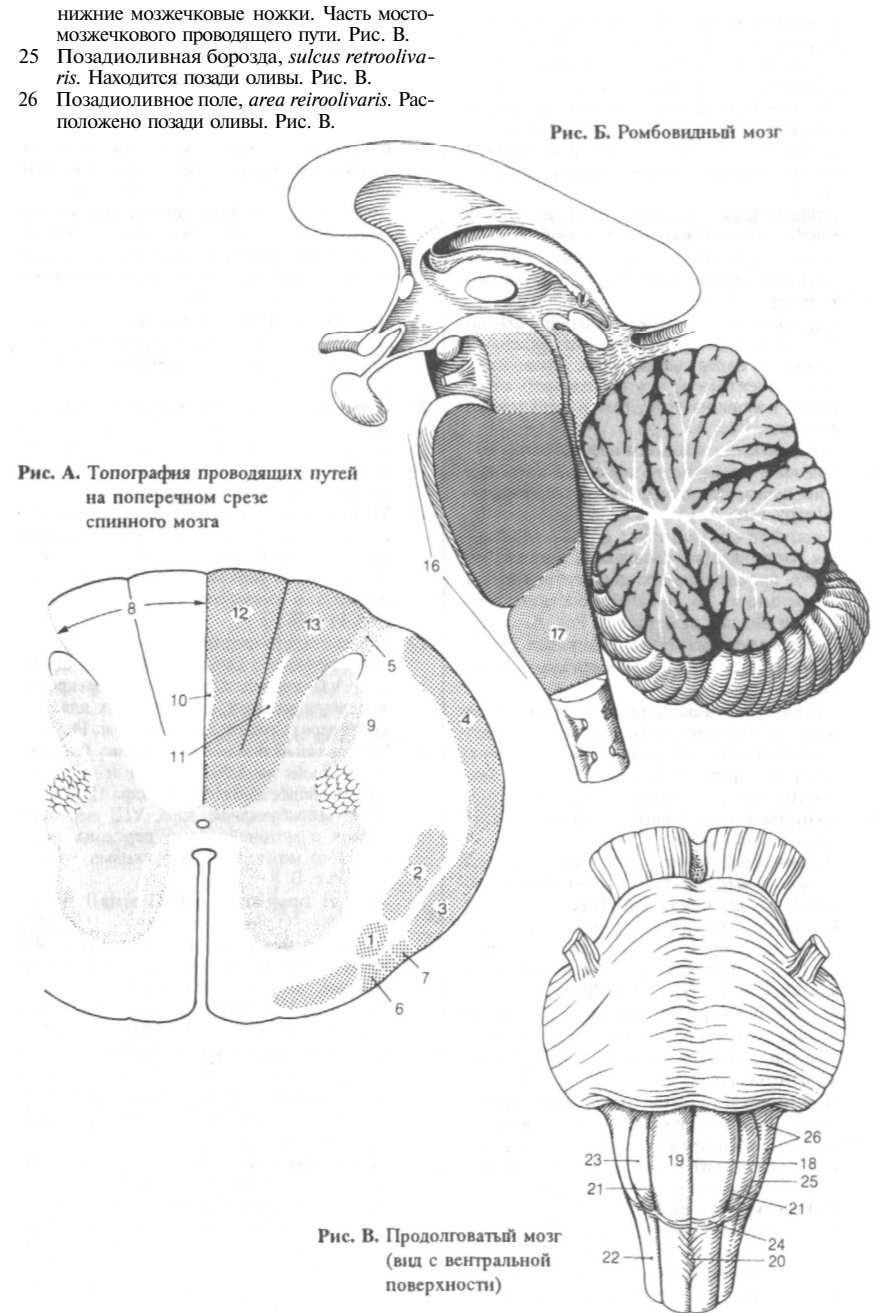


Рис. В. Топография проводящих путей на поперечном разрезе спинного мозга

- 1 Спинно-покрышечный путь, *tractus spinotectalis*. Начинается от клеток заднего рога противоположной стороны, проходит спереди латерального спинно-таламического пути и заканчивается в *lamina tecti*. Рис. А.
- 2 Латеральный спинно-таламический путь, *tractus spinothalamicus lateralis*. Расположен в боковом канатике и формируется, главным образом, волокнами, идущими с противоположной стороны спинного мозга. Проводит болевую и температурную чувствительность. Рис. А.
- 3 Передний спинно-мозжечковый [[Говерса]] путь, *tractus spinocerebellaris anterior* [[Gowers]]. Начинается большей частью на противоположной стороне спинного мозга и передает к мозжечку информацию о растяжении мышц и положении конечностей, необходимую для координации движений. Рис. А.
- 4 Задний спинно-мозжечковый [[Флексиго]] путь, *tractus spinocerebellaris posterior* [[Flechsig]]. В спинном мозге остается неперекрещенным. Функция подобна переднему спинно-мозжечковому пути. Рис. А.
- 5 Дорсолатеральный [[Лиссауэра]] путь, *tractus dorsolateral* [[Lissauer]]. Расположен между верхушкой заднего рога и поверхностью спинного мозга. Входящие в его состав миелиновые и безмиелиновые волокна поднимаются на один - два сегмента и заканчиваются на клетках заднего столба серого вещества. Рис. А.
- 6 Спинно-оливный путь [[Гельвега]] путь, *tractus spinoolivaris* [[Helmholtz]]. Расположен вблизи передних корешковых нитей рядом с *tractus olivospinalis*. Его волокна переходят на противоположную сторону спинного мозга и направляются к ядрам оливы. Рис. А.
- 7 Спинно-регулярный путь, *tractus spinoreticularis*. Расположен позади спинно-оливного пути. Его волокна заканчиваются в ретикулярной формации продолговатого мозга. Рис. А.
- 8 Задний канатик, *funiculus posterior*. Находится между задней срединной щелью и задним рогом спинного мозга. Рис. А.
- 9 Задние собственные пучки, *fasciculi proprii posteriores*. Прилежат к заднему рогу и содержат волокна межпучкового и перегородочно-краевого пучков. Рис. А.
- 10 Перегородочно-краевой пучок, *fasciculus septomarginalis*. Располагается в нижних грудных сегментах спинного мозга вблизи задней срединной перегородки и содержит нисходящие волокна. Рис. А.
- 11 Межпучковый пучок, *fasciculus inter-fascicularis*. Состоит из нисходящих волокон [запятовидный путь Шульце] и расположен в верхних грудных сегментах спинного мозга между тонким и клиновидным пучками. Рис. А.
- 12 Тонкий [[Голля]] пучок, *fasciculus gracilis* [[Goll]]. Находится в медиальном отделе заднего канатика на всем протяжении спинного мозга. Образован волокнами задних корешков нижних грудных, поясничных, крестцовых и копчиковых сегментов спинного мозга и служит для проведения проприоцептивной и тактильной чувствительности. Рис. А.
- 13 Клиновидный [[Бурдаха]] пучок, *fasciculus cuneatus* [[Burdach]]. Расположен латерально от тонкого пучка на протяжении шейных и верхних грудных сегментов спинного мозга. Образован волокнами задних корешков соответствующих сегментов и служит для проведения проприоцептивной и тактильной чувствительности. Рис. А.
- 14 ГОЛОВНОЙ МОЗГ, *encephalon*.
- 15 СТВОЛ ГОЛОВНОГО МОЗГА, *truncus encephali*. Состоит из продолговатого мозга, моста и среднего мозга. Некоторые авторы к стволу относят промежуточный мозг и островок.
- 16 РОМБОВИДНЫЙ МОЗГ, *rhombencephalon*. Состоит из мозжечка, моста и продолговатого мозга, окружающих ромбовидную ямку. Рис. Б.
- 17 Продолговатый мозг [бульбус], *medulla oblongata* (bulbus). Начинается у нижнего края моста и продолжается до корешковых нитей первого шейного сегмента. Со стороны ромбовидной ямки его верхней границей являются мозговые полоски 4-го желудочка. Рис. Б.
- 18 Передняя срединная щель, *fissura mediana anterior*. Продолжается в одноименную щель спинного мозга. В ее нижней части находится перекрест пирамид. Рис. В.
- 19 Пирамида [продолговатого мозга], *pyramis* [*medullae oblongatae*]. Возвышение по сторонам передней срединной щели, которое заканчивается перекрестом пирамид. Рис. В.
- 20 Перекрест пирамид (передний моторный пирамидальный перекрест), *decussatio pyramidum* (*dec. pyramidalis anterior motoria*). От трех до пяти пучков волокон пирамидного пути, которые пересекают переднюю срединную щель и переходят на противоположную сторону. Рис. В.
- 21 Передне-латеральная борозда, *sulcus anteriorolateralis*. Расположена латеральнее пирамиды. Место выхода подъязычного нерва. Рис. В.
- 22 Боковой канатик, *funiculus lateralis*. Продолжение латерального канатика спинного мозга до оливы. Рис. В.
- 23 Олива, *oliva*. Имеет длину примерно 1,5 см и расположена между корешками блуждающего и подъязычного нервов. Содержит ядра серого вещества. Рис. В.
- 24 Передние наружные дугообразные волокна, *fibrae arcuatae externae anteriores*. Начинаются от дугообразного ядра, огибают каудальный конец оливы и заходят в



нижние мозжечковые ножки. Часть мостомозжечкового проводящего пути. Рис. В.

25 Позадиоливиная борозда, *sulcus retroolivaris*. Находится позади оливы. Рис. В.

26 Позадиоливиное поле, *area retroolivaris*. Расположено позади оливы. Рис. В.

- 1 Заднелатеральная борозда, *sulcus posterolateralis*. Продолжается в латеральный карман IV желудочка. ^Лесто выхода IX, X и XI черепных нервов. З>ис. А.
- 2 Нижняя мозжечковая ножка, *pedunculus cerebellaris inferior*. Содержит волокна, соединяющие мозжечок с оливой и спинным мозгом (*tractus spino cerebellaris posterior*) Рис. А.
- 3 **Тройничный бугорок, *tuberculum trigeminal***. Возвышение на боковой поверхности продолговатого мозга, соответствующее спинномозговому пути тройничного нерва. Рис. Б.
- 4 Клиновидный пучок, *fasciculus cuneatus*. Находится в латеральной части заднего канатика и содержит волокна, проводящие проприоцептивную чувствительность от верхней половины туловища и верхней конечности. Рис. А.
- 5 Бугорок клиновидного ядра, *tuberculum cuneatum*. Возвышение на конце клиновидного пучка, соответствующее одноименному ядру. Рис. А.
- 6 Тонкий пучок, *fasciculus gracilis*. Медиальная часть заднего канатика. Содержит волокна, проводящие проприоцептивную чувствительность от нижней половины туловища и нижней конечности. Рис. А.
- 7 Бугорок тонкого ядра, *tuberculum gracile*. Возвышение над одноименным ядром. Рис. А.
- 8 Задняя срединная борозда, *sulcus medianus posterior*. Является продолжением соответствующей борозды спинного мозга. Сверху через нее перекидывается пластинка мозгового вещества (задвига). Рис. А.
- 9 Разрезы продолговатого мозга, *sectiones medullae oblongatae*.
- 10 Гамма-пучок, *fasciculus pyramidalis*. Передает импульсы, обеспечивающие произвольные движения. Рис. В, Г.
- 11 Кортико-спинномозговые волокна, *fibrae corticospinales*. Начинаются от нейронов прецентральной извилины и заканчиваются на клетках передних рогов.
- 12 Кортико-ядерные волокна, *fibrae corticonucleares*. Соединяют кору прецентральной извилины с двигательными ядрами черепных нервов.
- 13 Перекрест пирамид (вмоторный перекрест), *decussatio pyramidalium (dec. motoria)*. В нижней части продолговатого мозга волокна латерального корково-спинномозгового пути 3 - 5 пучками переходят на противоположную сторону. Рис. Б.
- 14 Тонкий пучок, *fasciculus gracilis*. Образует медиальную часть заднего канатика и содержит проприоцептивные волокна от нижней половины туловища и нижней конечности.
- 15 Тонкое ядро, *nucleus gracilis*. Лежит в дорсальной части продолговатого мозга меди-

- ально от клиновидного ядра. Рис. Г.
- 16 Клиновидный пучок, *fasciculus cuneatus*. Находится в латеральной части заднего канатика и содержит проприоцептивные волокна от верхней половины туловища и верхней конечности.
- 17 Клиновидное ядро, *nucleus cuneatus*. Находится в дорсальной части продолговатого мозга латерально от тонкого ядра. Рис. Г.
- 18 Добавочное клиновидное ядро, *nucleus cuneatus accessorius*. Расположено латерально от верхней части клиновидного ядра. Место начала наружных дугообразных волокон к мозжечку. Рис. Г.
- 19 Внутренние дугообразные волокна, *fibrae arcuatae intemae*. Начинаются от тонкого и клиновидного ядер и формируют медиальную петлю. Рис. В.
- 20 Перекрест медиальных петель (чувствительный перекрест), *decussatio lemniscorum medialis (dec. sensoria)*. Место перехода внутренних дугообразных волокон на противоположную сторону. Рис. В, Г.
- 21 Медиальная петля, *lemniscus medialis*. Состоит из отростков 2-х нейронов проводящего пути проприоцептивной чувствительности (*tractus bulbothalamicus*) после их перекреста в *decussatio lemniscorum medialis*. Рис. В, Г.
- 22 Покрышечно-спинномозговой путь, *tractus tectospinal*. Расположен между ядрами V и УП нервов. Состоит из перекрещивающихся волокон, соединяющих пластинку четверохолмия и спинной мозг. Рис. Г.
- 23 Медиальный продольный пучок, *fasciculus longitudinalis medialis*. Состоит из волокон, соединяющих двигательные ядра III, IV, VI, XI и вестибулярные ядра VIII черепных нервов с мотонейронами передних рогов спинного мозга, иннервирующими мышцы шеи. Рис. В.
- 24 Задний продольный пучок, *fasciculus longitudinalis posterior [Schutz]*. Соединяет между собой гипоталамус, добавочное, верхнее и нижнее слонотделительные, двойное ядро, ядро одиночного пути, ядра Vn и XII нервов. Проходит под эпендимой ромбовидной ямки. Рис. В.
- 25 Спинномозговой путь тройничного нерва, *tractus spinalis n. trigeminalis*. Образован нисходящими волокнами тройничного нерва, проводящими болевую и температурную чувствительность. Рис. В, Г.
- 26 Спинномозговое ядро тройничного нерва, *nucleus spinalis nervi trigemini*. Продолжается в студенистое вещество спинного мозга. На нейронах этого ядра заканчиваются волокна спинномозгового пути тройничного нерва. Рис. В, Г.
- 27 Ретикулярная формация, *formatio (substantia) reticularis*. Образована переплетениями восходящих и нисходящих волокон, а также лежащими между ними нервными

- клетками. Находится в дорсальной части продолговатого мозга возле ядер VII, VIII, X черепных нервов. Рис. В.
- 28 Нижнее оливное ядро, *nucleus olivaris inferior*. Расположено "под одноименным возвышением на вентральной поверхности продолговатого мозга. Имеет форму открытого в медиальную сторону кармана с толстыми стенками. Соединяется со спинным мозгом и мозжечком. Рис. В.
- 29 Оливный плащ, *amiculum olivare*. Миеллиновые волокна, окружающие оливу. Рис. В.

- 30 Ворота нижнего оливного ядра, *hilum nuclei olivaris inferioris*. Обращены вверх и медиально. Рис. В.
- 31 Медиальное добавочное оливное ядро, *nucleus olivaris accessorius medialis*. Расположено спереди от ворот нижнего оливного ядра. Рис. В.
- 32 Заднее добавочное оливное ядро, *nucleus olivaris accessorius posterior*. Находится между оливой и ретикулярной формацией. Рис. В.

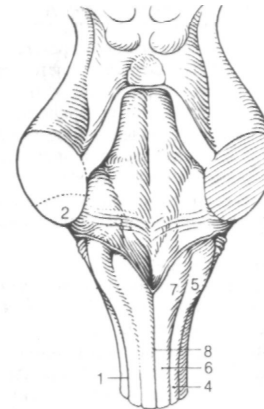


Рис. А. Ромбовидная ямка (дно четвертого желудочка)

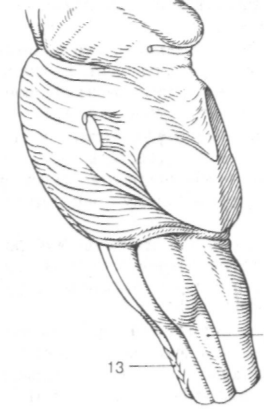
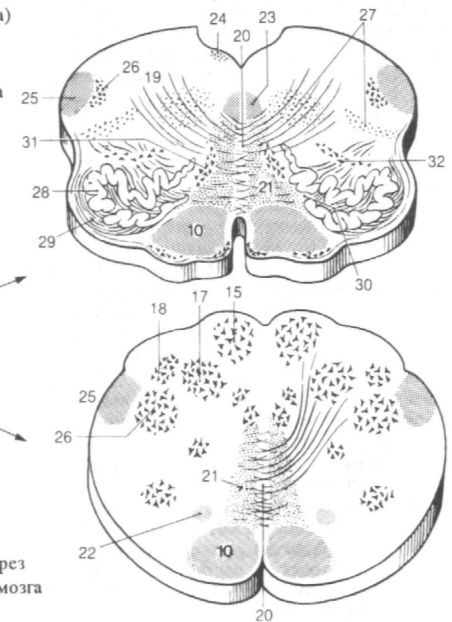


Рис. Б. Мост и продолговатый мозг

Рис. В. Поперечный разрез продолговатого мозга



Рис. Г. Поперечный разрез продолговатого мозга





- 1 Оливоспинномозговой путь, *tractus olivospinalis*. Относится к экстрапиримидным проводящим путям. Заканчивается на мотонейронах передних рогов шейных сегментов спинного мозга. Рис. Г.
- 2 Спинно-оливный путь, *tractus spinoolivaris*. Соединяет ядра серого вещества всех сегментов спинного мозга с оливой и мозжечком (*tractus olivocerebellaris*). Рис. Г.
- 3 **Оливомозжечковый путь, tractus olivocerebellaris**. Волокна пути направляются к мозжечку через его нижние ножки. Рис. Б.
- 4 Нижняя мозжечковая ножка, *pedunculus cerebellaris inferior*. Подходит к мозжечку снизу, не имеет четкой границы со средней мозжечковой ножкой. Содержит, в основном, волокна заднего спинномозжечкового и оливомозжечкового путей. Рис. А, Б.
- 5 Ядро подъязычного нерва, *nucleus nervi hypoglossi (nucleus hypoglossalis)*. Лежит в дорсальной части продолговатого мозга и соответствует одноименному треугольнику ромбовидной ямки. Рис. В, Г.
- 6 Заднее парамедианное ядро, *nucleus paramedianus posterior*. Группа клеток вблизи ядра подъязычного нерва, связанных с ретикулярной формацией.
- 7 Заднее ядро блуждающего нерва, *nucleus dorsalis n. vagi (nucleus vagalis dorsalis)*. Группа вегетативных нейронов латеральнее и ниже ядра подъязычного нерва. Рис. В, Г.
- 8 Вставочное ядро, *nucleus intercalatus*. Нейроны с неизвестной функцией между ядром ХП нерва и *nucleus dorsalis n. vagi*. Рис. В.
- 9 Одиночный путь, *tractus solitarius*. Вкусные волокна VII, IX и X черепных нервов, которые заканчиваются в ядре одиночного пути. Рис. В.
- 10 Ядро одиночного пути, *nucleus solitarius*. Группа нейронов, в составе одиночного пути протяженностью от середины ромбовидной ямки до перекреста пирамид. Рис. В.
- 11 Ядро околоодиночного пути, *nucleus parasolitaris*. Расположено с вентролатеральной стороны от ядра одиночного пути. Функция его клеток не установлена.
- 12 Вестибулярные ядра, *nuclei vestibulares*. Четыре ядра вестибулярной части преддверно-улиткового нерва. Связаны со спинным мозгом, мозжечком и медиальным продольным пучком. Рис. А.
- 13 Нижнее вестибулярное ядро, *nucleus vestibularis inferior*. Расположено снизу и латерально от медиального вестибулярного ядра. Связано с мозжечком и медиальным продольным пучком. Рис. А.
- 14 Медиальное вестибулярное ядро, *nucleus vestibularis medialis*. Лежит латерально от пограничной борозды. Аксоны нейронов этого ядра входят в состав медиальных продольных пучков своей и противоположной стороны. Рис. А.
- 15 Латеральное вестибулярное ядро, *nucleus vestibularis lateralis*. Расположено вблизи латерального кармана (четвертого желудочка) и связано с передними рогами спинного мозга. Рис. А.
- 16 Улитковые ядра, *nuclei cochleares*. Расположены в области латерального кармана (четвертого желудочка), образуя на ромбовидной ямке небольшое возвышение - слуховой бугорок. Рис. А.
- 17 Переднее улитковое ядро, *nucleus cochlearis anterior*. Аксоны клеток этого ядра переходят на противоположную сторону, где вступают в состав латеральной петли. Рис. А.
- 18 Заднее улитковое ядро, *nucleus cochlearis posterior*. Отростки клеток этого ядра в составе мозговых полосок (IV желудочка) направляются по поверхности ромбовидной ямки к средней линии, где погружаются в вещество мозга и присоединяются к трапециевидному телу. Рис. А.
- 19 Комиссуральное ядро, *nucleus commissuralis*. Малоизученное ядро продолговатого мозга.
- 20 Двойное ядро, *nucleus ambiguus*. Расположено позади оливы. Аксоны нейронов этого ядра входят в состав IX, X и XI черепных нервов. Рис. В, Г.
- 21 Нижнее слюноотделительное ядро, *nucleus salivarius inferior*. Вегетативное ядро, от которого начинаются парасимпатические волокна IX нерва. Рис. А, В.
- 22 Дугообразные ядра, *nuclei arcuati*. Расположены спереди и медиально от пирамидного пути и дают начало наружным дугообразным волокнам. Рассматриваются как переместившиеся в каудальном направлении ядра моста. Рис. Б.
- 23 Передние наружные дугообразные волокна, *fibrae arcuatae externae anteriores*. Начинаются от дугообразных ядер, выходят из передней срединной щели, идут назад и вверх по поверхности оливы и пирамиды, а затем вступают в нижние ножки мозжечка. Рис. В.
- 24 Задние наружные дугообразные волокна *fibrae arcuatae externae posteriores*. Начинаются от добавочного клиновидного ядра и проходят в составе нижних ножек мозжечка. Они формируют *tractus cuneocerebellaris* - проводник проприоцептивных импульсов от верхней конечности и, таким образом, замещают задний спинномозжечковый путь в сегментах спинного мозга, расположенных выше С 8. Рис. Г.
- 25 Шов продолговатого мозга, *raphe medullae oblongatae*. Расположен вдоль средней линии продолговатого мозга и образован перекрещивающимися волокнами медиальной петли. Рис. В.
- 26 Ядра шва, *nuclei raphae*. Клетки ретикулярной формации вблизи средней линии продолговатого мозга.

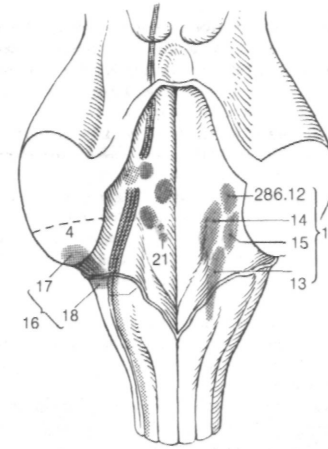


Рис. А. Проекция ядер черепных нервов на поверхность ромбовидной ямки

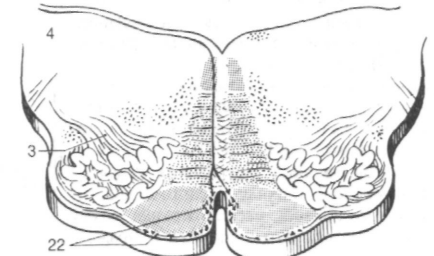


Рис. Б. Поперечный разрез продолговатого мозга

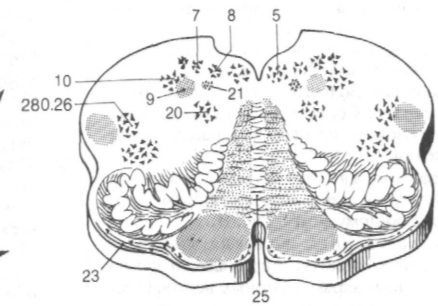
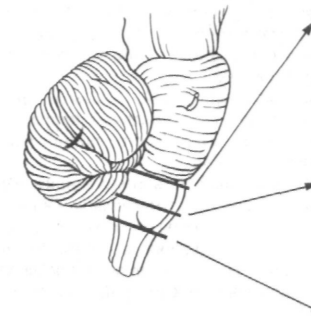


Рис. В. Поперечный разрез продолговатого мозга

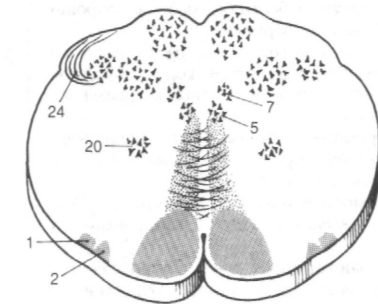


Рис. Г. Поперечный разрез продолговатого мозга

- 1 ЗАДНИЙ МОЗГ, *metencephalon*. Часть ромбовидного мозга. Состоит из моста и мозжечка
- 2 МОСТ, *pons*. Расположен между межжонковой ямкой и пирамидами. Содержит, главным образом, проекционные нервные волокна и группы нейронов. Рис. А, Б.
- 3 Бульбарно-мостовая борозда, *sulcus bulbo-pontinus*. Лежит между продолговатым мозгом и нижним краем моста. Место выхода VI, \П, VIII нервов. Рис. А/
- 4 Базиллярная борозда, *sulcus basilaris*. Идет по средней линии вентральной поверхности моста между возвышениями, соответствующими пирамидным проводящим путям, содержит одноименную артерию. Рис. А, В.
- 5 Средняя мозжечковая ножка, *pedunculus cerebellaris medius (pontinus)*. Соединяет мост с мозжечком. Содержит волокна мостомозжечкового пути. Рис. А.
- 6 Мостомозжечковый треугольник, *trigonum pontocerebellare*. Важная с клинической точки зрения область, расположенная между мостом, продолговатым мозгом и мозжечком. Рис. А.
- 7 РАЗРЕЗЫ МОСТА, *sectiones pontis*.
- 8 Передняя (базиллярная) часть моста, *pars anterior (basilaris) pontis*. Содержит волокна корково-мостового и мостомозжечкового путей. Рис. В.
- 9 Продольные волокна моста, *fibrae pontis longitudinales*. Состоят из описанных ниже групп волокон, идущих в продольном направлении.
- 10 Корково-спинномозговые волокна, *fibrae corticospinales*. Волокна пирамидного пути к спинному мозгу. Рис. В.
- 11 Корково-ядерные волокна, *fibrae cogiticonucleares*. Волокна пирамидного пути к двигательным ядрам черепных нервов. Рис. В.
- 12 Корково-ретикулярные волокна, *fibrae corticoreticulares*. Направляются от коры полушарий большого мозга к нейронам ретикулярной формации.
- 13 Корково-мостовые волокна, *fibrae corticopontinae*. Соединяют кору лобной, затылочной и височной долей с ядрами моста. Рис. В.
- 14 Поперечные волокна моста, *fibrae pontis transversae*. Образованы волокнами мостомозжечкового пути. Рис. В.
- 15 Мостомозжечковые волокна, *fibrae ponto-cerebellares*. Идут к ядрам мозжечка. Рис. В.
- 16 Ядра моста, *nuclei pontis*. Расположены в вентральной части моста. Отростки их нейронов направляются к мозжечку. Рис. В.
- 17 Задняя часть моста (покрышка моста), *pars posterior pontis (tegmentum pontis)*. Находится между четвертым желудочком и трапециевидным телом. Рис. В.

- 18 Шов моста, *raphe pontis*. Расположен по средней линии моста. Образован волокнами мостового ядра тройничного нерва. Рис. В.
- 19 Медиальный продольный пучок, *fasciculus longitudinalis medialis*. Соединяют двигательные ядра III, IV, VI, XI и вестибулярные ядра VIII черепных нервов с мотонейронами передних рогов спинного мозга, иннервирующими мышцы шеи. Рис. В.
- 20 Задний продольный пучок, *fasciculus longitudinalis dorsalis [Schutz]*. Соединяет между собой гипоталамус, добавочное, верхнее и нижнее слюноотделительные, двойное ядра, заднее ядро блуждающего нерва, ядро одиночного пути, ядра лицевого и подъязычного нервов. Рис. В.
- 21 Медиальная петля, *lemniscus medialis*. Продолжение перекреста медиальных петель. Соединяет тонкое и клиновидное ядра с ядрами таламуса. Рис. В.
- 22 Покрышечно-спинномозговой путь, *tractus tectospinalis*. Начинается в верхнем холмике, переходит на противоположную сторону и располагается вентрально от медиального продольного пучка. Рис. В.
- 23 Ретикулярная формация, *formatio reticularis*. Расположена в задней части моста. Состоит из отдельных клеточных групп, которые пронизаны нервными волокнами, идущими в различных направлениях. Осуществляет интеграцию висцеральных функций с сокращением произвольной мускулатуры. Рис. В.
- 24 Спинномозговая петля, *lemniscus spinalis*. Продолжение в краниальном направлении переднего и латерального спинно-таламических путей. Рис. В.
- 25 Спинномозговой путь тройничного нерва, *tractus spinalis nervi trigeminalis*. Образован отростками нейронов узла V нерва, которые после вступления в вещество мозга спускаются вниз и заканчиваются на клетках одноименного ядра тройничного нерва. Рис. Б.
- 26 Ядро (нижнее) спинномозгового пути тройничного нерва, *nucleus spinalis (inferior) nervi trigeminalis*. Входит в состав спинномозгового пути тройничного нерва и продолжается до 4-го шейного сегмента спинного мозга. Рис. Б.
- 27 Мостовое ядро тройничного нерва, *nucleus pontinus nervi trigeminalis*. Основное ядро V нерва, на нейронах которого заканчиваются волокна проводящие в основном тактильную чувствительность. Рис. Б.
- 28 Тройничная петля (тройнично-таламический путь), *lemniscus trigeminalis (tractus trigeminothalamicus)*. Входящие в его состав волокна начинаются от чувствительных ядер тройничного нерва, переходят на противоположную сторону и направляются к таламусу. Рис. В.

- 29 Среднемозговой путь тройничного нерва, *tractus mesencephalicus nervi trigeminalis (tractus mesencephalicus trigeminalis)*. Образован отростками нейронов одноименного ядра и проходит в латеральной части покрышки моста. Проводник проприоцептивной чувствительности от жевательных и мимических мышц. Рис. Б, В.
- 30 Ядро среднемозгового пути тройничного нерва, *nucleus mesencephalicus nervi trigeminalis [nucleus mesencephalicus trigeminalis]*. Верхнее чувствительное ядро V черепного нерва в покрышке ножек мозга. Рис. Б.

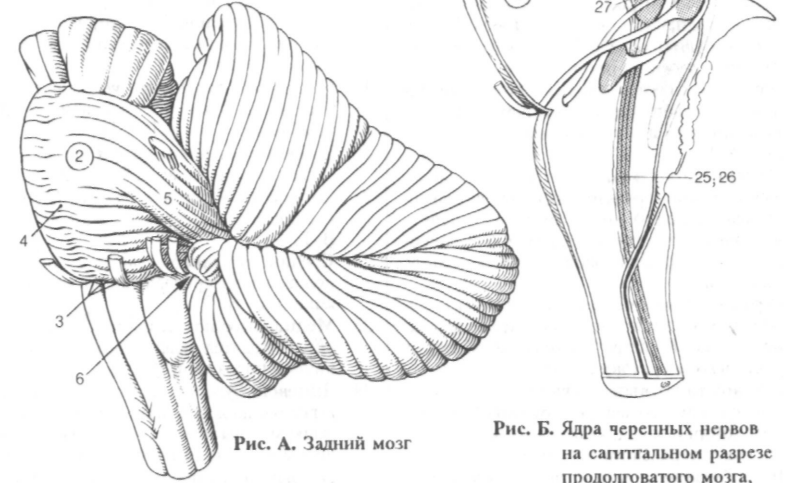


Рис. А. Задний мозг

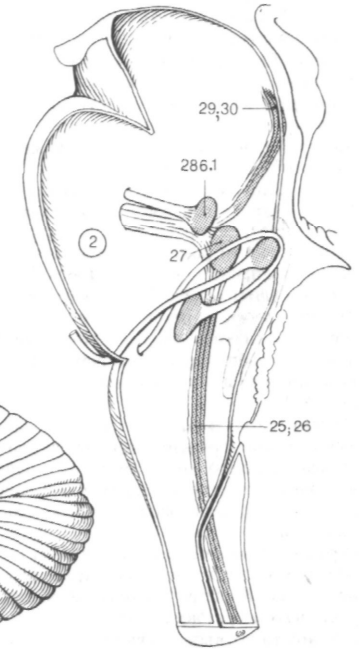


Рис. Б. Ядра черепных нервов на сагитальном разрезе продолговатого мозга, моста и среднего мозга

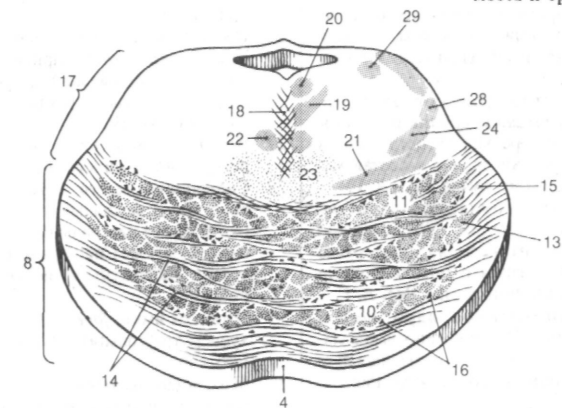


Рис. В. Поперечный разрез моста

- 1 Двигательное ядро тройничного нерва, *nucleus motorius nervi trigeminalis* [*nucleus motorius trigeminalis*]. Расположено на уровне выхода нерва из мозга. Рис. А, Б.
- 2 Ядро отводящего нерва *nucleus nervi abducentis* [*nucleus abducentis*]. Расположено под лицевым бугорком. Рис. А, Б.
- 3 **Ядро лицевого нерва, *nucleus nervi facialis* [*nucleus facialis*].** Двигательное ядро, расположенное латеральнее и глубже, чем *nucleus nervi abducentis*. Рис. А, Б.
- 4 Колено лицевого нерва, *genu nervi facialis*. Петля волокон лицевого нерва, охватывающих ядро отводящего нерва, в результате на поверхности ромбовидной ямки образуется возвышение - лицевой бугорок. Рис. Б.
- 5 Верхнее слюноотделительное ядро, *nucleus salivarius superior*. Вегетативное ядро в котором начинаются парасимпатические волокна лицевого нерва, заканчивающиеся в крылонебном и поднижнечелюстном узлах. Рис. А, Б.
- 6 Слезное ядро, *nucleus lacrimalis*. Расположено позади верхнего слюноотделительного ядра. Аксоны его вегетативных нейронов заканчиваются на клетках крылонебного узла, иннервирующих слезную железу. Рис. А, Б.
- 7 **Верхнее оливное ядро, *nucleus olivaris superior*,** Находится латеральнее трапецевидного тела. К нему подходят волокна от улитковых ядер. Рис. Г.
- 8 Оливоулитковый путь, *ractus olivocochlearis*. Его формируют отростки нейронов, которые заканчиваются на волосковых клетках спирального органа.
- 9 Вестибулярные ядра, *nuclei vestibulares*. Четыре ядра, имеющие отношение к преддверной части предверно-улиткового нерва. Имеют связи со спинным мозгом, мозжечком и медиальным продольным пучком. Рис. А, Б.
- 10 Медиальное вестибулярное ядро, *nucleus vestibularis medialis*. Группа нейронов, расположенная латерально от пограничной борозды. Их отростки входят в состав медиального продольного пучка. Рис. А, Г.
- 11 Латеральное вестибулярное ядро, *nucleus vestibularis lateralis*. Расположено вблизи латерального кармана (четвертого желудочка). Имеет связи с мотонейронами переднего рога спинного мозга. Рис. А, Г.
- 12 Верхнее вестибулярное ядро, *nucleus vestibularis superior*. Расположено выше латерального ядра и связано с медиальным продольным пучком и мозжечком. Рис. А, Г.
- 13 Улитковые ядра, *nuclei cochleares*. Передние и задние ядра улитковой части VIII нерва. Проецируются в область латерального кармана IV желудочка. Рис. А, Г.
- 14 Трапецевидное тело, *corpus trapezoideum*. Состоит из волокон, которые берут начало

- от улитковых ядер и идут в поперечном направлении, а также нейронов, лежащих между пучками этих волокон. Является частью слухового пути. Рис. Г.
- 15 Переднее ядро трапецевидного тела, *nucleus corporis trapezoidei anterior*. Небольшое скопление нейронов в заднебоковых отделах трапецевидного тела. Рис. Г.
- 16 Заднее ядро трапецевидного тела, *nucleus corporis trapezoidei posterior*. Находится позади переднего ядра. Рис. Г.
- 17 Латеральная петля, *lemniscus lateralis*. Продолжение волокон трапецевидного тела в восходящем направлении. Часть слухового пути. Рис. Г.
- 18 Ядра латеральной петли, *nuclei lemnisci lateralis*. Нервные клетки по ходу волокон латеральной петли.
- 19 Четвертый желудочек, *ventriculus quartus*. Расширение полости нервной трубки в ромбовидном мозге. Рис. Г.
- 20 Ромбовидная ямка, *fossa rhomboidea*. Дно четвертого желудочка. Рис. А, В.
- 21 Латеральный карман, *recessus lateralis*. Заканчивается латеральной апертурой. Рис. В, Г.
- 22 Срединная борозда, *sulcus medianus*. Расположена по средней линии ромбовидной ямки. Рис. В.
- 23 Медиальное возвышение, *eminentia medialis*. Находится между срединной и пограничной бороздами. Рис. В.
- 24 Лицевой бугорок, *colliculus facialis*. Возвышение на дорсальной поверхности моста выше мозговых полосок. Образовано коленом V нерва и *nuclnabducentis*. Рис. В.
- 25 Пограничная борозда, *sulcus limitans*. Проходит латерально от медиального возвышения. Рис. В.
- 26 Вестибулярное поле, *area vestibularis*. Соответствуют вестибулярным ядрам. Расположено с латеральной стороны от пограничной борозды у места начала бокового кармана. Рис. В.
- 27 Верхняя ямка, *fovea superior*. Находится латерально от лицевого бугорка. Рис. В.
- 28 Голубоватое место, *locus caeruleus*. Лежит снаружи от медиального возвышения и соответствует латеральной границе ромбовидной ямки. Специфический цвет обусловлен пигментными нервными клетками. Рис. В.
- 29 Нижняя ямка, *fovea inferior*. Лежит у верхушки треугольника блуждающего нерва. Рис. В.
- 30 Мозговые полоски, *striae medullares*. Пересекают поперек вестибулярное поле и медиальное возвышение. Образованы миелиновыми волокнами, соединяющими дугообразные ядра с мозжечком. Рис. В.
- 31 Треугольник подъязычного нерва, *trigonum nervi hypoglossi* (*trig. hypoglossale*). Треугольное возвышение над ядром XII

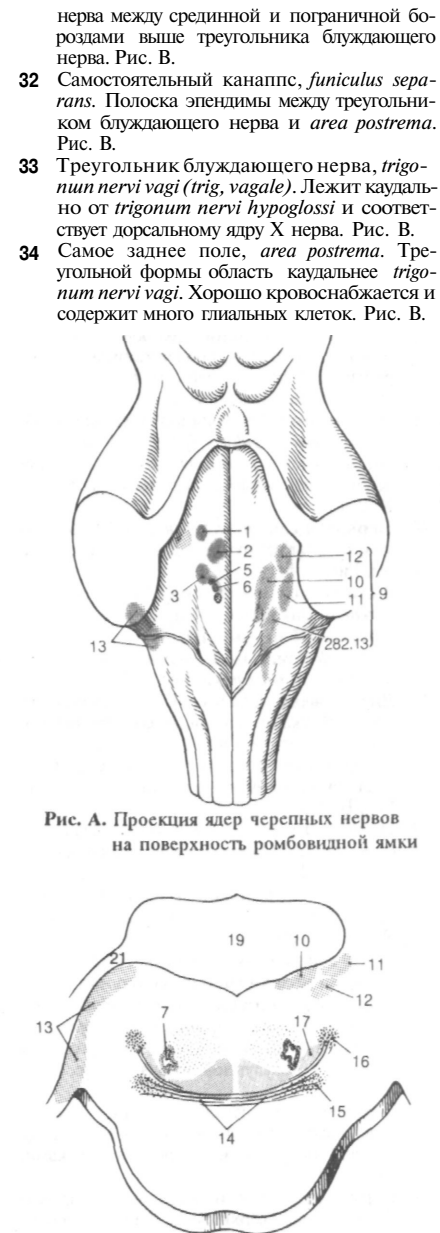


Рис. А. Проекция ядер черепных нервов на поверхность ромбовидной ямки

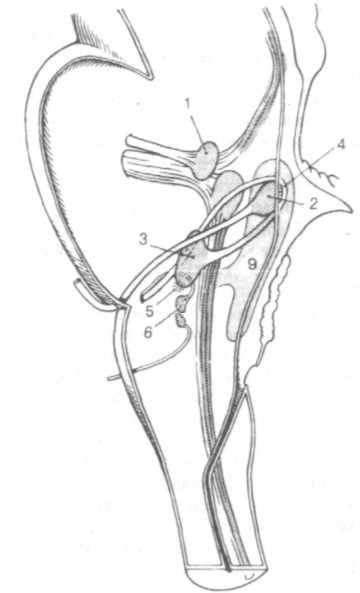


Рис. Б. Ядра черепных нервов на сагитальном разрезе продолговатого мозга и моста

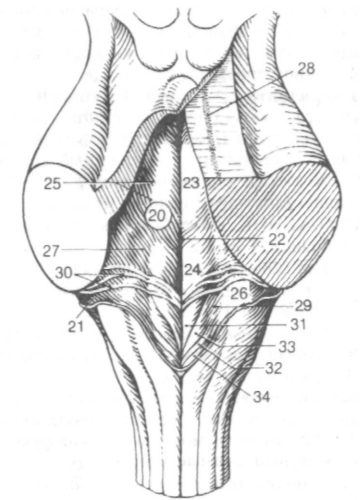


Рис. Г. Поперечный разрез ствола мозга на уровне латерального кармана четвертого желудочка

Рис. В. Ромбовидная ямка

- 1 Крыша четвертого желудочка, *tegmen ventriculi quarti*. Рис. А.
- 2 Верхний мозговой парус, *velum medullare superius*. Пластинка белого вещества, между верхними мозжечковыми ножками. Соединяется с язычком мозжечка. Рис. А.
- 3 Узелок верхнего мозгового паруса, *frenulum veli medullaris superioris*. Полоска мозгового вещества между *velum medullare superius* и пластинкой крыши. Рис. А.
- 4 Нижний мозговой парус, *velum medullare inferius*. Формирует задненижнюю часть крыши IV желудочка. Соединяется с ножкой клочка и узелком мозжечка. Рис. А.
- 5 Сосудистая основа четвертого желудочка, *tela choroidea ventriculi quarti*. Тонкая пластинка мягкой оболочки с сосудистым сплетением между нижним мозговым парусом и лентой IV желудочка. Рис. А.
- 6 Сосудистое сплетение четвертого желудочка, *plexus choroideus ventriculi quarti*. Парное бахромчатое образование, которое состоит из содержащих сосуды выростов внутреннего листка *tela choroidea*, покрытых эпителием. Сплетение заходит в латеральные апертурные желудочка. Рис. А.
- 7 Лента четвертого желудочка, *taenia ventriculi quarti*. Проходит вдоль нижнелатерального края крыши IV желудочка. Рис. А.
- 8 Задвижка, *obex*. Поперечный гребень в нижнем углу ромбовидной ямки. Рис. А.
- 9 Срединная апертюра [[Мажанди]] четвертого желудочка, *apertura mediana ventriculi quarti* [[Magendie]]. Непарное отверстие над задвижкой, которое служит для выхода спинномозговой жидкости в подпаутинное пространство. Рис. А.
- 10 Латеральная апертюра [[Лушки]] четвертого желудочка, *apertura lateralis ventriculi quarti* [[Luschkae]]. Отверстие, которым заканчивается латеральный карман. Место выхода спинномозговой жидкости в подпаутинное пространство. Рис. А.
- 11 МОЗЖЕЧОК, *cerebellum*. Расположен над ромбовидной ямкой.
- 12 Листки мозжечка, *folia cerebelli*. Тонкие извилины мозжечка, разделенные между собой щелями. Рис. Б.
- 13 Щели мозжечка, *fissura cerebelli*. Глубокие, ветвящиеся борозды между соседними листками мозжечка. Рис. Б.
- 14 Долинка мозжечка, *vallecula cerebelli*. Глубокая срединная борозда, разделяющая снизу полушария мозжечка, в которую заходит продолговатый мозг. Рис. В.
- 15 Тело мозжечка, *corpus cerebelli*. Включает перечисленные ниже структуры, кроме клочково-узелковой доли.
- 16 Червь мозжечка, *vermis cerebelli*. Филлогенетически старая, непарная часть мозжечка. Рис. Б.
- 17 Полушария мозжечка, *hemisphaerium cerebelli*. Парная часть мозжечка. Рис. В.

- 18 Передняя доля мозжечка, *lobus anterior cerebelli*. Расположена впереди первой щели. Рис. Б, Г.
- 19 Язычок, *lingula*. Непарная часть червя, соединенная с верхним мозговым парусом. Принадлежит к старой части мозжечка. Рис. В, Г.
- 20 Центральная доля, *lobulus centralis*. Расположена над язычком и с каждой стороны продолжается в крылья центральной доли. Рис. В, Г.
- 21 Вершина, *culmen*. Часть червя между центральной долей и первой щелью. Рис. Б, В, Г.
- 22 Крыло центральной доли, *ala lobuli centralis*. Является продолжением центральной доли и соединяется с полушарием мозжечка. Рис. Б, В, Г.
- 23 Четырехугольная доля (передняя часть), *lobulus quadrangularis (pars anterior)*. Входит в состав полушария мозжечка и прилежит с латеральной стороны к скату. Рис. Б, В, Г.
- 24 Первая щель, *fissura prima*. Расположена между четырехугольной и простой долями. Рис. Б, Г.
- 25 Задняя доля мозжечка, *lobus posterior cerebelli*. Находится между первой и дорсолатеральными щелями. Рис. Г.
- 26 Скаты, *declive*. Часть червя, отклоненная кзади от его верхушки. Рис. Б, Г.
- 27 Листок червя, *folium vermis*. Узкая полоска мозговой ткани, соединяющая верхние полулунные доли. Рис. Б, Г.
- 28 Бугор червя, *tuber vermis*. Соединяет по средней линии нижние полулунные доли. Рис. Б, В, Г.
- 29 Пирамида червя, *pyramis vermis*. Находится ниже бугра червя между двубрюшными долями. Рис. В, Г.
- 30 Вторая щель, *fissura secunda*. Лежит между пирамидой и язычком червя. Рис. В, Г.
- 31 Язычок червя, *uvula vermis*. Часть червя, между миндалинами мозжечка. Рис. В, Г.
- 32 Простая доля (четырехугольная доля) (задненижняя часть), *lobulus simplex (lobulus quadrangularis) (pars inferior posterior)*. Находится между четырехугольной и верхней полулунной долями. Рис. Б, В, Г.
- 33 Верхняя полулунная доля, *lobulus semilunaris superior*. Расположена между нижней полулунной и простой долями. Рис. Б, В, Г.
- 34 Горизонтальная щель, *fissura horizontalis*. Разделяет верхнюю и нижнюю полулунные доли. Глубоко заходит в вещество мозжечка. Рис. Б, В, Г.
- 35 Нижняя полулунная доля, *lobulus semilunaris inferior*. Локализуется между верхней полулунной и двубрюшной долями. Рис. Б, В, Г.

- 36 Тонкая доля (парамедианная доля), *lobulus gracilis (lob. paramedianus)*. Расположена между нижней полулунной и двубрюшной долями. Рис. Г.
- 37 Двубрюшная доля, *lobulus biventer*. Определяется между парамедианной долей и миндалиной мозжечка. Рис. В, Г.
- 38 Миндалины мозжечка, *tonsilla cerebelli*. Небольшая, бобовидной формы часть полушария латеральнее язычка. Рис. В, Г.
- 39 Задняя латеральная щель, *fissura posterolateralis*. Находится между узелком и ключком с одной стороны, миндалиной и двубрюшной долей - с другой. Рис. В, Г.

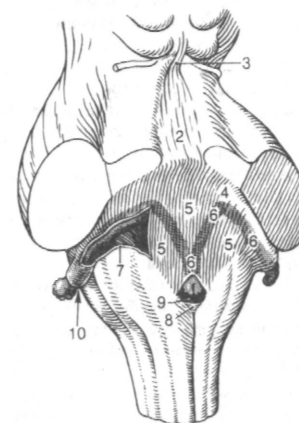


Рис. А. Крыша четвертого желудочка

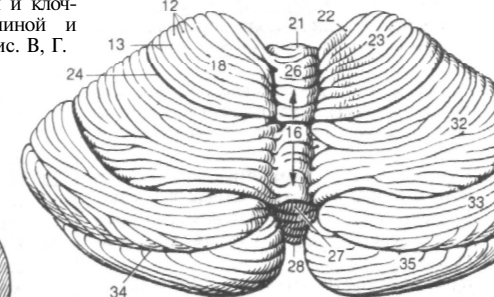


Рис. Б. Мозжечок (вид сверху)

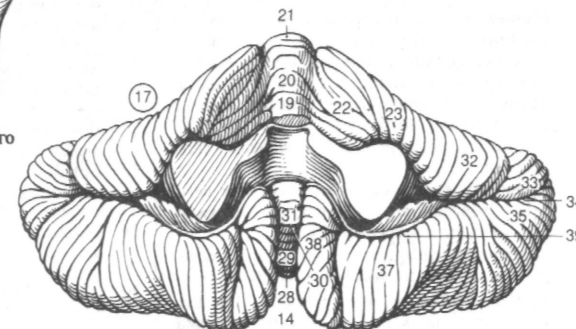


Рис. В. Мозжечок (вид снизу)

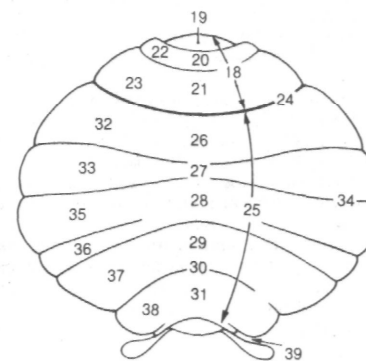


Рис. Г. Мозжечок (схема)

- 1 Клочково-узелковая доля, *lobus floculonodularis*. Небольшая часть мозжечка, которая расположена каудально от задне-латеральной щели и относится к *archaeocerebeum*.
- 2 Узелок, *nodulus*. Срединное возвышение червя, связанное с клочком при помощи ножки. Рис. Д.
- 3 Клочок, *flocculus*. Расположен между нижней мозжечковой ножкой и двубрюшной долькой. Рис. Д.
- 4 Ножка клочка, *pedunculus floccularis*. Соединяется с узелком червя и частично продолжается в нижний мозговой парус. Рис. Д.
- 5 Околочлочок, *paraflocculus*. У человека небольшая часть каудальной доли, которая находится вблизи места ее соединения с клочком.
- 6 Старая часть мозжечка, *archaeocerebellum*. К ней относятся язычок к клочково-узелковая доля. В филогенезе они появляются раньше других частей мозжечка. Рис. А.
- 7 Древняя часть мозжечка, *paleocerebellum*. Состоит из центральной и четырехугольной долек, вершины, пирамиды, язычка, червя, а также крыла центральной дольки. В филогенезе появляется после *archaeocerebellum*. Рис. А.
- 8 Новая часть мозжечка, *neocerebellum*. Состоит из ската, листка и бутра червя, простой, верхней, нижней полулуных и парамедианной долек, а также миндалин мозжечка. В филогенезе появляется позднее остальных частей. Рис. А.
- 9 РАЗРЕЗЫ МОЗЖЕЧКА, *sectiones cerebellares*.
- 10 Древо жизни мозжечка, *arbor vitae cerebelli*. Древоподобное ветвление белого вещества на срезах мозжечка. Рис. В.
- 11 Мозговое тело, *corpus medullare*. Состоит из миелиновых волокон. Рис. В.
- 12 Белые полоски, *laminae albae*. Продолжение мозгового тела в листки мозжечка. Рис. В.
- 13 Кора мозжечка, *cortex cerebellaris*. Имеет толщину примерно 1 мм и состоит главным образом из нервных клеток. Рис. Б, В.
- 14 Молекулярный слой, *stratum moleculare (plexiforme)*. Наружный слой коры мозжечка, который состоит преимущественно из ветвящихся дендритов и аксонов, а также небольшого количества тел нейронов. На границе с зернистым слоем содержит тела грушевидных нейронов - клеток Пуркинье. Рис. Б.
- 15 Слой грушевидных нейронов, *stratum neurium piriformium*. Содержит тела клеток Пуркинье. Рис. Б.
- 16 Зернистый слой, *stratum granulosum*. Внутренний слой коры мозжечка, который характеризуется большим содержанием плот-

но расположенных, небольших по размерам, нейронов. Рис. Б.

- 17 Ядра мозжечка, *nuclei cerebellaris*.
- 18 Зубчатое ядро, *nucleus dentatus*. Самое крупное ядро мозжечка, напоминающее по внешнему виду складчатый карман. Расположено внутри мозгового тела. Рис. В.
- 19 Ворота зубчатого ядра, *hilum nuclei dentati*. В этом месте проходят волокна, формирующие значительную часть верхней мозжечковой ножки. Рис. В.
- 20 Пробковидное ядро, *nucleus emboliformis*. Расположено спереди от ворот зубчатого ядра. Рис. В.
- 21 Шаровидное ядро, *nucleus globosus*. Находится с медиальной стороны от зубчатого ядра. Рис. В.
- 22 Ядро шатра, *nucleus fastigii*. Самое медиальное из ядер мозжечка. Рис. В.
- 23 Ножки мозжечка, *pedunculi cerebellares*. Обеспечивают связи мозжечка с другими структурами мозга.
- 24 Нижняя мозжечковая ножка, *pedunculus cerebellaris inferior*. Соединяет мозжечок с продолговатым мозгом и содержит задний спинно-мозжечковый путь, а также волокна к оливе. Рис. Д, Е.
- 25 Средняя мозжечковая ножка, *pedunculus cerebellaris medius (pontinus)*. Самая большая по размеру ножка, которая содержит волокна мостомозжечкового пути. Рис. Д, Е.
- 26 Верхняя мозжечковая ножка, *pedunculus cerebellaris superior*. Связывает мозжечок со средним мозгом. Между двумя верхними мозжечковыми ножками расположен верхний мозговой парус. Рис. Д, Е.
- 27 СРЕДНИЙ МОЗГ, *mesencephalon*. Состоит из ножек мозга, покрывки и пластинки четверохолмия (пластинка крыши).
- 28 Ножка мозга, *pedunculus cerebri (cerebralis)*. Расположена вентрально от водопровода и состоит из двух частей. Рис. Г.
- 29 Передняя часть, *pars anterior (crus cerebri)*. Отделена от задней части черным веществом. Рис. Г.
- 30 Задняя часть, *pars posterior*. Задняя часть ножки мозга или покрывка. (292.10). Рис. Г.
- 31 Глазодвигательная борозда, *sulcus oculomotorius*. Находится на медиальной поверхности ножки мозга. Место выхода волокон одноименного нерва. Рис. Г.
- 32 Межножковая ямка, *fossa interpeduncularis*. Углубление между ножками мозга. Рис. Г.
- 33 Заднее продырявленное вещество, *substantia perforata interpeduncularis [posterior]*. Формирует дно межножковой ямки. В этом месте в мозг проникают кровеносные сосуды. Рис. Г.

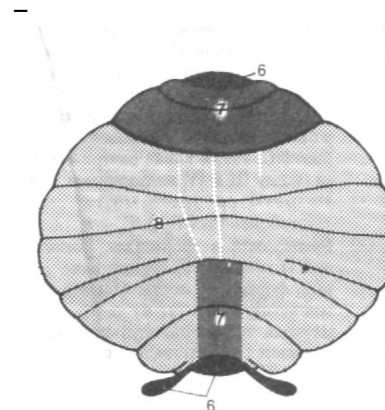


Рис. А. Мозжечок (схема) [26]

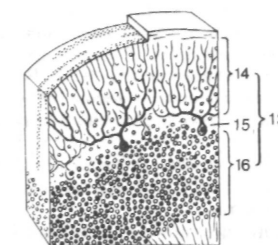


Рис. Б. Слон коры мозжечка

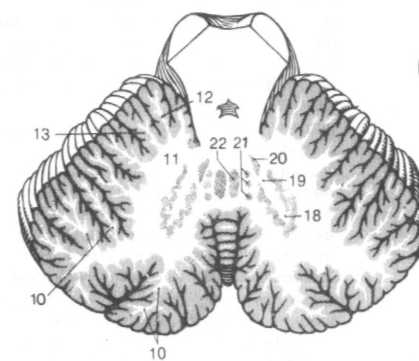


Рис. В. Горизонтальный разрез мозжечка

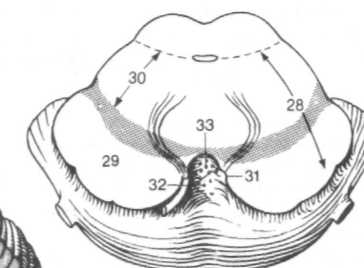


Рис. Г. Поперечный разрез среднего мозга

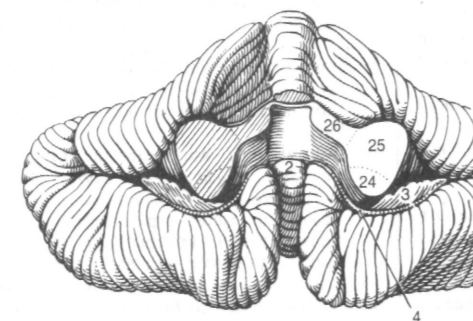


Рис. Д. Мозжечок (вид снизу)

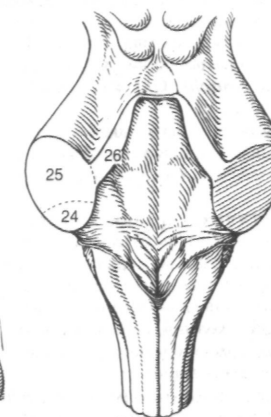


Рис. Е. Ножки мозжечка

- 1 **Основание ножки мозга, *basis pedunculi cerebri***. Соответствует передней части ножки мозга. Рис. Б.
- 2 **Корково-спинномозговые волокна, *fibrae corticospinales***. Волокна пирамидного пути к спинному мозгу. Рис. Б, В.
- 3 **Корково-ядерные волокна, *fibrae corticonucleares***. Часть пирамидного пути к двигательным ядрам черепных нервов. Рис. Б, В.
- 4 **Корково-мостовые волокна, *fibrae corticopontinae***. Формируют одноименный проводящий путь.
- 5 **Теменные о-височные волокна, *fibrae parietotemporo-pontinae***. Входят в состав корково-мостового пути, который начинается в теменной и височной долях. Проходят в латеральной части ножки мозга. Рис. Б, В.
- 6 **Лобно-мостовые волокна, *fibrae frontopontinae***. Часть корково-мостового пути, которая начинается в лобной доле и занимает медиальную 1/6 часть ножки мозга. Рис. Б, В.
- 7 **Черное вещество, *substantia nigra***. Расположено в ножке мозга и определяется невороуженным глазом, т.к. состоит из пигментсодержащих нейронов. Рис. Б, В.
- 8 **Компактная часть, *pars compacta***. Состоит из нервных клеток, содержащих пигмент.
- 9 **Сетчатая часть, *pars reticularis***. Вентральная часть черного вещества. Состоит из пигментсодержащих волокон и диффузно расположенных скоплений нейронов.
- 10 **Покрышка среднего мозга, *tegmentum mesencephalicum***. Находится между черным веществом и плоскостью, проходящей через водопровод мозга параллельно пластинке четверохолмия. Рис. Б, В.
- 11 **Центральное серое вещество, *substantia grisea centralis***. Окружает водопровод мозга. Рис. Б, В.
- 12 **Крыша среднего мозга, *tectum mesencephalicum***. Расположена казади от плоскости, проведенной через водопровод мозга. Рис. Б, В.
- 13 **Пластинка крыши [[четверохолмия]], *laminatactalis [[quadrigenina]]***. Рис. А.
- 14 **Нижний холмик, *colliculus inferior***. Возвышение на пластинке четверохолмия. Входит в состав слухового пути. Рис. А.
- 15 **Верхний холмик, *colliculus superior***. Возвышение пластинки четверохолмия. Входит в состав зрительного пути. Рис. А.
- 16 **Ручка нижнего холмика, *brachium colliculi inferioris***. Соединяет нижний холмик и медиальное коленчатое тело. Рис. А.
- 17 **Ручка верхнего холмика, *brachium colliculi superioris***. Соединяет верхний холмик и латеральное коленчатое тело. Рис. А.
- 18 **Треугольник петли, *trigonum lemnisci***. Ограничен пластинкой крыши, верхней мозжечковой ножкой и ножкой мозга. Рис. А.
- 19 **Верхняя ножка мозжечка, *pedunculus cerebellum superior***. Содержит волокна, следующие от зубчатого ядра мозжечка к красному ядру и таламусу. Рис. А.
- 20 **Водопровод среднего мозга (водопровод мозга), *aquaeductus mesencephali (cerebri)***. Узкий канал внутри среднего мозга между III и IV желудочками. Рис. Б, В, Г.
- 21 **Разрезы среднего мозга, *sectiones mesencephalici***. Рис. Б, В, Г.
- 22 **Ретикулярная формация, *formatio (substantia) reticularis***. Продолжение ретикулярной формации моста. Окружает водопровод мозга и состоит из диффузно расположенных нейронов, функция которых заключается в интеграции мышечной активности. Рис. Б, В, Г.
- 23 **Корково-ретикулярные волокна, *fibrae corticoreticulares***. Направляются от двигательных областей коры большого мозга к нейронам ретикулярной формации.
- 24 **Медиальный продольный пучок, *fasciculus longitudinalis medialis***. Соединяет двигательные ядра III, IV, VI, XI и вестибулярные ядра VIII черепных нервов с мотонейронами передних рогов, иннервирующих мышцы шеи. Рис. Б, В, Г.
- 25 **Задний продольный [[Шютца]] пучок, *fasciculus longitudinalis posterior. [[Schutz]]***. Соединяет между собой гипоталамус, добавочное, верхнее и нижнее слюноотделительные, двойное ядра, заднее ядро блуждающего нерва, ядро одиночного пути, ядра лицевого и подъязычного нервов. Рис. Г.
- 26 **Среднемозговой путь тройничного нерва, *tractus mesencephalicus nervi trigeminalis***. Волокна V нерва, направляющиеся к одноименному ядру с латеральной стороны водопровода среднего мозга. Рис. Г.
- 27 **Ядро среднемозгового пути тройничного нерва, *nucleus tractus mesencephalicus nervi trigeminalis (nucL. mes. trigeminalis)***. Расположено под пластинкой крыши. Рис. Г.
- 28 **Ядро глазодвигательного нерва, *nucleus nervi oculomotorii (nucleus oculomotorius)***. Находится спереди от водопровода мозга. Рис. Б.
- 29 **Добавочное ядро глазодвигательного нерва, *nucleus oculomotorius accessorius (autonomicus)***. Парасимпатическая часть глазодвигательного ядра. Большинство его клеток (96%) иннервируют ресничную мышцу, остальные - сфинктер зрачка.
- 30 **Ядро блокового нерва, *nucleus nervi trochlearis (nucleus trochlearis)***. Находится в центральном сером веществе каудальнее ядра глазодвигательного нерва. Рис. В.
- 31 **Межнужковое ядро, *nucleus interpeduncularis***. Расположено в области дна межнужковой ямки и соединяется с обонятельным трактом. Рис. В.

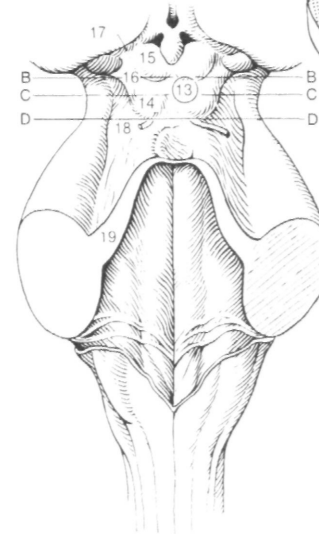


Рис. А. Средний мозг и ромбовидная ямка

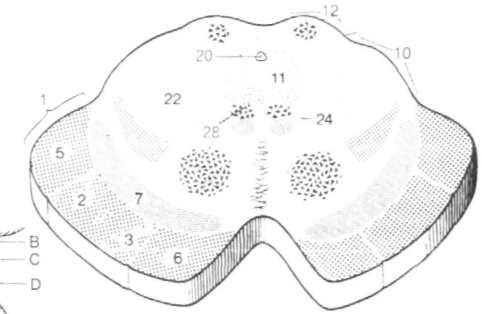


Рис. Б. Поперечный разрез среднего мозга на уровне верхних холмиков четверохолмия

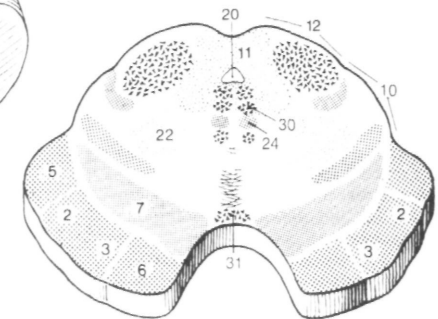


Рис. В. Поперечный разрез среднего мозга на уровне нижних холмиков четверохолмия

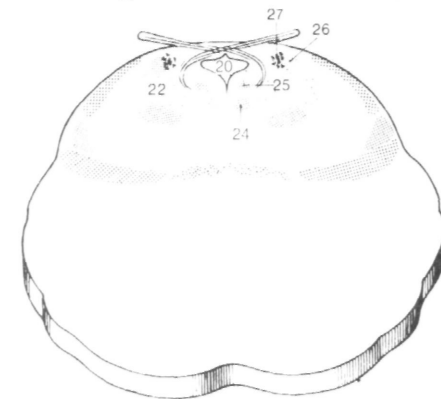


Рис. Г. Поперечный разрез среднего мозга на уровне выхода блокового нерва



- 1 **Промежуточное [[Кахаля]] ядро, nucleus interstitialis [[Cajal]].** Расположено с латеральной стороны от ядра глазодвигательного нерва, от которого отделяется медиальным продольным пучком. На нейронах ядра заканчиваются волокна от вестибулярных ядер, бледного шара и серого вещества верхних холмиков четверохолмия. Рис. Б.
- 2 **Ядра покрышки, nuclei tegmenti (tegmentales).** Входят в состав ретикулярной формации среднего мозга. Расположены дорсально от ядра блокового нерва и вентральнее медиального продольного пучка. Рис. В.
- 3 **Красное ядро, nucleus ruber.** Расположено между черным веществом и *substantia grisea centralis*. В его состав входят нейроны с железосодержащим пигментом, на которых заканчиваются волокна от коры большого мозга, таламуса и мозжечка. Рис. Б.
- 4 **Мелкоклеточная часть, pars parvocellularis.** Большая по объему часть красного ядра. Состоит из мелких клеток, отростки которых принимают участие в формировании краснойядерно-спинномозгового пути.
- 5 **Крупноклеточная часть, pars magnocellularis.** Расположена каудально. Состоит из крупных клеток, отростки которых формируют краснойядерно-спинномозговой путь.
- 6 **Внутриножковое ядро, nucleus endopeduncularis.** Группа нейронов, расположенная у средней линии внутри ножки мозга сразу после вступления в основание большого мозга. Это ядро, вероятно, входит в состав проводящего пути, соединяющего бледный шар и ретикулярную формацию.
- 7 **Перекресты покрышки, decussationes tegmenti (tegmentales).** Перекресты краснойядерно-спинномозгового, краснойядерно-ретикулярного и покрышечно-спинномозгового путей. Рис. Б.
- 8 **Перекресты верхних мозжечковых ножек, decussatio pedunculorum cerebellarium superiorum.** Расположены на уровне нижних холмиков четверохолмия, вентрально от медиального продольного пучка. Рис. В.
- 9 **Зубчато-краснойядерные волокна, fibrae dentatorubrales.** Часть волокон верхних мозжечковых ножек, которые направляются к красному ядру.
- 10 **Краснойядерно-спинномозговой [[Монакова]] путь, tractus rubrospinalis [[Monakow]].** Экстрапирамидный проводящий путь в покрышке, который направляется от нейронов красного ядра к клеткам передних рогов спинного мозга. Рис. В.
- 11 **Покрышечно-бульбарный путь, tractus tectobulbaris.** Через заднюю часть перекрестов покрышки переходит на противоположную сторону, вентральнее от медиального продольного пучка направляется к ядрам моста

и двигательным ядрам черепных нервов, из которых иннервируются мышцы глазного яблока.

- 12 **Покрышечно-спинномозговой путь, tractus tectospinalis.** Сначала проходит вместе с покрышечно-бульбарным путем, а затем спускается в переднем канатике спинного мозга.

- 13 **Латеральная петля, lemniscus lateralis.** Частично перекрещенные волокна проводящего пути слухового анализатора, направляющиеся к нижним холмикам пластинки четверохолмия. Рис. В, Г.

- 14 **Медиальная петля, lemniscus medialis.** Перекрещенные волокна, которые соединяют тонкое и клиновидное ядра продолговатого мозга с таламусом. Рис. Б, В, Г.

- 15 **Спинномозговая петля, lemniscus spinalis.** Формируется волокнами спинно-таламического пути. На протяжении среднего мозга проходит вблизи медиальной петли. Рис. Г.

- 16 **Тройничная петля, lemniscus trigeminalis.** Перекрещенные волокна, направляющиеся от чувствительных ядер тройничного нерва к таламусу. Расположена вблизи медиальной петли.

- 17 **Крыша среднего мозга, tectum mesencephalicum.** Расположена дорсально плоскости, проведенной через водопровод мозга. Рис. Б, В.

- 18 **Пластинка крыши [[четверохолмия]], lamina tectalis [[quadrigenina]].** Рис. А.

- 19 **Ядро нижнего холмика, nucleus colliculi inferioris.** Соединяет проводящий путь слухового анализатора с экстрапирамидной системой. Рис. В.

- 20 **Ручка нижнего холмика, brachium colliculi inferioris.** Соединяет нижний холмик (четверохолмия) и медиальное коленчатое тело. Рис. А.

- 21 **Спайка нижних холмиков, commissura colliculorum inferiorum.** Соединяет нижние холмики и содержит волокна латеральных петель. Рис. В.

- 22 **Слой [серый и белый] верхнего холмика, strata [grisea et alba] colliculi superioris.** Белое вещество окружает серое снаружи. Рис. Б.

- 23 **Ручка верхнего холмика, brachium colliculi superioris.** Соединяет верхний холмик с латеральным коленчатым телом. Рис. А.

- 24 **Спайка верхних холмиков, commissura colliculorum superiorum.** Соединяет верхние холмики пластинки четверохолмия. Рис. Б.

- 25 **Блоковый перекрест (перекрест блоковых нервов), decussatio trochlearis (decussatio nervorum trochlearium).** Образован волокнами блокового нерва, которые перекрещиваются в белом веществе крыши среднего мозга. Рис. Г.

- 26 **Центральный покрышечный путь, tractus tementalis centralis.** В его состав входят волокна, направляющиеся к оливе. Возможно, часть из них берет начало от таламуса. Рис. Б, Г.

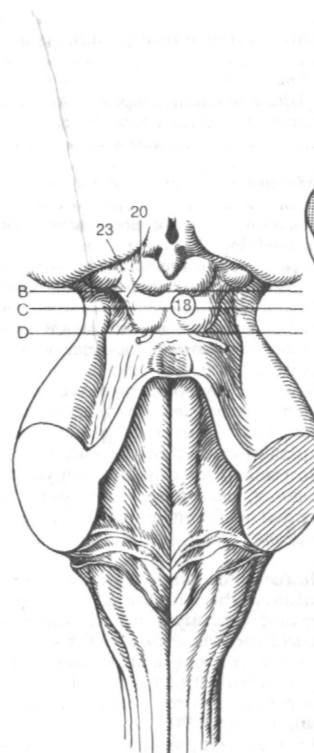


Рис. А. Мозговой ствол (вид сзади)

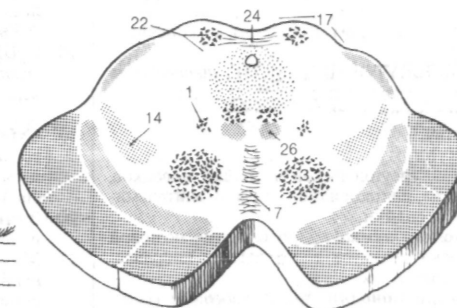


Рис. Б. Поперечный разрез среднего мозга

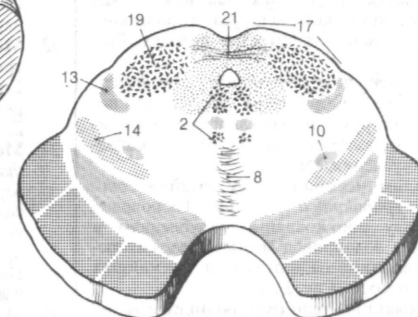


Рис. В. Поперечный разрез среднего мозга

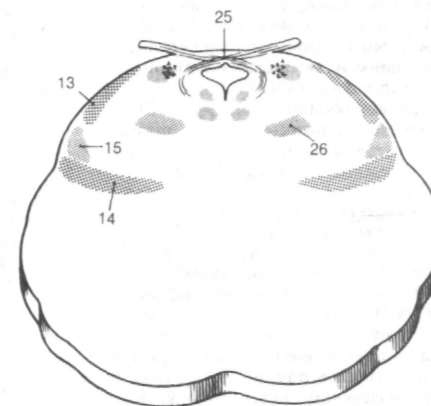


Рис. Г. Поперечный разрез среднего мозга

- 1 **ПЕРЕДНИЙ МОЗГ, *prosencephalon***. Развивается из конечного отдела нервной трубки и находится спереди от среднего мозга. Состоит из промежуточного и конечного мозга.
- 2 **ПРОМЕЖУТОЧНЫЙ МОЗГ, *diencephalon***. Простирается от переднего края пластинки четверохолмия до межжелудочкового отверстия.
- 3 **Эпиталамус, *epithalamus***. Состоит из поводков, треугольников и спайки поводков, а также шишковидного тела и эпиталамической спайки.
- 4 **Поводок, *habenula***. Продолжение мозговой полоски таламуса в дорсальном направлении. Рис. А, Б.
- 5 **Борозда поводка, *sulcus habenulae (habenularis)***. Проходит между треугольником поводка и подушкой (таламуса). Рис. А.
- 6 **Треугольник поводка, *trigonum habenulae (habenulare)***. Треугольная пластинка между мозговой полоской таламуса и поводком. Под ней расположены ядра поводка. Рис. А.
- 7 **Спайка поводков, *commissura habenularum (habenularis)***. Образована волокнами поводков, которые пересекают среднюю линию и расположена сверху от шишковидного углубления. Рис. Б.
- 8 **Эпиталамическая (задняя) спайка, *commissura epithalamica (posterior)***. Расположена между шишковидным углублением и входом в водопровод мозга. Содержит перекрещивающиеся волокна от ближайших структур мозга. Рис. Б.
- 9 **Шишковидное тело (шишковидная железа), *corpus pineale (glandula pinealis)***. Лежит над пластинкой четверохолмия. Удерживается поводками, с которыми не имеет функциональных связей. Рис. А, Б, В.
- 10 **Разрезы эпиталамуса, *sectiones epithalamici***.
- 11 **Медиальное и латеральное ядра поводка, *nuclei habenulares medialis et lateralis***. Группа нейронов обонятельного пути. Рис Г
- 12 **Поводково-межножковый путь, *tractus habenulointerpeduncularis***. Связь между поводками и межножковым ядром (среднего мозга). Рис. Г
- 13 **Спайка поводков, *commissura habenularum (habenularis)***. См. 7. Рис Б.
- 14 **Предкрышечное поле, *area pretectahs***. Лежит между верхним краем верхнего холмика и эпиталамической спайкой. Рис. А, В.
- 15 **Предкрышечные ядра, *nuclei preteactles***. Лежат дорсолатерально от эпиталамической спайки и доходят до верхних холмиков пластинки четверохолмия. К ним подходят волокна от затылочной, предзатылочной коры и от зрительного тракта. Отростки нейронов этих ядер направляются к добавочному ядру III нерва, из которого обеспечивается иннервация сфинктера зрачка.
- 16 **Эпиталамическая (задняя) спайка, *commissura epithalamica (posterior)***. См. 8. Рис.

- Б.
- 17 **Шишковидное тело (шишковидная железа), *corpus pineale (glandula pinealis)***. См. 9. Рис. А, Б, В.
- 18 **Субфорникальный орган, *organum subfornicale***. Находится у межжелудочкового отверстия между столбами свода. Влияет на кровяное давление и водный обмен. Рис. Б.
- 19 **Субкомиссуральный орган, *organum subcommissurale***. Группа специализированных эпендимных клеток под эпиталамической спайкой. Рис. Б.
- 20 **Задний таламус, *thalamus dorsalis***. Расположен над гипоталамической бороздой.
- 21 **Межталамическое сращение, *adhesio interthalamica***. Соединение между правым и левым таламусом. Встречается в 70 - 85% случаев. Рис. Б.
- 22 **Передний бугорок таламуса, *tuberculum anterius thalamicum***. Возвышение на переднем конце таламуса, которое соответствует передним ядрам таламуса. Рис. А.
- 23 **Мозговые пластинки наружная/внутренняя, *laminae medullares interna/externa***. Состоят из белого вещества. Неполностью разделяют между собой ядра таламуса. Рис. Д.
- 24 **Мозговая полоска таламуса, *stria medullaris thalamica***. Расположена на медиальной поверхности таламуса под его лентой и дорсально продолжается в поводок. Содержит волокна от свода, пограничной полоски и предспячной перегородки. Рис. А, Б.
- 25 **Подушка, *pulvinar***. Задняя расширенная часть таламуса. Рис. А.
- 26 **Метаталамус, *metathalamus***. Состоит из структур, расположенных книзу от подушки таламуса. Рис. А, В.
- 27 **Медиальное колленчатое тело, *corpus geniculatum mediate***. Соединяется с нижним холмиком (пластинки четверохолмия). Входит в состав слухового пути. Рис. А, В.
- 28 **Латеральное колленчатое тело, *corpus geniculatum laterale***. Связано с верхним холмиком и зрительной корой. В нем заканчивается большинство волокон зрительного тракта. Рис. А, В.
- 29 **Передний таламус, *thalamus ventralis (subthalamus)***. Часть промежуточного мозга вентральнее гипоталамической борозды.
- 30 **Гипоталамус, *hypothalamus***. Назальная часть промежуточного мозга. Рис. Б.
- 31 **Предзрительное поле, *area preoptica***. Находится сзади от lam. terminalis и спереди от паравентрикулярного и супраоптического ядер. Предположительно, его ядра входят в состав пути, соединяющего обонятельный тракт и серый бугор. Рис. Б.
- 32 **Зрительный перекрест, *chiasma opticum***. Перекрест медиальных волокон зрительного нерва перед зрительным трактом. Рис. Б, В.
- 33 **Зрительный тракт, *tractus opticus***. Часть зрительного проводящего пути между зрительным перекрестом и латеральным ко-

- лечным телом. Находится на поверхности основания мозга. Рис. В.
- 34 **Латеральный корешок, *radix lateralis***. Волокна зрительного тракта, оканчивающиеся в латеральном колленчатом теле или верхнем холмике. Рис. В
- 35 **Медиальный корешок, *radix medialis***. Рис. В.
- 36 **Сосцевидное тело, *corpus mamillare***. Парное округлое возвышение на нижней поверхности промежуточного мозга, связанное с таламусом и средним мозгом. Рис. Б.
- 37 **Серый бугор, *tuber cinereum***. Серое вещество в задней стенке воронки. Рис. Б.
- 38 **Воронка, *infundibulum***. Воронкообразный проход к задней доле гипофиза. Рис. Б.
- 39 **Нейрогипофиз, *neurohypophysis***. Задняя доля гипофиза, прилегающая к воронке. Рис. Б.

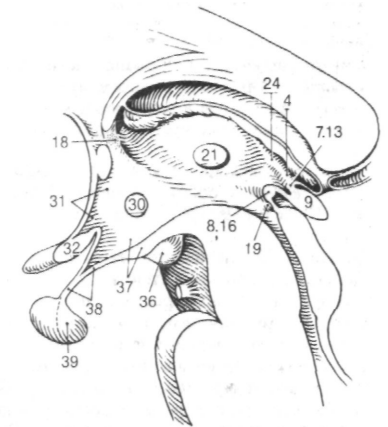


Рис. Б. Мозговой ствол (сагиттальный разрез)

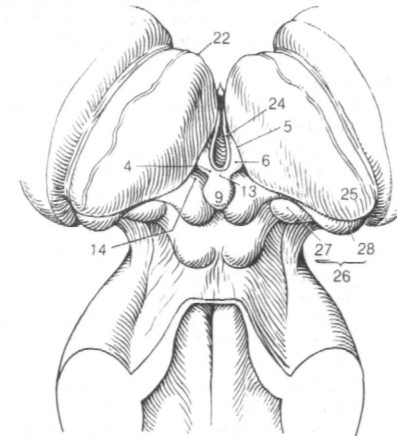


Рис. А. Мозговой ствол (вид сзади)

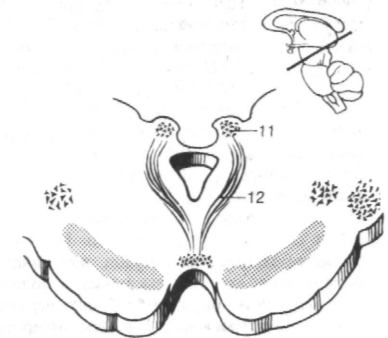


Рис. Г. Косой разрез среднего мозга

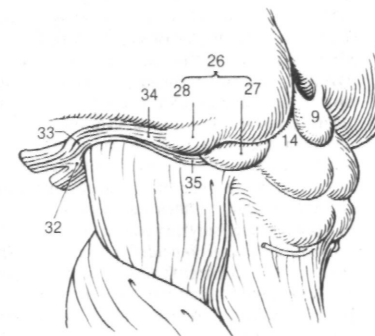


Рис. В. Мозговой ствол (вид с латеральной стороны)

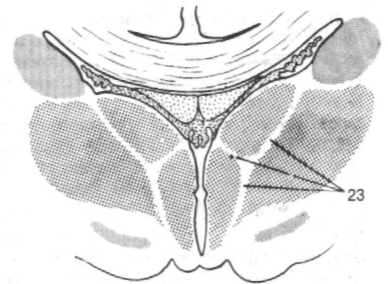


Рис. Д. Фронтальный разрез промежуточного мозга

- 1 Третий желудочек, *ventriculus tertius*. Полость промежуточного мозга. Расположен между терминальной пластинкой и началом водопровода мозга. Рис. А, В.
- 2 Гипоталамическая борозда, *sulcus hypothalamicus*. Проходит от межжелудочкового отверстия до входа в водопровод мозга. Отделяет задний таламус от переднего. Рис. А.
- 3 Межжелудочковое отверстие, *foramen interventriculare*. Сообщение между боковым и III желудочками позади столба свода. Рис. А.
- 4 Зрительное углубление, *recessus opticus*. Выпячивание нижней стенки III желудочка над зрительным перекрестом. Рис. А.
- 5 Углубление воронки, *recessus infundibuli (infundibularis)*. Ниша в нижней стенке III желудочка, ведущая в воронку. Рис. А.
- 6 Шишковидное углубление, *recessus pinealis*. Слепой карман третьего желудочка, который заходит в шишковидное тело. Рис. А.
- 7 Надшишковидное углубление, *recessus suprapinealis*. Находится между крышей III желудочка и шишковидным телом. Рис. А.
- 8 Сосудистая основа третьего желудочка, *tela choroidea ventriculi tertii*. Формирует верхнюю стенку III желудочка и содержит сосудистое сплетение. Рис. Б, В.
- 9 Лента таламуса, *taenia thalami*. Проходит параллельно мозговой полоске таламуса. Место прикрепления верхней стенки третьего желудочка. Рис. Б, В.
- 10 Сосудистое сплетение третьего желудочка, *plexus choroideus ventriculi tertii*. Парное, с большим количеством сосудов, ворсинчатое образование, которое выступает в полость III желудочка со стороны его верхней стенки. Через межжелудочковое отверстие продолжается в сосудистое сплетение бокового желудочка. Рис. Б, В.
- 11 Разрезы таламуса и метаталамуса, *sectiones thalamicae et metathalae* См. стр. 409.
- 12 Ретикулярное ядро [таламуса], *nucleus reticulatus [thalami]*. Тонкий слой серого вещества между задней ножкой внутренней капсулы и наружной мозговой пластинкой. К нему подходят волокна от различных отделов коры полушарий большого мозга, бледного шара и ретикулярной формации ствола мозга. Волокна от *nucleus reticulatus*, идут к соседним ядрам таламуса и к ретикулярной формации среднего мозга. Рис. Б.
- 13 Передние ядра [таламуса], *nuclei anteriores [thalami]*. Расположены в области переднего бугорка таламуса. К ним подходят волокна сосцевидно-таламического пучка. Отростки нейронов передних ядер таламуса направляются к поясной извилине.
- 14 Переднедорсальное ядро, *nucleus anterodorsalis' (anterosuperior)*. Узкая клеточ-

- ная пластинка, расположенная сверху и спереди относительно остальных передних ядер (таламуса). Рис. Б.
- 15 Переднеventральное ядро, *nucleus anteroventralis (anteroinferior)*. Основное ядро в составе передних ядер (таламуса). Рис. Б.
- 16 Передне-медиальное ядро, *nucleus anteromedialis*. Рудиментарное ядро, расположенное медиально и книзу от передне-ventрального ядра. Рис. Б.
- 17 Срединные ядра [таламуса], *nuclei mediani [thalami]*. Локализуются под эпендимой, покрывающей медиальную поверхность таламуса. Состоят из перечисленных ниже трех групп.
- 18 Передние/задние паравентрикулярные ядра, *nuclei paraventriculares anteriores/posteriores*. Расположены в стенке III желудочка. Состоят из клеток, обладающих нейросекреторной активностью (выделяют вазопрессин, ангиотензин II, ренин). Рис. В, Г, Д.
- 19 Ромбовидное ядро, *nucleus rhomboidalis*. Расположено в метаталамическом сращении. Рис. Г.
- 20 Соединяющее ядро, *nucleus reuniens*. Начинается от переднего бугорка таламуса и заходит в межталамическое сращение. Отсутствует у 28% мужчин и 14% женщин. Рис. Г.
- 20а Паратениальное ядро [таламуса], *nucleus parataenialis [thalami]*. Расположено между мозговой полоской, лентой таламуса, переднедорсальным и паравентрикулярными ядрами таламуса. Вероятно, имеет отношение к обонятельному пути.
- 21 Медиальные ядра [таламуса], *nuclei medialis [thalami]*. Расположены медиально от внутренней мозговой пластинки. Связаны с другими ядрами таламуса и корой лобной доли.
- 22 Дорсальное медиальное ядро, *nucleus medialis dorsalis*. Основное ядро в составе медиальных ядер (таламуса). Рис. В, Г.
- 23 Мозговые пластинки, внутренняя/наружная, *laminae medullaris interna/externa*. Внутренняя пластинка - слой белого вещества, который в передневерхнем отделе таламуса расщепляется на два листка, разделяющие его на переднюю, медиальную и латеральную части. Наружная пластинка обращена к внутренней капсуле. Рис. Б.
- 24 Ретикулярные (внутрипластинчатые) ядра [таламуса], *nuclei reticulares (intralaminares thalami)*. Расположены в мозговой пластинке. Являются интегративными ядрами и функционально соответствуют ретикулярной формации.
- 25 Центральное срединное ядро, *nucleus centromedianus*. Самое крупное из внутрипластинчатых ядер. Связано с полосатым телом и гипоталамусом. Рис. Д.
- 26 Парацентральное ядро, *nucleus para-*

- centralis*. Определяется в составе внутренней мозговой пластинки снаружи от центрального срединного ядра. Рис. В, Г.
- 27 Парафасцикулярное ядро, *nucleus parafascicularis*. Лежит медиальнее задней части центрального срединного ядра. Рис. Д.
- 28 Латеральное центральное ядро, *nucleus centralis lateralis*. Лежит дорсомедиальнее центрального срединного ядра. Рис. В, Д.
- 29 Медиальное центральное ядро, *nucleus centralis medialis*. Находится у нижнего края внутренней мозговой пластинки.

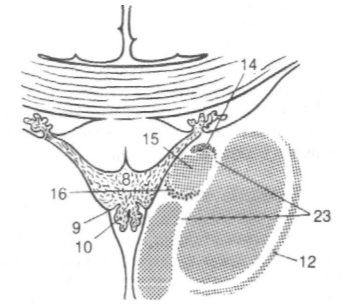


Рис. Б. Промежуточный мозг (фронтальный разрез)

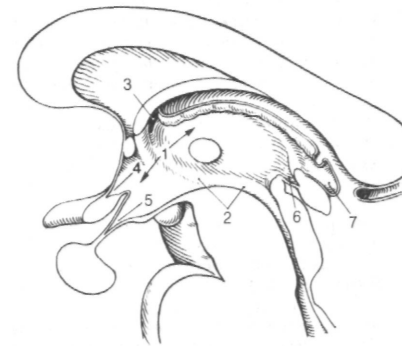


Рис. А. Промежуточный мозг (сагиттальный разрез)

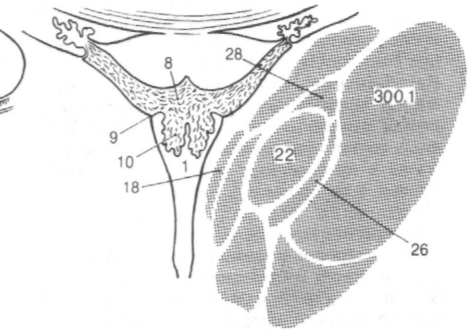


Рис. В. Ядра таламуса

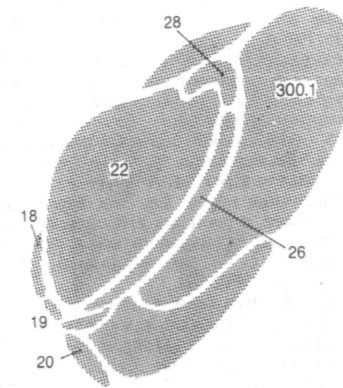


Рис. Г. Ядра таламуса

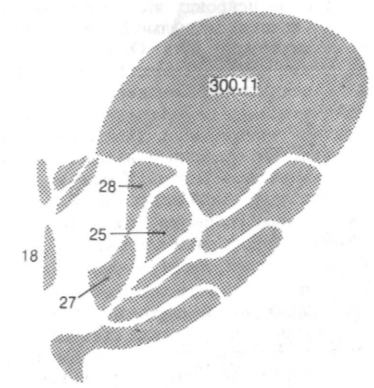


Рис. Д. Ядра таламуса

- 1 Вентролатеральные ядра [таламуса], *nuclei ventrolaterals [thalami]*. Лежат латерально от внутренней мозговой полоски. Рис. Б.
- 2 Заднее латеральное ядро, *nucleus lateralis posterior*. Расположено между подушкой (таламуса) и дорсальным латеральным ядром. Связано с корой теменной доли. Рис. А.
- 3 Дорсальное латеральное ядро, *nucleus lateralis dorsalis*. Расположено спереди и сверху относительно остальных вентролатеральных ядер таламуса. Связано с корой нижней теменной доли и задней части поясной извилины. Рис. А.
- 4 Переднее вентральное ядро, *nucleus ventralis anterior*. Самое переднее из вентролатеральных ядер (таламуса). Соединяется с внутрипластинчатыми ядрами, бледным шаром и зубчатым ядром мозжечка, а также имеет двусторонние связи с корой прецентральной извилины. Поражается при болезни Паркинсона. Рис. А.
- 5 Вентральное промежуточное ядро, *nucleus ventralis intermedius*. Расположено позади переднего вентрального ядра. Входит в состав пути, связывающего ядра мозжечка и красное ядро с моторной корой (поля 4, 6 по Бродману). Рис. А.
- 6 Медиальное вентральное ядро, *nucleus ventralis medialis*. Нечетко очерченная группа нейронов с неясной функцией спереди от задних вентральных ядер. Рис. А.
- 7 Задние вентральные ядра, *nuclei ventrales posteriores*. Представлены описанными ниже двумя группами.
- 8 *Заднелатеральное вентральное ядро, nucleus ventralis posterolateralis*. Латеральная часть заднего вентрального ядерного комплекса. На нейронах этого ядра заканчиваются волокна медиальной петли и спино-таламического пути. Отсюда импульсы по таламо-корковым волокнам передаются к постцентральной извилине. Рис. А.
- 9 *Заднемедиальное вентральное ядро, nucleus ventralis posteromedialis*. Находится между центральным срединным и заднелатеральным вентральным ядрами. К нему подходят волокна тройничной петли. Рис. А.
- 10 Задние ядра [таламуса], *nuclei posteriores [thalami]*. Три ядерных комплекса.
- 11 Ядра подушки, *nuclei pulvinares*. Занимают заднюю часть таламуса. Входят в состав проводящих путей слухового и зрительного анализаторов, а также связаны с другими ядрами таламуса, зрительным и слуховым корковыми центрами речи. Рис. А.
- 12 Латеральное ядро [коленчатого тела] [дорсальная часть], *nucleus [corporis geniculati] lateralis [pars dorsalis]*. Нейроны этого ядра входят в состав зрительного пути. Рис. А.
- 13 Медиальное ядро [коленчатого те-

- ла] [дорсальная часть], *nucleus [corporis geniculati] medialis [pars dorsalis]*. Стоит из мелких нейронов. Рис. А.
- 14 Разрезы переднего таламуса, *sectiones thalami ventralis*.
- 15 Ядро латерального коленчатого тела [вентральная часть], *nucleus corporis geniculati lateralis [pars ventralis]*. К нейронам ядра подходят волокна от сетчатки. Входит в состав рефлекторной дуги зрачкового рефлекса. Рис. В.
- 16 Ядро медиального коленчатого тела [вентральная часть], *nucleus corporis geniculati medialis [pars ventralis]*. Предположительно, основная часть соответствующего коленчатого тела, которая имеет отношение к слуховому пути. Рис. В.
- 17 Субталамическое ядро [люисово тело], *nucleus subthalamicus [corpus Luysii]*. Находится между внутренней капсулой и неопределенной зоной. Клиническое значение имеют его связи с бледным шаром. Рис. Б.
- 18 Ретикулярные ядра [таламуса], *nuclei reticulares [thalami]*. Расположены в латеральной части таламуса между наружной мозговой пластинкой и внутренней капсулой. Рис. Б.
- 19 Неопределенная зона, *zona incerta*. Является продолжением ретикулярных ядер таламуса и связана с бледным шаром. Рис. Б.
- 20 Ядра полей Н, Н1 и Н2, *nuclei regionum H, H1, H2*. Группы диффузно расположенных нейронов в составе полей Фореля. Поле Н лежит медиально от *zona incerta* и спереди от красного ядра. Поле Н1 расположено между таламусом и неопределенной зоной. Поле Н2 находится между *zona incerta* и субталамическим ядром. Рис. Б.
- 21 Пути и пучки таламуса, *tractus et fasciculi thalamici*.
- 22 Латеральная петля, *lemniscus lateralis*. Образована волокнами слухового пути, которые вступают в медиальное коленчатое тело. Рис. А.
- 23 Медиальная петля, *lemniscus medialis*. Ее волокна заканчиваются на нейронах заднелатерального вентрального ядра. Рис. А.
- 24 Спинномозговая петля, *lemniscus spinalis*. Путь, проводящий болевую чувствительность. Заканчивается в заднелатеральном вентральном ядре. Рис. А.
- 25 **Тройничная петля, lemniscus trigeminalis**. Образована отростками нейронов чувствительных ядер тройничного нерва, которые заканчиваются в заднемедиальном вентральном ядре. Рис. А.
- 26 Ручка нижнего холмика, *brachium colliculi inferioris*. Соединяет нижний холмик с медиальным коленчатым телом. Рис. В.
- 27 Слуховая лучистость, *radiatio acustica*. Часть слухового пути. Начинается от медиального коленчатого тела, проходит через подчечевичеобразную часть задней ножки внутренней капсулы и заканчивается в поперечных височных извилинах. Рис. А.
- 28 Ручка верхнего холмика, *brachium colliculi superioris*. Соединяет верхний холмик с

латеральным коленчатым телом. Связывает зрительный путь с экстрапирамидной системой. Рис. В.

- 29 Зрительная [[Граенате]] лучистость, *radiatio optica [[Gratiolet]]*. Часть зрительного пути. Начинается от латерального коленчатого тела, проходит через подчечевичеобразную часть задней ножки внутренней капсулы, огибает задний рог бокового желудочка и заканчивается в зрительной коре (область шпорной борозды). Рис. А.

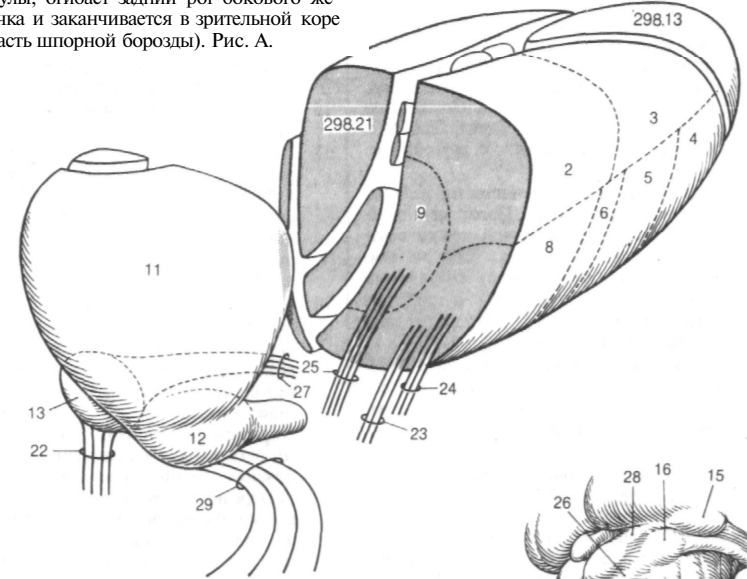


Рис. А. Ядра, пути и пучки таламуса [60]

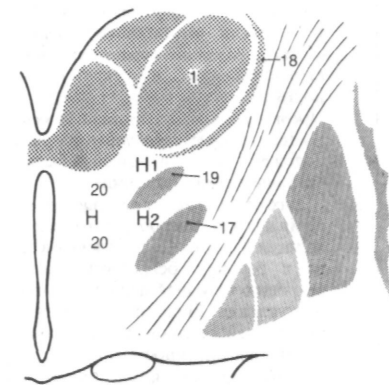


Рис. Б. Подталамическая область [26]

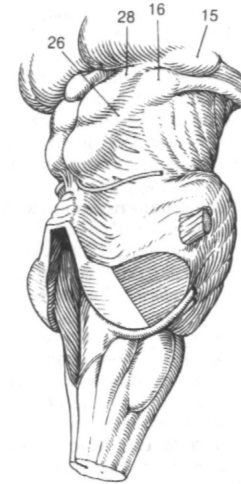


Рис. В. Мозговой ствол (вид с латеральной стороны)

- 1 Передние таламические лучистости, *radiationes thalamicae anteriores*. Проходят в передней ножке внутренней капсулы, обеспечивая двусторонние связи между передними ядрами (таламуса) и поясной извилиной, а также между медиальными ядрами (таламуса) и лобной долей. Рис. А.
- 2 Центральные таламические лучистости, *radiationes thalamicae centrales*. Проходят в таламочечевичеобразной части задней ножки внутренней капсулы, обеспечивая связи между задним и латеральными, передним вентральным, латеральным и задним вентральными ядрами таламуса с одной стороны, корой прецентральной и постцентральной извилин - с другой. Рис. А.
- 3 Задние таламические лучистости, *radiationes thalamicae posteriores*. Проходят в чечевичеобразной части задней ножки внутренней капсулы. Состоят из волокон, связывающих ядро латерального коленчатого тела (зрительная лучистость) и подушку (таламуса) с зрительной корой, зрительным и слуховым центрами речи. Рис. А.
- 4 Зубчато-таламический путь, *tractus dentato-thalamicus*. Начинается в мозжечке и в составе таламического пучка подходит к латеральному вентральному ядру (таламуса). Рис. В.
- 5 Таламический пучок, *fasciculus thalamicus*. Проходит выше неопределенной зоны и пересекает поле Н1. Состоит из чечевичеобразных пучка и петли, волокон от мозжечка к переднему и латеральному вентральным ядрам таламуса. Рис. В.
- 6 Субталамический пучок, *fasciculus subthalamicus*. Идет от бледного шара к субталамическому ядру. Рис. В.
- 7 Сосцевидно-таламический пучок, *fasciculus mamillothalamicus*. Соединяет сосцевидное тело и передние ядра таламуса. Рис. Г.
- 8 Нижняя ножка таламуса, *pedunculus thalamicus inferior*. Соединяет подушку (таламуса) и ядро медиального коленчатого тела с корой затылочной и височной долей полушарий большого мозга.
- 9 Чечевичеобразная петля и пучок, *ansa et fasciculus lentiformes*. Направляются от *nucL lentiformis* к передним ядрам (таламуса). Причем, пучок проходит в составе внутренней капсулы, а петля огибает ее передний край. Соединяясь вместе, они формируют таламический пучок Рис. В.
- 10 Ножковые петля и пучок, *ansa et fasciculus pedunculares*. В их состав входят волокна, которые проходят между чечевичеобразным ядром и миндалинным телом. Рис. Б, В.
- 11 Внутриталамические волокна, *fibrae intrathalamicae*. Соединяют между собой отдельные ядра таламуса.
- 12 Перивентрикулярные волокна, *fibrae*

*periventriculares*. Проходят под эпендимой Ш желудочка и обеспечивают двусторонние связи медиальных ядер (таламуса) с ядрами гипоталамуса. Часть из них входит в состав заднего продольного пучка.

- 13 Разрезы гипоталамуса, *sectiones hypothalamici*.
- 14 Дорсальная гипоталамическая область (поле), *regio (area) hypothalamica dorsalis*. Расположена снизу от таламуса.
- 15 Ядро чечевичеобразной петли, *nucleus ansae lenticularis*. Группа нейронов в составе одноименной петли.
- 16 Передняя гипоталамическая область, *regio hypothalamica anterior*.
- 17 Преоптическое медиальное/латеральное ядро, *nucleus preopticus medial-lateralis*. Расположены ниже передней спайки вблизи концевой пластинки и связаны с концевой полоской, медиальным пучком мозга, а также с медиальными ядрами таламуса. Рис. Г.
- 18 Супраоптическое ядро, *nucleus supraopticus*. Расположено над зрительным перекрестом. Нейросекреторные волокна нейронов этого ядра, содержащие окситоцин и вазопрессин, заканчиваются в задней доле гипофиза. Рис. Г.
- 19 Паравентрикулярные ядра, *nuclei paraventriculares*. Расположены на уровне основания гипоталамической борозды кзади от переднего гипоталамического ядра. Нейросекреторные волокна нейронов этого ядра, содержащие окситоцин и вазопрессин, направляются к задней доле гипофиза. Рис. Г.
- 20 Переднее гипоталамическое ядро, *nucleus hypothalamicus anterior*. Находится позади преоптических ядер. Соединяется с полушариями большого мозга, концевой полоской и таламусом, а также с двигательными и вегетативными ядрами. Участвует в регуляции сердечной деятельности, кровообращения и секреторной активности желез. Рис. Г.
- 21 Промежуточная гипоталамическая область, *regio hypothalamica intermedia*. Расположена между передней и задней гипоталамическими областями.
- 22 [Дугообразное ядро, *nucleus arcuatus*]]. Принадлежит серобугорным ядрам и находится в стенке Ш желудочка вблизи входа в воронку, регулирует гормональную секрецию передней доли гипофиза за счет поступления биологически активных веществ (нейрогормонов) из аксонов в воротные сосуды гипофиза. Рис. Г.
- 23 Серобугорные ядра, *nuclei tuberales*. Группа ядер в задней стенке воронки. Имеют сходную с дугообразным ядром функцию. Рис. Г.
- 24 Латеральная гипоталамическая область, *regio hypothalamica lateralis*. Отде-

лена от медиального гипоталамуса сводом, сосцевидно-таламическим пучком и медиальным пучком переднего мозга. Содержит латеральное преоптическое ядро и латеральную часть супраоптического ядра. Рис. Г.

Рис. А. Лучистости таламуса

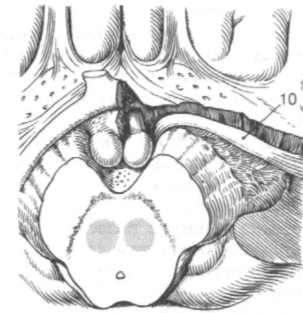
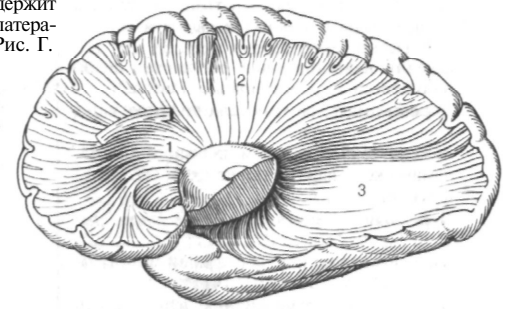


Рис. Б. Ножковые петля и пучок [61]

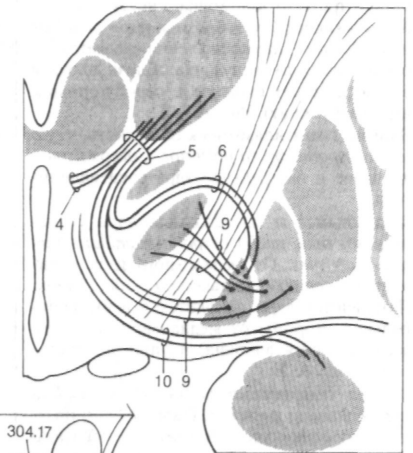


Рис. В. Подталамические проводящие пути [26]

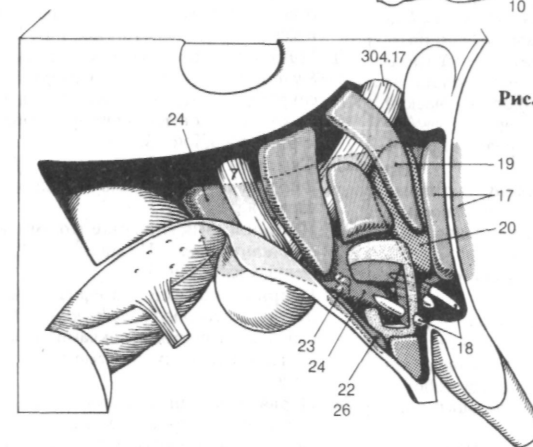


Рис. Г. Ядра гипоталамуса [26]

- 1 Вентромедиальное гипоталамическое ядро, *nucleus hypothalamicus ventromedialis*. Находится в стенке третьего желудочка вблизи входа в воронку и является составной частью серобугорных ядер. За счет выделения нейрогормонов регулирует функцию передней доли гипофиза. Рис. А.
- 2 Дорсомедиальное гипоталамическое ядро, *nucleus hypothalamicus dorsomedialis*. Расположено вблизи вентромедиального гипоталамического ядра и имеет сходную с ним функцию. Рис. А.
- 3 Дорсальное гипоталамическое ядро, *nucleus hypothalamicus dorsalis*. Группа клеток, расположенная под дорсальной гипоталамической областью. (302.14) Рис. А.
- 4 Заднее перивентрикулярное ядро, *nucleus periventricularis posterior*. Группа нейронов под эпендимой в заднем отделе боковой стенки третьего желудочка. Рис. А.
- 5 Ядро воронки (дугообразное ядро), *nucleus infundibularis (arcuatus)*. Определяется в стенке третьего желудочка вблизи входа в воронку. Имеет сходную с серобугорными ядрами функцию. Рис. А.
- 6 Задняя гипоталамическая область, *regio (area) hypothalamica posterior*. Содержит медиальное и латеральное ядра сосцевидного тела.
- 7 Медиальные и латеральные ядра сосцевидного тела, *nuclei corporis mammillaris mediales/laterales*. От медиального ядра начинается сосцевидно-таламический пучок. Латеральное ядро находится с вентролатеральной стороны от медиального и в нем заканчиваются волокна, идущие в составе свода. Рис. А, Б.
- 8 Заднее гипоталамическое ядро, *nucleus hypothalamicus posterior*. Расположено позади дорсомедиального и вентромедиального гипоталамических ядер на протяжении от сосцевидного тела до гипоталамической борозды. Участвует в регуляции кровообращения, перистальтики и уровня сахара в крови. Рис. А, Б.
- 9 Нейрогипофиз, *neurohypophysis*. В отличие от других частей задней доли гипофиза, имеет нейрогенное происхождение. Является продолжением воронки. Рис. Б.
- 10 Гипоталамические пути и пучки, *tractus et fasciculi hypothalamici*.
- 11 Перивентрикулярные волокна, *fibrae periventriculares*. Проходят под эпендимой стенки третьего желудочка. Соединяют ядра таламуса и гипоталамуса между собой и продолжают в задний продольный пучок. Рис. Б.
- 12 Дорсальная супраоптическая [[Мейнерта)] **спайка**, *commissura supraoptica dorsalis* [[Meynert]]. Проходит над зрительным перекрестом и соединяет подталамическое ядро с бледным шаром противоположной стороны.
- 13 Вентральная супраоптическая [[Гуддена]] **спайка**, *commissura supraoptica ventralis* [[Gudden]]. Пучок нервных волокон, прилегающий снизу к зрительному перекресту и соединяющий медиальные коленчатые тела между собой.
- 14 Задний продольный [[Шатца]] пучок, *fasciculus longitudinalis dorsalis* [[Schutz]]. В его формировании принимают участие большинство перивентрикулярных волокон. В среднем мозге пучок проходит вблизи водопровода и связывает гипоталамус с ядрами ствола мозга. Рис. Б.
- 15 Сосцевидно-покрышечный пучок, *fasciculus mamillo-tegmentalis*. Соединяет между собой ядра сосцевидного тела и покрышки среднего мозга. Начинается общим стволом с сосцевидно-таламическим пучком и далее разветвляется в покрышке среднего мозга. Рис. Б.
- 16 Сосцевидно-таламический пучок, *fasciculus mamillo-thalamicus*. Начинается вместе с сосцевидно-покрышечным пучком и направляется к передним ядрам (таламуса). Рис. Б.
- 17 Свод, *forix*. Его волокна идут от гиппокампа к медиальным ядрам таламуса, гипоталамусу и далее к латеральному ядру сосцевидного тела. Рис. Б.
- 18 Волокна концевой полоски, *fibrae striae terminalis*. Начинаются от миндалевидного тела и в составе концевой полоски направляются к гипоталамусу. Рис. Б.
- 19 Медиальный пучок переднего мозга, *fasciculus prosencephalicus medialis*. Расположен между медиальным и латеральным гипоталамусом. Соединяет отдельные ядра гипоталамуса между собой и продолжается в задний продольный пучок. Рис. Б.
- 20 Гипоталамо-гипофизарный путь, *tractus hypothalamohypophysialis*. Содержит нейросекреторные волокна, которые начинаются от супраоптического и паравентрикулярных ядер. Рис. Б.
- 21 Супраоптические волокна, *fibrae supraopticae*. Берут начало от одноименного ядра. Рис. Б.
- 22 Паравентрикулярные волокна, *fibrae paraventriculares*. Начинаются от одноименных ядер. Рис. Б.
- 23 Супраоптический гипофизарный путь, *tractus supraopticohypophysialis*. Образован супраоптическими волокнами до их вступления в состав гипоталамо-гипофизарного пути.
- 24 Паравентрикулярно-гипофизарный путь, *tractus paraventriculohypophysialis*. Образован паравентрикулярными волокнами до их вступления в состав гипоталамо-гипофизарного пути.

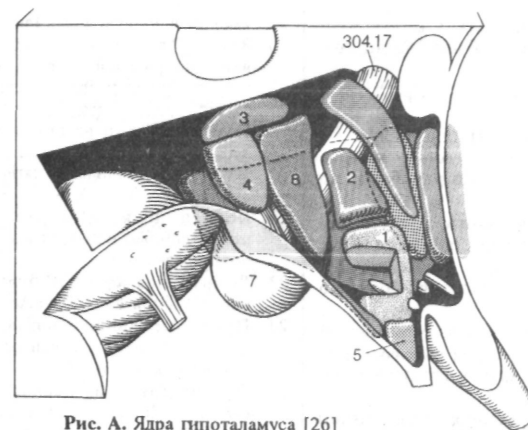


Рис. А. Ядра гипоталамуса [26]

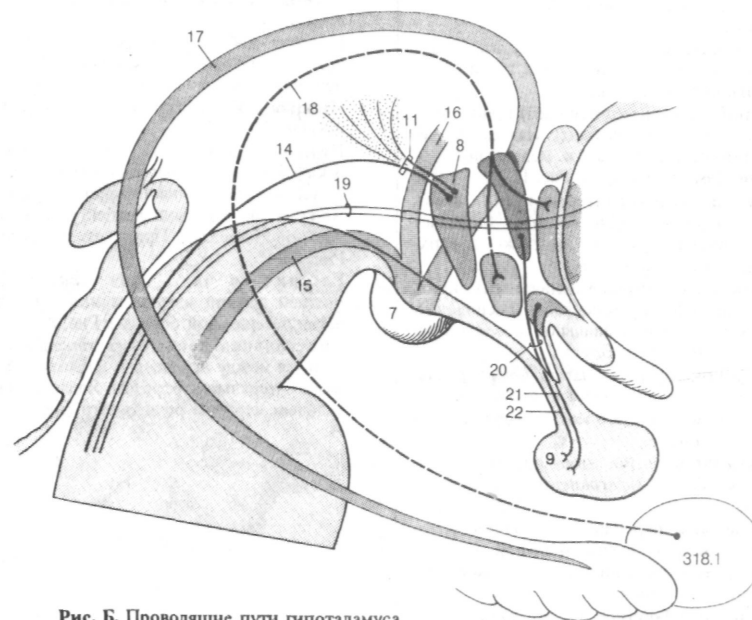


Рис. Б. Проводящие пути гипоталамуса



- 1 **КОНЕЧНЫЙ МОЗГ, telencephalon.** Развивается из переднего мозгового пузыря и состоит из коры большого мозга, мозолистого тела, полосатого тела и обонятельного мозга.
- 2 **БОЛЬШОЙ МОЗГ, cerebrum.** Представлен двумя полушариями.
- 3 **Кора большого мозга (плащ), cortex cerebri (pallium).** Серое вещество, которое снаружи покрывает полушария большого мозга.
- 4 **Извилины большого мозга, gyri cerebrales.** Каждая имеет ширину примерно 1 см.
- 5 **Борозды большого мозга, sulci cerebrales.** Находятся между извилинами большого мозга.
- 6 **Доли большого мозга, lobi cerebrales.** В составе каждого полушария выделяют лобную, височную, теменную и затылочную доли.
- 7 **Продольная щель большого мозга, fissura longitudinalis cerebri.** Проходит между двумя полушариями. В нее заходит серп мозга. Рис. Б.
- 8 **Поперечная щель большого мозга, fissura transversa cerebri** [[fissura leloidiencéphalica]]. Расположена между мозолистым телом и сводом с одной стороны, талакусом и крышей третьего желудочка - с другой. Рис. Б.
- 9 **Латеральная ямка большого мозга, fossa lateralis cerebri.** Находится в глубине латеральной борозды. Рис. Б.
- 10 **Верхний (верхнемедиальный) край, margo superior (superomedialis).** Находится между верхнелатеральной и медиальной поверхностями полушария. Рис. Б.
- 11 **Нижний (нижнелатеральный) край, margo inferior (inferolateralis).** Разделяет верхнелатеральную и нижнюю поверхности полушария. Рис. Б.
- 12 **Медиальный (нижнемедиальный) край, margo medialis (inferomedialis).** Расположен между нижней и медиальной поверхностями полушария. Рис. Б.
- 13 **[[Пограничная щель, fissura limitans]].** Находится между островком и покрышкой.
- 14 **Полушарие большого мозга, hemispherium cerebri.** Рис. Б.
- 15 **Верхнелатеральная поверхность полушария, fades superolateralis hemispherii.** Рис. Б.
- 16 **Центральная борозда, sulcus centralis.** Находится между предцентральной и постцентральной извилинами. Отделяет лобную долю от теменной. Рис. А.
- 17 **Латеральная борозда, sulcus lateralis.** Глубокая борозда между височной долей снизу, лобной и теменной - сверху.
- 18 **Передняя ветвь, ramus anterior.** Направленная вперед короткая ветвь латеральной борозды. Рис. А.
- 19 **Восходящая ветвь, ramus ascendens.** Короткая ветвь латеральной борозды, которая заходит в лобную долю. Рис. А.
- 20 **Задняя ветвь, ramus posterior.** Длинная ветвь латеральной борозды, которая заканчивается у надкраевой извилины. Рис. А.
- 21 **Междолевые борозды, sulci interlobares.** Отделяют друг от друга отдельные доли полушария. Таковыми являются центральная, теменно-затылочная и латеральная борозды.
- 22 **Лобная доля, lobus frontalis.** Находится между лобным полюсом и центральной бороздой. Рис. А.
- 23 **Лобный полюс, polus frontalis.** Передний конец лобной доли. Рис. А.
- 24 **Предцентральная борозда, sulcus precentralis.** Находится спереди от предцентральной извилины. Рис. А.
- 25 **Предцентральная извилина, gyrus precentralis.** Локализуется спереди от центральной борозды. Входит в состав двигательной коры. Рис. А.
- 26 **Верхняя лобная извилина, gyrus frontalis superior.** Рис. А.
- 27 **Верхняя лобная борозда, sulcus frontalis superior.** Проходят снизу от верхней лобной извилины. Рис. А.
- 28 **Средняя лобная извилина, gyrus frontalis medius.** Рис. А.
- 29 **Нижняя лобная борозда, sulcus frontalis inferior.** Находится между средней и нижней лобными извилинами. Рис. А.
- 30 **Нижняя лобная извилина, gyrus frontalis inferior.** Рис. А.
- 31 **Покрышечная часть [лобная покрышка], pars opercularis [operculum frontale].** Участок gyrus frontalis inferior, расположенный позади восходящей ветви латеральной борозды. Прикрывает островок. Рис. А.
- 32 **Глазничная часть, pars orbitalis.** Часть нижней лобной извилины ниже передней ветви латеральной борозды. Рис. А.
- 33 **Треугольная часть, pars triangularis.** Находится между передней и восходящей ветвями латеральной борозды. Является двигательным центром речи (центр Брока). Рис. А.

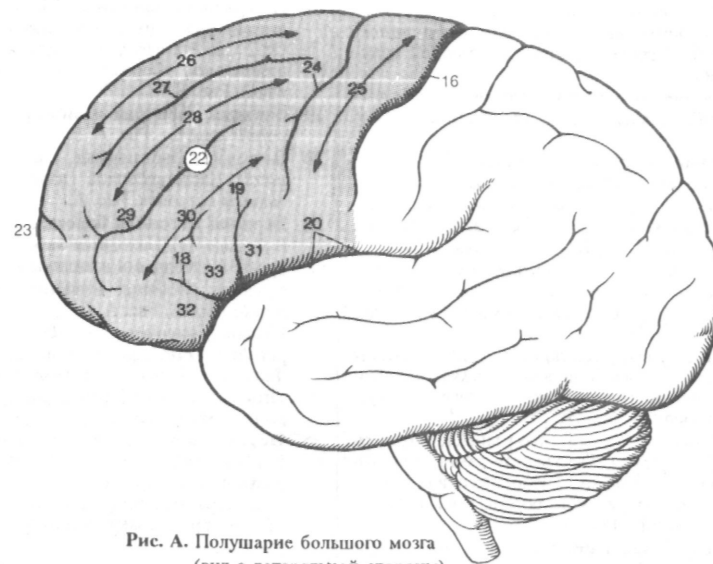


Рис. А. Полушарие большого мозга (вид с латеральной стороны)

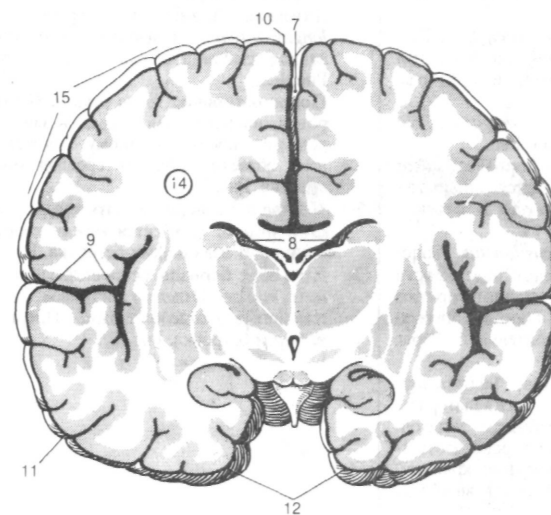


Рис. Б. Фронтальный разрез большого мозга

- 1 **Теменная доля, lobus parietalis.** Расположена между центральной и теменно-затылочной бороздами. Рис. А.
- 2 **Постцентральная борозда, sulcus postcentralis.** Задняя граница одноименной извилины. Рис. А.
- 3 **Постцентральная извилина, gyrus postcentralis.** Находится между центральной и постцентральной бороздами. Соматосенсорная область коры. Рис. А.
- 4 **Верхняя теменная доля, lobulus parietalis superior.** Верхняя половина теменной доли, расположенная позади постцентральной и выше от внутритеменной борозды. Рис. А.
- 5 **Внутритеменная борозда, sulcus intraparietalis.** Непостоянная горизонтальная борозда между верхней и нижней теменными долями. Рис. А.
- 6 **Нижняя теменная доля, lobulus parietalis inferior.** Нижняя половина теменной доли позади постцентральной и снизу от внутритеменной борозды. Рис. А.
- 7 **Лобно-теменная покрывашка, operculum frontoparietale.** Участок мозга, прикрывающий островок. Расположен над задней ветвью латеральной борозды на всем ее протяжении. Рис. А.
- 8 **Надкраевая извилина, gyrus supramarginalis.** Огибает конец задней ветви латеральной борозды. Рис. А.
- 9 **Угловая извилина, gyrus angularis.** Огибает задний конец верхней височной борозды. Рис. А.
- 10 **Затылочная доля, lobus occipitalis.** Расположена кзади от линии, соединяющей теменно-затылочную борозду и предзатылочную вырезку. Рис. А.
- 11 **Затылочный полюс, polus occipitalis.** Задний конец затылочной доли. Рис. А.
- 12 **Поперечная затылочная борозда, sulcus occipitalis transversus.** Является продолжением внутритеменной борозды в затылочную долю. Рис. А.
- 13 **Полулуная борозда, sulcus lunatus.** Расположена на верхнелатеральной поверхности полушария вблизи его затылочного полюса у заднего конца шпорной борозды. Является передней границей зрительной коры. Рис. А.
- 14 **Предзатылочная вырезка, incisura preoccipitalis.** Расположена на нижнелатеральном крае полушария и отделяет затылочную долю от теменной. На черепе соответствует точке, в которой верхний край пирамиды соединяется с чешуей височной кости. Рис. А.
- 15 **Височная доля, lobus temporalis.** Ограничена сверху задней ветвью латеральной борозды. Рис. А.
- 16 **Височный полюс, polus temporalis.** Передний конец височной доли. Рис. А.
- 17 **Поперечные височные борозды, sulci temporales transversi.** Находятся внутри зад-

- ней ветви латеральной борозды между поперечными височными извилинами. Рис. В.
- 18 **Поперечные височные [[Гешля]] извилины, gyri temporales transversii [[Heschl]].** От 2-х до 4-х извилин на дне задней ветви латеральной борозды. Кортикальный центр слуха. Рис. В.
- 19 **Верхняя височная извилина, gyrus temporalis superior.** Рис. А, В.
- 20 **Височная покрывашка, operculum temporalis.** Часть височной извилины, покрывающая островок. Рис. А.
- 21 **Верхняя височная борозда, sulcus temporalis superior.** Находится между верхней и средней височными извилинами. Рис. А.
- 22 **Средняя височная извилина, gyrus temporalis medius.** Рис. А, В.
- 23 **Нижняя височная борозда, sulcus temporalis inferior.** Проходит между средней и нижней височными извилинами. Рис. А.
- 24 **Нижняя височная извилина, gyrus temporalis inferior.** Рис. А.
- 25 **Островковая доля (островок), lobus insularis (insula).** Находится на дне латеральной борозды. В онтогенезе первоначально располагается поверхностно, а затем его прикрывают соседние участки коры. Рис. Б.
- 26 **Извилины островка, gyri insulae.**
- 27 **Короткие извилины островка, gyri breves insulae.** Занимают переднюю часть островка. Рис. Б.
- 28 **Длинная извилина островка, gyrus longus insulae.** Горизонтально ориентированная извилина в задней части островка. Рис. Б.
- 29 **Порог островка, limen insulae.** Часть островка, направленная вперед и вниз к переднему продырявленному веществу. В этой области проходит средняя мозговая артерия. Рис. Б.
- 30 **Центральная борозда островка, sulcus centralis insulae.** Находится между короткими и длинной извилинами островка. Рис. Б.
- 31 **Круговая борозда островка, sulcus circularis insulae.** Отделяет островок от окружающих его отделов мозга. Прерывается порогом островка. Рис. Б.

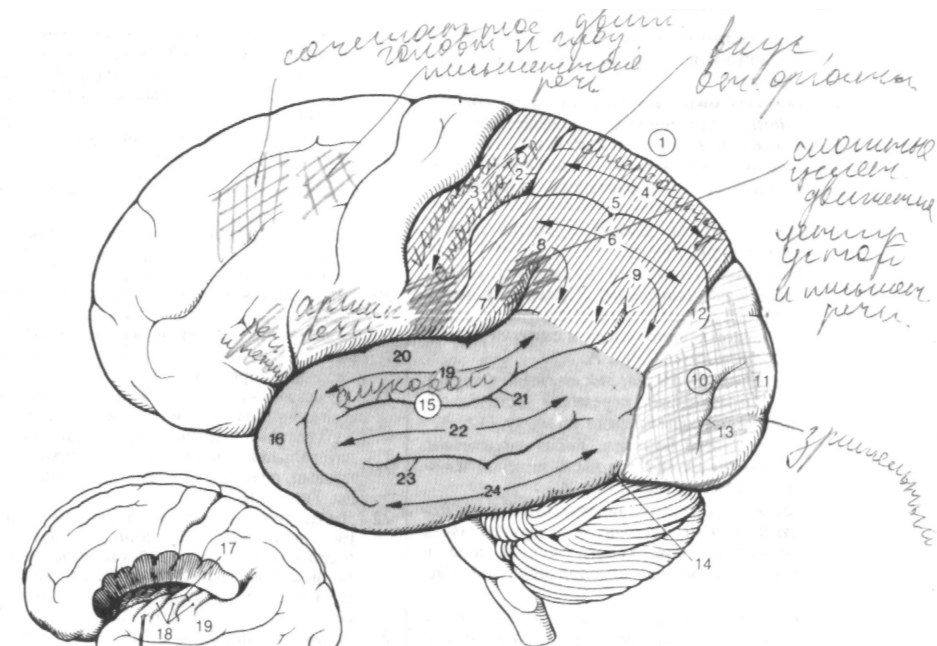


Рис. А. Полушарие большого мозга (вид с латеральной стороны)

Рис. В. Извилины Гешля

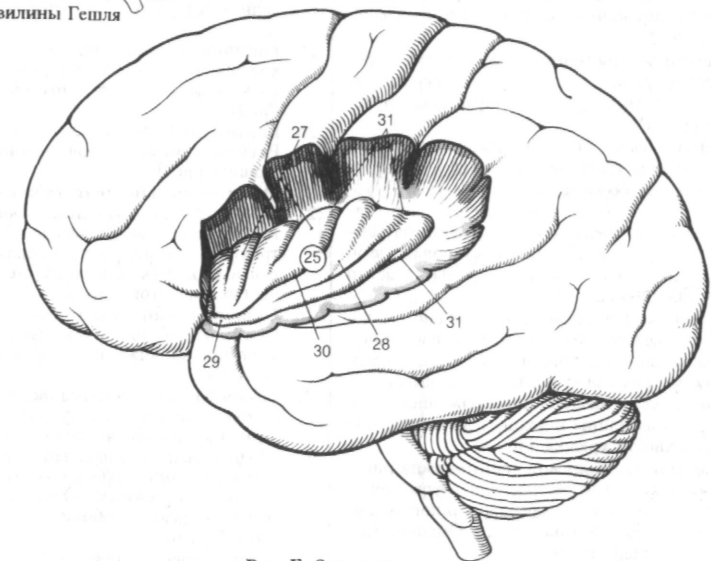


Рис. Б. Островок

- 1 Медиальная и нижняя поверхности **полушария, facies medialis et inferior hemispherii**.
- 2 Борозда мозолистого тела, *sulcus corporis callosi*. Находится между мозолистым телом и поясной извилиной. Рис. Л.
- 3 Поясная извилина, *gyrus cinguli (cingulatum)*. Идет параллельно мозолистому телу между поясной бороздой и *sulcus corporis callosi*. Входит в состав лимбической коры. Рис. А.
- 4 Перешеек поясной извилины, *isthmus gyri cinguli (cingulatus)*. Сужение в месте перехода в парагиппокампальную извилину, расположенное кзади и снизу от валика мозолистого тела. Рис. А.
- 5 **Поясная борозда, sulcus cinguli (cingulatus)**. Ограничивает переднюю часть одноименной борозды спереди и сверху. Рис. А.
- 6 Подтеменная борозда, *sulcus subparietalis*. Ограничивает заднюю часть поясной извилины сверху и сзади. Рис. А.
- 7 Медиальная лобная извилина, *gyrus frontalis medialis*. Находится в верхней части медиальной поверхности лобной доли и снизу ограничена поясной бороздой. Рис. А.
- 8 Парацентральная долька, *lobulus paracentral*. Соединяет предцентральную и постцентральную извилины на медиальной поверхности полушария. Рис. А.
- 9 Предклинье, *precuneus*. Находится спереди от теменно-затылочной борозды. Частично ограничена подтеменной бороздой. Рис. А.
- 10 Теменно-затылочная борозда, *sulcus parieto-occipitalis*. Расположена спереди от клина и отделяет затылочную долю от теменной. Рис. А.
- 11 Клин, *cuneus*. Область между шпорной и теменно-затылочной бороздами. Рис. А.
- 12 Шлорная борозда, *sulcus calcarinus*. Проходит снизу от клина и спереди под острым углом соединяется с теменно-затылочной бороздой. По обеим сторонам этой борозды располагается корковый центр зрения. Рис. А.
- 13 Зубчатая извилина, *gyrus dentatus*. Находится между гиппокампом и парагиппокампальной извилиной и благодаря наличию мелких поперечных борозд имеет зубчатый вид. Является продолжением ленточной извилины и доходит до медиальной поверхности крючка. Рис. А.
- 14 Борозда гиппокампа (гиппокампальная борозда), *sulcus hippocampi (hippocampalis)*. Находится между парагиппокампальной и зубчатой извилинами. Ограничивает крючок спереди. Рис. А.
- 15 Извилинка гиппокампа, (парагиппокампальная извилина), *gyrus hippocampi (parahippocampalis)* Расположена **ниже** одноименной борозды. Рис. А, Б.
- 16 Крючок, *uncus*. Передний, загнутый конец парагиппокампальной извилины. Рис. А, Б.
- 17 Язычная извилина, *gyrus lingualis*. Является продолжением парагиппокампальной извилины. Рис. А, Б.
- 18 Коллатеральная борозда, *sulcus collateralis*. Проходит между парагиппокампальной и медиальной затылочно-теменной извилинами. Заходит в затылочную долю. Рис. А, Б.
- 19 Носовая борозда, *sulcus rhinalis*. Является продолжением коллатеральной борозды и находится латерально от крючка. Рис. А, Б.
- 20 Медиальная затылочно-височная извилина, *gyrus occipitotemporalis medialis* Находится на нижней поверхности полушария между коллатеральной и затылочно-височной бороздами. Рис. А, Б.
- 21 Затылочно-височная борозда, *sulcus occipitotemporalis*. Проходит на нижней поверхности полушария между медиальной и латеральной затылочно-височными извилинами, снаружи от коллатеральной борозды. Рис. А, Б.
- 22 Латеральная затылочно-височная извилина, *gyrus occipitotemporalis lateralis*. Расположена с латеральной стороны одноименной борозды вдоль нижнего края височной доли и продолжается в нижнюю височную извилину. Рис. А, Б.
- 23 Прямая извилина, *gyrus rectus*. Расположена на нижней поверхности лобной доли. Рис. Б.
- 24 Обонятельная борозда, *sulcus olfactorius*. Проходит на нижней поверхности лобной доли и содержит обонятельный тракт. Рис. Б.
- 25 Глазничные извилины, *gyri orbitales*. Находятся на нижней поверхности лобной доли латерально от прямой извилины. Рис. Б.
- 26 Глазничные борозды, *sulci orbitales*. Разделяют между собой одноименные извилины. Рис. Б.
- 26а Обонятельный мозг, *rhinencephalon*.
- 27 Обонятельная луковица, *bulbus olfactorius*. Расширение у начала обонятельного тракта. Состоит, главным образом, из митральных клеток, имеющих большое количество дендритов. Рис. Б.
- 28 Обонятельный тракт, *tractus olfactorius*. Соединяет обонятельную луковицу и треугольник на нижней поверхности лобной доли. Рис. Б.
- 29 Обонятельный треугольник, *trigonum olfactorium*. Треугольной формы область на заднем конце обонятельного тракта. Рис. Б.
- 30 Медиальная и латеральная обонятельные **полоски, striae olfactoriae medialis et lateralis**. Дивергентные пучки волокон, берущие начало от обонятельного треугольника. Рис. Б.
- 31 Медиальная и латеральная обонятельные **извилины, gyri olfactorii medialis et lateralis**. Слой серого вещества, окружающий соответствующие обонятельные полоски.

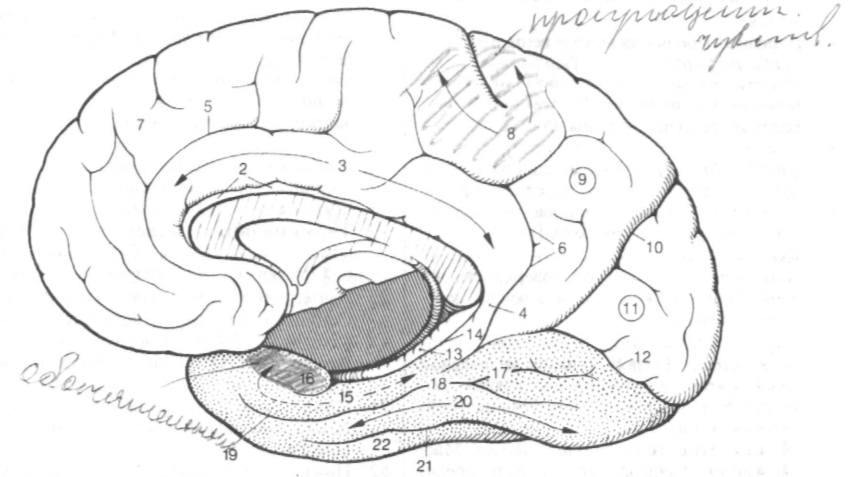


Рис. А. Полушарие большого мозга (вид с медиальной стороны)

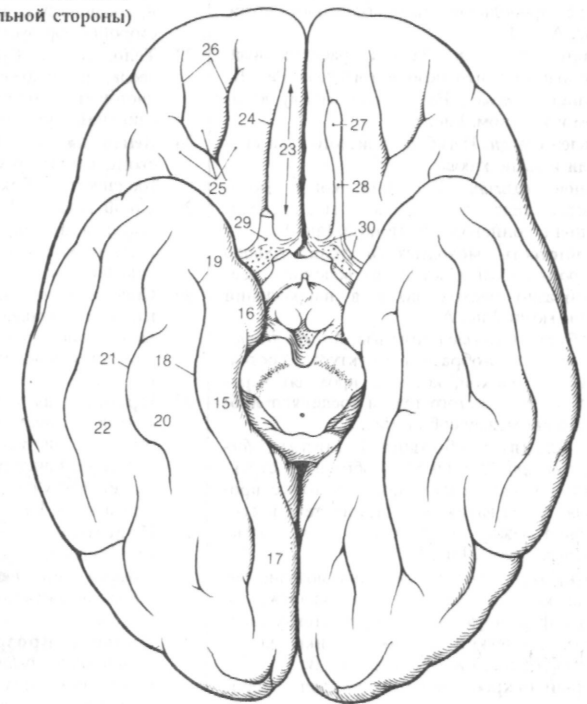


Рис. Б. Основание полушарий большого мозга

- 1 Обонятельный мозг, *rhinencephalon*. Состоит из перечисленных ниже четырех частей:
- 2 Переднее продырявленное вещество, *substantia perforata anterior*. Перфорированная область, расположенная сзади от обонятельного треугольника. В этом месте проходят кровеносные сосуды. Рис. А.
- 3 Диагональная полоска [[Брока]], *stria diagonalis* [[Broca]]. Пучки миелиновых волокон, косо пересекающие переднее продырявленное вещество. Соединяет предспаечную перегородку с крючком. Рис. А.
- 4 Подмозолистое поле, *area subcallosa*. Находится на медиальной поверхности лобной доли под коленом и клювом мозолистого тела. Рис. А.
- 5 Паратерминальная извилина, *gyrus paraterminalis*. Расположена на медиальной поверхности полушария под клювом мозолистого тела спереди от терминальной пластинки. Рис. А.
- 6 Мозолистое тело, *corpus callosum*. Массивный поперечный тяж волокон, соединяющий правое и левое полушария в глубине продольной щели большого мозга. Рис. А, Б, В.
- 7 Валик, *splenium*. Задний, расширенный, свободный конец мозолистого тела. Рис. Б.
- 8 Ствол, *truncus*. Расположен между валиком и коленом. Рис. Б.
- 9 Колено, *genu*. Изгиб мозолистого тела спереди и выше клюва. Рис. Б.
- 10 Клюв, *rostrum*. Передний конец мозолистого тела, заостренный в месте соединения с концевой пластинкой. Рис. Б.
- 11 Лучистость мозолистого тела, *radiatio corporis callosi*. Состоит из волокон, веерообразно расходящихся в направлении коры мозга. Рис. А, Г.
- 12 Лобные (малые) щипцы, *forceps frontalis (minor)*. U-образная структура, состоящая из волокон, которые проходят через колено мозолистого тела и соединяют лобные доли между собой. Рис. Г.
- 13 Затылочные (большие) щипцы, *forceps occipitalis (major)*. U-образная структура, состоящая из волокон, которые проходят через валик мозолистого тела и соединяют между собой задние отделы затылочных долей. Рис. Г.
- 14 Покров, *tapetum*. Волокна мозолистого тела, которые направляются кнаружи и вниз, формируя латеральную стенку нижнего, боковую и верхнюю стенки заднего рога бокового желудочка. Рис. В.
- 15 Серый покров, *indusium griseum*. Серое вещество на верхней поверхности мозолистого тела.
- 16 Медиальная продольная полоска, *stria longitudinalis medialis*. Состоит из белого вещества и расположена вдоль средней линии на поверхности мозолистого тела. Входит в состав обонятельного мозга. Рис. Б, В.
- 17 Латеральная продольная полоска, *stria longitudinalis lateralis*. Парная полоска белого вещества на поверхности мозолистого тела, которая латерально прикрыта поясной извилиной. Является составной частью обонятельного мозга. Рис. Б, В.
- 18 Ленточная извилина, *gyrus fasciolaris*. Огибает сзади валик мозолистого тела и соединяет продольные полоски и серый покров с зубчатой извилиной. Рис. Б.
- 19 Терминальная пластинка, *lamina terminalis*. Участвует в образовании передней стенки третьего желудочка. Рис. А, Б.
- 20 Передняя спайка, *commissura anterior*. Соединяет полушария большого мозга и находится позади концевой пластинки. Входит в состав передней стенки третьего желудочка. Рис. А.
- 21 Свод, *formix*. Дугообразные пучки волокон между соседними телами и гиппокампом. Рис. Б.
- 22 Ножка, *crus*. Начинается в виде бахромок гиппокампа, окружает полушку (таламуса) и, соединяясь с ножкой противоположной стороны, образует тело свода. Рис. Б.
- 23 Тело, *corpus*. Средняя, непарная часть свода, расположенная ниже ствола мозолистого тела. Формируется в результате соединения двух ножек. Рис. Б.
- 24 Лента, *taenia*. Тонкий, латеральный край свода, к которому прикрепляется сосудистое сплетение бокового желудочка. Рис. Б.
- 25 Столб, *columna*. Передняя часть свода. Участвует в формировании передней стенки третьего желудочка и заканчивается в соседнем теле. Рис. Б.
- 26 Спайка, *commissura*. Треугольная пластинка, соединяющая ножки свода ниже валика мозолистого тела, в которой перекрещиваются волокна от бахромок гиппокампа. Рис. Б.
- 27 Прозрачная перегородка, *septum pellucidum (lucidum)*. Тонкая пластинка, которая состоит из двух листков и проходит между мозолистым телом и сводом. Разделяет между собой передние рога боковых желудочков. Рис. Б.
- 28 Пластинка прозрачной перегородки, *lamina septi pellucidum*. Парная мембрана, которая ограничивает с латеральной стороны полость прозрачной перегородки. Рис. Б.
- 29 Полость прозрачной перегородки, *caelum septi pellucidum*. Замкнутая полость между двумя пластинками прозрачной перегородки. Ее размеры могут варьировать. Рис. Б.
- 30 Предспаечная перегородка, *septum precommissurale*. Находится на медиальной поверхности лобной доли спереди от концевой пластинки.

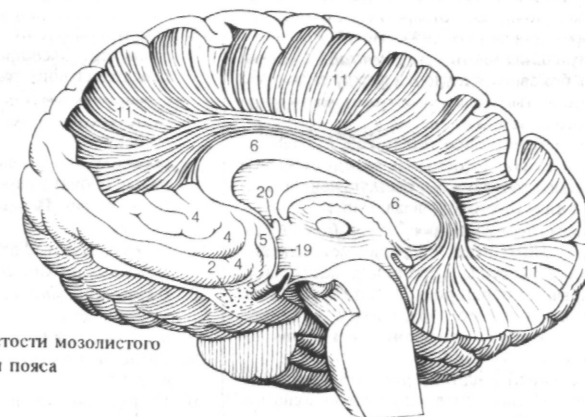


Рис. А. Лучистости мозолистого тела и пояса

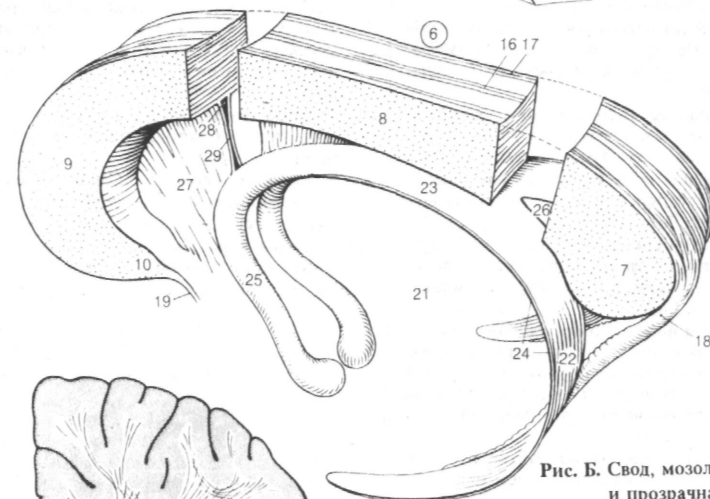


Рис. Б. Свод, мозолистое тело и прозрачная перегородка (вид сзади и сбоку)

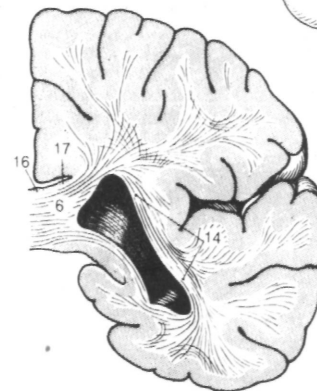


Рис. В. Покров (фронтальный разрез полушария большого мозга)

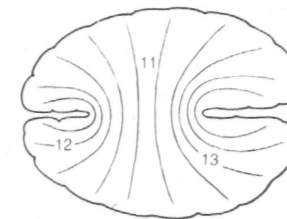


Рис. Г. Большие и малые щипцы (схема)

- 1 **Боковой желудочек, *ventriculus lateralis*.** Соединяется с третьим желудочком через межжелудочковое отверстие. Состоит из четырех описанных ниже частей. Рис. А.
- 2 **Центральная часть, *pars centralis*.** Средняя часть бокового желудочка между таламусом и мозолистым телом. Содержит часть сосудистого сплетения. Рис. А.
- 3 **Межелуждочковое отверстие, *foramen interventriculare*.** Сообщение между боковым и третьим желудочком, расположенное сзади и книзу от столба свода. Рис. Г.
- 4 **Лобный (передний) рог, *cornu frontale (anterius)*.** Находится спереди межжелудочкового отверстия. Ограничен: медиально - прозрачной перегородкой, латерально - головкой хвостатого ядра, сверху - стволом, спереди и снизу - коленом или клювом мозолистого тела. Рис. А.
- 5 **Затылочный (задний) рог, *cornu occipitale (posterius)*.** Заходит в затылочную долю полушария большого мозга. Рис. А.
- 6 **Височный (нижний) рог, *cornu temporale (inferius)*.** Находится латерально от гиппокампа и содержит часть сосудистого сплетения. Рис. А.
- 7 **Терминальная полоска, *stria terminalis*.** Продольный тяж миелиновых волокон, который начинается от миндалевидного тела. Расположен в области угла между таламусом и хвостатым ядром над таламостриарной веной. Рис. Б.
- 8 **Прикрепленная пластинка, *lamina affixa*.** Дно латеральной желудочка. Расположена между концевой полоской и сосудистой лентой. Рис. Б.
- 9 **Сосудистая щель, *fissura choroidea*.** Щель между таламусом и сводом, через которую сосудистое сплетение проникает в боковой желудочек. В нижнем роге расположена между бахромкой гиппокампа и концевой полоской. Рис. Б.
- 10 **Сосудистая лента, *taenia choroidea*.** Место прикрепления сосудистого сплетения бокового желудочка к таламусу. Визуально различима после удаления *plexus choroideus*. Рис. Б.
- 11 **Сосудистое сплетение бокового желудочка, *plexus choroideus ventriculi lateralis*.** Ворсинчатая, хорошо васкуляризованная структура, проникающая в боковой желудочек через сосудистую щель. Спереди доходит до межжелудочкового отверстия, сзади продолжается в нижний рог. Рис. Б.
- 12 **Луковина затылочного (заднего) рога, *bulbus cornus occipitalis (posterioris)*.** Возвышение на медиальной стенке заднего рога, образованное волокнами валика мозолистого тела. Рис. В.
- 13 **Птичья шпора, *calcar avis*.** Валик на медиальной стенке заднего рога, соответствующий шпорной борозде. Рис. В.
- 14 **Коллатеральное возвышение, *eminentia***

- collateralis*.** Расположено в боковом отделе дна нижнего рога вблизи гиппокампа и соответствует одноименной борозде. Рис. В.
- 15 **Коллатеральный треугольник, *trigonum collateral*.** Расширение у места начала коллатерального возвышения на границе с задним рогом. Рис. В.
- 16 **Гиппокамп, *hippocampus*.** Выпянутое возвышение на стенке нижнего рога, соответствующее одноименной борозде. Входит в состав обонятельного мозга. Рис. В.
- 17 **Ножка, *pes*.** Передний конец гиппокампа. Рис. В.
- 18 **Лоток, *alveus*.** Тонкий слой белого вещества на поверхности гиппокампа. Рис. В.
- 19 **Бахромка, *fimbria*.** Пучки волокон от лотка гиппокампа, продолжающиеся медиально и кверху в ножки свода. Рис. В.
- 19a **Разрезы конечного мозга, *sectiones telencephali*.**
- 20 **Старая кора, *archicortex (archipallium)*.** Старая, с филогенетической точки зрения, часть коры большого мозга, которая представлена гиппокампом и зубчатой извилиной, где имеется только три слоя нейронов.
- 21 **Древняя кора, *paleocortex*.** Соответствует области мозга, которая развивается из грушевидной доли.
- 22 **Новая кора, *neocortex*.** Самая большая по протяженности часть, в которой различают шесть слоев нейронов.
- 22a **Средняя кора, *mesocortex*.** Не полностью дифференцированная зона коры островка (висцеральная кора).

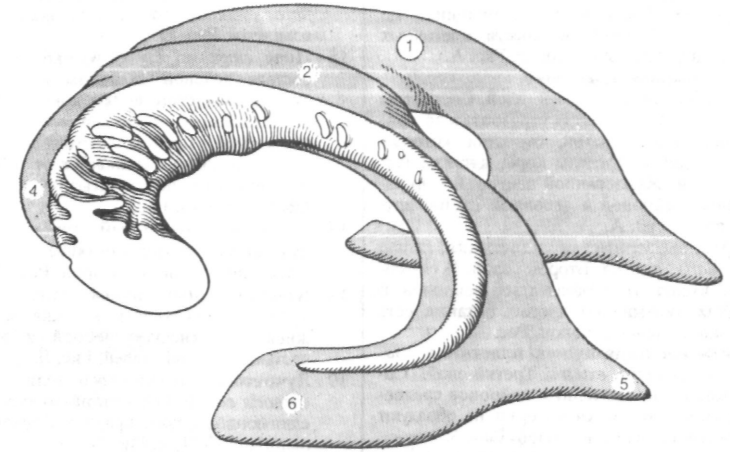


Рис. А. Боковые желудочки и левое хвостатое ядро

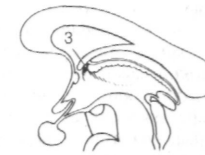


Рис. Г. Межелуждочковое отверстие

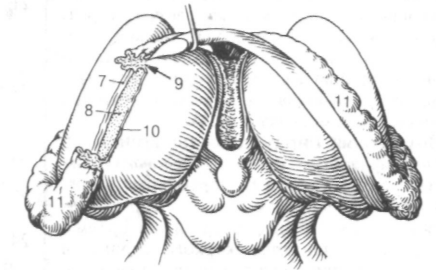


Рис. Б. Таламус, ножки свода и сосудистое сплетение бокового желудочка

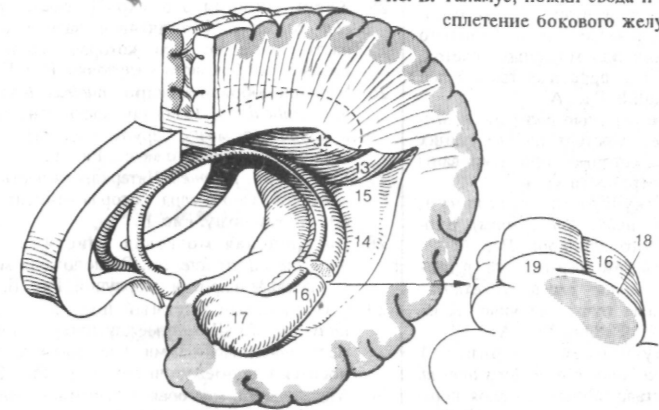


Рис. В. Левый гиппокамп

- 1 **Разрезы конечного мозга, sectiones telencephali.**
- 2 **Кора большого мозга, cortex cerebri (cortex cerebri).** Серое вещество толщиной 1,5 - 4,5 мм. Состоит из шести клеточных слоев, перечисленных ниже. Рис. А.
- 3 **Молекулярная пластинка, lamina molecularis (plexiformis).** Первый слой. Состоит из небольшого количества горизонтально ориентированных клеток, отростки которых не выходят за пределы коры, а также густой сети, образованной дендритами пирамидных нейронов и аксонами клеток других слоев. Рис. А.
- 4 **Наружная зернистая пластинка, lamina granulans externa.** Второй слой. В его состав входят тела звездчатых нейронов и мелких пирамидных клеток, а также сеть тонких нервных волокон. Рис. А.
- 5 **Наружная пирамидная пластинка, lamina pyramidalis externa.** Третий слой. Содержит тела пирамидных нейронов среднего размера, отростки которых не образуют длинных проводящих путей. Рис. А.
- 6 **Внутренняя зернистая пластинка, lamina granulans interna.** Четвертый слой. Состоит из плотно расположенных звездчатых нейронов, к которым подходят таламокорковые волокна. В ее состав входят также пучки тангенциально ориентированных миелиновых волокон - полоска внутренней зернистой пластинки. Рис. А.
- 7 **Внутренняя пирамидная пластинка, lamina pyramidalis interna (ganglionaris).** Пятый слой. Содержит, преимущественно, крупные пирамидные клетки. Определяется в составе 4-го и 6-го полей (по Бродману), где начинаются корково-ядерные и корково-спинномозговые проводящие пути. Рис. А.
- 8 **Мультиформная пластинка, lamina multi-formis.** Шестой слой. Состоит из большого количества мелких полиморфных клеток. Без резкой границы продолжается в белое вещество полушарий. Рис. А.
- 9 **Тангенциальные нервные волокна, neuro-fibrae tangenciales.** Состоят из следующих четырех слоев, которые ориентированы параллельно поверхности коры.
- 10 **Полоска молекулярной пластинки, stria laminae molecularis (plexiformis).** Входит в состав первого слоя коры. Рис. А.
- 11 **Полоска наружной зернистой пластинки, stria laminae granulans externa.** Слабо выраженные пучки нервных волокон во втором слое коры. Рис. А.
- 12 **Полоска внутренней зернистой пластинки, stria laminae granulans interna.** Находится в составе четвертого слоя коры [внутренняя пластинка Байярже (Baillarger)]. Рис. А.
- 13 **Полоска внутренней пирамидной пластинки, stria laminae pyramidalis interna (ganglionaris).** Входит в состав пятого

слоя коры [внутренняя пластинка Байярже (Baillarger)]. Рис. А.

- 14 **Дугообразные волокна большого мозга, fibrae arcuatae cerebri.** Соединяют соседние извилины. Рис. Е.
- 15 **Пояс, cingulum.** Пучки волокон, которые в составе поясной извилины направляются от подмозолистого поля к крючку. Рис. В.
- 16 **Верхний продольный пучок, fasciculus longitudinalis superior.** Состоит из ассоциативных волокон. Начинается от лобной доли, проходит через затылочную долю к *bbus temporalis*. Рис. Д.
- 17 **Нижний продольный пучок, fasciculus longitudinalis inferior.** Соединяет височную и затылочную доли полушарий. Рис. Д.
- 18 **Крючковидный пучок, fasciculus uncinatus.** Ассоциативные волокна между нижней поверхностью лобной и передней частью височной долей. Рис. Д.
- 19 **Лучистость мозолистого тела, radiatio corporis callosi.** Образована волокнами, соединяющими кору правого и левого полушарий. 312.11-4. Рис. В.
- 20 **Базальные ядра, nuclei basales.**
- 21 **Полосатое тело, corpus striatum.** Состоит из хвостатого ядра и скорлупы, связанных между собой полосками серого вещества. Часть экстрапирамидной системы. Рис. Г.
- 22 **Хвостатое ядро, nucleus caudatus.** Выпянутое образование вокруг таламуса. Развивается из ганглиозной массы telencephalon.
- 23 **Головка [[хвостатого ядра]], caput [[nuclei caudati]].** Передняя часть ядра, которая формирует латеральную стенку переднего рога бокового желудочка. Рис. Б, Г.
- 24 **Тело [[хвостатого ядра]], corpus [[nuclei caudati]].** Средняя часть ядра, расположенная сверху от таламуса. Рис. Б, Г.
- 25 **Хвост [[хвостатого ядра]], cauda [[nuclei caudati]].** Истонченная задняя часть хвостатого ядра, которая заходит в нижний рог бокового желудочка. Рис. Г.
- 26 **Чечевицеобразное ядро, nucleus lentiformis (lenticularis).** Одна его часть относится к конечному мозгу, другая - входит в состав промежуточного мозга. Рис. Г.
- 27 **Скорлупа, putamen.** Латеральная часть чечевицеобразного ядра, которая относится к конечному мозгу. Рис. Б.
- 28 **Латеральная мозговая пластинка, lamina medullaris lateralis.** Расположена между бледным шаром и скорлупой. Рис. Б.
- 29 **Латеральный бледный шар, globus pallidus lateralis.** Ляжат между латеральной и медиальной мозговыми пластинками. Относится к промежуточному мозгу. Рис. Б.
- 30 **Медиальная мозговая пластинка, lamina medullaris medialis.** Отделяет медиальный бледный шар от латерального. Рис. Б.
- 31 **Медиальный бледный шар, globus pallidus medialis.** Находятся кнутри от медиальной мозговой пластинки. Рис. Б.

- 32 **Ограда, claustrum.** Слой серого вещества между чечевицеобразным ядром и корой полушарий большого мозга. Рис. Б.

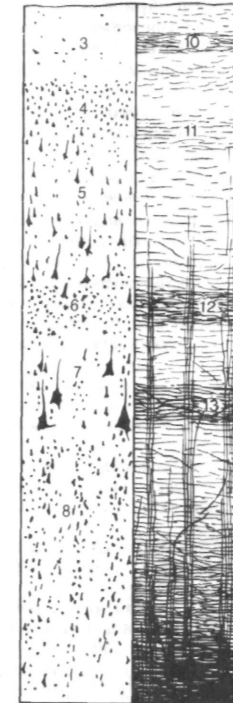


Рис. А. Микроскопическое строение коры мозга (слева - клетки, справа - волокна)

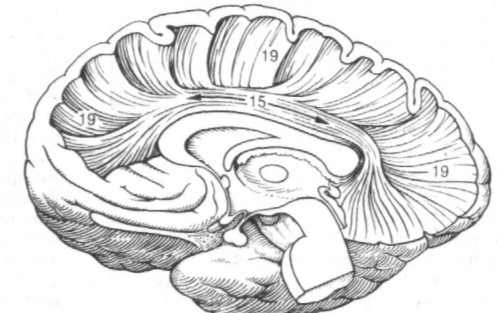
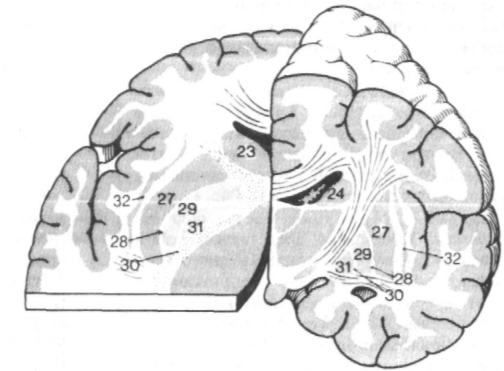


Рис. В. Лучистость мозолистого тела и пояс

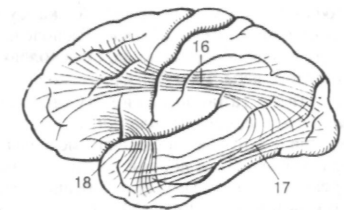


Рис. Д. Пучки ассоциативных нервных волокон

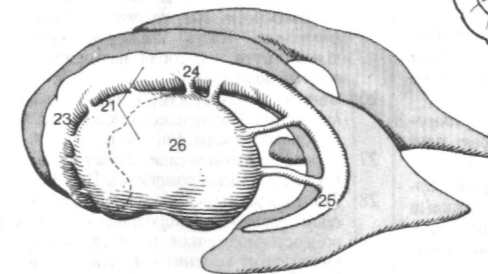


Рис. Г. Боковые желудочки, левые хвостатое и чечевицеобразное ядра



Рис. Е. Дугообразные нервные волокна



- 1 Миндалевидное тело, *corpus amygdaloideum*. Группа нейронов, спереди от нижнего рога бокового желудочка, связанная с корой медиальной поверхности полушария и являющаяся частью обонятельного мозга. Оказывает влияние на некоторые вегетативные функции и эмоциональное поведение человека. Рис. Г.
- 2 Переднее миндалевидное поле, *area amygdaloidea anterior*. Группа нейронов вблизи переднего продырявленного вещества. В этой области заканчивается латеральный обонятельный тракт и начинается диагональная полоска (Брока). Рис. Г.
- 3 Базально-латеральная часть, *pars basolateralis*. У человека представляет собой большую группу ядер миндалевидного комплекса, которые связаны с гиппокампом, гипоталамусом, концевой полоской и другими частями мозга, но не имеют отношения к обонятельному мозгу. Рис. Г.
- 4 Кортиково-медиальная [обонятельная] часть, *pars corticomediales [olfactoria]*. Расположена в верхнемедиальной области миндалевидного тела, получает волокна от обонятельного тракта и принимает участие в формировании концевой полоски. Рис. Г.
- 5 Самая наружная капсула, *capsula externa*. Расположена между корой островка и оградой. Рис. А, Б.
- 6 Наружная капсула, *capsula externa*. Находится между оградой и чечевицеобразным ядром. Рис. А, Б.
- 7 Внутренняя капсула, *capsula interna*. Расположена между чечевицеобразным ядром с одной стороны, таламусом и хвостатым ядром - с другой. В ней проходят все проекционные волокна, связывающие кору большого мозга с другими отделами центральной нервной системы. Рис. А.
- 8 Передняя ножка внутренней капсулы, *crus anterius capsulae intemae*. Расположена между чечевицеобразным ядром и головкой хвостатого ядра. Рис. А.
- 9 Передние таламические лучистости, *radiationes thalamicae anteriores*. Содержат волокна, которые соединяют медиальные ядра (таламуса) с лобной долей, а также передние ядра (таламуса) с передним отделом поясной извилины. Рис. Б.
- 10 Лобно-мостовой путь, *tractus frontopontine*. Состоит из волокон, которые идут от лобной доли к ядрам моста. Рис. Б.
- 11 Колено внутренней капсулы, *genu capsulae intemae*. Находится между ножками внутренней капсулы. Участвует в формировании латеральной стенки бокового желудочка. Рис. А, Б.
- 12 Кортиково-ядерный путь, *tractus corticonuclearis*. Часть пирамидного пути, которая направляется к двигательным ядрам черепных нервов. Рис. Б.
- 13 Задняя ножка внутренней капсулы,

*crus posterius capsulae intemae*. Ограничена чечевицеобразным ядром с одной стороны, таламусом и телом хвостатого ядра - с другой. Рис. А.

- 14 Таламочечевицеобразная часть, *pars thalamolenticiformis*. Продолжается до заднего края чечевицеобразного ядра. Рис. Б.
- 15 Кортиково-спинномозговые волокна, *fibrae corticospinales*. Входят в состав пирамидного пути. Организованы таким образом, что волокна, направляющиеся к сегментам спинного мозга, иннервирующим более каудальные отделы тела, лежат ближе к затылочному концу задней ножки. Рис. Б.
- 16 Кортиково-красноядерные волокна, *fibrae corticorubrales*. Соединяют лобную долю с красным ядром. Рис. Б.
- 17 Кортиково-ретикулярные волокна, *fibrae corticoreticulares*. Начинаются от коры по обе стороны от центральной борозды и направляются к ретикулярной формации. Рис. Б.
- 18 Кортиково-таламические волокна, *fibrae corticothalamicae*. Входят в состав таламических лучистостей и заканчиваются в ядрах таламуса. Рис. Б.
- 19 Таламо-теменные волокна, *fibrae thalamoparietales*. Составляют часть таламических лучистостей, направляются к коре полушария. Рис. Б.
- 20 Центральные таламические лучистости, *radiationes thalamicae centrales*. (302.2.) Рис. Б.
- 21 Подчечевицеобразная часть, *pars sublentiformis*. Расположена под задней частью чечевицеобразного ядра. Рис. А, Б.
- 22 Зрительная [[Грасиоле]] лучистость, *radiatio optica [[Gratiolet]]*. Направляется от латерального коленчатого тела к шпорной борозде. Рис. А, Б.
- 23 Слуховая лучистость, *radiatio acustica*. Направляется от медиального коленчатого тела к поперечным височным извилинам [[Гешля]]. Рис. А, Б.
- 24 Кортиково-покрышечные волокна, *fibrae corticocostales*. Соединяют кору большого мозга с крышей среднего мозга. Рис. Б.
- 25 Височно-мостовые волокна, *fibrae temporo-pontinae*. Часть корково-мосто-мозжечкового пути, которая начинается от височной доли. Рис. Б.
- 26 Зачечевицеобразная часть, *pars retrolenticiformis*. Расположена кзади от чечевицеобразного ядра. Рис. А, Б.
- 27 Задние таламические лучистости, *radiationes thalamicae posteriores*. Рис. Б.
- 28 Теменно-затылочно-мостовой пучок, *fasciculus parieto-occipitopontinus*. Часть корково-мосто-мозжечкового пути, которая начинается от теменной и затылочной долей. Рис. Б.
- 29 Лучистый венец, *corona radiata*. Волокна внутренней капсулы, которые веерообразно расходятся к коре большого мозга. Рис. А.
- 30 Передняя спайка, *commissura anterior*. Ле-

жит спереди столбов свода. Входит в состав передней стенки III желудочка. Рис. А, В.

- 31 Передняя часть, *pars anterior*. Продолжается в подмозолистое поле. Является частью обонятельного мозга. Рис. В.
- 32 Задняя часть, *pars posterior*. Большая часть передней спайки, которая соединяет височные доли между собой. Рис. В.
- 33 Ассоциативные нервные волокна, *neurofibrae associationes*. Соединяют соседние или более отдаленные участки коры в пределах одного полушария. Например, верхний продольный пучок, пояс.
- 34 Комиссуральные нервные волокна, *neurofibrae commissurales*. Соединяют аналогичные области двух полушарий.
- 35 Проекционные нервные волокна, *neurofibrae projectiones*. Образуют длинные проводящие пути. Например, пирамидный путь, зрительную, слуховую и таламическую лучистости.

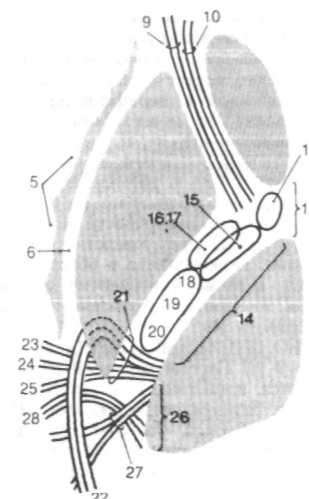


Рис. Б. Внутренняя капсула

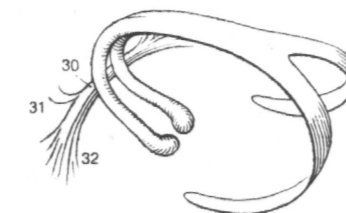


Рис. В. Свод и передняя спайка мозга

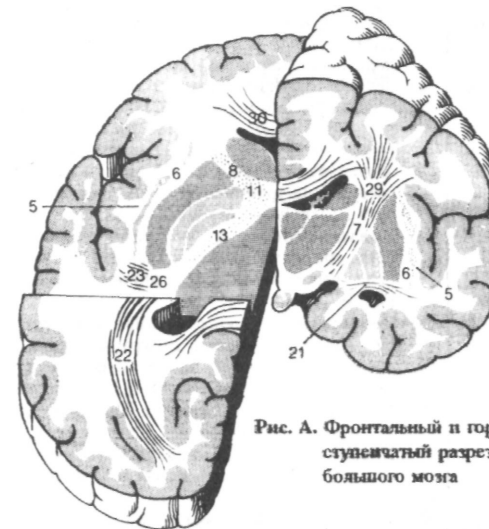


Рис. А. Фронтальный и горизонтальный ступенчатый разрезы полушарий большого мозга

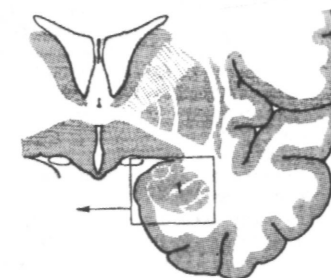
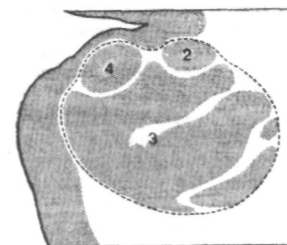


Рис. Г. Миндалевидное тело

- 1 Периферическая часть (периферическая нервная система), *pars peripherica (systema nervosum periphericum)*. Включает периферические нервы и узлы. Граница между центральной и периферической частями проходит по поверхности головного и спинного мозга.
- 2 ЧЕРЕПНЫЕ НЕРВЫ, *nervi craniales (encephalici)*. Все 12 пар черепных нервов, за исключением блокового (ГЧЮ, выходят на вентральной поверхности мозга и покидают череп через отверстия на его основании. Разветвляются в области головы и шеи, а также иннервируют органы грудной и брюшной полостей (блуждающий нерв).
- 3 ОБОНЯТЕЛЬНЫЕ НЕРВЫ (I), *nn. olfactorii [I]* Первый черепной нерв. Формируется, примерно, 20-ю небольшими пучками безмиелиновых аксонов обонятельных нейронов, которые проходят через решетчатую пластинку *os ethmoidale* и заканчиваются в обонятельной луковице. Рис. А.
- 4 ЗРИТЕЛЬНЫЙ НЕРВ (II), *opticus [II]*. Второй черепной нерв. Выходит из глазного яблока с медиальной стороны от заднего полюса и заканчивается зрительным перекрестом. Рис. Б, В.
- 5 ГЛАЗОДВИГАТЕЛЬНЫЙ НЕРВ (III), л. *oculomotorius [III]*. Третий черепной нерв. Выходит из одноименной борозды с медиальной стороны ножки мозга, в глазницу попадает через верхнюю глазничную щель. Содержит двигательные соматические и парасимпатические волокна. Рис. Б, В.
- 6 Верхняя ветвь, *ramus superior*. Иннервирует верхнюю прямую мышцу и мышцу, поднимающую верхнее веко. Рис. Б
- 7 Нижняя ветвь, *ramus inferior*. Иннервирует медиальную и нижнюю прямые, а также нижнюю косую мышцы. Рис. Б
- 8 Ресничный узел, *ganglion ciliare*. Парасимпатический узел на 2 см кади от глазного яблока, латеральнее зрительного нерва. Аксоны его нейронов следуют к ресничной мышце и сфинктеру зрачка. Рис. Б.
- 9 Парасимпатический (глазодвигательный) корешок, *radix parasymphathetica (oculomotoria)*. Ветвь III нерва, которая содержит преганглионарные парасимпатические волокна к ресничному узлу. Рис. Б.
- 10 Короткие ресничные нервы, *nn. ciliares breves*. Состоят из постганглионарных парасимпатических и симпатических волокон. Прободают склеру сверху и снизу от зрительного нерва. Рис. Б.
- 11 Симпатический корешок, *radix sympathetica*. Тонкие постганглионарные симпатические волокна из внутреннего сонного сплетения, которые проходят через ресничный узел транзитом (не образуют синнапсов). Рис. Б.
- 12 Чувствительный (носоресничных) корешок, *radix sensoria (nasociliaris)*. Содержит

- афферентные волокна от глазного яблока, которые присоединяются к носоресничному нерву. Рис. Б.
- 13 БЛОКОВЫЙ НЕРВ (IV), л. *trochlearis [IV]*. Четвертый черепной нерв. Тонкий нерв, который выходит из мозга позади пластинки четверохолмия. Иннервирует верхнюю косую мышцу. Рис. Б
- 14 Перекрест блоковых нервов, *decussatio nervorum trochlearium*. Расположен в верхнем мозговом парусе. Рис. Б
- 15 ТРОЙНИЧНЫЙ НЕРВ (V), л. *trigeminus [V]*. Пятый черепной нерв (нерв I-й жаберной дуги). Выходит из мозга латеральнее моста двумя группами волокон. Иннервирует жевательные мышцы, кожу и слизистые оболочки головы. Рис. Б, В.
- 16 Чувствительный корешок, *radix sensoria [portio major]*. Выходит из моста каудальнее двигательного корешка и продолжается в тройничный узел. Рис. В.
- 17 Тройничный [[полулунный, гассеров]] узел, *ganglion trigeminale [semilunare, Gasserii]*. Аналог спинномозгового узла, находится в тройничной полости на передней поверхности пирамиды височной кости над рваным отверстием. Рис. В.
- 18 Двигательный корешок, *radix motoria [portio minor]*. Выходит из моста краниальнее чувствительного корешка и далее следует под тройничным узлом. Иннервирует жевательные мышцы. Рис. В.
- 19 Глазной нерв, л. *ophthalmicus*. Первая ветвь тройничного нерва. Выходит из черепа через верхнюю глазничную щель. Рис. В.
- 20 Тенториальная (оболочечная) ветвь, *ramus tentorii (meningeus)*. Возвратная ветвь, которая иннервирует намет мозжечка и серп большого мозга. Рис. В.
- 21 Слезный нерв, л. *lacrimalis*. Проходит в латеральной части верхней глазной щели. Иннервирует слезную железу, конъюнктиву и латеральную часть верхнего века. Рис. В.
- 22 Соединительная ветвь [со скуловым нервом], *ramus comminicans [cumn. zygomatico]*. Содержит парасимпатические постганглионарные волокна - отростки нейронов крылонебного узла к слезной железе. Сначала идут в скуловом нерве. Рис. В.
- 23 Лобный нерв, л. *frontalis*. Проходит через верхнюю глазничную щель и далее лежит на мышце, поднимающей верхнее веко. Разветвляется в коже лба. Рис. В. См. также стр. 323, рис. А.
- 24 Надглазничный нерв, л. *supraorbitalis*. Самая крупная ветвь лобного нерва к конъюнктиве, верхнему веку, лобной пазухе и коже лба. Рис. В.
- 25 Латеральная ветвь, *ramus lateralis*. Идет

- через надглазничную вырезку. Рис. В.
- 26 Медиальная ветвь, *ramus medialis*. Проходит через лобную вырезку. Рис. В.
- 27 Надблоковый нерв, л. *supratrochlearis*. В медиальном углу таза делится на восходящую и нисходящую ветви. Рис. В

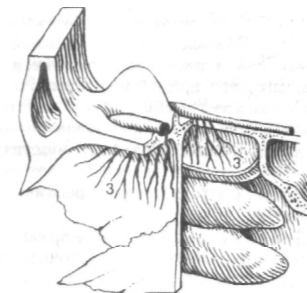


Рис. А. Обонятельные нервы

Рис. Б. Глазодвигательный и блоковый нервы

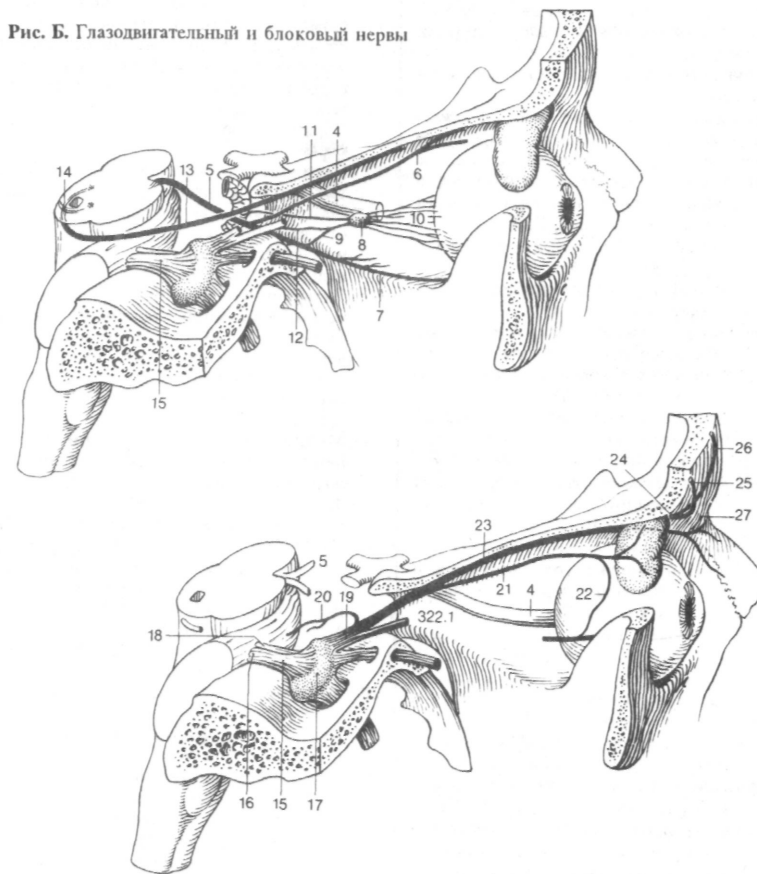


Рис. Г. Глазной нерв

- 1 Носоресничный нерв, л. *nasociliaris*. Отходит от глазного нерва с медиальной стороны. Вначале идет под верхней прямой мышцей, а затем - между верхней косой и медиальной прямой мышцами. Рис. А.
- 2 Соединительная ветвь [с ресничным узлом], *ramus communicans [cum ganglio ciliaris]*. Содержит чувствительные волокна от глазного яблока, которые транзитом проходят через ресничный узел. Рис. А.
- 3 Длинные ресничные нервы, дл. *ciliares longi*. Обычно две веточки, содержащие симпатические волокна для дилатора зрачка и чувствительные волокна от радужки, ресничного тела и роговицы. Рис. А.
- 4 Задний решетчатый нерв, *n. ethmoidalis posterior*. Тонкая веточка у верхушки глазницы к слизистой оболочке клиновидной пазухи и задних ячеек решетчатой кости. Рис. А.
- 5 Передний решетчатый нерв, я. *ethmoidalis anterior*. Через переднее решетчатое отверстие заходит в полость черепа, где располагается эпидурально, а затем через отверстия решетчатой пластинки попадает в носовую полость. Рис. А, Б, В.
- 6 Носовые ветви [передний решетчатый нерв], *rami nasales [n. ethmoidalis ant.]*. Общий термин для перечисленных ниже четырех ветвей:
- 7 *Внутренние носовые ветви, rami nasales interni*. Иннервируют слизистую оболочку спереди носовых раковин и переднего отдела перегородки носа. Рис. Б.
- 8 *Латеральные носовые ветви, rami nasales laterales*. Разветвляются в переднем отделе латеральной стенки полости носа. Рис. Б.
- 9 *Медиальные носовые ветви, rami nasales mediales*. Иннервирует передний отдел перегородки носа. Рис. В.
- 10 *Наружная носовая ветвь, ramus nasalis externus*. Иннервируют кожу верхушки и крыла носа. Проходит через решетчатую борозду носовой кости. Рис. Б.
- 11 Подблоковый нерв, *n. Anfratrochlearis*. Проходит под блоком верхней косой мышцы к медиальному углу глаза. Иннервирует слезный мешок, слезное мяско и окружающую их кожу. Рис. А.
- 12 *Веки век, rami palpebrales*. Разветвляются в верхнем и нижнем веке. Рис. п..
- 13 Верхнечелюстной нерв, *n. maxillaris*. Вторая ветвь тройничного нерва. Через круглое отверстие попадает в крыловидно-небную ямку и далее через нижнюю глазничную щель - в глазницу. Рис. А, В.
- 14 Менингеальная [средняя] ветвь, *ramus meningeus [medius]*. Отходит впереди круглого отверстия и направляется к твердой оболочке в область ветвления лобной ветви а. meningea media. Рис. А.
- 15 Узловые ветви, *rami ganglionici (ganglionares)*. Соединяют верхнечелюстной нерв с крылонебным узлом. Содержат вегетативные волокна к слезной железе и чувствительные волокна от надкостницы глазницы, слизистой оболочки носовой полости, неба и глотки. Рис. А.
- 16 Крылонебный узел, *ganglion pterygopalatinum*. Парасимпатический узел в одноименной ямке возле клиновидно-небного отверстия. Отростки нейронов этого узла следуют к слезной железе и железам слизистой оболочки носовой и ротовой полостей. Рис. А, Б, EL.
- 16а Парасимпатический корешок, *radix parasymphatica*. Формирующие его волокна идут в составе большого каменистого нерва и нерва крыловидного канала.
- 16б Симпатический корешок, *radix sympathetica*. Формирующие его волокна проходят в составе глубокого каменистого нерва и нерва крыловидного канала.
- 16в Чувствительный корешок, *radix sensoria*. Образован волокнами верхнечелюстного нерва.
- 17 Глазничные ветви, *rami orbitales*. Две или три тонкие ветви, которые через нижнюю глазничную щель попадают в глазницу, откуда внутри кости направляются к задним ячейкам решетчатой кости и клиновидной пазухе. Рис. Б, В.
- 18 Латеральные верхние задние носовые ветви, *rami nasales posteriores superiores laterales*. До 10 тонких ветвей, которые через клиновидно-небное отверстие направляются к верхней и средней носовым раковинам, а также к задним ячейкам решетчатой кости. Рис. Б.
- 19 Медиальные верхние задние носовые ветви, *rami nasales posteriores superiores mediales*. Две или три ветви, которые идут через клиновидно-небное отверстие к верхней части перегородки носа. Рис. В.
- 20 Носонебный нерв, *n. nasopalatine [incisivus]*. Проходит под слизистой оболочкой перегородки носа, затем через резцовый канал к слизистой оболочке переднего отдела твердого неба и небной поверхности десны на уровне верхних резцов. Рис. В.
- 20а Длинный носонебный нерв, *nervus nasopalatine longus*. См. стр. 409.
- 20б Ветви перегородки носа, *rami septales nasales*. См. стр. 409.
- 20в Короткие носонебные нервы, *nervi nasopalatini breves*. См. стр. 409.
- 20г Латеральные носовые ветви, *rami nasales laterales*. См. стр. 409.
- 20д Ветви верхнечелюстной пазухи, *rami sinus maxillares*. См. стр. 409.
- 21 Глоточный нерв, *nervus pharyngeus*. Следует к слизистой оболочке глотки. Рис. Б.
- 22 Большой небный нерв, *n. palatinus major*. Выходит из большого небного канала

- 23 Нижние задние носовые ветви, *rami nasales posteriores inferiores*. Разветвляются в слизистой оболочке среднего и нижнего носовых ходов, а также нижней носовой раковины. Рис. Б.
- 24 Малые небные нервы, *nn. palatini minores*. Выходят из одноименных каналов, через *foramina palatina minora*. Иннервируют слизистую оболочку мягкого неба. Рис. Б.
- 24а Миндаликовые ветви, *rami tonsillares*. Направляются к небной миндалине.
- 25 Скуловой нерв, л. *zygomaticus*. Отходит от верхнечелюстного нерва в крыловидно-небной ямке и через нижнюю глазничную щель проникает в глазницу, где располагается вдоль ее латеральной стенки и анастомозирует со слезным нервом. Рис. А.
- 26 Скуловисочная ветвь, *ramus zygomaticotemporal*. Выходит из глазницы через одноименное отверстие. Рис. А.
- 27 Скулолицевая ветвь, *ramus zygomaticofacialis*. Проходит через одноименное отверстие к коже над скуловой костью. Рис. А.

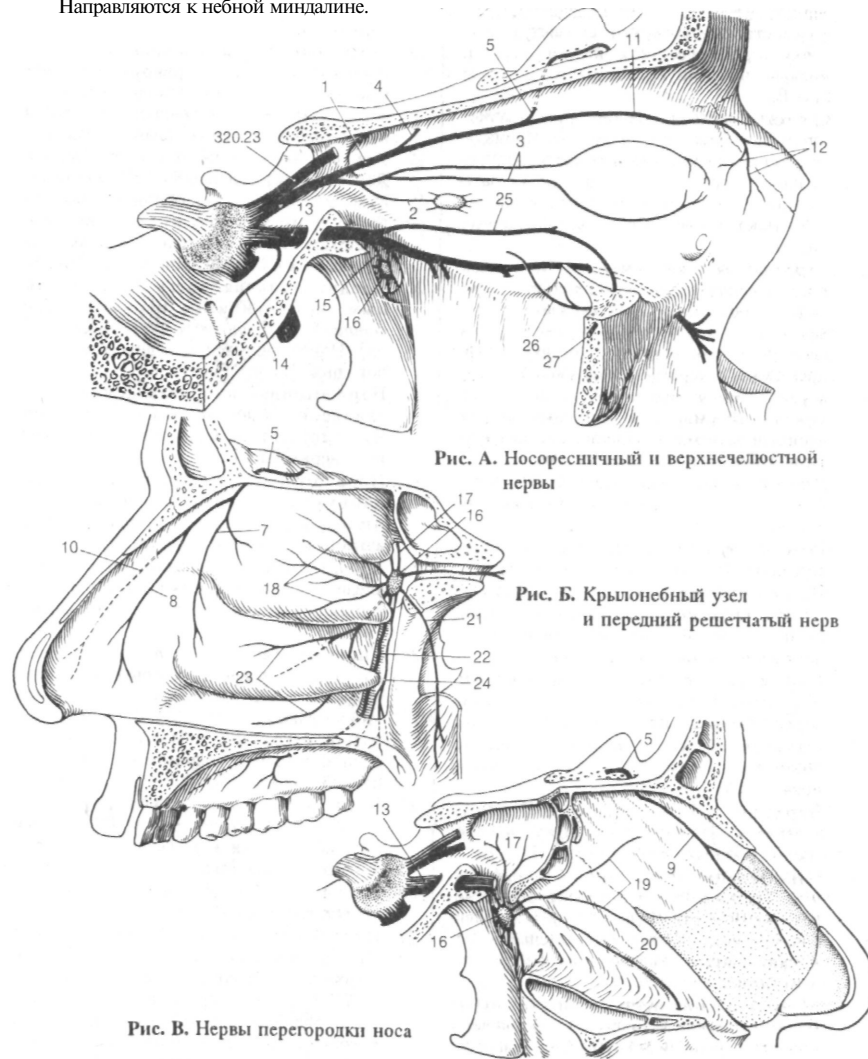


Рис. А. Носоресничный и верхнечелюстной нервы

Рис. Б. Крылонебный узел и передний решетчатый нерв

Рис. В. Нервы перегородки носа

- 1 Подглазничный нерв, *n. infraorbitalis*. Конечная ветвь верхнечелюстного нерва. Последовательно проходит через нижнюю глазничную щель, подглазничные борозду, канал и отверстие. Иннервирует кожу нижнего века, носа, верхней губы и щеки. Рис. В
- 2 Верхние альвеолярные нервы, *nn. alveolares superiores*. Иннервируют зубы верхней челюсти.
- 3 Задние верхние альвеолярные ветви, *rami alveolares superiores posteriores*. Проникают внутрь верхней челюсти через альвеолярные отверстия на ее подвисочной поверхности. Иннервируют слизистую оболочку верхнечелюстной пазухи, верхние моляры и щечную поверхность десны. Рис. В.
- 4 Средняя верхняя альвеолярная ветвь, *ramus alveolaris superior medius*. Проникает в верхнюю челюсть в области подглазничной борозды, проходит вдоль латеральной стенки верхнечелюстной пазухи и вступает в верхнее зубное сплетение. Рис. В.
- 5 Передние верхние альвеолярные ветви, *rami alveolares superiores anteriores*. Проходят в соответствующих каналах верхней челюсти и вступают в верхнее зубное сплетение. Иннервируют резцы, клык, премоляры и первый моляр. Рис. В.
- 6 Верхнее зубное сплетение, *plexus dentalis superior*. Формируется верхними альвеолярными ветвями и расположено над корнями зубов верхней челюсти. Рис. В.
- 7 Верхние зубные ветви, *rami dentes superiores*. Подходят к корням отдельных зубов. Рис. В.
- 8 Верхние десневые ветви, *rami gingivales superiores*. Иннервируют десну. Рис. В.
- 9 Нижние ветви век, *rami palpebrales inferiores*. Отходят от подглазничного нерва за пределами *foramen infraorbitale* и направляются к нижнему веку. Рис. В.
- 10 Наружные носовые ветви, *rami nasales externi*. Направляются к наружной поверхности крыла носа. Рис. В.
- 11 Внутренние носовые ветви, *rami nasales interni*. Иннервируют кожу преддверия носа. Рис. В.
- 12 Верхние губные ветви, *rami labiales superiores*. Иннервируют кожу и слизистую оболочку верхней губы. Рис. В.
- 13 Нижнечелюстной нерв, *n. mandibularis*. Третья ветвь тройничного нерва. Через овальное отверстие попадает в подвисочную ямку. Кроме чувствительных, содержит двигательные волокна к жевательным мышцам. Рис. А.
- 14 Менингеальная ветвь (остистый нерв), *ramus meningeus (n. spinosus)*. Проникает в полость черепа через остистое отверстие вместе с *a. meningea media*. Иннервирует

- твердую оболочку головного мозга, слизистую оболочку клиновидной пазухи и ячеек сосцевидного отростка. Рис. А.
- 15 Жевательный нерв, *n. massetericus*. Проходит над латеральной крыловидной мышцей через вырезку нижней челюсти к одноименной мышце. Рис. А.
- 16 Глубокие височные нервы, *nn. temporales profundi*. Поднимаются вверх к височной мышце. Рис. А.
- 17 Латеральный крыловидный нерв, *n. pterygoideus lateralis*. Содержит двигательные волокна для одноименной мышцы. Часто начинается общим стволом со щечным нервом. Рис. А.
- 18 Медиальный крыловидный нерв, *n. pterygoideus medialis*. Иннервирует одноименную мышцу. От него отходят небольшие ветви к мышцам, напрягающим барабанную перепонку и небную занавеску. Рис. А.
- 19 Ушной узел, *ganglion oticum*. Расположен медиальнее *n. mandibularis* под овальным отверстием. Преганглионарные волокна подходят к узлу из IX нерва (через *n. petrosus minor*), постганглионарные - направляются к околоушной железе. Рис. Б.
- 20 Соединительная ветвь [с медиальным крыловидным нервом], *ramus communicans [cum nervo pterygoideo mediali]*. Присоединяется к медиальному крыловидному нерву. Рис. Б.
- 21 Нерв мышцы, напрягающей небную занавеску, *n. musculi tensoris veli palatini*. Часто отходит от медиального крыловидного нерва. Рис. Б.
- 22 Нерв мышцы, напрягающей барабанную перепонку, *n. musculi tensoris tympani*. В ряде слутев ОТХОДИТ ОТ медиального крыловидного нерва. Рис. Б.
- 23 Щечный нерв, *n. buccalis*. Ветвь к коже, слизистой оболочке щеки и к щечной поверхности десны на уровне 1-го моляра. Рис. А.
- 24 Ушно-височный нерв, *n. auriculotemporalis*. Двумя корешками охватывает *arteria meningea media* и посылает ветвь к височно-нижнечелюстному суставу, а затем между ушной раковиной и поверхностной височной артерией поднимается к коже височной области. Рис. А.
- 25 Нерв наружного слухового прохода, *n. meatus acustici externi*. Обычно две небольшие ветви к коже наружного слухового прохода. Рис. А.
- 26 Ветви барабанной перепонки, *rami membranae tympani*. Рис. А.
- 27 Околоушные ветви, *rami parotidei*. Рис. А.
- 28 Соединительные ветви [с лицевым нервом], *rami communicantes [cum n. facialis]*. Содержат парасимпатические постганглионарные волокна из ушного узла, которые подходят к околоушной железе по ветвям лицевого нерва. Рис. А.

- 29 Передние ушные нервы, *nn. auriculares anteriores*. Иннервируют переднюю поверхность ушной раковины. Рис. А.
- 30 Поверхностные височные ветви, *rami temporales superficiales*. Разветвляются в коже височной области спереди и выше ушной раковины. Рис. А.

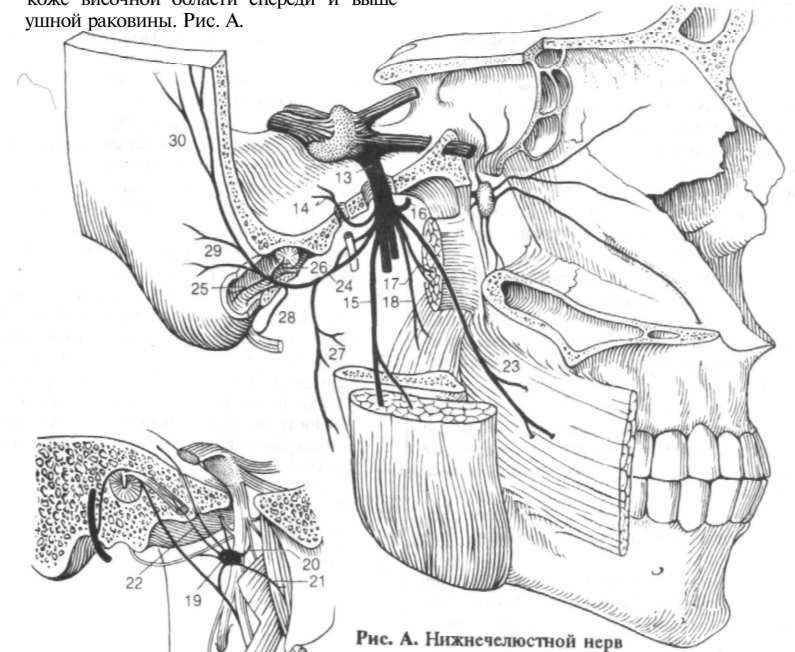


Рис. А. Нижнечелюстной нерв

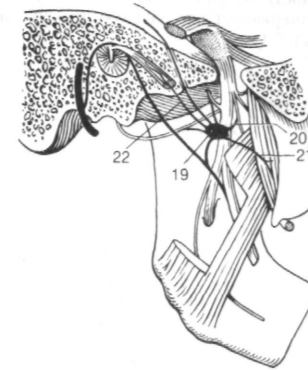


Рис. Б. Ушной узел

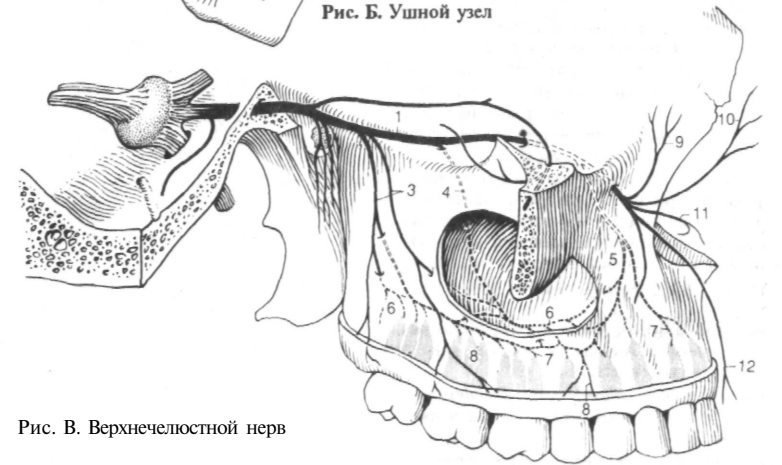


Рис. В. Верхнечелюстной нерв

- 1 Язычный нерв, *n. lingualis*. Проходит между латеральной и медиальной крыловидными мышцами, изгибается (спереди и располагается вдоль внутренней поверхности тела нижней челюсти медиально от корней третьего моляра, где покрыт только слизистой оболочкой. Рис. А, Б, В.
- 2 Ветви перешейка зева, *rami isthmi faucium (rami fauciales)*. Иннервируют его слизистую оболочку, небо-язычную дужку и небную миндалину. Рис. А.
- 3 Соединительные ветви [с подъязычным нервом], *rami communicantes [cum n. hypoglossi]*. Расположены на подъязычно-язычной мышце. Рис. А.
- 4 Соединительная ветвь [с барабанной струной], *ramus communicans [cum chorda tympani]*. Рис. А.
- 5 Подъязычный нерв, *n. sublingualis*. Проходит с латеральной стороны от подъязычной слюнной железы к слизистой оболочке дна полости рта и десне, соответствующей передним зубам нижней челюсти. Рис. А.
- 6 Язычные ветви, *rami linguales*. В их состав входят волокна, проводящие общую и вкусовую чувствительность от слизистой оболочки передних двух третей языка. Рис. А.
- 7 Узловые ветви, *rami ganglionares*. Направляются к поднижнечелюстному узлу. Рис. А.
- 8 Поднижнечелюстной узел, *ganglion submandibulare*. Парасимпатический узел, расположенный выше или спереди одноименной слюнной железы. К нему подходят преганглионарные парасимпатические волокна барабанной струны. Отростки нейронов этого узла заканчиваются в подъязычной и поднижнечелюстной железах. Рис. А.
- 9 Нижний альвеолярный нерв, *n. alveolaris inferior*. Самая крупная ветвь нижнечелюстного нерва, которая содержит чувствительные и двигательные волокна. Расположен на 1 см казди от язычного нерва и заходит в канал нижней челюсти через *foramen mandibulae*. Рис. А, Б, В.
- 10 Челюстно-подъязычный нерв, и. *mylohyoideus*. Проходит сначала в одноименной борозде нижней челюсти, а затем под челюстно-подъязычной мышцей, которую иннервирует. Отдает ветви к переднему брюшку двубрюшной мышцы. Рис. А, Б, В.
- 11 Нижнее зубное сплетение, *plexus dentalis inferior*. Находится внутри канала нижней челюсти. Рис. Б.
- 12 Нижние зубные ветви, *rami dentales inferiores*. Иннервируют зубы нижней челюсти. Рис. Б.
- 13 Нижние десневые ветви, *rami gingivales inferiores*. Иннервируют щечную поверх-

- ность нижней десны (исключая область, соответствующую первому моляру). Рис. Б.
- 14 Подбородочный нерв, *n. mentalis*. Чувствительная ветвь, которая выходит из подбородочного отверстия на уровне второго премоляра. Рис. Б.
  - 15 Подбородочные ветви, *rami mentales*. Иннервируют кожу подбородка. Рис. Б.
  - 16 Губные ветви, *rami labiales*. Иннервируют нижнюю губу. Рис. Б.
  - 16a Десневые ветви, *rami gingivales*. Рис. Б.
  - 17 Ушной узел, *ganglion oricum*. Парасимпатический узел, расположенный под овальным отверстием медиально от нижнечелюстного нерва. Соединяется с языкоглоточным нервом через малый каменистый нерв и направляет секреторные волокна к околоушной железе. Рис. В.
  - 18 ОТВОДЯЩИЙ НЕРВ (VI), *n. abducens [VI]*. Шестой черепной нерв. Выходит из мозга в углу между мостом и пирамидой, прободает твердую оболочку на уровне середины ската и проходит в латеральной стенке пещеристого синуса. Проникает в глазницу через верхнюю глазничную щель и иннервирует латеральную прямую мышцу. Рис. Г.

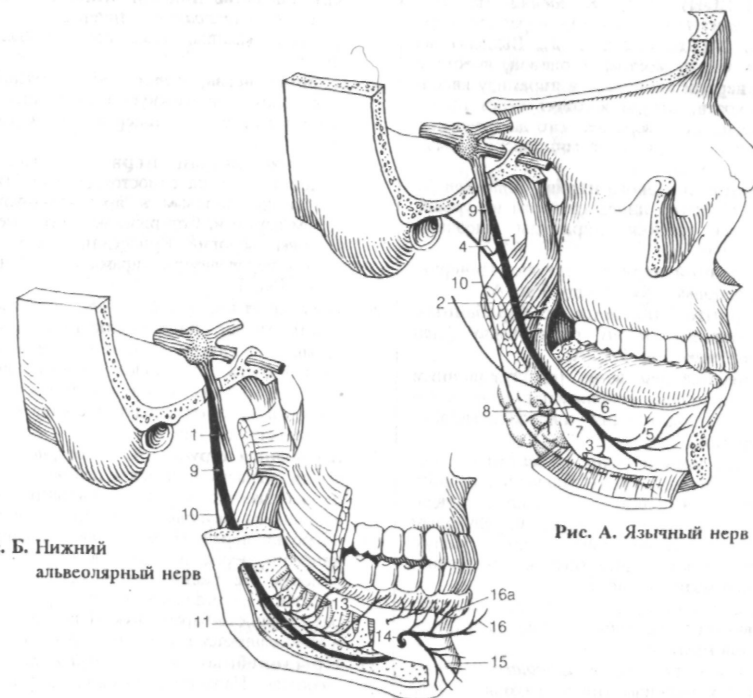


Рис. Б. Нижний альвеолярный нерв

Рис. А. Язычный нерв

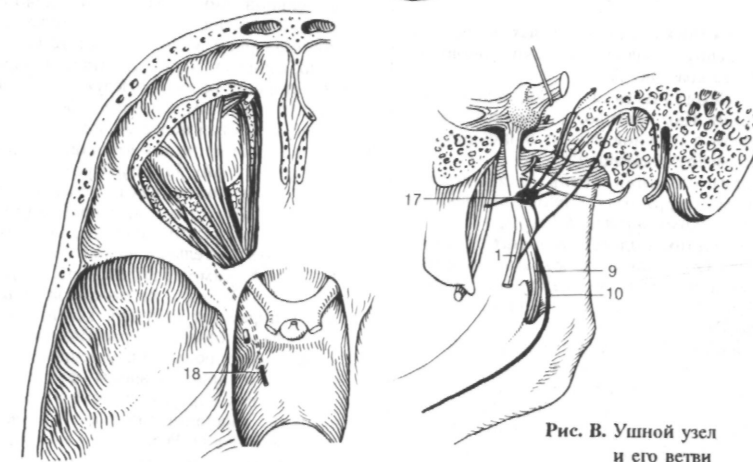


Рис. В. Ушной узел и его ветви

Рис. Г. Отводящий нерв

- 1 **ЛИЦЕВОЙ НЕРВ (ПРОМЕЖУТОЧНО-ЛИЦЕВОЙ) (V), n. facialis (intermediofacialis) [УП].** Сединой черепной нерв (нерв 2-й жаберной дуги). Выходит из моза между мостом и оливой, вместе с VII нервом проникает в пирамиду височной кости, откуда выходит через шилососцевидное отверстие. Его двигательные волокна иннервируют мимические мышцы Рис. А, Б, В, Г.
- 2 **Колечко [лицевого нерва], geniculen [n. facialis].** Изгиб лицевого нерва на уровне передней стенки пирамиды височной кости. Рис. А.
- 3 **Стременной нерв, л. stapedijs.** Иннервирует одноименную мышцу. Рис. А.
- 4 **Соединительная ветвь [с барабанным сплетением], ramus communicans [cum plexus tympanico].** Рис. А.
- 5 **Соединительная ветвь [с блуждающим нервом], ramus communicans [cum nervo vago].** Отходит ниже шилососцевидного отверстия.
- 6 **Задний ушной нерв, n. auricularis posterior.** Отходит ниже шилососцевидного отверстия и поднимается между сосцевидным отростком и наружным слуховым проходом. Иннервирует заднюю ушную мышцу и затылочное брюшко затылочнолобной мышцы. Рис. Б.
- 7 **Затылочная ветвь, ramus occipitalis.** Иннервирует затылочное брюшко затылочнолобной мышцы. Рис. Б.
- 8 **Ушная ветвь, ramus auricularis.** Направляется к мышцам ушной раковины. Рис. Б.
- 9 **Двубрюшная ветвь, ramus digastricus.** Иннервирует заднее брюшко одноименной мышцы. Рис. А, Б.
- 10 **Шилоподъязычная ветвь, ramus stylohyoideus.** Как правило, начинается общим стволом с язычной ветвью и иннервирует одноименную мышцу. Рис. А.
- 11 **Соединительная ветвь [с языкоглоточным нервом], ramus communicans [cum n. glossopharyngeo].** Рис. А.
- 12 **Околоушное сплетение, plexus intraparietideus.** Образовано волокнами лицевого нерва и расположено между поверхностной и глубокой частями околоушной железы. Рис. Б.
- 13 **Височные ветви, rami temporales.** Проходят над скуловой дугой к мимическим мышцам, расположенным выше глазной щели и возле ушной раковины. Рис. Б.
- 14 **Скуловые ветви, rami zygomatici.** Иннервируют латеральную часть круговой мышцы глаза и мимические мышцы, расположенные между глазной и ротовой щелями. Рис. Б.
- 15 **Щечные ветви, rami buccales.** Иннервируют щечную мышцу и мимические мышцы вокруг ротовой щели. Рис. Б.
- 16 **Язычная ветвь, ramus lingualis.** Непостоянная ветвь к языку. Иногда начинается

общим стволом с шилоязычной ветвью.

- 17 **Краевая ветвь нижней челюсти, ramus marginalis mandibularis.** Иннервирует мимические мышцы ниже ротовой щели. Рис. Б.
- 18 **Шейная ветвь, ramus colli (cervicalis).** Иннервирует подкожную мышцу шеи и анастомозирует с поперечным нервом шеи. Рис. Б.
- 19 **Промежуточный нерв, nintermedius.** Выходит из моза самостоятельным стволом между лицевым и преддверно-улитковым нервами. Содержит вегетативные и вкусовые волокна. Присоединяется к лицевому нерву внутри пирамиды височной кости. Рис. Г.
- 20 **Узел колечка, ganglion geniculi (geniculatum).** Аналог спинномозгового узла, который расположен внутри пирамиды височной кости возле колена лицевого нерва. Содержит псевдоуниполярные клетки, отростки которых входят в состав барабанной струны. Рис. А.
- 21 **Барабанная струна, chorda tympani.** Содержит парасимпатические волокна к поднижнечелюстному узлу и чувствительные волокна от вкусовых луковиц слизистой оболочки передних 2/3 языка. Из канала лицевого нерва попадает в барабанную полость, где располагается между молоточком и наковальней, затем выходит через каменисто-барабанную (Глазера) щель и присоединяется к язычному нерву. Рис. А.
- 22 **Крылонобный узел, ganglion pterygopalatinum.** Парасимпатический узел в одноименной ямке возле клиновидно-носового отверстия. К нему подходят преганглионарные волокна в составе большого каменистого нерва. Постганглионарные секреторные волокна следуют к слезной железе и железам слизистой оболочки носовой и ротовой полостей. Рис. В.
- 23 **Нерв крыловидного канала, n. canalis pterygoidei [radix facialis].** Проходит в одноименном канале через основание крыловидного отростка к крылонобному узлу. Содержит парасимпатические, симпатические и чувствительные волокна. Рис. В.
- 24 **Большой каменистый нерв, n. petrosus major.** Выходит на переднюю поверхность пирамиды височной кости, пересекает рваное отверстие, располагаясь с латеральной стороны от внутренней сонной артерии и присоединяется к глубокому каменистому нерву. Содержит парасимпатические преганглионарные и чувствительные волокна. Рис. А, В.
- 25 **Глубокий каменистый нерв, n. petrosus profundus.** Содержит симпатические волокна из внутреннего сонного сплетения. Соединяется с большим каменистым нервом и образует нерв крыловидного канала. Рис. В.
- 26 **Поднижнечелюстной узел, ganglion submandibulare.** Лежит выше или спереди

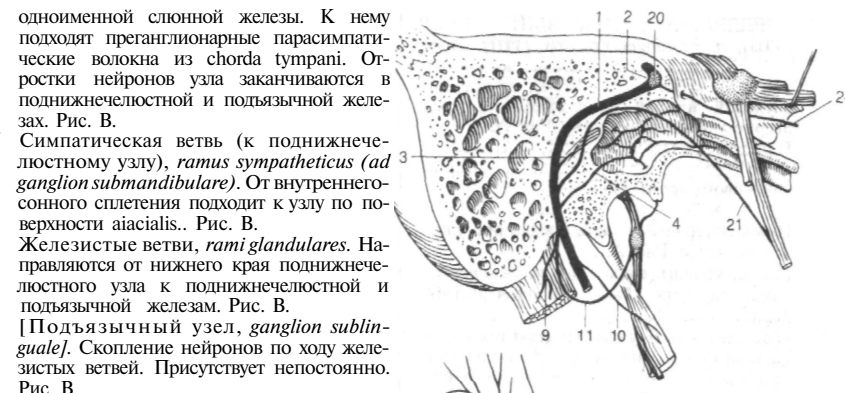


Рис. А. Лицевой нерв внутри височной кости

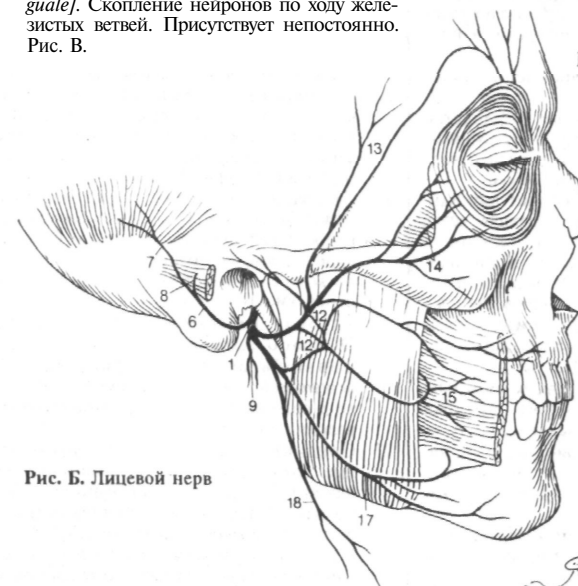


Рис. Б. Лицевой нерв

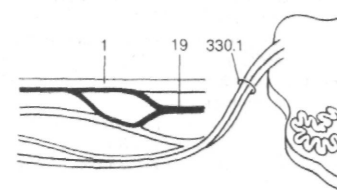


Рис. Г. Лицевой и преддверно-улитковый нервы [15]

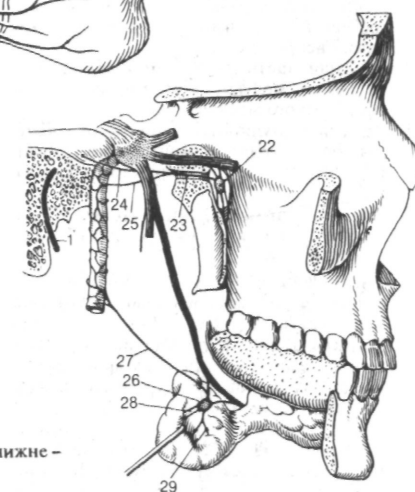


Рис. В. Крылонобный и поднижнечелюстной узлы

одноименной слюнной железы. К нему подходят преганглионарные парасимпатические волокна из chorda tympani. Отростки нейронов узла заканчиваются в поднижнечелюстной и подъязычной железах. Рис. В.

- 27 **Симпатическая ветвь (к поднижнечелюстному узлу), ramus sympatheticus (ad ganglion submandibulare).** От внутреннего сонного сплетения подходит к узлу по поверхности ациалиса. Рис. В.
- 28 **Железистые ветви, rami glandulares.** Направляются от нижнего края поднижнечелюстного узла к поднижнечелюстной и подъязычной железам. Рис. В.
- 29 **[Подъязычный узел, ganglion sublinguale].** Скопление нейронов по ходу железистых ветвей. Присутствует непостоянно. Рис. В.



- 1 **ПРЕДДВЕРНО-УЛИТКОВЫЙ** НЕРВ (VUT), *n. vestibulocochlearis [VU1]*. Восьмой черепной нерв. Выходит из мозга у нижнего края моста. Через внутренний слуховой проход направляется к преддверно-улитковому органу. Рис. А.
- 2 **Преддверный корешок**, *radix vestibularis*. Верхнемедиальная часть преддверно-улиткового нерва. Рис. А.
- 3 **Улитковый корешок**, *radix cochlearis*. Нижнелатеральная часть преддверно-улиткового нерва. Рис. А.
- 4 **Преддверный нерв**, *nervus vestibularis*. Образован отростками нейронов вестибулярного узла. Рис. А.
- 5 **Преддверный узел**, *ganglion vestibularis*. Расположен на дне внутреннего слухового прохода и состоит из биполярных нейронов. Рис. А.
- 6 **Улитковая соединительная ветвь**, *ramus communicans cochlearis*.
- 7 **Верхняя часть**, *pars superior*. Подходит к переднему и латеральному полукружным каналам, эллиптическому и передней части сферического мешочка. Рис. А.
- 8 **Эллиптически-мешотчато-ампулярный нерв**, *n. utriculoampullaris*. Верхняя ветвь преддверного нерва, содержащая волокна к пятну эллиптического мешочка и ампулярным гребешкам верхнего (переднего) и латерального полукружных каналов. Рис. А.
- 9 **Эллиптически-мешотчатый нерв**, *n. utricularis*. Начинается в области пятна эллиптического мешочка. Рис. А.
- 10 **Передний ампулярный нерв**, *n. ampullaris anterior*. Ветвь от ампулярного гребешка переднего полукружного канала. Рис. А.
- 11 **Латеральный ампулярный нерв**, *n. ampullaris lateralis*. Отходит от ампулярного гребешка латерального полукружного канала. Рис. А.
- 12 **Нижняя часть**, *pars inferior*. Начинается от заднего полукружного канала и части сферического мешочка. Рис. А.
- 13 **Задний ампулярный нерв**, *n. ampullaris posterior*. Отходит от ампулярного гребешка латерального полукружного канала. Рис. А.
- 14 **Сферически-мешотчатый нерв**, *n. saccularis*. Ветвь от пятна сферического мешочка. Рис. А.
- 15 **Улитковый нерв**, *nervus cochlearis*. Образован отростками нейронов улиткового узла. Рис. А.
- 16 **Улитковый узел (егагральный) узел улитки**, *ganglion cochleare (spirak cochlae)*. Группа нейронов в спиральном канале стержня улитки. Рис. А.
- 17 **Языкоглоточный НЕРВ (IX)**, *n. glossopharyngeus [DC]*. Девятый черепной нерв (нерв 3-й жаберной дуги). Выходит из мозга в задней латеральной борозде позади оливы. Проходит через яремное отверстие и продолжается косо вниз позади шилоглоточной мышцы. Содержит двига-

тельные волокна для шилоглоточной мышцы, чувствительные волокна от слизистой оболочки глотки, небных миндалин и задней 1/3 языка (вкусовые волокна), а также парасимпатические волокна (через барабанный и малый каменистый нервы) к ушному узлу Рис. Б.

18 **Верхний узел**, *ganglion superius [intra-craniale]*. Лежит в яремном отверстии и содержит тела афферентных нейронов. Рис. Б, В.

19 **Нижний узел**, *ganglion inferius [extra-craniale]*. Крупный узел под яремным отверстием, который содержит тела чувствительных нейронов. Рис. Б, В.

20 **Барабанный нерв**, *n. tympanicus*. Отходит от нижнего узла, проникает в барабанную полость через барабанный каналец, между яремной ямкой и наружным отверстием сонного канала. Рис. В.

21 **Барабанное утолщение (барабанный узел)**, *intumescencia tympanica (ganglion tympanicum)*. Непостоянно встречающееся скопление нейронов по ходу барабанного нерва. Рис. В.

22 **Барабанное сплетение**, *plexus tympanicus*. Лежит в слизистой оболочке барабанной полости над мысом. Образовано барабанным нервом, внутренним сонным сплетением и соединительной ветвью лицевого нерва. Рис. В.

23 **Трубная ветвь**, *ramus tubarius (tubalis)*. Отходит от слуховой трубы. Рис. В.

24 **Сонно-барабанные нервы**, *nn. sago-ticotympanici*. Отходят от внутреннего сонного сплетения и содержат симпатические волокна. Рис. В.

25 **Соединительная ветвь [с ушной ветвью блуждающего нерва]**, *ramus communicans [cum ramo auriculari nervi vagi]*. Небольшая ветвь от нижнего узла к ушной ветви блуждающего нерва. Рис. Б.

26 **Глоточные ветви**, *rami pharyngeals (pharyngei)*. Три - четыре ветви, вступающие в глоточное сплетение. Рис. Б.

27 **Ветвь шилоглоточной мышцы**, *ramus m. srylopharyngei*. Рис. Б.

28 **Синусная ветвь**, *ramus sinus carotid*. Направляется к сонному гломусу. Соединяется с симпатическим стволом и блуждающим нервом. Рис. Б.

29 **Миндаликовые ветви**, *rami tonsillares*. Иннервируют слизистую оболочку небной миндалины, мягкого неба и перешейка зева. Рис. Б.

30 **Язычные ветви**, *rami linguaks*. Содержит вкусовые волокна от слизистой оболочки задней 1/3 языка, включая желобовидные сосочки (иннервируются также волокнами барабанной струны, идущими в составе язычного нерва). Рис. Б.

31 **Ушной узел**, *ganglion oticum*. Лежит под овальным отверстием медиальнее *nmandibularis*. Отростки нейронов этого узла (постганглионарные секреторные воло-

на) заканчиваются в околоушной железе. Рис. Г.

- 32 **Малый каменистый нерв**, *n. petrosus minor*. Содержит парасимпатические преганглионарные волокна IX нерва. Начинается от барабанного сплетения, проходит через переднюю стенку пирамиды височной кости, выходит из черепа через клиновидно-каменистую щель и заканчивается в ушном узле. Рис. В, Г.
- 33 **Соединительная ветвь [с менингеальной ветвью]**, *ramus communicans [cum ramo meningeo]*. Рис. Г.

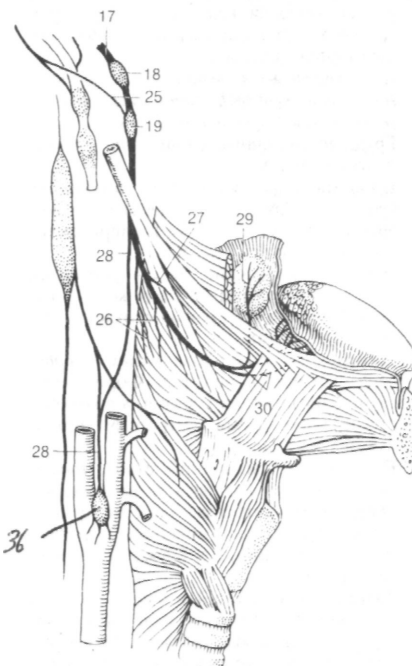
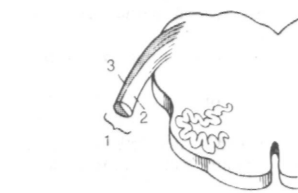


Рис. Б. Языкоглоточный и блуждающий нервы

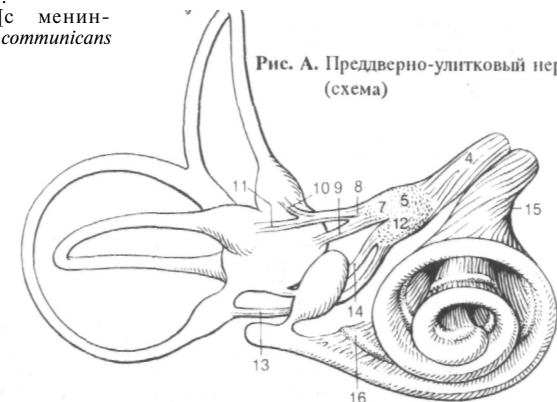


Рис. А. Преддверно-улитковый нерв (схема)

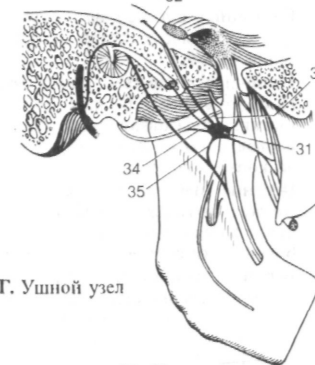


Рис. Г. Ушной узел

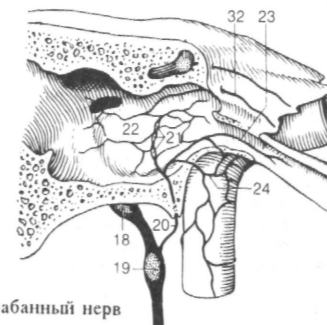


Рис. В. Барабанный нерв и его ветви

- 1 **БЛУЖДАЮЩИЙ НЕРВ (X), *n. vagus* [X].** Десятый черепной нерв (нерв 4-, 5-й жаберных дуг). Выходит из мозга вместе с IX черепным нервом в задней латеральной борозде, из черепа - через яремное отверстие. Иннервирует органы шеи, грудной и брюшной полостей. Рис. А.
- 2 **Верхний узел, *ganglion superius*.** Расположен в яремном отверстии и содержит тела афферентных нейронов. Рис. А.
- 3 **Нижний узел, *ganglion inferius*.** Большой по размерам, веретенообразной формы узел. Рис. А.
- 4 **Менингеальная ветвь, *ramus meningeus*.** Возвратная ветвь от верхнего узла к твердой оболочке задней черепной ямки в области поперечного и затылочного синусов. Рис. А.
- 5 **Ушная ветвь, *ramus auricularis*.** Начинается от верхнего узла X нерва, проходит через сосцевидный каналец и выходит из барабанно-сосцевидной щели. Иннервирует заднюю поверхность ушной раковины и задненижнюю стенку наружного слухового прохода. Рис. А.
- 6 **Соединительная ветвь [с языкоглоточным нервом], *ramus communicans [cum n. glossopharyngeo]*.** Соединяет ушную ветвь с языкоглоточным нервом. Рис. А.
- 7 **Глоточные ветви, *rami pharyngeales (pharyngei)*.** Входят в состав глоточного сплетения. Рис. А.
- 8 **Глоточное сплетение, *plexus pharyngeal*.** Находится под средним констриктором глотки. Образовано волокнами IX и X нервов, а также шейного отдела симпатического ствола. Рис. А.
- 9 **Верхние шейные сердечные ветви, *rami cardiaci cervicales superiores*.** Уровень их отхождения непостоянный. Следуют к глубокой части сердечного сплетения. Рис. А.
- 10 **Верхний гортанный нерв, *n. laryngealis superior*.** Начинается от нижнего узла блуждающего нерва и медиально от внутренней сонной артерии спускается к гортани. Рис. А.
- 11 **Наружная ветвь, *ramus externus*.** Иннервирует нижний констриктор глотки и под мышцами, расположенными ниже подъязычной кости направляется к перстничитовидной мышце. Рис. А.
- 12 **Внутренняя ветвь, *ramus internus*.** Прободает щитоподъязычную мембрану и вместе с *a. laryngea superior* проходит под слизистой оболочкой вдоль медиальной стенки грушевидного кармана. Иннервирует слизистую гортани (выше голосовой щели), а также надгортанника и его ямок. Рис. А.
- 13 **Соединительная ветвь [с возвратным гортанным нервом], *ramus communicans [cum n. laryngealis recurrenti]*.** Рис. А.
- 14 **Нижние шейные сердечные ветви, *rami cardiaci cervicales inferiores*.** Правые ветви вступают в глубокую часть сердечного сплетения, левые - присоединяются к его поверхностной части. Рис. А.
- 15 **Возвратный гортанный нерв, *n. laryngealis recurrens*.** С правой стороны огибает сзади и снизу подключичную артерию, с левой - дугу аорты и поднимается в борозде между трахеей и пищеводом. Его конечные ветви прободают нижний констриктор глотки и подходят к гортани, где иннервируют слизистую оболочку (ниже голосовой щели) и все мышцы, кроме перстничитовидной. Отдает соединительную ветвь к внутренней ветви верхнего гортанного нерва. Рис. А.
- 16 **Трахеальные ветви, *rami tracheales*.** Рис. А.
- 17 **Пищеводные ветви, *rami oesophageales*.** Рис. А.
- 17a **Глоточные ветви, *rami pharyngeales*.** Иннервируют нижний констриктор глотки.
- 18 **[[Нижний гортанный нерв, *n. laryngealis inferior*]].** Иногда используем термин для обозначения конечной ветви возвратного гортанного нерва, иннервирующей гортань. Рис. А.
- 19 **[[Соединительная ветвь [с внутренней гортанной ветвью], *ramus communicans [cum ramo laryngeo interno]*]].** Рис. А.
- 20 **Грудные сердечные ветви, *rami cardiaci thoracici*.** Рис. А.
- 21 **Бронхиальные ветви, *rami bronchioles*.** Отходят от блуждающего нерва ниже возвратного гортанного нерва и направляется к воротам легкого. Рис. А.
- 22 **Легочное сплетение, *plexus pulmonalis*.** Расположено спереди и сзади корня легкого. Иннервирует бронхи, сосуды и висцеральную плевру. Рис. А.
- 23 **Пищеводное сплетение, *plexus oesophageal*.** Окружает пищевод. сформирован двумя блуждающими нервами, а в верхнем отделе также левым возвратным гортанным нервом. Рис. А.
- 24 **Передний блуждающий ствол, *truncus vagalis anterior*.** Расположен на передней поверхности пищевода. Является продолжением пищеводного сплетения и формируется волокнами двух блуждающих нервов. Рис. А.
- 25 **Задний блуждающий ствол, *truncus vagalis posterior*.** Расположен на задней поверхности пищевода. Является продолжением пищеводного сплетения и формируется волокнами двух блуждающих нервов. Рис. А.
- 26 **Передние желудочные ветви, *rami gastrici anteriores*.** Волокна переднего блуждающего ствола к передней стенке желудка. Рис. А.

- 27 **Задние желудочные ветви, *rami gastrici posteriores*.** Волокна заднего блуждающего ствола к задней стенке желудка. Рис. А.
- 28 **Печеночные ветви, *rami/heparici*.** Направляются к воротам печени. Рис. А.
- 29 **Чревные ветви, *rami coeliaci*.** Подходят к чревному сплетению. Рис. А.
- 30 **Почечные ветви, *rami renales*.** Участвуют в образовании почечного сплетения. Рис. А.
- 31 **ДОБАВОЧНЫЙ НЕРВ (XI), *n. accessorius* [XI].** Одинадцатый черепной нерв. Образуется при соединении внутри черепа двух корешков. Проходит через яремное отверстие вместе с IX и X черепными нервами. Рис. Б.
- 32 **Черепные корешки (блуждающая часть), *radices craniales (pars vagalis)*.** "Начинаются от двойного ядра, в яремном отверстии отходят от *n. accessorius* и присоединяются к блуждающему нерву. Рис. Б.
- 33 **Спинальные корешки (спинномозговая часть) *radices spinales (pars spinalis)*.** В их состав входят аксоны нейронов ядра добавочного нерва, расположенного в основании переднего рога спинного мозга на уровне С1 - С6. В подпаутинном пространстве внутри черепа соединяются с черепными корешками и формируют ствол добавочного нерва. Рис. Б.
- 34 **Стол добавочного нерва, *truncus n. accessorii*.** Образуется в результате соединения двух корешков. Рис. Б.
- 35 **Внутренняя ветвь, *ramus internus*.** Образована черепными корешками и присоединяется к блуждающему нерву. Рис. Б.
- 36 **Наружная ветвь, *ramus externus*.** Образована спинномозговыми корешками. Иннервирует грудино-ключично-сосцевидную и трапециевидную мышцы. Рис. Б.
- 37 **Мышечные ветви, *rami musculares*.** Направляются к *m. sternocleidomastoideus* и *m. trapezius*. Рис. Б.

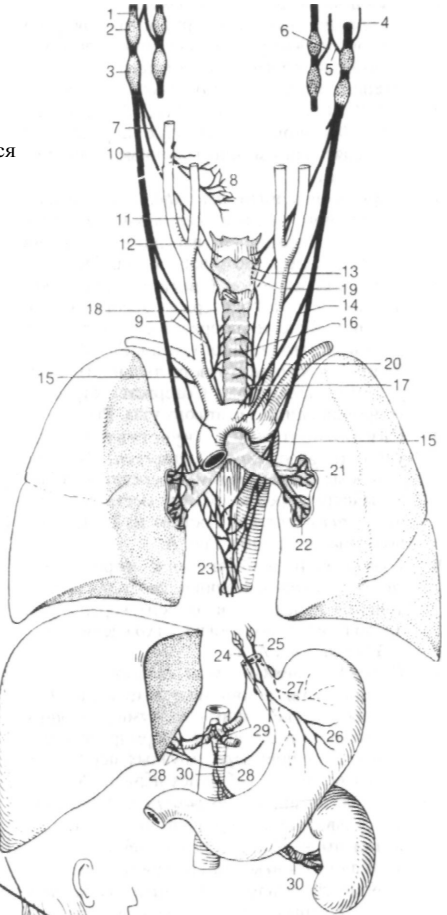


Рис. А. Блуждающий нерв и его ветви

Рис. Б. Добавочный нерв

- 1 ПОДЪЯЗЫЧНЫЙ НЕРВ (ХП), *n. hypoglossus* [XII]. Двенадцатый черепной нерв. Выходит из мозга многочисленными корешками между пирамидой и оливой, проходит через одноименный канал и спускается между внутренней яремной веной и внутренней сонной артерией. Над задним краем *m. mylohyoideus* вступает в мышцы языка. Рис. Б.
- 2 Язычные ветви, *rami linguales*. Отходят от ствола подъязычного нерва и иннервируют шилоподъязычную, подъязычно-язычную и подборочно-язычную мышцы, а также мышцы, лежащие внутри языка. Рис. Б.
- 3 СПИНОМОЗГОВЫЕ НЕРВЫ, *nervi spiniales*. Формируются из двух корешков и проходят через межпозвоночные отверстия. Рис. А, В.
- 4 Корешковые нити, *Jila radicularia* Выходят из спинного мозга и соединяются в пучки, которые формируют передний и задний корешки спинномозгового нерва. Рис. А.
- 5 Передний корешок (двигательный), *radix anterior (motoria)*. Содержит аксоны нейронов переднего и латерального столбов серого вещества спинного мозга. Рис. А.
- 6 Задний корешок (чувствительный), *radix posterior (sensoria)*. Содержит отростки нейронов спинномозгового узла. Рис. А.
- 7 Спинномозговой (чувствительный) узел, *ganglion spinale (sensorium)* Расположен в межпозвоночном отверстии в составе заднего корешка вблизи места соединения с *radix anterior*. Состоит из псевдоуниполярных нейронов. Рис. А.
- 8 Ствол спинномозгового нерва, *truncus nervi spinalis*. Начинается от места соединения переднего и заднего корешков и продолжается до уровня отхождения первой ветви. Рис. А, В.
- 9 Передняя ветвь, *ramus anterior*. Самая крупная ветвь спинномозгового нерва. Соединяясь с передними ветвями соседних спинномозговых нервов формирует сплетения. Передние ветви грудных нервов носят название межреберных нервов. Рис. А.
- 10 Задняя ветвь, *ramus posterior*. Меньшая, по сравнению с передней, ветвь спинномозгового нерва, которая иннервирует кожу и аутохтонные мышцы спины. Рис. А.
- 11 Соединительные ветви, *rami communicantes*. Соединяют симпатический ствол со спинномозговым нервом. Рис. А.
- 12 Серая ветвь, *ramus griseus*. Содержит, главным образом, постганглионарные симпатические волокна. Рис. А.
- 13 Белая ветвь, *ramus albus*. Содержит, главным образом, преганглионарные симпатические волокна. Рис. А.
- 14 Менингеальная ветвь, *ramus meningeus*. Содержит чувствительные и симпатические волокна. Проходит спереди спинномозгового нерва, через межпозвоночное отверстие

вступает в позвоночный канал и вместе с другими менингеальными ветвями образует сплетение, которое иннервирует оболочки спинного мозга. Рис. А.

- 13 Конский хвост, *cauda equina*. Формируется корешками каудальных спинномозговых нервов, (начиная с 1- 2-го поясничных) и терминальной нитью. Рис. В.
- 14 ШЕЙНЫЕ НЕРВЫ, *nervi cervicales*. Начинаются от восьми шейных сегментов спинного мозга. Рис. Б.
- 15 Задние ветви, *rami posteriores*. Иннервируют мышцы и кожу задней области шеи, а также кожу затылка. Рис. А.
- 16 Медиальная ветвь, *ramus medialis*. Каждая из них начинается от задней ветви соответствующего спинномозгового нерва. Содержит двигательные и чувствительные волокна. Рис. А.
- 17 Латеральная ветвь, *ramus lateralis*. Проходит латерально от медиальной ветви и содержит только двигательные волокна. Рис. А.
- 18 Под затылочный нерв, *n. suboccipitalis*. Задняя ветвь 1- го шейного спинномозгового нерва. Проходит между позвоночной артерией и задней дугой атланта, иннервирует короткие подзатылочные мышцы. Рис. Г.
- 19 Большой затылочный нерв, *n. occipitalis major*. Задняя ветвь 2- го шейного спинномозгового нерва. Сначала проходит между осевым позвонком и нижней косой мышцей головы, затем прорубает трапециевидную мышцу и направляется к полустистой мышце головы и коже затылка. Рис. Г.
- 20 Третий затылочный нерв, *n. occipitalis tertius*. Задняя ветвь 3- го шейного спинномозгового нерва. Иннервирует кожу задней области шеи вблизи средней линии. Рис. Г.
- 21 Передние ветви, *rami anteriores*. Формируют шейное и плечевое сплетения. Рис. А.
- 22 ШЕЙНОЕ СПЛЕТЕНИЕ, *plexus cervicalis*. Формируется передними ветвями первых четырех шейных спинномозговых нервов (С 1 - 4). Иннервирует кожу и мышцы шеи.
- 23 Шейная (подъязычная) петля, *ansa cervicalis (hypoglossi)*. В ее состав входят волокна из подъязычного нерва и первых трех шейных спинномозговых нервов. Иннервирует поподъязычные мышцы. Рис. Б.
- 24 Передний корешок, *radix anterior*. Отходит от подъязычного нерва и содержит эфферентные волокна первого - третьего сегментов спинного мозга. Рис. Б.
- 25 Задний корешок, *radix posterior*. Образуется волокнами шейной петли, идущими от 1- 3- го сегментов спинного мозга. Рис. Б.
- 26 Щитоподъязычная ветвь, *ramus thyrohyoideus*. Иннервирует одноименную мышцу. Рис. Б.

- 27 Малый затылочный нерв, *n. occipitalis minor*. Самая верхняя кожная ветвь. Поднимается вдоль заднего края грудино-ключично-сосцевидной мышцы к коже затылка, латеральнее *n. occipitalis mayor*. Рис. Г.
- 28 Большой ушной нерв, *n. auricularis magnus*. Пересекает вертикально середину грудино-ключично-сосцевидной мышцы и направляется к ушной раковине. Рис. Г.
- 29 Задняя ветвь, *ramus posterior*. Иннервирует кожу задней поверхности ушной раковины и соседних областей головы. Рис. Г.
- 30 Передняя ветвь, *ramus anterior*. Иннервирует кожу над околоушной железой между передней поверхностью ушной раковины и углом нижней челюсти. Рис. Г.

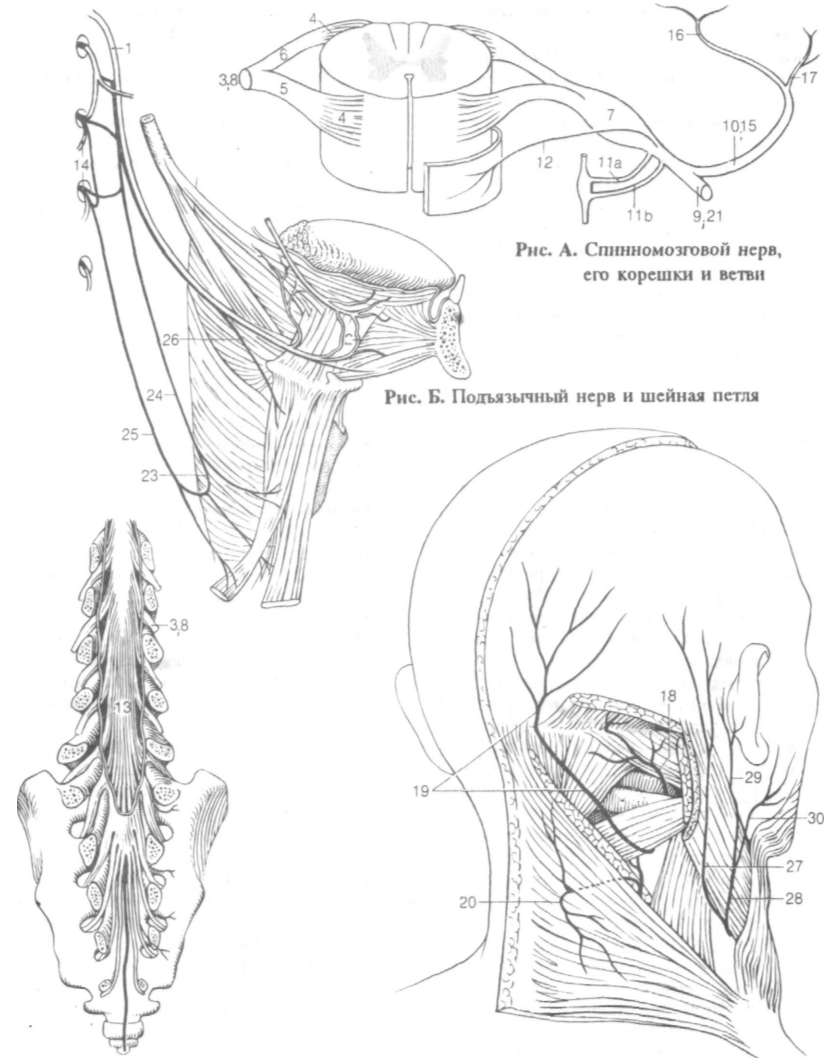


Рис. А. Спинномозговой нерв, его корешки и ветви

Рис. Б. Подъязычный нерв и шейная петля

Рис. В. Конский хвост

Рис. Г. Нервы затылочной области

- 1 Поперечный нерв шеи, *n. transversus colli*. (С3). Выходит из-под грудино-ключично-сосцевидной мышцы на середине ее заднего края и направляется вперед под подкожной мышцей. Двигательные волокна (из шейной ветви лицевого нерва) иннервируют эту мышцу, чувствительные - кожу шеи. Рис. Б.
- 2 Верхние ветви, *rami superiores*. Разветвляются в коже шеи выше подъязычной кости. Рис. Б.
- 3 Нижние ветви, *rami inferiores*. Идут к коже шеи ниже подъязычной кости. Рис. Б.
- 4 Надключичные нервы, *nn. supraclaviculares* (С3 - С4). Иннервируют кожу над ключицей и плечевым суставом. Рис. Б
- 5 Медиальные надключичные нервы, *nn. supraclaviculares mediales*. Проходят над средней третью ключицы и разветвляются в коже шеи и груди (между углом грудины и грудино-ключичным суставом). Рис. Б.
- 6 Промежуточные надключичные нервы, *nn. supraclaviculares intermedii*. Спускаются под подкожной мышцей, пересекают среднюю треть ключицы и разветвляются в коже груди до уровня 4-го ребра. Рис. Б.
- 7 Латеральные (задние) надключичные нервы, *nn. supraclaviculares laterales (posteriores)*. Задняя группа ветвей к коже над акромионом, дельтовидной мышцей и акромиально-ключичным суставом. Рис. Б.
- 8 Диафрагмальный нерв, *n. phrenicus* (С3 - С5). Проходит по передней лестничной мышце, спускается в среднем средостении к диафрагме. Его афферентные волокна иннервируют брюшину. Рис. А, В.
- 9 Перикардиальная ветвь, *ramus pericardiacus*. Направляется к передней поверхности перикарда. Рис. А.
- 10 Диафрагмально-брюшные ветви, *rami phrenicoabdominales*. Попадают в брюшную полость справа через отверстие нижней полой вены, слева - через диафрагму у левого края сердца. Иннервируют брюшину от диафрагмы до желчного пузыря и поджелудочной железы. Рис. А.
- 11 Добавочные диафрагмальные нервы, *nn. phrenici accessorii* (С5 - С6). Начинаются от *n. subclavius*, затем присоединяются к основному стволу диафрагмального нерва на уровне первого ребра. Рис. А, В.
- 12 ПЛЕЧЕВОЕ СПЛЕТЕНИЕ, *plexus brachialis*. Образовано передними ветвями спинномозговых нервов (С5 - Т1), лежит в межлестничном пространстве и распространяется до головки плечевой кости. Иннервирует плечевой пояс и свободную верхнюю конечность. Рис. В.
- 12а Корешки, *radices*.
- 13 Стволы, *trunci*. Каждый из трех первичных стволов плечевого сплетения формируется одной или двумя передними ветвями

- спинномозговых нервов.
- 14 Верхний ствол, *truncus superior*. Образуется передними ветвями шейных нервов (С5 - С6) латерально от межлестничного промежутка. Рис. В.
- 15 Средний ствол, *truncus medius*. Продолжение седьмого шейного нерва (С7). Рис. В.
- 16 Нижний ствол, *truncus inferior*. Образуется при соединении передних ветвей С8 - Т1 и расположен в межлестничном промежутке кзади от подключичной артерии. Рис. В.
- 17 Передние разделения, *divisiones anteriores*. Формируются передними ветвями трех стволов и иннервируют мышцы-сгибатели.
- 18 Задние разделения, *divisiones posteriores*. Формируются задними ветвями трех стволов, соединяясь вместе образуют задний пучок плечевого сплетения, от которого начинаются нервы, иннервирующие мышцы-разгибатели.
- 18а Пучки, *fasciculi*. Три пучка нервных волокон, сформированные в результате соединения передних и/или задних ветвей трех стволов плечевого сплетения.
- 19 НАДКЛЮЧИЧНАЯ ЧАСТЬ, *pars supraclavicularis*. Продолжается до верхнего края ключицы. Рис. В.
- 20 Дорсальный нерв лопатки, *n. dorsalis scapulae*, (С5). Начинается снаружи от межпозвоночного отверстия, прободает среднюю лестничную мышцу, располагается под *m. levator scapulae* и двумя ромбовидными мышцами, которые иннервирует. Рис. В.
- 21 Длинный грудной нерв, *n. thoracicus longus*, (С5 - С7). Проходит через среднюю лестничную мышцу к *m. serratus anterior*. Рис. В.
- 22 Подключичный нерв, *n. subclavius* (С4 - С6). Отходит от верхнего ствола к одноименной мышце. Часто посылает ветви (*nn. frenici accessorii*) к диафрагмальному нерву. Рис. В.
- 23 Надлопаточный нерв, *n. suprascapularis* (С5 - С6). Начинается от верхнего ствола, направляется к вырезке лопатки, проходит под верхней поперечной связкой и разветвляется в надостной и подостной мышцах. Рис. В.
- 24 ПОДКЛЮЧИЧНАЯ ЧАСТЬ, *pars infraclavicularis*. Расположена между верхним краем ключицы и местом разделения пучков на конечные нервы. Рис. В.
- 25 Латеральный пучок, *fasciculus lateralis* (С5 - С7). Образуется при соединении передних разделений верхнего и среднего стволов. Лежит латерально от подмышечной артерии. Рис. В.
- 26 Медиальный пучок, *fasciculus medialis* (С8 - Т1). Продолжение переднего разделения нижнего ствола. Находится медиальнее подмышечной артерии. Рис. В.
- 27 Задний пучок, *fasciculus posterior* (С5 -

- Т1). Образуется задними разделениями трех стволов и расположен кзади от подмышечной артерии. Рис. В.
- 28 Медиальный грудной нерв, *n. pectoralis medialis* (С8 - Т1). Формируется волокнами медиального пучка и иннервирует большую и малую грудные мышцы. Рис. В.
- 29 Латеральный грудной нерв, *n. pectoralis lateralis* (С5 - С7). Иннервирует большую и малую грудные мышцы. Рис. В.

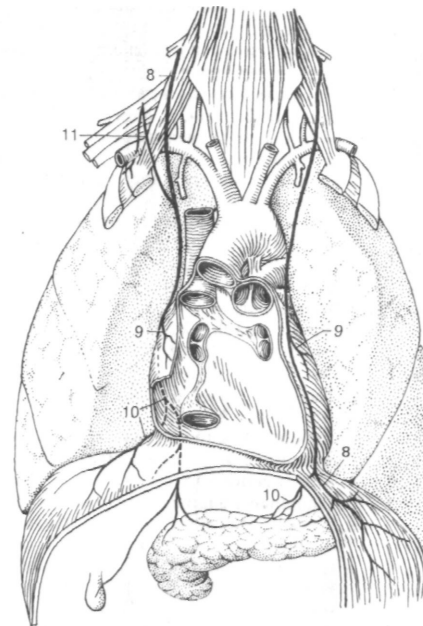


Рис. А. Диафрагмальный нерв



Рис. Б. Кожные нервы шейного сплетения

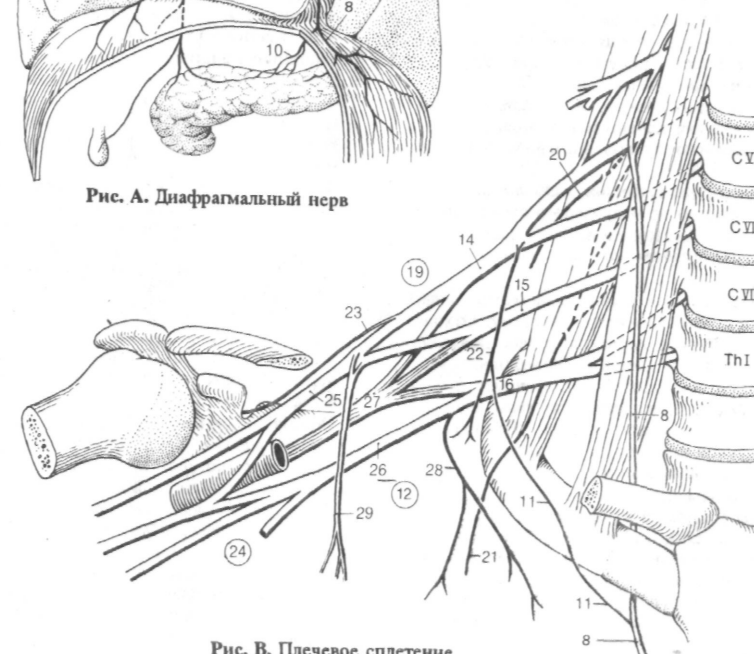


Рис. В. Плечевое сплетение

- 1 Мышечно-кожный нерв, *n. musculocutaneus* (C5 - C7). Отходит от латерального пучка, прободает клювовидно-плечевую мышцу и далее располагается между двуглавой и плечевой мышцами. Иннервирует названные мышцы и продолжается в латеральный кожный нерв предплечья. Рис. А.
- 2 Мышечные ветви, *rami musculares*. Направляются к клювовидно-плечевой, двуглавой и плечевой мышцам. Рис. А.
- 3 Латеральный кожный нерв предплечья, *n. cutaneus antebrachii lateralis*. Конечная ветвь мышечно-кожного нерва, которая прободает фасцию плеча на уровне локтевого сустава и иннервирует кожу латеральной стороны предплечья. Рис. А.
- 4 Медиальный кожный нерв плеча, *n. cutaneus brachii medialis* (C8 - T1). Начинается от медиального пучка и вместе с межреберно-плечевыми нервами иннервирует кожу медиальной стороны плеча. Рис. А.
- 5 Медиальный кожный нерв предплечья, *n. cutaneus antebrachii medialis* (C8 - T1). Отходит от медиального пучка, в середине плеча прободает фасцию и сопровождает медиальную подкожную вену руки. Иннервирует кожу медиальной стороны предплечья и дистальной части плеча. Рис. А.
- 6 **Передняя ветвь, *ramus anterior***. Разветвляется в коже переднемедиальной поверхности предплечья. Рис. А.
- 7 **Задняя ветвь, *ramus posterior* [[*ulnaris*]]**. Иннервирует верхнемедиальные 2/3 задней стороны предплечья. Рис. А, Б.
- 8 Срединный нерв, *n. medianus*. Начинается двумя корешками от медиального и латерального пучков плечевого сплетения. Рис. А.
- 9 Медиальный корешок, *radix medialis* (C8 - T1). Отходит от медиального пучка. Рис. А.
- 10 Латеральный корешок, *radix lateralis* (C6 - C7). Начинается от латерального пучка. Рис. А.
- 11 Передний межкостный нерв (предплечья), *n. interosseus (antebrachii) anterior*. Отходит от срединного нерва на уровне локтевого сустава и спускается по поверхности межкостной перепонки. Иннервирует лучезапястный и межпальцевые суставы, длинный сгибатель большого пальца, глубокий сгибатель пальцев (лучевую часть), а также квадратный пронатор. Рис. А.
- 12 Мышечные ветви, *rami musculares*. Иннервируют крушой пронатор, лучевой сгибатель запястья, длинную ладонную мышцу и поверхностный сгибатель пальцев. Рис. А.
- 13 **Ладонная ветвь срединного нерва, *ramus palmaris n. mediani***. Отходит в дистальной трети предплечья и иннервирует кожу латеральной стороны ладонной поверхности кисти. Рис. А.
- 14 Соединительная ветвь [с локтевым нер-

вом], *ramus communicans [cum nemo ulnari]*. Рис. А.

- 15 Общие ладонные пальцевые нервы, *nn. digitales palmares communes*. Проходят вдоль 1- 3-го межпальцевых промежутков под ладонным апоневрозом. Рис. А.
- 16 Собственные ладонные пальцевые нервы, *ndigitales palmares proprii*. Конечные ветви *midigitales palmares communes*. Иннервируют кожу ладонной поверхности трех с половиной пальцев (1-го, 2-го, 3-го и лучевой стороны 4-го), а также кожу тыльной поверхности дистальной фаланги 1-го, дистальной и средней фаланг 2-, 3-го и лучевой стороны 4-го пальцев. Рис. А.
- 17 Локтевой нерв, *n. ulnaris* (C8 - T1). Начинается от медиального пучка. На плече располагается сначала в *sulcus bicipitalis medialis*, затем прободает медиальную межмышечную перегородку и проходит в одноименной борозде плечевой кости. На предплечье нерв попадает между двумя головками лучевого сгибателя запястья. Рис. В.
- 18 Мышечные ветви, *rami musculares*. Иннервируют локтевой сгибатель запястья и локтевую часть глубокого сгибателя пальцев. Рис. В.
- 19 Тыльная ветвь локтевого нерва, *ramus dorsalis n. ulnaris*. Проходит под локтевым сгибателем запястья на границе между дистальной и средней третью предплечья и разветвляется на тыле кисти. Рис. Б, В.
- 20 Тыльные пальцевые нервы, *nn. digitales dorsales*. Иннервируют кожу тыльной поверхности 5-, 4-го и локтевой стороны третьего пальцев. Иногда кожа тыла кисти иннервируется только поверхностной ветвью лучевого нерва. Рис. Б.
- 21 Ладонная ветвь локтевого нерва, *ramus palmaris nervi ulnaris*. Начинается в дистальной трети предплечья, проходит через глубокую фасцию и иннервирует кожу локтевой стороны ладонной поверхности кисти. Рис. В.
- 22 Поверхностная ветвь, *ramus superficialis*. Проходит под ладонным апоневрозом и разделяется на общие ладонные пальцевые нервы, а также отдает ветвь к *m. palmaris brevis*. Рис. В.
- 23 Общие ладонные пальцевые нервы, *nn. digitales palmares communes*. Обычно только одна ветвь, которая проходит между четвертой и пятой пястной костями. Рис. В.
- 24 **Собственные ладонные пальцевые нервы, *nn. digitales palmares proprii***. Иннервируют кожу ладонной поверхности мизинца и локтевой стороны четвертого пальца, а также кожу тыльной поверхности дистальной и средней фаланг этих пальцев. Рис. В.
- 25 Глубокая ветвь, *ramus profundus*. Обгибает крючковидную кость и направляется к мышцам гипотенара, межкостным, 3-4-й чер-

вообразным, а также к *m. adductor pollicis* и глубокой головке короткого сгибателя большого пальца. Рис. В.

2 6 (XI ^K \* ^c ^t O- \*\* \* £ ^/ ^ ^ > ы," <Г ) \* > OLCW - < CLV ^ T ^

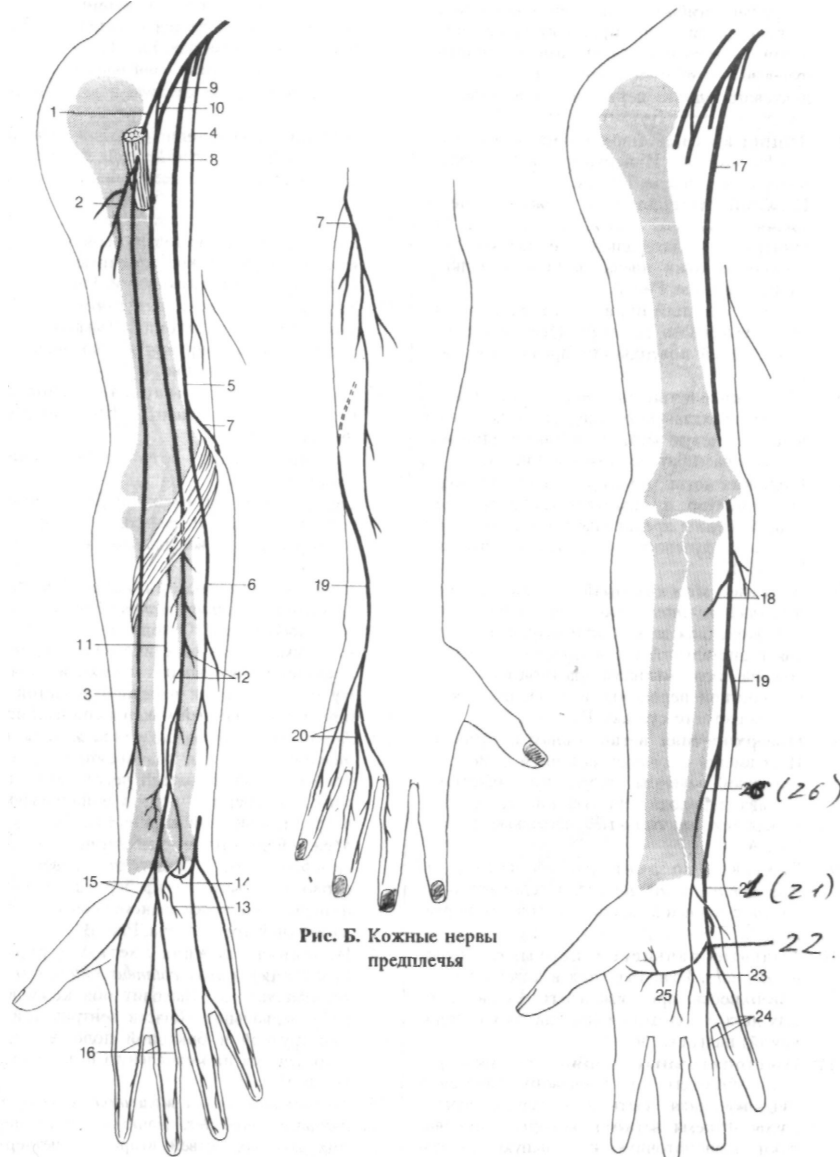


Рис. А. Нервы верхней конечности (вид спереди)

Рис. Б. Кожные нервы предплечья

Рис. В. Локтевой нерв

- 1 Лучевой нерв, *n. radialis* (C5 - T1). Отходит от заднего пучка плечевого сплетения, занимает борозду лучевого нерва и спирально огибает сзади плечевую кость. В нижней трети плеча проходит между плечевой, плечелучевой мышцами и длинным лучевым разгибателем запястья. На уровне локтевого сустава нерв делится на поверхностную и глубокую ветви. Рис. А, Б, Г.
- 2 Задний кожный нерв плеча, *n. cutaneus brachii posterior*. Иннервирует кожу задней поверхности плеча. Рис. А.
- 3 Нижний латеральный кожный нерв плеча, *cutaneus brachii lateralis inferior*. Иннервирует латеральную и заднюю поверхности кожи плеча дистальнее дельтовидной мышцы. Рис. А.
- 4 Задний кожный нерв предплечья, *n. cutaneus antebrachii posterior*. Разветвляется в коже задней поверхности предплечья. Рис. Б.
- 5 Мышечные ветви, *rami musculares*. Иннервируют трехглавую мышцу плеча, локтевую и плечелучевую мышцы, а также длинный лучевой разгибатель запястья. Рис. А.
- 6 Глубокая ветвь, *ramus profundus*. Прободает супинатор и разветвляется в мышцах задней группы предплечья (за исключением длинного лучевого разгибателя запястья). Рис. А, Б.
- 7 Задний межкостный нерв (предплечья), *n. interosseus (antebrachii) posterior*. Конечная ветвь *ramus profundus*, которая в дистальной трети предплечья расположена под мышцами-разгибателями на межкостной перепонке и продолжается до лучезапястного сустава. Рис. А.
- 8 Поверхностная ветвь, *ramus superficialis*. Идет вместе с лучевой артерией вдоль плечелучевой мышцы, выше лучезапястного сустава переходит на тыл кисти, где разветвляется на тыльные пальцевые нервы. Рис. А, Б.
- 9 Локтевая соединительная ветвь, *ramus communicans ulnaris*. Соединяется на кисти с тыльной ветвью локтевого нерва. Рис. А.
- 10 Тыльные пальцевые нервы, *nn. digitales dorsales*. Разветвляются в коже тыльной поверхности проксимальных фаланг первых двух с половиной (иногда трех с половиной) пальцев. Рис. А.
- 11 Подлопаточные нервы, *nn. subscapulars*. Отходят от плечевого сплетения (надключичная часть или задний пучок) двумя - тремя ветвями, которые иннервируют подлопаточную и большую круглую мышцы. Рис. Г.
- 12 Грудоспинной нерв, *n. thoracodorsal* (C6 - C8). Самая длинная ветвь из подлопаточных нервов, которая проходит вдоль латерального края лопатки к широчайшей мышце спины. Рис. Г.

- 13 Подмышечный нерв, *n. axillaris* (C5 - C6). Отходит от заднего пучка плечевого сплетения, проходит через четырехстороннее отверстие вместе с *a. circumflexa humeri posterior*. Разветвляется в малой круглой и дельтовидной мышцах. Рис. Г.
- 14 Мышечные ветви, *rami musculares*. Иннервируют малую круглую и дельтовидную мышцы. Рис. Г.
- 15 Верхний латеральный кожный нерв плеча, *n. cutaneus brachii lateralis superior*. Иннервирует кожу над дельтовидной мышцей. Рис. Г.
- 16 Грудные нервы, *nn. thoracici*. Двенадцать пар спинномозговых нервов, которые выходят через межпозвоночные отверстия между грудными позвонками. Рис. В.
- 17 Задние ветви, *rami posteriores*. Проходят через толщу аутохтонных мышц спины, которые иннервируют и заканчиваются кожными ветвями. Рис. В.
- 18 Латеральная/медиальная мышечная ветвь, *ramus muscularis lateralis/medialis*. Рис. В.
- 19 Задняя кожная ветвь, *ramus cutaneus posterior*. Рис. В.
- 20 Передние ветви (межреберные нервы), *rami anteriores (nn. intercostales)*. Проходят в межреберьях в вентральном направлении. Рис. В.
- 21 Латеральная кожная ветвь (грудная/брюшная), *ramus cutaneus lateralis (pectoralis/abdominalis)*. Отходит от каждого нерва, примерно, на середине межреберья, направляется косо вперед и выходит под кожу между зубцами передней зубчатой мышцы и широчайшей мышцы спины. Рис. В.
- 22 Латеральные ветви молочной железы, *rami mammarii laterales*. Начинаются от латеральных кожных ветвей четвертого - шестого межреберных нервов и направляются вперед к молочной железе. Рис. В.
- 23 Межреберно-плечевые нервы, *nn. intercostobrachiales*. Отходят от первого (или первого-третьего) межреберных нервов и иннервируют кожу заднемедиального отдела верхней трети плеча. Рис. В.
- 24 Передняя кожная ветвь (грудная/брюшная), *ramus cutaneus anterior (pectoralis/abdominalis)*. Выходит под кожу в переднемедиальной области вентральной стенки грудной и брюшной полостей, после чего делится на медиальную и латеральную ветви. Рис. В.
- 25 Медиальные ветви молочной железы, *rami mammarii mediales*. Начинаются от передних кожных ветвей второго - четвертого межреберных нервов и направляются к молочной железе. Рис. В.
- 26 Подреберный нерв, *n. subcostalis*. Передняя ветвь двенадцатого грудного нерва, которая проходит ниже последнего ребра.

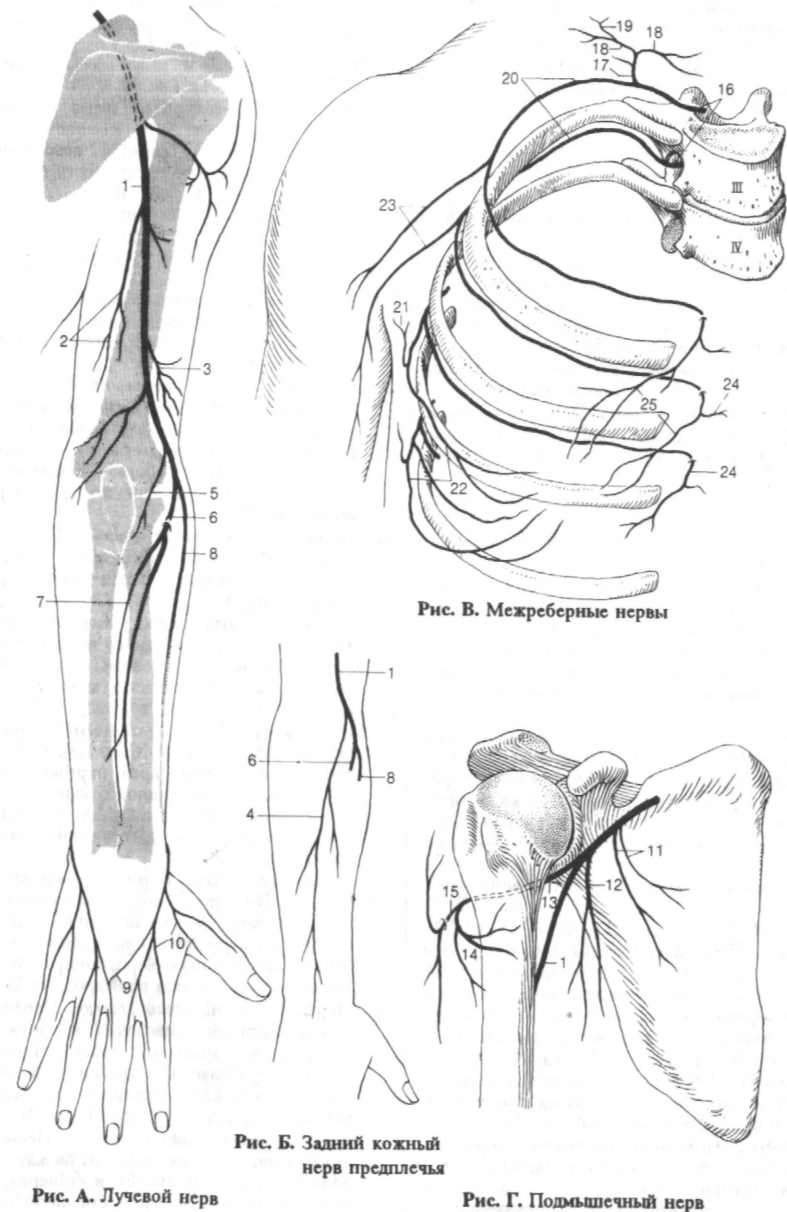


Рис. В. Межреберные нервы

Рис. Б. Задний кожный нерв предплечья

Рис. А. Лучевой нерв

Рис. Г. Подмышечный нерв



- 1 Поясничные нервы, *nn. lumbales (lumbares)*. Пять поясничных спинномозговых нервов, каждый из которых проходит через межпозвоночное отверстие ниже соответствующего поясничного позвонка.
- 2 Задние ветви, *rami posteriores*. Иннервируют кожу и аутохтонные мышцы спины. Рис. В.
- 3 Медиальная ветвь, *ramus medialis*. Меньшая по размеру и содержит в своем составе эфферентные волокна. Рис. В.
- 4 Латеральная ветвь, *ramus lateralis*. Преимущественно чувствительная ветвь. Рис. В.
- 5 *Верхние ветви ягодиц, rami clunium (gluteals) superiores*. Латеральные ветви поясничных нервов (L1 - L3), которые иннервируют кожу ягодичной области до уровня большого вертела. Рис. Б.
- 6 Передние ветви, *rami anteriores*. Формируют поясничное сплетение. Рис. В.
- 7 Крестцовые нервы и копчиковый нерв, *nn. sacrales et n. coccygeus*. Пять крестцовых и один копчиковый спинномозговые нервы.
- 8 Задние ветви, *rami posteriores*. Выходят через задние крестцовые отверстия. Содержат двигательные и чувствительные волокна. Рис. А, Б.
- 9 Медиальная ветвь, *ramus medialis*. Идет к многораздельным мышцам и коже в области крестца и копчика. Рис. А, Б.
- 10 Латеральная ветвь, *ramus lateralis*. Содержит чувствительные волокна крестцовых нервов (S1 - S3), направляющиеся к коже над копчиком. Рис. А, Б.
- 11 *Средние ветви ягодиц, rami clunium (gluteales) mediales*. Образуются крестцовыми нервами (S1 - S3). Проходят через большую ягодичную мышцу к коже верхне-медиального квадранта ягодицы. Рис. Б.
- 12 Передние ветви, *rami anteriores*. Проходят через тазовые крестцовые отверстия и формируют крестцовое сплетение. Рис. А, В.
- 13 **ПОЯСНИЧНО-КРЕСТЦОВОЕ СПЛЕТЕНИЕ, plexus lumbosacralis**. Общий термин для поясничного и крестцового сплетений, которые связаны между собой волокнами четвертого поясничного нерва (L4) и иннервируют нижнюю конечность. Рис. В.
- 14 **ПОЯСНИЧНОЕ СПЛЕТЕНИЕ, plexus lumbalis (lumbaris)**. Формируется передними ветвями верхних четырех поясничных спинномозговых нервов (L1 - L4).
- 15 Подвздошно-подчревный нерв, *n. iliohypogastricus* (L1 - T12). Выходит из-под латерального края большой поясничной мышцы, ложится между поперечной и внутренней косой мышцами живота, которые иннервирует, и далее делится на две конечные ветви. Рис. В.
- 16 Латеральная кожная ветвь, *ramus cutaneus*

*lateralis*. Разветвляется в латеральной части ягодичной области. Рис. В.

17 *Передняя кожная ветвь, ramus cutaneus anterior*. Прорубает апоневроз наружной косой мышцы живота над поверхностным паховым кольцом и разветвляется в коже живота выше лобка. Рис. В.

18 *Подвздошно-паховый нерв, и. ilioinguinalis* (L1, иногда T12). Выходит из-под латерального края большой поясничной мышцы, проходит по поверхности *m. quadratus lumborum* позади почки, ложится между поперечной и внутренней косой мышцами живота, к которым отдает ветви, и далее продолжается в паховый канал. Рис. В.

19 *Передние мошоночные нервы, nn. scrotals anteriores*. Чувствительные ветви к переднему отделу мошонки, лобку и коже бедра. Рис. В.

20 *Передние губные нервы, nn. labiales anteriores*. Чувствительные ветви к большому половым губам, лобку, коже бедра. Рис. В.

21 *Бедренно-половой нерв, n. genitofemoralis* (L1- L2). Прорубает большую поясничную мышцу и идет по ее поверхности. Рис. В.

22 *Половая ветвь, ramus genitalis*. Проходит в паховом канале. Иннервирует *m. cristastrer*, кожу мошонки/большой половой губы и бедра. Рис. В.

23 *Бедренная ветвь, ramus femoralis*. Проходит через сосудистую лакуну латерально от бедренной артерии, затем через подкожную щель направляется к коже бедра ниже паховой связки. Рис. В.

24 *Латеральный кожный нерв бедра, л. cutaneus femoris lateralis* (L2 - L3). Выходит из-под латерального края *m. psoas major*, проходит под подвздошной фасцией, через латеральную часть мышечной лакуны и разветвляется в коже латеральной поверхности бедра. Рис. В.

25 *Запирательный нерв, n. obturatorius* (L2- L4). Выходит из-под медиального края *m. psoas major* и располагается сзади от внутренней подвздошной артерии и латерально от мочеточника. Через запирательный канал выходит из таза на бедро. Рис. В.

26 *Передняя ветвь, ramus anterior*. Проходит между короткой приводящей и наружной запирательной мышцами с одной стороны, длинной приводящей и гребенчатой мышцами - с другой. Иннервирует перечисленные мышцы, а также *m. gracilis*. Рис. В.

27 *Кожная ветвь, ramus cutaneus*. Непостоянная ветвь, которая проходит между *mm. adductor longus et gracilis* и иннервирует кожу медиальной поверхности дистальных 2/3 бедра. Рис. В.

28 *Задняя ветвь, ramus posterior*. Проходит через *m. obturatorius externus*, которую иннервирует вместе с большой и короткой

приводящими мышцами. Чувствительные волокна заканчиваются в задней стенке капсулы коленного сустава. Рис. В.

29 *Мышечные ветви, rami musculares*. Разветвляются в приводящих мышцах. Рис. В.

30 *Добавочный запирательный нерв, n. obturatorius accessorius* (L3 - L4). Иннервирует гребенчатую мышцу и капсулу тазобедренного сустава.

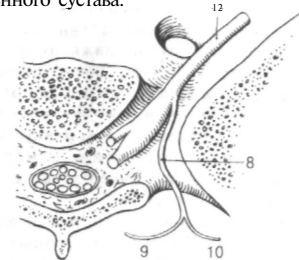


Рис. А. Выход задней ветви крестцового спинномозгового нерва из канала крестца

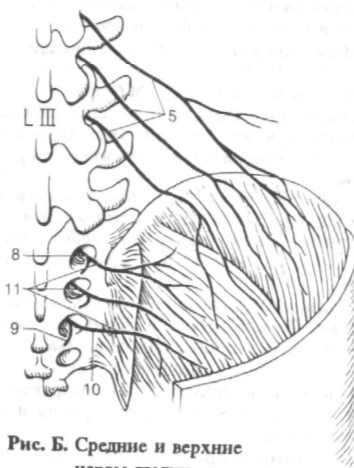


Рис. Б. Средние и верхние нервы ягодиц

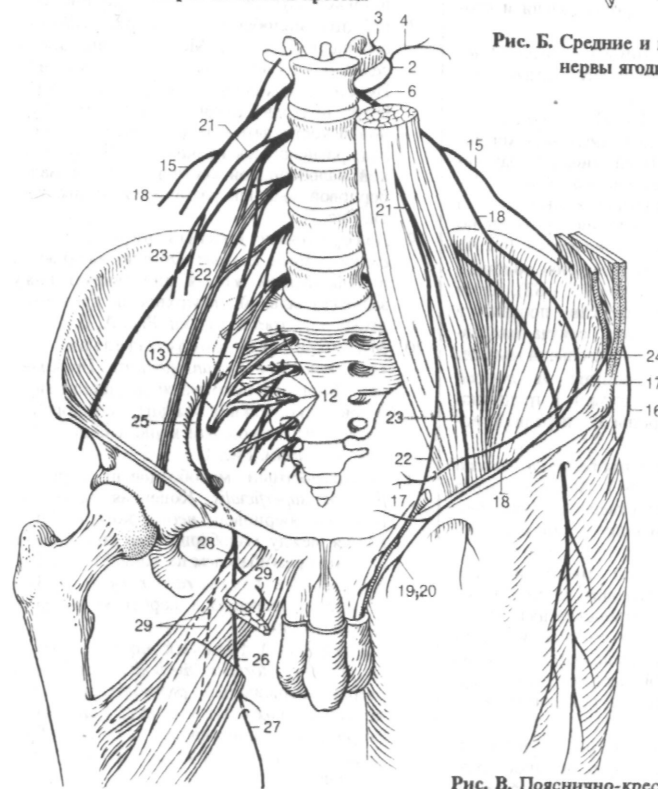


Рис. В. Пояснично-крестцовое сплетение

- 1 Бедренный нерв, л. *femoralis* (L2 - L4). Выходит из-под латерального края *m. psoas major*. Следует между ней и *m. iliacus* к мышечной лакуне. Рис. А.
- 2 Мышечные ветви, *rami musculares*. Иннервируют портняжную, гребенчатую мышцы и *m. quadriceps femoris*. Рис. А.
- 3 Передние кожные ветви, *rami cutanei anteriores*. Разветвляются в коже дистальных 3/4 передней поверхности бедра. Рис. А.
- 4 Подкожный нерв ноги, л. *saphenus*. Самая длинная чувствительная ветвь бедренного нерва. Начинается в бедренном треугольнике, проходит через приводящий канал, прободает *membrana vastoadductoria* и выходит под кожу между портняжной и тонкой мышцами. Вместе с *v. saphena magna* доходит до медиального края стопы. Рис. А.
- 5 Поднадколенниковая ветвь, *ramus infrapatellaris*. Прободает *m. sartorius* разветвляется в коже ниже надколенника. Рис. А.
- 6 Медиальные кожные ветви голени, *rami cutanei cruris mediales*. Направляются к коже медиальной стороны голени и стопы. Рис. А.
- 7 Пояснично-крестцовый ствол, *truncus lumbosacralis*. Формируется ветвями поясничных нервов (L4 - L5). Рис. А.
- 8 КРЕСТЦОВОЕ СПЛЕТЕНИЕ, *plexus sacralis*. Формируется передними ветвями поясничных, крестцовых спинномозговых нервов (L5 - S3), а также частью L4 и S4. Лежит спереди от грушевидной мышцы, под ее фасцией. Нервы сплетения проходят по задней стороне нижней конечности. Рис. А.
- 9 Нерв внутренней запирающей мышцы, л. *musculi obturatorii interni* (L5 - S2). Через большое седалищное отверстие попадает в седалищно-анальную ямку, откуда направляется к внутренней запирающей мышце.
- 10 Нерв грушевидной мышцы, л. *musculi piriformis* (S1 - S2). Вступает в грушевидную мышцу со стороны ее передней поверхности.
- 11 Нерв квадратной мышцы бедра, л. *musculi quadrati femoris* (L4 - S1). Проходит через большое седалищное отверстие. Иннервирует одноименную мышцу и капсулу тазобедренного сустава.
- 12 Верхний ягодичный нерв, л. *gluteus superior* (L4 - S1). Выходит из таза через большое седалищное отверстие над грушевидной мышцей, между средней и малой ягодичной мышцами распространяется до напрягателя широкой фасции. Иннервирует названные мышцы, за исключением *m. piriformis*. Рис. Б.
- 13 Нижний ягодичный нерв, л. *gluteus inferior* (L5 - S2). Идет через большое седалищное отверстие под грушевидной мышцей к большой ягодичной мышце. Рис. Б.
- 14 Задний кожный нерв бедра, л. *cu-*

*taneus femoralis posterior* (S1 - S3). Выходит из таза через большое седалищное отверстие под грушевидной мышцей и иннервирует кожу задней поверхности бедра и проксимальной части голени. Рис. Б.

- 15 Нижние ветви ягодич, *rami clunium (gluteales) inferiores*. Огибают нижний край большой ягодичной мышцы и направляются вверх к коже ягодичной области. Рис. Б.
- 16 Промежностные ветви, *rami perineales*. Отходят на уровне нижнего края *m. gluteus maximus*, проходят под седалищным бугром и разветвляются в коже медиального отдела мошонки или половых губ. Одна из ветвей поднимается к копчику. Рис. Б.

16а Прободающий кожный нерв, л. *cutaneus perforans*. Иннервирует кожу вокруг заднего прохода. Рис. Б.

- 17 Седалищный нерв, л. *ischadicus (sciaticus)* (L4 - S3). Самый крупный нерв у человека. Выходит из таза через большое седалищное отверстие под грушевидной мышцей и спускается снаружи от седалищного бугра под *m. glutes maximus* и длинной головкой двуглавой мышцы бедра. Рис. Б.

18 Общий малоберцовый нерв, л. *fibularis communis* (L4 - S2). Может начинаться от седалищного нерва на различных уровнях. Вместе с сухожилием двуглавой мышцы бедра подходит сзади к головке малоберцовой кости, затем направляется косо вперед, располагаясь подкожно. Между шейкой малоберцовой кости и длинной малоберцовой мышцей разделяется на две ветви. Рис. Б.

19 Латеральный кожный нерв икры, л. *cutaneus surae lateralis*. Обычно начинается в подколенной ямке и иннервирует кожу заднелатеральной поверхности проксимальных двух третей голени. Рис. А, Б.

20 Малоберцовая соединительная ветвь, *ramus communicans fibularis*. Проходит под фасцией, покрывающей латеральную головку икроножной мышцы и соединяется с медиальным кожным нервом икры, формируя *n. suralis*. Рис. Б.

21 Поверхностный малоберцовый нерв, л. *fibularis superficialis*. Конечная ветвь общего малоберцового нерва, которая спускается между малоберцовыми мышцами и длинным разгибателем пальцев. Рис. А, Б.

22 Мышечные ветви, *rami musculares*. Иннервируют длинную и короткую малоберцовые мышцы

23 Медиальный тыльный кожный нерв, л. *cutaneus dorsalis medialis*. Пересекает сверху удерживатель разгибателей и иннервирует кожу тыла стопы, медиальной стороны большого пальца, а также обращенных друг к другу сторон 2-, 3-го пальцев. Рис. А.

24 Промежуточный тыльный кожный нерв, л. *cutaneus dorsalis intermedius*. Лате-

ральная ветвь поверхностного малоберцового нерва, которая разветвляется на тыльные пальцевые нервы стопы. Рис. А.

- 25 Тыльные пальцевые нервы стопы, л. *digitals dorsales pedis*. Иннервируют кожу обращенных друг к другу сторон 3, 4 и 5-го пальцев, исключая их дистальные фаланги. Рис. А.

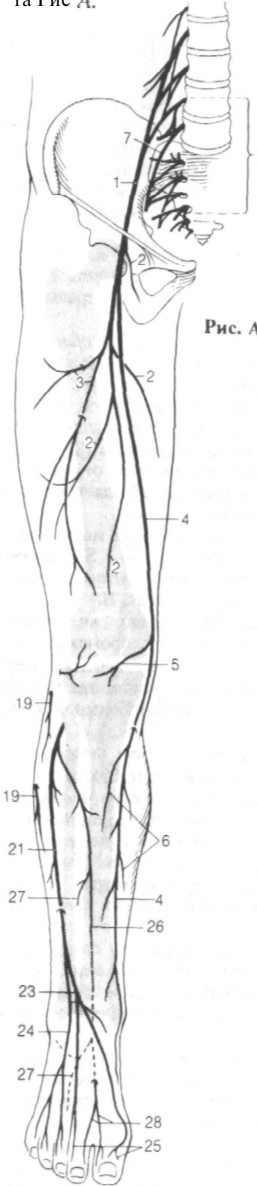


Рис. А. Нервы нижней конечности (вид спереди)

26 Глубокий малоберцовый нерв, л. *fibularis profundus*. Проходит под длинной малоберцовой мышцей, затем латерально от *m. tibialis ant.* направляется на тыл стопы. Рис. А, Б.

27 Мышечные ветви, *rami musculares*. Иннервируют переднюю большеберцовую мышцу, короткий и длинный разгибатели большого пальца, а также короткий и длинный разгибатели пальцев. Рис. А.

28 Тыльные пальцевые нервы, латеральный нерв большого пальца стопы и медиальный нерв II пальца, л. *digitales dorsales, hallucis lateralis et digiti secundi medialis*. Иннервируют кожу обращенных друг к другу сторон I и 2-го пальцев. Рис. А.

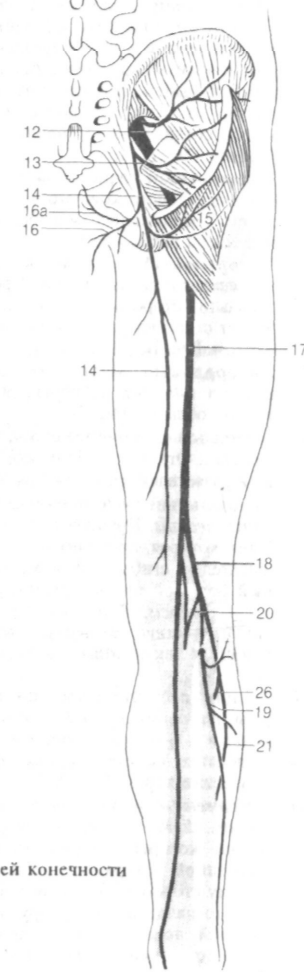


Рис. Б. Нервы нижней конечности (вид сзади)

- 1 **Большеберцовый нерв, n. tibialis** (L4 - S3). Конечная ветвь седалищного нерва. Проходит через подколенную ямку, затем под сухожильной дугой m.solius и, огибая вместе с a.tibialis posterior медиальную лодыжку, попадает на подошвенную поверхность стопы. Рис. А.
- 2 **Мышечные ветви, rami musculares.** Иннервируют икроножную, подошвенную и камбаловидную мышцы, а также мышцы глубокого слоя задней группы голени. Рис. А.
- 3 **Межкостный нерв голени, n. interosseus cruris.** Сопровождает a.tibialis ant и содержит волокна для иннервации костей голени, а также дистального межберцового сустава. Рис. А.
- 4 **Медиальный кожный нерв икры, n. cutaneus surae medialis.** Отходит от n.tibialis в подколенной ямке. В расщеплении фасции голени между двумя головками икроножной мышцы выходит под кожу и латерально от v.saphena parva спускается до места соединения с ramus communicans fibularis. Рис. А, Б.
- 5 **Икроножный нерв, n. suralis.** Продолжение медиального кожного нерва икры после его соединения с малоберцовой соединительной ветвью. Рис. Б.
- 6 **Латеральный тыльный кожный нерв, n. cutaneus dorsalis lateralis.** Проходит с латеральной стороны тыла стопы и анастомозирует с промежуточным тыльным кожным нервом. Рис. Б.
- 7 **Латеральные пяточные ветви, rami calcanei laterales.** Иннервируют кожу пяточной области. Рис. Б.
- 8 **Медиальные пяточные ветви, rami calcanei mediales.** Отходят от большеберцового нерва и разветвляются в коже пятки. Рис. Б.
- 9 **Медиальный подошвенный нерв, n. plantaris medialis.** Крупная конечная ветвь n.tibialis, которая, проходя на стопу под удерживателем сгибателей и мышцей, отводящей большой палец. Иннервирует mm. adductor hallucis, flexor hallucis brevis, flexor digitorum brevis и первую червеобразную мышцу, а также отдает кожные ветви. Рис. А.
- 10 **Общие подошвенные пальцевые нервы, nn. digitales plantares communes.** Проходят в 1- 4-м межплюсневых промежутках и делятся на собственные подошвенные пальцевые нервы. Рис. А.
- 11 **Собственные подошвенные пальцевые нервы, nn. digitales plantares proprii.** Кожные нервы, которые направляются вдоль подошвенной поверхности обращенных друг к другу сторон 1- 3-го и медиальной стороны 4-го пальцев. Иннервируют также кожу тыльной поверхности дистальных фаланг соответствующих пальцев. Рис. А.
- 12 **Латеральный подошвенный нерв.**

*plantaris lateralis.* Одна из конечных ветвей n.tibialis, которая проходит под коротким сгибателем пальцев и вместе с латеральной подошвенной артерией доходит до основания 5-ой плюсневой кости, где разветвляется на две ветви. Перед разделением иннервирует mm.Mductor digiti minimi et quadratus plantae. Рис. А.

- 13 **Поверхностная ветвь, ramus superficialis.** Преимущественно чувствительная ветвь. Рис. А.

- 14 **Общие подошвенные пальцевые нервы, nn. digitales plantares communes.** Один из этих нервов проходит между 4-, 5-ой плюсневых костями, другой - отдает ветви к короткому сгибателю мизинца, межкостным мышцам 4- го межплюсневых промежутка и к коже латеральной стороны мизинца. Рис. А.

- 15 **Собственные подошвенные пальцевые нервы, nn. digitales plantares proprii.** Проходят вдоль двух сторон 5-го и латеральной стороны 4-го пальцев. Рис. А.

- 16 **Глубокая ветвь, ramus profundus.** Мышечная ветвь, которая сопровождает одноименную артерию. Иннервирует mm.adductor hallucis, flexor hallucis brevis, 2- 4-ю червеобразные и межкостные мышцы. Рис. А.

- 17 **Половой нерв, n. pudendus** (S2 - S4). Через большое седалищное отверстие под грушевидной мышцей попадает в седалищно-анальную ямку. Рис. В.

- 18 **Нижние прямокишечные нервы, nn. geetales (anales) inferiores** (S3 - S4). Иннервируют m. sphincter ani extemus и кожу вокруг заднего прохода. Рис. В.

- 19 **Промежностные нервы, nn. perineales.** Ветви полового нерва к промежности.

- 20 **Задние мошоночные/губные нервы, nn. scrotales/labiales posteriores.** Подходят сзади к коже мошонки/большой половой губе. Рис. В.

- 21 **Мышечные ветви, rami musculares.** Иннервируют мышцы промежности.

- 22 **Дорсальный нерв полового члена, n. dorsalis penis.** Проходит вдоль спинки полового члена и отдает ветви к пещеристым телам и покрывающей их коже. Рис. В.

- 23 **Дорсальный нерв клитора, n. dorsalis clitoridis.** Соответствует n. dorsalis penis. Рис. В.

- 24 **Копчиковый нерв, n. coccygeus.** Последний СПИНОМОЗГОВОЙ нерв, который проходит между копчиком и крестцом и анастомозирует с 4-, 5-м крестцовыми нервами. Рис. В.

- 25 **Копчиковое сплетение, plexus coccygeus.** Формируется передними ветвями 4-, 5-го крестцовых и копчикового нервов. Иннервирует кожу в области копчика. Рис. В.

- 26 **Заднепроходно-копчиковые нервы, ll. apococcygei.** Несколько небольших нервов из копчикового сплетения, которые пробо-

дают заднепроходно-копчиковую связку и иннервируют кожу над ней. Рис. В.

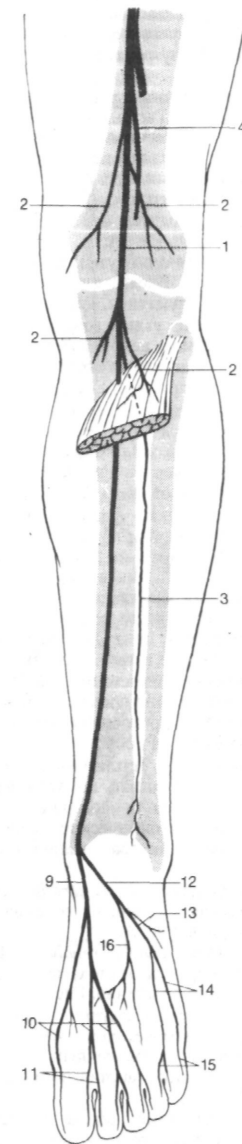


Рис. А. Нервы голени и стопы (вид сзади)

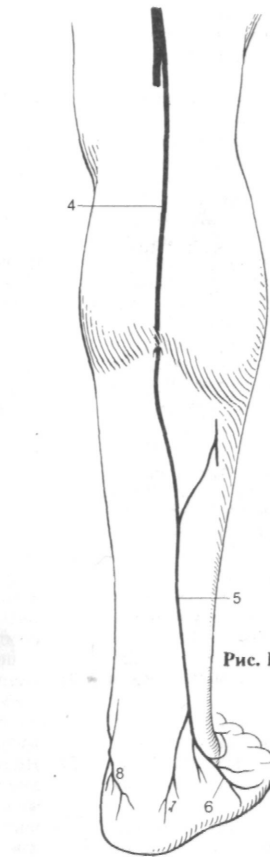


Рис. Б. Кожные нервы голени (вид сзади)

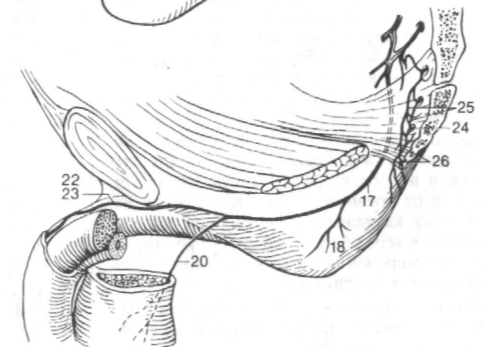


Рис. Г. Половой нерв

- 1 ВЕГЕТАТИВНАЯ (АВТОНОМНАЯ) ЧАСТЬ, ВЕГЕТАТИВНАЯ (АВТОНОМНАЯ) НЕРВНАЯ СИСТЕМА, *pars autonoma, systema nervorum autonomicum*. Регулирует функции внутренних органов через воздействие на гладкую мускулатуру, сердечную мышцу и железы.
- 2 Вегетативные (автономные, висцеральные) сплетения, *plexus autonomici (viscerates)*. Расположены, в основном, спереди от позвоночного столба вокруг аорты и ее ветвей.
- 3 Узлы вегетативных (автономных, висцеральных) сплетений, *ganglia plexuum autonomicorum (visceralia)*. Группы нейронов в составе сплетений, на которых заканчиваются преганглионарные волокна.
- 4 Грудное аортальное сплетение, *plexus aorticus thoracicus*. Расположено вокруг аорты. Формируется ветвями первых пяти грудных узлов симпатического ствола и большим внутренностным нервом. В состав сплетения входят также афферентные волокна блуждающего нерва. Рис. Б.
- 5 Сердечное сплетение, *plexus cardiacus*. Расположено у основания сердца вокруг *arcus aortae*, корня легочного ствола и продолжается вдоль венечных сосудов. Составляет из симпатических и парасимпатических нервных волокон. Рис. Б.
- 6 Сердечные узлы, *ganglia cardiaca*. Небольшие группы нейронов в составе сердечного сплетения преимущественно с правой стороны от артериальной связки. Рис. Б.
- 7 Пищеводное сплетение, *plexus oesophagealis*. Сеть вегетативных нервных волокон вокруг пищевода.
- 8 Легочные ветви, *rami pulmonales*. Отходят от 3-, 4-го грудных узлов симпатического ствола и вступают в состав преимущественно задней части легочного сплетения. Рис. Б.
- 9 Легочное сплетение, *plexus pulmonalis*. Расположено спереди и сзади корня легкого и формируется волокнами узлов симпатического ствола и блуждающего нерва. По средней линии легочные сплетения соединяются между собой и с сердечным сплетением. Рис. Б.
- 10 Брюшное аортальное сплетение, *plexus aorticus abdominalis*. Расположено спереди и по обе стороны аорты на протяжении от чревного ствола до бифуркации, откуда в каудальном направлении продолжается в верхнее подчревное сплетение. В его формировании принимают участие ветви верхних поясничных узлов.
- 11 Чревое сплетение, *plexus coeliacus*. Расположено вокруг чревного ствола и имеет многочисленные связи с соседними вегетативными сплетениями. В его состав входят волокна внутренностных и блуждающего нервов. Рис. А, В.
- 12 Чревные узлы, *ganglia coeliaca*. Группы нейронов в составе чревного сплетения,

расположенные по обе стороны аорты у места начала чревного ствола. Рис. А.

- 13 Аортопочечные узлы, *ganglia aorticorenalia*. Находятся у места начала *a. renalis* и могут сливаться с чревными узлами. К ним подходит малый внутренностный нерв. Рис. А.
- 14 Верхний брыжеечный узел, *ganglion mesentericum superius*. Расположен у места начала верхней брыжеечной артерии или ее ветвей. Часто объединяется с соседними вегетативными узлами. Рис. А.
- 15 Межбрыжеечное сплетение, *plexus intermesentericus*. Находится между брыжеечными сплетениями. Рис. А.
- 16 Нижний брыжеечный узел, *ganglion mesentericum inferius*. Входит в состав нижнего брыжеечного сплетения. Рис. А.
- 17 Диафрагмальные узлы, *ganglia phrenica*. Небольшие группы нейронов в вегетативном сплетении, окружающем нижнюю диафрагмальную артерию. Рис. А.
- 18 Печеночное сплетение, *plexus hepaticus*. Продолжение чревного сплетения к печени. Содержит волокна блуждающего и диафрагмального нервов. Рис. А, В.
- 19 Селезеночное сплетение, *plexus splenicus (lienalis)*. Продолжение чревного сплетения по ходу селезеночной артерии. Рис. А, В.
- 20 Желудочные сплетения, *plexus gastrici*. Формируются передними и задними желудочными ветвями блуждающих стволов, а также ветвями чревного сплетения, распространяющимися по ходу левой желудочной артерии и ее ветвей. Рис. В.
- 21 Панкреатическое сплетение, *plexus pancreaticus*. Продолжение чревного сплетения по ходу сосудов, кровоснабжающих поджелудочную железу. Рис. В.
- 22 Надпочечниковое сплетение, *plexus suprarenalis*. Расположено по ходу надпочечниковых сосудов и содержит преганглионарные симпатические волокна для мозгового вещества надпочечников. Рис. А.
- 23 Почечное сплетение, *plexus renalis*. Сопровождает *a. renalis* и содержит волокна блуждающих нервов. Рис. А.
- 24 Почечные узлы, *ganglia renalia*. Небольшие группы нервных клеток, входящие в состав почечного сплетения. Рис. А.
- 25 Мочеточниковое сплетение, *plexus uretericus*. Окружает мочеточник. Формируется волокнами из аортопочечных узлов, почечного и брюшного аортального сплетений. Рис. А.
- 26 Яичковое сплетение, *plexus testicularis*. Вдоль *a. testicularis* распространяется до яичка. Формируется волокнами почечного и брюшного аортального сплетений. Рис. А.
- 27 Яичниковое сплетение, *plexus ovaricus*. Находится вокруг яичниковой артерии и содержит волокна из брюшного аортального и почечного сплетений. Рис. А.

- 28 Верхнее брыжеечное сплетение, *plexus mesentericus superior*. Расположено по ходу одноименной артерии и ее ветвей. Содержит симпатические волокна из чревного сплетения и парасимпатические - из блуждающих нервов. Рис. А.

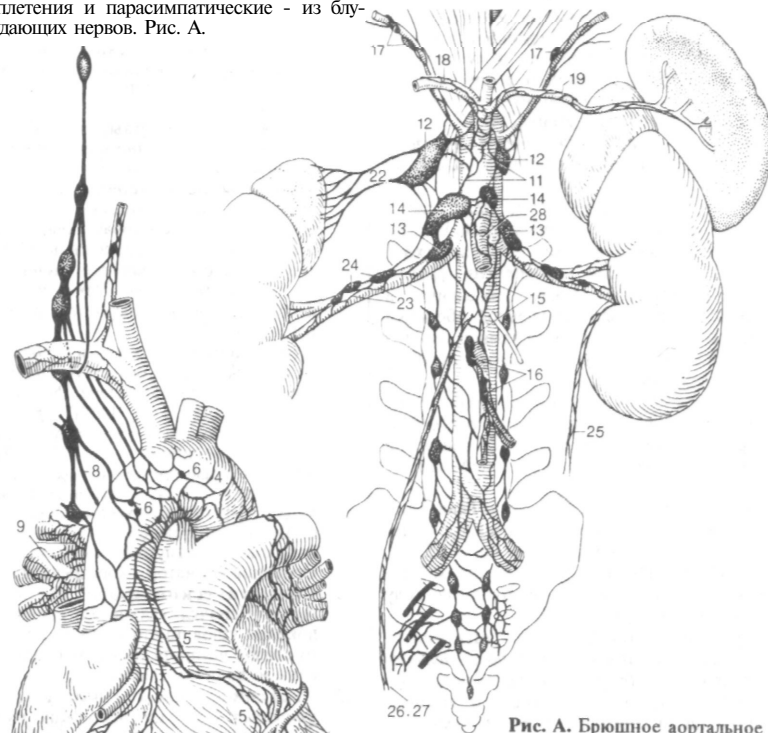


Рис. А. Брюшное аортальное сплетение



Рис. Б. Сердечное сплетение

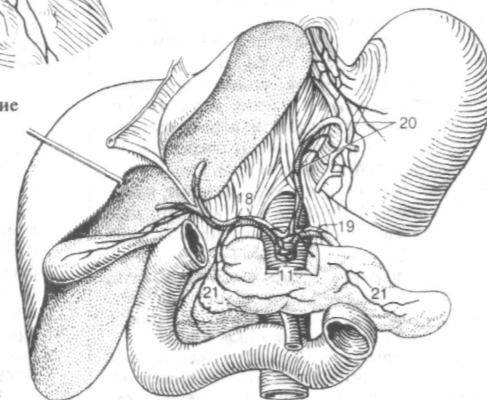


Рис. В. Чревое сплетение

- 1 Нижнее брыжеечное сплетение, *plexus mesentericus inferior*. Продолжение брюшного аортального сплетения вдоль нижней брыжеечной артерии и ее ветвей. Рис. Г.
- 2 Верхнее прямокишечное сплетение, *plexus rectalis superior*. Продолжение нижнего брыжеечного сплетения по ходу верхней прямокишечной артерии и вокруг прямой кишки. Содержит парасимпатические волокна из тазового сплетения. Рис. Г.
- 3 Кишечное сплетение, *plexus entericus*. Общий термин для вегетативных сплетений в стенке тонкой кишки.
- 4 Подсерозное сплетение, *plexus subserosus*. Расположено под брюшиной. Рис. В.
- 5 Мышечно-кишечное [[Ауэрбаха]] сплетение, *plexus myentericus* [[Auerbach]]. Находится между продольным и циркулярным слоями мышечной оболочки тонкой кишки. Содержит большое количество нейронов и регулирует перистальтику кишечника. Рис. В.
- 6 Подслизистое [[Мейсснера]] сплетение, *plexus submucosus* [[Meissner]]. Иннервирует мышечную пластинку слизистой оболочки и расположенные в ней железы. Рис. В.
- 7 Подвздошные сплетения, *plexus iliaci*. Продолжение брюшного аортального сплетения на подвздошные артерии. Рис. Г, Д.
- 8 Бедренное сплетение, *plexus femoralis*. Продолжение подвздошного сплетения по ходу бедренной артерии. Рис. Д.
- 9 Верхнее подчревное сплетение (предкрестцовый нерв), *plexus hypogastricus superior (n. presacralis)*. Расположено между брюшным аортальным и тазовым сплетениями спереди тела L5. К нему подходят ветви поясничных узлов симпатического ствола. Рис Г, Д.
- 10 Подчревный нерв гравий/левый, *n. Hypogastricus dexter/sinister*. Ветви верхнего подчревного сплетения к внутренним органам малого таза. Соединяются с нижним подчревным сплетением. Рис. Г, Д.
- 11 Нижнее подчревное сплетение, *plexus hypogastricus inferior (plexus pelvicus)*. Стоит из симпатических и парасимпатических волокон. Расположено спереди и по обе стороны от прямой кишки. Рис. Г.
- 12 Среднее прямокишечное сплетение, *plexus rectalis medius*. Продолжение нижнего подчревного сплетения в стенку прямой кишки. Рис. Д.
- 13 Нижнее прямокишечное сплетение, *plexus rectalis inferior*. Расположено по ходу ветвей внутренней подвздошной артерии с двух сторон от прямой кишки. Рис. Д.
- 14 Предстательное сплетение, *plexus prostaticus*. Находится на задней и нижней поверхностях предстательной железы. Продолжается до перепончатой части уретры. Рис. Д
- 15 Сплетение семьявы носящего протока,

*plexus deferentialis*. Формируется вокруг семявыносящего протока. Рис. Д

- 16 Маточно-влагалищное сплетение, *plexus uterovaginalis*. Лежит в околоматочной клетчатке, связано с тазовым сплетением через прямокишечно-маточные складки и содержит многочисленные вегетативные узлы. Ветви сплетения направляются к матке, влагалищу, маточной трубе и яйчнику. Рис. Г.
- 17 Влагалищные нервы, *nn. vaginalis*. Направляются от маточно-влагалищного сплетения к влагалищу. Рис. Г.
- 18 Мочепузырное сплетение, *plexus vesicalis*. Содержит парасимпатические волокна, расположено по сторонам мочевого пузыря и контролирует его опорожнение. Рис. Д
- 19 Нервы пещеристых тел полового члена, *nn. cavernosi penis*. Ветви предстательного сплетения к пещеристым телам полового члена. Рис. Д
- 20 Нервы пещеристых тел клитора, *nn. cavernosi clitoridis*. Соответствуют пещеристым нервам полового члена. Рис. Д.
- 21 СИМПАТИЧЕСКАЯ ЧАСТЬ, *pars sympathica*. Вегетативные ядра груднопоясничных сегментов спинного мозга (T1 - L2) с периферическим представительством в симпатическом стволе. Оказывает стимулирующий эффект на сердечно-сосудистую систему и угнетающий - на мускулатуру бронхов и желудочно-кишечный тракт. Основной медиатор - норадреналин.
- 22 Симпатический ствол, *truncus sympathicus*. Цепочка связанных нервными волокнами узлов по сторонам от позвоночно-го столба на протяжении от основания черепа до копчика. Рис. Б.
- 23 Узлы симпатического ствола, *ganglia trunci sympathici*. Содержат небольшие мультиполярные клетки, на которых заканчиваются претанглионарные (миелиновые) волокна. Отростки этих нейронов - посттанглионарные (безмиелиновые) волокна. Рис. Б.
- 24 Межузловые ветви, *rami interganglionares*. Пучки миелиновых и безмиелиновых нервных волокон, соединяющие узлы симпатического ствола. Рис. Б.
- 25 Соединительные ветви, *rami communicantes*. Соединяют симпатический ствол со спинномозговыми нервами. Рис. Б.
- 26 Промежуточные узлы, *ganglia intermedia*. Группы симпатических нейронов в соединительных ветвях шейных и поясничных спинномозговых нервов. Рис. Б.
- 27 Верхний шейный узел, *ganglion cervicale superius*. Имеет длину около 2,5 см и расположен на 2 см ниже основания черепа между длинной мышцей головы и задним брюшком двубрюшной мышцы. Рис. А
- 28 Яремный нерв, *n. jugularis*. Ветвь к нижнему узлу языкоглоточного нерва и к верхнему узлу блуждающего нерва. Рис. А.
- 29 Внутренний сонный нерв, *n. caroticus intemus*. Формирует сплетение вокруг внутренней сонной артерии и состоит из посттанглионарных волокон. Рис. А.

- 30 Внутреннее сонное сплетение, *plexus caroticus intemus*. Находится в сонном канале. От него отходят глубокий каменистый нерв, ветви к внутреннему уху и главному яблоку. Рис. А"
- 31 Наружные сонные нервы, *nn. carotid externi*. Идут к наружной сонной артерии и формируют вокруг нее сплетение. Рис. А

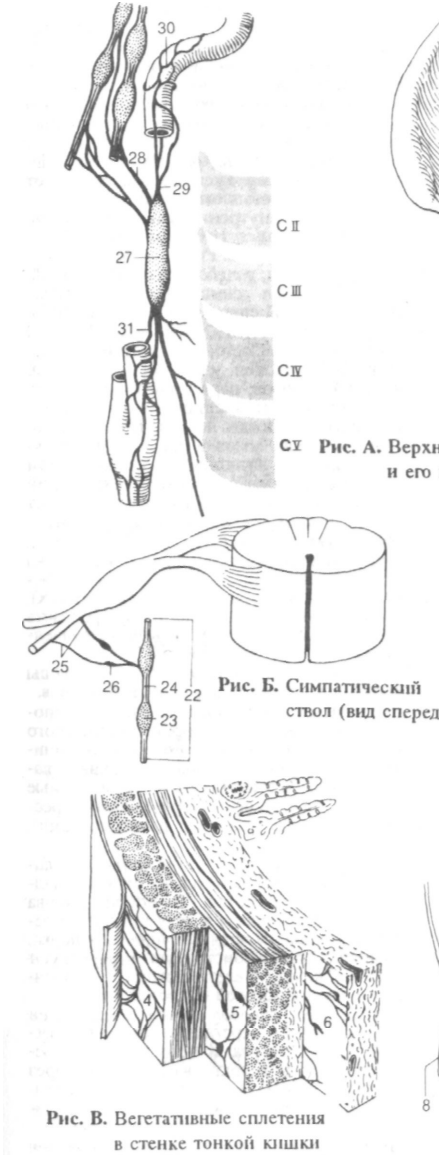


Рис. А. Верхний шейный узел и его ветви

Рис. Б. Симпатический ствол (вид спереди)

Рис. В. Вегетативные сплетения в стенке тонкой кишки

Рис. Д. Тазовое сплетение

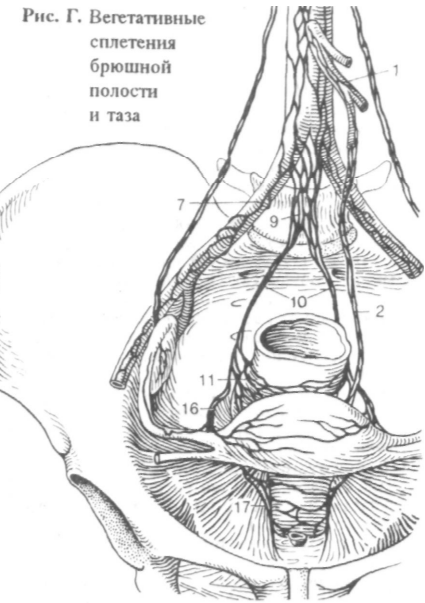


Рис. Г. Вегетативные сплетения брюшной полости и таза

- 1 **Наружное сонное сплетение, *plexus caroticus externus***. Расположено вокруг одноименной артерии. Рис. А.
- 2 **Общее сонное сплетение, *plexus caroticus communis***. Находится вокруг одноименной артерии. Рис. А.
- 3 **Гортанно-глоточные ветви, *rami laryngopharyngeales***. Постганглионарные волокна к глоточному сплетению. Рис. А.
- 4 **Верхний шейный сердечный нерв, *p. cardiacus cervicalis superior***. Входит в состав сердечного сплетения. Рис. А.
- 5 **Средний шейный узел, *ganglion cervicale medium***. Небольшой узел, расположенный на уровне С6 спереди или сзади от нижней щитовидной артерии. Рис. А, Д.
- 6 **Позвоночный узел, *ganglion vertebrate***. Небольшой дополнительный узел спереди места вступления позвоночной артерии в поперечное отверстие С6. Рис. А.
- 7 **Средний шейный сердечный нерв, *p. cardiacus cervicalis medius***. Ветвь среднего шейного узла к глубокой части сердечного сплетения. Рис. А.
- 8 **Шейногрудной (звездчатый) узел, *ganglion cervicothoracicum (stellatum)***. В 75 % случаев формируется при слиянии нижнего шейного узла с 1-м и часто со 2-м грудными узлами симпатического ствола. Рис. А, Д.
- 9 **Подключичная петля, *ansa subclavia***. Охватывает подключичную артерию. Рис. А.
- 10 **Нижний шейный сердечный нерв, *p. cardiacus cervicalis inferior***. Следует к глубокой части сердечного сплетения. Рис. А.
- 11 **Подключичное сплетение, *plexus subclavius***. Окружает одноименную артерию. Рис. А.
- 12 **Позвоночный нерв, *p. vertebralis***. Проходит позади одноименной артерии и формирует позвоночное сплетение. Рис. А.
- 13 **Позвоночное сплетение, *plexus vertebralis***. Окружает одноименную артерию. Рис. А.
- 14 **Грудные узлы, *ganglia thoracica***. От одиннадцати до двенадцати утолщений грудного отдела симпатического ствола. Рис. А, Д.
- 15 **Грудные сердечные ветви, *rr. cardiaci thoracici***. Формируются волокнами 2- 4(5)-го грудных узлов и вступают в сердечное сплетение. Содержат постганглионарные симпатические и афферентные (болевые) нервные волокна. Рис. А, Д.
- 15а **Грудные легочные ветви, *rami pulmonales thoracici***. Начинаются от 2- 4-го грудных узлов. Формируют легочное сплетение.
- 16 **Пищеводные ветви, *rami oesophageales***. Начинаются от 2- 5-го грудных узлов.
- 16 **Большой внутренностный нерв, *p. splanchnicus major***. Образуется волокнами 5 - 9(10)-го грудных узлов и направляется к черевным узлам. Содержит пре- и постганглионарные симпатические, а также афферентные (болевые) волокна от органов верхнего отдела брюшной полости. Рис. Д.
- 17 **Грудной внутренностный узел, *ganglion thoracicum splanchnicum***. Узел в составе большого внутренностного нерва на уровне девятого грудного позвонка. Рис. Д.
- 18 **Малый внутренностный нерв, *p. splanchnicus minor***. Образуется волокнами 9- 11-го грудных узлов и направляется к черевному

- сплетению. Рис. Д.
- 19 **Почечная ветвь, *ramus renalis***. Ветвь п. *splanchnicus min.* к почечному сплетению. Рис. Д.
- 20 **Низший внутренностный нерв, *p. splanchnicus imus***. Самостоятельная ветвь 12-го грудного узла к почечному сплетению. Рис. Д.
- 21 **Поясничные узлы, *ganglia lumbalia (lumbaria)***. Обычно четыре узла по обе стороны поясничного отдела позвоночника. Рис. Б.
- 22 **Поясничные внутренностные нервы, *nn. splanchnici lumbales (lumbares)***. Четыре нерва, которые отходят от поясничных узлов и формируют сеть спереди тела L5. Рис. Б.
- 23 **Крестцовые узлы, *ganglia sacralia***. Четыре узла, расположенные медиально от тазовых крестцовых отверстий. Рис. Б.
- 24 **Крестцовые внутренностные нервы, *nn. splanchnici sacrales***. Небольшие ветви 2- 4-го крестцовых узлов. Рис. Б.
- 25 **Непарный узел, *ganglion impar***. Последний, непарный узел симпатического ствола, расположенный спереди от копчика. Рис. Б.
- 26 **ПАРАСИМПАТИЧЕСКАЯ ЧАСТЬ, *pars parasymphatica***. Состоит из парасимпатических ядер, волокон, узлов III, VII, IX и X черепных нервов; парасимпатических ядер S2 - S4 сегментов спинного мозга, внутренностных тазовых нервов, тазовых парасимпатических узлов и их ветвей. Функционально - антагонист симпатической системы: уменьшает частоту сокращений сердца, суживает бронхи, стимулирует функцию кишечника и половых органов.
- 26а **Черепная часть, *pars cranialis***.
- 27 **Концевой нерв, *p. terminalis***. Состоит из тонких, переплетающихся волокон с неясной функцией (вероятно вегетативных), которые соединяют обонятельную область носовой полости с передним продырявленным веществом мозга. Рис. В.
- 28 **Концевой узел, *ganglion terminale***. Группы нервных клеток по ходу концевых нервов.
- 29 **Ресничный узел, *ganglion ciliare***. Расположен с латеральной стороны зрительного нерва. На нейронах этого узла заканчиваются преганглионарные волокна глазодвигательного нерва. Постганглионарные волокна идут к сфинктеру зрачка и ресничной мышце (участвует в аккомодации). Рис. Г.
- 30 **Крылонебный узел, *ganglion pterygopalatinum***. Находится латерально от клиновидно-носового отверстия. В составе нерва крыловидного канала к узлу подходят преганглионарные волокна от лицевого нерва. Нейроны крылонебного узла иннервируют слезную железу, железы слизистой оболочки носовой и ротовой полостей. Рис. Г.
- 31 **Ушной узел, *ganglion oticum***. Расположен под овальным отверстием медиальнее нижнечелюстного нерва. К нему подходят преганглионарные волокна из IX нерва (через p. retusus minor). Отростки нейронов ушного узла (постганглионарные волокна) направляются к околоушной железе. Рис. Г.
- 32 **Подъязычночелюстной узел, *ganglion submandibulare***. Находится рядом с языч-

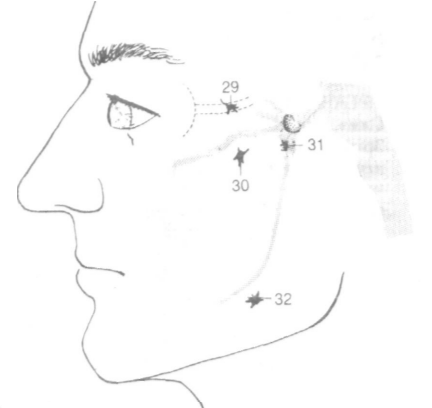
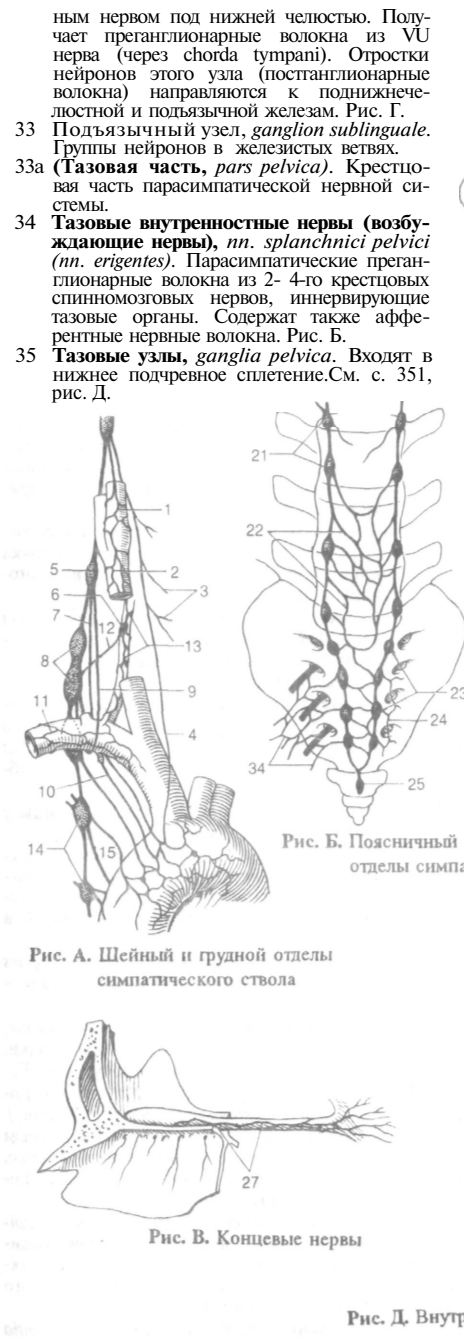


Рис. Г. Вегетативные узлы головы

Рис. Б. Поясничный и крестцовый отделы симпатического ствола

Рис. А. Шейный и грудной отделы симпатического ствола

Рис. В. Концевые нервы

Рис. Д. Внутренностные нервы



- 1 **ОРГАНЫ ЧУВСТВ, *organa sensoria (sensuum)***. Представлены, в узком смысле, органами зрения, слуха и равновесия, а также обоняния и вкуса.
- 2 **ОРГАН ЗРЕНИЯ, *organum visus (visuale)***.
- 3 **Глаз, *oculus***.
- 4 Зрительный нерв, *n. opticus*. Его волокна начинаются в сетчатке и продолжаются до зрительного перекреста. В эмбриогенезе развивается как выпячивание мозгового пузыря и, в связи с этим, на всем протяжении до заднего полюса глазного яблока покрыт всеми оболочками головного мозга. Аксоны, формирующие зрительный нерв, не имеют шванновской оболочки, покрывающая их миелиновая оболочка образована олигодендроглией. Рис. А, В, Д
- 5 Внутрочерепная часть, *pars intracranialis*. Расположена между зрительным перекрестом и входом в *canalis opticus*. Рис. Д.
- 6 Внутриканальцевая часть, *pars intracanalicularis*. Находится в зрительном канале и частично связана с его стенками. Рис. Д.
- 7 Глазничная часть, *pars orbitalis*. Расположена в глазнице, имеет длину, примерно, 3 см и слегка изогнутый ход. Рис. Д.
- 8 Внутриглазная часть, *pars intraocularis*. Сегмент зрительного нерва в стенке глазного яблока.
- 9 **Постламнарная часть, *pars postlaminaris***. Находится казади от решетчатой пластинки, на уровне которой наружная оболочка зрительного нерва (продолжение твердой оболочки головного мозга) переходит в склеру. Рис. А.
- 10 **Интраламинарная часть, *pars intralaminaris***. Расположена на протяжении решетчатой пластинки склеры. Рис. А.
- 11 **Прелиминарная часть, *pars prelaminaris***. Часть зрительного нерва между решетчатой пластинкой и слоем нервных волокон сетчатки. Рис. А.
- 12 Наружное влагалище, *vagina externa*. Продолжение твердой оболочки головного мозга до глазного яблока. Рис. А.
- 13 Внутреннее влагалище, *vagina interna*. Продолжение паутинной и мягкой оболочек головного мозга. Покрывает зрительный нерв на протяжении до глазного яблока. Рис. А.
- 14 Межвлагалищные пространства, *spatia intervaginalia*. Капиллярные щели между наружным и внутренним влагалищами зрительного нерва, а также подпаутинное пространство под покрывающей зрительный нерв паутинной оболочкой. Рис. А.
- 15 Глазное яблоко, *bulbus oculi*. Состоит из оболочек, окружающих ядро глаза. Рис. Г.
- 16 Передний полюс, *polus anterior*. Соответствует вершине роговицы и является центральной точкой на передней изогнутой поверхности глазного яблока. Рис. Г.
- 17 Задний полюс, *polus posterior*. Находится напротив переднего полюса латерально от места выхода зрительного нерва. Рис. Г.
- 18 Экватор, *aequator*. Максимальная окружность глазного яблока, расположенная на середине расстояния между передним и задним полюсами. Рис. Г.
- 19 Меридианы, *meridiani*. Полуокружности, которые соединяют оба полюса по поверхности глазного яблока и проходят под прямым углом к экватору. Рис. Г.
- 20 Наружная ось глазного яблока, *axis bulbi externus*. Линия, соединяющая передний и задний полюса глазного яблока. Рис. В.
- 21 Внутренняя ось глазного яблока, *axis bulbi internus*. Расстояние между задней поверхностью роговицы и внутренней поверхностью сетчатки по линии, соединяющей оба полюса глазного яблока. Рис. В.
- 22 Зрительная ось, *axis opticus*. Проходит через центральные точки роговицы и хрусталика. Пересекается с сетчаткой в точке между центральной ямкой и диском зрительного нерва. Рис. В.
- 23 Фиброзная оболочка глазного яблока, *tunica fibrosa bulbi*. Наружная оболочка глазного яблока, которая состоит из роговицы и склеры. Рис. В.
- 24 Склера, *sclera*. Белесоватого цвета задняя часть фиброзной оболочки, которая состоит из беспорядочно расположенных коллагеновых волокон. Рис. А, Б, В.
- 25 Борозда склеры, *sulcus sclerae*. Находится между склерой и роговицей. Образуется в результате того, что кривизна роговицы больше, чем остальной части глазного яблока. Рис. Б, В, Г.
- 26 Лимбус, *limbus*. Выпуклый край роговицы у места ее перехода в склеру. Рис. Б.
- 27 Трабекулярная сеточка (зубчатая связка), *reticulum trabeculare (lig. pectinatum) [spongium iridocorneal]*. Соединительная ткань в углу между роговицей и радужкой.
- 28 Роговично-склеральная часть, *pars comeoscleralis*. Часть трабекулярной сеточки, прилежащая к склере. Рис. Б.
- 29 Сосудистооболочечная (увальная) часть, *pars uvealis*. Часть трабекулярной сеточки, прилежащая к радужной оболочке. Рис. Б.
- 30 Венозный синус склеры [Шлеммов канал], *sinus venosus sclerae [Schlemm]*. Циркулярный сосуд (может быть двойным или прерывным) в трабекулярной сеточке. В него поступает водянистая влага из передней камеры глазного яблока. Рис. Б.
- 31 Эписклеральная пластинка, *lamina episclearalis*. Тонкая пластинка рыхлой соединительной ткани между наружной поверхностью склеры и влагалищем глазного яблока [теноновой капсулой].
- 32 Собственное вещество склеры, *substantia propria sclerae*. Содержит, преимущественно, коллагеновые и небольшое количество эластических волокон. Рис. А, Б.

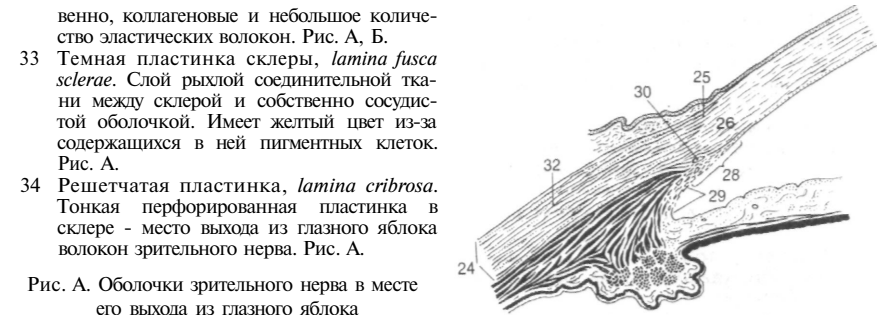


Рис. А. Оболочки зрительного нерва в месте его выхода из глазного яблока

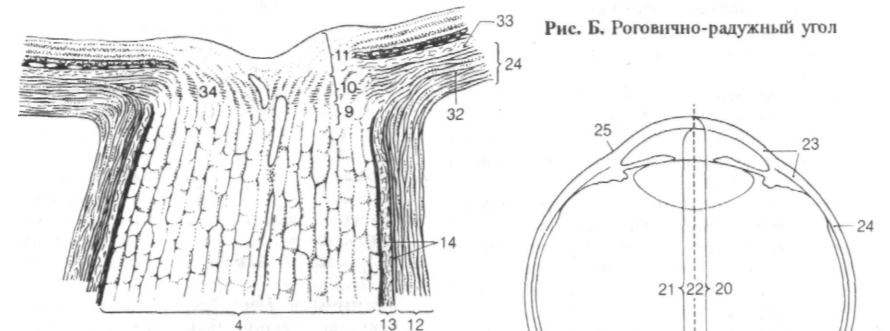


Рис. Б. Роговично-радужный угол



Рис. В. Горизонтальный разрез глазного яблока (схема)

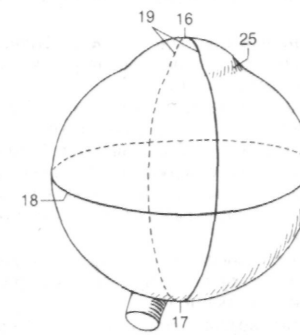


Рис. Г. Глазное яблоко (полюса, экватор и меридианы)

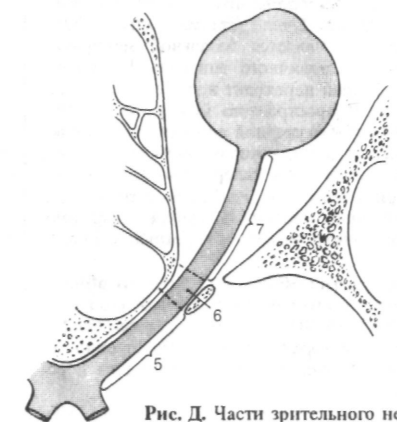


Рис. Д. Части зрительного нерва

- 1 Роговица, *cornea*. Выпуклая спереди и вогнутая сзади прозрачная пластинка, которая формирует переднюю 1/6 часть глазного яблока. Имеет толщину 0,9 мм в центре и 1,2 мм по краю. Рис. Б, Г.
- 2 Кольцо конъюнктивы, *anulus conjunctivae*. Линия перехода конъюнктивального эпителия, покрывающего глазное яблоко в передней эпителии роговицы. Рис. Г.
- 3 Край (лимб) роговицы, *limbus corneae*. Рис. Г.
- 4 Вершина роговицы, *vertex corneae*. Наиболее выступающая точка передней поверхности роговицы.
- 5 Передняя поверхность, *facies anterior*. Наружная поверхность роговицы. Рис. Г.
- 6 Задняя поверхность, *facies posterior*. Обращена к передней камере глазного яблока. Рис. Г.
- 7 Передний эпителий, *epithelium anterius*. Пятислойный плоский неороговевающий эпителий, покрывающий переднюю поверхность роговицы и делающий ее идеально ровной. Рис. Б, Г.
- 8 Передняя пограничная [[боуменова]] пластинка, *lamina limitans anterior* [[Bowman]]. Базальная мембрана переднего эпителия роговицы. Имеет толщину примерно 10-20 мкм и продолжается сзади в собственное вещество (роговицы). Рис. Б.
- 9 Собственное вещество (роговицы), *substantia propria*. Большая по объему часть роговицы (90% ее толщины), которая не имеет сосудов и состоит из накладывающихся одна на другую пластинок коллагеновых волокон, погруженных в содержащее сульфатированные гликозаминогликаны основное вещество. Степень набухания волокон и распределение коллоидного матрикса в собственном веществе роговицы определяют ее прозрачность. Рис. Б.
- 10 Задняя пограничная [[десметова]] пластинка, *lamina limitans posterior* [[Descemet]]. Является базальной мембраной заднего роговичного эпителия. Ее латеральный край переходит в трабекулярную сеть. В пространства между пучками волокон трабекулярной сеточки попадает водянистая влага, которая затем дренируется в венозный синус склеры. Рис. Б, Г.
- 11 Задний эпителий, *epithelium posterius*. Однослойный плоский эпителий, покрывающий заднюю поверхность роговицы. Рис. Б, Г.
- 12 Сосудистая оболочка глазного яблока (увальный тракт), *tunica vasculosa bulbi (tractus uvealis)*. Средняя оболочка глазного яблока, которая состоит из собственно сосудистой оболочки, ресничного тела и радужки.
- 13 Собственно сосудистая оболочка, *sporoidea*. Находится между сетчаткой и склерой. Рис. А.

- 14 Надсосудистая пластинка, *lamina supra-choroidea*. Находится под склерой и содержит пигментные клетки, небольшое количество кровеносных сосудов, а также волокна, частично покрытые эндотелием. Рис. А.
- 15 Околососудистое пространство, *spatium perichoroideale*. Система полостей в надсосудистой пластинке, часть из которых сообщается с лимфатическими сосудами, в других проходят ресничные нервы, длинные и короткие задние ресничные артерии и вортесные вены. Рис. А.
- 16 Сосудистая пластинка, *lamina vasculosa*. Содержит ветви коротких задних ресничных артерий. Рис. А.
- 17 Сосудисто-капиллярная пластинка, *lamina choroideocapillaris*. Слой соединительной ткани, лишенный пигментных клеток и содержащий густую сеть капилляров. Простирается до зубчатого края и часто отделена от сосудистой пластинки специальным слоем соединительной ткани. Рис. А.
- 18 Базальная [[Бруха]] пластинка, *complexus (lamina) basalis* [[Bruch]]. Гомогенная зона толщиной примерно 2-4 мкм, которая расположена между сосудисто-капиллярной пластинкой и пигментным эпителием сетчатки. Рис. А.
- 19 Ресничное тело, *corpus ciliare*. Расширение сосудистой оболочки между зубчатым краем и основанием радужки. Состоит из ресничного кружка, внутри которого находится *m. ciliaris*, и ресничных отростков. Рис. В.
- 20 Ресничный венец, *corona ciliaris*. Циркулярная структура, образованная ресничными отростками. Рис. В.
- 21 Ресничные отростки, *processus ciliares*. Семьдесят - восемьдесят радиальных складок шириной 0,1 - 0,2 мм, высотой 1 мм и длиной 2 - 3 мм, содержащих большое количество капилляров. Покрывающий отростки эпителий вырабатывает водянистую влагу. Рис. В.
- 22 Ресничные складки, *plicae ciliares*. Низкие гребни в ресничном венце и между ресничными отростками. Рис. В.
- 23 Ресничная мышца, *m. ciliaris*. Гладкая мышца в составе ресничного тела. Она тянет собственно сосудистую оболочку вперед, что приводит к расслаблению волокон ресничного пояска. В результате хрусталик становится более выпуклым (необходимо для рассмотрения предметов на близком расстоянии). Рис. Г.
- 24 Меридиональные волокна [продольные волокна], *fibrae meridionales* [[fibrae longitudinales]]. Составляют большую

часть ресничной мышцы. Спереди прикрепляются к задней пограничной пластинке над трабекулярной сеточкой, сзади - переходят в собственно сосудистую оболочку. Рис. Г.

- 26 Циркулярные волокна, *fibrae circulares*. Лежат кнутри от меридиональных волокон. Рис. Г.
- 27 Радиальные волокна, *fibrae radiales*. Направляются изнутри кнаружи, пересекая под прямым углом меридиональные и циркулярные волокна ресничной мышцы.
- 28 Базальная пластинка, *lamina basalis*. Продолжение базальной мембраны собственно сосудистой оболочки под эпителием, покрывающим ресничное тело. Рис. Г.

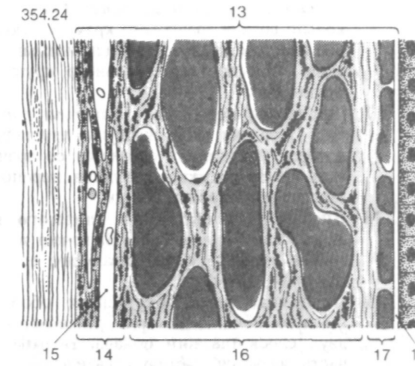


Рис. А. Собственно сосудистая оболочка

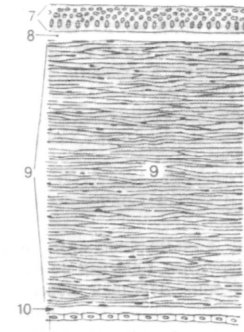


Рис. Б. Микроскопическое строение роговицы

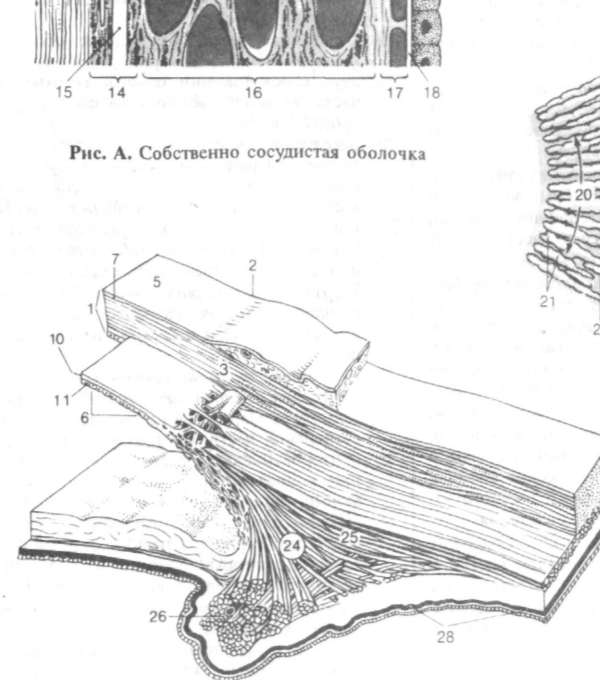


Рис. Г. Радужно-роговичный угол (схема)

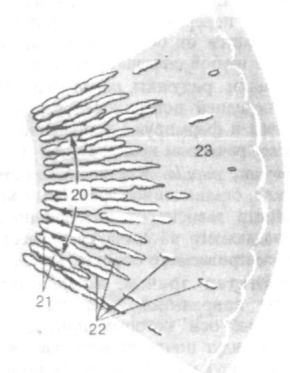


Рис. В. Ресничное тело (вид сзади)

- 1 **Радужка, iris.** Круглая, диаметром 10-12 мм, различного цвета диафрагма с отверстием в центре, расположенная во фронтальной плоскости. Формирует заднюю стенку передней камеры глазного яблока и своим наружным краем продолжается в ресничное тело. Рис. А.
- 2 **Зрачковый край, margo pupillaris.** Внутренний край радужки, ограничивающий зрачок. Рис. А, Б.
- 3 **Ресничный край, margo ciliaris.** Наружный край радужки, который соединяется с ресничным телом в области радужно-роговичного угла. Рис. Б.
- 4 **Передняя поверхность, facies anterior.** Обращена к передней камере глазного яблока. Рис. Б.
- 5 **Задняя поверхность, facies posterior.** Обращена к задней камере глазного яблока. Рис. А, Б.
- 6 **Большое кольцо радужки, anulus iridis major.** Наружная, большая по размеру циркулярная зона передней поверхности радужки, прилегающая к ресничному телу. Отличается от малого кольца более грубой складчатостью наружной поверхности. Рис. А.
- 7 **Малое кольцо радужки, anulus iridis minor.** Внутренняя, узкая циркулярная зона передней поверхности со стороны зрачка. Отличается от большого кольца наличием менее грубой складчатости. Рис. А.
- 8 **Складки радужки, plicae iridis.** Находятся на передней поверхности радужки вокруг зрачка и формируют небольшие зазубрины на ее зрачковом крае. Рис. А.
- 9 **Зрачок, pupilla.** Круглое отверстие в радужке, ограниченное зрачковым краем. Его диаметр зависит от интенсивности света, попадающего на сетчатку и расстояния от рассматриваемого объекта. Рис. А.
- 10 **Сфинктер зрачка, m. sphincter pupillae.** Сеть спиральных мышечных волокон, длинные оси которых при расширенном зрачке идут почти параллельно зрачковому краю радужки. Инн.: парасимпатические волокна глазодвигательного нерва. Рис. Б.
- 11 **Дилататор зрачка, dilatator pupillae.** Тонкий слой гладких мышечных волокон, большинство из которых имеет радиальную ориентацию. Инн.: симпатические волокна (отростки нейронов верхнего шейного узла) из внутреннего сонного сплетения.
- 12 **Строма радужки, stroma iridis.** Содержит кровеносные сосуды, пигментные клетки и фибробласты, которые концентрируются у передней и задней поверхностей радужки, в глубине стромы находится сеть тонких коллагеновых волокон. Рис. А, Б.
- 13 **Пигментный эпителий, epithelium pigmentosum.** Состоит из двух слоев и покрывает заднюю поверхность радужки. Содержит такое большое количество пигмен-

та, что с поверхности, обращенной к задней камере глазного яблока, не удается различить ядра меланоцитов. Рис. А.

- 14 **Пространства радужно-роговичного угла [фонтановы пространства], spatia anguli iridocomealis [Fontana].** Находятся между пучками волокон трабекулярной сеточки. Через эти пространства водянистая влага поступает в венозный синус склеры. Рис. А.
- 15 **Большой артериальный круг радужки, circulus arteriosus iridis major.** Кольцевидная сосудистая структура в основании радужки с радиальными ветвями, которая образована анастомозами между длинными и короткими задними ресничными артериями. Рис. А.
- 16 **Малый артериальный круг радужки, circulus arteriosus iridis minor.** Сосудистое кольцо вблизи зрачкового края, образованное анастомозами между радиальными ветвями большого артериального круга радужки. Рис. А.
- 17 **[Зрачковая перепонка, membrana pupillaris].** Передняя часть капсулы хрусталика, которая у эмбриона сливается со зрачковым краем радужки, откуда в перепонку заходят кровеносные сосуды.
- 18 **Внутренняя оболочка глазного яблока, tunica interna bulbi.** Включает в свой состав сетчатку с покрывающим ее пигментным эпителием.
- 19 **Сетчатка, retina.** Внутренняя оболочка глазного яблока, которая развивается из двух слоев глазного бокала. Большая ее часть является светочувствительной (*pars optica*). Рис. Б.
- 20 **Зрительная часть сетчатки, pars optica retinae.** Расположена кзади от зубчатого края. В ней происходит трансформация квантов света в нервные импульсы. Рис. Б.
- 21 **Пигментная часть, pars pigmentosa.** Пигментный эпителий, который развивается из наружного слоя глазного бокала. Рис. Б.
- 22 **Нервная часть, pars nervosa.** Собственно сетчатка, которая находится кнутри от пигментной части и состоит из трех ядерных слоев. Рис. Б.
- 23 **Нейротелиальный (фоточувствительный) слой, stratum neuroepitheliale (photosensorium).** Наружный из трех ядерных слоев нервной части. Состоит из тел фоторецепторов (палочек и колбочек), в свободных концах которых кванты света трансформируются в нервные импульсы. Рис. Г.
- 24 **[[Ганглиозный слой сетчатки, stratum ganglionare retinae]].** Средний ядерный слой сетчатки, который состоит из тел биполярных и амакриновых нейронов. Рис. Г.
- 25 **[[Ганглиозный слой зрительного нерва, stratum ganglionare n. optici]].** Внутренний ядерный слой сетчатки, состоящий из тел мультиполярных клеток, безмиелиновые аксоны которых формируют зрительный нерв. Рис. Г.
- 26 **Зубчатый край, or a serrata.** Расположен

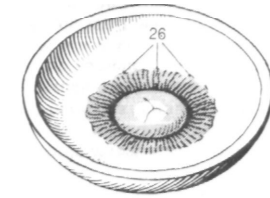


Рис. В. Зубчатый край

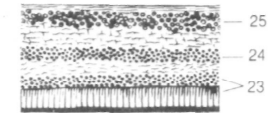


Рис. Г. Слой сетчатки

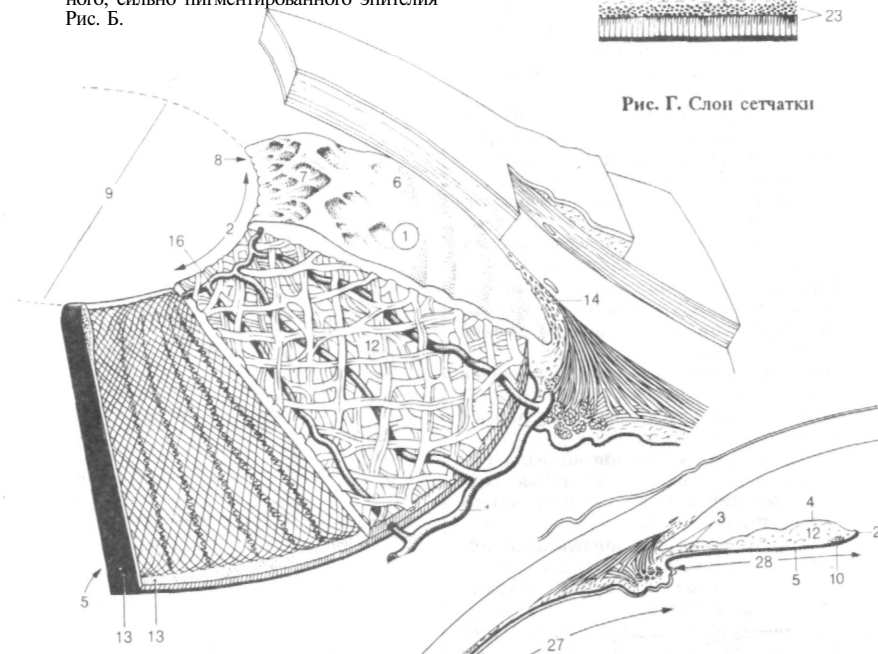


Рис. А. Радужка (схема) [66]

Рис. Б. Разрез сетчатки

- 1 **Диск зрительного нерва, *discus nervi optici* [*papilla nervi optici*].** Расположен в заднем отделе сетчатки на 3 - 4 мм медиальнее пятна и имеет диаметр около 1,6 мм. Место начала зрительного нерва. Рис. В.
- 2 **Углубление диска, *excavatio disci*.** Ямка в центре диска зрительного нерва, где выходят стволы центральных артерии и вены сетчатки. Рис. В.
- 3 **Пятно, *macula* [*lutea*].** Участок сетчатки желтого цвета, имеющий овальную форму (диаметр 2 - 4 мм) и расположенный у заднего полюса глазного яблока. Рис. В.
- 4 **Центральная ямка, *fovea centralis*.** Углубление в центре пятна, которое образуется в результате истончения сетчатки. Его диаметр составляет 1-2 мм. Рис. Б, В.
- 5 **Ямочка, *foveola*** Углубление, диаметром 0,2 - 0,4 мм в середине центральной ямки. Является местом наибольшей редукции сетчатки и содержит только колбочки (около 2500 клеток). Рис. Б.
- 6 **Кровеносные сосуды сетчатки, *vasa sanguinea retinae*.** Ветви центральных артерий и вены сетчатки, которые находятся во внутренней оболочке глазного яблока.
- 7 **Сосудистый круг зрительного нерва, *circulus vasculosus nervi optici*.** Находится вокруг волокон зрительного нерва, которые прободают решетчатую пластинку склеры.
- 8 **Верхняя височная артериола/венула сетчатки, *arteriola/venula temporalis retinae superior*.** Разветвляется в верхнелатеральной части сетчатки. Рис. В.
- 9 **Нижняя височная артериола/венула сетчатки, *arteriola/venula temporalis retinae inferior*.** Разветвляется в нижнелатеральной части сетчатки. Рис. В.
- 10 **Верхняя носовая артериола/венула сетчатки, *arteriola/venula nasalis retinae superior*.** Разветвляется в верхнемедиальной части сетчатки. Рис. В.
- 11 **Нижняя носовая артериола/венула сетчатки, *arteriola/venula nasalis retinae inferior*.** Разветвляется в нижнемедиальной части сетчатки. Рис. В.
- 12 **Верхняя артериола/венула пятна, *arteriola/venula macularis superior*.** Разветвляется в верхней части пятна. Рис. В.
- 13 **Нижняя артериола/венула пятна, *arteriola/venula macularis inferior*.** Разветвляется в нижней части пятна. Рис. В.
- 14 **Медиальная артериола/венула сетчатки, *arteriola/venula medialis retinae*.** Разветвляется в медиальной части сетчатки вблизи диска зрительного нерва. Рис. В.
- 14а **Камеры глазного яблока, *camerae bulbi*.**
- 15 **Передняя камера, *camera anterior*.** Расположена между передней поверхностью радужки и задней поверхностью роговицы. Через зрачок сообщается с задней камерой глазного яблока. Рис. А.
- 16 **Радужно-роговичный угол, *angulus irido-***

*comealis*. Содержит трабекулярную сеточку, через щели которой водянистая влага дренируется в венозный синус склеры. Рис. А.

- 17 **Водянистая влага, *humor aquosus*.** Прозрачная жидкость с коэффициентом преломления 1,336. Состоит из воды (98%), NaCl (1,4%), следов белка и глюкозы. Продуцируется эпителием ресничных отростков и содержится в камерах глазного яблока в количестве 0,2 - 0,3 мл.



Рис. А. Ресничный край радужки

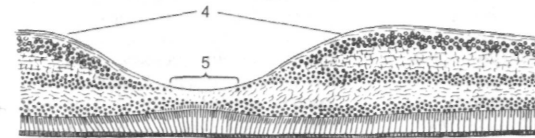


Рис. Б. Центральная ямка

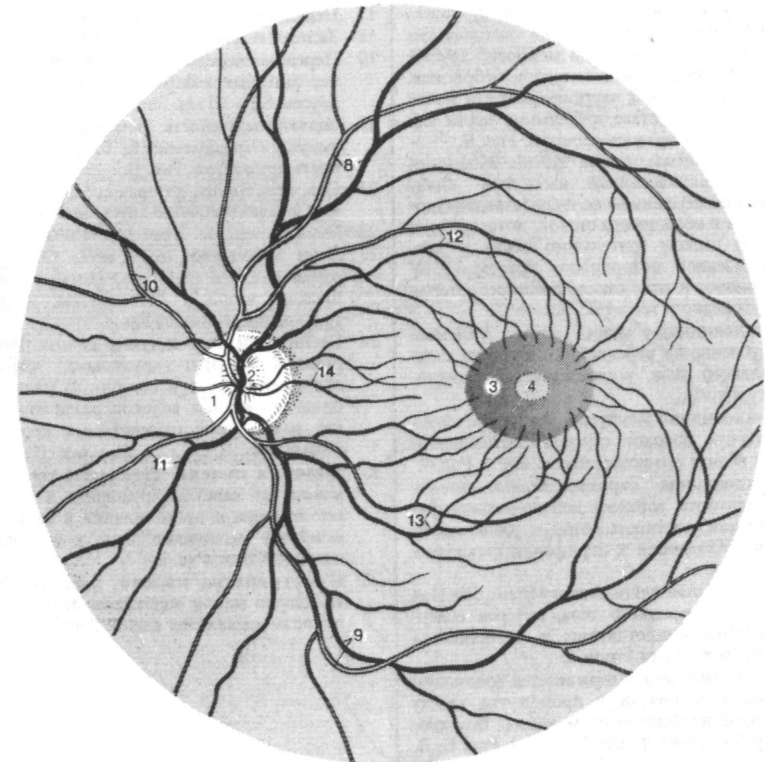


Рис. В. Глазное дно

- 1 **Задняя камера, camera posterior.** Расположена между ресничным телом и радужкой с одной стороны, передней поверхностью стекловидного тела - с другой. Рис. А.
- 2 **Водянистая влага, humor aquosus.** Продуцируется ресничными отростками в пространстве ресничного пояса, которые сообщаются с задней камерой глазного яблока, откуда влага через зрачок поступает в camera anterior.
- 3 **Стекловидная камера, camera vitrea.** Заполнена стекловидным телом. Рис. Б.
- 4 **Стекловидное тело, corpus vitreum.** Составляет на 98% из воды со следами гликопротеинов и солей (NaCl), а также рыхлой сети коллагеновых волокон, которые на периферии формируют стекловидную мембрану. Желеобразная консистенция стекловидного тела связана с высоким содержанием гиалуроновой кислоты. Рис. А.
- 5 **[Артерия стекловидного тела, a. hyaloidea].** Ветвь глазной артерии, которая направляется к сосудистой мембране хрусталика и присутствует только у эмбрионов. Ее проксимальная часть сохраняется после рождения в составе зрительного нерва как центральная артерия сетчатки. Рис. Б.
- 6 **Стекловидный канал, canalis hyaloideus.** Узкий, спиралевидный, изогнутый книзу канал со сгущением волокон стекловидного тела в области его стенок, который идет между диском зрительного нерва и центром задней поверхности хрусталика. У эмбрионов в этом канале проходит артерия стекловидного тела. Рис. А.
- 7 **Стекловидная ямка, fossa hyaloidea** Углубление на передней поверхности стекловидного тела, соответствующее хрусталику. Рис. А.
- 8 **Стекловидная мембрана, membrana vitrea.** Сгущение волокон стромы стекловидного тела вблизи его поверхности. См. 4. Рис. А.
- 9 **Стекловидная строма, stroma vitreum.** Формируется тонкими коллагеновыми фибриллами, плотность которых увеличивается в направлении к периферии стекловидного тела.
- 9а **Стекловидная влага, humor vitreus.** Жидкая часть стекловидного тела, которая содержит гликозаминогликаны и расположена между волокнами стромы.
- 10 **Хрусталик, lens.** Удерживается волокнами ресничного пояса в промежутке между зрачком и стекловидным телом. Его диаметр 9 - 10 мм, толщина - 4 мм. Рис. Б, В, Г.
- 11 **Вещество хрусталика, substantia lentis.** Составляет из ядра и коры. Снаружи покрыто эпителием. Коэффициент преломления 1,44 - 1,55. Рис. В.
- 12 **Кора хрусталика, cortex lentis.** Наружная, более мягкая часть вещества хрусталика

(что связано с высоким содержанием воды), которая без резкой границы продолжается в ядро. Рис. В.

- 13 **Ядро хрусталика, nucleus lentis.** В зрелом возрасте становится более твердым в связи с уменьшением содержания воды. Рис. В.
- 14 **Волокна хрусталика, fibrae lentis.** Развиваются из эпителия хрусталика и формируют вещество хрусталика. Имеют ширину 2,5 - 12 мкм и длину до 10 мм. Рис. В.
- 15 **Эпителий хрусталика, epithelium lentis.** Покрывает поверхность хрусталика, продолжаясь до его экватора. В онтогенезе развивается из эпителия передней стенки хрусталикового пузырька. Рис. В.
- 16 **Капсула хрусталика, capsula lentis.** Прозрачная мембрана до 15 мкм толщиной, которая окружает хрусталик и имеет большую плотность у переднего полюса хрусталика. Служит местом прикрепления ресничного пояса. Рис. В.
- 17 **Передний полюс, polus anterior.** Рис. Г.
- 18 **Задний полюс, polus posterior.** Рис. Г.
- 19 **Передняя поверхность, facies anterior.** Менее выпуклая поверхность хрусталика, радиусом 8,3-10 мм. Рис. В.
- 20 **Задняя поверхность, facies posterior.** Более выпуклая (радиус около 6,5 мм) поверхность хрусталика. Рис. В.
- 21 **Ось, axis.** Линия, которая соединяет передний и задний полюсы хрусталика. Рис. Г
- 22 **Экватор, equator.** Край хрусталика. Рис. Г.
- 23 **Лучи хрусталика, radii lentis.** Отдельные пучки волокон хрусталика, которые в юношеском возрасте соединяются, образуя трехконечные звезды. Рис. Г
- 24 **Ресничный пояс, zonula ciliaris.** Фиксирующий аппарат хрусталика, который окружает экватор и состоит из радиально ориентированных волокон различной длины, разделенных щелевидными пространствами. Рис. В.
- 25 **Волокна пояса, fibrae zonulares.** Начинаются от капсулы хрусталика в области его экватора и продолжают в базальную мембрану ресничного тела и ресничную часть сетчатки. Рис. В.
- 26 **Пространства пояса, spatia zonularia.** Находятся между волокнами пояса и заполнены водянистой влагой. Рис. В.

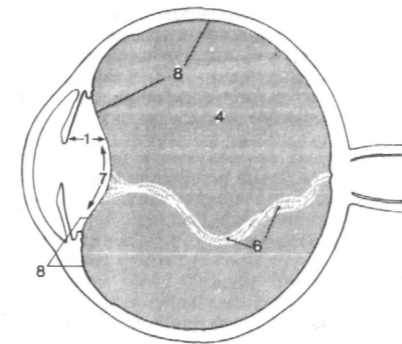


Рис. А. Задняя камера глазного яблока

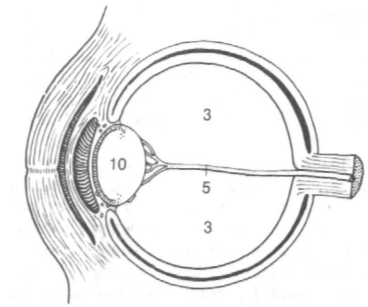


Рис. Б. Артерия стекловидного тела

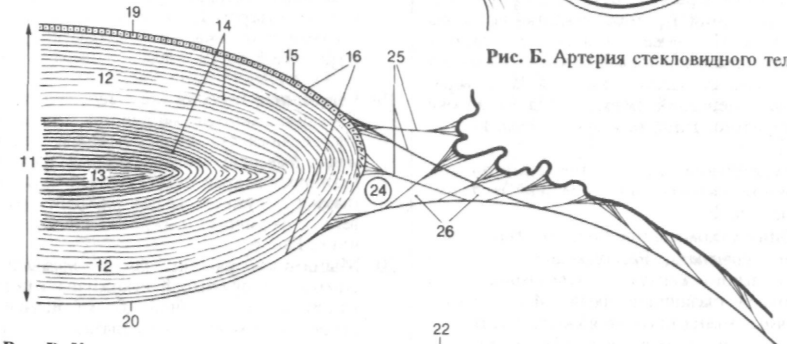


Рис. В. Хрусталик и ресничный пояс [68]

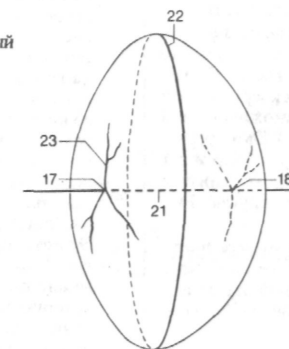
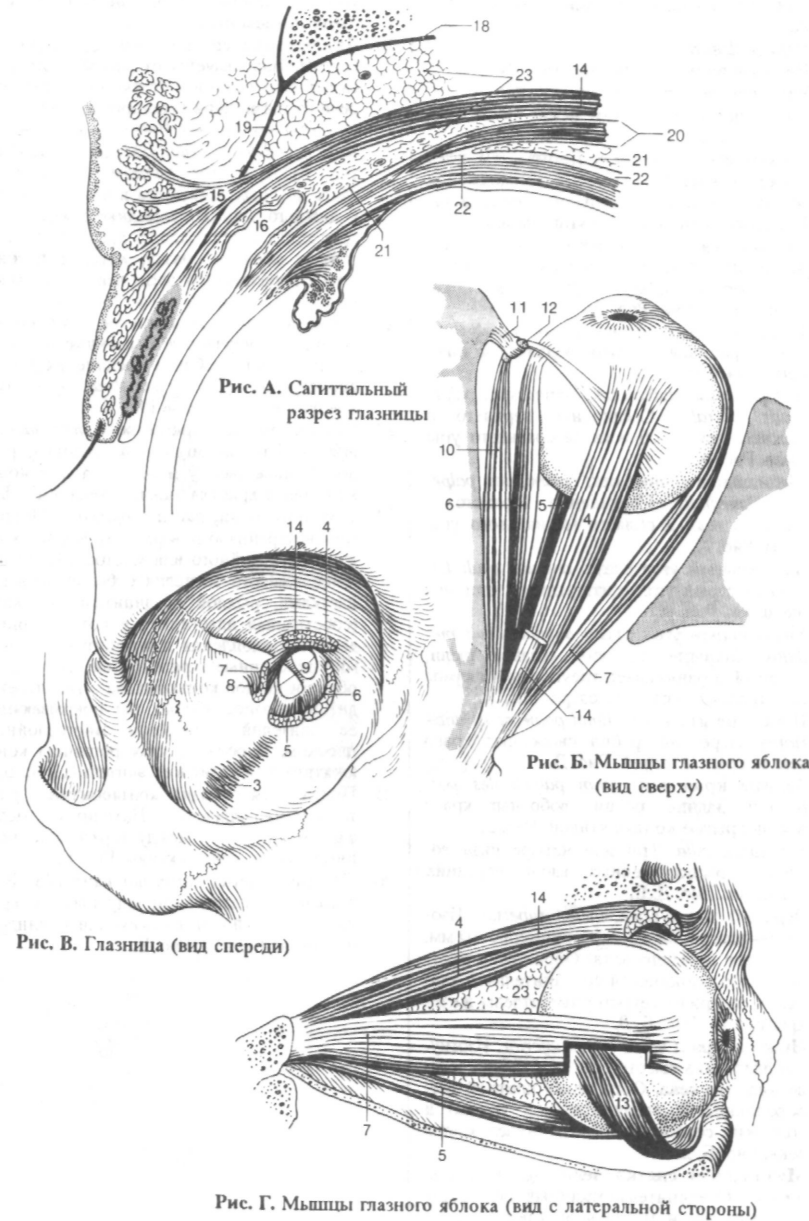


Рис. Г. Хрусталик

- 1 ВСПОМОГАТЕЛЬНЫЕ ОРГАНЫ ГЛАЗА, *organa oculi accessories*
- 2 Мышцы глазного яблока, *musculi bulbi*.
- 3 Глазничная мышца, *m. orbitalis*. Тонкой слой гладких мышечных волокон над нижней глазной щелью. Рис. В.
- 4 Верхняя прямая мышца, *m. rectus superior*. Н: общее сухожильное кольцо. П: косая линия спереди от экватора глазного яблока на 7 - 8 мм кзади от роговичного края. Ф: поворачивает передний полюс глазного яблока кверху и медиально. Инн.: глазодвигательный нерв. Рис. Б, В, Г.
- 5 Нижняя прямая мышца, *m. rectus inferior*. Н: общее сухожильное кольцо. П: Косая линия, расположенная на 6 мм кзади от роговичного края. Ф: поворачивает передний полюс глазного яблока книзу и кнаружи. Инн.: глазодвигательный нерв. Рис. Б, В, Г.
- 6 Медиальная прямая мышца, *m. rectus medialis*. Н: общее сухожильное кольцо. П: примерно на 5,5 мм кзади от роговичного края. Ф: поворачивает передний полюс глазного яблока медиально. Инн.: глазодвигательный нерв. Рис. Б, В.
- 7 Латеральная прямая мышца, *m. rectus lateralis*. Н: общее сухожильное кольцо и малое крыло клиновидной кости. П: на 5,5 мм кзади от роговичного края. Ф: поворачивает передний полюс глазного яблока латерально. Инн.: отводящий нерв. Рис. Б, В, Г.
- 8 Сухожильное растяжение латеральной прямой мышцы, *lacertus musculi recti lateralis*. Рис. В.
- 9 Общее сухожильное кольцо, *anulus tendineus communis*. Расположено в области зрительного канала и медиальной части верхней глазничной щели. Место начала прямых мышц глазного яблока. Рис. В.
- 10 Верхняя косая мышца, *m. obliquus superior*. Н: медиальная часть общего сухожильного кольца и тело клиновидной кости. П: заднелатеральная поверхность склеры позади экватора (предварительно сухожилие этой мышцы перекидывается через блок, расположенный у медиального края глазницы). Ф: поворачивает глазное яблоко книзу с отведением и вращением его кнутри. Рис. Б.
- 11 Блок, *trochlea*. Фиброзно-хрящевая петля, которая прикрепляется к блоковой ости, расположенной в одноименной ямке лобной кости. Охватывает сухожилие верхней косой мышцы. Рис. Б.
- 12 Влагалище сухожилия верхней косой мышцы, *vagina tendinis m. obliqui superioris* [*bursa synovialis trochlearis*]. Окружает сухожилие верхней косой мышцы в месте перехода через блок. Рис. Б.
- 13 Нижняя косая мышца, *m. obliquus inferior*. Н: глазничная поверхность верхней челюс-

- ти латерально и кзади от входа в носослезный канал. П: позади экватора глазного яблока. Ф: поворачивает глазное яблоко кверху с отведением и вращением его кнаружи. Инн.: глазодвигательный нерв. Рис. Г.
- 14 Мышца, поднимающая верхнее веко, *m. levator palpebrae superioris*. Н: кость над зрительным каналом и твердая оболочка, окружающая зрительный нерв. Кпереди мышца продолжается в широкий апоневроз, который расщепляется на поверхностную и глубокую пластинки. Инн.: глазодвигательный нерв. Рис. А, Б, В, Г.
- 15 Поверхностная пластинка, *lamina superficialis*. Проходит между *tarsus superior* и круговой мышцей глаза, заканчиваясь в подкожной соединительной ткани верхнего века. Эта пластинка настолько широкая, что доходит до латеральной стенки глазницы. Рис. А.
- 16 Глубокая пластинка, *lamina profunda*. Прикрепляется к верхнему краю и передней поверхности верхнего хряща века. Рис. А.
- 17 Фасции глазницы, *fasciae orbitales*.
- 18 Надкостница глазницы, *periorbita*. Тонкая пластинка, которая срастается с костью вблизи отверстий, ведущих в глазницу. Спереди продолжается в надкостницу чешуи лобной кости, сзади - в твердую оболочку головного мозга. Рис. А.
- 19 Глазничная перегородка, *septum orbitale*. Соединительнотканый листок, частично укрепленный сухожилием мышцы, поднимающей верхнее веко, который идет от глазничного края под круговой мышцей глаза к наружным краям верхнего хряща века и формирует переднюю стенку глазницы. Рис. А.
- 20 Мышечные фасции, *fasciae musculares*. Покрывают брюшко и сухожилие каждой из шести мышц глазного яблока. Являются продолжением влагалища глазного яблока. Рис. А.
- 21 Влагалище глазного яблока [[тенонова капсула]], *vagina bulbi* [*Tenon*]]. Соединительнотканная капсула между глазным яблоком и жировым телом глазницы. Спереди заканчивается под конъюнктивой, сзади, в области зрительного нерва, срастается со склерой, а на всем остальном протяжении глазного яблока отделена от склеры эписклеральным пространством. Рис. А.
- 22 Эписклеральное пространство, *spatium episclerale* [*intervaginale*]]. Узкая щель между глазным яблоком и его влагалищем, которую пересекают в различных направлениях тонкие тяжи соединительнотканых волокон. Рис. А.
- 23 Жировое тело глазницы, *corpus adiposum orbitae*. Заполняет пространство между мышцами, глазным яблоком и зрительным нервом. Спереди ограничивается глазничной перегородкой. Рис. А, Г.





- 1 Бровь, *supercilium*. Толстый, поперечно ориентированный кожный валик, покрытый густо расположенными волосами. Рис. А.
- 2 Веки, *palpebrae*.
- 3 Верхнее веко, *palpebra superior*. Рис. Л.
- 4 Нижнее веко, *palpebra inferior*. Рис. А.
- 5 Передняя поверхность века, *facies anterior palpebralis*. Покрыта кожей. Рис. Д.
- 6 [Веконосвая складка, [[эпикант]], *plica palpebronasalis* [[*epicanthus*]]. Продолжение верхнего века у латеральной стенки носа. Прикрывает медиальный угол глаза. Рис. В.
- 7 Задняя поверхность века, *facies posterior palpebralis*. Покрыта конъюнктивой, которая содержит диффузно рассеянные бокаловидные клетки. Рис. Д.
- 8 Щель век, (глазная щель), *rima palpebrarum*. Ограничена краями верхнего и нижнего века. Рис. А, Д.
- 9 Латеральная спайка век, *commissura palpebralis lateralis*. Соединение верхнего и нижнего века в области латерального угла глаза. Рис. А.
- 10 Медиальная спайка век, *commissura palpebralis mediahs*. Соединение верхнего и нижнего века в области медиального угла глаза. Рис. А.
- 11 Латеральный угол глаза, *angulus oculi lateralis*. Острый угол с латеральной стороны щели век. Рис. А.
- 12 Медиальный угол глаза, *angulus oculi mediahs*. Закругленный угол глазной щели, который ограничивает треугольной формы пространство - слезное озеро. Рис. А.
- 13 Передние края век, *limbi palpebrales anteriores*. Передние гребни свободных краев век, покрытые кожей. Рис. Д.
- 14 Задние края век, *limbi palpebrales posteriores*. Задние гребни свободных краев век, покрытые конъюнктивой. Рис. Д.
- 15 Ресницы, *cilia*. Три или четыре ряда волосков, расположенных вдоль передних краев век. Рис. Д, Е.
- 16 Верхний хрящ века, *tarsus superior*. Изогнутая пластинка высотой примерно 10 мм, в составе верхнего века. Образована плотной грубоволокнистой соединительной тканью и содержит секреторные отделы желез хряща века. Рис. Б, Д.
- 17 Нижний хрящ века, *tarsus inferior*. Изогнутая пластинка высотой около 5 мм в составе нижнего века. Образована плотной грубоволокнистой соединительной тканью и содержит секторные отделы желез хряща века. Рис. Б, Д.
- 18 Медиальная связка века, *lig. palpebrale mediate*. Соединительнотканый тяж между хрящами век и медиальной стенкой глазницы. Проходит спереди от слезного мешка. Рис. Б, Г.
- 19 Латеральный шов века, *raphe palpebralis*

*lateralis*. Тонкий тяж, отщипившийся от латеральной связки века, в формировании которого принимают участие волокна круговой мышцы глаза. Рис. Г.

- 20 Латеральная связка века, *Ug, palpebrale laterale*. Направляется от латеральных краев век к латеральной стенке глазницы спереди от глазничной перегородки. Рис. Б.

- 21 Железы хряща век [[мейбомиевы железы]], *glandulae tarsales* [[*Meibom*]]. Трубоччатые голокриновые железы, секреторная часть которых погружена в хрящ верхнего и нижнего века. Их выводные протоки открываются вблизи заднего края век. Секретируют слезную смазку, которая препятствует переливанию слезы через край века. Рис. Д.

- 22 Верхняя мышца хряща века, *nutarsalis superior*. Неисчерченные мышечные волокна, расположенные вблизи соединения между апоневрозом *levator palpebrae superioris* и хрящом верхнего века. Рис. Д.

- 23 Нижняя мышца хряща века, *mm. tarsalis inferior*. Гладкие мышечные волокна, расположенные между нижним сводом конъюнктивы и хрящом нижнего века. Рис. Д.

- 24 Конъюнктивa, *tunica conjunctiva*. Покрывает внутреннюю поверхность век и состоит из двухслойного или многослойного цилиндрического эпителия с бокаловидными клетками, рыхлой соединительной ткани (собственная пластинка), в которой определяются скопления лимфоцитов, а также многочисленные кровеносные сосуды. В области сводов конъюнктивa с век переходит на глазное яблоко, где покрывающий ее эпителий становится многослойным плоским. В области края роговицы конъюнктивa переходит в ее эпителий. Рис. Д.

- 25 Полулунная складка конъюнктивы, *plica semilunaris conjunctivae*. Находится в медиальном углу глаза между верхним и нижним сводами конъюнктивы. Рис. Е.

- 26 Слезное мяско, *caruncula lacrimalis*. Возвышение в медиальном углу глаза, покрытое многослойным плоским или цилиндрическим эпителием. Рис. Е.

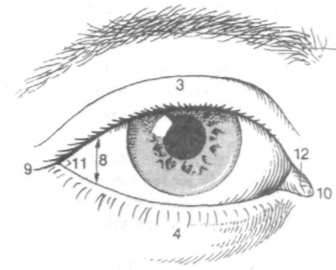


Рис. А. Щель век

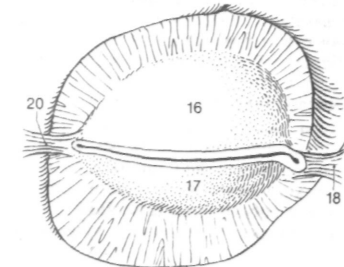


Рис. Б. Хрящи и связки век



Рис. В. Веконосвая складка (эпикант)

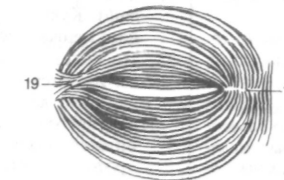
Рис. Г. Круговая мышца глаза  
(вид со стороны глазницы)

Рис. Д. Сагиттальный разрез век

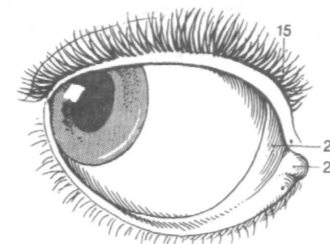


Рис. Е. Медиальный угол глаза

- 1 Конъюнктива глазного яблока, *tunica conjunctiva bulbaris*. Покрывает глазное яблоко и состоит из многослойного плоского, неороговевающего эпителия с незначительным количеством бокаловидных клеток, а также собственной пластинки, содержащей эластические волокна и относительно небольшое число лимфоцитов. Рис. А.
- 2 Конъюнктива век, *conjunctiva palpebrarum*. Покрывает заднюю поверхность век и состоит из двухслойного или многослойного цилиндрического эпителия с бокаловидными клетками и собственной пластинки, содержащей большое количество сосудов. Рис. А.
- 3 Верхний свод конъюнктивы, *fornix conjunctivae superior*. Место перехода конъюнктивы с глазного яблока на заднюю поверхность верхнего века. Рис.Л.
- 4 Нижний свод конъюнктивы, *fornix conjunctivae inferior*. Место перехода конъюнктивы с глазного яблока на заднюю поверхность нижнего века. Рис. А.
- 5 Конъюнктивальный мешок, *saccus conjunctivalis*. Пространство между конъюнктивой век и конъюнктивой глазного яблока. Его верхний и нижний отделы формируют своды конъюнктивы. Рис. А.
- 6 Ресничные [[моллевы]] железы, *gkmdulae ciliares [[Moÿ]]*. Апокриновые железы, расположенные по краю век. Открываются в волосяные фолликулы ресниц или на свободном крае века. Рис. А.
- 7 Сальные [[Цейса]] железы, *gkmdulae sebaceae [[Zeis]]*. Открываются в волосяные фолликулы ресниц. Рис. А.
- 8 Конъюнктивальные железы, *gkmdulae conjunctivales*. Серозные трубчато-альвеолярные железы (добавочные слезные железы), расположенные в местах перехода конъюнктивы с век на глазное яблоко.
- 9 Слезный аппарат, *apparatus lacrimalis*. Служит для увлажнения конъюнктивы и роговицы. Рис. Б.
- 10 Слезная железа, *gkmdula lacrimalis*. Расположена в латеральном углу у верхней стенки глазницы и сухожилием мышцы, поднимающей верхнее веко, разделяется на глазничную и вековую части. Ее выводные протоки открываются в латеральном отделе верхнего свода конъюнктивы. Рис. Б.
- 11 Глазничная часть, *pars orbitalis*. Большая по размеру часть железы, расположенная над сухожилием мышцы, поднимающей верхнее веко. Рис. Б.
- 12 Вековая часть, *pars palpebralis*. Меньшая по размеру часть железы, расположенная под сухожилием *m. levator palpebrae superioris*. Рис. Б.
- 13 Выводные каналцы, *ductuli excretorii [[gkmdulae lacrimalis]]*. От шести до четырнадцати протоков, которые открываются в верхний свод конъюнктивы. Рис. Б.
- 14 [Добавочные слезные железы, *gL lacrimalis accessoriae*]. Небольшие участки железистой ткани, расположенные, главным образом, вблизи верхнего свода конъюнктивы. Рис. А.
- 15 Слезный ручей, *rivus lacrimalis*. Капиллярная щель между сомкнутыми краями век и глазным яблоком, по которой слеза попадает в слезное озеро.
- 16 Слезное озеро, *locus lacrimalis*. Расположено в области медиального угла глаза вокруг слезного мясца. Рис. Б, В.
- 17 Слезный сосочек, *papilla lacrimalis*. Небольшое, конической формы возвышение на заднем крае каждого века в медиальном углу глаза. На вершуске сосочка находится слезная точка. Рис. В.
- 18 Слезная точка, *punctum lacrimale*. Небольшое отверстие, которое является началом системы дренирования слезной жидкости. Рис. В.
- 19 Слезный каналец, *canaliculus lacrimalis*. Направляется от слезной точки к слезному мешку и имеет длину около 1 см. Рис. В.
- 20 Ампула слезного каналца, *ampulla canaliculi lacrimalis*. Небольшое расширение у изгиба слезного каналца. Рис. В.
- 21 Слезный мешок, *saccus lacrimalis*. Расположен в слезной ямке и имеет длину примерно 1,5 см, ширину - 0,5 см. Книзу продолжается в носослезный проток. Рис. В.
- 22 Свод слезного мешка, *fornix sacci lacrimalis*. Куполообразная верхняя часть слезного мешка. Рис. В.
- 23 Носослезный проток, *ductus nasolacrimalis*. Является продолжением "слезного мешка, имеет длину 1,2 - 2,4 см, проходит через носослезный канал и открывается в нижний носовой ход. Упленный просвет протока выстлается двухслойным или многослойным цилиндрическим эпителием, имеющим в отдельных местах реснички. Рис. В.
- 24 Слезная складка, *plica lacrimalis*. Складка слизистой оболочки нижнего носового хода у отверстия носослезного протока, расположенная на расстоянии 3 - 3,5 см кзади от ноздри. Рис. В.

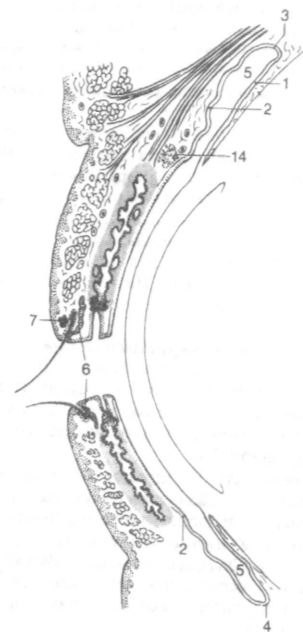


Рис. А. Сагиттальный разрез века

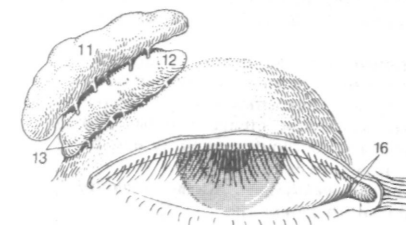


Рис. Б. Слезная железа

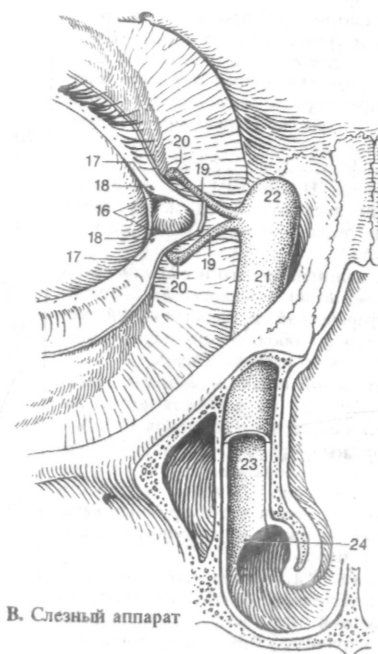


Рис. В. Слезный аппарат

- 1 ПЩШВЕРНО-УЛИТКОВЫЙ ОРГАН, *organum vestibulocochleare*. Расположен внутри височной кости и содержит рецепторный аппарат, воспринимающий звуки, а также оценивающий положение головы по отношению к силе земного притяжения, направление и скорость перемещения тела в пространстве.
- 2 ВНУТРЕННЕЕ УХО, *auris interna*. Представлено лабиринтом, который состоит из преддверия, улитки и полукружных каналов.
- 3 Перепончатый лабиринт, *labyrinthus membranaceus*. Сложная система протоков и расширений, покрытых изнутри чувствительным эпителием, стенка которых прикрепляется к костному лабиринту при помощи соединительной ткани. Рис. А.
- 4 Эндолимфа, *endolympha*. Жидкость внутри перепончатого лабиринта.
- 5 Перилимфа, *perilympha*. Жидкость, заполняющая пространство между перепончатым и костным лабиринтами.
- 6 Вестибулярный лабиринт, *labyrinthus vestibularis*. Состоит из эллиптического и сферического мешочков, а также полукружных протоки.
- 7 Эндолимфатический проток, *ductus endolymphaticus [aquaeductus vestibuli]*. Начинается от протока эллиптического и сферического мешочков, проходит через водопровод преддверия и заканчивается расширением - эндолимфатическим мешком. Рис. А.
- 8 Эндолимфатический мешок, *saccus endolymphaticus*. Находится на задней стенке пирамиды височной кости между двумя листками твердой оболочки головного мозга. Рис. А.
- 9 Проток эллиптического и сферического мешочков, *ductus utriculosaccularis*. Соединяет сферический и эллиптический мешочки между собой. Место начала эндолимфатического протока. Рис. А.
- 10 Эллиптический мешочек, *utricleus*. Имеет диаметр 2,5 - 3,5 мм и служит местом начала трех полукружных протоков. Рис. А.
- 11 Полукружные протоки, *ductus semicirculares*. Три дугообразные трубки, составляющие примерно 2/3 длины окружности круга внутри костных полукружных каналов. Ориентированы во взаимно перпендикулярных плоскостях.
- 12 Передний полукружный проток, *ductus semicircularis anterior*. Расположен в вертикальной плоскости и ориентирован почти перпендикулярно продольной оси пирамиды височной кости. Рис. А.
- 13 Задний полукружный проток, *ductus semicircularis posterior*. Расположен в вертикальной плоскости, параллельно продольной оси пирамиды височной кости. Рис. А.
- 14 Латеральный полукружный проток, *ductus semicircularis lateralis*. Ориентирован в горизонтальной плоскости и может образовывать выпячивание на медиальной стенке барабанной полости. Рис. А.
- 15 Собственная мембрана полукружного протока, *membrana propria ductus semicircularis*. Расположена снаружи от базальной мембраны и состоит из плотно расположенных волокон соединительной ткани, которые продолжаются наружу в широкопетлистую сеть перилимфатического пространства. Рис. В.
- 16 Базальная мембрана полукружного протока, *membrana basalis ductus semicircularis*. Расположена под эпителием полукружного протока. На светооптическом уровне выглядит гомогенной структурой. Рис. В.
- 17 [[Эпителий полукружного протока, *epithelium ductus semicircularis*]]. Выстилает стенку протока изнутри и состоит из одного слоя плоских клеток, которые приобретают кубическую форму на его вогнутой поверхности. Рис. В.
- 18 Перепончатые ампулы, *ampullae membranaceae*. Расширения полукружных протоков вблизи эллиптического мешочка.
- 19 Передняя перепончатая ампула, *ampulla membranacea anterior*. Расширение ножки соответствующего полукружного протока у латеральной перепончатой ампулы. Рис. А.
- 20 Задняя перепончатая ампула, *ampulla membranacea posterior*. Расширение заднего полукружного протока вблизи двух других ампул. Рис. А.
- 21 Латеральная перепончатая ампула, *ampulla membranacea lateralis*. Расширение соответствующего полукружного протока кзади от передней перепончатой ампулы. Рис. А.
- 22 Ампулярная бороздка, *sulcus ampullaris*. Проходит кнаружи от ампулярного гребешка и содержит идущие к нему нервы. Рис. Б.
- 23 Ампулярный гребешок, *crista ampullaris*. Выступает в просвет ампулы. Его основу составляет соединительная ткань и нервные волокна, покрытые снаружи нейроэпителием. Рис. Б.
- 24 [[Нейроэпителий, *neuroepithelium*]]. Чувствительный эпителий ампул полукружных протоков. Состоит из опорных и рецепторных клеток, микроворсинки которых заходят в покрывающий их купол. Рис. Б.
- 25 Купол, *cupula*. Желеобразная структура, которая расположена над ампулярным гребешком и имеет протяженность до крыши ампулы. В нее заходят волоски рецепторных клеток. Рис. Б.
- 26 Перепончатые ножки, *crura membranacea*. Сообщаются с эллиптическим мешочком.
- 27 Простая перепончатая ножка, *crus*

- membranaceum simplex*. Задняя ножка латерального полукружного протока, которая не имеет ампулы и самостоятельно открывается в эллиптический мешочек. Рис. А.
- 28 Ампулярные перепончатые ножки, *crura membranacea ampullaria*. Части полукружных протоков между ампулой и эллиптическим мешочком. Рис. А.
- 29 Общая перепончатая ножка, *crus membranaceum commune*. Образуется при соединении простых ножек переднего и заднего полукружных протоков. Открывается в эллиптический мешочек. Рис.-А.

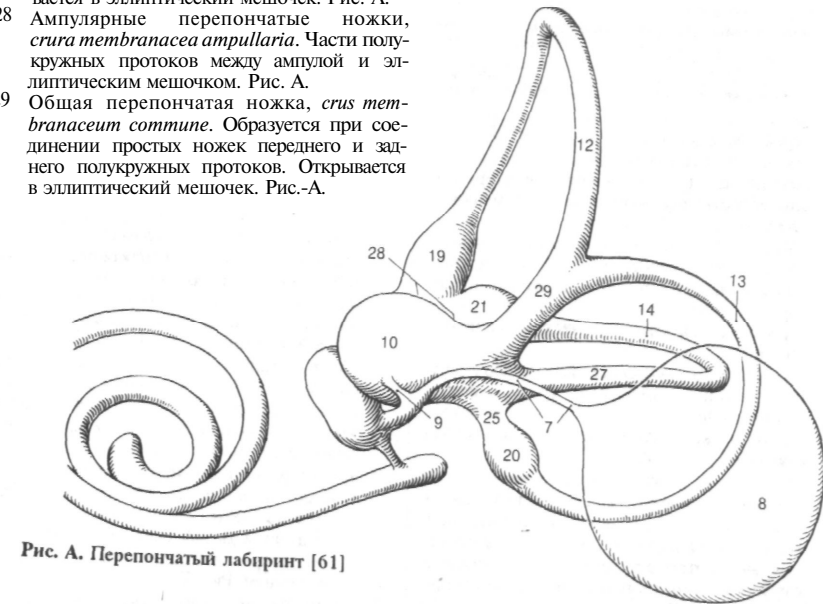


Рис. А. Перепончатый лабиринт [61]

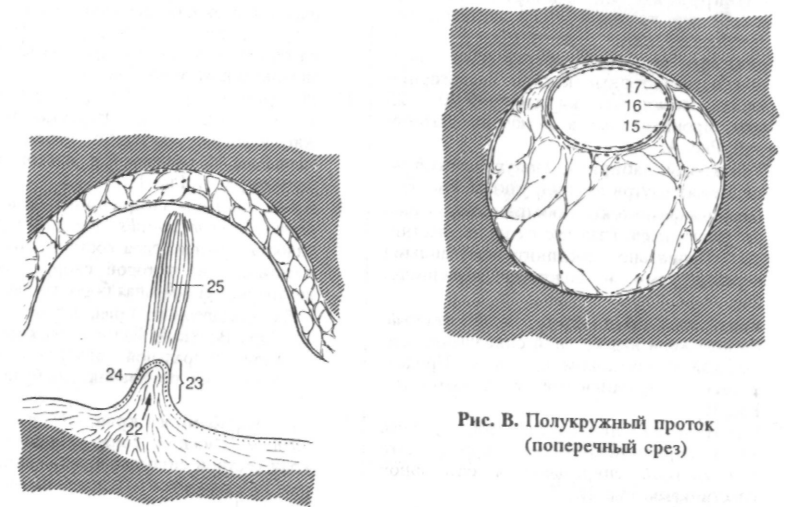


Рис. Б. Ампула полукружного протока

- 1 Соединяющий проток, *ductus reuniens*. Соединяет сферический мешочек с улитковым протоком. Рис. Б.
- 2 Сферический мешочек, *sacculus*. Округлой формы пузырек, диаметром 2 - 3 мм, содержащий рецепторную область. Рис. Б.
- 3 Пятна, *maculae* [[*staticae*]]. Содержат рецепторные клетки, воспринимающие информацию о положении головы в пространстве. Рис. А, Б.
- 4 Пятно эллиптического мешочка, *macula utriculi*. Горизонтально ориентированная область дну эллиптического мешочка размером 2,3 - 3 мм. Рис. Б.
- 5 Пятно сферического мешочка, *macula sacculi*. Ориентированная в вертикальной плоскости, дугообразно изогнутая рецепторная область шириной около 1,5 мм на медиальной стенке сферического мешочка. Рис. Б.
- 6 Статоконии, *statoconia* Кальцийсодержащие частицы размером до 15 мкм, погруженные вместе с волокнами рецепторных клеток в желевидное вещество мембраны статоконии. Рис. А.
- 7 Мембрана статоконии, *membrana statoconiorum*. Расположена в области пятен эллиптического и сферического мешочков и состоит из желеобразного основного вещества, в которое погружены статоконии и отростки рецепторных клеток, имеющие вид щетинок. Рис. А.
- 8 [[Нейроэпителий, *neuroepithelium*]]. Однослойный, призматический эпителий, покрывающий пятна эллиптического и сферического мешочков, состоящий из опорных и рецепторных клеток. Рецепторные клетки имеют волоски длиной 20 - 25 мкм, проникающие в мембрану статоконии. Рис. А.
- 9 Улитковый лабиринт, *labirynthus cochlearis*. Лежит внутри костной улитки. Рис. В.
- 10 Перилимфатическое пространство, *spatium perilymphaticum*. Разделяется на две лестницы. Пронизано соединительнотканными перегородками и содержит перилимфу. Рис. А, Б.
- 11 Лестница преддверия, *scala vestibuli*. Расположена над костной спиральной пластинкой и улитковым протоком. Продолжается до вершины улитки (геликотрема). Рис. В.
- 12 Барабанная лестница, *scala tympani*. Часть перилимфатического пространства под костной спиральной и базилярной пластинками. Рис. В.
- 13 Водопровод улитки, *aquaeductus cochleae* [[*ductus perilymphaticus*]]. Соединяет перилимфатическое пространство с подпаутинным. Рис. Б.
- 14 Наружное отверстие водопровода улитки, *apertura externa aquaeductus cochleae*. Открывается вблизи канала, через

- который проходит барабанный нерв. См. стр. 14,22
- 15 Улитковый проток, *ductus cochlearis*. Трубка, имеющая треугольную форму на поперечном срезе, которая закручивается на 2 1/2 оборота вокруг костной оси (стержни) и слепо заканчивается у вершины улитки. Покрыта изнутри рецепторным эпителием. Рис. Б, В, Г, Д.
- 16 Слепое выпячивание купола, *caecum cupukire*. Слепой конец улиткового хода в области вершины улитки. Рис. Б.
- 17 Слепое преддверное выпячивание, *caecum vestibulare*. Слепой конец улиткового протока, обращенный к преддверию. Рис. Б.
- 18 Барабанная стенка улиткового протока (спиральная мембрана), *paries tympanicus ductus cochlearis (membrana spiralis)*. Нижняя стенка улиткового протока над барабанной лестницей. Рис. Д.
- 19 Спиральный [[кортиев]] орган, *organum spirale* [[*Corn*]]. Расположен на базилярной пластинке. Трансформирует механические колебания эндолимфы и базилярной мембраны в нервные импульсы. Рис. Г.
- 20 Базилярная пластинка, *lamina basilaris*. Состоит из соединительной ткани и формирует нижнюю стенку улиткового протока. Натянута между барабанной губой костной спиральной пластинки и спиральным гребнем. Рис. Д.
- 21 Спиральный гребень (спиральная связка), *crista spiralis (lig. spirale)*. Полоска утолщенной надкостницы спирального канала улитки, которая имеет треугольную форму на поперечном срезе и продолжается в базилярную пластинку. Рис. Д.
- 22 Отверстия нервов, *foramina nervosa* Находятся в базилярной пластинке и содержат волокна улиткового нерва, направляющиеся от волосковых клеток к спиральному узлу. Рис. Г.
- 23 Край костной спиральной пластинки, *limbus laminae spiralis osseae*. Утолщение эндоста верхнего слоя костной спиральной пластинки, на которой снаружи имеется внутренняя спиральная борозда. Рис. Д.
- 24 Губа преддверного края, *labium limbi vestibulare*. Верхний, более короткий выступ костной спиральной пластинки. Место прикрепления покровной мембраны. Рис. Д.
- Д**
- 25 Губа барабанного края, *labium limbi tympanicum*. Нижний, более длинный выступ края костной спиральной пластинки, который продолжается в базилярную мембрану. Рис. Г, Д.
- 26 Покровная мембрана, *membrana tectoria*. Расположена над спиральным органом в виде узкой полоски, которая прикрепляется к губе преддверного края. Ее свободный край заканчивается на уровне ряда наружных волосковых клеток. Рис. Г, Д.

- 27 Слуховые зубчики, *dentes acusrici*. Ряды клеток, выступающие наподобие гребней на поверхности губы преддверного края. Место прикрепления покровной мембраны. Рис. Г.
- 28 Внутренняя спиральная борозда, *sulcus spiralis internus*. Проходит между губами преддверного и барабанного краев. Рис. Г.
- 29 Наружная спиральная борозда, *sulcus spiralis externus*. Находится на барабанной стенке улиткового хода между спиральным гребнем и кортиевым органом. Рис. Д.



Рис. В. Разрез улитки вдоль оси стержня



Рис. А. Статическое пятно

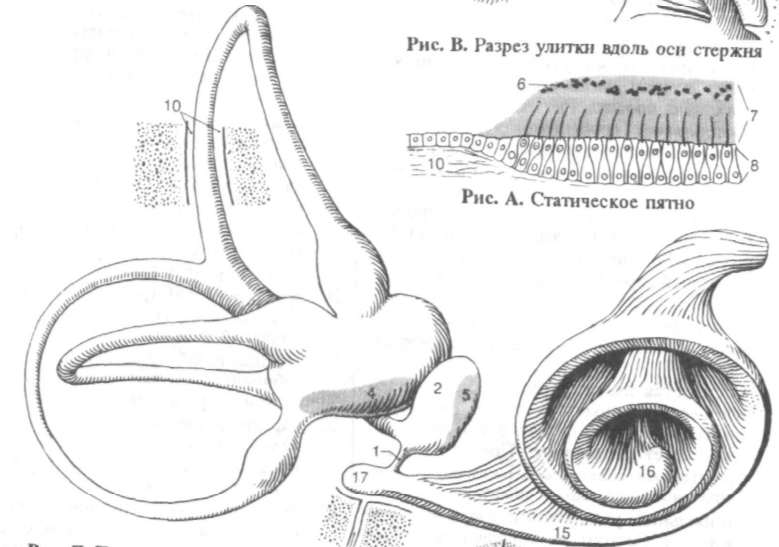


Рис. Б. Перепончатый лабиринт [61]

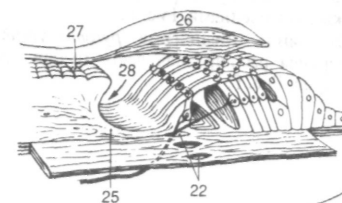


Рис. Г. Спиральный (кортиев) орган

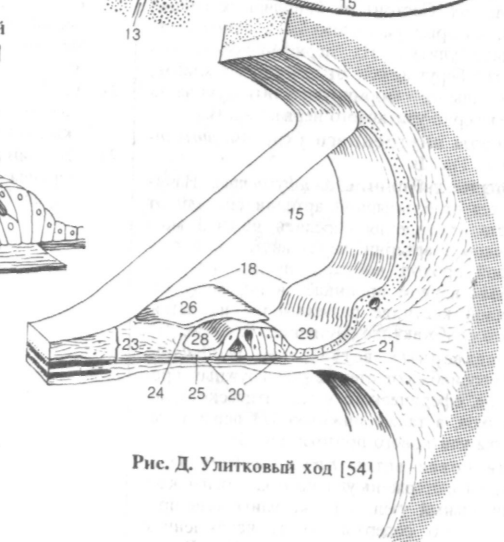


Рис. Д. Улитковый ход [54]

- 1 Сетчатая мембрана, *membrana reticularis*. Формируется фланговыми отростками наружных волосковых клеток и клеток Дейтера. В нее заходят волоски рецепторных клеток. Рис. Б.
- 2 Спиральный сосуд, *vas spirale*. Небольшой кровеносный сосуд в базилярной пластинке под туннелем спирального органа. Рис. А.
- 3 Преддверная стенка улиткового протока (преддверная мембрана) [[Рейснера]], *paries vestibularis ductus cochlearis (membrana vestibularis)* [[Reissner]]. Верхняя стенка улиткового протока толщиной около 3 мкм. Рис. А.
- 4 Наружная стенка улиткового протока, *paries externus ductus cochlearis*. Латеральная стенка протока. Рис. А.
- 5 Базилярный гребешок, *crista basilaris*. Возвышение на спиральной связке, которое продолжается в базилярную пластинку. Рис. А.
- 6 Спиральный выступ, *prominentia spiralis*. Расположен над наружной спиральной бороздой и состоит из соединительной ткани, в которой проходит выступающий сосуд. Рис. А.
- 7 Выступающий сосуд, *vas prominens*. Проходит в основании спирального выступа. Рис. А.
- 8 Сосудистая полоска, *stria vascularis*. Входит в состав спиральной связки, располагаясь над *prominentia spiralis*, и, как полагают, секретирует эндолимфу. Покрыта многослойным эпителием и содержит внутриэпителиальное капиллярное сплетение. Рис. А.
- 9 Спиральный узел улитки, *ganglion spirale cochlearis*. Состоит из биполярных нейронов, которые расположены в спиральном канале улитки. Их периферические отростки берут начало от волосковых клеток, центральные - формируют улитковую часть преддверно-улиткового нерва. Рис. В.
- 10 Сосуды внутреннего уха, *vasa auris interna*. Рис. В.
- 11 Артерия лабиринта, *a. labyrinthina*. Начинается от базилярной артерии спереди от места отхождения передней нижней мозжечковой артерии, через внутренний слуховой проход, вместе с преддверно-улитковым нервом проникает в пирамиду височной кости, где разветвляется на ветви, кровоснабжающие внутреннее ухо. Рис. В.
- 12 Преддверные ветви, *rami vestibulares*. Кровоснабжают стенки полукружных протоков, сферического и эллиптического мешочков, а также нижнюю 1/3 первого завитка улиткового протока. Рис. В.
- 13 Улитковая ветвь, *ramus cochlearis*. Проникает в стержень улитки и кровоснабжает спиральный узел, а также улитковый проток с его содержимым за исключением нижней трети первого завитка. Рис. В.

- 14 Артериальные клубочки улитки, *glomeruli arteriosi cochleae*. Спиральная артериальная сеть, которая сопровождает спиральную вену стержня. Рис. В.
- 15 Вены лабиринта, *w. labyrinthinae*. Сопровождают одноименную артерию, проходят через внутренний слуховой проход и открываются в нижний каменный синус или во внутреннюю яремную вену. Рис. В.
- 16 Спиральная вена стержня, *v. spiralis modioli*. Проходит в стержне улитки и присоединяется к одной из вен лабиринта. Рис. В.
- 17 Преддверные вены, *w. vestibulares*. Начинаются от стенок полукружных протоков, эллиптического и сферического мешочков. Впадают в вены лабиринта и вену водопровода преддверия. Рис. В.
- 18 Вена водопровода преддверия, *v. aquaeductus vestibuli*. Сопровождает эндолимфатический проток и впадает в нижний каменный синус. Рис. В.
- 19 Вена водопровода улитки, *v. aquaeductus cochleae*. Проходит в канальце улитки и несет кровь от первого завитка улитки к внутренней яремной вене. Рис. В.
- 20 Костный лабиринт, *labyrinthus osseus*. Костная капсула, которая окружает перепончатый лабиринт. Рис. Г.
- 21 Преддверие, *vestibulum*. Часть костного лабиринта, которая содержит эллиптический и сферический мешочки. Рис. Г.
- 22 Сферическое углубление, *recessus sphericus*. Находится на медиальной стенке преддверия, в котором находится сферический мешочек. Рис. Г.
- 23 Эллиптическое углубление, *recessus ellipticus*. Находится на медиальной стенке преддверия и содержит часть эллиптического мешочка, расположенную между задней ампулой и обшей ножкой. Рис. Г.
- 24 Гребень преддверия, *crista vestibuli*. Расположен между сферическим и эллиптическим углублениями. Рис. Г.
- 25 Пирамида преддверия, *pyramis vestibuli*. Верхняя расширенная часть гребня преддверия. Рис. Г.

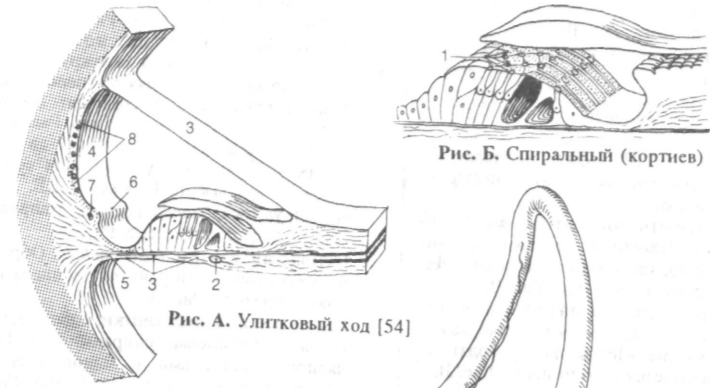


Рис. А. Улитковый ход [54]

Рис. Б. Спиральный (кортиев) орган

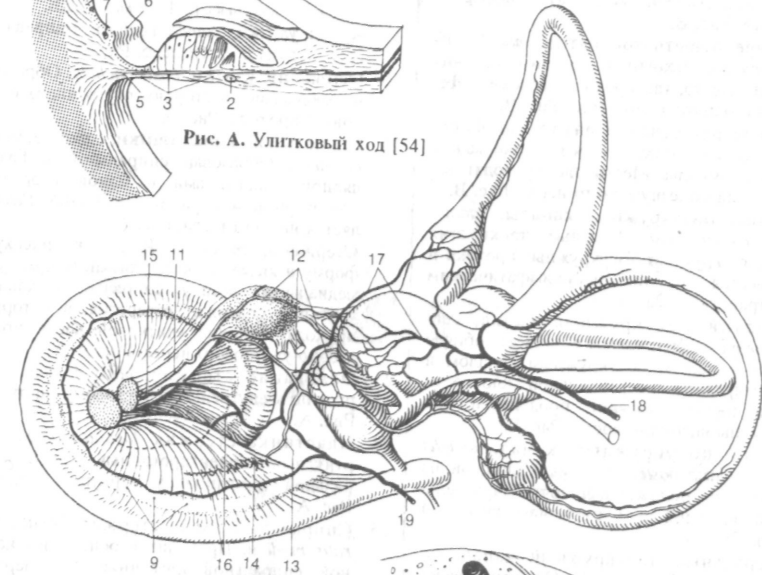


Рис. В. Сосуды лабиринта [61]

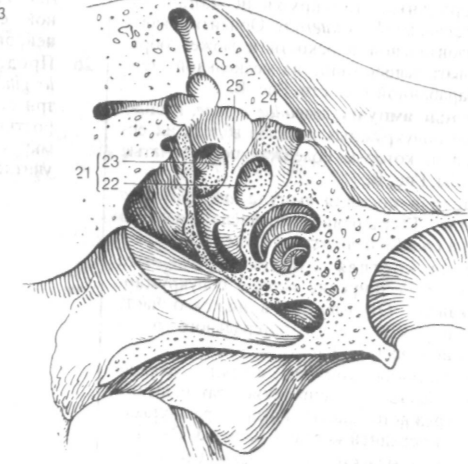


Рис. Г. Преддверие костного лабиринта

- 1 **Улитковое углубление, *recessus cochlearis***. Находится снизу и спереди от сферического углубления. Содержит нижний конец улиткового протока. Рис. В.
- 2 **Решетчатые пятна, *maculae cribrosae***. Участки кости, перфорированные отверстиями, через которые проходит волокна преддверно-улиткового нерва.
- 3 **Верхнее решетчатое пятно, *macula cribrosa superior***. Место, где проходят волокна эллиптически-мешотчато-ампулярно-го нерва. Рис. В.
- 4 **Среднее решетчатое пятно, *macula cribrosa media***. Находится вблизи основания улитки. Место, где проходит волокна сферически-мешотчатого нерва. Рис. В.
- 5 **Нижнее решетчатое пятно, *macula cribrosa inferior***. Локализуется в стенке задней костной ампулы. Место, где проходят волокна заднего ампулярного нерва. Рис. В.
- 6 **Костные полукружные каналы, *canales semicirculares ossei***. Костные стенки этих каналов окружают полукружные протоки и отделяются от них перилимфатическим пространством. Рис. В.
- 7 **Передний полукружный канал, *canalis semicircularis anterior***. Имеет общую ножку с задним полукружным каналом и ориентирован в вертикальной плоскости почти перпендикулярно продольной оси пирамиды височной кости. Рис. Б.
- 8 **Задний полукружный канал, *canalis semicircularis posterior***. Самый длинный из каналов, расположенный почти параллельно продольной оси пирамиды височной кости. Рис. Б.
- 9 **Латеральный полукружный канал, *canalis semicircularis lateralis***. Ориентирован в горизонтальной плоскости и может образовывать выпячивание на медиальной стенке барабанной полости. Рис. Б.
- 10 **Костные ампулы, *ampullae osseae***. Расширение полукружных каналов вблизи их основания, которые содержат перепончатые ампулы. Рис. В.
- 11 **Передняя костная ампула, *ampulla ossea anterior***. Расширение переднелатерального конца *canalis semicircularis anterior*. Рис. Б.
- 12 **Задняя костная ампула, *ampulla ossea posterior***. Расширение заднего полукружного канала. Открывается в нижнюю часть преддверия кзади от латерального полукружного канала. Рис. Б.
- 13 **Латеральная костная ампула, *ampulla ossea lateralis***. Расширение латерального полукружного канала, которое расположено под передней костной ампулой. Рис. Б.
- 14 **Костные ножки, *crura ossea***. Составные части полукружных каналов.
- 15 **Общая костная ножка, *crus osseum commune***. Формируется в результате соединения соседних костных ножек переднего и заднего полукружных каналов. Рис. Б.
- 16 **Простая костная ножка, *crus osseum simplex***. Задняя ножка латерального полукружного канала, которая самостоятельно сообщается с преддверием. Рис. Б.
- 17 **Ампулярные костные ножки, *crura ossea ampullaria***. Ножки полукружных каналов, которые расширяются перед впадением в преддверие и содержат соответствующие перепончатые ампулы. Рис. Б.
- 18 **Улитка, *cochlea***. Имеет от 2 1/2 до 2 3/4 завитков. Ее ширина у основания составляет 8 - 9 мм, высота 4 - 5 мм. Рис. Б.
- 19 **Купол улитки, *cupula cochlea***. Направлен вперед, вниз и латерально. Рис. Б.
- 20 **Основание улитки, *basis cochlea***. Обращено медиально, в сторону внутреннего слухового прохода. Рис. А.
- 21 **Спиральный канал улитки, *canalis spiralis cochleae***. Образован спиральной и базиллярной пластинками с одной стороны, преддверной мембраной - с другой. Разделяется на три отдела. Рис. А.
- 22 **Стержень, *modioli***. Имеет коническую форму и является осью улитки. Формирует медиальную стенку спирального канала улитки и содержит отверстия, в которых проходят волокна улитковой части преддверно-улиткового нерва. Рис. А.
- 23 **Основание стержня, *basis modioli***. Обращено к внутреннему слуховому проходу. Рис. А.
- 24 **Пластинка стержня, *lamina modioli***. Вертикально ориентированный конец спиральной пластинки у верушки улитки. Рис. А.
- 25 **Спиральный канал стержня, *canalis spiralis modioli***. Проходит в основании костной спиральной пластинки и содержит нейроны спирального узла. Рис. А.
- 26 **Продольные каналы стержня, *canales longitudinales modioli***. Костные каналы внутри стержня улитки, которые содержат отростки нейронов спирального узла, формирующие улитковую часть преддверно-улиткового нерва. Рис. А.

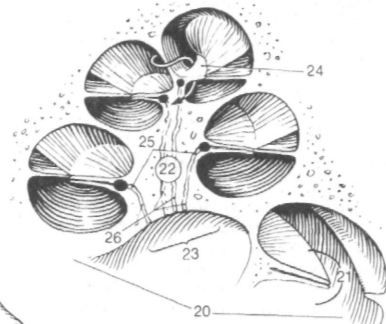


Рис. А. Разрез улитки вдоль оси стержня

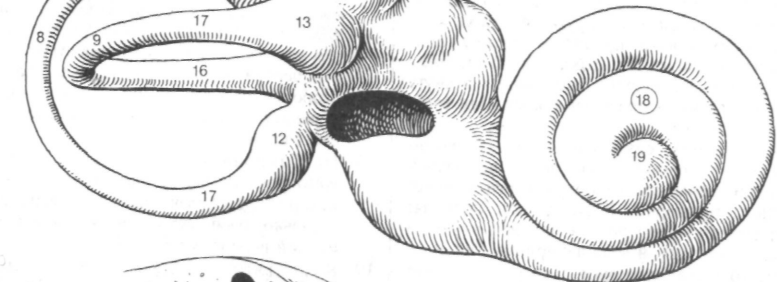


Рис. Б. Спек костного лабиринта

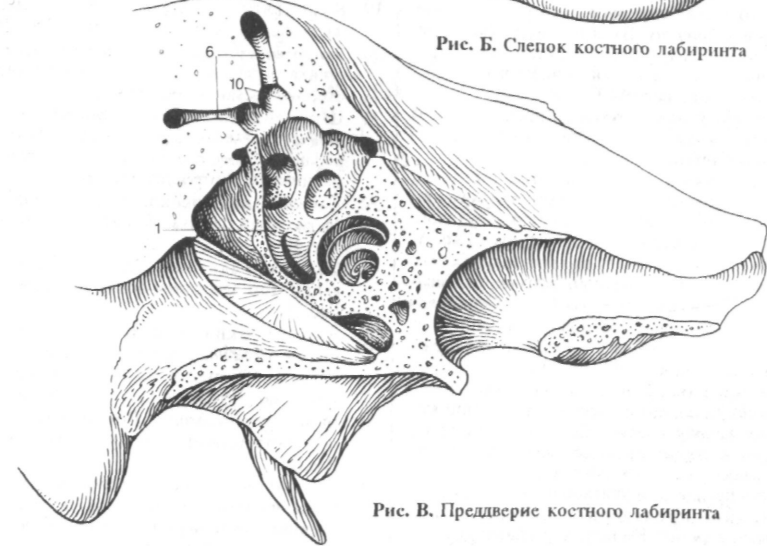


Рис. В. Преддверие костного лабиринта



- 1 Костная спиральная пластинка, *lamina spiralis ossea*. Двухслойная костная пластинка, которая начинается от стержня улитки и выступает в просвет улиткового канала. Вместе с улитковым протоком полностью разделяет канал на лестницу преддверия и барабанную лестницу. Рис. Б.
- 2 Крючок спиральной пластинки, *hamulus laminae spiralis*. Свободный, загнутый вверх в виде крючка конец костной спиральной пластинки у вершины улитки. Рис. Б.
- 3 Отверстие улитки, геликотрема, *helicotrema*. Сообщение между лестницей преддверия и барабанной лестницей у вершины улитки. Формируется в связи с тем, что костная спиральная пластинка и улитковый проток заканчиваются, не доходя до купола улитки. Рис. Б.
- 4 Вторичная спиральная пластинка, *lamina spiralis secundaria*. Костный гребень в нижней половине первого завитка улитки, который отходит от наружной стенки спирального канала напротив костной спиральной пластинки. Таким образом, нижняя часть базилярной пластинки натянута между двумя спиральными костными гребнями. Рис. Б.
- 5 Внутренний слуховой проход, *meatus acusticus intemus*. Начинается на задней стенке пирамиды височной кости и имеет длину, примерно, 1 см. В нем проходят преддверно-улитковый и лицевой нервы, а также артерия и вена лабиринта. Рис. А.
- 6 Внутреннее слуховое отверстие, *porus acusticus intemus*. Вход во внутренний слуховой проход, расположенный на задней стенке пирамиды височной кости над яремным отверстием. Рис. А.
- 7 Дно внутреннего слухового прохода, *fundus meatus acustici interni*. Разделяется на несколько областей. Рис. А.
- 8 Поперечный гребень, *crista transversa*. Ориентирован в поперечном направлении и разделяет дно внутреннего слухового прохода на верхнее и нижнее поле. Рис. А.
- 9 Поле лицевого нерва, *area nervifacialis*. Место начала канала лицевого нерва. Рис. А.
- 10 Поле улитки, *area cochleae*. Обширная область, которая расположена книзу от поперечного гребня и содержит продырявленный спиральный путь. Рис. А.
- 11 Продырявленный спиральный путь, *tractus spiralis foraminosus*. Соответствует спиральному каналу улитки. Содержит отверстия, через которые проходят волокна от спирального узла, формирующие улитковую часть преддверно-улиткового нерва. Рис. А.
- 12 Верхнее преддверное поле, *area vestibularis superior*. Расположено латерально от поля лицевого нерва. Содержит отверстия, через которые проходят волокна эллиптически-мешотчато-ампулярного нерва. Рис. А.
- 13 Нижнее преддверное поле, *area vesti-*

*bularis inferior*. Находится с латеральной стороны от продырявленного спирального пути. Содержит отверстия, через которые проходят волокна сферически-мешотчатого нерва. Рис. А.

14 Одиночное отверстие, *foramen singulare*. Находится позади нижнего преддверного поля и содержит заднюю ветвь ампулярного нерва. Рис. А.

15 СРЕДНЕЕ УХО, *auris media*. Состоит из барабанной полости, слуховой трубы и ячеек сосцевидного отростка.

16 Барабанная полость, *cavitas tympanica (cavum tympani)*. Имеет вид косо ориентированного шелевидного пространства, которое расположено кнутри от барабанной перепонки и содержит слуховые косточки. Сверху и сзади барабанная полость сообщается с сосцевидными ячейками, спереди и снизу - со слуховой трубой и далее с носоглоткой.

17 Покрышечная стенка, *paries tegmentalis*. Костная пластинка (*tegmen tympani*), которая отделяет барабанную полость от полости черепа и расположена с латеральной стороны от дугообразного возвышения на передней стенке пирамиды височной кости. Рис. В.

18 Надбарабанное углубление, *recessus epitympanicus*. Часть барабанной полости, которая дугообразно изогнута вверх и латерально, располагаясь выше уровня барабанной перепонки. Рис. В.

19 Купольная часть, *pars cupularis*. Верхняя часть надбарабанного углубления. Рис. В.

20 Яремная стенка, *paries jugularis*. Нижняя стенка барабанной полости, обращенная в сторону яремной ямки. Рис. В.

21 Шиловидный выступ, *prominentia styloidea*. Возвышение на нижней стенке барабанной полости, которое соответствует шиловидному отростку. Рис. В.

22 Лабиринтная стенка, *paries labyrinthicus*. Медиальная стенка барабанной полости. Рис. В.

23 Окно преддверия, *fenestra vestibuli* [[*ovalis*]]. Его закрывает основание стремени. Рис. В.

24 Ямочка окна преддверия, *fossula fenestrae vestibuli*. Небольшое углубление на медиальной стенке барабанной полости между молоточком и наковальней. Рис. В.

25 Мыс, *promontorium*. Возвышение, которое соответствует первому завитку улитки. Рис. В.

26 Борозда мыса, *sulcus promontorii*. Находится на поверхности мыса. В ее разветвлениях лежат нервы, формирующие барабанное сплетение. Рис. В.

27 Подставка мыса, *subiculum promontorii*. Небольшой костный гребень позади мыса и окна улитки. Рис. В.

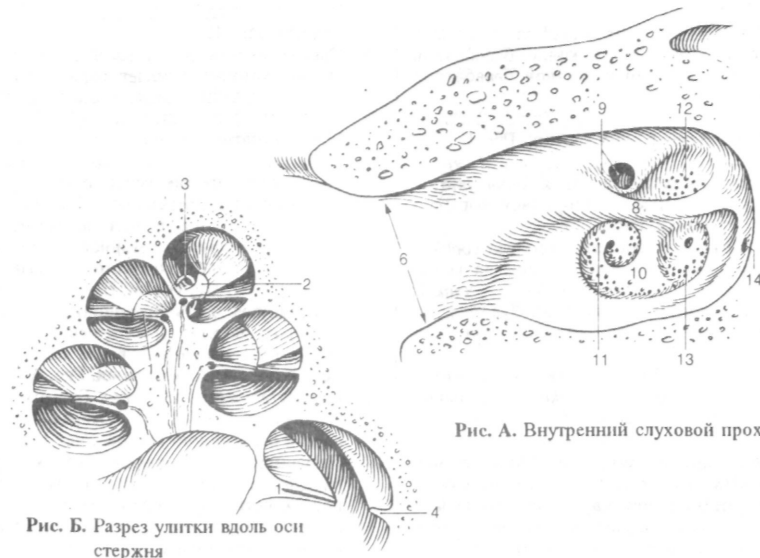


Рис. А. Внутренний слуховой проход

Рис. Б. Разрез улитки вдоль оси стержня

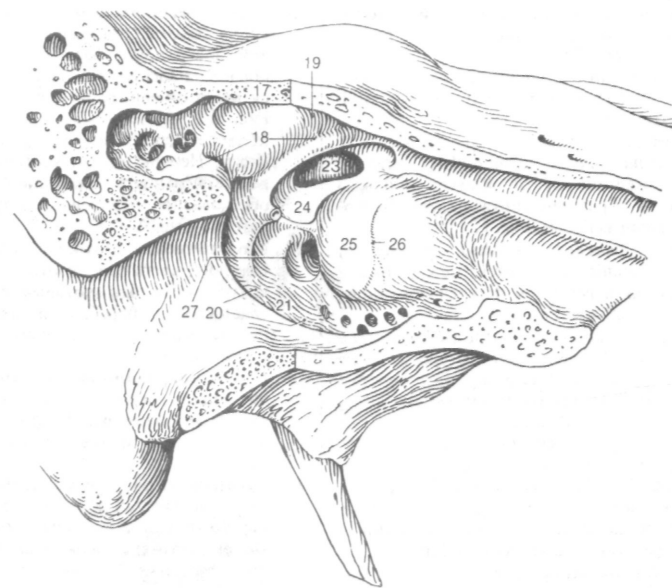


Рис. В. Медиальная стенка барабанной полости

- 1 Барабанная пазуха, *sinus tympani*. Глубокая ямка позади мыса и окна улитки. Рис. Г.
- 2 Окно улитки, *fenestra cochleae I [rotunda]*. Крутое отверстие на конце барабанной лестницы. Закрывает вторичную барабанную перепонкой. Рис. Г.
- 3 Ямочка окна улитки, *fossula fenestrae cochleae*. Ведет в окно улитки. Рис. Г.
- 4 Гребешок окна улитки, *crista fenestrae cochleae*. Проходит по краю окна улитки. Место прикрепления вторичной барабанной перепонки. Рис. Г.
- 5 Улитковый отросток, *processus cochleariformis*. Расположен над мысом на конце перегородки мышечно-трубного канала. Вместе с соединительнотканной петлей является блоком для сухожилия *tensior tympani*. Рис. Г.
- 6 Вторичная барабанная перепонка, *membrana tympani secundaria*. Заполняет окно улитки и отделяет барабанную лестницу от барабанной полости. Рис. Г.
- 7 [Сосцевидные придатки, *adnexa mastoidea*]. Относятся к сосцевидному отростку.
- 8 Сосцевидная стенка, *paries mastoideus*. Задняя стенка барабанной полости, обращенная к сосцевидному отростку. Рис. Г.
- 9 Сосцевидная пещера, *antrum mastoideum*. Пролонжение барабанной полости кзади и кверху. Снизу от нее лежат сосцевидные ячейки. Рис. Г.
- 10 Вход в пещеру, *adiutus ad antrum*. Сообщение сосцевидной пещеры с барабанной полостью. Рис. Г.
- 11 Выступ латерального полукружного канала, *prominentia canalis semicircularis lateralis*. Расположен сверху от выступа лицевого канала и образован соответствующим полукружным каналом. Рис. Г.
- 12 Выступ лицевого канала, *prominentia canalis facialis*. Находится между окном преддверия и выступом латерального полукружного канала. Рис. Г.
- 13 Пирамидальное возвышение, *eminentia pyramidalis*. Расположено на уровне окна преддверия и имеет на верхушке отверстие, через которое проходит сухожилие стременной мышцы. Рис. Г.
- 14 Ямка наковальни, *fossa incudis*. Углубление у входа в пещеру. Место прикрепления задней связки наковальни. Рис. Г.
- 15 Задняя пазуха, *sinus posterior*. Неглубокая борозда между ямкой наковальни и пирамидальным возвышением. Рис. Г.
- 16 Барабанная апертура канальца барабанной струны, *apertura tympanica canaliculi chordae tympani*. Находится у заднего края барабанной перепонки на уровне пирамидального возвышения. Рис. Г.
- 17 Сосцевидные ячейки, *cellulae mastoideae*. Также как и стенки барабанной полости, их покрывает плоский или кубический эпителий. Рис. Г.
- 18 Барабанные ячейки, *cellulae tympanicae*. Небольшие углубления на дне барабанной полости. Рис. Г.
- 19 Сонная стенка, *paries caroticus*. Передняя стенка, которая отделяет барабанную полость от сонного канала и содержит барабанное отверстие слуховой трубы. Рис. Г.
- 20 Перепончатая стенка, *paries membranaceus*. Латеральная стенка барабанной полости, которая формируется, главным образом, барабанной перепонкой. Рис. Б.
- 21 Барабанная перепонка, *membrana tympanica*. Косо ориентированная мембрана на конце наружного слухового прохода диаметром 9-11 мм. Рис. А, Б.
- 22 Ненатянутая часть [перепонка Шрапнелля], *pars flaccida [Schrapnell]*. Участок барабанной перепонки выше передней и задней молоточковых связок. Рис. А, Б.
- 23 Натянутая часть, *pars tensa*. Большая часть барабанной перепонки, которая натянута внутри барабанного кольца. Рис. А, Б.
- 24 Передняя молоточковая складка, *plica mallearis anterior*. Находится на внутренней поверхности барабанной перепонки. Обращена вогнутостью книзу и от основания рукоятки молоточка направляется вперед. Рис. Б.
- 25 Задняя молоточковая складка, *plica mallearis posterior*. Расположена на внутренней поверхности барабанной перепонки, обращена вогнутостью книзу и направляется назад от основания головки молоточка. Рис. Б.
- 26 Молоточковый выступ, *prominentia mallearis*. Небольшое возвышение на наружной поверхности барабанной перепонки, образованное латеральным отростком молоточка. Рис. А.
- 27 Молоточковая полоска, *stria mallearis*. Светлого цвета тяж, соответствующий рукоятке молоточка, который в этом месте срастается с барабанной перепонкой и просвечивается через ее наружную поверхность. Рис. А.
- 28 Пупок барабанной перепонки, *umbo membranae tympani*. Находится у верхушки рукоятки молоточка. В этом месте перепонка втянута внутрь барабанной полости. Рис. А.
- 29 Кожный слой, *stratum cutaneum*. Многослойный плоский эпителий, покрывающий наружную поверхность перепонки. Рис. В.
- 30 Волокнисто-хрящевое кольцо, *anulus fibrocartilagineus*. Фиксирует барабанную перепонку к краю *sulcus tympanicus*. Рис. В.
- 31 Радиальный слой, *stratum radiatum*. Группа расположенных снаружи и ориентированных радиально коллагеновых волокон в составе барабанной перепонки. Рис. В.
- 32 Круговой слой, *stratum circulare*. Входящие в его состав волокна находятся внутри от

*stratum radiatum*. Рис. В.

- 33 Слизистый слой, *stratum mucosum*. Однослойный плоский эпителий, покрывающий внутреннюю поверхность барабанной перепонки. Рис. В.

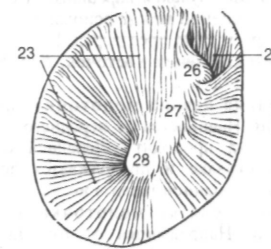


Рис. А. Правая барабанная перепонка (вид снаружи)

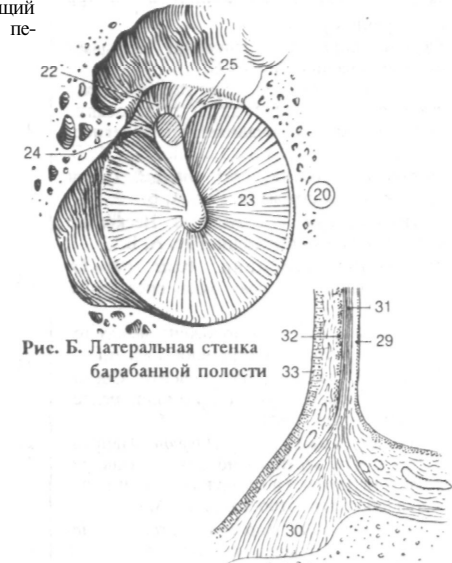


Рис. Б. Латеральная стенка барабанной полости

Рис. В. Микроскопическое строение барабанной перепонки

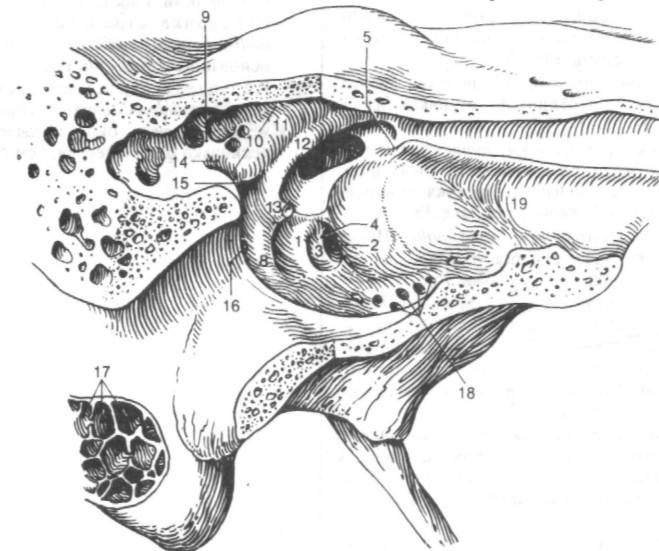


Рис. Г. Медиальная стенка барабанной полости

- 1 Слуховые косточки, *ossicula auditoria (auditus)*. Система рычагов, которая передает звуковую волну от барабанной перепонки к внутреннему уху.
- 2 Стремя, *stapes*. Его основание закрывает окно преддверия. Рис. А, Б.
- 3 Головка стремени, *caput stapedis*. Находится на противоположной от основания стороне кости и соединяется с чечевицеобразным отростком наковальни. Рис. А, Б.
- 4 Передняя ножка, *crus anterius*. Почти прямая ножка стремени. Рис. А, Б.
- 5 Задняя ножка, *crus posterius*. Несколько изогнутая ножка стремени. Рис. А, Б.
- 6 Основание стремени, *basis stapedis*. Прикрепляется к краю окна преддверия. Рис. А, Б.
- 7 Накowальня, *incus*. Расположена между головками молоточка и стремени. Рис. А, Г.
- 8 Тело наковальни, *corpus incudis*. Соединяется с молоточком при помощи седловидного сустава. Рис. А.
- 9 Длинная ножка, *crus longum*. Направляется почти вертикально вниз позади рукоятки молоточка и содержит на конце чечевицеобразный отросток. Рис. А.
- 10 Чечевицеобразный отросток, *processus lenticularis*. Небольшое костное утолщение на конце длинной ножки наковальни, при помощи которого она сочленяется со стремнем. Рис. А.
- 11 Короткая ножка, *crus breve*. Направлена назад и при помощи связки фиксируется к ямке наковальни. Рис. А.
- 12 Молоточек, *malleus*. Расположен между барабанной перепонкой и наковальней. Рис. А, В.
- 13 Рукоятка молоточка, *manubrium mallei*. Его наружная поверхность от свободного конца до латерального отростка прикрепляется к барабанной перепонке. Рис. А.
- 14 Головка молоточка, *caput mallei*. Имеет выпуклую суставную поверхность для сочленения с телом наковальни. Рис. А.
- 15 Шейка молоточка, *collum mallei*. Находится между головкой и рукояткой. Рис. А.
- 16 Латеральный отросток, *processus lateralis*. Короткий отросток на конце рукоятки молоточка, который соответствует молоточковому выступу. Рис. А.
- 17 Передний отросток, *processus anterior*. Выпянутый тонкий отросток, который у новорожденных заходит в каменисто-барабанную щель, у взрослых - редуцируется. Рис. А.
- 18 Суставы слуховых косточек, *articulationes ossiculorum auditoriorum*. Скорее синдесмозы, чем истинные суставы.
- 19 Накowальне-молоточковый сустав, *articulatio incudomallearis*. Сочленение между молоточком и наковальней. Иногда содержит суставную щель. Рис. А.

- 20 Накowальне-стременистый сустав, *articulatio incudostapedialis*. Соединение между чечевицеобразным отростком длинной ножки наковальни и стремнем. Рис. А.
- 21 Барабанно-стременистый синдесмоз, *syndesmosis tympanostapedialis*. Непрерывное соединение между основанием стремени и краем окна преддверия. Рис. Б.
- 22 Связки слуховых косточек, *ligg. ossiculorum auditoriorum*.
- 23 Передняя связка молоточка, *lig. mallei anterius*. Начинается от переднего отростка молоточка, проходит в передней молоточковой складке и продолжается до каменисто-барабанной щели. Рис. Г.
- 24 Верхняя связка молоточка, *lig. mallei superius*. Направляется от головки молоточка к купольной части надбарабанного углубления. Рис. В, Г.
- 25 Латеральная связка молоточка, *lig. mallei laterale*. Соединяет шейку молоточка с верхним краем барабанной вырезки. Рис. В.
- 26 Верхняя связка наковальни, *lig. incudis superius*. Проходит почти параллельно верхней связке молоточка и соединяет тело наковальни с купольной частью надбарабанного углубления. Рис. В, Г.
- 27 Задняя связка наковальни, *lig. incudis posterius*. Направляется от короткой ножки наковальни к латеральной стенке барабанной полости. Рис. В, Г.
- 28 Перепонка стремени, *membrana stapedialis*. Тонкая мембрана между ножками и основанием стремени. Рис. Б.
- 29 Кольцевая связка стремени, *lig. azulare stapediale*. Соединяет основание стремени с краями окна преддверия. Связка несколько шире спереди, чем сзади. Рис. Б.

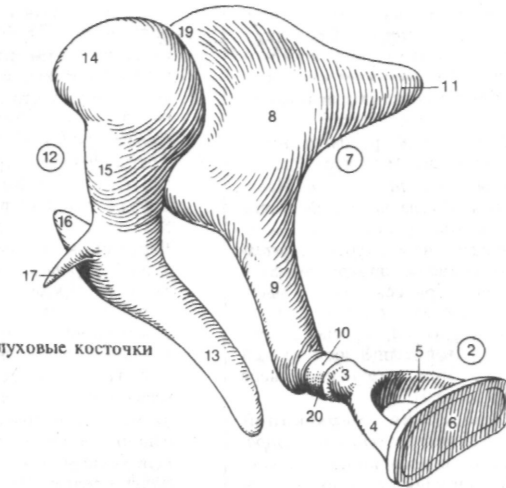


Рис. А. Слуховые косточки

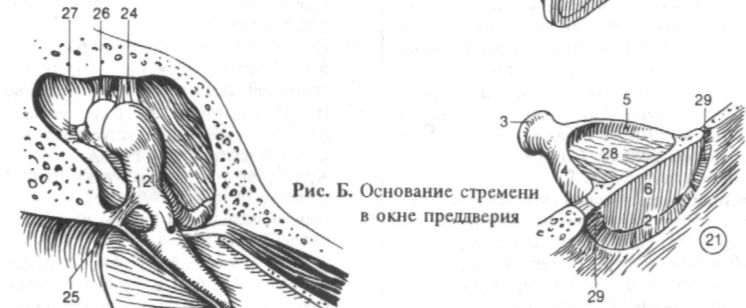


Рис. Б. Основание стремени в окне преддверия

Рис. В. Слуховые косточки в надбарабанном углублении

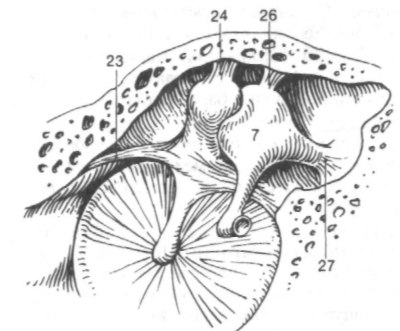


Рис. Г. Латеральная стенка барабанной полости

- 1 Мышцы слуховых косточек, *musculi ossiculorum auditorium*. Одним концом прикрепляются к слуховым косточкам.
- 2 Мышца, напрягающая барабанную перепонку, *m. tensor tympani*. Проходит в одноименном полуканале над слуховой трубой. Ее сухожилие окружает улитковый отросток, изгибается почти под прямым углом в латеральном направлении и прикрепляется к основанию рукоятки молоточка. Инн.: нижнечелюстной нерв. Рис. А.
- 3 Стременная мышца, *m. stapedius*. Начинается в костном канале на задней стенке барабанной полости, ее сухожилие выходит через отверстие на верхушке пирамидального возвышения и прикрепляется к головке стремени. При сокращении мышцы основание стремени плотнее прижимается к окну преддверия, что способствует затуханию звуковой волны, достигающей внутреннего уха. Инн.: стременной нерв (ветвь *n. facialis*). Рис. Б.
- 4 Слизистая оболочка барабанной полости, *tunica mucosa cavitatis tympanicae*. Состоит из однослойного плоского (кубического) эпителия и тонкой собственной пластинки, содержащей большое количество кровеносных сосудов.
- 5 Задняя молоточковая складка, *plica mallearis posterior*. Проходит от основания рукоятки молоточка назад к верхней части барабанного кольца. Содержит часть барабанной струны. Рис. Г.
- 6 Передняя молоточковая складка, *plica mallearis anterior*. Проходит от основания рукоятки молоточка вперед к верхней части барабанного кольца. Содержит переднюю часть барабанной струны, передний отросток молоточка и *lig. mallei anterioris*. Рис. Г.
- 7 Складка барабанной струны, *plica chordae tympani*. Соединяет молоточковые складки в области шейки молоточка. Рис. Г.
- 7а Углубления барабанной перепонки, *recessus membranae tympanicae*. Карманы слизистой оболочки барабанной полости.
- 8 Переднее углубление [барабанной перепонки], *recessus anterior [membranae tympani]*. Расположено между передней молоточковой складкой и барабанной перепонкой. Рис. Г.
- 9 Верхнее углубление [барабанной перепонки] [[карман Пруссака]], *recessus superior [membranae tympani] [[Prussak]]*. С латеральной стороны ограничено ненапрянутой частью перепонки, с медиальной - головкой и шейкой молоточка, а также телом наковальни. Рис. Г.
- 10 Заднее углубление [барабанной перепонки], *recessus posterior [membranae tympani]*. Расположено между задней молоточковой складкой и барабанной перепонкой. Рис. Г.
- 11 Складка наковальни, *plica incudialis*.

Проходит между купольной частью надбарабанного углубления и головкой наковальни или соединяет короткую ножку наковальни с задней стенкой барабанной полости. Рис. Г.

12 Складка стремени, *plica stapedialis*. Расположена между задней стенкой барабанной полости и стремнем, покрывая *m. stapedius* и стремя. Рис. Б.

13 **Слуховая труба, *tuba auditoria (auditiva)***. Костно-хрящевая труба, длиной около 4 см между средним ухом и носоглоткой. Служит для поступления воздуха в барабанную полость. Рис. А, В.

14 Барабанное отверстие слуховой трубы, *ostium tympanicum tubae auditoriae*. Находится на передней стенке барабанной полости, несколько выше ее дна. Рис. А.

15 Костная часть слуховой трубы, *pars ossea tubae auditoriae*. Ее заднелатеральная (верхняя) часть составляет, примерно, 1/3 всей длины. Находится к низу от полуканала мышцы, напрягающей барабанную перепонку, и заканчивается отверстием, расположенным между сонным каналом и *foramen spinosum*. Рис. А.

16 Перешеек слуховой трубы, *isthmus [tubae auditoriae]*. Сужение в месте перехода хрящевой части трубы в костную. Рис. А.

17 Воздухоносные ячейки, *cellulae pneumaticae*. Небольшие углубления в стенке костной части трубы. Рис. А.

18 Хрящевая часть [слуховой трубы], *pars cartilaginea [tubae auditoriae]*. Образует ее переднемедиальную часть и имеет длину около 2,5 см. Рис. А.

19 Хрящ слуховой трубы, *cartilago tubae auditoriae*. Состоит из двух пластинок эластического хряща и на поперечном срезе имеет форму крючка, высота которого уменьшается в заднелатеральном направлении. Рис. А.

20 **Медиальная пластинка (хряща), *lamina medialis (cartilaginosis)***. Более широкая пластинка. Рис. В.

21 **Латеральная пластинка (хряща), *lamina lateralis (cartilaginosis)***. Более узкая пластинка, направленная вперед и латерально. Рис. В.

22 Перепончатая пластинка, *lamina membranacea*. Соединительнотканная часть стенки *pars cartilaginea*. Рис. А, В.

23 Слизистая оболочка, *tunica mucosa*. Покрывает однослойным, реснитчатым эпителием. Рис. В.

24 Трубные железы, *glandulae tubariae*. Слизистые железы, расположенные преимущественно в хрящевой части трубы. Рис. В.

25 Глоточное отверстие слуховой трубы, *ostium pharyngeum tubae auditoriae*. Имеет воронкообразную или шелевидную форму. Расположено над валиком мышцы, поднимающей мягкое небо на уровне нижнего носового хода, на 1 см латеральнее и спереди задней стенки глотки. Рис. А.

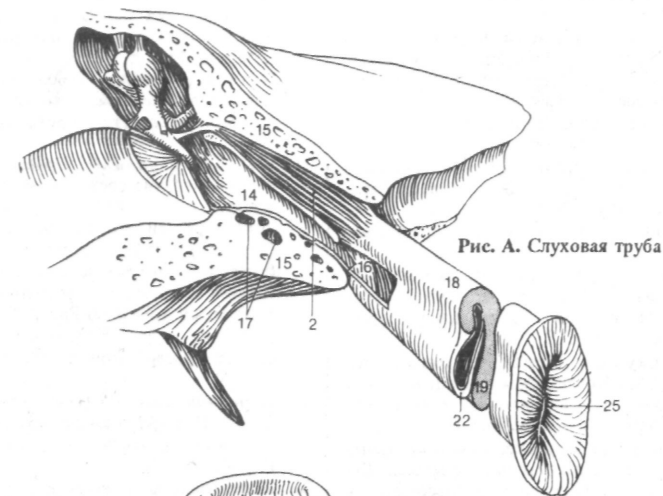


Рис. А. Слуховая труба

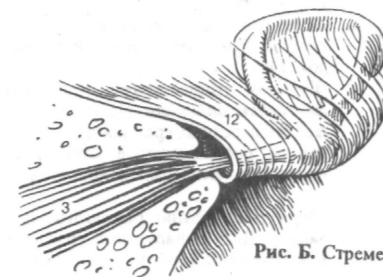


Рис. Б. Стременная мышца

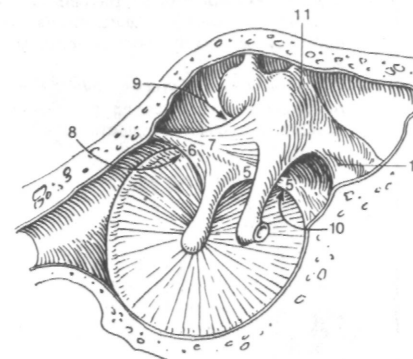


Рис. Г. Латеральная стенка барабанной полости

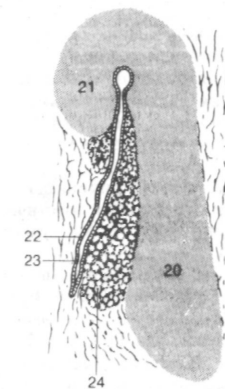


Рис. В. Поперечный срез слуховой трубы

- 1 НАРУЖНОЕ УХО, *auris externa*. Состоит из ушной раковины и наружного слухового прохода.
- 2 Наружный слуховой проход, *meatus acusticus externus*. Уплощенный S-образный костно-хрящевой канал, около 2,4 см длиной и диаметром 6 мм. Рис. В.
- 3 Наружное слуховое отверстие, *porus acusticus externus*. Рис. В.
- 3а Барабанная вырезка, *incisure, tympanica*. Находится между большой и малой барабанными осями. У новорожденных вырезка ограничена сверху свободными концами барабанного кольца. См. стр. 16.8.
- 4 Хрящевой наружный слуховой проход, *meatus acusticus externus cartilagineus*. Формирует латеральную 1/3 наружного слухового прохода. Рис. В.
- 5 Хрящ слухового прохода, *cartilago meatus acustici*. Соединяется с хрящом ушной раковины. Имеет вид желоба, незамкнутого с задневерхней стороны. Рис. Г»
- 6 Вырезки хряща наружного слухового прохода, *incisurae cartilaginis meatus acustici*. Две щели в хряще наружного слухового прохода, которые обращены вперед и заполнены соединительной тканью. Рис. Г.
- 7 Пластинка козелка, *lamina tragi*. Латеральная часть хрящевого слухового прохода, расположенная спереди от наружного слухового отверстия. Рис. Г.
- 8 Ушная раковина, *auricula*. Рис. А, Б.
- 9 Долька ушной раковины (мочка), *lobulus auricularis*. Нижняя часть раковины, которая не содержит в своем составе хряща. Рис. А, Б, В.
- 10 Хрящ ушной раковины, *cartilago auricularis*. Представлен эластическим хрящом, формирующим остов ушной раковины. Рис. Г.
- 11 Завиток, *helix*. Наружный изогнутый край ушной раковины. Рис. А, Б, В, Г.
- 12 Ножка завитка, *crus helices*. Начинается в раковине уха. Рис. А, Б, Г.
- 13 Ось завитка, *spina helices*. Небольшой, направленный кпереди хрящевой бугорок на ножке завитка. Рис. Г.
- 14 Хвост завитка, *cauda helices*. Задненижний конец завитка, который отделен от противокозелка вырезкой. Рис. Г.
- 15 Противозавиток, *antihelix, [[anthelex]]*. Дугообразное возвышение спереди от задней части завитка. Рис.- А, Б, В, Г.
- 16 Треугольная ямка, *fossa triangularis*. Расположена в передневерхнем отделе ушной раковины и ограничена двумя ножками противозавитка. Рис. А, Г.
- 17 Ножки противозавитка, *crura antihelices*. Находятся в верхней части ушной раковины и с двух сторон ограничивают треугольную ямку. Рис. А, Г.
- 18 Ладья, *scapha*. Узкий желоб между завит-

ком и противозавитком в заднем отделе ушной раковины. Рис. А, Г.

- 19 Раковина уха, *concha auricularis*. Ограничена противозавитком, противокозелком и козелком. Рис. А.

- 20 Челнок раковины, *cymba conchalis*. Верхняя, шелевидная часть раковины уха между ножками завитка и противозавитка. Рис. А.

- 21 Полость раковины, *cavitas cavum conchalis*. Основная составная часть раковины, которая расположена снизу от ножки завитка и изоади козелка. Рис. А.

- 22 Противокозелок, *antitragus*. Небольшой бугорок, в который продолжается противозавиток. Отделен от противокозелка межкочелковой вырезкой. Рис. А, Г.

- 23 Козелок, *tragus*. Небольшое возвышение спереди от наружного слухового отверстия. Рис. А.

- 24 Передняя вырезка (уха), *incisura anterior (auris)*. Находится между козелком (надкозелковым бугорком) и ножкой завитка. Рис. А.

- 25 Межкочелковая вырезка, *incisura intertragica*. Разделяет козелок и противокозелок. Рис. А, Г.

- 26 [Бугорок ушной раковины [[Дарвина]], *tuberculum auriculare [[Darwin]]*]. Расположен на переднем крае завитка, в том месте, где он поворачивает в заднем направлении. Встречается непостоянно. Рис. А.

- 27 [Верхушка ушной раковины, *apex auricularis*]. Выступ наружного края хряща ушной раковины (завитка), направленный назад, вверх и наружу. Присутствует непостоянно. Рис. Б.

- 28 Задняя борозда ушной раковины, *sulcus auricularis posterior*. Расположена между противокозелком и противозавитком. Рис. А.

- 29 [Надкозелковый бугорок, *tuberculum supratragicum*]. Находится на верхнем конце козелка. Встречается непостоянно. Рис. А.

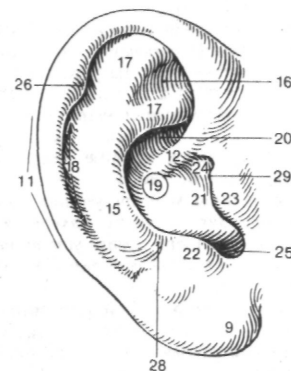


Рис. А. Ушная раковина



Рис. Б. Ушная раковина с выраженной верхушкой

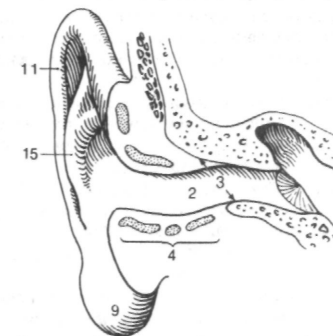


Рис. В. Наружный слуховой проход

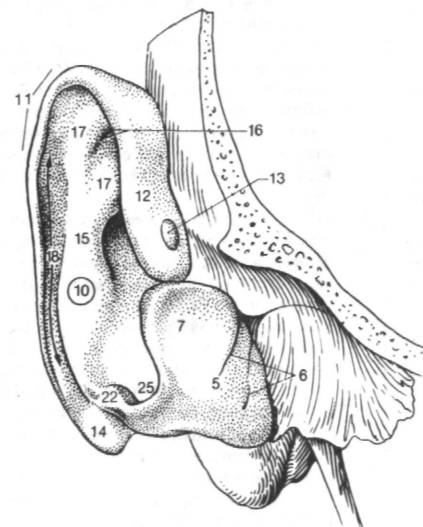


Рис. Г. Хрящ ушной раковины (вид спереди)

- 1 **Перешеек хряща уха, *isthmus cartilaginis auricularis***. Узкая полоска хрящевой ткани, соединяющая хрящ слухового прохода и пластинку козелка с хрящом ушной раковины. Рис. А.
- 2 **Конечная вырезка уха, *incisura terminalis auricularis***. Отделяет пластинку козелка от хряща ушной раковины. Рис. А.
- 3 **Противокозелково-завитковая щель, *fissure antitragohelicina***. Находится между противокозелком и завитком- сверху Рис. А.
- 4 **[[Поперечная борозда противозавитка, *sulcus anrihelicis transversus*]].** Расположена с заднемедиальной стороны хряща ушной раковины и отделяет возвышения треугольной ямки от раковины уха. Рис. А.
- 5 **Борозда ножки завитка, *sulcus cruris helicis***. Находится на задней поверхности хряща ушной раковины и соответствует расположенной на его передней поверхности ножке завитка. Рис. А.
- 6 **Ямка противозавитка, *fossa anrihelicis***. Углубление на задней поверхности хряща ушной раковины, которое соответствует на его передней поверхности противозавитку. Рис. А.
- 7 **Возвышение раковины, *eminentia conchae***. Расположено на задней поверхности хряща ушной раковины и соответствует полости раковины уха. Рис. А.
- 8 **Возвышение ладьи, *eminentia scaphae***. Изогнутый гребень на задней поверхности хряща ушной раковины, соответствующий одноименному углублению (ладье) на его передней поверхности. Рис. А.
- 9 **Возвышение треугольной ямки, *eminentia fossae triangularis***. Находится на задней поверхности хряща ушной раковины напротив треугольной ямки. Рис. А.
- 10 **Связки ушной раковины, *ligg. auricularia***. Соединяют хрящ ушной раковины с височной костью.
- 11 **Передняя связка ушной раковины, *lig. auriculare anterius***. Направляется от нижнего края скуловой дуги к ости завитка. Рис. Б.
- 12 **Верхняя связка ушной раковины, *lig. auriculare superius***. Соединяет верхний край костной части наружного слухового прохода с остью завитка. Рис. Б.
- 13 **Задняя связка ушной раковины, *lig. auriculare posterius***. Соединяет возвышение раковины уха с сосцевидным отростком. Рис. В.
- 14 **Мышцы ушной раковины, *mm. auriculares***.
- 15 **Большая мышца завитка, *m. helicis major***. Направляется от ости завитка вверх к его переднему краю. Рис. Б.
- 16 **Малая мышца завитка, *m. helicis minor***. Расположена на поверхности ножки завитка. Рис. Б.

- 17 **Козелковая мышца, *m. tragicus***. Проходит в вертикальном направлении по пластинке козелка. Рис. Б.
- 18 **Пирамидальная мышца ушной раковины, *m. pyramidalis auricularis***. Заканчивается на ости завитка и рассматривается как отщепившаяся часть козелковой мышцы Рис. Б.
- 19 **Противокозелковая мышца, *m. antitragicus***. Мышечные волокна на поверхности противокозелка, которые направляются к хвосту завитка. Рис. Б.
- 20 **Поперечная мышца ушной раковины, *m. ransversus auricularis***. Находится на задней поверхности хряща ушной раковины между возвышениями ладьи и раковины уха. Рис. В.
- 21 **Косая мышца ушной раковины, *m. obliquus auricularis***. Проходит между возвышениями раковины уха и треугольной ямки. Рис. В.
- 22 **[[Мышца вырезки завитка, *m. incisurae helicis*]].** Продолжение в каудальном направлении волокон поперечной мышцы ушной раковины. Присутствует непостоянно. Рис. В.
- 23 **ОРГАН ОБОНЯНИЯ, *organum olfactorium (olfactus)***.
- 24 **Обонятельная область слизистой оболочки носа, *regio olfactoria tunicae mucosae nasi***. Занимает медиальную и латеральную стенки носовой полости книзу от решетчатой пластинки одноименной кости на уровне верхней носовой раковины. Покрыта обонятельным эпителием. Рис. Д, Е.
- 25 **Обонятельные [[боуменовы]] железы, *glandulae olfactoriae [[Bowman]]***. Расположены под обонятельным эпителием и вырабатывают секрет, преимущественно серозного характера, омывающий обонятельные реснички, в котором растворяются вещества, действующие на рецепторы. Рис. Е.

- 26 **ОРГАН ВКУСА *organum gustatorius (gustus)***. В его состав входят вкусовые почки.
- 27 **Вкусовая почка, *caliculus gustatorius (gemma gustatoria)***. Расположена в эпителии и состоит из опорных и рецепторных клеток. Каждая из рецепторных клеток покрыта ворсинками, действующими как хеморецепторы. Наибольшее количество вкусовых почек находится в эпителии желобовидных и листовидных сосочков, единичные почки присутствуют также в слизистой оболочке за пределами языка. Рис. Г.
- 28 **Вкусовое отверстие, *porus gustatorius***. Расположено на вершине каждой вкусовой почки. В него направлены ворсинки рецепторных клеток. Рис. Г.

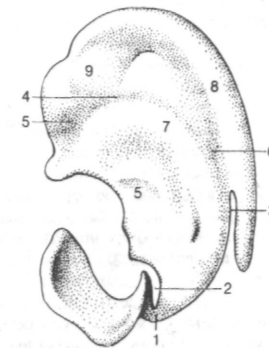


Рис. А. Хрящ ушной раковины (вид с медиальной стороны)

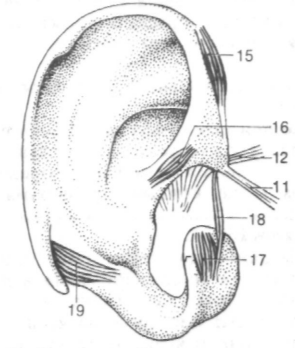


Рис. Б. Хрящ ушной раковины (вид с латеральной стороны)

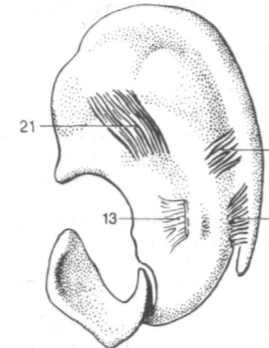


Рис. В. Мышцы и связка ушной раковины (вид с медиальной стороны)

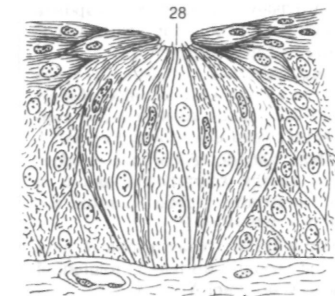


Рис. Г. Вкусовая почка



Рис. Д. Обонятельная область

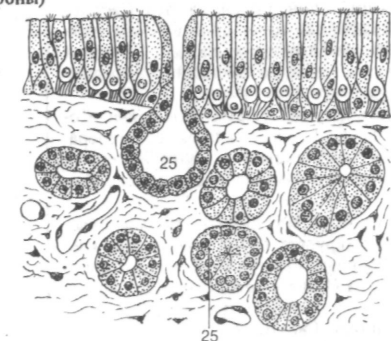


Рис. Е. Микроскопическое строение слизистой оболочки обонятельной области



- 1 ОБЩИЙ ПОКРОВ, *integumentum commune*. Представлен кожей, которая состоит из трех слоев: эпидермиса, дермы и подкожной основы. У взрослого человека площадь общего покрова тела составляет около 1,8 м<sup>2</sup>.
- 2 Кожа, *cutis*. Общий термин для эпидермиса и дермы.
- 3 Бороздки кожи, *sulci cutis*. Имеют разную величину и находятся в различных частях тела. Например, носогубная борозда, борозды между кожными гребешками толстой кожи, а также между складками вблизи суставов. Рис. А.
- 4 Гребешки кожи, *cristae cutis*. Находятся на ладонной поверхности кисти и подошвенной стороне стопы. Повторяют контуры лежащих под ними сосочков дермы. Рис. А.
- 5 Удерживатели кожи, *retinacula cutis*. Полоски соединительной ткани между кожей и фасцией (надкостницей). Рис. А.
- 6 Осязательные валики, *toruli tactiles*. Участки кожи, содержащие в подкожной основе значительное количество жировой ткани. Например, в области пальцев рук, тенара и гипотенара. Рис. Б.
- 7 [Копчиковая ямочка, *foveola coccygea*]. Упупление над копчиком, которое образуется за счет втягивания кожи в месте прикрепления удерживателя хвоста. Рис. В.
- 8 Удерживатель хвоста, *retinaculum caudate*. Расположен между копчиковой ямкой и копчиком. Представляет собой остаток эмбриональной хорды. Рис. В.
- 9 Эпидермис, *epidermis*. Многослойный плоский ороговевающий эпителий, толщиной от 30 мкм до 4 мм. Рис. А.
- 10 Роговой слой, *stratum comeum*. Самый поверхностный, ороговевающий слой эпидермиса. Постоянно слущивается. Рис. А.
- 11 Блестящий слой, *stratum lucidum*. Светлая, яркоокрашенная гомогенная полоска между зернистым и роговым слоями. Содержит большое количество элелидина - предшественника кератина. Рис. А.
- 12 Зернистый слой, *stratum granulosum*. Состоит из 1- 5 слоев клеток с дегенеративными изменениями в ядрах и кератогиалиновыми гранулами в цитоплазме. Рис. А.
- 13 Слой шиповатых клеток, *stratum spinosum*. Формируется из многоугольных клеток, связанных между собой через относительно широкие межклеточные пространства при помощи отростков, имеющих вид шпиков. Рис. А.
- 14 Базальный [цилиндрический] слой, *stratum basale [cylindricum]*. Самый глубокий, состоящий из цилиндрических клеток, слой эпидермиса. За счет клеточной пролиферации в базальном слое и слое шиповатых клеток происходит постоянное обновление эпидермиса. Рис. А.

- 15 Дерма (собственно кожа), *dermis (conum)*. Состоит из густой сети коллагеновых и эластических волокон, большого количества сосудов и нервов. Однако в дерме отсутствует жировая ткань. Рис. А.
- 16 Сосочковый слой, *stratum papillare*. Наружный тонкий слой дермы, который связан с эпидермисом большим количеством соединительнотканых сосочков. Рис. А.
- 17 Сосочки, *papillae*. Конической формы соединительнотканые образования, проникающие в эпидермис со стороны дермы. Значительно варьируют по внешнему виду и размерам, могут формировать ряды (толстая кожа) и ветвиться. Рис. А, Д.
- 18 Сетчатый слой, *stratum reticulare*. Часть дермы, которая прилежит к сосочковому слою и состоит из компактной сети переплетающихся пучков коллагеновых волокон. Рис. А.
- 19 Подкожная основа, *tela subcutanea*. Соединительноткаными перемычками разделена на отдельные фрагменты. Плотно срастается с дермой и легко смещается с подлежащей фасцией. Рис. А.
- 20 Жировые отложения, *panniculus adiposus*. Хорошо выраженные скопления жировой ткани в подкожной основе. Рис. А.
- 21 Инкапсулированные нервные окончания, *corpacula nervosa terminalia*. Общий термин для перечисленных ниже корпускулярных рецепторов.
- 22 Колбовидные тельца [[колбы Краузе]], *corpacula bulboidea [[Krause]]*. Состоят из концевых разветвлений чувствительного нервного волокна, внутренней глиальной колбы и наружной соединительнотканной капсулы. Расположены в собственной основе слизистой оболочки и, вероятно, являются Холодовыми рецепторами. Рис. Д.
- 23 Пластинчатые [[Фатера-Пачини]] тельца, *corpacula lamellosa [[Vater-Pacini]]*. Расположены в подкожной основе, имеют длину 2 - 3 мм и состоят из концентрических соединительнотканых пластинок, окружающих осевой цилиндр. Обнаруживаются в мышцах, внутренних органах и являются механорецепторами. Рис. А.
- 24 Тактильные [[Мейсснера]] тельца, *corpacula tactus [[Meissner]]*. Расположены в сосочках дермы. Имеют длину, примерно, 0,1 мм и состоят из ветвящегося безмиелинового афферентного волокна, окруженного поперечно ориентированными осязательными клетками. Рис. А.
- 25 [[Генитальные тельца, *corpacula genitalia*]]. Эллипсоидной формы образования, похожие на колбы Краузе в клиторе, головке полового члена и соске. Рис. Д.
- 26 Тактильные [[Меркеля]] диски, *menisci tactus [[Merkel]]*. Состоят из группы светлых клеток, вокруг ветвления осевого ци-

линдра нервного волокна. Расположены в эпителии. Рис. Г.

- 27 [[Суставные тельца, *corpacula articularid*]]. Разновидность тельца Фатера-Пачини в суставной капсуле.



Рис. А. Микроскопическое строение кожи и подкожной основы

- Рис. Б. Осязательный валик

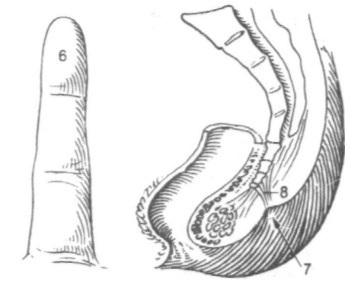


Рис. В. Копчиковая ямка

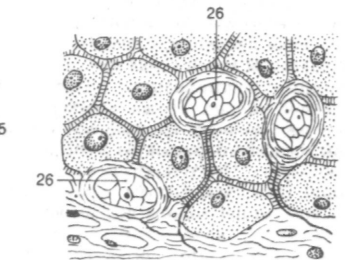


Рис. Г. Тактильные диски

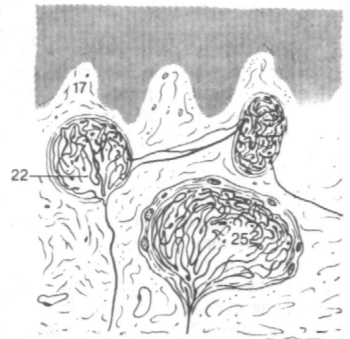


Рис. Д. Инкапсулированные нервные окончания

- 1 **Волосы, pili.** Общий термин для всех видов волос.
- 2 **Пушок, lanugo.** Тонкие, не имеющие мозгового вещества волоски, которые распределены по всему телу, особенно у новорожденного.
- 3 **Волосы головы, capilli.**
- 4 **Брови, supercilia.**
- 5 **Ресницы, cilia.**
- 6 **Борода, barba.**
- 7 **Волосы уха, Tragi.**
- 8 **Волосы ноздрей, vibrissae.**
- 9 **Волосы подмышки, hirci.**
- 10 **Волосы лобка, pubes.**
- II **Фолликул волоса, folliculus pili.** Соединительно-тканно-эпителиальный покров корня волоса. Рис. А.
- 12 **Волосной сосочек, papilla pili.** Состоит из соединительной ткани и заходит в самую нижнюю, расширенную часть корня волоса. Рис. А.
- 13 **Стержень волоса, scapus pili.** Выступает над поверхностью кожи. Рис. А.
- 14 **Корень волоса, radix pili.** Рис. А.
- 15 **Волосная луковица, bulbus pili.** Нижний расширенный конец корня волоса. Рис. А.
- 16 **Мышцы, поднимающие волосы, m. arrectores pilorum.** Пучки неначерченных мышечных волокон, которые идут от середины волосяного фолликула к сосочковому слою дермы. Отсутствуют в области век, бровей, носа, уха, бороды. При сокращении этих **мышц** волосы поднимаются (гусиная кожа), кроме того, славливаются сальные железы, что способствует выделению их секрета. Инн.: симпатические волокна узлов симпатического ствола. Рис. А.
- 17 **Дорожки волос, flumina pilorum.** Упорядоченное расположение волос. Рис. Б.
- 18 **Завихрения волос, vortices pilorum.** Рис. Б.
- 19 **Перекресты волос, cruces pilorum.** Места, в которых волосы, идущие в двух различных направлениях встречаются, а затем расходятся, следуя уже перпендикулярно своей первоначальной ориентации. Рис. Б.
- 20 **Ноготь, unguis.** Расположен на тыльной поверхности дистальной фаланги пальцев. Рис. В, Г.
- 21 **Ложе ногтя, matrix unguis.** Его формируют самые глубокие слои эпидермиса, для которых ноготь служит роговым слоем, а также подлежащая дерма. Участок эпителия ногтевого ложа, на котором лежит корень ногтя является местом его роста и носит название ногтевой матрицы. Рис. Г, Д.
- 22 **Гребешки ногтевого ложа, cristae matrixis unguis.** Продольные складки, которые формируются за счет выпячивания дермы. Рис. Д.
- 23 **Бороздка ногтевого ложа, sulcus matrixis unguis.** В нее заходят латеральные края ногтя. Рис. В.

- 24 **Синус ногтя, sinus unguis.** Глубокая щель, в которую заходит корень ногтя. Рис. Г.
- 25 **Валик ногтя, vallum unguis.** Кожная складка, окружающая ноготь с боков и у его корня. Рис. В, Г.
- 26 **Тело ногтя, corpus unguis.** Рис. В, Г, Д.
- 27 **Корень ногтя, radix unguis.** Часть ногтя, которая скрыта внутри *sinus unguis*. Рис. Г.
- 28 **Луночка, lunula.** Серповидной формы белая полоска, расположенная вблизи проксимального конца ногтя. Ее передний край соответствует дистальной границе ногтевой матрицы - месту, где постоянно происходит процесс размножения и ороговения клеток. Рис. В.
- 29 **Скрытый край, margo occultus.** Проксимальный край ногтя, проникающий внутрь синуса. Рис. Г.

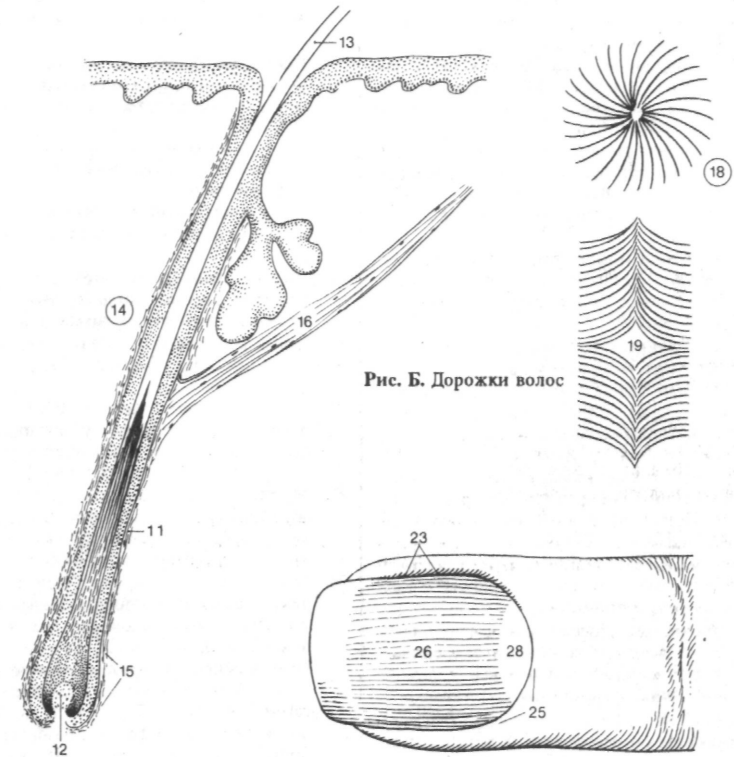


Рис. А. Волосной фолликул

Рис. В. Ноготь

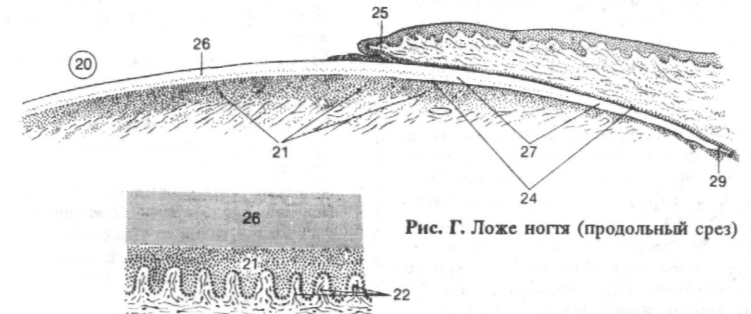


Рис. Г. Ложе ногтя (продольный срез)

Рис. Д. Ложе ногтя (поперечный срез)

- 1 Латеральный край, *margo lateralis*. Расположен под валиком ногтя. Рис. Б.
- 2 Свободный край, *margo liber*. Дистальный край ногтя. Рис. Б.
- 3 Край ногтевого ложа, перионихий, *perionyx*. Выступающий край надногтевой пластинки, который прикрывает проксимальную часть луночки. Рис. А.
- 4 Надногтевая пластинка, эпонихий, *eponychium*. Ее образует роговой слой эпидермиса ногтевого валика, который заходит в синус ногтя и покрывает его корень сверху. Рис. А.
- 5 Подногтевая пластинка, гипонихий, *hyponychium*. Ростковый слой эпидермиса ногтевого ложа, соответствующий луночке и корню. Рис. А.
- 6 Роговой слой ногтя, *stratum comeum unguis*. Ороговевшая часть ногтя. Рис. А.
- 7 Ростковый слой ногтя, *stratum germinativum unguis*. Слой эпителия ногтевого ложа, который сохраняет способность к пролиферации. Рис. А.
- 8 [[Уздечки ногтя, *retinacula unguis*]]. Полоски соединительной ткани, которые следуют от ногтевого ложа к надкостнице дистальной фаланги. Рис. А.
- 9 Железы кожи, *glandulae cutis*. Производные эпидермиса, которые сохраняют с ним тесные взаимоотношения.
- 10 [[Клубочковые железы, *gl. glomiformes*]]. Общий термин для небольших эккринных и крупных апокринных потовых желез.
- 11 Мерокриновые (эккринные) потовые железы, *gl. sudoriferae merocrina (eccrina)*. Разбросаны по всему телу за исключением кожи подмышечных впадин, наружных половых органов и заднего прохода, где расположены апокринные потовые железы. Рис. Д.
- 12 Конечный отдел, *poro terminalis*. Свернутая спиралью, секреторная часть потовой железы, которая расположена в подкожной основе или в глубоком слое дермы. Рис. Д, Е.
- 13 Потовый проток, *ductus sudoriferus*. Имеет форму штопора и открывается на гребнях многослойного плоского ороговевающего эпителия толстой кожи. Рис. Д, Е.
- 14 Потовая пора, *porus sudoriferus*. Отверстие протока потовой железы, расположенное на поверхности кожи. Рис. Д.
- 15 Вокругзаднепроходные железы, *glandulae circumanales*. Крупные апокринные потовые железы вокруг ануса.
- 16 Железы ушной серы, *glandulae ceruminosae*. Апокринные железы, секретирующие протеинсодержащее вещество - ушную серу.
- 17 Сальные железы, *glandulae sebaceae*. Голокриновые железы, которые открываются в волосяные фолликулы. Рис. Е.

- 18 Молочная железа, *mamma*. Грудная железа, которая состоит из железистой ткани, соединительнотканых перегородок и жира. Рис. Г.
- 19 Сосок мелочной железы, *papilla mammae*. Содержит отверстия молочных протоков и большое количество неисчерченных мышечных волокон. Рис. Г.
- 20 Тело молочной железы, *corpus mammae*. Состоит из железистой и окружающей ее жировой ткани.
- 21 Молочная железа, *glandula mammaria*. Железистая ткань женской молочной железы. Рис. Г.
- 22 Латеральный (подмышечный) отросток, *processus lateralis (axillaris)*. Вырост железы, направленный к подмышечной ямке.
- 23 Доли молочной железы, *lobi glandulae mammariae*. Их количество колеблется от 15 до 20. Рис. Г.
- 24 Дольки молочной железы, *lobuli glandulae mammariae*. Отдельные субъединицы в составе каждой доли, отделенные друг от друга соединительной тканью. Рис. Г.
- 25 Млечные протоки, *ductus lactiferi*. От 15 до 20 экскреторных трубочек, входящих в состав долек. Каждая из них имеет диаметр 1,7 - 2,3 мм и открывается на соске. Рис. Г.
- 26 Млечные синусы, *sinus lactiferi*. Расширение млечного протока диаметром 5 - 8 мм вблизи места окончания на соске молочной железы. Рис. Г.
- 27 Околососковый кружок молочной железы, *areola mammae*. Крутая пигментированная область вокруг соска, по поверхности которой диффузно разбросаны небольшие возвышения, соответствующие железам околососкового кружка. Рис. Г.
- 28 Железы околососкового кружка [[железы Монтгомери]], *glandulae areolares* [[*Montgomery*]]. От 10 до 15 апокринных желез в области околососкового кружка молочной железы. Рис. Г.
- 29 Мужская молочная железа, *mamma masculina*. Рудиментарное образование.
- 30 [Добавочные молочные железы, *mammae accessoriae*]. Могут обнаруживаться по ходу онтогенетической "молочной линии". Рис. В.
- 31 Связки, поддерживающие молочную железу, *ligg. suspensoria mammaria*. Тяжи фиброзной ткани от кожи молочной железы к грудной фасции, с которой железа связана тонким слоем рыхлой соединительной ткани. Рис. Г.

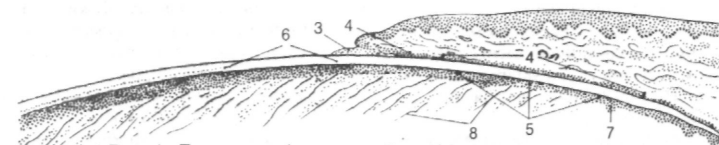


Рис. А. Ложе ногтя (продольный срез)

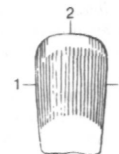


Рис. Б. Ноготь (вид сверху)



Рис. В. Молочная линия



Рис. Д. Потовая железа

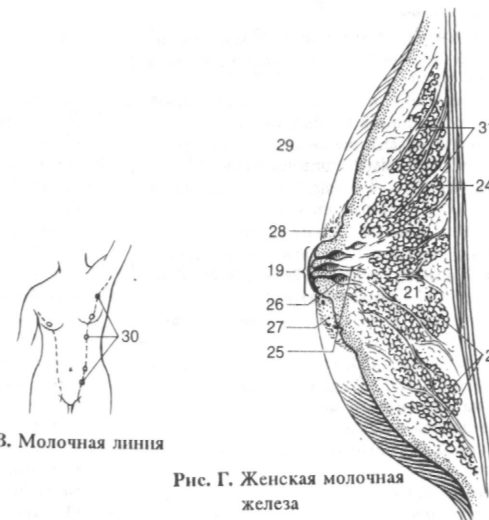


Рис. Г. Женская молочная железа

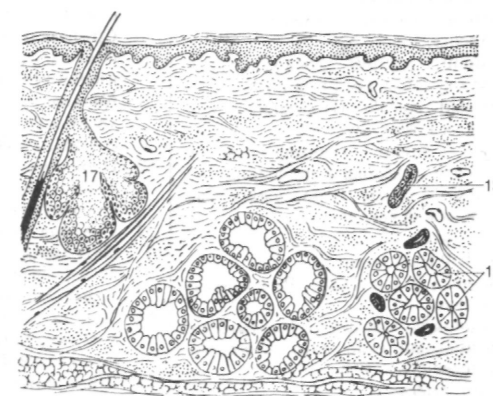


Рис. Е. Железы кожи

- 1 ОБЩИЕ ТЕРМИНЫ, *termini generates*.
- 2 **Вертикальный**, *verticalis*.
- 3 **Горизонтальный**, *horizontalis*.
- 4 **Срединный**, *medianus*. Расположенный по средней линии (в срединной плоскости).
- 5 **Венечный**, *coronalis*. Расположенный в плоскости венечного шва черепа (фронтальной плоскости). Рис. А.
- 6 **Сагиттальный**, *sagittalis*. Расположен в плоскости сагиттального шва черепа. Рис. А.
- 7 **Правый**, *dexter*.
- 8 **Левый**, *sinister*.
- 9 **Поперечный**, *transversalis*. Расположенный под прямым углом к длинной оси тела или его части.
- 10 **Медиальный**, *medialis*. Расположенный ближе к срединной плоскости.
- 11 **Промежуточный**, *intermedius*. Лежит между двумя соседними образованиями.
- 12 **Латеральный**, *lateralis*. Расположенный дальше от срединной плоскости.
- 13 **Передний**, *anterior*. Лежит спереди.
- 14 **Задний**, *posterior*. Расположенный сзади.
- 15 **Вентральный**, *ventralis*. Находящийся ближе к передней стенке живота.
- 16 **Дорсальный**, *dorsalis*. Расположенный ближе к спине.
- 17 **Фронтальный**, лобный, *frontalis*. 1. Относящийся ко лбу. 2. Плоскость, разделяющая тело на переднюю и заднюю части (лобная или венечная плоскость). Рис. А.
- 18 **Затылочный**, *occipitalis*. Принадлежит затылку.
- 19 **Верхний**, *superior*.
- 20 **Нижний**, *inferior*.
- 21 **Краниальный**, *cranialis*. Относящийся или направленный к голове.
- 22 **Каудальный**, *caudalis*. Расположенный ближе к хвосту.
- 23 **Ростральный**, *rostralis*. Расположенный ближе к клюву (областям рта и носа).
- 24 **Верхушечный**, *apicalis*. Относящийся или направленный к верхушке.
- 25 **Назальный**, *basalis*. Направленный к основанию или входящий в его состав.
- 26 **Базиллярный**, *basilaris*. Относящийся или направленный к основанию.
- 27 **Средний**, *medius*.
- 28 **Поперечный**, *transversus*.
- 29 **Продольный**, *longitudinalis*. Расположенный продольно.
- 30 **Осевой**, **аксиальный**, *axialis*. Связанный с осью или имеющий отношение ко второму шейному позвонку.
- 30a **Наружный**, *externus*.
- 30b **Внутренний**, *internus*.
- 31 **Поверхностный**, *superficialis*. Расположенный ближе к поверхности.
- 32 **Глубокий**, *profundus*.
- 33 **Проксимальный**, *proximalis*. Находящийся ближе к туловищу. Рис. Б.
- 34 **Дистальный**, *distalis*. Удаленный от туловища. Рис. Б.
- 35 **Центральный**, *centralis*. Лежит в центре.
- 36 **Периферический**, *peripheralis*. Расположенный дальше от центра.
- 36a **Periphericus**, *peripheria*.
- 37 **Лучевой**, *radialis*. Относящийся или направленный к лучевой кости. Рис. Б.
- 38 **Локтевой**, *ulnaris*. Принадлежащий или направленный к локтевой кости. Рис. Б.
- 39 **Малоберцовый**, *fibularis*. Относящийся к малоберцовой кости или расположенный с одноименной стороны голени. Рис. Б.
- 40 **Большеберцовый**, *tibialis*. Имеющий отношение к большеберцовой кости или расположенный с одноименной стороны голени. Рис. Б.
- 41 **Ладонный**, *palmaris*. Принадлежащий ладони или расположенный на ней. Рис. Б.
- 42 **Ладонный**, *volaris*. Синоним термина "palmaris". Рис. Б.
- 43 **Подошвенный**, *plantaris*. Имеющий отношение к подошве или расположенный на ней. Рис. Б.
- 44 **Сгибатель**, *flexor*. Мышца - сгибатель.
- 45 **Разгибатель**, *extensor*. Мышца, которая производит разгибание в суставе.
- 46 **ОБЛАСТИ И ЧАСТИ ТЕЛА, regiones et partes corporis**.
- 47 **Передняя срединная линия**, *Inea mediana anterior*. Вертикальная линия. По поверхности тела является передним контуром срединной плоскости. Рис. В.
- 48 **Грудная линия**, *Inea sternalis*. Лежит вдоль латерального края грудины. Рис. В.
- 49 **Окологрудная линия**, *Inea parasternalis*. Вертикальная линия, которая идет по середине между грудной и среднеключичной линиями. Рис. В.
- 50 **Среднеключичная линия**, *linea medioclavicularis*. Проходит в вертикальном направлении через середину ключицы. Рис. В.
- 51 **Сосковая линия**, *linea mamillaris*. Проходит через сосок и может соответствовать среднеключичной линии. Рис. В.
- 52 **Передняя подмышечная линия**, *Inea axillaris anterior*. Проходит по переднему краю подмышечной ямки. Рис. В.
- 53 **Средняя подмышечная линия**, *linea axillaris media*. Расположена посередине между передней и задней подмышечными линиями. Рис. В.
- 54 **Задняя подмышечная линия**, *linea axillaris posterior*. Проходит по заднему краю подмышечной ямки. Рис. Б, В.
- 55 **Лопаточная линия**, *linea scapularis*. Проходит в вертикальном направлении через нижний угол лопатки. Рис. Б.
- 56 **Околопозвоночная линия**, *linea paravertebralis*. Соединяет верхушки поперечных отростков позвонков. Определяется только при рентгенографии. Рис. Б.

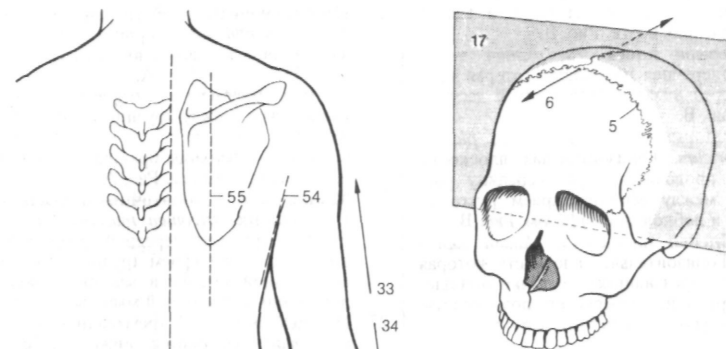


Рис. А. Фронтальная плоскость, проведенная через череп

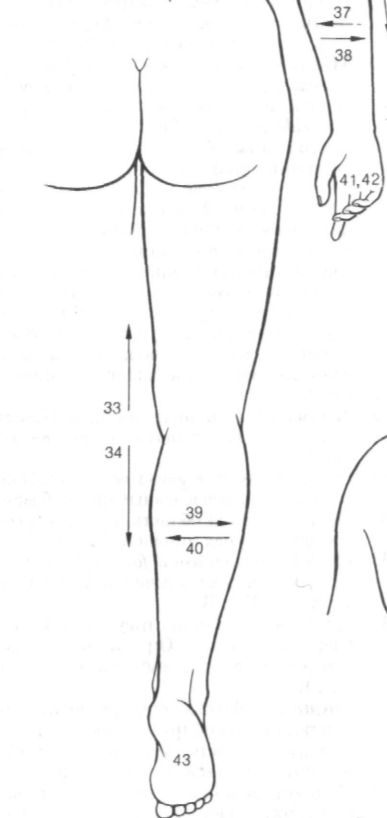


Рис. Б. Координатные линии и направления ориентации (вид сзади)

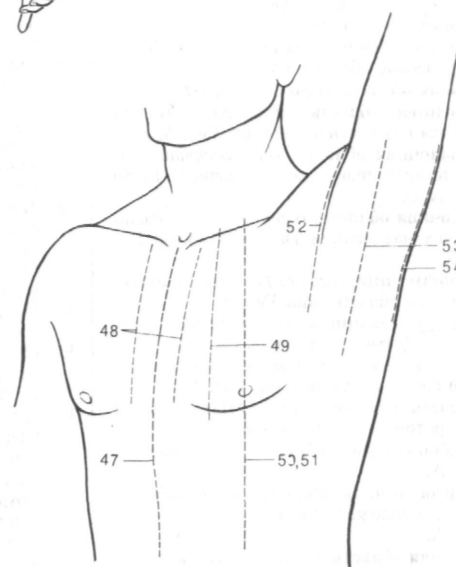


Рис. В. Координатные линии верхней части тела

- 1 Задняя срединная линия, *linea mediana posterior*. Проходит в вертикальном направлении по задней поверхности тела в срединной плоскости. Рис. Б.
- 2 Подреберная плоскость, *planum subcostale*. Поперечная плоскость, которая проходит через нижние края хрящей десятых ребер. Рис. В.
- 3 Транспилорическая плоскость, *planum transpyloricum*. Горизонтальная плоскость, которая проводится через середину расстояния между верхним краем рукоятки грудины и лобковым симфизом. Рис. В.
- 4 Надгребневая плоскость, *planum suprasternale*. Горизонтальная плоскость, которая проходит через наивысшие точки подвздошных гребней. Пересекает позвоночный столб на уровне остистого отростка L 4. Рис. В.
- 5 Межгребневая плоскость, *planum intertuberculare*. Поперечная плоскость, которая проводится через подвздошные бугорки. Рис. В.
- 6 Межостевая плоскость, *planum interspinale*. Поперечная плоскость, которая проходит через верхние передние подвздошные ости. Рис. В.
- 7 Предподмышечная линия, *linea praeaxillaris*. Альтернативный термин передней подмышечной линии.
- 8 Послеподмышечная линия, *linea postaxillaris*. Альтернативный термин задней подмышечной линии.
- 9 Области головы, *regiones capitis*. Топографические области головы.
- 10 Лобная область, *regio frontalis*. Рис. А.
- 11 Теменная область, *regio parietalis*. Находится над теменной костью. Рис. А, Б.
- 12 Затылочная область, *regio occipitalis*. Соответствует границам затылочной кости. Рис. А, Б.
- 13 Височная область, *regio temporalis*. Расположена над чешуей височной кости. Рис. А, Б.
- 14 Области лица, *regiones faciales*. Топографическая область лица. Рис. А.
- 15 Область глазницы, *regio orbitalis*. Соответствует входу в глазницу. Рис. А.
- 16 Область носа, *regio nasalis*. Включает в свой состав наружный нос. Рис. А.
- 17 Область рта, *regio oralis*. Находится вокруг ротового отверстия. Рис. А.
- 18 Подбородочная область, *regio mentalis*. Рис. А.
- 19 Подглазничная область, *regio infraorbitalis*. Расположена ниже входа в глазницу. Рис. А.
- 20 Щечная область, *regio buccalis*. Рис. А.
- 21 Скуловая область, *regio zygomatica*. Рис. А.
- 22 Области шеи, *regiones cervicales*. Топографические области шеи.
- 23 Передняя область шеи, (передний треугольник шеи), *regio cervicalis anterior (trigonum cervicale anterius)*. Находится между средней линией и грудино-ключично-сосцевидной мышцей.
- 24 Поднижнечелюстной треугольник, *trigonum submandibulare*. Ограничен брюшками двубрюшной мышцы и нижним краем тела нижней челюсти. Рис. А.
- 25 Сонный треугольник, *trigonum caroticum*. Расположен между грудино-ключично-сосцевидной мышцей, задним брюшком *m. digastricus* и верхним брюшком лопаточно-подъязычной мышцы. Рис. А.
- 26 Мышечный (лопаточно-трахеальный) треугольник, *trigonum musculare (omotracheale)*. Ограничен передней срединной линией, передним краем грудино-ключично-сосцевидной мышцы и верхним брюшком лопаточно-подъязычной мышцы. Рис. А.
- 27 Подподбородочный треугольник, *trigonum submentale\**. Находится ниже подбородка между подъязычной костью и двумя передними брюшками *nudigastrius*. Рис. А.
- 28 Грудино-ключично-сосцевидная область, *regio sternocleidomastoidea*. Соответствует одноименной мышце. Рис. А.
- 29 Малая надключичная ямка, *fossa supraclavicularis minor*. Углубление между грудинной и ключичной головками *m. sternocleidomastoideus*. Рис. А.
- 30 Латеральная область шеи (задний треугольник шеи), *regio cervicalis lateralis (trigonum cervicale posterius)*. Находится между ключицей, передним краем трапециевидной и задним краем грудино-ключично-сосцевидной мышц. Рис. А.
- 31 Лопаточно-ключичный треугольник (большая надключичная ямка), *trigonum omoclaviculare (fossa supraclavicularis major)*. Расположен между ключицей, нижним брюшком лопаточно-подъязычной и грудино-ключично-сосцевидной мышцами. Рис. А.
- 32 Задняя область шеи (выяная область), *regio cervicalis posterior (regio nuchalis)*. Рис. Б.
- 33 Области груди, *regiones pectorales*. Общий термин для перечисленных ниже областей:
- 34 Предгрудинная область, *regio presternalis*. Расположена над грудиной. Рис. В.
- 35 Подключичная ямка, *fossa infraclavicularis*. Соответствует ключично-грудному треугольнику. Рис. В.
- 36 Ключично-грудной треугольник, *trigonum claviopectoriale*. Ограничен дельтовидной, малой грудной мышцами и ключицей. Рис. В.
- 37 Грудная область, *regio pectoralis*. Соответствует большой грудной мышце. Рис. В.
- 38 Грудная область, *regio mammaria*. Соответствует молочной железе. Рис. В.
- 39 Подгрудная область, *regio inframammaria*. Расположена снизу от *regio mammaria*. Рис. В.
- 40 Подмышечная область, *regio axillaris*. Рис. В.
- 41 Подмышечная ямка, *fossa axillaris*. Рис. В.

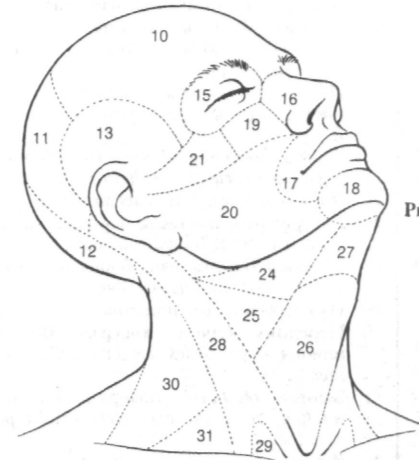


Рис. А. Области головы и шеи

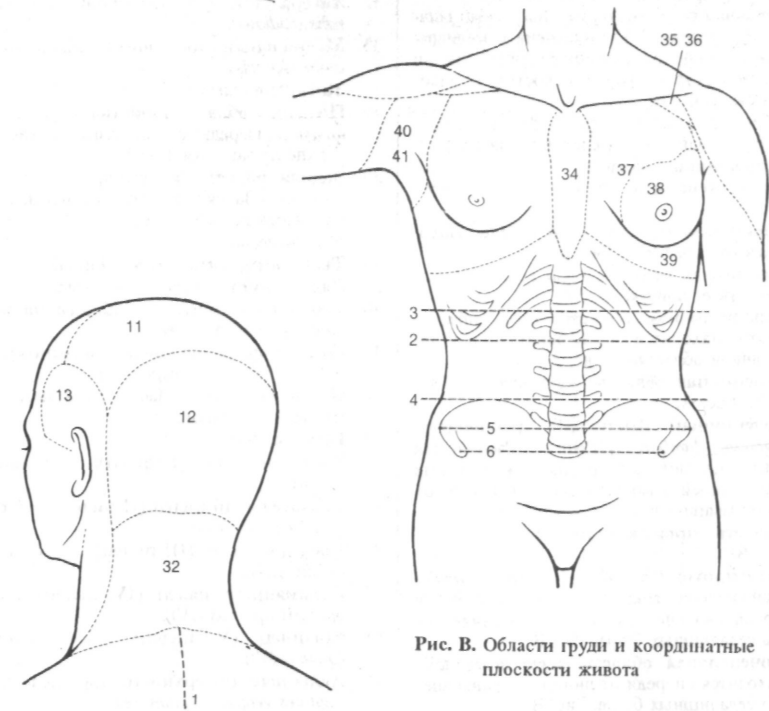


Рис. В. Области груди и координатные плоскости живота

Рис. Б. Области головы и шеи

- 1 ОБЛАСТИ ЖИВОТА, *regimes abdominales*.
- 2 Подреберная область (подреберье), *regio hypochondriaca (hypochondrium)*. Находится с латеральной стороны от среднелючичной линии между *regio pectoralis* и транспилорической плоскостью. Рис. Б.
- 3 Надчревная область (надчревь), *regio epigastrica (epigastrium)*. Расположена с медиальной стороны от среднелючичной линии между *regio pectoralis* и транспилорической плоскостью. Рис. Б.
- 4 Боковая область, *regio lateralis*. Расположена с латеральной стороны от среднелючичной линии между транспилорической и межреберной плоскостями. Рис. Б.
- 5 Пупочная область, *regio umbilicalis*. Находится с медиальной стороны от среднелючичной линии между транспилорической и межреберной плоскостями. Рис. Б.
- 6 Паховая область, *regio inguinalis*. Находится с латеральной стороны от среднелючичной линии между межреберной плоскостью и паховой связкой. Рис. Б.
- 7 Лобковая область (подчревь), *regio pubica (hypogastrum)*. Расположена с медиальной стороны от среднелючичной линии между межреберной плоскостью и паховой связкой. Рис. Б.
- 8 Области спины, *regiones dorsales*. Находятся на задней поверхности туловища.
- 9 Позвоночная область, *regio vertebralis*. Расположена над позвоночным столбом. Рис. А.
- 10 Крестцовая область, *regio sacralis*. Находится над крестцом. Рис. А.
- 11 Лопаточная область, *regio scapularis*. Соответствует лопатке. Рис. А.
- 12 Подлопаточная область, *regio infrascapularis*. Находится между лопаточной и поясничной областями. Рис. А.
- 13 Поясничная область, *regio lumbaris (lumbalis)*. Рис. А.
- 14 Поясничный [[петитов]] треугольник, *trigonum lumbare [[Petiti]]*. Расположен выше подвздошного гребня между краями широчайшей мышцы спины и наружной косой мышцы живота.
- 15 Область промежности, *regio perinealis*. Рис. В.
- 16 Заднепроходная область, *regio analis*. Расположена вокруг заднего прохода и ограничена спереди линией, соединяющей оба седалищных бугра. Рис. В.
- 17 Мочеполовая область, *regio urogenitalis*. Находится спереди от линии, соединяющей оба седалищных бугра. Рис. В.
- 18 ОБЛАСТИ ВЕРХНЕЙ КОНЕЧНОСТИ, *regiones membri superioris*.
- 19 Дельтовидная область, *regio deltoidea*. Соответствует одноименной мышце. Рис. А, Б.
- 20 Плечо, *brachium*.
- 21 Передняя область (поверхность) плеча, *regio (facies) brachialis anterior*. Рис. Б.
- 22 Задняя область (поверхность) плеча, *regio (facies) brachialis posterior*. Рис. А.
- 23 Локоть, *cubitus*.
- 24 Передняя локтевая область (поверхность), *regio (facies) cubitalis anterior*. Рис. Б.
- 25 Задняя локтевая область (поверхность), *regio (facies) cubitalis posterior*. Рис. А.
- 26 Локтевая ямка, *fossa cubitalis*. Рис. Б.
- 27 Латеральная локтевая борозда, *sulcus Bicipitalis lateralis (radialis)*. Рис. Б.
- 28 Медиальная локтевая борозда, *sulcus Bicipitalis medialis (ulnaris)*. Рис. Б.
- 29 Предплечье, *antebrachium*.
- 30 Передняя область (поверхность) предплечья, *regio (facies) antebrachialis anterior*. Рис. А, Б.
- 31 Задняя область (поверхность) предплечья, *regio (facies) antebrachialis posterior*. Рис. А, Б.
- 32 Латеральный (лучевой) край, *margo lateralis (radialis)*.
- 33 Медиальный (локтевой) край, *margo medialis (ulnaris)*.
- 34 Запястье, *carpus*.
- 35 Передняя область запястья, *regio carpalis anterior*. Передняя или сгибательная поверхность запястья. Рис. А.
- 36 Задняя область запястья, *regio carpalis posterior*. Задняя или разгибательная поверхность запястья. Рис. Б.
- 37 Кисть, *manus*.
- 38 Тыл кисти, *dorsum manus*. Рис. Б.
- 39 Ладонь кисти, *palma manus*. Рис. А.
- 40 Тенар (возвышение большого пальца), *thenar (eminentia thenaris)*.
- 41 Гипотенар (возвышение мизинца), *hypothear (eminentia hypothearis)*.
- 42 Пясть, *metacarpus*. Часть кисти между запястьем и пальцами.
- 43 Пальцы, *digiti*.
- 44 Большой палец (I палец), *pollex (digitus primus (I))*.
- 45 Указательный палец (II палец), *index (digitus secundus (II))*.
- 46 Средний палец (III палец), *digitus medius (tertius (III))*.
- 47 Безымянный палец (IV палец), *digitus anularis (quartus (IV))*.
- 48 Мизинец (V палец), *digitus minimus (quintus (V))*.
- 49 Ладонные поверхности пальцев, *facies digitales ventrales (palmares)*.
- 50 Тыльные поверхности пальцев, *facies digitales dorsales*.

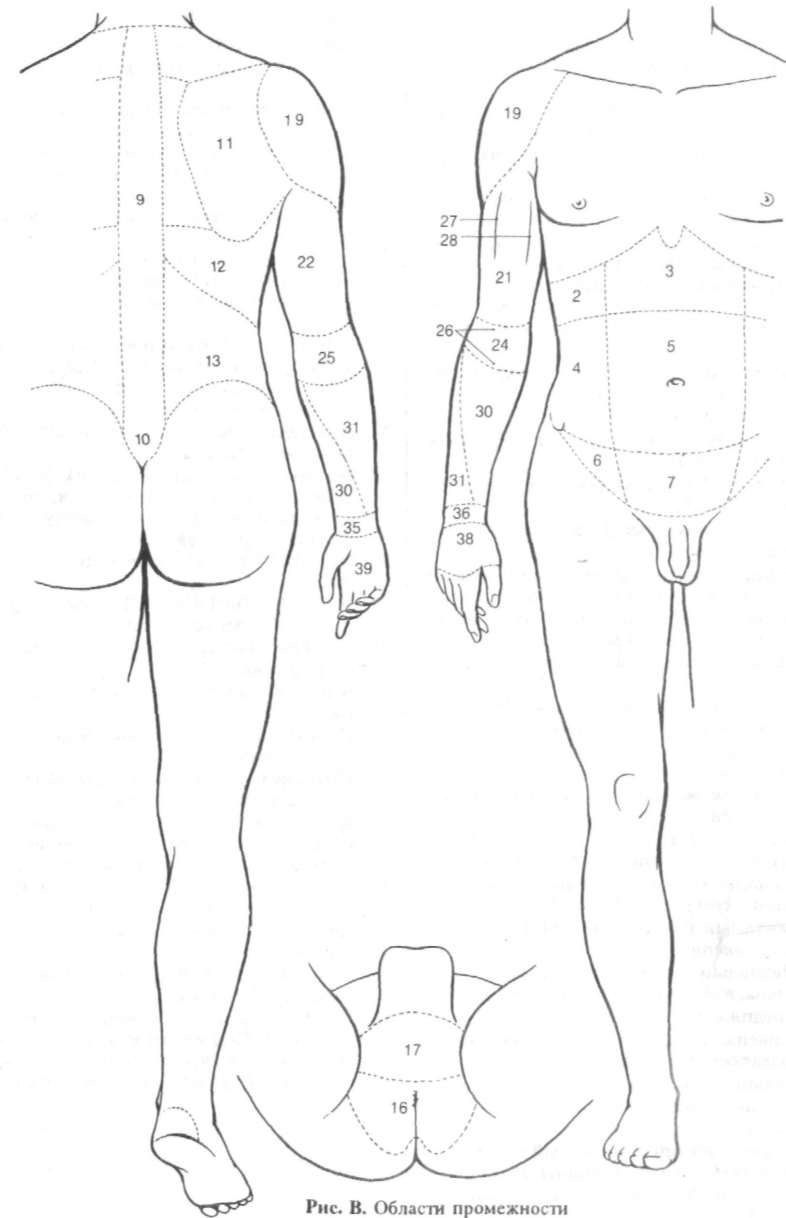


Рис. А. Области спины и задней поверхности верхней конечности

Рис. В. Области промежности

Рис. Б. Области живота и верхней конечности (вид спереди)



- 1 Области нижней конечности, *regiones membri inferioris*.
- 2 Ягодичная область, *regio glutealis*. Соответствует ягодичным мышцам. Рис. А.
- 3 Ягодичная борозда, *sulcus glutealis*. Проходит снаружи большой ягодичной мышцы и при разогнутом тазобедренном суставе ограничивает ягодицу снизу. Рис. А.
- 3а Область тазобедренного сустава, *coxa (regio coxalis)*.
- 4 Бедро (область бедра), *femur (regio femoralis)*.
- 5 Передняя область (поверхность) бедра, *regio (facies) femoralis anterior*. Рис. Б.
- 6 Бедренный треугольник, *trigonum femorale*. Ограничен паховой связкой, портняжной и длинной приводящей мышцами. Рис. Б.
- 7 Задняя область (поверхность) бедра, *regio (facies) femoralis posterior*. Рис. А.
- 8 Колено, *genus*.
- 9 Передняя область колена, *regio genus anterior*. Рис. Б.
- 10 Задняя область колена, *regio genus posterior*. Рис. А.
- 11 Подколенная ямка, *fossa poplitea*. Рис. А.
- 12 Голень, *crus*.
- 13 Передняя область (поверхность) голени, *regio (facies) cruralis anterior*. Рис. Б.
- 14 Задняя область (поверхность) голени, *regio (facies) cruralis posterior*. Рис. А.
- 15 Икра (икроножная область), *sura (regio suralis)*. Рис. А.
- 16 Передняя и задняя голеностопные области, *regiones talocrurales anterior et posterior*.
- 17 Стопа, *pes*.
- 18 Пяточная область (пятка), *calx (regio calcaneal)*. Рис. А.
- 19 Тыл стопы (тыльная область), *dorsum (regio dorsalis) pedis*. Рис. Б.
- 20 Подошва стопы (подошвенная область), *planta (regio plantaris) pedis*. Рис. А.
- 21 Латеральный (малоберцовый) край стопы, *margo lateralis (fibularis) pedis*.
- 22 Медиальный (большеберцовый) край стопы, *margo medialis (tibialis) pedis*.
- 23 Предплюсна, *tarsus*.
- 24 Плюсна, *metatarsus*. Расположена между предплюсной и пальцами.
- 25 Пальцы, *digiti*.
- 26 Большой палец (I палец), *hallux (digitus primus (I))*.
- 27 Второй, третий и четвертый пальцы, *digiti secundus, tertius, quartus (II, III, IV)*.
- 28 Мизинец (V палец), *digitus minimus (quintus (V))*.
- 28а Подошвенная поверхность пальцев, *fa- des digitalis plantaris*.
- 28б Тыльная поверхность пальцев, *facies di- gitalis dorsalis*.

- 29 ОСТЕОЛОГИЯ (учение о костях), *osteologia*.
- 30 СИСТЕМА СКЕЛЕТА, *systema skeletale*.
- 31 Костная часть, *pars ossea*.
- 32 Периост (надкостница), *periosteum*. Наружный покров костей.
- 33 Эндост, *endosteum*. Покрывает полости в губчатой кости, а также полости, вмещающие костный мозг и гаверсовы каналы в костях, состоящих из компактной костной ткани.
- 34 **Корковое вещество**, *substantia corticalis*. Наружный слой, который формирует наружные пластинки кости.
- 35 Компактное вещество, *substantia compacta*. Плотное костное вещество, состоящее из остеонов.
- 36 Губчатое (трабекулярное) вещество, *substantia spongiosa (trabecularis)*. Характеризуется наличием полостей, заполненных костным мозгом.
- 37 Хрящевая часть, *pars cartilaginosa*. Хрящевая часть скелета.
- 38 Надхрящница (перихондрий), *perichondrium*. Покрывает хрящ снаружи, состоит из соединительной ткани и участвует в образовании хрящевой ткани.
- 39 ОСЕВОЙ СКЕЛЕТ, *skeleton axiale*. Скелет туловища.
- 40 ДОБАВОЧНЫЙ СКЕЛЕТ, *skeleton appendicular*. Скелет конечностей.
- 41 Длинная кость, *os longian*. Например, кости голени.
- 42 Короткая кость, *os breve*. Например, пястные кости.
- 43 Плоская кость, *os planum*. Например, теменная кость.
- 44 Ненормальная кость, *os irregulare*. Например, крыловидная кость.
- 45 Воздухоносная кость, *os pneumaticum*. Содержит заполненные воздухом полости (ячейки). Например, решетчатая кость.
- 46 Эпифиз, *epiphysis*. Конец длинной кости. Его рост ограничен во времени.
- 47 Диафиз, *diaphysis*. Средняя часть трубчатой кости.
- 48 Мегафиз, *metaphysis*. Область кости между эпифизом и диафизом.
- 49 Эпифизарный хрящ, *cartilago epiphysialis*. Расположен между диафизом и эпифизом. За счет его способности к росту происходит увеличение длины кости.

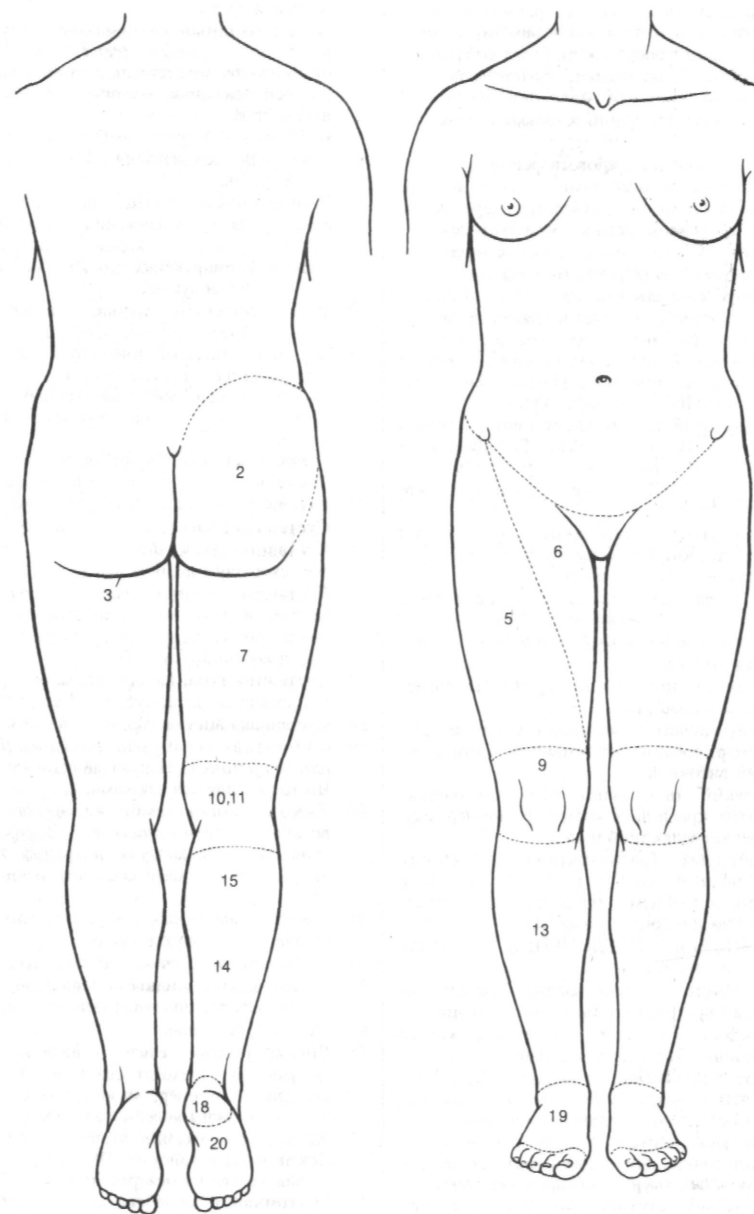


Рис. А. Области нижней конечности (вид сзади)

Рис. Б. Области нижней конечности (вид спереди)

- 1 Эпифизарная линия, *linea epiphyscidis*. Определяется на рентгенограммах и срезах кости. Соответствует эпифизарному хрящу.
- 2 Суставная поверхность, *facies articularis*.
- 3 Костномозговая полость, *cavitas medullaris*.
- 4 Желтый костный мозг, *medulla osseum flava*. Содержит много жировых клеток.
- 5 Красный костный мозг, *medulla osseum rubra*. Участвует в кроветворении.
- 6 Питательное отверстие, *foramen nutriens*. Макроскопические отверстия, через которые проходят сосуды к костному мозгу.
- 7 Питательный канал, *canalis nutriens*. Начинается от питательного отверстия.
- 8 **Центр окостенения**, *centrum ossificationis*. Зона костеобразования в хрящевой закладке кости (энхондральное окостенение).
- 9 Первичный центр окостенения, *centrum ossificationis primarium*. Расположен в диафизе (диафизарное окостенение).
- 10 Вторичный центр окостенения, *centrum ossificationis secundarium*. Развивается в эпифизе (эпифизарное окостенение).
- 11 АРТРОЛОГИЯ (учение о соединении костей), *artrologia*
- 12 Фиброзные соединения, *articulationes fibrosae*. Обычно не имеют признаков присутствия суставной полости.
- 13 Синдесмозы, *syndesmosis*. Разновидность фиброзных соединений. Представлены межкостными связками или перепонками.
- 14 **Шов**, *sutura*.
- 15 Зубчатый шов, *sutura serrata*. Например, лямбдовидный шов.
- 16 Чешуйчатый шов, *sutura squamosa*. Например, соединение теменной кости с чешуей височной.
- 17 Плоский шов, *sutura plana*. Соединение ровных краев двух костей. Например, скуловерхнечелюстной шов.
- 18 Схиндилез (расщепление), *schindylesis*. Соединение между выемкой на одной кости и гребнем - на другой. Например, клиновидно-сошниковый шов.
- 19 **ХРЯЩЕВЫЕ СОЕДИНЕНИЯ**, *articulationes cartilagineae*.
- 20 Синхондроз, *synchondrosis*. Соединение костей при помощи гиалинового хряща.
- 21 Симфиз, *symphysis*. Соединение костей при помощи фиброзного хряща.
- 22 **СИНОВИАЛЬНЫЕ СОЕДИНЕНИЯ (СУСТАВЫ)**, *articulationes synoviales*. Прерывное, подвижное соединение костей.
- 23 Простой сустав, *articulatio simplex*. Образован только двумя суставными поверхностями. Например, тазобедренный сустав.
- 24 **Сложный сустав**, *articulatio composita (complexa)*. Имеет более двух суставных поверхностей. Например, локтевой сустав.
- 25 Плоский сустав, *articulatio plana*. Образован плоскими суставными поверхностями.
- 26 Шаровидный (чашеобразный) сустав,
- articulatio sphaeroidea (cotylica)*. Например, плечевой сустав.
- 27 Эллипсоидный (мышцелковый) сустав, *articulatio ellipsoidea (condylaris)*. Имеет овальную форму суставных поверхностей и две оси движения. Например, лучезапястный сустав.
- 28 **Блоковидный сустав**, *articulatio ginglymus*. Имеет одну ось движения. Например, локтевой сустав.
- 29 Мыщелковый сустав, *articulatio bicondylaris*. Одна ось движения в этом сочленении (основная) проходит поперек, другая - вдоль формирующих его костей. Например, коленный сустав.
- 30 Цилиндрический сустав, *articulatio trochoidea*. Имеет одну ось движения. Например, проксимальный лучелоктевой сустав.
- 31 Седловидный сустав, *articulatio sellaris*. Имеет две оси движения. Например, пястно-пястный сустав большого пальца кисти.
- 32 **[[Овоидный сустав, *articulatio ovoidalis*]].** Имеет изогнутые суставные поверхности.
- 33 **Суставной хрящ**, *cartilage articularis*.
- 34 Суставная полость, *cavitas articularis*.
- 35 Суставной диск, *discus articularis*. Разделяет суставную полость на две части.
- 36 **Суставной мениск**, *meniscus articularis*. Состоит из волокнистой хрящевой ткани и имеет форму полумесяца. Например, мениски коленного сустава.
- 37 Суставная губа, *labrum articularis*. Хрящевая кромка по краю суставной впадины.
- 38 Суставная капсула, *capsula articularis*.
- 39 Фиброзная мембрана, *membrana fibrosa (stratum fibrosum)*. Наружный слой капсулы. Часто укрепляется связками.
- 40 Синовиальная мембрана, *membrana synovialis (stratum synoviale)*. Внутренний слой суставной капсулы, покрытый эпителиоидными клетками соединительной ткани.
- 41 **Синовиальная складка**, *plica synovialis*. Выступает в суставную полость.
- 42 **Синовиальные ворсинки**, *villi synoviales*.
- 43 Синовиальная жидкость (синовия), *synovia*. Выделяется синовиальной мембраной.
- 44 **Связки**, *ligamenta*.
- 45 Внекапсульные связки, *ligamenta extracapsularia*. Проходят снаружи суставной капсулы. Например, малоберцовая коллатеральная связка коленного сустава.
- 46 Капсульные связки, *ligamenta capsularia*. Лежат внутри капсулы. Например, коллатеральные связки межфаланговых суставов.
- 47 Внутрикапсульные связки, *ligamenta intracapsularis*. Лежат в полости сустава. Например, крестообразные связки коленного сустава.

- 1 **МИОЛОГИЯ**, *myologia*. Учение о мышцах.
- 2 **Мышца**, *musculus*.
- 3 Головка, *caput*.
- 4 Брюшко, *venter*.
- 5 Веретенообразная мышца, *m. fusiformis*.
- 6 Квадратная мышца, *m. quadratus*.
- 7 Треугольная мышца, *m. triangularis*.
- 8 Одноперистая мышца, *m. unipennatus*. Мышечные волокна расположены по одну сторону от сухожилия.
- 9 Двуперистая мышца, *m. bipennatus*. Мышечные волокна расположены с двух сторон от сухожилия.
- 10 Многоперистая мышца, *m. multipennatus*. Мышечные волокна сложно переплетаются между собой и подходят к сухожилию с нескольких сторон.
- 11 **Сфинктер**, *m. sphincter*.
- 12 **Диллятор**, *m. dilator (dilator)*.
- 13 Крестовидная мышца, *m. cruciatus*. Образована перекрещивающимися пучками волокон.
- 14 **[[Суставная мышца, *nuarticularis*]].** Прикрепляется к капсуле сустава.
- 15 Скелетная мышца, *m. skeleti*. В отличие от кожной мышцы прикрепляется только к костям.
- 16 Кожная мышца, *m. cutaneus*.
- 17 Сухожилие, *tendo*.
- 18 Влагалище сухожилия, *vagina tendinis*. Содержит синовиальную жидкость, снижающую трение при движении сухожилия.
- 19 Фиброзный слой, *stratum fibrosum*. Наружный, соединительнотканый слой влагалища сухожилия.
- 20 Синовиальный слой *stratum synoviale*. Внутренний, гладкий слой влагалища сухожилия, клетки которого секретируют синовиальную жидкость.
- 20а Синовиальное влагалище сухожилия, *vagina synovialis tendinis*.
- 21 Мезотендиний, *mesotendineum*. Состоит из двух листов синовиального слоя, между которыми проходят сосуды к сухожилию.
- 22 Перитендиний, *peritendineum*. Покрывает сухожилие мышцы.
- 23 Апоневроз, *aponeurosis*. Плоское сухожилие мышцы.
- 23а Эпимизий, *epimysium*. Фиброзный покров всей мышцы.
- 24 Перимизий, *perimysium*. Соединительнотканые прослойки, отграничивающие пучки мышечных волокон.
- 25 Эндомизий, *endomysium*. Покрывает отдельные мышечные волокна.
- 26 Фасция - листок соединительной ткани вокруг одной или нескольких мышц.
- 26а Поверхностная фасция, *fascia superficialis*. См. стр. 409.
- 26б Глубокая фасция, *fascia profunda*.
- 27 Сухожильная перемычка, *intersecro tendinea*.
- 27а Промежуточное сухожилие, *undo intermedius*.
- 28 Сухожильная дуга, *arcus tendyneus*. Место начала мышечных волокон.
- 29 Блок мышцы, *trochlea museulans*. Изменяет направление хода сухожилия и служит для него опорой. Например, сухожилие длинного сгибателя большого пальца стопы у опоры таранной кости.
- 30 **СИНОВИАЛЬНЫЕ СУМКИ**, *bursae synoviales*.
- 31 Подкожная синовиальная сумка, *bursa [synovialis] subcutanea*. Расположена под кожей.
- 32 Подмышечная синовиальная сумка, *bursa [synovialis] submuscularis*. Находится под мышцей.
- 33 Подфасциальная синовиальная сумка, *[bursa synovialis] subfascialis*. Расположена под фасцией.
- 34 Подсухожильная синовиальная сумка, *bursa [synovialis] subtendinea*. Находится под сухожилием мышцы.
- 35 **СПЛАНХНОЛОГИЯ**, *splanchnologia*. Учение о внутренних органах.
- 36 **ОБЩАЯ НОМЕНКЛАТУРА** *nomina generalia*.
- 37 Белочная оболочка, *tunica albuginea*. Состоит из плотной соединительной ткани белого цвета.
- 38 Фиброзная оболочка, *tunica fibrosa*. Тонкий соединительнотканый слой.
- 39 Адвентициальная оболочка, *tunica adventicia*. Наружная оболочка внутренних органов.
- 40 Слизистая оболочка, *tunica mucosa*. Внутренняя оболочка полого органа.
- 41 Эпителий слизистой оболочки, *epithelium mucosae*. Слой эпителиальных клеток на поверхности слизистой оболочки.
- 42 Собственная пластинка слизистой оболочки, *lamina propria mucosae*. Слой рыхлой волокнистой соединительной ткани, продолжающийся до мышечной пластинки слизистой оболочки.
- 43 Мышечная пластинка слизистой оболочки, *lamina muscularis mucosae*. Слой гладких мышечных волокон между собственной пластинкой слизистой оболочки и подслизистой основой, при сокращении которого слизистая оболочка собирается в складки.
- 44 Подслизистая основа, *tela submucosa*. Лежит между мышечной пластинкой слизистой оболочки и *tunica muscularis*. Содержит коллагеновые и эластические волокна, кровеносные и лимфатические сосуды.
- 45 Мышечная оболочка, *tunica muscidaris*. Состоит из двух слоев гладких мышц.
- 46 Круговой слой, *stratum circulare*.
- 47 **Продольный слой**, *stratum longitudinale*.
- 48 Серозная оболочка, *tunica serosa*. Блестящая (из-за гладкой поверхности) наружная оболочка ряда внутренних органов.

- 1 Подсерозная основа, *tela subserosa*. Соединительнотканый слой, расположенный под мезотелием.
- 2 Паренхима, *parenchima*. Функционально специфические элементы органа.
- 3 Строма, *stroma* Соединительнотканый остов органа.
- 4 Железа, *glandula*.
- 5 Доля, *lobus*,
- 6 Долька, *lobulus*.
- 7 Слизистая железа, *glandula mucosa*.
- 8 Серозная железа, *glandula serosa* Вырабатывает водянистый секрет.
- 9 Серозно-слизистая железа, *glandula seromucosa* Смешанная железа, которая вырабатывает секрет серозного и слизистого характера.
- 10 АНГИОЛОГИЯ, *angiologia* Учение о сосудах.
- 11 Артериоло-венулярный анастомоз, *anastomosis arterioloovenularis (arteriovenosa)*. Прямое соединение между артерией и веной.
- 12 Артерия, *arteria*
- 13 Питательная артерия, *arteria nutricia (nutrients)*. Обеспечивает ткани питательными веществами.
- 14 Артериола, *arteriola*. Небольшая артерия, которая продолжается в капиллярную сеть.
- 15 Артериальный круг, *circulus arteriosus*. Образуется анастомозирующими между собой артериями.
- 16 Сосудистый круг, *circulus vasculosus*.
- 17 Цистерна, *cisterna* Расширение лимфатического сосуда.
- 18 Кровь. *Haema (nema)*.
- 19 Лимфа. *Lympha*.
- 20 Нервы сосудов, *nervi vasorum*. Иннервируют стенку кровеносного сосуда.
- 21 Лимфатический узел, *nodus lymphaticus (lymphonodus)*.
- 22 Лимфатический узелок (фолликул), *nodus (folliculus) typhancus*. Место концентрации лимфоцитов.
- 23 Лимфатическое сплетение, *plexus lymphaticus*.
- 24 Сосудистое сплетение, *plexus vasculosus*.
- 25 Венозное сплетение, *plexus venosus*.
- 26 Артериальное сплетение, *plexus arteriosum*.
- 27 Чудесная сеть, *rete mirabile*. Две капиллярные сети, следующие одна за другой.
- 28 Суставная сосудистая сеть, *rete vasculosum articulare*. Расположена вокруг сустава.
- 29 Венозная сеть, *rete venosum*.
- 30 Венозный синус, *sinus venosus*. Участок венозного русла, не имеющий типичной для венозного сосуда стенки.
- 31 Наружная оболочка, *tunica externa*. Наружный слой стенки кровеносного сосуда.
- 32 Внутренняя оболочка, *tunica intima*. Внутренний слой стенки кровеносного сосуда.
- 33 Средняя оболочка, *tunica media* Средний слой стенки кровеносного сосуда.
- 34 Клапан, *valva* Широкая заслонка.
- 35 Лимфатический клапан, *valva tympatica*
- 36 Венозный клапан, *valva venosa*
- 37 Анастомотический сосуд, *vas anastomoticum*.
- 38 Капилляр, *vas capillare*.
- 39 Коллатеральный сосуд, *vas collateralis*
- 40 Лимфатический сосуд, *vas lymphaticum*.
- 41 Синуоидальный сосуд, *vas sinusoidum*. Специальный тонкостенный сосуд с широким просветом.
- 42 Сосуды сосудов, *vasa vasorum*. Кровоснабжают стенку крупного кровеносного сосуда.
- 43 Вена, *vena*
- 44 Сопровождающая вена, *vena comitans*
- 45 Кожная вена, *vena cutanea*
- 46 Эмиссарная вена, *vena emissaria* Соединяет синусы твердой оболочки головного мозга с наружными венами головы.
- 47 Глубокая вена, *v. profunda*. Находится под фасцией.
- 48 Поверхностная вена, *v. superficialis*. Проходит под кожей снаружи от поверхностной фасции.
- 49 Венула, *venula*. Небольшой по калибру посткапиллярный сосуд.
- 50 ЦЕНТРАЛЬНАЯ НЕРВНАЯ СИСТЕМА, *systema nervosum centrale*. Состоит из головного и спинного мозга.
- 51 Серое вещество [ядра и столбы], *substantia grisea [nuclei et columnae]*. Состоит из скопления тел нейронов. Его серый цвет обусловлен содержанием относительно мало количества миелина.
- 52 Белое вещество (пуш и пучки), *substantia alba [tractus et fasciculi]*.
- 53 Ретикулярная формация (вещество), *formatio (substantia) reticularis*. Не имеющая четких границ область мозга, которая состоит из нейронов и переплетений нервных волокон. Оказывает влияние на движения, кровообращение, дыхание, чередование сна и бодрствования.
- 54 Студенистое вещество, *substantia gelatinosa* Богатая глияльными элементами слабо окрашенная зона на верхушке заднего рога спинного мозга. Относится к афферентным проводящим путям.
- 55 Эпендима, *ependima*. Клеточный покров полостей центральной нервной системы.

- 1 ПЕРИФЕРИЧЕСКАЯ ЧАСТЬ (ПЕРИФЕРИЧЕСКАЯ НЕРВНАЯ СИСТЕМА), *pars periferica (systema nervosum periphericum)*. Начинается от поверхности головного и спинного мозга.
- 2 Нерв, *nervus*.
- 3 Эндоневрий, *endoneurium*. Тонкий соединительнотканый футляр, который прикрепляется непосредственно к базальной мембране отдельных нервных волокон.
- 4 Периневрий, *perineurium*. Соединительнотканная оболочка пучка нервных волокон.
- 5 Эпиневрй, *epineurium*. Наружная соединительнотканная оболочка нерва.
- 6 Чувствительные (афферентные) нервные волокна, *neurofibrae afferentes*. Направляются к центральной нервной системе.
- 7 Двигательные (эфферентные) нервные волокна, *neurofibrae efferentes*. Выходят из центральной нервной системы.
- 8 Соматические нервные волокна, *neurofibrae somaticae*. Иннервируют произвольную мускулатуру скелета и некоторых внутренних органов.
- 9 Висцеральные нервные волокна, *neurofibrae autonomaticae (viscerales)*. Входят в состав вегетативных нервов.
- 10 Узел, *ganglion*. Макроскопическое утолщение нерва, которое состоит из скопления тел нейронов.
- 11 Капсула узла, *capsula ganglii (ganglionica)*. Наружная соединительнотканная оболочка узла.
- 12 Строма узла, *stroma ganglii (ganglionicum)*. Представлена соединительной тканью, расположенной внутри узла.
- 13 Черепно-спинномозговые узлы (чувствительные), *ganglia craniospinalia (encephalospinalia sensoria)*. Общий термин для двух описанных ниже структур:
- 14 Спинномозговые узлы (чувствительные), *ganglia spinalia (sensorialis)*. Утолщения задних корешков.
- 15 Чувствительные узлы черепных нервов, *ganglia sensoria neuricum cranialium (gg. encephalka)*. Аналоги спинномозговых узлов в составе черепных нервов.
- 16 Вегетативные (автономные) узлы, *ganglia autonomatica (visceralia)*. Входят в состав висцеральных нервов.
- 17 Предузловые нервные волокна, *neurofibrae preganglionics*. Миелиновые нервные волокна, которые подходят к вегетативным узлам.
- 18 Послеузловые нервные волокна, *neurofibrae postganglionics*. Безмиелиновые нервные волокна, которые направляются от вегетативных узлов к внутренним органам.
- 19 Симпатический узел, *ganglion sympathicum (sympatheticum)*. Главным образом входят в состав симпатического ствола.
- 20 Белая соединительная ветвь, *ramus communicans alba*. Соединяет спинномозговой нерв с симпатическим стволом. Имеет белый цвет, так как содержит, покрытые миелиновой оболочкой, преганглионарные нервные волокна.
- 21 Серая соединительная ветвь, *ramus communicans griseus*. Соединяет между симпатическим стволом и спинномозговым нервом. Содержит безмиелиновые постганглионарные нервные волокна - отсюда их серый цвет.
- 22 Парасимпатический узел, *ganglion parasymphaticum (parasympatneticum)*. См. стр. 352.28 - 35.
- 23 Спинномозговые нервы, *nn. spinales*. Образуются в результате соединения переднего и заднего корешков.
- 24 Сплетение спинномозговых нервов, *plexus nervorum spinalium*. Формируются передними ветвями спинномозговых нервов. Различают шейное, плечевое и пояснично-крестцовое сплетения.

- 1 **Черепные нервы**, *nn. craniales (encephalici)*. Выходят из полости черепа через соответствующие отверстия.
- 2 Ядра черепных нервов, *nuclei nervorum cranialium (encephalicorum)*.
- 3 Начальные ядра, *nuclei originis*. Место начала эфферентных, главным образом, двигательных, нервных волокон.
- 4 **Концевые ядра**, *nuclei terminarionis*. На нервных клетках, входящих в состав этих ядер, заканчиваются афферентные волокна - отростки нейронов чувствительных узлов.
- 5 **Смешанный нерв**, *n. mixtus (n. mixtarum neurofibrarum)*. Содержит в своем составе двигательные и чувствительные или соматические и висцеральные нервные волокна.
- 6 Кожные ветви, *rami cutanei*. Нервы или ветви, направляющиеся к коже.
- 7 Суставные ветви, *rami articulares*. Нервы или ветви, направляющиеся к суставам.
- 8 Мышечные ветви, *rami musculares*. Нервы или ветви, направляющиеся к мышцам.
- 9 Двигательный нерв, *n. motorius*. Содержит волокна, заканчивающиеся только в мышцах. Афферентные волокна от мышечного веретена во внимание не принимаются.
- 10 Чувствительный нерв, *n. sensorius*. Содержит афферентные волокна - отростки нервных клеток чувствительных узлов черепных нервов и спинномозговых узлов.
- 11 Соединительная ветвь, *ramus communicans*.
- 12 Вегетативные (автономные) нерв и ветвь, *nervus et ramus autonomici (viscerates)*. Предназначены для иннервации внутренних органов.
- 13 Висцеральное (автономное) сплетение, *plexus autonomicus (visceralis)*. Расположено внутри или по поверхности органа.
- 13а Сосудистое сплетение, *plexus vascularis*. Расположено вокруг сосудов. Содержит чувствительные и висцеральные нервные волокна.
- 14 Периартериальное сплетение, *plexus periarteriales*. Находится в адвентиции артерий.
- 15 Нервы сосудов, *nn. vasorum*. Иннервируют сосуды.
- 16 Сосуды нервов, *vasa nervorum*. Крово-снабжают нервы.
- 17 **НЕРВНАЯ ТКАНЬ**, *textus nervosus*.
- 18 Нервная клетка, нейрон, *neuron (neurocytus)*.
- 19 Тело нейрона, *corpus neurale*. Часть нервной клетки, от которой отходят отростки.
- 20 Аксон (нейрит), *axon (neuritum)*. Обычно длинный отросток нервной клетки, который входит в состав периферического нерва. Одни аксоны покрыты миелиновой оболочкой, другие этой оболочкой не имеют.
- 21 Дендрит, *dendritum*. Древовидно ветвящийся отросток нервной клетки. В отличие от нейрита не имеет специальных оболочек.

## Примечание.

Новые термины 188.28a; 198.25a, 216.10-е; 298.11 и 322.20 а-е добавлены номенклатурным комитетом в Международную номенклатуру без каких-либо комментариев. Наши попытки получить разъяснения по этому вопросу не увенчались успехом.

Значения следующих трех терминов могут быть объяснены следующим образом:

216.10 с *A. radicularis posterior*: артерия, сопровождающая задний корешок спинномозгового нерва.

216.10 d *A. radicularis anterior*: артерия, сопровождающая передний корешок спинномозгового нерва.

216.10 e *A. medullaris segmentalis*: сегментарный приток продольной артериальной системы спинного мозга.

298.11 В литературе ядра таламуса описываются по-разному. Мы сохранили номенклатуру, которая использовалась в предшествующих изданиях.

405.26a *Fascia superficialis*: поверхностная фасция. В англоязычных странах она описывается как состоящая из подкожножировой клетчатки и соединительной ткани: на животе фасция Кампера (поверхностный листок подкожной фасции передней стенки живота) и фасция Скарпы (*fascia cremasterica*).